

*O‘zbekiston Respublikasi Oliy va o‘rta maxsus ta‘lim vazirligi
tomonidan universitetlar va pedagogika institutlari uchun darslik
sifatida tavsiya etilgan*

KVANT MEXANIKASI

III jild

NAZARIY FIZIKA KURSI

M.M. MUSAXANOV, A.S. RAHMATOV

O‘ZBEKISTON RESPUBLIKASI
OLIIY VA O‘RTA MAXSUS TA‘LIM VAZIRLIGI

Nurlanish hodisasi Maksvell tomonidan kashf etilgan elektromagnit nazariyasining qonunlariga bo‘ysunadi. Nurlanishning dinamik o‘zgaruvchilar soni cheksiz ko‘p bo‘lib, fazoning har bir nuqtasidagi elektr va magnit maydonlar orqali namoyon bo‘ladi. Moddadan farqlitiroq, nurlanishni alohida-alohida korpuskulalarga ajratish mumkin emas, nurlanish to‘lqin xususiyatga ega bo‘lib, interferensiya va diffraksiya kabi hodisalar orqali o‘zini namoyon etadi. Nurlanishning to‘lqin nazariyasi XIX asrning birinchi yarmida fransuz fizigi Frenel tomonidan asoslab berildi. To‘lqin tarqalish muammolari to‘g‘ri hal etilgandan keyin, to‘lqin gipotезisidan kelib chiqadigan barcha natijalarni tekshirishga va bu gipoteza asosida ma‘lum bo‘lgan yorug‘lik hodisalarini, shu jumladan geometrik optikani ham tushuntirishga imkon yaratildi. Optika sohasida yorug‘likning to‘lqin nazariyasi asosida o‘tkazilgan qator mashhur ishlar to‘lqin nazariyasining tutgan o‘rini yanada mustahkamladi.

Yorug‘likni elektromagnitizm nazariyasini yaratishga XIX asr o‘rtalarida kashf etilgan bir qator hodisalar salmoqli o‘rin tutdi. Fazoda elektromagnit maydon yorug‘likning vakuumdagi tezligiga teng bo‘lgan tezlik bilan to‘lqin tarzda tarqalishi bevosita Maksvell tenglamalaridan kelib chiqadi. Shunday qilib, elektromagnit to‘lqinlarning bo‘sh fazoda, ya‘ni vakuumda tarqalishi Maksvell tomonidan nazariy ravishda oldindan keltirib chiqarildi va yorug‘likning elektromagnit nazariyasi yaratildi. Bu nazariyaga ko‘ra, yorug‘lik juda kichik to‘lqin uzunligiga ega bo‘lib, elektromagnit to‘lqinlardan iboratdir. Keyinchalik nemis fizigi G.Gers bo‘sh fazoda elektromagnit to‘lqinlarni eksperimental ravishda mavjudligini isbotladi. Shu bilan optika va elektromagnitizmning uzviy bog‘liqligi isbotlandi.

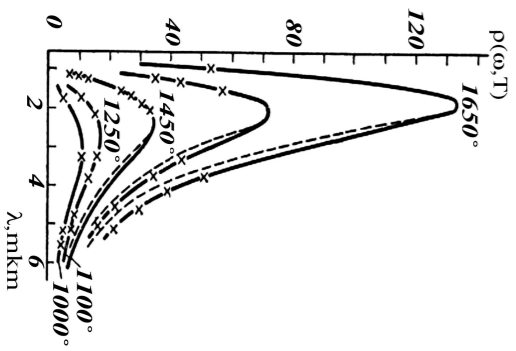
Ma‘lumki, optikadagi muhim hodisalardan biri nurlanish hodisasi-dir va uning turli xillari mavjud. Masalan, gazlardan elektr toki o‘tishi jarayonida vujudga keladigan nurlanish, oksidlanayotgan fosfor ni nurlanishi, elektronlar bilan qattiq jismlarni bombardimon qilish natijasida vujudga keladigan nurlanish, qizdirilgan jismlarning nurlanishi, ya‘ni issiqlik nurlanishi va hokazo. Yuqoridagi qayd etilgan nurlanishlar bir-biridan o‘zlarining vujudga kelish tabiati bilan ajralib turadi. Har qanday nurlanish jarayonida energiyaning biror turi nurlanish energiyasiga aylanadi va jumladan issiqlik nurlanishida energiyaning bir qismi elektromagnit to‘lqin tarzida nurlanadi. Issiqlik nurlanishi

o‘zining xususiyati bilan boshqa nurlanishlardan keskin farq qiladi, chunki bu nurlanish muvozanatli holatga tegishli bo‘lgan nurlanishdir. Jismlarning issiqlik nurlanishi qonuniyatlarini nazariy tomondan tushuntirish XIX asrning oxiri XX asrning boshlariga kelib klassik fizikada eng muhim muammoga aylangan edi. Elektromagnit nurlanishning intensivligi va spektrlar ustida olib borilgan izlanishlarda klassik fizika birinchi bor jiddiy mag‘lubiyatga uchradi.

1.2. Kvant nazariyasining paydo bo‘lishi

Ma‘lumki, jism sirtiga nurlanish tushsa, ikki xil hodisa ro‘y beradi: nurlanishning ma‘lum bir qismi jism tomonidan yutiladi, qolgan qismi esa jism sirtidan qaytadi. Jism nurlarni qancha kam qaytarsa, u shuncha qoraroq tuyuladi. Agar jism o‘ziga tushgan nurlanishni qaytarmasdan to‘la yutib qolsa, u bizga mutlaqo qora bo‘lib tuyuladi. Yuqorida qayd etilgan xususiyatga ega bo‘lgan jismlar absolut qora jism deyiladi. “Absolut qora jism” deb, unga tushayotgan har qanday chastotali yorug‘likni butunlay yutish qobiliyatiga ega bo‘lgan jisimga aytiladi.

Kvant nazariyasining paydo bo‘lish tarixi absolut qora jismlarning issiq-lik nurlanish spektrini hisoblashdagi urinishlar bilan bog‘liqdir (1-rasm).



1-rasm. Turli temperaturalarda absolut qora jism nurlanish spektrining energiya taqsimoti

tenglamalari ham shunday ahamiyat kasb etadi.

Bunday sistemaning harakat tenglamalarini aniq yechish mumkin emas, shuning uchun ushbu masalani statistik usullar yordamida yechish kerak. Shunday qilib, yangi fan-statistik mexanika vujudga keldi. Gazlar harakatini tekshirish (gazlarning kinetik nazariyasi) va termodinamikadan (statistik termodinamika) olingan yangi natijalar moddaning korpuskular nazariyasining asosiy qoidalarini sifatli va imkoniyat darajasida aniq miqdoriy hisoblashlarga imkon yaratadi.

Shu paytning o'zida fizikaning boshqa bo'limlari bilan birga elektr va magnit hodisalar haqidagi ta'limot ham tez sur'atlarda rivojlana boshladi. Bu sohada katta muvaffaqiyatlarga ingliz fizigi J. Maksvell erishdi. 1865-yilda elektromagnit nazariyasining asosiy qonunlarini va ularni ifodalovchi tenglamalarni keltirib chiqardi. Mexanikada Nyuton qonunlari qanday rol o'ynasa, elektromagnetizm sohasida J.Maksvell tenglamalari ham shunday ahamiyat kasb etadi.

Bunday sistemaning harakat tenglamalarini aniq yechish mumkin emas, shuning uchun ushbu masalani statistik usullar yordamida yechish kerak. Shunday qilib, yangi fan-statistik mexanika vujudga keldi. Gazlar harakatini tekshirish (gazlarning kinetik nazariyasi) va termodinamikadan (statistik termodinamika) olingan yangi natijalar moddaning korpuskular nazariyasining asosiy qoidalarini sifatli va imkoniyat darajasida aniq miqdoriy hisoblashlarga imkon yaratadi.

Shu paytning o'zida fizikaning boshqa bo'limlari bilan birga elektr va magnit hodisalar haqidagi ta'limot ham tez sur'atlarda rivojlana boshladi. Bu sohada katta muvaffaqiyatlarga ingliz fizigi J. Maksvell erishdi. 1865-yilda elektromagnit nazariyasining asosiy qonunlarini va ularni ifodalovchi tenglamalarni keltirib chiqardi. Mexanikada Nyuton qonunlari qanday rol o'ynasa, elektromagnetizm sohasida J.Maksvell tenglamalari ham shunday ahamiyat kasb etadi.

Keyinchilik modda tuzilishining atom gipotezasi paydo bo'lishi bilan, korpuskular nazariya yordamida mikroskopik darajadagi barcha fizikaviy hodisalarni ham tushuntirishga harakat qilindi. To'g'ridan-to'g'ri atom gipotezasini tekshirishga imkoniyat bo'lmaganligi sababli, bilvosita xarakterga ega bo'lgan isbotlarga juda ko'p vaqt va e'tibor ajratildi, ya'ni molekullardan tashkil topgan moddiy jismlarning makroskopik xususiyatlarini tekshirishda alohida har bir molekulaning harakat qonunlari tahlil qilindi. Matematik jihatdan bu masala nihoyatda murakkabdir, chunki erkinlik darajasi soni juda ko'p bo'lgan sistemaning dinamik o'zgaruvchilarining o'rtacha qiymati hisobga olinishi kerak. Shu o'rinda bir mol modda miqdorida molekullar soni $N_A = 6,02 \cdot 10^{23}$ (Avogadro soni) ga teng ekanligini eslatib o'tish joiz deb hisoblaymiz.

22.314
M90
UDK: 530.145.6(075)
BBK 22.31ya73

Musaxanov, M.M.

Kvant mexanikasi: Universitetlar va pedagogika institutlari uchun darslik/ M.M.Musaxanov, A.S. Rahmatov; O'ZR oliy va o'ra-maxsus ta'lim vazirligi. – T. Tafakkur bo'stoni, 2011. – 352 b.

I. Rahmatov, A.S.

BBK 22.31ya73

Professor A.A. Abdumalikovning umumiy tahriri ostida

Taqricchilar:

A. Boydedayev – fizika-matematika fanlari nomzodi, professor,

K. Tursunmetov – fizika-matematika fanlari doktori, professor

Mazkur darslik “Nazariy fizika kursi” darsliklar majmuasining III jildi bo'lib, asosan norelyativistik kvant mexanikasiga bag'ishlangan. Darslikda kvant mexanikasining asosiy g'oyalari, matematik apparati, bir o'lchamli va markaziy maydonlardagi harakatlar, g'alayonlanish va sochilish nazariyalari, spin va atomlar nazariyalari keltirilgan. Mavzularni tanlash va ularni bayon qilishda Mirzo Ulug'bek nomidagi O'zbekiston Milliy universiteti “Yadro va nazariy fizika” kafedrasida ishlab chiqilgan namunaviy o'quv dasturiga amal qilingan. Darslikda fizikaning zamonaviy yutuqlari o'z aksini topgan. Har bir bobning masalalari va ularning yechimlari keltirilgan.

Darslik oliy ta'lim muassasalari fizika, astronomiya va texnika ta'lim yo'nalishlarida ta'lim olayotgan talabalar uchun mo'ljallangan bo'lib, undan magistratura talabalari va yosh talqiqotchilar ham foydalanishlari mumkin.

ISBN 978-9943-362-35-2

© «TAFAKKUR BO'STONI», 2011.

Bunda σ – Stefan–Bolsman doimiysi bo'lib, tajribada aniqlangan qiymati

$$E_T = \sigma T^4, \quad (1.1)$$

$$\sigma = 5,67 \cdot 10^{-8} \frac{W}{m^2 K^4} \quad (1.2)$$

ga teng. Vinning siljish qonuni deb nomlangan ikkinchi qonun I-rasmdagi spektrning maksimumiga taalluqlidir: absolt qora jism nurlanishi maksimumiga mos keluvchi λ_{max} -to'lqin uzunlikning temperaturaga ko'paytmasi o'zgarmas kattalikdir, ya'ni

$$\lambda_{max} T = b \quad (1.3)$$

Bunda b – Vin doimiysi bo'lib, tajribalar asosida $b = 2,898 \cdot 10^{-3} K \cdot m$ ekanligi aniqlangan. Bu formuladan ayonki, absolt qora jismning nurlanish temperaturasi qancha yuqori bo'lsa, λ_{max} shuncha kichik qiymatga ega bo'ladi, boshqacha aytganda, nurlanish

Bunda σ – Stefan–Bolsman doimiysi bo'lib, tajribada aniqlangan qiymati

$$E_T = \sigma T^4, \quad (1.1)$$

$$\sigma = 5,67 \cdot 10^{-8} \frac{W}{m^2 K^4} \quad (1.2)$$

ga teng. Vinning siljish qonuni deb nomlangan ikkinchi qonun I-rasmdagi spektrning maksimumiga taalluqlidir: absolt qora jism nurlanishi maksimumiga mos keluvchi λ_{max} -to'lqin uzunlikning temperaturaga ko'paytmasi o'zgarmas kattalikdir, ya'ni

$$\lambda_{max} T = b \quad (1.3)$$

Bunda b – Vin doimiysi bo'lib, tajribalar asosida $b = 2,898 \cdot 10^{-3} K \cdot m$ ekanligi aniqlangan. Bu formuladan ayonki, absolt qora jismning nurlanish temperaturasi qancha yuqori bo'lsa, λ_{max} shuncha kichik qiymatga ega bo'ladi, boshqacha aytganda, nurlanish

Bu sohada tajribalardan kelib chiqadigan xulosalar quyidagicha:

- 1).absolut qora jismning nurlanish spektri uzluksiz xarakterga ega.
- 2).har bir temperaturaga tegishli bo'lgan nurlanishning energetik taqsimotini ifodalovchi egri chiziqizib qora jismning maksimum mavjud bo'lib, u temperatura oshgan sari qisqara to'lqin uzunliklar sohasiga siljiydi.

Bu sohada olib borilgan izlanishlar tufayli quyidagi kashf etilgan qonunlarga to'xtalib o'taylik.

Birinchi qonun Stefan–Bolsman qonuni deb nomlanib, absolt qora jismning to'la nur chiqarish qobiliyatini temperaturaning to'rtinchi darajasiga proporsionalligini ko'rsatadi:

$$E_T = \sigma T^4, \quad (1.1)$$

$$\sigma = 5,67 \cdot 10^{-8} \frac{W}{m^2 K^4} \quad (1.2)$$

ga teng. Vinning siljish qonuni deb nomlangan ikkinchi qonun I-rasmdagi spektrning maksimumiga taalluqlidir: absolt qora jism nurlanishi maksimumiga mos keluvchi λ_{max} -to'lqin uzunlikning temperaturaga ko'paytmasi o'zgarmas kattalikdir, ya'ni

$$\lambda_{max} T = b \quad (1.3)$$

Bunda b – Vin doimiysi bo'lib, tajribalar asosida $b = 2,898 \cdot 10^{-3} K \cdot m$ ekanligi aniqlangan. Bu formuladan ayonki, absolt qora jismning nurlanish temperaturasi qancha yuqori bo'lsa, λ_{max} shuncha kichik qiymatga ega bo'ladi, boshqacha aytganda, nurlanish

aytganda, ta'sirlashuvga qadar yorug'lik kvanti tarzida namoyon bo'layotgan energiya ta'sirlashuvdan so'ng elektronning energiyasiga aylanadi. Metall sirtidan elektroni ajratib chiqarish uchun qandaydir ish sarflash kerak (bu ish metallidan elektronlarni chiqish ishi deyiladi va χ bilan belgilanadi). U holda metalldagi elektronning energiyasi $-\chi$ ga teng bo'ladi. Fotoeffekt hodisasida yorug'lik kvanti to'la yutiladi va (1.11) formulada $h\nu' = 0$ bo'ladi.

Yorug'lik kvanti yutilgandan keyin elektronning energiyasi $m\nu'^2/2$ ga teng bo'ladi. Bunda m – elektronning massasi, ν – esa metall sirtidan chiqayotgan elektronning tezligi.

Fotonlarning ko'pchilik qismi metall tomonidan yutiladi va faqat ularning bir qismigina elektronlarni urib chiqaradi. ω chastota qancha katta bo'lsa, metalldan uchib chiquvchi elektronlarning tezligi shunchalik katta bo'ladi. Ikkinchi tomondan elektronlarning tezligi $\nu = 0$ bo'lsa, tashqi fotoeffekt bo'lmaydi. Bu hol fotoeffektning chegarasi deb ataladi va bu chegara yorug'likning tebranshlar chastotasi bilan xarakterlanadi, ya'ni fotoeffektning qizil chegarasini aniqlaydi. Yorug'likning bundan past chastotasida, berilgan modda uchun fotoeffekt hodisasi namoyo'n bo'lmaydi. Demak, fotoeffekt hodisasi uchun (1.11) formula quyidagi ko'rinishda bo'ladi:

$$h\nu - \chi = \frac{m\nu'^2}{2} \quad (1.13)$$

(1.13) tenglama Eynshteyn tenglamasi deb yuritiladi va uni quyidagicha tushuntirish mumkin: $h\nu$ energiyaga ega bo'lgan foton metall sirti bilan to'qnashib, o'z energiyasini elektronga beradi. Ushbu energiyaning bir qismi elektroni metal sirtidan chiqarishga sarflansa (χ chiqish ishini bajarish uchun), qolgan qismini elektronning $m\nu'^2/2$ kinetik energiyasiga aylanadi.

Bu tenglama yorug'likning fotoeffekt hodisasi uchun energiya saqlanish qonunini bildiradi. Eynshteyn tenglamasi bilan tavsiflanuvchi fotoeffekt hodisasi kvant nazariyasini fundamental asoslarining to'g'riligini, ya'ni yorug'lik energiya qiymati diskret xarakterga ega ekanligini isbotlaydi. Shu bilan bir qatorda, (1.13) tenglama absolt qora jism issiqlik nurlanishini o'rganishda Plank tomonidan kiritilgan h doimiyni asoslab berdi va Plank g'oyasini isbotlovchi dastlabki tafsilotlarni to'g'ri ekanligini tasdiqladi.

tenglamadan foydalangan holda bir o'lchamli masalalar, harmonik

Haqiqatda esa voqealar rivoji ular o'ylaganday bo'lmadi. Yuqorida qayd etilgan hodisalarning nazariy jihatdan tushuntirishi XX asrning boshlariga ikki yangi fundamental nazariya: nisbiylik nazariyasi va kvant mexanikasining yaratilishi bilan amalga oshdi. XIX asrgacha ma'lum bo'lgan fizikani klassik fizika deb atash qabul qilingan.

Mazkur darslik asosan zamonaviy fizikaning norelyativistik kvant mexanikasi qismiga bag'ishlan. Ushbu darslikning asosiy maqsadi kvant mexanikasining bo'lmlarini bayon etishdan iborat bo'lib, unda yorug'likning kvant tabiati hamda elektronning to'lqin xususiyatlarini tasdiqlaydigan bir qator tajriba natijalari va M.Plank, A.Eynshteyn, N.Bor, L. de-Broyl g'oyalarning har tomonlama tahlili asosida kelib chiqqan Shredinger to'lqin tenglamasi atroflicha yoritib berilgan. Ushbu tenglamadan foydalangan holda bir o'lchamli masalalar, harmonik

Haqiqatda esa voqealar rivoji ular o'ylaganday bo'lmadi. Yuqorida qayd etilgan hodisalarning nazariy jihatdan tushuntirishi XX asrning boshlariga ikki yangi fundamental nazariya: nisbiylik nazariyasi va kvant mexanikasining yaratilishi bilan amalga oshdi. XIX asrgacha ma'lum bo'lgan fizikani klassik fizika deb atash qabul qilingan.

Mazkur darslik asosan zamonaviy fizikaning norelyativistik kvant mexanikasi qismiga bag'ishlan. Ushbu darslikning asosiy maqsadi kvant mexanikasining bo'lmlarini bayon etishdan iborat bo'lib, unda yorug'likning kvant tabiati hamda elektronning to'lqin xususiyatlarini tasdiqlaydigan bir qator tajriba natijalari va M.Plank, A.Eynshteyn, N.Bor, L. de-Broyl g'oyalarning har tomonlama tahlili asosida kelib chiqqan Shredinger to'lqin tenglamasi atroflicha yoritib berilgan. Ushbu tenglamadan foydalangan holda bir o'lchamli masalalar, harmonik

SO'ZBOSHI

To'rt jildlik "Nazariy fizika kursi" darslikning 3-jildi "Kvant mexanikasi" kursiga bag'ishlangan bo'lib, hozirgi zamon nazariy fizika bo'lmlari ichida muhim o'rin egallaydi.

KVANT MEKANIKASINING FIZIKAVIY ASOSLARI

1.1. Klassik fizikaning asosiy qiyinchiliklari

XIX asrning oxiri XX asrning boshiga kelib klassik nazariyada asosan fizikaviy sistema holatini rivojlanishini to'la ifodalash uchun mustaqil kattaliklardan foydalanilgan va ular muayyan vaqt momentidagi dinamik o'zgaruvchilar deb nomlangan. Ushbu kattaliklar vaqtning har bir momentida aniq qiymatga ega bo'lib, ularning qiymatlari to'plami sistemaning dinamik holatini aniqqlab beradi. Bundan tashqari, agar fizikaviy sistemaning holati uchun barcha koordinatalarning qiymati vaqtning boshlang'ich momentida ham berilgan bo'lsa, u holda fizikaviy sistemaning vaqt bo'yicha rivojlanishi to'la-to'kis aniqlangan bo'ladi va uning keyingi harakatini ham oldindan aytib berishga imkon yaratiladi. Matematik nuqtayi nazardan qaraganda, dinamik o'zgaruvchilar vaqtning funksiyasi bo'lib, ikkinchi tartibli differensial tenglamalar sistemasi orgali aniqlanadi. Shunday qilib, klassik norelyativistik nazariyaning asosiy maqsadi tekshirilayotgan sistemaning dinamik o'zgaruvchilarini aniqqlab olib, vaqt bo'yicha ularning o'zgarishini ifodalovchi harakat tenglamalarini tuzishdan iborat.

Klassik mexanikaning asosiy qonunlari Nyuton tomonidan ta'riflab berilgandan boshlab, XIX asrning oxirigacha ushbu dastur muvaffaqiyatli rivojlanib keldi va yangi eksperimental natijalarning paydo bo'lishi, nazariy jihatdan, yangi dinamik o'zgaruvchilar va yangi tenglamalarning paydo bo'lishiga olib keldi. Shu bilan bir qatorda yangi hodisani, yoki yangi jarayonni umumiy nazariy sxemaga kiritish katta qiyinchiliklar tug'dirmadi. Shu davr ichida biror bir eksperimental natija yoki fizik kashfiyot yuqoridagi qayd etilgan dasturning to'g'riligiga shubha tug'dirmadi. Bu rivojlanish 1900-yilgacha muvaffaqiyatli davom ettirildi, lekin mikroduyo miqyosidagi fizikaviy hodisalar to'g'risidagi bilimlar borgan sari ko'payishi va chuqurlashishi natijasida klassik fizika bir qator qiyinchiliklar va qarama-qarshiliklarga duch keldi.

Juda tez ma'lum bo'ldiki, klassik fizika asosida aton hamda subatom darajasidagi fizikaviy hodisalarni va ulardagi bo'ladigan jarayonlarni

temperaturasi oshgan sari absolt gora jismining nurlanish qobiliyatining maksimumi qisqa to'lqin uzunliklar sohasiga siljiydi.

1900-yilgacha tajribalardan olingan absolt gora jismining nurlanish spektri intensivligining egri chizig'ini nazariy jihatdan ma'lum bo'lgan klassik fizikaning fundamental qonunlari asosida tushuntirib bo'lmadi. Klassik mexanika, statistik termodinamika va elektromagnit nazariyasining qonunlaridan foydalangan holda faqatgina Reley-Jins formulasi olindi, ya'ni

$$p(\omega, T) = \frac{\omega^2}{\pi^2 c^3} kT \quad (1.4)$$

bunda $k = 1,3807 \cdot 10^{-23}$ J/K – Bolsman doimiyisi, $p(\omega, T)$ – nurlanish energiyasi zichligi. Reley-Jins formulasi bilan faqat 1-rasmdagi shtrixlangan qism tushuntira olinadi (past chastotalar sohasi). Reley-Jins formulasi asosan nurlanish energiyasining to'la intensivligi cheksiz orta borishi kerak. Eksperiment natijasiga ko'ra to'la nurlanishning intensivligi cheklidir. Shunday qilib, hosil qilingan formulalar tajriba bilan keskin qarama-qarshi chiqdi.

1900-yilga kelib Maks Plank absolt gora jisim nurlanish muammosini hal etdi va issiqlik nurlanish spektrini aynan ifodalovchi formulani olishga muvaffaq bo'ldi. Ammo Plank buning uchun modda nurlanish o'zaro ta'siri haqidagi klassik fikrlarga mulqo zidd bo'lgan yangi g'oya kiritishga majbur bo'ldi. Uning g'oyasiga asosan, elektromagnit nurlanish energiyasi uzluksiz ravishda emas, balki alohida diskret porsiyalar – kvantlar – holda atomlarda yutilishi va nurlanishi mumkin. Bunda ϵ – energiya kvanti ν nurlanish chastotasi bilan h universal doimiy ko'paytmasiga teng bo'lishi kerak ekan:

$$\epsilon = h\nu \quad (1.5)$$

bunda

$$h = 6,62606957 \cdot 10^{-34} \text{ J} \cdot \text{s} \quad (1.6)$$

- Plank doimiyisi. Plank gipotезasiga asosan moddadan chiqarayotgan ν chastotali nurlanishning E umumiy energiyasi energiya kvantiga (ϵ ga) karrali bog'liq bo'ladi, ya'ni

$$E = n\epsilon = n h\nu = n h\omega$$

Universal doimiy $h = h/2\pi = 1,05 \cdot 10^{-34}$ J · s hozirgi zamon fizikasida juda katta ahamiyatga ega. Uning qiymatini turli metodlar bilan eksperimental ravishda aniqlash mumkin.

Darslikda bayon qilingan nazariy mavzularni amaliy jihatdan mustahkamlashga katta e'tibor qaratilgan. Shu maqsadda har bir bob yaratildi.

Harakat qiluvchi yorug'lik kvantlarini Eynshteyn fotonlar deb nomladi va yorug'lik fotonlar tarzida nurlanadi, tarqaladi, yutiladi, umuman olganda yorug'lik fotonlar sifatida mavjuddir deb ta'kidladi. (1.9) va (1.10) formulalar yorug'lik kvant nazariyasining asosiy formulalari bo'lib, yorug'lik kvantining ϵ -energiyasi va P -impulsini yassi monoxromatik to'liqning ω -chastotasi va λ -to'liqin uzunligi bilan bog'laydi. Yorug'lik kvant nazariyasini mohiyati shundan iboratki, mikrosistemalar (masalan, elektron, atom, molekula) va yorug'lik o'rtasidagi energiya va impulsning almashinuvi biror yorug'lik kvantlarining paydo bo'lishi va boshqasining yo'qolishi bilan aniqlanadi. Shu fikrni tasdiqlash maqsadida yorug'likning biror bir sistema bilan o'zaro ta'sirini, ya'ni to'liqin uzunligi bilan o'zaro ta'sirini, ya'ni to'liqin uzunligi bilan o'zaro ta'sirini, ya'ni to'liqin uzunligi bilan o'zaro ta'sirini ko'rib chiqaylik.

Yorug'lik kvanti bilan to'liqin uzunligi bilan o'zaro ta'sirini, ya'ni to'liqin uzunligi bilan o'zaro ta'sirini, ya'ni to'liqin uzunligi bilan o'zaro ta'sirini ko'rib chiqaylik.

$$P = \hbar k. \quad (1.10)$$

Harakat qiluvchi yorug'lik kvantlarini Eynshteyn fotonlar deb nomladi va yorug'lik fotonlar tarzida nurlanadi, tarqaladi, yutiladi, umuman olganda yorug'lik fotonlar sifatida mavjuddir deb ta'kidladi. (1.9) va (1.10) formulalar yorug'lik kvant nazariyasining asosiy formulalari bo'lib, yorug'lik kvantining ϵ -energiyasi va P -impulsini yassi monoxromatik to'liqning ω -chastotasi va λ -to'liqin uzunligi bilan bog'laydi. Yorug'lik kvant nazariyasini mohiyati shundan iboratki, mikrosistemalar (masalan, elektron, atom, molekula) va yorug'lik o'rtasidagi energiya va impulsning almashinuvi biror yorug'lik kvantlarining paydo bo'lishi va boshqasining yo'qolishi bilan aniqlanadi. Shu fikrni tasdiqlash maqsadida yorug'likning biror bir sistema bilan o'zaro ta'sirini, ya'ni to'liqin uzunligi bilan o'zaro ta'sirini, ya'ni to'liqin uzunligi bilan o'zaro ta'sirini ko'rib chiqaylik.

$$P = \hbar k. \quad (1.9)$$

Harakat qiluvchi yorug'lik kvantlarini Eynshteyn fotonlar deb nomladi va yorug'lik fotonlar tarzida nurlanadi, tarqaladi, yutiladi, umuman olganda yorug'lik fotonlar sifatida mavjuddir deb ta'kidladi. (1.9) va (1.10) formulalar yorug'lik kvant nazariyasining asosiy formulalari bo'lib, yorug'lik kvantining ϵ -energiyasi va P -impulsini yassi monoxromatik to'liqning ω -chastotasi va λ -to'liqin uzunligi bilan bog'laydi. Yorug'lik kvant nazariyasini mohiyati shundan iboratki, mikrosistemalar (masalan, elektron, atom, molekula) va yorug'lik o'rtasidagi energiya va impulsning almashinuvi biror yorug'lik kvantlarining paydo bo'lishi va boshqasining yo'qolishi bilan aniqlanadi. Shu fikrni tasdiqlash maqsadida yorug'likning biror bir sistema bilan o'zaro ta'sirini, ya'ni to'liqin uzunligi bilan o'zaro ta'sirini, ya'ni to'liqin uzunligi bilan o'zaro ta'sirini ko'rib chiqaylik.



Harakat qiluvchi yorug'lik kvantlarini Eynshteyn fotonlar deb nomladi va yorug'lik fotonlar tarzida nurlanadi, tarqaladi, yutiladi, umuman olganda yorug'lik fotonlar sifatida mavjuddir deb ta'kidladi. (1.9) va (1.10) formulalar yorug'lik kvant nazariyasining asosiy formulalari bo'lib, yorug'lik kvantining ϵ -energiyasi va P -impulsini yassi monoxromatik to'liqning ω -chastotasi va λ -to'liqin uzunligi bilan bog'laydi. Yorug'lik kvant nazariyasini mohiyati shundan iboratki, mikrosistemalar (masalan, elektron, atom, molekula) va yorug'lik o'rtasidagi energiya va impulsning almashinuvi biror yorug'lik kvantlarining paydo bo'lishi va boshqasining yo'qolishi bilan aniqlanadi. Shu fikrni tasdiqlash maqsadida yorug'likning biror bir sistema bilan o'zaro ta'sirini, ya'ni to'liqin uzunligi bilan o'zaro ta'sirini, ya'ni to'liqin uzunligi bilan o'zaro ta'sirini ko'rib chiqaylik.

$$\rho(\omega, T) = \frac{1}{\pi^2 c^3} \frac{1}{\exp\left(\frac{\hbar\omega}{kT}\right) - 1} \quad (1.7)$$

Olingan (1.7) formulani tahlil qilaylik:

1. $\hbar\omega \ll kT$ uchun, ya'ni to'liqin uzunligi λ ning yoki temperatura T ning katta qiymatlarida eksponentani $\hbar\omega/kT$ darajalari bo'yicha qatorga yoyish mumkin. Qatorning birinchi hadi Reley-Jins formulasi beradi.
2. $\hbar\omega \gg kT$ uchun, ya'ni yuqori chastotalar yoki past temperaturalar uchun $e^{\frac{\hbar\omega}{kT}} \gg 1$ bo'lib, Plank formulasi quyidagi ko'rinishni oladi:

$$\rho(\omega, T) = \frac{\hbar\omega^3}{\pi^2 c^3} e^{-\frac{\hbar\omega}{kT}} \quad (1.8)$$

Shunday qilib, klassik tasavvurlarga g'oyat zid, mutlaqo yangi tushuncha kiritilish natijasida keltirib chiqarilgan Plank formulasi absolut qora jism nurlanishining natijalarini muvaffaqiyatli tarzda tushuntira oldi, xususan, (1.7) formula muvozanatli issiqlik nurlanish hodisasini to'liq tasviflab beradi.

1.3. Yorug'likning kvant nazariyasi

Plankning kvantlar g'oyasiga binoan jismlarning nurlanish energiyasini yutish va chiqarish jarayoni uzlukli ravishda yuz beradi. Bu g'oya klassik mexanika va statistik fizika yecha olmagan issiqlik nurlanish muayamosini hal qilib, issiqlik nurlanishi nazariyasini yaratishga olib keldi.

Shu davrdan boshlab fizikaviy kattaliklar faqat uzluksiz o'zgaruvchi kattaliklarni qabul qilibgina qolmay, balki uzlukli, diskret o'zgaruvchi kattaliklarni ham qabul qilishi mumkinligi katta ahamiyatga ega bo'ldi. Plank g'oyasiga asosan jismlarning nurlanishi uzluksiz emas, balki alohida-alohida porsiyalar bilan, ya'ni kvantlar sifatida chiqariladi.

ossiator masalasi, markaziy maydondagi harakat, vodorod va vodorodsimon atomlarning nazariyasi, ko'p elektronli atomlarning nazariyasi kabi masalalarning yechilishi ko'rsatilgan. Shu bilan birga ushbu darslikda kvant mexanikasida keng qo'llaniladigan taqribiy usullar, xususan, g'alayonlanish nazariyasi, sochilish nazariyasi va relyativistik kvant mexanikasining elementlari bayon etilgan.

Darslikda bayon etilgan fundamental fizikaviy nazariya mikrozarrahalarini tashqi kuch maydonlarida harakatini va yorug'lik tezligidan ancha kichik bo'lgan tezliklardagi zarrachalarning o'zaro-ta'siri o'rganiladi. Shunga o'xshash masalalar klassik fizikada ham o'rganilgan edi. Ammo klassik fizika tushunchalari, uning asosiy tenglamalari mikroduyoni tavsiflashda bir qator muammolarga duch keldi. Ushbu vaziyat mikroduyoga xos bo'lgan diskretlikni ifodalovchi yangi qonuniyatlarining mavjudligini aniqlash va zarrachalar harakat qonunlarini tavsiflashning yangi g'oyalarni ilgari surishni taqozo etdi.

Elektromagnit o'zaro ta'sir bilan bog'langan zarrachalar sistemasini o'rganish kvant mexanikasining asosiy vazifalaridan birini tashkil etadi va bu doiraga atomlar, molekullar, kristallar, moddalarning xususiyatlari va ularda sodir bo'ladigan juda ko'p hodisalar kiradi.

Kvant mexanikasi atom va molekullarning fizikasining asosini tashkil etadi.

U yadro fizikasi, moddaning elektron nazariyasi, qattiq jism fizikasi, kvant kimyosi, kvant statistikasi va boshqa bir qator fanlarning negizidir.

Keyinchalik ma'lum bo'ldiki, Shredinger nazariyasi asosida atomlarning barcha hodisalarini tushuntirib bo'lmaydi, xususan atomning magnit maydoni bilan o'zaro-ta'sirini to'g'ri ifodalash mumkin bo'lmadi, shuningdek murakkab atomlar nazariyasini yaratishda ham bir qator qiyinchiliklarga duch kelindi. Bu hodisalarni tushuntirish uchun elektronning spin xususiyatlarini hisobga olishga to'g'ri keldi. Shredinger nazariyasining keyingi rivojlanishi Dirakning relyativistik nazariyasining vujudga kelishi bilan chambarchas bog'liqdir. Dirak tenglamasi yordamida harakatlanuvchi elektronlarning nafaqat relyativistik, balki spin xususiyatlarini ham ifodalash imkoniyati yaratildi.

Darslikda bayon qilingan nazariy mavzularni amaliy jihatdan mustahkamlashga katta e'tibor qaratilgan. Shu maqsadda har bir bob yaratildi.

Kvant shartlari, yoki barqarorlik shartlari, quyidagicha ta'riflanadi: Atomning mustahkam barqarorligidan kelib chiqqan holda, atom ma'lum turg'un holatlarda mavjud bo'ladi, bu holatlardagi atom energiyasining qiymatlari $E_1, E_2, \dots, E_n, \dots$ diskret qatorni tashkil etadi. Turg'un holatlarga turg'un orbitalar mos keladi va bu turg'un orbitalar bo'yicha harakatlayotgan elektronlar uchun nurlanish sodir bo'lmaydi. Barqarorlik shartlari, yoki barqarorlik shartlari, quyidagicha ta'riflanadi: Atomning mustahkam barqarorligidan kelib chiqqan holda, atom ma'lum turg'un holatlarda mavjud bo'ladi, bu holatlardagi atom energiyasining qiymatlari $E_1, E_2, \dots, E_n, \dots$ diskret qatorni tashkil etadi. Turg'un holatlarga turg'un orbitalar mos keladi va bu turg'un orbitalar bo'yicha harakatlayotgan elektronlar uchun nurlanish sodir bo'lmaydi. Kvant shartlari, yoki barqarorlik shartlari, quyidagicha ta'riflanadi:

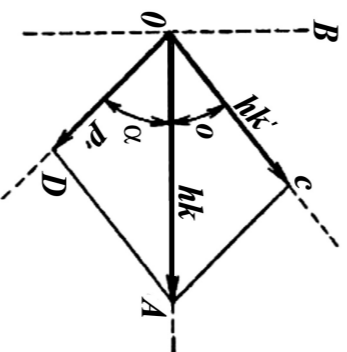
I. Atomning mustahkam barqarorligidan kelib chiqqan holda, atom ma'lum turg'un holatlarda mavjud bo'ladi, bu holatlardagi atom energiyasining qiymatlari $E_1, E_2, \dots, E_n, \dots$ diskret qatorni tashkil etadi. Turg'un holatlarga turg'un orbitalar mos keladi va bu turg'un orbitalar bo'yicha harakatlayotgan elektronlar uchun nurlanish sodir bo'lmaydi. Kvant shartlari, yoki barqarorlik shartlari, quyidagicha ta'riflanadi:

I. Atomning mustahkam barqarorligidan kelib chiqqan holda, atom ma'lum turg'un holatlarda mavjud bo'ladi, bu holatlardagi atom energiyasining qiymatlari $E_1, E_2, \dots, E_n, \dots$ diskret qatorni tashkil etadi. Turg'un holatlarga turg'un orbitalar mos keladi va bu turg'un orbitalar bo'yicha harakatlayotgan elektronlar uchun nurlanish sodir bo'lmaydi. Kvant shartlari, yoki barqarorlik shartlari, quyidagicha ta'riflanadi:

I. Atomning mustahkam barqarorligidan kelib chiqqan holda, atom ma'lum turg'un holatlarda mavjud bo'ladi, bu holatlardagi atom energiyasining qiymatlari $E_1, E_2, \dots, E_n, \dots$ diskret qatorni tashkil etadi. Turg'un holatlarga turg'un orbitalar mos keladi va bu turg'un orbitalar bo'yicha harakatlayotgan elektronlar uchun nurlanish sodir bo'lmaydi. Kvant shartlari, yoki barqarorlik shartlari, quyidagicha ta'riflanadi:

$$0 = \frac{h\omega'}{c} \sin \theta - \frac{m_0 v}{\sqrt{1-\beta^2}} \sin \alpha \quad (1.19)$$

Rasmda OA o'qi bo'yicha bir-lamchi, ya'ni tushayotgan rentgen nurlarining yo'nalishi ko'rsatilgan, OC yo'nalish bo'yicha esa elektronlar bilan to'qnashish tufayli sochilgan ikki-lamchi Rentgen nurlarining yo'nalishi berilgan, θ sochilish burchagini, α esa birlamchi kvant va elektromning olgan impulsi orasidagi burchakni ifodalaydi. Sochilgan $h\omega'$ kvantning qiymati va burchak orasidagi bog'lanishni topish uchun, (1.17) tenglamaning OA va OB o'qlariga bo'lingan proeksiyasi olinadi.



2-rasm. Kompton parallelogrammi.

$$\frac{h\omega}{c} \cos \theta + \frac{m_0 v}{\sqrt{1-\beta^2}} \cos \alpha \quad (1.18)$$

$$0 = \frac{h\omega'}{c} \sin \theta - \frac{m_0 v}{\sqrt{1-\beta^2}} \sin \alpha \quad (1.19)$$

(1.18) va (1.19) tenglamalarning har biri kvadratga ko'tariladi va hosil bo'lgan tenglamalar bir-biriga qo'shiladi. Natijada quyidagi ifodaga kelamiz:

$$h^2 \omega^2 - 2h^2 \omega \omega' \cos \theta + h^2 \omega'^2 = \frac{m_0^2 v^2 c^2}{1-\beta^2} \quad (1.20)$$

Bu ifodani soddalashtirish maqsadida energiyani saqlanish qonunidan foydalaniladi, ya'ni (1.16) tenglama quyidagi ko'rinishda yoziladi:

$$h(\omega - \omega') + m_0 c^2 = \frac{m_0 c^2}{\sqrt{1-\beta^2}}$$

va ikkala tomoni kvadratga ko'tariladi. Natijada

$$h^2 \omega^2 - 2h^2 \omega \omega' + h^2 \omega'^2 + m_0^2 c^4 + 2hm_0 c^2 (\omega - \omega') = \frac{m_0^2 c^4}{\sqrt{1-\beta^2}} \quad (1.21)$$

Asosiy holatdagi atomning energiyasi:

$$E_n = \frac{m_0^2 c^4}{2h^2} = 13,6 \text{ eV}$$

ga teng bo'lib, vodorod atomining ionlashtirish potentsiyali uchun Bor nazariyasi tomonidan keltirib chiqarilgan va bu qiymat tajriba natijalari bilan mos keladi. Misol tariqasida N.Bor nazariyasini tasdiqlovchi bir tajriba keltirib o'tiladi.

Mikrosistemalarga ya'ni diskret energetik sathlarning mavjudligini Frank va Gers 1914-yilda tajriba orqali tasdiqlashdi. Ular simob bug'lari orasidan elektr tokini o'tkazib, elektron bilan gaz atomi to'qnashuvining elastik yoki noelastik xarakterlari uchun to'qnashuvdan keyin tezliklar taqsimotini tekshirishgan edi. Tajribalar natijasida, Frank va Gers quyidagi natijalarga kelishgan edi:

1. Elektronlarning tezligi muayyan kritik tezlikdan kichik bo'lgan holda, to'qnashuv elastik tarzda namoyon bo'ladi, ya'ni elektron o'z energiyasini atomga bermasdan, faqat o'z tezligi yo'nalishini o'zgartiradi.

2. Agar elektronlarning tezligi biror muayyan kritik tezlikka teng bo'lsa, bu hollarda to'qnashuv noelastik sodir bo'ladi, ya'ni elektron o'z energiyasini qisman yo'qotadi va aynan shu energiya atomga o'tib, o'z navbatida atom katta energiya bilan xarakterlanuvchi boshqa statsionar holatga o'tadi.

Shunday qilib, vodorod atomining ionlashtirish potentsiyali uchun Bor nazariyasi tomonidan keltirib chiqarilgan va bu qiymat tajriba natijalari bilan mos keladi. Misol tariqasida N.Bor nazariyasini tasdiqlovchi bir tajriba keltirib o'tiladi.

Mikrosistemalarga ya'ni diskret energetik sathlarning mavjudligini Frank va Gers 1914-yilda tajriba orqali tasdiqlashdi. Ular simob bug'lari orasidan elektr tokini o'tkazib, elektron bilan gaz atomi to'qnashuvining elastik yoki noelastik xarakterlari uchun to'qnashuvdan keyin tezliklar taqsimotini tekshirishgan edi. Tajribalar natijasida, Frank va Gers quyidagi natijalarga kelishgan edi:

1. Elektronlarning tezligi muayyan kritik tezlikdan kichik bo'lgan holda, to'qnashuv elastik tarzda namoyon bo'ladi, ya'ni elektron o'z energiyasini atomga bermasdan, faqat o'z tezligi yo'nalishini o'zgartiradi.

2. Agar elektronlarning tezligi biror muayyan kritik tezlikka teng bo'lsa, bu hollarda to'qnashuv noelastik sodir bo'ladi, ya'ni elektron o'z energiyasini qisman yo'qotadi va aynan shu energiya atomga o'tib, o'z navbatida atom katta energiya bilan xarakterlanuvchi boshqa statsionar holatga o'tadi.

$$\psi(x,t) = \int_{k_0-\Delta k}^{k_0+\Delta k} C(k) e^{i(\omega-kx)} dk \quad (1.47)$$

Bu ifodada yig'ilgan to'lqinlarning impulslari o'zaro kam farqlanadi, ya'ni $\frac{\Delta k}{k_0} = \frac{\Delta p}{p_0} \ll 1$ deb faraz qilinadi. (1.47) formulaga bog'liq yana bir narsaga diqqat qilyaylik, ω aslida k ning funksiyasidir:

$$\omega = \frac{hk^2}{2m}$$

$$\begin{aligned} \omega &= \frac{hk^2}{2m} = \frac{h}{2m} [k_0 + (k - k_0)]^2 = \\ &= \frac{hk_0^2}{2m} + \frac{hk_0(k - k_0)}{m} + \frac{h}{2m} (k - k_0)^2 = \\ &= \omega_0 + \frac{hk_0}{m} (k - k_0) + \frac{h}{2m} (k - k_0)^2 \end{aligned}$$

ω ning bu ko'rinishi uning k atrofida yoyilgan Teylor qatoridir:

$$\omega = \omega_0(k) + \left(\frac{\partial \omega}{\partial k} \right)_{k=k_0} (k - k_0) + \frac{1}{2} \left(\frac{\partial^2 \omega}{\partial k^2} \right)_{k=k_0} (k - k_0)^2 \quad (1.48)$$

$$a_0(k) = \omega_0, \quad \left(\frac{\partial \omega}{\partial k} \right)_{k=k_0} = \frac{hk_0}{m}, \quad \left(\frac{\partial^2 \omega}{\partial k^2} \right)_{k=k_0} = \frac{h}{m}$$

Quyidagiga e'tibor beraylik: biz ko'rayotgan qatorida $(k - k_0)$ ning ikkinchi darajali hadi uning birinchi darajali hadiga nisbatan ancha kichik ekan:

$$\left| \frac{\frac{1}{2} \frac{\partial^2 \omega}{\partial k^2} (k - k_0)^2}{\frac{\partial \omega}{\partial k} (k - k_0)} \right| = \left| \frac{k - k_0}{2k_0} \right| = \left| \frac{\Delta k}{k_0} \right| \ll 1.$$

Shuning uchun, ω ni ifodalashda (1.48) formuladagi dastlabki ikkita had bilan cheklansak bo'ladi va quyidagi chiziqli ifoda olinadi:

$$\omega = \omega_0(k) + \left(\frac{\partial \omega}{\partial k} \right)_{k=k_0} (k - k_0) \quad (1.49)$$

noma'lum to'lqin (Keinchalik uni yana batafsilroq ko'rib chiqamiz) De-Broyl to'lqini deb ataladi.

Shunday qilib, quyidagi xulosaga kelinadi: foton bu odardagi zarracha ham va odardagi to'lqin ham emas, balki aniq klassik tassavurga ega bo'lmagan ajoyib obyektidir. Shuning uchun ham fotoning tabiatini klassik tassavurlar yordamida tushuntirishga harakat qilganimizda unga, ayrim hollarda zarracha xususiyatini, ayrim hollarda esa to'lqin xususiyatini tatbiq etishga majbur bo'lamiz. Fizikada paydo bo'lgan bu ajoyib *holat to'lqin-korpuskular dualizm* degan nom oldi.

1.5. Bor postulatari

XIX asrning oxirlariga kelganda bir qator mashhur tajribalar tufayli atomning murakkab tuzilishi to'g'risidagi fikr anchagina oydinlashib qoldi. Bu sohada ayniqsa ingliz fizigi Ernest Rutherford tomonidan amalga oshirilgan tajribalar alohida o'rin tutadi. 1911-yilda Rutherford tajriba xulosalariga asoslanib, atomning yadro modelini taklif etdi. Bu modelga ko'ra, atomning hamma muhsabat zaryadi va atomning deyarli butun massasi radiusi 10^{-13} sm tartibda bo'lgan juda kichik hajm ichida mujassamlashtirilgan muhsabat yadrodan iborat va atom yadrosi atrofida esa 10^{-8} sm tartibda bo'lgan masofalarda orbitalararo bo'ylab manfiy zaryadlangan elektronlar harakatlanadi. Shu tariqa atomning yadro modeli yaratildi. Uni ba'zan, atomning planetar modeli deb ham ataladi, chunki yadroni Quyoshga, elektronlarni esa sayyoralariga o'xshatildi. Bu model atom tuzilishini o'rganishda muhim qadam bo'ldi. Lekin uning kamchiliklari ham mavjud edi va bu kamchiliklar birinchidan atomning barqarorligini, ikkinchidan atomlar spektrlarining chiziqiligini hamda uning qonuniyatlarini tushuntirishga ojiz edi.

Vodorod atomi misolida bu model bilan tanishib chiqaylik. Planetar modelga ko'ra zaryadi $+e$ ga teng bo'lgan yadro atrofida bitta elektron yopiq orbita bo'ylab harakatlanadi. Klassik elektron nazariya qonunlariga muvofiq orbita bo'yicha tezlanuvchan harakatlanayotgan elektron elektromagnit nurlanish chiqarishi va energiyasi kamayganligi sababli uning orbitasi borgan sari kichrayib borishi lozim. Hisoblashlarning ko'rsatishicha, taxminan 10^{-8} sek vaqt o'tishi bilan vodorod atomining elektroni yadroga qulab tushishi va atom yemirilishi

Elektronning energiyasi $4,9$ eV ga karrali bo'lgan holda amalga oshadi. Demak, simob atomini quyil energetik sathdan yuqori energetik sathga ko'tarish uchun $4,9$ eV energiya lozim ekan. Elektron faqat ma'lum energiyani simob atomiga beradi. Yuqoridagi tajribadan ma'lumki, $9,8$ eV va $14,7$ eV energiyalarda elektronlar mos ravishda simob atomining ikkinchi va uchinchi energetik sathlariga ko'tariladi. Shu tariqa Frank va Gers tajribasi atomning turg'un holatlari haqidagi Bor postulatini isbotlab berdi va atomlarda diskret energetik sathlar mavjudligini bevosita tasdiqladi.

Bor nazariyasining yutuqlaridan yana biri shundan iboratki, uni

vodorodsimon atomlar, ya'ni yadroning zaryadi Ze bo'lgan, lekin tashqi

orbitasida bitagina elektron bo'lgan atomlarga, masalan He^+ , Li^{++} va

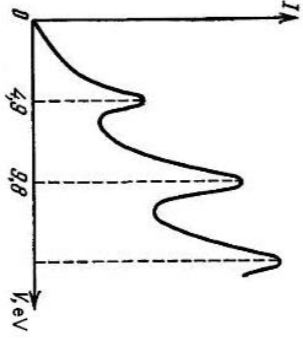
hokazolarga qo'llash mumkin. Ammo ko'pgina yutuqlarga qaramasdan

Bor nazariyasi ba'zi bir kamchiliklardan ham holi emas. Masalan,

asosiy muvaffaqiyatsizliklardan biri shundan iborat bo'ldiki, bu

nazariya vodorod atomidan keyingi atomlarni, ya'ni geliy atomining

qonuniyatlarini mutlaqo tushuntirib bera olmadi, ikkinchidan spektral



4-rasm. Frank-Gers tajribasidan olingan Volt-Amp'er xarakteristikasi.

Elektronlarning kinetik energiyasi

ortishi bilan tok ham orta boshlaydi,

lekin bu ortish elektronlarning

energiyasi $4,9$ eV qiymatigacha

davom etadi. Shunday so'ng tok

keskin kamayadi, chunki elektronlar

simob atomlari bilan to'qnashish

jarayonida ularning ichki holatini

va minimumlarga ega bo'ladi.

o'zgartirib, o'z energiyalarini yo'

qotadi, ya'ni noelastik to'qnashuv

ro'y beradi. Tajribaning ko'rsatishicha

tok qiymatlarining keskin kamayishi

Elektronning energiyasi $4,9$ eV ga karrali bo'lgan holda amalga oshadi.

Demak, simob atomini quyil energetik sathdan yuqori energetik sathga ko'tarish uchun $4,9$ eV energiya lozim ekan. Elektron faqat ma'lum energiyani simob atomiga beradi. Yuqoridagi tajribadan ma'lumki, $9,8$ eV va $14,7$ eV energiyalarda elektronlar mos ravishda simob atomining ikkinchi va uchinchi energetik sathlariga ko'tariladi. Shu tariqa Frank va Gers tajribasi atomning turg'un holatlari haqidagi Bor postulatini isbotlab berdi va atomlarda diskret energetik sathlar mavjudligini bevosita tasdiqladi.

Bor nazariyasining yutuqlaridan yana biri shundan iboratki, uni

vodorodsimon atomlar, ya'ni yadroning zaryadi Ze bo'lgan, lekin tashqi

orbitasida bitagina elektron bo'lgan atomlarga, masalan He^+ , Li^{++} va

hokazolarga qo'llash mumkin. Ammo ko'pgina yutuqlarga qaramasdan

Bor nazariyasi ba'zi bir kamchiliklardan ham holi emas. Masalan,

asosiy muvaffaqiyatsizliklardan biri shundan iborat bo'ldiki, bu

nazariya vodorod atomidan keyingi atomlarni, ya'ni geliy atomining

qonuniyatlarini mutlaqo tushuntirib bera olmadi, ikkinchidan spektral

1.4. Yorug'likning to'lqin - korpuskular dualizmi

Yuqoridagi aytilganlarga asosan, Plank o'zining yorug'lik mayda zarrachalardan iboratdir, degan tushunchasi bilan haq ekan degan fikr paydo bo'ladi. Ammo bu fikrni so'zsiz qabul qilinishiga yorug'likning to'lqin tabiatini tasdiqlovchi (uning interferensiya va diffraksiya hodisalariga bo'ysinishi haqidagi) ko'pgina tajribalar to'squinlik qiladi. Korpuskular va to'lqin nazariyalar naqadar zid ekanligini ko'rsatish uchun oddiy misol tariqasida ikki tirqish orqali hosil bo'lgan yorug'lik interferensiyasini ko'rib chiqaylik, ya'ni Yung tajribasini. Hisoblashni soddalashtirish maqsadida tirqishli ekran bilan fotoplastinka orasidagi masofani tirqishlar orasidagi masofaga nisbatan birmuncha katta deb hisoblaylik. Unda S_1 dan II fotoplastinkagacha va S_2 dan II fotoplastinkagacha bo'lgan r_1 va r_2 nurlar parallel nurlar deb hisoblanishi mumkin (garchi rasmda bu nurlar kesishsa ham, S_1 va S_2 orasidagi masofa I – tirqishli ekran va II – fotoplastinka orasidagi

Bu munosabat ko'rsatadiki, sochilish burchagi qancha katta bo'lsa, fotondan elektronga beriladigan impuls shuncha katta bo'ladi. Kompton formulasida sochilayotgan moddaning xarakteristikalari qatnashmaydi, bu esa biz ko'rgan holda Rentgen nurlarining sochilishi fotonlarning erkin elektronlar bilan o'zaro ta'siri orqali aniqlanishini ko'rsatadi. Sochilgan Rentgen nuri to'lqin uzunligining o'zgarishini energiya va impulsiga ega fotonlar asosida tushuntiriladi. Shunday qilib, Komptonning tajribalari yorug'lik kvanti - fotonda impulsning mavjudligini isbotlab beruvchi birinchi tajriba bo'ldi va impulsni haqiqatdan ham (1.10) formula orqali ifodalashini ko'rsatib berdi.

$$\Delta\lambda = \frac{4\pi h}{m_0 c} \sin^2 \frac{\theta}{2}. \quad (1.23)$$

kompton munosabati hosil qilindi:

Ifoda hosil bo'ladi. (1.22) formulada ω ni $2\pi/\lambda$ va ω' ni $2\pi/\lambda'$ orqali almashtirilsa, to'lqin uzunligining o'zgarishi topiladi va mashhur Kompton munosabati hosil qilindi:

$$\omega - \omega' = \frac{h}{m_0 c} \omega \omega' (1 - \cos \theta) \quad (1.22)$$

tenglama hosil bo'ladi. (1.21) tenglamadan (1.20) tenglama ayirilsa va soddamatematik amallar bajarilsa,

$$\psi(x, t) = C e^{i(\omega t - kx)} \quad (1.43)$$

(1.43) dagi $(\omega t - kx)$ kattalik to'lqin fazasini ifodalaydi. Ixtiyoriy

nuqtada faza aniq qiymatga ega, ya'ni

$$\alpha = \omega t - kx$$

Fazaning qiymati vaqt o'tishi bilan fazoda v tezlik bilan o'zgaradi.

Bu tezlikni hosil qilish maqsadida, avvalgi tenglik vaqt bo'yicha

differensiallanadi va

$$v = \frac{\omega}{k} \quad (1.44)$$

tenglik hosil bo'ladi. Bu tezlik **fazaviy tezlik** deyiladi.

Agarda v tezlikni k ga bog'liq desak, demak to'lqin uzunligiga

$(\lambda = 2\pi/k)$ ham bog'liq bo'ladi, bu holda to'lqin dispersiyasi o'rinlidir.

Elektromagnit to'lqinlardan farqli o'laroq, de-Broyl to'lqinlari uchun

bo'sh fazoda ham dispersiya hodisasi mavjuddir.

Nisbiylik nazariyasiga asosan

$$E = +\sqrt{m_0 c^4 + p^2 c^2} = m_0 c^2 + \frac{p^2}{2m_0} + \dots \quad (1.45)$$

m_0 - zarrachaning tinchlikdagi massasi. (1.45) ni (1.40) ga qo'yilsa,

$$\omega = \frac{m_0 c^2}{h} + \frac{p^2}{2m_0 h} + \dots$$

Ifoda hosil bo'ladi va $p = h k$ ekanini hisobga olsak,

$$\omega = \frac{m_0 c^2}{h} + \frac{h k^2}{2m_0} + \dots \quad (1.46)$$

natijaga kelinadi, demak $v = \omega/k$ k ning funksiyasi bo'lib, dispersiya mavjudligini isbotlaydi.

Endi to'lqin harakati bilan zarracha harakati orasidagi bog'lanishni

keltirib chiqaraylik. Buning uchun to'lqin paketi, yoki to'lqinlar guruhi

ko'rib chiqiladi. Zarrachaning bu holatini impulsilari bo'yicha o'zaro

kam farqlanuvchi de-Broyl to'lqinlarining yig'indisi orqali hosil

qilinadi. Eng soddabo'lgan bir o'lchovli to'lqin paketining ifodasi

quyidagi ko'rinishga ega:

masofadan ancha kichik bo'lsa, r_1 va r_2 ni o'zaro parallel deb qarash mumkin) va bu nurlar yo'llari ayrimasi taxminan $d \sin \varphi$ ga teng bo'ladi.

To'liqin nazariyasiga asosan, fotoplas-tinkaning yoritilganligi nurlarning kesish-gan nuqtadagi maksimumga erishishi uchun, bu nuqtalar uchun yo'llar ayrimasi λ to'liqin uzunligining butun soniga teng bo'lishi kerak (maksimumlar sharti):

$$d \sin \varphi = n\lambda = 2n \frac{\lambda}{2}, \quad (n = 0, \pm 1, \pm 2).$$

Bu formulaning fizik ma'nosi quyidagicha: φ burchaka mos bo'lgan nuqtaga birinchi va ikkinchi tirgishlardan nurlar bir xil fazada keladi va natijada ular bir-birini kuchaytiradi. Yo'llar ayrimasi to'liqin uzunligining yarim butun soniga teng bo'lgan yo'nalishlar uchun esa, nurlar ushbu nuqtaga qarama-qarshi faza bilan keladi va bir-birini so'ndiradi. Oqibatda bu nuqtalardan yoritilishning minimumi kuzatilishi kerak, burchak esa quyidagi tenglama orqali aniqlanadi:

$$d \sin \varphi = n\lambda = (2n+1) \frac{\lambda}{2} \quad (n = 0, \pm 1, \pm 2).$$

Shunday qilib, fotoplastinkada o'zaro almashingan yorug' va qorong'i chiziqli interferensiyalar manzara hosil bo'ladi. Tajribalarda haqiqatan ham xuddi shunday ko'rinish kuzatiladi, bu esa yorug'likning to'liqin tabiatini isbotlovchi dalildir. Bu yerda muhim bir narsani taqdimlash lozim: biz izohlagan interferensiyalar uchun bir vaqtning o'zida ikkita tirgish ishtirok etishi kerak. Agar bitta tirgish yopilsa, unda interferensiyalar manzara yo'qoladi va fotoplastinka bir tekis yoritiladi. Haqiqatda, agar foton bizning oddiy tushunchamizdagi zarracha bo'lsa, unda u bir vaqtning o'zida ikkita tirgishdan ham o'ta olmaydi. Faqat to'liqingina bir vaqtda ikkita tirgishdan o'tishi mumkin. Zarracha esa faqat tirgishlarning birovchasi orqali o'tadi. Shuning uchun, agar foton haqiqatda odatdagi zarracha bo'lsa, unda fotonlardan iborat bo'lgan yorug'lik hech qachon interferensiyalar manzarani hosil qila olmaydi, bu



Oradan o'n yil o'tgach de-Broyl g'oyalari ushbu nazariyani asoslab berdi. Uning fikricha atomdagi har bir elektronga turg'un to'liqin mos keladi. Bor nazariyasiga ko'ra elektronlar doiraviy orbitalar bo'ylab harakatlanganini uchun, de-Broylning fikricha, atomdagi elektronlarga doiraviy o'z-o'ziga tutashuvchi doiraviy turg'un to'liqinlar mos keladi. Mana shu tasdiqqa asoslangan holda Borming kvantlanish shartlari va ularidan kelib chiqadigan natijalar (avvalgi paragrafga qarang) to'la asoslanadi.

Shunday qilib, de-Broyl p impulsiga ega bo'lgan elektroni to'liqin uzunligi λ bilan bog'lash kerakligini ta'kidlaydi:

$$\lambda_e = \frac{h}{p} \quad (1.38)$$

Demak, energiyasi E va impuls p ga teng bo'lgan erkin harakatlannuvchi elektron de-Broyl yassi to'liqini bilan quyidagicha bog'langan:

$$\psi(\mathbf{r}, t) = C e^{i(\omega t - \mathbf{p}\mathbf{r})} \quad (1.39)$$

Zarrachalarning to'liqin hamda korpuskular xarakteristikalari orasidagi bog'lanishni fotonga xos bo'lgan ko'rinishiga ega deb qaraladi, ya'ni

$$E = \hbar \omega \quad (1.40)$$

$$p = \hbar k \quad (1.41)$$

bo'ladi. Ushbu tenglamalar de-Broylning asosiy tenglamalari deb yuritiladi.

(1.40) va (1.41) tenglamalardan $\omega = \frac{E}{\hbar}$ va $k = \frac{p}{\hbar}$ larni aniqlab, (1.39) tenglamaga qo'yilsa,

$$\psi(\mathbf{r}, t) = C e^{\frac{i}{\hbar}(Et - \mathbf{p}\mathbf{r})} \quad (1.42)$$

de-Broyl to'liqini hosil bo'ladi.

Endi (1.39) to'liqin va zarracha harakatining mexanik qonunlar bilan bog'lanishini ko'rsataylik. Ushbu bog'lanish yaqqol namoyon bo'lishi uchun bitta yo'nalish tanlab olinsin, masalan OX yo'nalishini, va bu yo'nalishda to'liqin harakatlansin. U holda (1.39) o'rniga quyidagi ifoda hosil bo'ladi:

esa yuqorida keltirilgan tajriba natijalariga ziddir. Aynan shu holat korpuskular nazariyaga qarshi asosiy dalil bo'lib xizmat qildi.

Ba'zi olimlar korpuskular nazariyani o'ylash maqsadida interferensiyalar manzarani paydo bo'lishini tushuntirishga harakat qildilar va uni shunday ta'rifladilar: oddiy yorug'likda juda ko'p fotonlar qatnashadi va ularning zichligi katta bo'lganligi uchun bir-biriga ta'sir qilishi mumkin, qandaydir murakkab o'zaro ta'sir mexanizmi natijasida esa yorug'lik bir vaqtda ikkita tirgishni sezadi va o'zini to'liqin kabi tutadi. Agar bu fikr to'g'ri bo'lsa, unda nurlanish juda kichik intensivlikka ega bo'lgan holda, ya'ni fotonlarning zichligi juda kichik miqdorga ega bo'lganda, fotonlarning o'zaro ta'siri juda ham kam bo'lishi kerak va shuning uchun interferensiyalar manzara yo'qolishi kerak. Ammo, o'tkazilgan tajribalar shuni ko'rsatdiki, yorug'likning intensivligi har qancha kichraytirilsa ham, baribir interferensiyalar manzara yo'qolmaydi. Faqat interferensiyalar manzarani aniq kuzatish uchun nurlanish vaqtini (ekspozitsiya vaqtini) cho'zish kerak bo'ladi. Demak, interferensiyalar manzarani fotonlarning o'zaro ta'siri orqali paydo bo'ladi deb tushuntirish yo'lidagi urinishlar asossiz ekan.

Shunday qilib, fotonlarning har biri bir vaqtning o'zida ikkita tirgishni sezib, ular orqali to'liqin kabi o'tadi, degan birdan bir hulosaga kelamiz. Lekin ayrim foton bog'langan bu to'liqin juda ham g'ayritabiiy bo'lishi kerak. Biz bilamizki, foton fotoplastinka bilan to'qnashganida uning yuzasida nuqta ko'rinishida iz qoldirib o'zini to'liqin emas, balki zarracha sifatida namoyon qiladi. Faqat fotoplastinkaga tushgan fotonlarning soni ko'paygandagina (ekspozitsiya vaqti cho'zilganda) ularning izlari tutashib, interferensiyalar manzarani hosil qiladi. Bundan yana bir xulosa chiqarish mumkin: biz ko'rayotgan to'liqin ayrim foton bilan bog'langan bo'lsa ham, ammo negadir u o'zini namoyon qilishi uchun ko'pgina bir-biriga bog'lanmagan fotonlar ishtirok etishini talab qilgan ekan. Shuning uchun ayrim fotonga oid bo'lgan to'liqin elektromagnit to'liqin bo'la olmaydi, chunki elektromagnit to'liqin bo'lganida u yakka foton holda ham interferensiyalar manzara hosil qiladi. Bu to'liqin bevosita fizik mazmunga ega bo'la olmaydi, chunki har qanday fizik to'liqin davomiylikka ega bo'lib, fotoplastinka atomlariga bir vaqtning o'zida uning ko'p yerlarida uzluksiz ravishda ta'sir qilgan bo'lardi. Bu ajoiib

korpuskular nazariyaga qarshi asosiy dalil bo'lib xizmat qildi.

1.6. Zarrachalarning to'liqin tabiati. De-Broyl g'oyasi

Avvalgi paragraflardan ma'lum bo'ldiki, Plank va Eynshteynlarning urinishlari tufayli yorug'lik fotonlardan iborat, degan tushuncha paydo bo'ldi, bu tushuncha absolut qora jismining nurlanish spektrini, fotofekt va Kompton effektini tushuntirishda yordam berdi.

Plank g'oyasiga asosan yorug'lik to'liqini v chastotaga va k to'liqin vektoriga ega bo'lsa, unda uni tashkil qilgan fotonlarning har biri ushbu energiyaga va p impulsiga ega bo'lishi kerak:—

$$\varepsilon = \hbar \omega = \hbar \omega \quad (1.36)$$

$$p = \hbar k \quad (1.37)$$

(1.36) va (1.37) formulalardan ko'rinib turibdiki, foton ikki xil xarakteristikaga egadir, ya'ni ω, k — to'liqinni ifodalovchi kattaliklar va ε, p — korpuskulani ifodalovchi kattaliklar.

Fotonning to'liqin xarakteristikalari uning interferensiyalanish va difraksiyalanish qobiliyatiga ega bo'lishini ko'rsatadi. Korpuskular xarakteristikalari esa fotonga zarracha sifatida qarash mumkinligini bildiradi. Bu ikki xil xarakteristikalar Plank doimiyi h orqali o'zaro bog'langan.

1923-yilda Lui de-Broyl kvant nazariyasini rivojlantirish uchun muhim qadam qo'ydi. U tabiatdagi simmetriyaga asoslanib, agar yorug'lik, jumladan fotonlar to'liqin xususiyatidan tashqari korpuskular xususiyatlarini ham namoyon qilgan ekan, zarrachalar ham korpuskular xususiyatlar bilan bir qatorda to'liqin xususiyatlariga ham ega bo'lishi kerak degan g'oyani ilgari surdi.

Avvalgi paragrafda vodorod atomi nurlanishi spektrini tushuntirish uchun N. Bor tomonidan kiritilgan postulatlardan haqida fikr yuritgan edik.

Demak, interferensiyon hadning ishorasi boshlang'ich fazalar farqi bilan bog'liqdir. Yuqorida keltirilgan eslatmalardan so'ng biz endi muhim tasdiqni qabul qilishga tayyormiz. Ma'lumki, zarrachalarga interferensiya va difraksiya hodisalari xosdir, shunday ekan ularga mos keluvchi de-Broyl to'lqinlari ham superpozitsiya prinsipi bo'yisunishi shart. Ammo superpozitsiya prinsipi de-Broyl va fizik to'lqinlar uchun matematik o'xshashlikka ega bo'lsada, lekin fizik ma'nosi bilan farq qiladi.

Demak, interferensiyon hadning ishorasi boshlang'ich fazalar farqi bilan bog'liqdir. Yuqorida keltirilgan eslatmalardan so'ng biz endi muhim tasdiqni qabul qilishga tayyormiz. Ma'lumki, zarrachalarga interferensiya va difraksiya hodisalari xosdir, shunday ekan ularga mos keluvchi de-Broyl to'lqinlari ham superpozitsiya prinsipi bo'yisunishi shart. Ammo superpozitsiya prinsipi de-Broyl va fizik to'lqinlar uchun matematik o'xshashlikka ega bo'lsada, lekin fizik ma'nosi bilan farq qiladi.

$$|\psi(r,t)|^2 = |\psi_1(r,t)|^2 + |\psi_2(r,t)|^2 + 2\text{Re}\psi_1^*(r,t)\psi_2(r,t).$$

Ko'ryapamizki, to'lqinlar yig'indisining intensivligi faqat qo'shiluvchi ikkala to'lqinlarning intensivliklaridan iborat bo'lmay, balki $2\text{Re}\psi_1^*\psi_2$ bilan ifodalangan qo'shimcha hadni ham o'z ichiga oladi. Bu qo'shimcha had interferensiyon had deb ataladi, chunki u tufayligina interferensiyon hodisa mavjud. Masalan, bir xil intensivlikka ega bo'lgan ikki to'lqin qo'shlganda, ular ikki barobar katta intensivlikka ega bo'lgan natijaviy to'lqinni hosil qilmay, balki interferensiyon hadning ishorasiga qarab ular bir-birini yoki so'ndiradi, yoki kuchaytiradi. Qizig'i shundaki, ular bir-birini maksimal kuchaytirgan holda natijaviy intensivlik kutilgan ikki mara o'rta marotaba kuchayar ekan.

Ushbu to'lqinni intensivligini topaylik:

$$\psi(r,t) = \psi_1(r,t) + \psi_2(r,t).$$

to'lqinlarning yig'indisidan iborat bo'lgan $\psi(r,t)$ to'lqin berilgan bo'lsin:

qo'shila olishligi bevosita Maksvell tenglamalarining chiziqchiligidan kelib chiqadi. Ma'lumki, tenglamaning chiziqchiligi quyidagi ma'noli anglatadi: agar tenglamaning qandaydir yechimlari mavjud bo'lsa, ularning istalgan chiziqli kombinatsiyasi ham shu tenglamaning yechimi bo'ladi. Fizikada bu tasdiq superpozitsiya prinsipi sifatida ma'lumdur: tabiatda qandaydir yorug'lik to'lqinlari alohida holda mavjud ekan, unda albatta ularning yig'indisiga mos keluvchi to'lqin ham mavjud bo'lishi kerak. Aynan mana shu superpozitsiya prinsipi tufayli ikki tirgishli ekran orgasida hosil bo'lgan to'lqinni har bir tirgishdan alohida sochilgan to'lqinlar yig'indisidir deb qaray olamiz. Shu narsaga ahamiyat berish kerakki, to'lqinlar qo'shliganda ularning intensivliklari oddiygina qo'shilmaydi. Buni to'lqinlarga oid bo'lgan kompleks ifodani qo'llash orqali aniq ko'rish mumkin. Masalan, $\psi_1(r,t)$ va $\psi_2(r,t)$ to'lqinlarning yig'indisidan iborat bo'lgan $\psi(r,t)$ to'lqin berilgan bo'lsin:

$$\alpha(x,t) = \left[x - \left(\frac{d\omega}{dk} \right)_k \right]_t \Delta k = 0 \quad (1.51)$$

formula orqali aniqlanadi. (1.46) ga asosanib v_{gr} hisoblasak,

$$v_{gr} = \frac{\hbar k}{m_0}$$

hamda $p = \hbar k$, $p = m_0 v$ ni eslasak, v -zarracha tezligi,

$$v_{gr} = v \quad (1.52)$$

degan ajoyib xulosaga kelinadi, ya'ni de-Broyl to'lqinining v_{gr} gruppaviy tezligi zarrachaning v mexanik tezligiga teng bo'ladi. Shunday qilib, to'lqin paketi ajoyib xususiyatlarga ega ekan: u klassik zarracha kabi fazoviy cheklanishga ega bo'lgan tuzilma bo'lib, $v_{gr} = \frac{p}{m}$ tezlik bilan harakatlanar ekan va shu vaqtning o'zida $k = \frac{p}{\hbar}$ to'lqin xarakteristikalariga ega bo'lar ekan.

Ikki hol uchun de-Broyl to'lqin uzunliklarini hisoblaylik. (1.41) dan ma'lumki, $\lambda = \frac{2\pi}{k} = \frac{2\pi\hbar}{p}$ kelib chiqadi, $v \ll c$ kichik tezliklar bilan cheklanilisa va $E = \frac{p^2}{2m_0}$ tenglikdan foydalanilisa, quyidagi formula hosil bo'ladi:

$$\lambda = \frac{2\pi\hbar}{\sqrt{2m_0 E}}. \quad (1.53)$$

Zarrachaning massasi va energiyasi ma'lum bo'lgan holda zarrachaning to'lqin uzunligini hisoblash mumkin. Olingan (1.53) formulani elektron uchun qo'llaymiz. Odatda, elementar zarralar



Demak, klassik fizika bilan hech qanday umumiylikka ega bo'lmagan quyidagi tasavvurga egamiz: zarracha shunday holatlarda bo'lishi mumkin, uni aniq fizik kattaliklar bilan ifodalash mumkin emas.

$$|\psi(r,t)|^2 = |A|^2 = \text{const}$$

Ushbu holatda, zarracha aniq impuls va energiyaga ega bo'lsa ham, biz uning koordinatalari haqida aniq bir ma'lumotga ega emasiz. Haqiqatan ham, zarracha bu holatda fazoning istalgan qisminida bir xil topilish ehtimoliga egadir, chunki

$$\psi(r,t) = A \exp\left[\frac{i}{\hbar}(pr - Et)\right].$$

Ahamiyat beraylik, zarrachaning bu holati endi aniq impuls va aniq energiyaga ega emas. Klassik fizikaga asosan bunday bo'lishi mutlaqo mumkin emas. Haqiqatan ham, klassik fizikaga binoan zarracha vaqtning har qanday momentida qandaydir aniq impuls va energiyaga ega. Ammo tajribalar bizni superpozitsiya prinsipi tan olishni taqozo qilar ekan, u holda zarrachani klassik fizika uchun yo'q bo'lgan bu holatlarini mavjudligini ham qabul qilish lozim. Ushbu g'ayritabiiy holni ilgariroq, ya'ni de-Broyl to'lqinlarning ehtimoliy talqinini ko'rgan vaqtda anglash lozim edi. Yana bir mara de-Broyl yassi to'lqinni diqqat bilan ko'rib chiqaylik:

$$A \exp\left[\frac{i}{\hbar}(pr - Et)\right] + B \exp\left[\frac{i}{\hbar}(p'r - E't)\right].$$

aniq $p = \hbar k$ impuls va $E = \hbar\omega$ energiyaga ega bo'lgan zarracha holatiga mosdir.

Zarracha uchun superpozitsiya prinsipini qabul qilinishining o'zi, zarrachalar holati haqidagi klassik tushunchamizni o'zgartirishga majbur qiladi. Masalan, superpozitsiya prinsipi asosan, tabiatda har xil energiya va impulsi de-Broyl yassi to'lqinlarining yig'indisidan iborat bo'lgan de-Broyl to'lqiniga mos keluvchi holat amalga oshishi mumkin:

$$A \exp[i(kr - \omega t)]$$

aniq $p = \hbar k$ impuls va $E = \hbar\omega$ energiyaga ega bo'lgan zarracha holatiga mosdir.

Zarracha uchun superpozitsiya prinsipini qabul qilinishining o'zi, zarrachalar holati haqidagi klassik tushunchamizni o'zgartirishga majbur qiladi. Masalan, superpozitsiya prinsipi asosan, tabiatda har xil energiya va impulsi de-Broyl yassi to'lqinlarining yig'indisidan iborat bo'lgan de-Broyl to'lqiniga mos keluvchi holat amalga oshishi mumkin:

Fizik to'lqinlar o'zi tarqalayotgan muhitning holatini (akustik to'lqinlar, suvdagi to'lqinlar va hokazo), yoki qandaydir maydon holatini (elektromagnit to'lqinlar, gravitatsion to'lqinlar) belgilaydi. Xo'sh, de-Broyl to'lqinlari esa nimaning holatini belgilay ekan? Modomiki, de-Broyl to'lqini ayrim zarrachaga xos ekan, u faqat shu zarrachaning holatini aniqlashga munosibdir. Masalan, de-Broyl yassi to'lqini

$$\bar{x} = \frac{\int x \cdot p \cdot N(x) dx}{\int p \cdot N(x) dx} \quad (1.82)$$

Demak, r ga bog'liq funksiya bilan ifodalunuvchi har qanday fizik kattalikning o'rtacha qiymati quyidagicha ifodalanadi:

$$\bar{F}(r) = \int \int F(r) \cdot |\psi^*(r,t) \cdot \psi(r,t)|^2 dr \quad (1.83)$$

Shunga binoan impulsning funksiyasi bo'la oluvchi har qanday fizik kattalikning o'rtacha qiymati quyidagi formula orqali hisoblanishi mumkin:

$$\bar{F}(p) = \int F(p) \cdot \varphi(p) \cdot \varphi^*(p) dp \quad (1.84)$$

Ko'rinib turibdiki, agar fizik kattalik impulsning funksiyasi ekanligini bevosita $\psi(r,t)$ funksiya orqali ifodalamoqchi bo'linsa, bir muncha murakkab ifoda hosil bo'ladi. Vaholangki, bunday kattaliklarni yozish uchun Fur'e almashtirishlar nazariyasidan kelib chiqqan soddada usul mavjud:

$$\bar{F}(r) = \int \psi^*(r,t) F \left(-i\hbar \frac{\partial}{\partial r} \right) \cdot \psi(r,t) dr \quad (1.85)$$

Formuladagi $F \left(-i\hbar \frac{\partial}{\partial r} \right)$ belgining ma'nosi quyidagi misollarda

$$\begin{aligned} \bar{p}_x &= \int \varphi^*(p,t) p_x \varphi(p,t) dp = \int \psi^*(r,t) \left(-i\hbar \frac{\partial}{\partial x} \right) \cdot \psi(r,t) dr = \\ &= -i\hbar \int \psi^*(r,t) \frac{\partial \psi(r,t)}{\partial x} dr \end{aligned} \quad (1.86)$$

ko'rinadi:

$$\begin{aligned} \bar{p}_x^2 &= \int \varphi^*(p,t) p_x^2 \varphi(p,t) dp = \int \psi^*(r,t) \left(-i\hbar \frac{\partial}{\partial x} \right)^2 \cdot \psi(r,t) dr = \\ &= (-i\hbar)^2 \int \psi^*(r,t) \frac{\partial^2 \psi(r,t)}{\partial x^2} dr \end{aligned}$$

Demak, $F(p)$ funksianing ifodasidagi p lar o'rninga $\left(-i\hbar \frac{\partial}{\partial r} \right)$

qo'yilisa, unda $F \left(-i\hbar \frac{\partial}{\partial r} \right)$ olinar ekan.

Ammo fizik kattaliklarning tajribada olingan qiymatlari, ularning o'rtacha qiymatlaridan keskin farq qilishi mumkin. Bu chetlanishlar

1.9. Superpozitsiya prinsipi

Endi kvant nazariyasini tuzishda muhim ahamiyatga ega bo'lgan bir masalani hal qilishga o'taylik. Optika kursidan ma'lumki, difraksiya va interferensiya hodisalari to'liqlarning qo'shilishi, ya'ni ularning superpozitsiyasi bilan bog'liqdir. Matematik jihatdan to'liqlarning

$$\psi(\mathbf{r}, t) = A \exp\left[\frac{i}{\hbar}(\mathbf{pr} - Et)\right].$$

Bu holda integralning uzoqlashishi aniqdir:

$$\int |\psi(\mathbf{r}, t)|^2 dV = |A|^2 \int dV = \infty.$$

Shuni aytish kerakki, de-Broyling yassi to'liqni ideal aniq impulsga ega bo'lgan zarrachaga xos. Haqiqatda esa zarracha impulsi kichkina bo'lsa ham noaniqlikka ega. Lekin shunga qaramay, de-Broyl to'liqni fazoda cheklanadi, ya'ni to'liqin paketiga aylanadi va integral yaqinlashadi.

$$\int |\psi(\mathbf{r}, t)|^2 dV = 1. \quad (1.62)$$

Ushbu shart normallash sharti deb ataladi va bu shartni qanoatlantiruvchi ψ funksiya esa normallashgan funksiya hisoblanadi. Odatda, fizik jihatdan real bo'lgan sharoitlarda zarrachaning harakati doimo cheklangan sohada sodir bo'ladi, shuning uchun (1.62) integral yaqinlashuvchidir, bu vaziyatda esa normallash shartini doimo amalga oshirish mumkin. Ammo juda ko'p hollarda ideallashtirilgan funksiyalardan foydalanish qulayroqdir, lekin ular uchun (1.61) dagi integral uzoqlashadi va natijada normallash sharti bajarilmaydi. Misol qilib de-Broyl yassi to'liqini olish mumkin:

$$w(V, t) P(\mathbf{r}, t) \int_V d\mathbf{w} = \int_V d\mathbf{w} (t, t) \quad (1.61)$$

Agar cheksiz hajm bo'ylab integrallansa, zarrachani biror yerda joylashganlik ehtimoliga ega bo'lamiz. Zarracha, albatta, fazoning biror yerida mavjuddir va shuning uchun ham bu muqarrar hodisadir. Matematikada (ehtimollar nazariyasida) muqarrar hodisaning ehtimoliligini birga teng deb hisoblash kelishilgan. Demak, bu kelishuvga binoan

energiyasi elektron-Voltlarda, ya'ni $E = eV$ formula orqali hisoblanadi. Bunda e – elektron zaryadi, V esa voltlarda o'lgangan elektroni tezlashitiruvchi potentsiallar farqi. Elektronning massasi $m_0 = 9,1 \cdot 10^{-31}$ g ga teng ekanligi hisobga olinsa, u holda quyidagi formula olinadi.

$$\lambda = \frac{2\pi h}{\sqrt{2m_0 eV}} = \sqrt{\frac{150}{V}} \text{ \AA}. \quad (1.54)$$

Misol uchun $V = 1eV$ bo'lganida $\lambda = 12,2 \text{ \AA}$ qiymatiga teng bo'ladi, $V = 10000 eV$ bo'lganida esa $\lambda = 0,122 \text{ \AA}$ bo'ladi. $E = 6 \cdot 10^{14} eV$ energiyaga ega bo'lgan vodorod molekulasining to'liqin uzunligini hisoblab chiqaylik. Molekula massasi $m = 2 \cdot 166 \cdot 10^{-24}$ g ga teng. Bu kattaliklar (1.53) formulaga qo'yilsa, de-Broyl to'liqin uzunligi $\lambda = 1 \text{ \AA}$ ekanligi aniqlanadi. Yuqoridagi olingan natijalardan ko'rinish turibdiki, de-Broylni to'liqin uzunligi juda kichik qiymatarga ega bo'ladi. Zarrachaning energiyasi va massasi qancha katta bo'lsa, uning to'liqin uzunligi shuncha kichik bo'ladi. Zarrachaning to'liqin xususiyatlarini kuzatish uchun de-Broylni to'liqin uzunligi tartibida bo'ladigan atom masshtabidagi obyektlarni olish kerak.

De-Broyl g'oyasi juda tez vaqt ichida tajriba orqali tasdiqlandi. Zarrachalar uchun yorug'lik yoki rentgen nurlari kabi interferensiya va difraksiya hodisalarini kuzatish lozim bo'ldi. 1927-yilda Devisson va Jermer tomonidan birinchi bo'lib kristalllarda elektronlarning difraksiyasini kuzatish tajribasi taklif etildi. Ular bu tajribalarda elektronlarning sochilishini o'rgandilar. Tajribadagi elektronlar katta energiyaga ega bo'lmaganligi uchun, ular kristall ichiga chuqur kira olmay, asosan uning sirt yuzasidan sochilardi. Kristall yuzasi tabiiy difraksiyon panjaradan iborat bo'lganligi sababli elektronlarning bu sochilishi de-Broyl to'liqini difraksiyasining natijasidir, deb qaraldi. Shunday ekan, o'tkazilgan tajriba natijalari optikadagi yorug'lik difraksiyasi natijalari bilan bir xil bo'ladi deb kutilgan edi.

Optikadan ma'lumki, difraksiyaning maksimal intensivlikka ega bo'lgan burchaklari (θ) quyidagi shartni qanoatlantirishi lozim:

$$d \sin \theta = n \lambda \quad (1.55)$$

Devisson–Jermer tajribasida d – kristall panjara doimiyi, λ – elektronning de-Broyl to'liqin uzunligi bo'lib, (1.54) formula orqali topiladi.

$$\psi(\mathbf{r}, t) = \int f(\mathbf{p}) \exp\left[\frac{i}{\hbar}(\mathbf{pr} - Et)\right] d\mathbf{p}. \quad (1.63)$$

Uni quyidagicha ifodalash mumkin:

1.10. Impulsning topilish ehtimolligi

Oldingi paragraflarda to'liqin paketi harakati bilan tanishgan edik. Uni quyidagicha ifodalash mumkin:

$$\psi(\mathbf{r}, t) = \int f(\mathbf{p}) \exp\left[\frac{i}{\hbar}(\mathbf{pr} - Et)\right] d\mathbf{p}$$

(bunda va bundan keyin ham quyidagicha qisqacha belgilashdan foydalaniladi: $d\mathbf{p} = dp_x dp_y dp_z$.)

$$\psi = C_1 \psi_1 + C_2 \psi_2 + C_3 \psi_3 + \dots + C_n \psi_n.$$

Agar yig'indiga (superpozitsiyaga) kiruvchi holatlar bir-biridan cheksiz kichiklik bilan farq qilsa, unda biz yig'indi o'rniga integralga ega bo'linadi. Masalan:

bilan ifodalangan har qanday holatda ham bo'la oladi (bunda c_1 va c_2 ixtiyoriy kompleks sonlar). Demak, ko'rinish turibdiki, agar zarracha $\psi_1, \psi_2, \dots, \psi_n$ to'liqin funksiyalariga mos bir qancha holatlarga ega bo'lsa, unda superpozitsiya prinsipiga binoan zarrachaga murakkab holatlar ham xosdir:

$$\psi(\mathbf{r}, t) = c_1 \psi_1(\mathbf{r}, t) + c_2 \psi_2(\mathbf{r}, t)$$

Yuqorida aytilganlar hisobga olinsa, kvant nazariyasidagi superpozitsiya prinsipini ifodalash mumkin: agar zarracha ψ_1 to'liqin funksiyasiga mos holatda ψ_2 to'liqin funksiyasiga mos holatda bo'la olsa, unda u mos holatda bo'la olsa, unda u

Yuqorida aytilganlar hisobga olinsa, kvant nazariyasidagi superpozitsiya prinsipini ifodalash mumkin: agar zarracha ψ_1 to'liqin funksiyasiga mos holatda ψ_2 to'liqin funksiyasiga mos holatda bo'la olsa, unda u mos holatda bo'la olsa, unda u

bilan birga $\Pi(\mathbf{p}) = |\varphi(\mathbf{p}, t)|^2$ impulslar bo'yicha ehtimollik taqsimotini ham aniqlashga imkon beradi ((1.73) ifodaga asosan).

Shuni ta'kidlash lozimki, kvant nazariyasi klassik mexanikadan farqli ravishda, bo'lajak voqealarni aniq aytib bera olmay, balki ularning amalga oshishi ehtimolligini ko'rsatadi. Bu esa kvant nazariyasidagi oldindan aytilgan narsalarni aniqligini tekshirish uchun juda ko'p marta tajribalar o'tkazish lozimligini bildiradi. Ammo bitta zarracha bilan qayta-qayta tajriba o'tkazish real bo'lmagan masaladir, chunki mikroobyekt ustida o'tkazilgan har bir o'lchov uning holatini o'zgartiradi. Shunga ko'ra, ko'p marta bir xil tajribalar o'tkazish uchun bir xil holatdagi bir-biriga bog'liq bo'lmagan va bir xil to'liqin funksiyasi bilan tavsiflanagan ko'p miqdordagi aylan o'xshash zarrachalar bo'lishi kerak. Zarrachalarning bunday to'plamini *zarrachalar ansambli* deyiladi. Ansambl yordamida ehtimollik haqidagi tushunchaga real ma'no berish mumkin. Masalan, r nuqta atrofidagi zarrachani topilish ehtimolligi $|\varphi(\mathbf{r}, t)|^2$ ga teng, N zarrachali ansambldagi ehtimollik esa,

$$dN(\mathbf{r}, t) = N \cdot |\varphi(\mathbf{r}, t)|^2 d\mathbf{r} \quad (1.79)$$

ga teng bo'lib, zarrachalar soni r nuqta atrofidagi $d\mathbf{r} = dx dy dz$ hajm ichida topilishini anglatadi. Agar zarrachalarning impulsi o'lanayotgan bo'lsa, unda impuls fazoning \mathbf{p} nuqtasi atrofidagi $d\mathbf{p}$ element hajm ichida topiladigan zarrachalar soni

$$dN(\mathbf{p}, t) = N \cdot |\varphi(\mathbf{p}, t)|^2 d\mathbf{p} \quad (1.80)$$

ga teng bo'ladi. Shuni aytish kerakki, ushu formuladagi N qancha katta bo'lsa, formulalarning ma'nosi shuncha to'liq aniqlikka ega bo'ladi.

Ansambli yordamida $\varphi(\mathbf{r}, t)$ holatdagi biron-bir fizik kattalikning o'racha qiymatiga ham real ma'no berish mumkin. Masalan,

$$\int x \cdot |\varphi(\mathbf{r}, t)|^2 d\mathbf{r} \quad (1.81)$$

ifodani ko'rib chiqaylik. Bu ifodaning kattaligi ansamblning hamma zarrachalar bo'yicha o'rachalashtirilgan "x" koordinatasiga teng ekanligini tushunish qiyin emas. Haqiqatan ham (1.81) formulada binoan

kattalikka ega bo'ladi va quyidagi integralga teng bo'lishi lozim:

$$P(r, t) = \frac{dW}{dV} = |\psi(r, t)|^2 \quad (1.60)$$

Quyidagi kattalik esa

$$dW(r, t) = |\psi(r, t)|^2 dx \cdot dy \cdot dz = |\psi(r, t)|^2 dV. \quad (1.59)$$

unda dW (cheksiz kichik miqdor) zarrachaning t vaqt momentida nuqta atrofidagi dV elementar hajmda joylashish ehtimolligini bildiradi.

1.8. Koordinatani aniqlash ehtimolligi

Shu narsaga ahamiyat berish lozimki, zarrachaning $r(x, y, z)$ nuqta atrofida topilish ehtimolligi biz tanlagan sohaning kattaligi bilan bog'liqdir. Cheksiz kichik sohani ko'ra boshlaganimizda, ya'ni $x, x+dx; y, y+dy; z, z+dz$ biz ψ ni shu soha ichida doimiy deb hisoblasak bo'ladi va u holda zarrachaning topilish ehtimolligini faqat shu sohaning kattaligiga proporsional deb hisoblash mumkin. Unda (1.58) ni quyidagicha yozgan afzalroqdir:

$$\psi(x, t) = \int_{-\infty}^{\infty} f(p) \exp\left[\frac{i}{\hbar}(px - Et)\right] dp. \quad (1.64)$$

Faraz qilaylik, to'liqin paketi difraksion panjaraga normal to'shayotgan bo'lsin, u keyinchalik qanday o'zgaradi? Ma'lumki, aniq p impulsiga ega bo'lgan de-Broyl to'liqini aniq $k = \frac{p}{\hbar}$ to'liqin soniga va

$$\sin\theta = \frac{n\lambda}{d} = \frac{2\pi\hbar \cdot n}{p \cdot d} \quad (1.65)$$

bunda d – panjara chiziqdagi orasidagi masofa, n – maksimumlar soni. Bu yonalishlarda sochilgan to'liqin intensivliklariga mos keluvchi de-Broyl to'liqini esa $|f(p)|^2$ amplitudasi modulining kvadratiga proporsional bo'ladi. Natijada to'liqin paketi panjaradan o'tgach, yelpig'ich kabi yoyiladi va uning intensivligining burchak taqsimoti quyidagicha bo'ladi:

$$I(\theta) \approx |f(p)|^2 = \left| \int_{-\infty}^{\infty} \left(\frac{2\pi\hbar \cdot n}{\sin\theta \cdot d} \right) \right|^2. \quad (1.66)$$

Bu yerda (1.65) formuladan kelib chiquvchi impuls va maksimal difraksiya burchagi orasidagi bog'lanishdan foydalanildi:

$$p = \frac{2\pi\hbar \cdot n}{\sin\theta \cdot d} \quad (1.67)$$

(1.66) formulaga aniqlik kiritish maqsadida, turli tartibdagi maksimumlar o'zaro bir-birini qoplamaydi, ya'ni tushayotgan to'liqin paketida impuls tarqoqligi yetarli darajada kichik boladi, deb taxmin qilaylik. Masalan, juda kichik burchaklar uchun $n=1$ bo'ladi. Statistik talqingga binoan $I(\theta)$ – boshlang'ich holatdagi to'liqin paketi yordamida ifodalangan zarrachaning θ burchakka sochilish ehtimoligidir.

Barcha λ va d lar ma'lum ekan, u holda yuqoridagi (1.55) formula asosida maksimal difraksiya burchaklarini nazariy jihatdan oldindan aytib berish mumkin:

$$\theta = \arcsin \frac{\hbar\lambda}{d}. \quad (1.56)$$

Agar (1.54) va (1.55) formulalarga birgalikda amal qilinsa, quyidagi munosabatni olish mumkin

$$\sqrt{V} \sin\theta = \text{const}. \quad (1.57)$$

Bu formuladan ko'rinib turibdiki, tezlatuvchi potensialni o'zgartirilsa maksimal difraksiya burchaklari ham o'zgarar ekan. Devisson–Jermer tajribalarida o'tkazilgan o'lchash natijalari nazariy olingan (1.56) va (1.57) formulalarga to'liq mos keladi va o'z navbatida de-Broyl g'oyalari haqqoniy ekanligini tasdiqlaydi.

Shunday qilib, fotonga xos bo'lgan to'liqin-korpuskular dualizm har qanday mikroobyektlarga ham xos ekanligiga ishonch hosil qildik.

1.7. De-Broyl to'liqlarining fizik ma'nosi

Endi de-Broyl to'liqining fizik ma'nosini aniqlashga o'tamiz. Avvalo to'liqin va zarracha o'rtasidagi asosiy farqni eslatib o'taylik. Ma'lumki, to'liqin qandaydir davomiylikka ega va o'zini bir vaqtda fazoning turli yerlarida namoyon qila oladi. Zarracha esa aniq bir vaqt momentida faqatgina bir yerda oshkor bo'la oladi. Aynan shuning uchun Plank, Eynshteyn va de-Broyl g'oyalari tajriba natijalarini tushuntirgan bo'lsa ham, avvaliga bu g'oyalarda qandaydir ichki qarama-qarshilik mavjuddek tuyuladi. Misol tariqasida ko'rilgan 1.4-paragrafdagi yorug'likning ikki tirqishdagi difraksiyasini batafsil tahlil qilaylik. Ma'lumki, ikki tirqishli ekrandan o'tgan yorug'lik uning orqasiga qo'yilgan fotoplastinkada interferensiyalar manzarani hosil qiladi: fotoplastinkada maksimum va minimumlarning almashinuvi kuzatiladi. Bu tajribada yorug'likning to'liqin tabiati haqida ikki dalilga egamiz:

1. Fotoplastinkaning turli yerlari bir vaqtda uzluksiz ravishda qorayishi.
2. Yorug'likning to'liqin deb qarovchi nazariya asosida kelib chiqqan formulalarga interferensiyalar manzarani aynan mos kelishi.

natijada de-Broyl to'liqini tutgan ehtimoliy informatsiya interferension ustidagi tajribani ko'p marta mustaqil ravishda takrorlagan bo'lamiz, bir necha bor mustaqil holda takrorlanishini taqozo qiladi: tajribalar qancha ko'p takrorlansa ehtimollik qonunlarining bajarilishi shuncha aniq bo'ladi. Misol tariqasida "chikka va pukka" deb ataluvchi o'yinni olaylik (tangani havoga o'tib o'ynash): biz bilimizki, tangani havoda otgan vaqtimizda uning raqamli va raqamsiz (gerbli) tomonlarining tushish ehtimoli bir xil, albatta bu qonuniyat tanga juda ko'p marta otilganagina o'zini namoyon qiladi. Yuqoridagi ko'rgan tajribamizda esa tirqishlardan o'tgan fotonni fotoplastinkaning biron nuqtasiga tushish ehtimoli shu nuqtadagi de-Broyl to'liqini intensivligi bilan aniqlanadi va shuning uchun uning fotoplastinkadagi taqsimlanishi interferentsiya qonuniga bo'ysunadi. Biz tirqishlar orqali katta vaqt oralig'ida ketma-ket fotonlarni yuborgan chog'da, go'yoki yakka foton ustidagi tajribani ko'p marta mustaqil ravishda takrorlagan bo'lamiz, natijada de-Broyl to'liqini tutgan ehtimoliy informatsiya interferension

$$w(\mathbf{r}, t) = |\psi(\mathbf{r}, t)|^2 = \psi^*(\mathbf{r}, t) \cdot \psi(\mathbf{r}, t). \quad (1.58)$$

Boshqacha aytganda, ayrim fotonga xos bo'lgan de-Broyl to'liqini ehtimollik to'liqimidir va yorug'lik to'liqidagi elektr hamda magnit maydonlarning kuchlanishlari bilan to'g'ridan-to'g'ri aloqador emas. Demak, de-Broyl to'liqini informatsion xarakterga ega va shuning uchun ham u fizik to'liqin bo'la olmaydi. Mana endi bizga ravshanlashdiki, nima uchun ayrim fotonga de-Broyl to'liqini mos kelsa ham, u fotoplastinkaga fizik to'liqinlar kabi fazoviy davomylikda ta'sir eta olmas ekan. De-Broyl to'liqini o'zida ehtimollik informatsiyasini tashir ekan. U o'zini aniq namoyon qilishi uchun ko'p mustaqil fotonlarni talab qilishining sababi ham endi tushunarlidir. Ma'lumki, ehtimollik qonunlari o'zlarini aniq namoyon qilishi uchun tajribalarning bir necha bor mustaqil holda takrorlanishini taqozo qiladi: tajribalar qancha ko'p takrorlansa ehtimollik qonunlarining bajarilishi shuncha aniq bo'ladi. Misol tariqasida "chikka va pukka" deb ataluvchi o'yinni olaylik (tangani havoga o'tib o'ynash): biz bilimizki, tangani havoda otgan vaqtimizda uning raqamli va raqamsiz (gerbli) tomonlarining tushish ehtimoli bir xil, albatta bu qonuniyat tanga juda ko'p marta otilganagina o'zini namoyon qiladi. Yuqoridagi ko'rgan tajribamizda esa tirqishlardan o'tgan fotonni fotoplastinkaning biron nuqtasiga tushish ehtimoli shu nuqtadagi de-Broyl to'liqini intensivligi bilan aniqlanadi va shuning uchun uning fotoplastinkadagi taqsimlanishi interferentsiya qonuniga bo'ysunadi. Biz tirqishlar orqali katta vaqt oralig'ida ketma-ket fotonlarni yuborgan chog'da, go'yoki yakka foton ustidagi tajribani ko'p marta mustaqil ravishda takrorlagan bo'lamiz, natijada de-Broyl to'liqini tutgan ehtimoliy informatsiya interferension

kaning har xil joyida bo'ladi. Keling endi olingan natijalarni (bu nuqtalarning koordinatlarini) yig'aylik va ularni fotoplastinka kattaligidagi qog'oz yuzasiga tushiraylik. Nima kuzatiladi? Maks Born bu savolga quyidagicha javob bergan: qog'ozdagi hosil bo'ladigan ko'rinish odatdagi optik tajribalardan olinadigan ikki tirqishdagi interferension manzaraga aynan mos keladi.

Maks Bornning yuqoridagi kabi fikr yuritishlari uni de-Broyl to'liqlariga statistik izoh berishga undadi. Uning taxminiga ko'ra de-Broyl to'liqlarining intensivligi fotonning berilgan vaqt momentida berilgan yerda topilish ehtimolligiga proporsionaldir:

Bu tajribaviy misol yorug'likning fotonlardan iboratligini va ular fotoplastinka bilan to'qnashganda o'zlarini zarracha kabi tutishini isbotlash maqsadida keltirilgan edi. Demak, yuqorida aytilgan yorug'likning to'liqin tabiatini isbotlovchi birinchi dalilini tushirib qoldirisa ham bo'ladi, chunki fotoplastinkaning uzluksiz xarakterga ega bo'lgan qorayishini faqatgina odatdagi yorug'likda fotonlarning ko'p bo'lishi bilan tushuntirish mumkin.

Havoliy tajribani davom ettiraylik: katta vaqt oralig'ida tirqishlardan ketma-ket fotonlarni yuboraylik, ya'ni intensivlikni avvalgicha kichik deb hisoblab, ekspozitsiya vaqti oshiriladi. Qanday natijaga erishiladi? Qizig'i shundaki, fotoplastinkadagi qora nuqtalarning soni ko'paygani sari, ular o'zaro tutashib, aniq interferension manzarani hosil qilargan. Demak, fotonlar fotoplastinka bilan o'zaro ta'sir qilganda o'zini zarracha kabi namoyon etishiga qaramay, ularning tabiatini baribir qandaydir sirtli to'liqin boshqartib turishini tan olmay ilojimiz yo'q. Modomki, yuborilayotgan fotonlar oralig'idagi vaqt juda katta ekan, demak, ular mustaqil fotonlardir va shuning uchun oldinroq ta'kidlaganimizdek, bu to'liqin ayrim fotonning xususiyatidir deb ham tan olish lozim. Lekin g'alati bir hol bor: bu to'liqin ayrim foton xarakteristikasi bo'lishiga qaramay, u o'zini faqat ko'p miqdordagi mustaqil fotonlar mavjud sharoitidagina aniq namoyon qiladi (Biz bilimizki, bitta foton fotoplastinkada faqat bitta dog' qoldiradi va shunday ekan uning bir o'zi interferension manzarani hosil qila olmaydi). De-Broyl to'liqini deb atalgan to'liqin mana shunday zid xarakterga egadir. Bu muammoni Maks Born hal qilib berdi. Uning fikrlarini to'la tasavvur etish uchun yana bir boshqa hayoliy tajribani ko'z oldimizga keltiraylik.

Faraz qilaylik, butun dunyo bo'ylab juda ko'p laboratoriyalarda bir vaqtning o'zida yuqorida aytilgan tajriba o'tkazilsin. Lekin, tushayotgan yorug'lik intensivligi va ekspozitsiya vaqti shunday tanlansinki, natijada fotoplastinkada faqatgina bitta qoraygan nuqta hosil bo'lsin. Bizga ravshanlik, turli laboratoriyalarda bu qoraygan nuqtalar fotoplastin-

Xususan, $F_1(\mathbf{r}) = F_2(\mathbf{r})$ bo'lganda (1.70) formuladan quyidagi tenglik kelib chiqadi.

$$\int F_2^*(\mathbf{r}) F_1(\mathbf{r}) d\mathbf{r} = \int \Phi_2^*(\mathbf{k}) \Phi_1(\mathbf{k}) d\mathbf{k}. \quad (1.70)$$

bo'ladi:

komponentlari $\Phi_1(\mathbf{k})$ va $\Phi_2(\mathbf{k})$ bo'lsa, u holda quyidagi tenglik o'rinni

Agar ikkita $F_1(\mathbf{r})$ va $F_2(\mathbf{r})$ funksiyalar berilgan bo'lsa, ularning Fur'e

Ushbu formula Fur'e teskari almashtirish formulasi deyiladi.

$$\Phi(\mathbf{k}) = \frac{1}{(2\pi)^{3/2}} \int F(\mathbf{r}) e^{-i\mathbf{k}\cdot\mathbf{r}} d\mathbf{r}. \quad (1.69)$$

teoremasiga asosan (1.68) formulani quyidagicha yozish mumkin:

egadir va ular ko'pincha Fur'e komponentlari deb ataladi. Fur'e

anglatadi. Bu izohga binoan, $\Phi(\mathbf{k})$ qator koeffitsiyentlari ma'nosiga

funksiyani $\frac{1}{(2\pi)^{3/2}} e^{i\mathbf{k}\cdot\mathbf{r}}$ funksiyalar bo'yicha qatori, degan ma'noni

orqali ifodalanganini bildiradi, imulada

orqali ifodalanganini bildiradi, imulada

Birinchi nom (1.68) formulada $F(\mathbf{r})$ funksiyani boshqa $\Phi(\mathbf{k})$ funksiya

Ushbu formulani Fur'e almashtirishi yoki Fur'e qatori deb ataladi.

$$F(\mathbf{r}) = \frac{1}{(2\pi)^{3/2}} \int \Phi(\mathbf{k}) e^{i\mathbf{k}\cdot\mathbf{r}} d\mathbf{k}. \quad (1.68)$$

Endi Fur'e yoyilmasi nimaligini bir eslaylik. Ma'lumki, ihtiyoriy silliq funksiyani Fur'e integrali ko'rinishida ifodalash mumkin:

beradi.

zarrachaning aniq impulsli holatda topilish ehtimolligi ma'nosini

ko'rsatadi.

bo'ladi. Bu izohni uch o'lchovli hol uchun umumlashtirilsa ham

fikir tug'iladi. Bu izohni uch o'lchovli hol uchun umumlashtirilsa ham

paketeda zarrachaning impulsli holatini topish ma'noga ega, degan

impulsli holatiga proporsional, deb hisoblash tabiiydir. Vaholangki,

topish ehtimolligiga proporsional, deb hisoblash tabiiydir. Vaholangki,

paketeda shu burchakka mos keluvchi impulsli zarrachaning holatini

impulsli holatiga proporsional, deb hisoblash tabiiydir. Vaholangki,

impulsli holatiga proporsional, deb hisoblash tabiiydir. Vaholangki,

Modomiki, impulsli burchakka mos keluvchi impulsli zarracha

$$\int |F(\mathbf{r})|^2 d\mathbf{r} = \int |\Phi(\mathbf{k})|^2 d\mathbf{k}. \quad (1.71)$$

Fur'e teoremasining mavjudligi shunday fikrni targ'ib qiladi: vaqtning istalgan momentida zarrachaning har qanday holati aniq impulsli holatlar superpozitsiyasi ko'rinishida tasavvur etilishi mumkin. Haqiqatda, (1.68) va (1.69) formulalarga asosan $\psi(\mathbf{r}, t)$ to'liqin funksiyasini hamma vaqt quyidagicha yozish mumkin:

$$\psi(\mathbf{r}, t) = \frac{1}{(2\pi\hbar)^{3/2}} \int \varphi(\mathbf{p}, t) e^{i\frac{\mathbf{p}\cdot\mathbf{r}}{\hbar}} d\mathbf{p}, \quad (1.72)$$

$$\varphi(\mathbf{p}, t) = \frac{1}{(2\pi\hbar)^{3/2}} \int \psi(\mathbf{r}, t) e^{-i\frac{\mathbf{p}\cdot\mathbf{r}}{\hbar}} d\mathbf{r}. \quad (1.73)$$

Bu formulalarda t parametrlarini o'ynaydi. (1.72) formulada integrallash (1.68) formuladagidan farq qilib, zarrachaning impulsli bo'yicha amalga oshiriladi ($d\mathbf{p} = \hbar^3 d\mathbf{k}$). Formulalarga $\frac{1}{\hbar^{3/2}}$ karsning

kiritilishi esa ularni simmetrik ko'rinishga keltirish bilan bog'liqdir.

Demak, to'liqin paketi uchun ishlatilgan (1.63) formula aynan Fur'e

gatorining o'zginasi ekan, chunki uni quyidagicha yozish mumkin:

$$\psi(\mathbf{r}, t) = \int f(\mathbf{p}) \exp\left\{\frac{i}{\hbar}(\mathbf{p}\cdot\mathbf{r} - Et)\right\} d\mathbf{p} = \frac{1}{(2\pi\hbar)^{3/2}} \int \varphi(\mathbf{p}, t) \exp\left\{\frac{i}{\hbar}\mathbf{p}\cdot\mathbf{r}\right\} d\mathbf{p} \quad (1.74)$$

bunda

$$\varphi(\mathbf{p}, t) = (2\pi\hbar)^{3/2} e^{-i\frac{Et}{\hbar}} \cdot f(\mathbf{p}). \quad (1.75)$$

(1.75) dan quyidagi ifodani hosil bo'ladi:

$$|\varphi(\mathbf{p}, t)|^2 = (2\pi\hbar)^3 |f(\mathbf{p})|^2 \quad (1.76)$$

u holda $|\varphi(\mathbf{p}, t)|^2$ ham zarrachaning \mathbf{p} impulsli holatda topilish

ehtimolligini anglatadi. Umumiy (1.76) formulaga asoslanib, $|\varphi(\mathbf{p}, t)|^2$

faqat to'liqin paketi uchun emas, balki zarrachaning har qanday holati

uchun ham topilish ehtimolligi ma'nosini beradi, deyish mumkin.

Aniqroq aytganda,

$$\Pi(\mathbf{p}) = |\varphi(\mathbf{p}, t)|^2$$

ifoda ehtimollik zichligi ma'nosiga ega va zarrachaning impulsning \mathbf{p} qiymat atrofidagi topilish ehtimolligi $\Pi(\mathbf{p}) d\mathbf{p}$ degan manoni anglatadi, bu yerda $d\mathbf{p} = dp_x dp_y dp_z$. \mathbf{p} impulslar fazosidagi hajm elementi. Ravshanlik,

16. To'lg'in funksiyasining matematik ta'rifini ifodalab bering va uning asosiy xossalari ko'rsating. To'lg'in funksiyasining fizikaviy ma'nosini ochib beruvchi holatlarni tavsiflab bering.

$$\text{Javobi: } \lambda = \lambda_c = \left(1 + \frac{m_1}{m_2}\right) \frac{h}{\sqrt{2m_1 E_k}}$$

15. ψ to'lg'in funksiyasini tor'dagi mexanik to'lg'in va elektromagnit to'lg'inlar bilan solishtirib hamda ularning bir-biriga o'xshash va bir-biridan farqli jihatlarni ko'rsatib bering.

14. Masala. Massasi m_1 ga va kinetik energiyasi E_k ga teng bo'lgan

norelativistik zarracha tinch holatda bo'lgan m_2 massali zarracha bilan pesh to'qnashadi. Bu zarrachalarning massalar markazi bilan bog'langan samog sistemasi to'qnashishdan keyingi zarrachalarning de-Broyl to'lg'in uzunliklari aniqlansin.

$$\text{Javobi: a) } \lambda - \lambda' = \frac{4\pi h}{mc} \sin^2 \theta = 0,012 \text{ \AA.}$$

$$\text{b) } 0,17 \text{ MeV.}$$

$$\text{Javobi: a) } \lambda - \lambda' = \frac{4\pi h}{mc} \sin^2 \theta = 0,012 \text{ \AA.}$$

$$\text{b) } 0,17 \text{ MeV.}$$

a) sochilgan foton to'lg'in uzunligining kompton silishi;

b) agarda harakatlanuvchi fotoning energiyasi elektromagnit tinch holatdagi energiyasiga teng bo'lsa, to'qnashandan oldin elektromagnit kinetik energiyasi.

Quyidagilar aniqlansin:

13. Masala. Relyativistik elektron foton bilan to'qnashish natijasida foton 60° burchak ostida sochildi, elektron esa to'xtab qoldi.

Quyidagilar aniqlansin:

13. Masala. Relyativistik elektron foton bilan to'qnashish natijasida foton 60° burchak ostida sochildi, elektron esa to'xtab qoldi.

$$\tau = \frac{4\pi^2 \epsilon_0^3 e^3 m_0^2}{e^4} (r_0^3 - r_1^3) \approx 1,4 \cdot 10^{-11} \text{ s}$$

bo'lgan masofasi r_0 dan r_1 gacha kamayishi uchun kelgan τ vaqti

bo'lgan masofasi r_0 dan r_1 gacha kamayishi uchun kelgan τ vaqti

$$\varphi = 0,1e = 3 \cdot 10^7 \frac{m}{s} \text{ tezlikka ega bo'lgan elektromagnit yadro-gacha}$$

$$r_0 = 0,53 \cdot 10^{-10} \text{ m.}$$

$$E_0 = -\frac{e^2}{8\pi\epsilon_0 r_0}$$

$$\frac{dE}{dt} = -\frac{e^2 \omega^2}{6\pi\epsilon_0 c^3} = -\frac{128\pi\epsilon_0 E^4}{3m_0^2 c^2 e^3}$$

$$\frac{1}{E^3} = \frac{1}{E_0^3} + \frac{128\pi\epsilon_0}{3m_0^2 c^2 e^3} t, \quad E_0 = -\frac{e^2}{8\pi\epsilon_0 r_0}$$

$$\frac{dE}{dt} = -\frac{e^2 \omega^2}{6\pi\epsilon_0 c^3} = -\frac{128\pi\epsilon_0 E^4}{3m_0^2 c^2 e^3}$$

$$\frac{1}{E^3} = \frac{1}{E_0^3} + \frac{128\pi\epsilon_0}{3m_0^2 c^2 e^3} t, \quad E_0 = -\frac{e^2}{8\pi\epsilon_0 r_0}$$

$$\frac{dE}{dt} = -\frac{e^2 \omega^2}{6\pi\epsilon_0 c^3} = -\frac{128\pi\epsilon_0 E^4}{3m_0^2 c^2 e^3}$$

$$\frac{1}{E^3} = \frac{1}{E_0^3} + \frac{128\pi\epsilon_0}{3m_0^2 c^2 e^3} t, \quad E_0 = -\frac{e^2}{8\pi\epsilon_0 r_0}$$

$$\frac{dE}{dt} = -\frac{e^2 \omega^2}{6\pi\epsilon_0 c^3} = -\frac{128\pi\epsilon_0 E^4}{3m_0^2 c^2 e^3}$$

$$\frac{1}{E^3} = \frac{1}{E_0^3} + \frac{128\pi\epsilon_0}{3m_0^2 c^2 e^3} t, \quad E_0 = -\frac{e^2}{8\pi\epsilon_0 r_0}$$

$$\frac{dE}{dt} = -\frac{e^2 \omega^2}{6\pi\epsilon_0 c^3} = -\frac{128\pi\epsilon_0 E^4}{3m_0^2 c^2 e^3}$$

$$\frac{1}{E^3} = \frac{1}{E_0^3} + \frac{128\pi\epsilon_0}{3m_0^2 c^2 e^3} t, \quad E_0 = -\frac{e^2}{8\pi\epsilon_0 r_0}$$

$$\frac{dE}{dt} = -\frac{e^2 \omega^2}{6\pi\epsilon_0 c^3} = -\frac{128\pi\epsilon_0 E^4}{3m_0^2 c^2 e^3}$$

$$\frac{1}{E^3} = \frac{1}{E_0^3} + \frac{128\pi\epsilon_0}{3m_0^2 c^2 e^3} t, \quad E_0 = -\frac{e^2}{8\pi\epsilon_0 r_0}$$

$$\frac{dE}{dt} = -\frac{e^2 \omega^2}{6\pi\epsilon_0 c^3} = -\frac{128\pi\epsilon_0 E^4}{3m_0^2 c^2 e^3}$$

$$\frac{1}{E^3} = \frac{1}{E_0^3} + \frac{128\pi\epsilon_0}{3m_0^2 c^2 e^3} t, \quad E_0 = -\frac{e^2}{8\pi\epsilon_0 r_0}$$

$$\frac{dE}{dt} = -\frac{e^2 \omega^2}{6\pi\epsilon_0 c^3} = -\frac{128\pi\epsilon_0 E^4}{3m_0^2 c^2 e^3}$$

$$\frac{1}{E^3} = \frac{1}{E_0^3} + \frac{128\pi\epsilon_0}{3m_0^2 c^2 e^3} t, \quad E_0 = -\frac{e^2}{8\pi\epsilon_0 r_0}$$

$$\frac{dE}{dt} = -\frac{e^2 \omega^2}{6\pi\epsilon_0 c^3} = -\frac{128\pi\epsilon_0 E^4}{3m_0^2 c^2 e^3}$$

$$\frac{1}{E^3} = \frac{1}{E_0^3} + \frac{128\pi\epsilon_0}{3m_0^2 c^2 e^3} t, \quad E_0 = -\frac{e^2}{8\pi\epsilon_0 r_0}$$

$$\frac{dE}{dt} = -\frac{e^2 \omega^2}{6\pi\epsilon_0 c^3} = -\frac{128\pi\epsilon_0 E^4}{3m_0^2 c^2 e^3}$$

$$\frac{1}{E^3} = \frac{1}{E_0^3} + \frac{128\pi\epsilon_0}{3m_0^2 c^2 e^3} t, \quad E_0 = -\frac{e^2}{8\pi\epsilon_0 r_0}$$

$$\frac{dE}{dt} = -\frac{e^2 \omega^2}{6\pi\epsilon_0 c^3} = -\frac{128\pi\epsilon_0 E^4}{3m_0^2 c^2 e^3}$$

$$\frac{1}{E^3} = \frac{1}{E_0^3} + \frac{128\pi\epsilon_0}{3m_0^2 c^2 e^3} t, \quad E_0 = -\frac{e^2}{8\pi\epsilon_0 r_0}$$

$$\frac{dE}{dt} = -\frac{e^2 \omega^2}{6\pi\epsilon_0 c^3} = -\frac{128\pi\epsilon_0 E^4}{3m_0^2 c^2 e^3}$$

$$\frac{1}{E^3} = \frac{1}{E_0^3} + \frac{128\pi\epsilon_0}{3m_0^2 c^2 e^3} t, \quad E_0 = -\frac{e^2}{8\pi\epsilon_0 r_0}$$

$$\frac{dE}{dt} = -\frac{e^2 \omega^2}{6\pi\epsilon_0 c^3} = -\frac{128\pi\epsilon_0 E^4}{3m_0^2 c^2 e^3}$$

$$\frac{1}{E^3} = \frac{1}{E_0^3} + \frac{128\pi\epsilon_0}{3m_0^2 c^2 e^3} t, \quad E_0 = -\frac{e^2}{8\pi\epsilon_0 r_0}$$

$$\frac{dE}{dt} = -\frac{e^2 \omega^2}{6\pi\epsilon_0 c^3} = -\frac{128\pi\epsilon_0 E^4}{3m_0^2 c^2 e^3}$$

$$\frac{1}{E^3} = \frac{1}{E_0^3} + \frac{128\pi\epsilon_0}{3m_0^2 c^2 e^3} t, \quad E_0 = -\frac{e^2}{8\pi\epsilon_0 r_0}$$

$$\frac{dE}{dt} = -\frac{e^2 \omega^2}{6\pi\epsilon_0 c^3} = -\frac{128\pi\epsilon_0 E^4}{3m_0^2 c^2 e^3}$$

$$\frac{1}{E^3} = \frac{1}{E_0^3} + \frac{128\pi\epsilon_0}{3m_0^2 c^2 e^3} t, \quad E_0 = -\frac{e^2}{8\pi\epsilon_0 r_0}$$

$$\frac{dE}{dt} = -\frac{e^2 \omega^2}{6\pi\epsilon_0 c^3} = -\frac{128\pi\epsilon_0 E^4}{3m_0^2 c^2 e^3}$$

$$\frac{1}{E^3} = \frac{1}{E_0^3} + \frac{128\pi\epsilon_0}{3m_0^2 c^2 e^3} t, \quad E_0 = -\frac{e^2}{8\pi\epsilon_0 r_0}$$

$$\frac{dE}{dt} = -\frac{e^2 \omega^2}{6\pi\epsilon_0 c^3} = -\frac{128\pi\epsilon_0 E^4}{3m_0^2 c^2 e^3}$$

$$\frac{1}{E^3} = \frac{1}{E_0^3} + \frac{128\pi\epsilon_0}{3m_0^2 c^2 e^3} t, \quad E_0 = -\frac{e^2}{8\pi\epsilon_0 r_0}$$

$$\frac{dE}{dt} = -\frac{e^2 \omega^2}{6\pi\epsilon_0 c^3} = -\frac{128\pi\epsilon_0 E^4}{3m_0^2 c^2 e^3}$$

$$\frac{1}{E^3} = \frac{1}{E_0^3} + \frac{128\pi\epsilon_0}{3m_0^2 c^2 e^3} t, \quad E_0 = -\frac{e^2}{8\pi\epsilon_0 r_0}$$

$$\frac{dE}{dt} = -\frac{e^2 \omega^2}{6\pi\epsilon_0 c^3} = -\frac{128\pi\epsilon_0 E^4}{3m_0^2 c^2 e^3}$$

$$\frac{1}{E^3} = \frac{1}{E_0^3} + \frac{128\pi\epsilon_0}{3m_0^2 c^2 e^3} t, \quad E_0 = -\frac{e^2}{8\pi\epsilon_0 r_0}$$

$$\frac{dE}{dt} = -\frac{e^2 \omega^2}{6\pi\epsilon_0 c^3} = -\frac{128\pi\epsilon_0 E^4}{3m_0^2 c^2 e^3}$$

$$\frac{1}{E^3} = \frac{1}{E_0^3} + \frac{128\pi\epsilon_0}{3m_0^2 c^2 e^3} t, \quad E_0 = -\frac{e^2}{8\pi\epsilon_0 r_0}$$

$$\frac{dE}{dt} = -\frac{e^2 \omega^2}{6\pi\epsilon_0 c^3} = -\frac{128\pi\epsilon_0 E^4}{3m_0^2 c^2 e^3}$$

$$\frac{1}{E^3} = \frac{1}{E_0^3} + \frac{128\pi\epsilon_0}{3m_0^2 c^2 e^3} t, \quad E_0 = -\frac{e^2}{8\pi\epsilon_0 r_0}$$

$$\frac{dE}{dt} = -\frac{e^2 \omega^2}{6\pi\epsilon_0 c^3} = -\frac{128\pi\epsilon_0 E^4}{3m_0^2 c^2 e^3}$$

$$\frac{1}{E^3} = \frac{1}{E_0^3} + \frac{128\pi\epsilon_0}{3m_0^2 c^2 e^3} t, \quad E_0 = -\frac{e^2}{8\pi\epsilon_0 r_0}$$

$$\frac{dE}{dt} = -\frac{e^2 \omega^2}{6\pi\epsilon_0 c^3} = -\frac{128\pi\epsilon_0 E^4}{3m_0^2 c^2 e^3}$$

$$\frac{1}{E^3} = \frac{1}{E_0^3} + \frac{128\pi\epsilon_0}{3m_0^2 c^2 e^3} t, \quad E_0 = -\frac{e^2}{8\pi\epsilon_0 r_0}$$

$$\frac{dE}{dt} = -\frac{e^2 \omega^2}{6\pi\epsilon_0 c^3} = -\frac{128\pi\epsilon_0 E^4}{3m_0^2 c^2 e^3}$$

fluktuatsiyalar deb atalib, fizik kattalik qiymatlarining noaniqliklarini yuzaga keltiradi. Matematik statistika kursidan ma'lumki, fluktuatsiya, odatda, o'rtacha kvadratik og'ish deb atalib, qaralgan kattalikning o'lgangan va o'rtacha qiymatlari ayirmasining kvadratini o'rtachalab olinadi.

O'rtacha qiymat $\overline{\Delta L}$ bo'lgan holda, og'ish quyidagi formulaga binoan hisoblanadi:

$$\Delta L = L - \overline{L}. \quad (1.87)$$

Statistik fluktuatsiyani esa, yoki o'rtacha kvadratik og'shni quyidagicha yozish mumkin.

$$\overline{(\Delta L)^2} = \overline{L^2} - 2\overline{L}\overline{L} + \overline{L^2} = \overline{L^2} - (\overline{L})^2.$$

1.12. Noaniqlik munosabatlari

De-Broyl to'lg'inlarning statistik talqini nazariy yo'l bilan olingan natijalarni tajriba ma'lumotlari bilan bog'lash imkonini beradi. Biroq bu talqin mikroobyektlarning tabiati to'g'risidagi masalani chetda qoldiradi. Bu yerda asosiy qiyinchilik tajribadan olingan natijalarni tavsiflash uchun goh zarrachalar manzarasidan, goh to'lg'inlar manzarasidan foydalanishga to'g'ri keladi. Bir xil mikroobyektlarning o'zi, masalan elektronlar, ba'zi tajribalarda o'zini muayyan trayektoriyalar bo'yicha harakatlanuvchi zarrachalar singari tutadi, boshqa tajribalarda esa ular o'zini superpozitsiya prinsipi bo'y sunadigan to'lg'inlar kabi tutadi. Ammo ravshanki, bir xil mikroobyektlarning o'zini tavsiflash uchun ham to'lg'in, ham korpuskular manzaralardan foydalanishga majbur bo'lganligimiz sababi, bu mikroobyektlarga zarrachalarning barcha xossalari va to'lg'inlarning barcha xossalari taalluqli bo'ladi deya olmaymiz.

Ma'lumki, klassik mexanikada zarrachalarni trayektoriyalari va bu trayektoriya bo'ylab ularning harakati bizni qiziqtiradi. Zarrachani trayektoriya bo'ylab harakati bilan vaqtning har bir momentidagi aniq koordinatasi va aniq impulsning mavjudligi chambarchas bog'langan. Birinchi kattalik zarrachaning holatini aniqlab bersa, ikkinchisi esa shu kattalikning cheksiz kichik vaqt davomida o'zgarishini ko'rsatadi:

20. Qanday aniqlik bilan bir vaqtning o'zida zarrachaning koordinatasini va tezligini aniqlash mumkin?

19. Nima sabbdan kvant mexanikasida zarrachaning harakatini ifodalash uchun trayektoriya tushunchasidan foydalanish mumkin emas?

18. Zarrachaning koordinatasi va impulsning proyeksiyasi orasidagi noaniqlik munosabatini batafsil va har tomonlama muhokama qilib chiqing. To'lg'in paketi va noaniqlik munosabati asosida klassik hamda kvant mexanikasi orasidagi bog'lanishni tahlil qilib chiqing.

17. Holatlarning superpozitsiya prinsipini ifodalab bering. Superpozitsiya prinsipini hayotiy diffraksiya tajribaga qanday qo'llaniladi?

Misol sifatida ikki uchi biriktirilgan torning ko'ndalang tebranishi masalasini keltirish mumkin. Bu holda harakat tenglamasi

$$\frac{d^2 U}{dx^2} + k^2 U = 0 \quad (2.16)$$

ko'rinishga ega. Agarda $\hat{L} = \frac{d^2}{dx^2}$ desak, $L = -\frac{d^2}{dx^2} U = 0$

sohada mavjuddir, bunda torning uzunligini ifodalaydi.

(2.16) tenglamaning chegaraviy shartlari quyidagicha bo'ladi: agarda $x=0$ va $x=l$ bo'lsa, $U=0$ bo'ladi. Fizikaviy nuqtay nazardan tebranish jarayonida torning ikki uchi tebranmaydi. Bu masalaning xususiy yechimlari $U_n(x) = \sin \frac{\pi n}{l} x$ bo'ladi, xususiy qiymatlari esa $L_n = k_n^2 = \frac{\pi^2 n^2}{l^2}$ bo'ladi, va bunda $n = 1, 2, 3, \dots$ ga teng.

Kvant mexanikasida to'lg'in funksiyasining argumentlari butun soha bo'yicha o'zgarishi bilan ajralib turadi, ya'ni $-\infty < x < +\infty$, $-\infty < y < +\infty$, $-\infty < z < +\infty$ sohada $\psi(x, y, z)$ funksiya o'zgaradi. Shu tufayli kvant mexanikasi masalalarida to'lg'in funksiya uchun chegaraviy shartlarni klassik fizikadagi tebranish masalalaridagi kabi bevosita ifodalay olmaymiz.

Ammo kvant mexanikasida zarrachalar sonini saqlanishidan foydalanib, chegaraviy shartlarga ekvivalent bo'lgan tabiiy talablarni keltirib chiqarish mumkin. Ma'lumki, zarrachalar sonini saqlanish talabi sohaning biror nuqtasida zarrachani topish ehtimolligini vaqtga bo'g'liq emasligidan kelib chiqadi, ya'ni

$$\frac{d}{dt} \int \psi^* \psi dV = 0 \quad (2.16)$$

bu yerda integral ψ funksiya argumentlarini o'zgarish sohasi bo'yicha olinadi, demak bu sohada zarrachani topish ehtimolligi barqarordir. (2.16) bajarilishi uchun to'lg'in funksiyasi quyidagi shartlarni qanoatlantirishi kerak.

1. o'zgaruvchilarni o'zgarish sohasida chekli bo'lishi;
2. uzluksiz bo'lishi;
3. bir qiymatli bo'lishi.

Qisqacha aytganda kvant mexanikasida to'lg'in funksiya chekli, uzluksiz va bir qiymatli bo'lishi kerak.

$$\omega = \frac{v^2}{r} = \frac{e^2}{4\pi\epsilon_0 m_0 r^2}$$

$$E = \frac{m_0 v^2}{2} - \frac{e^2}{4\pi\epsilon_0 r} = -\frac{m_0 v^2}{2}$$

teng bo'lish deb faraz qilamiz. U holda norelyativistik hol uchun

$$\text{to'liq energiya } E \text{ quyidagi ko'rinishga keladi:}$$

$$\omega = \frac{v^2}{r} = \frac{e^2}{4\pi\epsilon_0 m_0 r^2}$$

harakat qilgandagi tezlanishiga

Soddalik uchun elektronning tezlanishi r radiusli aylana bo'ylab tekis harakat qilgandagi tezlanishiga

Yechish:

formula bilan aniqlangan deb hisoblansin(τ -elektronning tezlanish vektori).

$$\frac{dE}{dt} = -\frac{2}{3} \frac{e_0^2}{4\pi\epsilon_0 c^3} \ddot{v}^2$$

binoan elektronning nurlanishga sarf qilgan energiyasi

vaqtga bog'liq bo'lgan energiya

vaqtga bog'liq bo'lgan energiya

vaqtga bog'liq bo'lgan energiya

vaqtga bog'liq bo'lgan energiya

vaqtga bog'liq bo'lgan energiya

vaqtga bog'liq bo'lgan energiya

vaqtga bog'liq bo'lgan energiya

vaqtga bog'liq bo'lgan energiya

vaqtga bog'liq bo'lgan energiya

vaqtga bog'liq bo'lgan energiya

vaqtga bog'liq bo'lgan energiya

vaqtga bog'liq bo'lgan energiya

vaqtga bog'liq bo'lgan energiya

vaqtga bog'liq bo'lgan energiya

vaqtga bog'liq bo'lgan energiya

vaqtga bog'liq bo'lgan energiya

vaqtga bog'liq bo'lgan energiya

vaqtga bog'liq bo'lgan energiya

vaqtga bog'liq bo'lgan energiya

vaqtga bog'liq bo'lgan energiya

vaqtga bog'liq bo'lgan energiya

vaqtga bog'liq bo'lgan energiya

vaqtga bog'liq bo'lgan energiya

vaqtga bog'liq bo'lgan energiya

vaqtga bog'liq bo'lgan energiya

vaqtga bog'liq bo'lgan energiya

vaqtga bog'liq bo'lgan energiya

vaqtga bog'liq bo'lgan energiya

vaqtga bog'liq bo'lgan energiya

vaqtga bog'liq bo'lgan energiya

vaqtga bog'liq bo'lgan energiya

vaqtga bog'liq bo'lgan energiya

vaqtga bog'liq bo'lgan energiya

vaqtga bog'liq bo'lgan energiya

vaqtga bog'liq bo'lgan energiya

vaqtga bog'liq bo'lgan energiya

vaqtga bog'liq bo'lgan energiya

vaqtga bog'liq bo'lgan energiya

vaqtga bog'liq bo'lgan energiya

vaqtga bog'liq bo'lgan energiya

vaqtga bog'liq bo'lgan energiya

vaqtga bog'liq bo'lgan energiya

vaqtga bog'liq bo'lgan energiya

vaqtga bog'liq bo'lgan energiya

vaqtga bog'liq bo'lgan energiya

vaqtga bog'liq bo'lgan energiya

vaqtga bog'liq bo'lgan energiya

vaqtga bog'liq bo'lgan energiya

vaqtga bog'liq bo'lgan energiya

vaqtga bog'liq bo'lgan energiya

vaqtga bog'liq bo'lgan energiya

vaqtga bog'liq bo'lgan energiya

vaqtga bog'liq bo'lgan energiya

vaqtga bog'liq bo'lgan energiya

vaqtga bog'liq bo'lgan energiya

vaqtga bog'liq bo'lgan energiya

vaqtga bog'liq bo'lgan energiya

vaqtga bog'liq bo'lgan energiya

vaqtga bog'liq bo'lgan energiya

vaqtga bog'liq bo'lgan energiya

vaqtga bog'liq bo'lgan energiya

vaqtga bog'liq bo'lgan energiya

vaqtga bog'liq bo'lgan energiya

vaqtga bog'liq bo'lgan energiya

vaqtga bog'liq bo'lgan energiya

vaqtga bog'liq bo'lgan energiya

vaqtga bog'liq bo'lgan energiya

vaqtga bog'liq bo'lgan energiya

vaqtga bog'liq bo'lgan energiya

vaqtga bog'liq bo'lgan energiya

vaqtga bog'liq bo'lgan energiya

vaqtga bog'liq bo'lgan energiya

vaqtga bog'liq bo'lgan energiya

vaqtga bog'liq bo'lgan energiya

vaqtga bog'liq bo'lgan energiya

vaqtga bog'liq bo'lgan energiya

vaqtga bog'liq bo'lgan energiya

vaqtga bog'liq bo'lgan energiya

vaqtga bog'liq bo'lgan energiya

Avvalgi paragrafdagi olingan formulalar yordamida fizik kattalikning \bar{L} o'rtacha qiymati va $(\Delta\bar{L})^2$ o'rtacha kvadratik og'ishini hisoblaydigan formulalarni olgan edik. Ammo bu formulalar L kattalikning alohida o'lchashlardagi qiymatlari to'g'risida biror ma'lumotni bera olmaydi. Bu masalani hal qilish maqsadida shunday ψ_L holatga murojbat qilaylikki, bu holatda qiziqiruvchi kattalik bita L qiymatni qabul qilsin. Bunday holatda, o'rtacha kvadratik og'ish $(\Delta\bar{L})^2 = 0$ bo'ladi. (2.11) dan ma'lumki, bu holatlar uchun

$$\int |\Delta\hat{L}\psi_L|^2 dx = 0. \quad (2.13)$$

Integral ostidagi kattalik musbat bo'lganligi sababli

$$|\Delta\hat{L}\psi_L|^2 = 0$$

kelib chiqadi. Kompleks sonning moduli faqat shu holatdagina nolga teng bo'lishi uchun, shu sonning o'zi nolga teng bo'lishi kerak.

Shuning uchun

$$\Delta\hat{L}\psi_L = 0 \quad (2.14)$$

bo'ladi. (1.87) dagi $\Delta L = L - \bar{L}$ ekani eslansa va ko'rilyotgan holatda $\bar{L} = L$ hisobga olinsa. (2.14) dan

$$\hat{L}\psi_L = L\psi_L \quad (2.15)$$

natijaga kelinadi. Shunday qilib, berilgan holatning ψ_L to'liq funksiyasini aniqlab beruvchi chiziqli tenglama hosil qilindi, bu holatda L operator bilan tavsiflangan kattalik yagona L qiymatni qabul qiladi. Ko'pchilik holatlarda L operator differensial operator bo'lganligi sababli, (2.15) tenglama ham chiziqli bir jinsi differensial tenglama bo'ladi.

Matematika kursidan ma'lumki, faqatgina chegaraviy shartlar mavjud bo'lgan holdagina differensial tenglama yagona yechimga ega bo'lishi mumkin. Ikkinchi tomondan, berilgan chegaraviy shartlarda $\hat{L}\psi_L = L\psi_L$ chiziqli differensial tenglama L parametrlarning barcha qiymatlarida emas, balki faqat tanlangan $L = L_1, L_2, \dots, L_n, \dots$ qiymatlaridagina trivial bo'lmagan yechimga ega bo'ladi. Ushbu tanlangan $L_1, L_2, \dots, L_n, \dots$ parametrlar xususiy qiymatlar deyiladi, va shu qiymatlarga mos bo'lgan tegishli $\psi_1, \psi_2, \dots, \psi_n, \dots$ yechimlar esa xususiy funksiyalar nomi bilan ataladi.

$$\psi(x, t) = \int_{-\infty}^{+\infty} C(k) e^{i(kx - \omega t)} dk \quad (1.90)$$

to'liqlar guruhni quyidagi ko'rinishda ifodalashni mumkin:

$$x + dx = x + \frac{p_x}{m} dt = x + v_x dt, \quad (1.88)$$

bunda m –zarrachaning massasi, v_x – uning tezligi. Statistik ansambldagi zarrachalar xilma-xil koordinataga va impulslarga ega bo'lishi mumkin. Agar bu klassik ansambli bo'lganida edi aniq impuls ga va aniq koordinataga ega bo'lgan ansambllarni tanlab olish mumkin bo'lardi. Kvant ansambli holida esa bunday tanlab olish imkoniyati bo'lmaydi, chunki bu holda zarrachalarning joylashishi va ularning impulsi orasidagi munosabat klassik holatdagi munosabardan mutlaqo farq qiladi. Mikroskopdagi uchraydigan bu muhim xususiyatni batafsil o'rganib chiqish uchun, mikrozarrachalarning diffraksiyasi tajribalaridan kelib chiqadigan natijalarga asoslaniladi. Ushbu tajribalarning asosiy natijasi de-Broyl formulasiida ifodalangan bo'lib, to'liq uzunligini impuls bilan bog'laydi:

$$p = \frac{2\pi h}{\lambda}. \quad (1.89)$$

Ma'lumki, to'liq qandaydir davomiylikka ega va u o'zini bir vaqtning o'zida fazoning turli yerlarida namoyon qila oladi. Shuning uchun “ x nuqtada to'liq uzunligi λ ga teng” degan ibora ma'noga ega emas, chunki λ to'liq shaklining funksiyasidir. Shu tufayli (1.89) formulaning o'ng tomoni x koordinataning funksiyasi bo'la olmaydi. Demak, (1.89) ning chap tomoni ham, ya'ni p impuls ham x koordinataning funksiyasi bo'la olmaydi. Shunday qilib, quyidagi xulosaga kelinadi: modomiki (1.89) dagi de-Broyl munosabati to'g'ri munosabat ekan, u holda zarrachaning p impulsi uning x koordinatasini funksiyasi bo'la olmaydi. Mikrodunyoda olamida “ x nuqtada zarracha impulsi p ga teng” degan ibora hech qanday ma'noga ega emas. Demak, kvant sohasida bir vaqtning o'zida ham impuls, ham koordinata aniq qiymatlarga ega bo'ladigan ansambllar mavjud emas. Avvalo to'liq guruhdan tashkil topgan ansambllar uchun bu mulohazani isbotlab beraylik. 1.5-paragrafda ko'rsatib o'tilganidek,

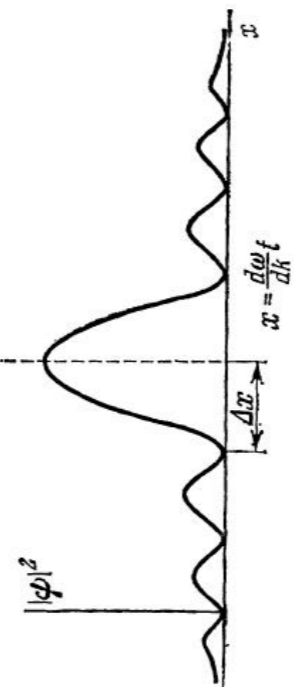
KVANT MEXANIKASINING MATEMATIK APPARATI

qoq II

2.1. Chiziqli va qoq operatorlar

Har bir fundamental fizikaviy nazariyada sox ziga o'ziga matematik apparat qo'llaniladi. Klassik mexanikani vujudga kelishi differensial va integral hisoblash metodlarining rivojlanishi bilan chanbarchas bog'liq. Elektrodinamika fanini va Eynshteynning relyativistik mexanikasini paydo bo'lishi esa, vektor va tenzor analizning keng hamda har tomonlama qo'llanishi bilan bog'liq. Kvant mexanikasining asosiy qonunlarini aniq va to'g'ri ifodalash uchun matematiklar tomonidan ishlatilayotgan tushunchalar va g'oyalarni shu fanga tatbiq qilish lozim edi. Kvant mexanikasidagi bu g'oyalarning eng asosiy va keng qo'llaniladigan bu operatorlar nazariyasidir.

Ma'lumki, moddiy nuqta trayektoriyasini ifodalovchi funksiyalarni aniqlab berish masalasi klassik mexanikaning asosiy masalasini tashkil etadi va bu nazariyada fizik kattaliklar koordinata va vaqtning funksiyasi sifatida tavsiflanadi. Kvant mexanikasida esa vaziyat batamom boshqacha, chunki elektronning koordinata va impulsi, bir vaqtning o'zida aniq qiymatlar qabul qila olmaydigan fizik kattaliklar turiga kiradi. Ikkinchi tomondan kvant nazariyasi klassik mexanikadan farqli ravishda bo'lajak voqealarni aniq aytib bera olmaydi, balki ularni amalga oshirish ehtimolligini ko'rsatadi. Shuning uchun ham, bu matematik apparatni qo'llashga majbur bo'lindi va bunday nazariya sifatida operatorlar nazariyasi qabul qilindi.

5-rasm. To'lqinlar guruhining $|\psi|^2$ intensivligi.

Guruh o'lchami sifatida $|\psi|^2$ maksimum nuqtasidan birinchi minimumgacha bo'lgan ikkilangan masofa qabul qilinadi va uni $2\Delta x$ orqali belgilanadi. (1.91) dan ma'lumki, $\Delta x = \pi / \Delta k$ yoki

$$\Delta x \cdot \Delta k = \pi \quad (1.92)$$

Bu ifoda to'lqinlar uchun xos munosabat bo'lib, ixtiyoriy to'lqinlar uchun o'rinnidir va to'lqin guruhlarning chiziqli o'lchamlarini shu to'lqinlardan tashkil topgan to'lqin sonlarining intervaliga bo'lgan ko'paytmasi o'zgarmas kattalik bo'lib, bu ko'paytma π ga teng bo'ladi.

Kvant mexanikasida esa $p_x = \hbar k$ de-Broyl tenglamasida k kattalik Δk oralig'ida o'zgaradi va p impuls

$$\Delta p_x = \hbar \Delta k \quad (1.93)$$

o'raliqda o'zgaradi. Agarda (1.90) dagi to'lqinlar guruhini de-Broyl to'lqinlar guruhi sifatida qarasa va (1.92) formulani ikkala tomonini \hbar Plank doimiysiga ko'paytirilsa, u holda (1.93) formulani nazarda tutib, quyidagi natijaga kelinadi:

kelib chiqadi. Shunday qilib, o'rtacha kvadratik og'ish har doim musbat kattalikka yoki nolga teng bo'ladi.

$$\overline{(\Delta L)^2} \geq 0 \quad (2.12)$$

natijaga kelinadi. Ma'lumki, $|\Delta L \psi|^2 \geq 0$, u holda (2.11) dan

$$\overline{(\Delta L)^2} = \int (\Delta L \psi)^* (\Delta L \psi) dx = \int |\Delta L \psi|^2 dx \quad (2.11)$$

foydalanilsa va (2.10) da $\psi^* = u_1^*$ va $(\Delta L \psi)^* = u_2^*$ desak,

$$\overline{(\Delta L)^2} = \int \psi^* (\Delta L)^2 \psi dx \quad (2.10)$$

va o'rtacha qiymatni hisoblash formulasidan foydalanilsa, uning

$$\overline{(\Delta L)^2} = (\hat{L} - \bar{L})^2 \quad (2.9)$$

operator orqali ifodalansa

$$\overline{(\Delta L)^2} = \overline{(\hat{L} - \bar{L})(\hat{L} - \bar{L})} = \overline{\hat{L}^2 - 2\bar{L}\hat{L} + \bar{L}^2} \quad (2.8)$$

Bu formulani hosil qilishda (2.4) da $u_1^* = u_2^*$, $u_1 = u_2 = \psi$ teng deymiz ham

$$\overline{\hat{L}^2} = \overline{\psi^* \hat{L}^2 \psi} = \overline{\hat{L}^2 \psi^* \psi} = \overline{\hat{L}^2} \quad (2.7)$$

mumkin, ya'ni

$$\overline{\psi^* \hat{L}^2 \psi} = \overline{\hat{L}^2 \psi^* \psi} = \overline{\hat{L}^2} \quad (2.7)$$

kattalikning barcha a'zolari uchun ham o'rinli bo'ladi.

Shunday qilib, umumiy ko'rinishdagi noaniqlik munosabatlari hosil qilindi. Kvant mexanikasida Geyzenberg noaniqlik munosabatlarining mavjudligi quyidagi umumiy xulosaga olib keladi: zarrachaning holatini tavsiflovchi koordinata va impulsini bir vaqtda aniq belgilab bo'lmaydi. Mana shu jihati bilan kvant nazariyasi, zarracha har qanday momentda aniq koordinata va aniq impulsiga ega bo'la oladi deyilgan klassik mexanikadan prinsipial farq qiladi. Klassik mexanikada zarrachaning koordinata va impulsilari bir vaqtning o'zida istalgan aniqlikda o'lchash mumkin deyiladi. Kvant nazariyasi esa, Geyzenberg noaniqlik munosabatlari mavjudligi tufayli, bunday imkoniyat bo'lishini prinsipial inkor etadi.

ξ ning haqiqiy qiymatlarida (1.102) ifoda barcha sohalarida manfiy bo'la olmaydi:

$$I(\xi) = 0. \quad (1.103)$$

Shuning uchun (1.103) tenglamaning ildizlari kompleks qiymatlarga ega bo'ladi. Bu shartning bajarilishi faqatgina

$$4AC \geq B^2 \quad (1.104)$$

shart bajarilganda amalga oshiriladi. Olingan tengsizlikka A , B , va C qiymatlar qo'yilsa, $(\Delta x)^2$ va $(\Delta p_x)^2$ orasidagi munosabatga kelinadi:

$$\overline{(\Delta p_x)^2} \cdot \overline{(\Delta x)^2} \geq \frac{\hbar^2}{4} \quad (1.95)$$

Shunday qilib, umumiy ko'rinishdagi noaniqlik munosabatlari hosil qilindi. Kvant mexanikasida Geyzenberg noaniqlik munosabatlarining mavjudligi quyidagi umumiy xulosaga olib keladi: zarrachaning holatini tavsiflovchi koordinata va impulsini bir vaqtda aniq belgilab bo'lmaydi. Mana shu jihati bilan kvant nazariyasi, zarracha har qanday momentda aniq koordinata va aniq impulsiga ega bo'la oladi deyilgan klassik mexanikadan prinsipial farq qiladi. Klassik mexanikada zarrachaning koordinata va impulsilari bir vaqtning o'zida istalgan aniqlikda o'lchash mumkin deyiladi. Kvant nazariyasi esa, Geyzenberg noaniqlik munosabatlari mavjudligi tufayli, bunday imkoniyat bo'lishini prinsipial inkor etadi.

1.13. I bobga oid savol va masalalar

1. Klassik fizika tushuntira olmagan fizikaviy muammolarni ko'rsatib bering.
2. Kvant mexanikasining paydo bo'lishiga sabab bo'lgan nazariy va eksperimental ishlarni sanab o'ling.
3. Fotoeffektning qizil chegarasiga mos keluvchi to'lqin uzunligi biror metallni ikkinchi metal bilan almashirganda ortadi. Bu ikkala metallarning chiqish ishi to'g'risida nima deyish mumkin?
4. Rentgen nurlanishining kvanti (rentgen fotoni) elektron bilan to'qnashganda sochilish jarayoni vujudga keladi. Ushbu jarayon sodir bo'lganda uning to'lqin uzunligining ortishini yoki kamayishini izohlab bering.



Kelgusida ushbu munosabatlar asos sifatida qo'llaniladi. Fizik kattaliklarni Kvant mexanikasidagi sistemaning rivojlanishini ifodalash uchun, operator deb nomlangan matematik tushuncha kiritildi. Matematikada operator deb bir funksiyani ikkinchi funksiya bilan taqqoslash usulini ifodalovchi \hat{L} belgiga aytiladi, yani:

$$\hat{L}u(x) = v(x) \quad (2.1)$$

Masalan, $\hat{L} = x$ bo'lsin, u holda $v(x)$ funksiyani olish uchun $u(x)$ funksiyani o'zining x argumentiga ko'paytirish kerak, yoki $\hat{L} = \frac{\partial}{\partial x}$ bo'lsa, u holda $v(x)$ funksiyani hosil qilishda $u(x)$ funksiyani differensiallash lozim.

Endi operatorlar ustida bajariladigan matematik amallarni ko'rib chiqaylik. Ikki \hat{A} va \hat{B} operatorlar berilgan bo'lsin. To'lqin funksiyasiga

$$\hat{C}\psi = \hat{A}\psi + \hat{B}\psi \quad (2.2)$$

tarzda ta'sir etuvchi \hat{C} operatorni \hat{A} va \hat{B} operatorlarning yig'indisi deyiladi va bu operator:

$$\hat{C} = \hat{A} + \hat{B}$$

ko'rinishda yoziladi. Ikkala \hat{A} va \hat{B} operatorlarning

$$\hat{D} = \hat{A} \cdot \hat{B}$$

ko'paytmasi esa

$$\hat{D}\psi = \hat{A}(\hat{B}\psi)$$

ma'noni bildiradi, ya'ni ψ funksiyaga \hat{B} operator bilan ta'sir qilishi kerak, so'ngra hosil bo'lgan yangi to'lqin funksiyaga \hat{A} operator bilan ta'sir etish lozim. Muhimi, operatorlarning ko'paytmasi ko'payuvchilarning tartibiga bog'liq. Masalan, agar $D = \hat{A} \cdot \hat{B}$ bo'lsa, u holda $\hat{D}' = \hat{B} \cdot \hat{A}$ deb belgilanadi. Agar $\hat{A} \cdot \hat{B} = \hat{B} \cdot \hat{A}$ bo'lsa, \hat{A} va \hat{B} operatorlar o'z-o'ziga kommutativ operatorlar deyiladi, aks holda, ya'ni $\hat{A} \cdot \hat{B} \neq \hat{B} \cdot \hat{A}$ bo'lsa, ular kommutativ bo'lmagan (antikommutativ) operatorlar deyiladi.

$$\hat{F} = \hat{A} \cdot \hat{B} - \hat{B} \cdot \hat{A}$$

operator \hat{A} va \hat{B} operatorlar uchun kommutator deyiladi.

Avvalo, chiziqli operator degan tushuncha bilan tanishib chiqaylik. Agar \hat{L} operator quyidagi shartni

$$\hat{L}(c_1 u_1 + c_2 u_2) = c_1 \hat{L}u_1 + c_2 \hat{L}u_2 \quad (2.3)$$

$$(1.102) \quad I(\xi) = A\xi^2 - B\xi + C \geq 0.$$

Ushbu natijaga kelinadi:

$$(1.101'') \quad C = \int_{-\infty}^{\infty} \frac{d\psi^*}{dx} \frac{d\psi}{dx} dx = - \int_{-\infty}^{\infty} \psi^* \frac{d^2\psi}{dx^2} dx = \frac{(\Delta p_x)^2}{\hbar^2}.$$

$$(1.101') \quad B = - \int_{-\infty}^{\infty} x \frac{d}{dx} (\psi^* \psi) dx = \int_{-\infty}^{\infty} \psi^* \psi dx = 1.$$

$$(1.101) \quad A = \int_{-\infty}^{\infty} x^2 |\psi|^2 dx = (\Delta x)^2.$$

hisoblashda bo'laklab integrallashdan foydalanilisa,

$$(1.100) \quad I(\xi) = \xi^2 \int_{-\infty}^{\infty} x^2 |\psi|^2 dx + \xi \int_{-\infty}^{\infty} x \left(\frac{d\psi^*}{dx} \psi + \psi^* \frac{d\psi}{dx} \right) dx + \int_{-\infty}^{\infty} \frac{d\psi^*}{dx} \frac{d\psi}{dx} dx$$

Modulning kvadrati ochib chiqilsa,

$$(1.99) \quad I(\xi) = \int_{-\infty}^{\infty} \xi x \psi \psi^* + \frac{d}{dx} \left(\frac{\psi^*(x)}{dx} \right) dx.$$

integralni ko'rib chiqiladi:

$$(1.98'') \quad (\overline{\Delta p_x})^2 = \overline{p^2} = (-i\hbar)^2 \int_{-\infty}^{\infty} \psi^* \frac{d^2\psi}{dx^2} dx$$

$$(1.98')$$

larni olinadi. (1.81) va (1.85) ifodalardan foydalanilisa,

$$(1.97) \quad (\overline{\Delta p_x})^2 = \overline{p^2} = \frac{(\Delta p_x)^2}{(\Delta x)^2} = \overline{p^2}$$

(1.95) va (1.96) formulalari o'rniiga

$$(9.6.1) \quad \overline{p^2} - \overline{p}^2 = \overline{\left(x p - p x \right)^2} = \overline{\left(\hbar \right)^2} = \hbar^2$$

$$(1.94) \quad \Delta x \cdot \Delta p_x = \pi \hbar.$$

Olingan (1.94) munosabat p_x impuls va unga mos bo'lgan x koordinata uchun kvant mexanikasida Geyzenbergning noaniqlik munosabati deyiladi. Bu formulada

Δx va Δp_x kattaliklar mos ravishda x koordinata va p_x impulsni o'lchashdagi noaniqliklarni ifodalaydi. Aniqlangan alohida o'lchashlarning qiymatlari \bar{x} atrofida $\pm \Delta x$ noaniqlik bilan olinadi. Agarda shu holatning o'zida zarrachalarning p_x impulsini o'lichansa, ularning o'racha qiymati $\bar{p}_x = p_0 = \hbar k_0$ ga teng bo'ladi va alohida o'lchashlarning qiymatlari p_0 qiymat atrofida $\pm \Delta p_x$ noaniqlik bilan topiladi.

Noaniqlik munosabatlarini matematik ko'rinishda yaqqol tasvirlash uchun avval koordinata va impulsning o'racha qiymatlaridan ehtimoliy cheklanishini bildiruvchi kattaliklarni aniqlash kerak. $\Delta p_x, \Delta p_y, \Delta p_z$ lar p fazodagi $\varphi(p, r)$ funksiya joylashgan soha kattaligini bildiradi, $|\varphi(p, r)|^2$ esa impuls ehtimolligi ma'nosiga ega, u holda ravshanki, $\Delta p_x, \Delta p_y, \Delta p_z$ lar impulsni o'racha qiymatlaridan ehtimoliy cheklanish chegarasini aniqlaydi. Boshqacha aytganda, $\Delta x, \Delta y, \Delta z$ va $\Delta p_x, \Delta p_y, \Delta p_z$ lar koordinata va impulsni ularning o'racha qiymatlari atrofida tarqoqligini, ya'ni zarracha koordinata va impulsining noaniqlik darajasini ko'rsatadi.

Shuning uchun kvant mexanikasida $\Delta x, \Delta y, \Delta z$ va $\Delta p_x, \Delta p_y, \Delta p_z$ larni koordinata va impuls noaniqliklari deb atash qabul qilingan.

Avvalo statistikada keng qo'llaniladigan $(\Delta p_x)^2$ va $(\Delta x)^2$ o'racha kvadratik og'ishlarni hisoblab chiqaylik. Bizga x kattalikning \bar{x} o'racha qiymati berilgan bo'lsin. Agarda qandaydir individual o'lichashda x qiymatni olsak, u holda $\Delta x = x - \bar{x}$ qiymat o'racha qiymatdan cheklanishini bildiradi va bu cheklanishning o'racha qiymati har doim nolga teng bo'ladi:

$$\overline{\Delta x} = \overline{x - \bar{x}} = \overline{x} - \bar{x} = 0.$$

Shu tufayli o'racha qiymatlardan individual o'lichashlarning cheklanishi sifatida Δx qiymatni emas balki $(\Delta x)^2$ o'racha kvadratik og'ishni olishadi. Yuqoridagi tushuntirishlarga asoslanib:

$$(1.95) \quad \overline{(\Delta x)^2} = \overline{(x - \bar{x})^2} = \overline{x^2} - \bar{x}^2$$

mumkin, $\frac{\partial}{\partial x}$ operator chiziqli, ammo o'z-o'ziga qo'shma emas.

operator chiziqli va o'z-o'ziga qo'shma operator ekan. Tekshirib ko'rish operatorining qo'shmasi esa $\hat{p}_x^* = i\hbar \frac{\partial}{\partial x}$ ga teng. Shunday qilib, \hat{p}_x hamda $n_1^* n_2^* (\pm\infty) = 0$ teng ekanligi hisobga olindi. Impuls

$$(2.4) \quad \int_{-\infty}^{\infty} u_1^* \hat{p}_x u_2 dx = -i\hbar \int_{-\infty}^{\infty} u_1 \frac{\partial u_2}{\partial x} dx = \left[-i\hbar u_1^* u_2 \right]_{-\infty}^{\infty} + \int_{-\infty}^{\infty} u_1 \frac{\partial u_1^*}{\partial x} dx = \int_{-\infty}^{\infty} u_2 \frac{\partial u_1^*}{\partial x} dx$$

o'z-o'ziga qo'shma ekanligini ko'raylik:

$$\int_{-\infty}^{\infty} u_1^* \hat{L} u_2(x) dx = \int_{-\infty}^{\infty} u_2(x) \hat{L}^* u_1^*(x) dx$$

tenglik o'rinli bo'lsa. Bu shartni qanoatlantiruvchi operatorlar faqat

haqiqiy fizik kattaliklarni ifodalaydi. Impuls operatorining $\hat{p}_x = -i\hbar \frac{\partial}{\partial x}$

operator o'z-o'ziga qo'shma yoki ermit, operator deyiladi, agarda

$$\begin{aligned} \hat{p}_x^* &= (\hat{p}_x)^* = \left(-i\hbar \frac{\partial}{\partial x} \right)^* = i\hbar \frac{\partial}{\partial x} \\ &= (\hat{p}_x)^* = \left(-i\hbar \frac{\partial}{\partial x} \right)^* = i\hbar \frac{\partial}{\partial x} \end{aligned}$$

Agar \hat{A} va \hat{B} operatorlar chiziqli bo'lsa, ularning yig'indisi ham,

ko'paytmasi ham chiziqli operator bo'ladi. Shunga binoan \hat{x} va \hat{p}_x operatorlar chiziqli bo'lganligi sababli, ular o'zaro algebraik

ifodalanuvchi har qanday fizik kattalik ham chiziqli operator bo'ladi. Demak, fizik kattalikka mos keluvchi operatorlar chiziqli bo'lishi shart.

Chiziqli \hat{L} operator o'z-o'ziga qo'shma yoki ermit, operator deyiladi, agarda

operator ham chiziqli operator ekanligiga ishonch hosil qilish kerak emas:

Bu formuladigan deb ataladi. Bu formuladigan bo'lib, \hat{p}_x va \hat{x} lar ixtiyoriy funksiyalar bo'lib, \hat{p}_x va \hat{x} kompleks sonlardir. Koordinataning \hat{x} operatori ham, impulsning \hat{p}_x operatori ham chiziqli operator ekanligiga ishonch hosil qilish kerak.

Aynan shuning uchun ermit operatorlarni o'z-o'ziga qo'shma operatorlar deb yuritiladi.

1. $\hat{C} = \hat{A} + \hat{B}$ ermit operatorlarning yig'indisi ham ermit operator bo'ladi.

2. Ermit operatorning biror bir haqiqiy songa ko'paytmasi ham ermit operator bo'ladi.

3. $\hat{D} = \hat{A} \cdot \hat{B}$ ikki ermit operatorning ko'paytmasi ermit operator bo'lishi uchun \hat{A} va \hat{B} operatorlar albatta o'z-o'ziga kommutativ bo'lishi lozim. Shunday qilib, fizik kattaliklar uchun operatorni ifodani tuzishda o'ta ehtiyotkorlik talab qilinadi.

2.2. Fizik kattaliklarning o'racha qiymatlari va operatorlari orasidagi bog'lanish

Kvant mexanikasida operatorlar qo'llanishining asosiy g'oyasi shundan iboratki, har bir fizik kattalikka uni tavsiflovchi chiziqli va o'z-o'ziga qo'shma operator moslashiriladi, ya'ni istalgan fizik kattalik biror operator yordamida ifodalanadi:

$$(2.6) \quad L \rightarrow \hat{L}.$$

Masalan, \mathbf{r} radius-vektorga uni ifodalovchi $\hat{\mathbf{r}}$, x o'qi bo'yicha impuls komponentasi p_x ga esa $\hat{p}_x = -i\hbar \frac{\partial}{\partial x}$ operator moslashiriladi,

yoki $L = L(p_x, p_y, p_z, x, y, z)$ impulslar va koordinatalar funksiyasi bo'lgan L klassik kattalik berilgan bo'lsa, u holda \hat{L} chiziqli va o'z-o'ziga qo'shma operatorning ko'rinishi

$$\hat{L} = L(\hat{p}_x, \hat{p}_y, \hat{p}_z, x, y, z)$$

bo'ladi.

Istalgan fizik kattalikning o'racha qiymatini qanday hisoblash mumkinligini I bobning 1.11- bo'limida ko'rib chiqdik, buning uchun zarrachaning holatini tavsiflovchi to'liqin funksiya va shu fizik kattalikka mos keluvchi operatorni to'g'ri tanlab olish kerak.

$$\hat{M}_z \text{ ning qiymatini (2.71) formuladan (2.88) formulaga qo'yilsa}$$

$$-i\hbar \frac{\partial \psi}{\partial z} = M_z \psi \quad (2.89)$$

Bu yerda $P_l(\xi)$ Lejandr polinomi deyiladi va u

$$P_l(\xi) = \frac{1}{2^l} \frac{d^l}{d\xi^l} (1 - \xi^2)^l \quad (2.84)$$

$$P_l(\xi) = \cos \theta \quad (2.83)$$

teng:

Aggagidagi ifodada $P_l(\xi)$ ifodada $\xi = \cos \theta$.

Bu yerda $P_l(\xi)$ Lejandr polinomi deyiladi va u

$$P_l(\xi) = \frac{1}{2^l} \frac{d^l}{d\xi^l} (1 - \xi^2)^l \quad (2.84)$$

Aggagidagi ifodada $P_l(\xi)$ ifodada $\xi = \cos \theta$.

Operatorlarning chiziqchilik xossasi superpozitsiya prinsipining bajarilishidan kelib chiqadi, o'z-o'ziga qo'shmali ega, fizik kattaliklar operatorlarining haqiqiy sonlar bilan ifodalinishi kerakligi bilan bog'liqdir. Har bir fizik kattalik operatorini tanlab olishda umumiy xarakterga ega bo'lgan fizik mulohazalardan foydalanish zarur, bunday operatorlar yordamida olingan dinamik o'zgaruvchilarni tajriba natijalari bilan moslashtirishadi.

Klassik mexanikada muhim dinamik xarakteristikalar sifatida moddiy nuqtaning koordinatasi, uning tezligi, energiyasi kabi kattaliklar tanlab olinadi. Kvant mexanikasida esa zarrachaning tezligi uning impuls bilan almashiriladi, energiya esa impulslar orqali ifodalangan bo'ladi.

Endi kvant mexanikasida muhim rol o'ynaydigan fizik kattaliklarga mos operatorlarning ko'rinishini aniqlaylik. Asosiy operatorlarning ko'rinishi avvalo Dekart koordinatalar sistemasida beriladi, keyinchalik esa boshqa koordinatalar sistemasidagi ko'rinishlariga ham o'txalinadi.

Operator tushunchasidan foydalangan holda, koordinata va unga bog'liq bo'lgan fizik kattalikning o'rtacha qiymatini (1.83) formula orqali yozish mumkin:

$$\bar{r} = \int \psi^*(\mathbf{r}, t) \hat{r} \psi(\mathbf{r}, t) d\mathbf{r}$$

Bundagi \hat{r} operator quyidagi ma'noda tushuniladi:

$$\hat{x}\psi(\mathbf{r}, t) = x\psi(\mathbf{r}, t), \quad \hat{y}\psi(\mathbf{r}, t) = y\psi(\mathbf{r}, t), \quad \hat{z}\psi(\mathbf{r}, t) = z\psi(\mathbf{r}, t). \quad (2.55)$$

Demak, koordinata operatorlarini holat funksiyasiga ta'siri shu holat funksiyasiga koordinatani ko'paytirish orqali amalga oshiriladi.

Berilgan koordinatalarga mos holda impuls operatorlarining ko'rinishi quyidagicha bo'ladi:

$$\hat{p}_x = -i\hbar \frac{\partial}{\partial x}, \quad \hat{p}_y = -i\hbar \frac{\partial}{\partial y}, \quad \hat{p}_z = -i\hbar \frac{\partial}{\partial z} \quad (2.56)$$

Yuqoridagi ikkala operatorning vektor ko'rinishlari esa, —

$$\hat{\mathbf{r}} = \mathbf{r} \quad \text{va} \quad \hat{\mathbf{p}} = -i\hbar \nabla$$

$$\nabla = \mathbf{i} \frac{\partial}{\partial x} + \mathbf{j} \frac{\partial}{\partial y} + \mathbf{k} \frac{\partial}{\partial z}$$

bo'ladi, bunda ∇ — gradiyent operatori bo'lib, Dekart koordinatalar sistemasida

ko'rinishga ega.

$$\int U_1^* U_2 dx = 0 \quad (2.17)$$

foydalaniladi. Agarda

soddalashirish maqsadida ikkita U_1 va U_2 kompleks funksiyalardan operatorlarning ba'zi-bir muhim xossalari ko'rib chiqiladi. Masalani

2.4 Xususiy funksiyalarning asosiy xossalari

shart bajarilishi bilan bog'liqdir.

$$\bar{L} = \bar{L}^*$$

kerakligi bilan, ya'ni ular uchun

operatorlarning muhim bir

xususiyatini ko'rishga o'taylik. Bu xususiyatning mavjudligi, fizik

kattaliklarning o'rtacha qiymatlari haqiqiy sonlar bilan ifodalanishi

kerakligi bilan, ya'ni ular uchun

operatorlarning muhim bir

xususiyatini ko'rishga o'taylik. Bu xususiyatning mavjudligi, fizik

kattaliklarning o'rtacha qiymatlari haqiqiy sonlar bilan ifodalanishi

kerakligi bilan, ya'ni ular uchun

operatorlarning muhim bir

xususiyatini ko'rishga o'taylik. Bu xususiyatning mavjudligi, fizik

kattaliklarning o'rtacha qiymatlari haqiqiy sonlar bilan ifodalanishi

kerakligi bilan, ya'ni ular uchun

operatorlarning muhim bir

xususiyatini ko'rishga o'taylik. Bu xususiyatning mavjudligi, fizik

kattaliklarning o'rtacha qiymatlari haqiqiy sonlar bilan ifodalanishi

kerakligi bilan, ya'ni ular uchun

operatorlarning muhim bir

xususiyatini ko'rishga o'taylik. Bu xususiyatning mavjudligi, fizik

kattaliklarning o'rtacha qiymatlari haqiqiy sonlar bilan ifodalanishi

kerakligi bilan, ya'ni ular uchun

operatorlarning muhim bir

xususiyatini ko'rishga o'taylik. Bu xususiyatning mavjudligi, fizik

kattaliklarning o'rtacha qiymatlari haqiqiy sonlar bilan ifodalanishi

kerakligi bilan, ya'ni ular uchun

operatorlarning muhim bir

xususiyatini ko'rishga o'taylik. Bu xususiyatning mavjudligi, fizik

kattaliklarning o'rtacha qiymatlari haqiqiy sonlar bilan ifodalanishi

kerakligi bilan, ya'ni ular uchun

operatorlarning muhim bir

xususiyatini ko'rishga o'taylik. Bu xususiyatning mavjudligi, fizik

kattaliklarning o'rtacha qiymatlari haqiqiy sonlar bilan ifodalanishi

kerakligi bilan, ya'ni ular uchun

operatorlarning muhim bir

xususiyatini ko'rishga o'taylik. Bu xususiyatning mavjudligi, fizik

kattaliklarning o'rtacha qiymatlari haqiqiy sonlar bilan ifodalanishi

kerakligi bilan, ya'ni ular uchun

operatorlarning muhim bir

xususiyatini ko'rishga o'taylik. Bu xususiyatning mavjudligi, fizik

kattaliklarning o'rtacha qiymatlari haqiqiy sonlar bilan ifodalanishi

kerakligi bilan, ya'ni ular uchun

operatorlarning muhim bir

xususiyatini ko'rishga o'taylik. Bu xususiyatning mavjudligi, fizik

kattaliklarning o'rtacha qiymatlari haqiqiy sonlar bilan ifodalanishi

kerakligi bilan, ya'ni ular uchun

operatorlarning muhim bir

xususiyatini ko'rishga o'taylik. Bu xususiyatning mavjudligi, fizik

kattaliklarning o'rtacha qiymatlari haqiqiy sonlar bilan ifodalanishi

kerakligi bilan, ya'ni ular uchun

operatorlarning muhim bir

xususiyatini ko'rishga o'taylik. Bu xususiyatning mavjudligi, fizik

kattaliklarning o'rtacha qiymatlari haqiqiy sonlar bilan ifodalanishi

kerakligi bilan, ya'ni ular uchun

operatorlarning muhim bir

xususiyatini ko'rishga o'taylik. Bu xususiyatning mavjudligi, fizik

kattaliklarning o'rtacha qiymatlari haqiqiy sonlar bilan ifodalanishi

kerakligi bilan, ya'ni ular uchun

operatorlarning muhim bir

xususiyatini ko'rishga o'taylik. Bu xususiyatning mavjudligi, fizik

kattaliklarning o'rtacha qiymatlari haqiqiy sonlar bilan ifodalanishi

kerakligi bilan, ya'ni ular uchun

operatorlarning muhim bir

xususiyatini ko'rishga o'taylik. Bu xususiyatning mavjudligi, fizik

kattaliklarning o'rtacha qiymatlari haqiqiy sonlar bilan ifodalanishi

kerakligi bilan, ya'ni ular uchun

operatorlarning muhim bir

xususiyatini ko'rishga o'taylik. Bu xususiyatning mavjudligi, fizik

kattaliklarning o'rtacha qiymatlari haqiqiy sonlar bilan ifodalanishi

kerakligi bilan, ya'ni ular uchun

operatorlarning muhim bir

xususiyatini ko'rishga o'taylik. Bu xususiyatning mavjudligi, fizik

kattaliklarning o'rtacha qiymatlari haqiqiy sonlar bilan ifodalanishi

kerakligi bilan, ya'ni ular uchun

operatorlarning muhim bir

xususiyatini ko'rishga o'taylik. Bu xususiyatning mavjudligi, fizik

kattaliklarning o'rtacha qiymatlari haqiqiy sonlar bilan ifodalanishi

kerakligi bilan, ya'ni ular uchun

operatorlarning muhim bir

xususiyatini ko'rishga o'taylik. Bu xususiyatning mavjudligi, fizik

2.6 Zarrachaning koordinata va impuls operatorlari

Demak, shunday fizik kattaliklarni tanlash mumkiniki, ularning qiymatlari bir vaqtning o'zida berilishi zarracha holatini to'la aniqlab beradi. Bunday fizik kattaliklarga mos bo'lgan operatorlar o'z-o'ziga kommutativ bo'lishi shart, ana shunda ularni bir vaqtning o'zida kuzatish yoki o'lchash mumkin.

$$\hat{L}\hat{M} = \hat{M}\hat{L}. \quad (2.54)$$

Demak, shunday fizik kattaliklarni tanlash mumkiniki, ularning qiymatlari bir vaqtning o'zida berilishi zarracha holatini to'la aniqlab beradi. Bunday fizik kattaliklarga mos bo'lgan operatorlar o'z-o'ziga kommutativ bo'lishi shart, ana shunda ularni bir vaqtning o'zida kuzatish yoki o'lchash mumkin.

Demak, shunday fizik kattaliklarni tanlash mumkiniki, ularning qiymatlari bir vaqtning o'zida berilishi zarracha holatini to'la aniqlab beradi. Bunday fizik kattaliklarga mos bo'lgan operatorlar o'z-o'ziga kommutativ bo'lishi shart, ana shunda ularni bir vaqtning o'zida kuzatish yoki o'lchash mumkin.

Demak, shunday fizik kattaliklarni tanlash mumkiniki, ularning qiymatlari bir vaqtning o'zida berilishi zarracha holatini to'la aniqlab beradi. Bunday fizik kattaliklarga mos bo'lgan operatorlar o'z-o'ziga kommutativ bo'lishi shart, ana shunda ularni bir vaqtning o'zida kuzatish yoki o'lchash mumkin.

Demak, shunday fizik kattaliklarni tanlash mumkiniki, ularning qiymatlari bir vaqtning o'zida berilishi zarracha holatini to'la aniqlab beradi. Bunday fizik kattaliklarga mos bo'lgan operatorlar o'z-o'ziga kommutativ bo'lishi shart, ana shunda ularni bir vaqtning o'zida kuzatish yoki o'lchash mumkin.

Demak, shunday fizik kattaliklarni tanlash mumkiniki, ularning qiymatlari bir vaqtning o'zida berilishi zarracha holatini to'la aniqlab beradi. Bunday fizik kattaliklarga mos bo'lgan operatorlar o'z-o'ziga kommutativ bo'lishi shart, ana shunda ularni bir vaqtning o'zida kuzatish yoki o'lchash mumkin.

Demak, shunday fizik kattaliklarni tanlash mumkiniki, ularning qiymatlari bir vaqtning o'zida berilishi zarracha holatini to'la aniqlab beradi. Bunday fizik kattaliklarga mos bo'lgan operatorlar o'z-o'ziga kommutativ bo'lishi shart, ana shunda ularni bir vaqtning o'zida kuzatish yoki o'lchash mumkin.

Demak, shunday fizik kattaliklarni tanlash mumkiniki, ularning qiymatlari bir vaqtning o'zida berilishi zarracha holatini to'la aniqlab beradi. Bunday fizik kattaliklarga mos bo'lgan operatorlar o'z-o'ziga kommutativ bo'lishi shart, ana shunda ularni bir vaqtning o'zida kuzatish yoki o'lchash mumkin.

Demak, shunday fizik kattaliklarni tanlash mumkiniki, ularning qiymatlari bir vaqtning o'zida berilishi zarracha holatini to'la aniqlab beradi. Bunday fizik kattaliklarga mos bo'lgan operatorlar o'z-o'ziga kommutativ bo'lishi shart, ana shunda ularni bir vaqtning o'zida kuzatish yoki o'lchash mumkin.

Demak, shunday fizik kattaliklarni tanlash mumkiniki, ularning qiymatlari bir vaqtning o'zida berilishi zarracha holatini to'la aniqlab beradi. Bunday fizik kattaliklarga mos bo'lgan operatorlar o'z-o'ziga kommutativ bo'lishi shart, ana shunda ularni bir vaqtning o'zida kuzatish yoki o'lchash mumkin.

Demak, shunday fizik kattaliklarni tanlash mumkiniki, ularning qiymatlari bir vaqtning o'zida berilishi zarracha holatini to'la aniqlab beradi. Bunday fizik kattaliklarga mos bo'lgan operatorlar o'z-o'ziga kommutativ bo'lishi shart, ana shunda ularni bir vaqtning o'zida kuzatish yoki o'lchash mumkin.

Demak, shunday fizik kattaliklarni tanlash mumkiniki, ularning qiymatlari bir vaqtning o'zida berilishi zarracha holatini to'la aniqlab beradi. Bunday fizik kattaliklarga mos bo'lgan operatorlar o'z-o'ziga kommutativ bo'lishi shart, ana shunda ularni bir vaqtning o'zida kuzatish yoki o'lchash mumkin.

Demak, shunday fizik kattaliklarni tanlash mumkiniki, ularning qiymatlari bir vaqtning o'zida berilishi zarracha holatini to'la aniqlab beradi. Bunday fizik kattaliklarga mos bo'lgan operatorlar o'z-o'ziga kommutativ bo'lishi shart, ana shunda ularni bir vaqtning o'zida kuzatish yoki o'lchash mumkin.

Demak, shunday fizik kattaliklarni tanlash mumkiniki, ularning qiymatlari bir vaqtning o'zida berilishi zarracha holatini to'la aniqlab beradi. Bunday fizik kattaliklarga mos bo'lgan operatorlar o'z-o'ziga kommutativ bo'lishi shart, ana shunda ularni bir vaqtning o'zida kuzatish yoki o'lchash mumkin.

Demak, shunday fizik kattaliklarni tanlash mumkiniki, ularning qiymatlari bir vaqtning o'zida berilishi zarracha holatini to'la aniqlab beradi. Bunday fizik kattaliklarga mos bo'lgan operatorlar o'z-o'ziga kommutativ bo'lishi shart, ana shunda ularni bir vaqtning o'zida kuzatish yoki o'lchash mumkin.

Demak, shunday fizik kattaliklarni tanlash mumkiniki, ularning qiymatlari bir vaqtning o'zida berilishi zarracha holatini to'la aniqlab beradi. Bunday fizik kattaliklarga mos bo'lgan operatorlar o'z-o'ziga kommutativ bo'lishi shart, ana shunda ularni bir vaqtning o'zida kuzatish yoki o'lchash mumkin.

Demak, shunday fizik kattaliklarni tanlash mumkiniki, ularning qiymatlari bir vaqtning o'zida berilishi zarracha holatini to'la aniqlab beradi. Bunday fizik kattaliklarga mos bo'lgan operatorlar o'z-o'ziga kommutativ bo'lishi shart, ana shunda ularni bir vaqtning o'zida kuzatish yoki o'lchash mumkin.

Demak, shunday fizik kattaliklarni tanlash mumkiniki, ularning qiymatlari bir vaqtning o'zida berilishi zarracha holatini to'la aniqlab beradi. Bunday fizik kattaliklarga mos bo'lgan operatorlar o'z-o'ziga kommutativ bo'lishi shart, ana shunda ularni bir vaqtning o'zida kuzatish yoki o'lchash mumkin.

Demak, shunday fizik kattaliklarni tanlash mumkiniki, ularning qiymatlari bir vaqtning o'zida berilishi zarracha holatini to'la aniqlab beradi. Bunday fizik kattaliklarga mos bo'lgan operatorlar o'z-o'ziga kommutativ bo'lishi shart, ana shunda ularni bir vaqtning o'zida kuzatish yoki o'lchash mumkin.

Demak, shunday fizik kattaliklarni tanlash mumkiniki, ularning qiymatlari bir vaqtning o'zida berilishi zarracha holatini to'la aniqlab beradi. Bunday fizik kattaliklarga mos bo'lgan operatorlar o'z-o'ziga kommutativ bo'lishi shart, ana shunda ularni bir vaqtning o'zida kuzatish yoki o'lchash mumkin.

Demak, shunday fizik kattaliklarni tanlash mumkiniki, ularning qiymatlari bir vaqtning o'zida berilishi zarracha holatini to'la aniqlab beradi. Bunday fizik kattaliklarga mos bo'lgan operatorlar o'z-o'ziga kommutativ bo'lishi shart, ana shunda ularni bir vaqtning o'zida kuzatish yoki o'lchash mumkin.

Demak, shunday fizik kattaliklarni tanlash mumkiniki, ularning qiymatlari bir vaqtning o'zida berilishi zarracha holatini to'la aniqlab beradi. Bunday fizik kattaliklarga mos bo'lgan operatorlar o'z-o'ziga kommutativ bo'lishi shart, ana shunda ularni bir vaqtning o'zida kuzatish yoki o'lchash mumkin.

Demak, shunday fizik kattaliklarni tanlash mumkiniki, ularning qiymatlari bir vaqtning o'zida berilishi zarracha holatini to'la aniqlab beradi. Bunday fizik kattaliklarga mos bo'lgan operatorlar o'z-o'ziga kommutativ bo'lishi shart, ana shunda ularni bir vaqtning o'zida kuzatish yoki o'lchash mumkin.

Demak, shunday fizik kattaliklarni tanlash mumkiniki, ularning qiymatlari bir vaqtning o'zida berilishi zarracha holatini to'la aniqlab beradi. Bunday fizik kattaliklarga mos bo'lgan operatorlar o'z-o'ziga kommutativ bo'lishi shart, ana shunda ularni bir vaqtning o'zida kuzatish yoki o'lchash mumkin.

Demak, shunday fizik kattaliklarni tanlash mumkiniki, ularning qiymatlari bir vaqtning o'zida berilishi zarracha holatini to'la aniqlab beradi. Bunday fizik kattaliklarga mos bo'lgan operatorlar o'z-o'ziga kommutativ bo'lishi shart, ana shunda ularni bir vaqtning o'zida kuzatish yoki o'lchash mumkin.

Demak, shunday fizik kattaliklarni tanlash mumkiniki, ularning qiymatlari bir vaqtning o'zida berilishi zarracha holatini to'la aniqlab beradi. Bunday fizik kattaliklarga mos bo'lgan operatorlar o'z-o'ziga kommutativ bo'lishi shart, ana shunda ularni bir vaqtning o'zida kuzatish yoki o'lchash mumkin.

Demak, shunday fizik kattaliklarni tanlash mumkiniki, ularning qiymatlari bir vaqtning o'zida berilishi zarracha holatini to'la aniqlab beradi. Bunday fizik kattaliklarga mos bo'lgan operatorlar o'z-o'ziga kommutativ bo'lishi shart, ana shunda ularni bir vaqtning o'zida kuzatish yoki o'lchash mumkin.

har qanday fizik kattalikning aniq qiymati uchun zarrachaning ma'lum Endi yana bir qiziqarli masalani ko'rib chiqaylik. Ma'lum bo'ldiki, topilish ehtimolligini bildiradi.

Geyzenbergning noaniqlik munosabatlarining operator formasidagi munosabatlar ma'lum bo'lgan Boshqacha aytganda, (2.57) va (2.59) munosabatlar ma'lum bo'lgan koordinata aniqlik munosabatlariga ega bo'ladigan holat mavjud emas.

Ushbu almashtirish qoidalari Geyzenbergning o'rin almashtirish munosabatlarini deyiladi. Ko'rinib turibdiki,

$$F\hat{P}_x - \hat{P}_x F = i\hbar \frac{\partial F}{\partial x}, \quad (2.59)$$

$$F\hat{P}_y - \hat{P}_y F = i\hbar \frac{\partial F}{\partial y}, \quad (2.59)$$

$$F\hat{P}_z - \hat{P}_z F = i\hbar \frac{\partial F}{\partial z}. \quad (2.59)$$

Yuqorida keltirilgan munosabatlardan shu narsani qayd etish mumkin, kvant mexanikasida bir vaqtning o'zida impuls va koordinata aniqlik munosabatlariga ega bo'ladigan holat mavjud emas.

Shunga o'xshash yo'l bilan, ixtiyoriy $F(\mathbf{r})$ funksiya uchun o'rin almashtirish munosabatlarini keltirib chiqarish mumkin:

$$F\hat{P}_x - \hat{P}_x F = 0, \quad (2.58)$$

$$\int |C(L)|^2 dL = 1. \quad (2.49)$$

$$\int |C(L)|^2 dL = \iint |C(L)|^2 dL. \quad (2.48)$$

Agar ixtiyoriy uzluksiz kattalikning qiymati L va $L+dL$ oraliqda joylashgan bo'lsa, u holda uning ehtimolligi $w(L)dL$ ga teng bo'lib, o'rtacha qiymatning umumiy ifodasiga binoan

$$\bar{L} = \int w(L)dL \quad (2.51)$$

bo'ladi, agar

$$\int w(L)dL = 1 \quad (2.51)$$

shart bajarilsa.

(2.50) va (2.51) formulalarni (2.48) va (2.49) bilan taqqoslash natijaga kelinadi.

Endi (2.42) dan foydalanilsa,

$$\bar{L} = \iint C^*(L)C(L)LdL \quad (2.47)$$

natija olinadi. Endi (2.28) formuladan foydalanib, holat vektorining 1 ga normallashtirish shartini qator ko'rsatuvchilari orqali ifodalaylik:

$$1 = \int \psi^* \psi dx = \int dx \int C^*(L)C(L) \psi^*(x,L) \psi(x,L) dL \quad (2.44)$$

bu yerda eslatib o'taylik $L_m = L_m^*$. (2.19) tenglamani ikkinchisini tenglamadan ikkinchisi ayirildi. Natijada

$$\int \psi_m^* \hat{L} \psi_m dx - \int \psi_m \hat{L} \psi_m^* dx = (L_m - L_m^*) \int \psi_m^* \psi_m dx \quad (2.20)$$

natijani olinadi. \hat{L} operatorlarning o'z-o'ziga qo'shimlik shartini hisobga olinsa, ya'ni

$$\int \psi_m^* \hat{L} \psi_m dx = \int \psi_m \hat{L} \psi_m^* dx \quad (2.21)$$

bo'ladi va (2.20) tenglikning chap tomoni nolga teng. Demak,

$$(L_m - L_m^*) \int \psi_m^* \psi_m dx = 0 \quad (2.22)$$

va $L_m \neq L_m^*$ bo'lgani uchun,

$$\int \psi_m^* \psi_m dx = 0 \quad (2.23)$$

ortogonallik sharti kelib chiqadi.

Ikkinchi tomondan diskret spektrga tegishli funksiyalar har doim kvadratik integrallanuvchidir, shu tufayli ularni 1 ga normallashtirish mumkin, ya'ni

$$\int \psi_m^* \psi_m dx = 1. \quad (2.24)$$

Oxirgi tenglikni (2.21) tenglik bilan birlashtirib yozish mumkin.

masalasi ko'rib chiqaylik. Bu holda ushbu tenglikka egamiz:

Endi \hat{P}_x operator uchun xususiy funksiyalar va xususiy qiymatlar munosabatlarini ko'rib chiqaylik. Bu holda ushbu tenglikka egamiz:

Endi yana bir qiziqarli masalani ko'rib chiqaylik. Ma'lum bo'ldiki, topilish ehtimolligini bildiradi.

Geyzenbergning noaniqlik munosabatlarining operator formasidagi munosabatlar ma'lum bo'lgan Boshqacha aytganda, (2.57) va (2.59) munosabatlar ma'lum bo'lgan koordinata aniqlik munosabatlariga ega bo'ladigan holat mavjud emas.

Ushbu almashtirish qoidalari Geyzenbergning o'rin almashtirish munosabatlarini deyiladi. Ko'rinib turibdiki,

$$F\hat{P}_x - \hat{P}_x F = i\hbar \frac{\partial F}{\partial x}, \quad (2.59)$$

$$F\hat{P}_y - \hat{P}_y F = i\hbar \frac{\partial F}{\partial y}, \quad (2.59)$$

$$F\hat{P}_z - \hat{P}_z F = i\hbar \frac{\partial F}{\partial z}. \quad (2.59)$$

Yuqorida keltirilgan munosabatlardan shu narsani qayd etish mumkin, kvant mexanikasida bir vaqtning o'zida impuls va koordinata aniqlik munosabatlariga ega bo'ladigan holat mavjud emas.

Shunga o'xshash yo'l bilan, ixtiyoriy $F(\mathbf{r})$ funksiya uchun o'rin almashtirish munosabatlarini keltirib chiqarish mumkin:

$$F\hat{P}_x - \hat{P}_x F = 0, \quad (2.58)$$

Ushbu almashtirish qoidalari Geyzenbergning o'rin almashtirish munosabatlarini deyiladi. Ko'rinib turibdiki,

$$F\hat{P}_y - \hat{P}_y F = i\hbar, \quad (2.57)$$

$$F\hat{P}_z - \hat{P}_z F = i\hbar. \quad (2.57)$$

Shunga o'xshash quyidagilarni ham olish mumkin:

$$x\hat{P}_x - \hat{P}_x x = i\hbar \quad (2.57)$$

Ikkinchi qator birinchidan ayirilsa, quyidagi natijaga kelinadi:

$$\frac{x\partial}{\partial x} x\psi - \psi \frac{x\partial}{\partial x} = (x\psi) \frac{x\partial}{\partial x} - \psi \frac{x\partial}{\partial x} = (x\psi) \frac{x\partial}{\partial x} - \psi \frac{x\partial}{\partial x} = i\hbar \psi \quad (2.57)$$

$$\frac{x\partial}{\partial x} x\psi - \psi \frac{x\partial}{\partial x} = \left(\frac{x\partial}{\partial x} x\psi - \psi \frac{x\partial}{\partial x} \right) = (x\psi) \frac{x\partial}{\partial x} - \psi \frac{x\partial}{\partial x} = i\hbar \psi \quad (2.57)$$

Klassik mexanikada zarrachaning harakat qonunlari ham ushbu tengliklar bilan ifodalanadi. Ushbu tengliklar klassik mexanika qonunlarini kvant mexanika qonunlariga o'tkazish imkonini beradi.

Ushbu tengliklar klassik mexanika qonunlarini kvant mexanika qonunlariga o'tkazish imkonini beradi.

Ushbu tengliklar klassik mexanika qonunlarini kvant mexanika qonunlariga o'tkazish imkonini beradi.

Ushbu tengliklar klassik mexanika qonunlarini kvant mexanika qonunlariga o'tkazish imkonini beradi.

Ushbu tengliklar klassik mexanika qonunlarini kvant mexanika qonunlariga o'tkazish imkonini beradi.

Ushbu tengliklar klassik mexanika qonunlarini kvant mexanika qonunlariga o'tkazish imkonini beradi.

Ushbu tengliklar klassik mexanika qonunlarini kvant mexanika qonunlariga o'tkazish imkonini beradi.

Ushbu tengliklar klassik mexanika qonunlarini kvant mexanika qonunlariga o'tkazish imkonini beradi.

Ushbu tengliklar klassik mexanika qonunlarini kvant mexanika qonunlariga o'tkazish imkonini beradi.

Ushbu tengliklar klassik mexanika qonunlarini kvant mexanika qonunlariga o'tkazish imkonini beradi.

Ushbu tengliklar klassik mexanika qonunlarini kvant mexanika qonunlariga o'tkazish imkonini beradi.

Ushbu tengliklar klassik mexanika qonunlarini kvant mexanika qonunlariga o'tkazish imkonini beradi.

Ushbu tengliklar klassik mexanika qonunlarini kvant mexanika qonunlariga o'tkazish imkonini beradi.

Ushbu tengliklar klassik mexanika qonunlarini kvant mexanika qonunlariga o'tkazish imkonini beradi.

Ushbu tengliklar klassik mexanika qonunlarini kvant mexanika qonunlariga o'tkazish imkonini beradi.

Ushbu tengliklar klassik mexanika qonunlarini kvant mexanika qonunlariga o'tkazish imkonini beradi.

Ushbu tengliklar klassik mexanika qonunlarini kvant mexanika qonunlariga o'tkazish imkonini beradi.

Ushbu tengliklar klassik mexanika qonunlarini kvant mexanika qonunlariga o'tkazish imkonini beradi.

Ushbu tengliklar klassik mexanika qonunlarini kvant mexanika qonunlariga o'tkazish imkonini beradi.

Ushbu tengliklar klassik mexanika qonunlarini kvant mexanika qonunlariga o'tkazish imkonini beradi.

Ushbu tengliklar klassik mexanika qonunlarini kvant mexanika qonunlariga o'tkazish imkonini beradi.

Ushbu tengliklar klassik mexanika qonunlarini kvant mexanika qonunlariga o'tkazish imkonini beradi.

Ushbu tengliklar klassik mexanika qonunlarini kvant mexanika qonunlariga o'tkazish imkonini beradi.

Ushbu tengliklar klassik mexanika qonunlarini kvant mexanika qonunlariga o'tkazish imkonini beradi.

Ushbu tengliklar klassik mexanika qonunlarini kvant mexanika qonunlariga o'tkazish imkonini beradi.

Ushbu tengliklar klassik mexanika qonunlarini kvant mexanika qonunlariga o'tkazish imkonini beradi.

Ushbu tengliklar klassik mexanika qonunlarini kvant mexanika qonunlariga o'tkazish imkonini beradi.

Ushbu tengliklar klassik mexanika qonunlarini kvant mexanika qonunlariga o'tkazish imkonini beradi.

Ushbu tengliklar klassik mexanika qonunlarini kvant mexanika qonunlariga o'tkazish imkonini beradi.

ψ holatdagi L ning o'rtacha qiymati hisoblanadi:

$$\psi(x) = \int C(L)\mathcal{W}(x, L)dL \quad \text{va} \quad \psi^*(x) = \int C^*(L)\mathcal{W}^*(x, L)dL. \quad (2.43)$$

Ko'riyatotgan ψ holatni \hat{L} operatorning $\psi(x, L)$ xususiy funksiyalari bo'yicha integral almashtirish ko'rib chiqiladi:

$$\int \psi^*(x, L)\mathcal{W}(x, L)dx = \delta(L' - L). \quad (2.42)$$

Ko'riyatotgan ψ holatni \hat{L} operatorning $\psi(x, L)$ xususiy funksiyalari asosiy negizini bayon etgandan so'ng, olgan xulosalarni uzluksiz spektrli operatorlarga ham tatbiq qilish qiyin emas. Bunday umumlashtirish, matematikada ishbotlangan uzluksiz spektrga mos bo'lgan xususiy funksiyalarning quyidagi xossalari bilan bog'liqdir:

tasinotini beradi:

Diskret spektrli operatorlar misolida ko'riyatotgan muammoning

asosiy negizini bayon etgandan so'ng, olgan xulosalarni uzluksiz

spektrli operatorlarga ham tatbiq qilish qiyin emas. Bunday

umumlashtirish, matematikada ishbotlangan uzluksiz spektrga mos

bo'lgan xususiy funksiyalarning quyidagi xossalari bilan bog'liqdir:

$$\int \psi^*(x, L)\mathcal{W}(x, L)dx = \delta(L' - L). \quad (2.42)$$

Ko'riyatotgan ψ holatni \hat{L} operatorning $\psi(x, L)$ xususiy funksiyalari

bo'yicha integral almashtirish ko'rib chiqiladi:

$$\psi(x) = \int C(L)\mathcal{W}(x, L)dL \quad \text{va} \quad \psi^*(x) = \int C^*(L)\mathcal{W}^*(x, L)dL. \quad (2.43)$$

$$\int \psi_m^* \psi_n dx = \delta_{mm} \quad (2.23)$$

bunda δ_{mm} – Kroneker belgisi bo'lib, n quyidagicha aniqlanadi.

$$\delta_{mm} = 1, \text{ agarda } n = m$$

$$\delta_{mm} = 0, \text{ agarda } n \neq m \quad (2.24)$$

(2.23) shartini qanoatlantiruvchi funksiyalar sistemasini ortogonal va normallashtirilgan funksiyalar sistemasi deyish mumkin.

Shuni aytish kerakki, birgina L_n xususiy qiymatga bir nechta chiziqli bog'lanmagan $\psi_n, \psi_{n_1}, \dots, \psi_{n_r}$ xususiy funksiyalar mos kelishi mumkin. Bunday hollarda, agar bu chiziqli bog'lanmagan xususiy funksiyalarning soni f bo'lsa, unda L_n xususiy qiymatni f marta aynigan deyiladi va f karrali aynish to'g'risida gap yuritish mumkin. Modomiki, \hat{L} chiziqli operator ekan, unda shu funksiyalarning har qanday chiziqli kombinatsiyasi ham L_n bilan berilgan tenglamani qanoatlantiradi. Xususiy funksiyalarni shunday tanlash mumkin,ki, ulardan ortogonal bo'lgan xususiy funksiyalar sistemasini tuzish mumkin:

$$\int \psi_{nk}^* \psi_{nk} dx = \delta_{k,k}. \quad (2.25)$$

Diskret spektrli operatorlar misolida ko'riyatotgan muammoning asosiy negizini bayon etgandan so'ng, olgan xulosalarni uzluksiz spektrli operatorlarga ham tatbiq qilish qiyin emas. Bunday umumlashtirish, matematikada ishbotlangan uzluksiz spektrga mos bo'lgan xususiy funksiyalarning quyidagi xossalari bilan bog'liqdir.

$$\int \psi^*(x, L')\mathcal{W}(x, L)dx = \delta(L' - L) \quad (2.26)$$

bunda $\delta(L' - L)$ - Dirak delta (δ) funksiyasi deyiladi.

δ - funksiya odatdagi funksiya emas, uni rasmiy jihatdan quyidagicha tushuntirish mumkin:

$$\delta(L - L') = \begin{cases} \infty, & \text{agar } L = L' \\ 0, & \text{agar } L \neq L' \end{cases} \quad (2.27)$$

ammo uni shunday “g'alati” ko'rinishga egaligiga qaramay, uning uchun ushbu shart bajariladi:

$$\int \delta(L - L')dL' = 1. \quad (2.28)$$



$$\hat{M}_x = i\hbar \left(\sin\theta \frac{\partial}{\partial\theta} + \frac{\partial}{\partial\phi} \cos\theta \right) \quad (2.69)$$

Shunga o'xshash hisoblashlarini amalga oshirib, quyidagi formulalarni ham keltirib chiqarish mumkin:

$$\hat{M}_y = i\hbar \left(\cos\theta \frac{\partial}{\partial\phi} - \frac{\partial}{\partial\theta} \sin\theta \right) \quad (2.70)$$

$$\hat{M}_z = \frac{\partial}{\partial\phi} \quad (2.71)$$

(2.69), (2.70) va (2.71) tengliklar sferik ko'ordinatalar sistemasidagi impuls moment operatorining r, θ, ϕ komponentalari orqali ifodalanihidir.

Endi impuls momentning kvadrati uchun ifoda aniqlaniladi. Kvant mexanikasida impuls momenti kvadrati operatori uning koordinata o'qlaridagi proyeksiyalari kvadrati operatorlarining yig'indisiga teng:

$$\hat{M}^2 = \hat{M}_x^2 + \hat{M}_y^2 + \hat{M}_z^2 \quad (2.72)$$

Yuqoridagi (2.69) – (2.71) formulalarni e'tiborga olib, impuls momenti kvadratining operatori uchun

$$\hat{M}^2 = -\hbar^2 \left[\frac{1}{\sin\theta} \frac{\partial}{\partial\theta} \left(\sin\theta \frac{\partial}{\partial\theta} \right) + \frac{1}{\sin^2\theta} \frac{\partial^2}{\partial\phi^2} \right] \quad (2.73)$$

ifoda hosil qilinadi.

Olingan (2.73) ifodani Laplas operatori $\nabla^2_{\theta, \phi}$ orqali yozish mumkin. Sferik ko'ordinatalar sistemasini ikki komponentasi θ, ϕ uchun Laplas operatori

$$\nabla^2_{\theta, \phi} = \frac{1}{\sin\theta} \frac{\partial}{\partial\theta} \left(\sin\theta \frac{\partial}{\partial\theta} \right) + \frac{1}{\sin^2\theta} \frac{\partial^2}{\partial\phi^2} \quad (2.74)$$

bo'lgani uchun

$$\hat{M}^2 = -\hbar^2 \nabla^2_{\theta, \phi} \quad (2.75)$$

teng bo'ladi.

Shunday qilib, sferik ko'ordinatalar sistemasida zarracha harakati uchun impuls momenti proyeksiyalarining operatorlari va impuls momenti kvadrati operatori uchun ifodalari aniqlab berildi.

ya'ni ψ_{p_x} impuls operatorining xususiy funksiyalari de-Broyl to'liqlarining o'zginasi ekan.

2.7. Zarracha impuls momentining operatori

Zarracha yoki butun yopiq sistemaning eng muhim xarakteristikalaridan biri harakat miqdori momenti ya'ni impuls momenti hisoblanadi. Klassik mexanikada zarrachaning impuls moment, deb maydon markazidan zarrachagacha o'tkazilgan radius-vektor \mathbf{r} ni zarracha impulsiga (harakat miqdoriga) vektor ko'paytmasi tushuniladi:

$$\hat{p}_x \psi = p_x \psi$$

bunda p_x qiymat \hat{p}_x operatorning xususiy qiymatini bildiradi. \hat{p}_x operatorning ko'rinishidan foydalanib,

$$-i\hbar \frac{\partial \psi}{\partial x} = p_x \psi$$

tenglamaga kelinadi. Bu tenglamani integrallash natijasida quyidagi yechimni olish mumkin:

$$\psi_{p_x} = N \exp \left(i \frac{p_x \cdot x}{\hbar} \right)$$

bunda N – doimiy son. Barcha sohalarida bu yechim uzluksiz, bir qiymatli va chekli bo'lishi uchun p_x ning haqiqiy son bo'lishi yetarli.

Shu tufayli p_x xususiy qiymatlarning spektri uzluksiz spektr bo'ladi va uning o'zgarish sohasi

$$-\infty < p_x < +\infty$$

bo'ladi. ψ_{p_x} funksiyani δ – funksiyaga normallashtirilgan talab qilinsa,

to'liqin funksiyasidagi doimiy $N = (2\pi\hbar)^{-\frac{1}{2}}$ ga teng bo'ladi. Shunday qilib,

\hat{p}_x operatorning normallashtirilgan va ortogonal xususiy funksiyalarining ko'rinishi quyidagicha bo'ladi:

$$\psi_{p_x} = \frac{1}{\sqrt{2\pi\hbar}} \exp \left(i \frac{p_x \cdot x}{\hbar} \right)$$

va

$$\int \psi_{p_x}^*(x)\psi_{p_x}(x)dx = \delta(p'_x - p_x)$$

ya'ni ψ_{p_x} impuls operatorining xususiy funksiyalari de-Broyl to'liqlarining o'zginasi ekan.

$$1 = \int \psi^* \psi dx = \sum_n C_n^* C_n \int \psi_n^* \psi_n dx = \sum_n C_n^* C_n \delta_{nn} = \sum_n |C_n|^2, \quad (2.38)$$

quyidagi natijani olinadi:

$$\bar{L} = \sum_n |C_n|^2 L_n. \quad (2.37)$$

Ikkinchidan, (2.34) ni (2.34') ga ko'paytirib, o'zgaruvchilarning

butun fazo o'zgarishni bo'yicha integrallab:

$$\bar{L} = \sum_n \sum_m C_m^* C_n L_n \delta_{nm} = \sum_n C_n^* C_n L_n \quad (2.36)$$

bo'ladi. (2.36) formuladan, hamda ψ_n va ψ_m funksiyalarning

ortogonalligidan foydalanilisa, (2.35) formula o'rniga

$$\bar{L} \psi_n = L_n \psi_n \quad (2.35)$$

bo'ladi. Bu formulalarda n va m lar bir xil qiymatlarni qabul

$$\bar{L} = \int \psi^* L \psi dx = \sum_n C_n^* C_n \int \psi_n^* L \psi_n dx \quad (2.34')$$

hisoblash formulasiga qo'yilisa, quyidagi natijaga kelinadi:

Olingan ψ va ψ^* ifodalarni L kattalikning o'rtacha qiymatini

qiladi.

Agar $L = L'$ nuqta $[a, b]$ intervalning ichida joylashgan bo'lsa,

$$\int_a^b f(L) \delta(L-L') dL' = f(L) \quad (2.29)$$

ifodalarni. Agar $L = L'$ nuqta $[a, b]$ intervalning ichida joylashgan bo'lsa,

$$\int_a^b f(L) \delta(L-L') dL' = f(L) \quad (2.30)$$

Matematikadan ma'lumki, faqat diskret spektrga ega bo'lgan o'z-

o'ziga qo'shma operatorlarning barcha orthonormallashgan xususiy

funksiyalari Gilbert fazosida to'liq to'plamni tashkil etadi. Soddarroq

qilib aytganda, istalgan kvadratik integrallanuvchi funksiyani

operatorning xususiy funksiyalari bo'yicha qatorga yoyish mumkin:

$$\psi(x) = \sum_n C_n \psi_n(x). \quad (2.31)$$

(2.31) formuladan foydalangan holda C_n qator koeffitsiyentlarini oson

aniqlash mumkin. (2.31) tenglikning ikkala tomonini chapdan $\psi_n^*(x)$

skalar ravishda ko'paytiriladi va butun fazo bo'yilab integrallanadi:

$$\int \psi_n^*(x) \psi(x) dx = \sum_n C_n \int \psi_n^*(x) \psi_n(x) dx \quad (2.32)$$

ψ_n funksiyani ortogonalligini va normallashganligi hisobga olinisa,

(2.32) ifodaning o'ng tomonidagi yig'indi belgisi ichida turgan integral

bo'ladi, shunday qilib

$$\sum_n C_n \int \psi_n^*(x) \psi_n(x) dx = \sum_n C_n \delta_{nn} = C_n \quad (2.33)$$

Indeks m ni n ga almashtirilisa, quyidagi

$$C_n = \int \psi_n^*(x) \psi(x) dx \quad (2.34)$$

koeffitsiyent aniqlanadi va (2.32) dagi barcha C_n koeffitsiyentlarni

topish mumkin.

2.5. O'lchash natijalarining ehtimoligini hisoblash

Avvalgi paragraflarda \hat{L} operator bilan tavsiflanuvchi ixtiyoriy

kattalikning L o'tacha qiymatini hisoblashni va shu kattalikning

ko'rinish keltirib chiqariladi.

operatorning M_x komponentasini sferik koordinatalar sistemasidagi

komponentalari orqali yozish mumkin. Misol tariqasida impuls momenti

(2.62) tenglamalarni sferik koordinatalar sistemasida r, θ, φ

$$\varphi = \arctg \frac{y}{x} \quad \theta = r \cos \theta$$

$$\theta = \arccos \frac{z}{\sqrt{x^2 + y^2 + z^2}} \quad \varphi = r \sin \theta \sin \varphi$$

$$r = \sqrt{x^2 + y^2 + z^2} \quad \theta = r \cos \theta$$

bilan quyidagicha bog'langan:

Bu tenglamalar Dekart koordinatasidagi x, y, z komponentalari uchun

yozilgan. Dekart koordinatalari sistemasini sferik koordinatalar sistemasini

bilan quyidagicha bog'langan:

$$\hat{M}_z = i\hbar \left(x \frac{\partial}{\partial y} - y \frac{\partial}{\partial x} \right) \quad \hat{M}_y = i\hbar \left(z \frac{\partial}{\partial x} - x \frac{\partial}{\partial z} \right) \quad \hat{M}_x = i\hbar \left(y \frac{\partial}{\partial z} - z \frac{\partial}{\partial y} \right)$$

$$(2.2)$$

$$\hat{M}_x = i\hbar \left(y \frac{\partial}{\partial z} - z \frac{\partial}{\partial y} \right) \quad \hat{M}_y = i\hbar \left(z \frac{\partial}{\partial x} - x \frac{\partial}{\partial z} \right) \quad \hat{M}_z = i\hbar \left(x \frac{\partial}{\partial y} - y \frac{\partial}{\partial x} \right)$$

$$(2.2)$$

$$\hat{M}_x = i\hbar \left(y \frac{\partial}{\partial z} - z \frac{\partial}{\partial y} \right) \quad \hat{M}_y = i\hbar \left(z \frac{\partial}{\partial x} - x \frac{\partial}{\partial z} \right) \quad \hat{M}_z = i\hbar \left(x \frac{\partial}{\partial y} - y \frac{\partial}{\partial x} \right)$$

$$(2.2)$$

$$\hat{M}_x = i\hbar \left(y \frac{\partial}{\partial z} - z \frac{\partial}{\partial y} \right) \quad \hat{M}_y = i\hbar \left(z \frac{\partial}{\partial x} - x \frac{\partial}{\partial z} \right) \quad \hat{M}_z = i\hbar \left(x \frac{\partial}{\partial y} - y \frac{\partial}{\partial x} \right)$$

$$(2.2)$$

$$\hat{M}_x = i\hbar \left(y \frac{\partial}{\partial z} - z \frac{\partial}{\partial y} \right) \quad \hat{M}_y = i\hbar \left(z \frac{\partial}{\partial x} - x \frac{\partial}{\partial z} \right) \quad \hat{M}_z = i\hbar \left(x \frac{\partial}{\partial y} - y \frac{\partial}{\partial x} \right)$$

$$(2.2)$$

$$\hat{M}_x = i\hbar \left(y \frac{\partial}{\partial z} - z \frac{\partial}{\partial y} \right) \quad \hat{M}_y = i\hbar \left(z \frac{\partial}{\partial x} - x \frac{\partial}{\partial z} \right) \quad \hat{M}_z = i\hbar \left(x \frac{\partial}{\partial y} - y \frac{\partial}{\partial x} \right)$$

$$(2.2)$$

$$\hat{M}_x = i\hbar \left(y \frac{\partial}{\partial z} - z \frac{\partial}{\partial y} \right) \quad \hat{M}_y = i\hbar \left(z \frac{\partial}{\partial x} - x \frac{\partial}{\partial z} \right) \quad \hat{M}_z = i\hbar \left(x \frac{\partial}{\partial y} - y \frac{\partial}{\partial x} \right)$$

$$(2.2)$$

$$\hat{M}_x = i\hbar \left(y \frac{\partial}{\partial z} - z \frac{\partial}{\partial y} \right) \quad \hat{M}_y = i\hbar \left(z \frac{\partial}{\partial x} - x \frac{\partial}{\partial z} \right) \quad \hat{M}_z = i\hbar \left(x \frac{\partial}{\partial y} - y \frac{\partial}{\partial x} \right)$$

$$(2.2)$$

$$\hat{M}_x = i\hbar \left(y \frac{\partial}{\partial z} - z \frac{\partial}{\partial y} \right) \quad \hat{M}_y = i\hbar \left(z \frac{\partial}{\partial x} - x \frac{\partial}{\partial z} \right) \quad \hat{M}_z = i\hbar \left(x \frac{\partial}{\partial y} - y \frac{\partial}{\partial x} \right)$$

$$(2.2)$$

$$\hat{M}_x = i\hbar \left(y \frac{\partial}{\partial z} - z \frac{\partial}{\partial y} \right) \quad \hat{M}_y = i\hbar \left(z \frac{\partial}{\partial x} - x \frac{\partial}{\partial z} \right) \quad \hat{M}_z = i\hbar \left(x \frac{\partial}{\partial y} - y \frac{\partial}{\partial x} \right)$$

$$(2.2)$$

$$\hat{M}_x = i\hbar \left(y \frac{\partial}{\partial z} - z \frac{\partial}{\partial y} \right) \quad \hat{M}_y = i\hbar \left(z \frac{\partial}{\partial x} - x \frac{\partial}{\partial z} \right) \quad \hat{M}_z = i\hbar \left(x \frac{\partial}{\partial y} - y \frac{\partial}{\partial x} \right)$$

$$(2.2)$$

$$\hat{M}_x = i\hbar \left(y \frac{\partial}{\partial z} - z \frac{\partial}{\partial y} \right) \quad \hat{M}_y = i\hbar \left(z \frac{\partial}{\partial x} - x \frac{\partial}{\partial z} \right) \quad \hat{M}_z = i\hbar \left(x \frac{\partial}{\partial y} - y \frac{\partial}{\partial x} \right)$$

$$(2.2)$$

$$\hat{M}_x = i\hbar \left(y \frac{\partial}{\partial z} - z \frac{\partial}{\partial y} \right) \quad \hat{M}_y = i\hbar \left(z \frac{\partial}{\partial x} - x \frac{\partial}{\partial z} \right) \quad \hat{M}_z = i\hbar \left(x \frac{\partial}{\partial y} - y \frac{\partial}{\partial x} \right)$$

$$(2.2)$$

$$\hat{M}_x = i\hbar \left(y \frac{\partial}{\partial z} - z \frac{\partial}{\partial y} \right) \quad \hat{M}_y = i\hbar \left(z \frac{\partial}{\partial x} - x \frac{\partial}{\partial z} \right) \quad \hat{M}_z = i\hbar \left(x \frac{\partial}{\partial y} - y \frac{\partial}{\partial x} \right)$$

$$(2.2)$$

$$\hat{M}_x = i\hbar \left(y \frac{\partial}{\partial z} - z \frac{\partial}{\partial y} \right) \quad \hat{M}_y = i\hbar \left(z \frac{\partial}{\partial x} - x \frac{\partial}{\partial z} \right) \quad \hat{M}_z = i\hbar \left(x \frac{\partial}{\partial y} - y \frac{\partial}{\partial x} \right)$$

$$(2.2)$$

$$\hat{M}_x = i\hbar \left(y \frac{\partial}{\partial z} - z \frac{\partial}{\partial y} \right) \quad \hat{M}_y = i\hbar \left(z \frac{\partial}{\partial x} - x \frac{\partial}{\partial z} \right) \quad \hat{M}_z = i\hbar \left(x \frac{\partial}{\partial y} - y \frac{\partial}{\partial x} \right)$$

$$(2.2)$$

$$\hat{M}_x = i\hbar \left(y \frac{\partial}{\partial z} - z \frac{\partial}{\partial y} \right) \quad \hat{M}_y = i\hbar \left(z \frac{\partial}{\partial x} - x \frac{\partial}{\partial z} \right) \quad \hat{M}_z = i\hbar \left(x \frac{\partial}{\partial y} - y \frac{\partial}{\partial x} \right)$$

$$(2.2)$$

$$\hat{M}_x = i\hbar \left(y \frac{\partial}{\partial z} - z \frac{\partial}{\partial y} \right) \quad \hat{M}_y = i\hbar \left(z \frac{\partial}{\partial x} - x \frac{\partial}{\partial z} \right) \quad \hat{M}_z = i\hbar \left(x \frac{\partial}{\partial y} - y \frac{\partial}{\partial x} \right)$$

$$(2.2)$$

$$\hat{M}_x = i\hbar \left(y \frac{\partial}{\partial z} - z \frac{\partial}{\partial y} \right) \quad \hat{M}_y = i\hbar \left(z \frac{\partial}{\partial x} - x \frac{\partial}{\partial z} \right) \quad \hat{M}_z = i\hbar \left(x \frac{\partial}{\partial y} - y \frac{\partial}{\partial x} \right)$$

$$(2.2)$$

$$\hat{M}_x = i\hbar \left(y \frac{\partial}{\partial z} - z \frac{\partial}{\partial y} \right) \quad \hat{M}_y = i\hbar \left(z \frac{\partial}{\partial x} - x \frac{\partial}{\partial z} \right) \quad \hat{M}_z = i\hbar \left(x \frac{\partial}{\partial y} - y \frac{\partial}{\partial x} \right)$$

$$(2.2)$$

$$\hat{M}_x = i\hbar \left(y \frac{\partial}{\partial z} - z \frac{\partial}{\partial y} \right) \quad \hat{M}_y = i\hbar \left(z \frac{\partial}{\partial x} - x \frac{\partial}{\partial z} \right) \quad \hat{M}_z = i\hbar \left(x \frac{\partial}{\partial y} - y \frac{\partial}{\partial x} \right)$$

$$(2.2)$$

$$\hat{M}_x = i\hbar \left(y \frac{\partial}{\partial z} - z \frac{\partial}{\partial y} \right) \quad \hat{M}_y = i\hbar \left(z \frac{\partial}{\partial x} - x \frac{\partial}{\partial z} \right) \quad \hat{M}_z = i\hbar \left(x \frac{\partial}{\partial y} - y \frac{\partial}{\partial x} \right)$$

$$(2.2)$$

$$\hat{M}_x = i\hbar \left(y \frac{\partial}{\partial z} - z \frac{\partial}{\partial y} \right) \quad \hat{M}_y = i\hbar \left(z \frac{\partial}{\partial x} - x \frac{\partial}{\partial z} \right) \quad \hat{M}_z = i\hbar \left(x \frac{\partial}{\partial y} - y \frac{\partial}{\partial x} \right)$$

$$(2.2)$$

$$\hat{M}_x = i\hbar \left(y \frac{\partial}{\partial z} - z \frac{\partial}{\partial y} \right) \quad \hat{M}_y = i\hbar \left(z \frac{\partial}{\partial x} - x \frac{\partial}{\partial z} \right) \quad \hat{M}_z = i\hbar \left(x \frac{\partial}{\partial y} - y \frac{\partial}{\partial x} \right)$$

$$(2.2)$$

$$\hat{M}_x = i\hbar \left(y \frac{\partial}{\partial z} - z \frac{\partial}{\partial y} \right) \quad \hat{M}_y = i\hbar \left(z \frac{\partial}{\partial x} - x \frac{\partial}{\partial z} \right) \quad \hat{M}_z = i\hbar \left(x \frac{\partial}{\partial y} - y \frac{\partial}{\partial x} \right)$$

$$(2.2)$$

$$\hat{M}_x = i\hbar \left(y \frac{\partial}{\partial z} - z \frac{\partial}{\partial y} \right) \quad \hat{M}_y = i\hbar \left(z \frac{\partial}{\partial x} - x \frac{\partial}{\partial z} \right) \quad \hat{M}_z = i\hbar \left(x \frac{\partial}{\partial y} - y \frac{\partial}{\partial x} \right)$$

$$(2.2)$$

$$\hat{M}_x = i\hbar \left(y \frac{\partial}{\partial z} - z \frac{\partial}{\partial y} \right) \quad \hat{M}_y = i\hbar \left(z \frac{\partial}{\partial x} - x \frac{\partial}{\partial z} \right) \quad \hat{M}_z = i\hbar \left(x \frac{\partial}{\partial y} - y \frac{\partial}{\partial x} \right)$$

$$(2.2)$$

$$\hat{M}_x = i\hbar \left(y \frac{\partial}{\partial z} - z \frac{\partial}{\partial y} \right) \quad \hat{M}_y = i\hbar \left(z \frac{\partial}{\partial x} - x \frac{\partial}{\partial z} \right) \quad \hat{M}_z = i\hbar \left(x \frac{\partial}{\partial y} - y \frac{\partial}{\partial x} \right)$$

$$(2.2)$$

$$\hat{M}_x = i\hbar \left(y \frac{\partial}{\partial z} - z \frac{\partial}{\partial y} \right) \quad \hat{M}_y = i\hbar \left(z \frac{\partial}{\partial x} - x \frac{\partial}{\partial z} \right) \quad \hat{M}_z = i\hbar \left(x \frac{\partial}{\partial y} - y \frac{\partial}{\partial x} \right)$$

$$(2.2)$$

$$\hat{M}_x = i\hbar \left(y \frac{\partial}{\partial z} - z \frac{\partial}{\partial y} \right) \quad \hat{M}_y = i\hbar \left(z \frac{\partial}{\partial x} - x \frac{\partial}{\partial z} \right) \quad \hat{M}_z = i\hbar \left(x \frac{\partial}{\partial y} - y \frac{\partial}{\partial x} \right)$$

$$(2.2)$$

$$\hat{M}_x = i\hbar \left(y \frac{\partial}{\partial z} - z \frac{\partial}{\partial y} \right) \quad \hat{M}_y = i\hbar \left(z \frac{\partial}{\partial x} - x \frac{\partial}{\partial z} \right) \quad \hat{M}_z = i\hbar \left(x \frac{\partial}{\partial y} - y \frac{\partial}{\partial x} \right)$$

$$(2.2)$$

$$\hat{M}_x = i\hbar \left(y \frac{\partial}{\partial z} - z \frac{\partial}{\partial y} \right) \quad \hat{M}_y = i\hbar \left(z \frac{\partial}{\partial x} - x \frac{\partial}{\partial z} \right) \quad \hat{M}_z = i\hbar \left(x \frac{\partial}{\partial y} - y \frac{\partial}{\partial x} \right)$$

$$(2.2)$$

$$\hat{M}_x = i\hbar \left(y \frac{\partial}{\partial z} - z \frac{\partial}{\partial y} \right) \quad \hat{M}_y = i\hbar \left(z \frac{\partial}{\partial x} - x \frac{\partial}{\partial z} \right) \quad \hat{M}_z = i\hbar \left(x \frac{\partial}{\partial y} - y \frac{\partial}{\partial x} \right)$$

$$(2.2)$$

$$\hat{M}_x = i\hbar \left(y \frac{\partial}{\partial z} - z \frac{\partial}{\partial y} \right) \quad \hat{M}_y = i\hbar \left(z \frac{\partial}{\partial x} - x \frac{\partial}{\partial z} \right) \quad \hat{M}_z = i\hbar \left(x \frac{\partial}{\partial y} - y \frac{\partial}{\partial x} \right)$$

$$(2.2)$$

$$\hat{M}_x = i\hbar \left(y \frac{\partial}{\partial z} - z \frac{\partial}{\partial y} \right) \quad \hat{M}_y = i\hbar \left(z \frac{\partial}{\partial x} - x \frac{\partial}{\partial z} \right) \quad \hat{M}_z = i\hbar \left(x \frac{\partial}{\partial y} - y \frac{\partial}{\partial x} \right)$$

$$(2.2)$$

- keladilar?
- f*) sferik koordinatarida M_z impuls momentning kvadratiga mos keladilar?
- a) *d*) dekart koordinatarida M_z impuls momentning proyeksiyasi;
 b) *b*) Impuls;
 c) sferik koordinatarida M_z impuls momentning proyeksiyasi;
 f) sferik koordinatarida M_z impuls momentning kvadratiga mos keladilar?

15. Kvanti mexanikasida sistemaning holati qaysi yo'l bilan beriladi?

Demak zarracha koordinatasining o'rtacha qiymati $\bar{x} = 0$ va zarracha impulsining o'rtacha qiymati $\bar{p} = \hbar k_0$ ga teng ekan.

natijaga kelinadi, chunki $|A|^2 = \frac{1}{a\sqrt{\pi}}$.

$$\bar{p} = \int \psi^* \left(-i\hbar \frac{\partial \psi}{\partial x} \right) dx = |A|^2 \int_{-\infty}^{\infty} e^{-\frac{x^2}{a^2}} \left(\hbar k_0 - \frac{i\hbar x}{a^2} \right) dx = \hbar k_0,$$

$$\bar{x} = |A|^2 \int_{-\infty}^{\infty} x e^{-\frac{x^2}{a^2}} dx = |A|^2 \left\{ x a \sqrt{\pi} \Big|_{-\infty}^{\infty} - a \sqrt{\pi} \int_{-\infty}^{\infty} dx \right\} = |A|^2 \cdot 0 = 0$$

va $\int_{-\infty}^{\infty} e^{-\frac{x^2}{a^2}} dx = a\sqrt{\pi}$ integralni va $\hat{x} = x$, $\hat{p}_x = -i\hbar \frac{\partial}{\partial x}$ ekanligini hisobga olinsa

qiyमतlarini hisoblash mumkin.

14. Masala. $\psi(x) = Ae^{-\frac{x^2}{2a^2} + ik_0 x}$ funksiya orqali ifodalangan zarrachaning koordinatasi va impulsining o'rtacha qiymatlari aniqlansin.

Yechish. Ma'lumki, $\bar{x} = \int_{-\infty}^{\infty} \psi^* x \psi dx$ va $\bar{p} = \int_{-\infty}^{\infty} \psi^* \hat{p}_x \psi dx$ formulalar orqali

mos holda zarrachaning koordinatasi va impulsining o'rtacha qiymatlarini hisoblash mumkin.

$$\bar{x} = \int_{-\infty}^{\infty} e^{-\frac{x^2}{2a^2}} dx = a\sqrt{\pi} \int_{-\infty}^{\infty} x e^{-\frac{x^2}{2a^2}} dx = |A|^2 \left\{ x a \sqrt{\pi} \Big|_{-\infty}^{\infty} - a \sqrt{\pi} \int_{-\infty}^{\infty} dx \right\} = |A|^2 \cdot 0 = 0$$

$$\bar{p} = \int_{-\infty}^{\infty} \psi^* \left(-i\hbar \frac{\partial \psi}{\partial x} \right) dx = |A|^2 \int_{-\infty}^{\infty} e^{-\frac{x^2}{2a^2}} \left(\hbar k_0 - \frac{i\hbar x}{a^2} \right) dx = \hbar k_0,$$

$$\bar{x} = |A|^2 \int_{-\infty}^{\infty} x e^{-\frac{x^2}{2a^2}} dx = |A|^2 \left\{ x a \sqrt{\pi} \Big|_{-\infty}^{\infty} - a \sqrt{\pi} \int_{-\infty}^{\infty} dx \right\} = |A|^2 \cdot 0 = 0$$

$$\bar{p} = \int_{-\infty}^{\infty} \psi^* \left(-i\hbar \frac{\partial \psi}{\partial x} \right) dx = |A|^2 \int_{-\infty}^{\infty} e^{-\frac{x^2}{2a^2}} \left(\hbar k_0 - \frac{i\hbar x}{a^2} \right) dx = \hbar k_0,$$

$$\bar{x} = |A|^2 \int_{-\infty}^{\infty} x e^{-\frac{x^2}{2a^2}} dx = |A|^2 \left\{ x a \sqrt{\pi} \Big|_{-\infty}^{\infty} - a \sqrt{\pi} \int_{-\infty}^{\infty} dx \right\} = |A|^2 \cdot 0 = 0$$

$$\bar{p} = \int_{-\infty}^{\infty} \psi^* \left(-i\hbar \frac{\partial \psi}{\partial x} \right) dx = |A|^2 \int_{-\infty}^{\infty} e^{-\frac{x^2}{2a^2}} \left(\hbar k_0 - \frac{i\hbar x}{a^2} \right) dx = \hbar k_0,$$

$$\bar{x} = |A|^2 \int_{-\infty}^{\infty} x e^{-\frac{x^2}{2a^2}} dx = |A|^2 \left\{ x a \sqrt{\pi} \Big|_{-\infty}^{\infty} - a \sqrt{\pi} \int_{-\infty}^{\infty} dx \right\} = |A|^2 \cdot 0 = 0$$

$$\bar{p} = \int_{-\infty}^{\infty} \psi^* \left(-i\hbar \frac{\partial \psi}{\partial x} \right) dx = |A|^2 \int_{-\infty}^{\infty} e^{-\frac{x^2}{2a^2}} \left(\hbar k_0 - \frac{i\hbar x}{a^2} \right) dx = \hbar k_0,$$

$$\bar{x} = |A|^2 \int_{-\infty}^{\infty} x e^{-\frac{x^2}{2a^2}} dx = |A|^2 \left\{ x a \sqrt{\pi} \Big|_{-\infty}^{\infty} - a \sqrt{\pi} \int_{-\infty}^{\infty} dx \right\} = |A|^2 \cdot 0 = 0$$

$$\bar{p} = \int_{-\infty}^{\infty} \psi^* \left(-i\hbar \frac{\partial \psi}{\partial x} \right) dx = |A|^2 \int_{-\infty}^{\infty} e^{-\frac{x^2}{2a^2}} \left(\hbar k_0 - \frac{i\hbar x}{a^2} \right) dx = \hbar k_0,$$

$$\bar{x} = |A|^2 \int_{-\infty}^{\infty} x e^{-\frac{x^2}{2a^2}} dx = |A|^2 \left\{ x a \sqrt{\pi} \Big|_{-\infty}^{\infty} - a \sqrt{\pi} \int_{-\infty}^{\infty} dx \right\} = |A|^2 \cdot 0 = 0$$

$$\bar{p} = \int_{-\infty}^{\infty} \psi^* \left(-i\hbar \frac{\partial \psi}{\partial x} \right) dx = |A|^2 \int_{-\infty}^{\infty} e^{-\frac{x^2}{2a^2}} \left(\hbar k_0 - \frac{i\hbar x}{a^2} \right) dx = \hbar k_0,$$

$$\bar{x} = |A|^2 \int_{-\infty}^{\infty} x e^{-\frac{x^2}{2a^2}} dx = |A|^2 \left\{ x a \sqrt{\pi} \Big|_{-\infty}^{\infty} - a \sqrt{\pi} \int_{-\infty}^{\infty} dx \right\} = |A|^2 \cdot 0 = 0$$

$$\bar{p} = \int_{-\infty}^{\infty} \psi^* \left(-i\hbar \frac{\partial \psi}{\partial x} \right) dx = |A|^2 \int_{-\infty}^{\infty} e^{-\frac{x^2}{2a^2}} \left(\hbar k_0 - \frac{i\hbar x}{a^2} \right) dx = \hbar k_0,$$

$$\bar{x} = |A|^2 \int_{-\infty}^{\infty} x e^{-\frac{x^2}{2a^2}} dx = |A|^2 \left\{ x a \sqrt{\pi} \Big|_{-\infty}^{\infty} - a \sqrt{\pi} \int_{-\infty}^{\infty} dx \right\} = |A|^2 \cdot 0 = 0$$

$$\bar{p} = \int_{-\infty}^{\infty} \psi^* \left(-i\hbar \frac{\partial \psi}{\partial x} \right) dx = |A|^2 \int_{-\infty}^{\infty} e^{-\frac{x^2}{2a^2}} \left(\hbar k_0 - \frac{i\hbar x}{a^2} \right) dx = \hbar k_0,$$

$$\bar{x} = |A|^2 \int_{-\infty}^{\infty} x e^{-\frac{x^2}{2a^2}} dx = |A|^2 \left\{ x a \sqrt{\pi} \Big|_{-\infty}^{\infty} - a \sqrt{\pi} \int_{-\infty}^{\infty} dx \right\} = |A|^2 \cdot 0 = 0$$

$$\bar{p} = \int_{-\infty}^{\infty} \psi^* \left(-i\hbar \frac{\partial \psi}{\partial x} \right) dx = |A|^2 \int_{-\infty}^{\infty} e^{-\frac{x^2}{2a^2}} \left(\hbar k_0 - \frac{i\hbar x}{a^2} \right) dx = \hbar k_0,$$

$$\bar{x} = |A|^2 \int_{-\infty}^{\infty} x e^{-\frac{x^2}{2a^2}} dx = |A|^2 \left\{ x a \sqrt{\pi} \Big|_{-\infty}^{\infty} - a \sqrt{\pi} \int_{-\infty}^{\infty} dx \right\} = |A|^2 \cdot 0 = 0$$

$$\bar{p} = \int_{-\infty}^{\infty} \psi^* \left(-i\hbar \frac{\partial \psi}{\partial x} \right) dx = |A|^2 \int_{-\infty}^{\infty} e^{-\frac{x^2}{2a^2}} \left(\hbar k_0 - \frac{i\hbar x}{a^2} \right) dx = \hbar k_0,$$

$$\bar{x} = |A|^2 \int_{-\infty}^{\infty} x e^{-\frac{x^2}{2a^2}} dx = |A|^2 \left\{ x a \sqrt{\pi} \Big|_{-\infty}^{\infty} - a \sqrt{\pi} \int_{-\infty}^{\infty} dx \right\} = |A|^2 \cdot 0 = 0$$

$$\bar{p} = \int_{-\infty}^{\infty} \psi^* \left(-i\hbar \frac{\partial \psi}{\partial x} \right) dx = |A|^2 \int_{-\infty}^{\infty} e^{-\frac{x^2}{2a^2}} \left(\hbar k_0 - \frac{i\hbar x}{a^2} \right) dx = \hbar k_0,$$

$$\bar{x} = |A|^2 \int_{-\infty}^{\infty} x e^{-\frac{x^2}{2a^2}} dx = |A|^2 \left\{ x a \sqrt{\pi} \Big|_{-\infty}^{\infty} - a \sqrt{\pi} \int_{-\infty}^{\infty} dx \right\} = |A|^2 \cdot 0 = 0$$

$$\bar{p} = \int_{-\infty}^{\infty} \psi^* \left(-i\hbar \frac{\partial \psi}{\partial x} \right) dx = |A|^2 \int_{-\infty}^{\infty} e^{-\frac{x^2}{2a^2}} \left(\hbar k_0 - \frac{i\hbar x}{a^2} \right) dx = \hbar k_0,$$

$$\bar{x} = |A|^2 \int_{-\infty}^{\infty} x e^{-\frac{x^2}{2a^2}} dx = |A|^2 \left\{ x a \sqrt{\pi} \Big|_{-\infty}^{\infty} - a \sqrt{\pi} \int_{-\infty}^{\infty} dx \right\} = |A|^2 \cdot 0 = 0$$

$$\bar{p} = \int_{-\infty}^{\infty} \psi^* \left(-i\hbar \frac{\partial \psi}{\partial x} \right) dx = |A|^2 \int_{-\infty}^{\infty} e^{-\frac{x^2}{2a^2}} \left(\hbar k_0 - \frac{i\hbar x}{a^2} \right) dx = \hbar k_0,$$

$$\bar{x} = |A|^2 \int_{-\infty}^{\infty} x e^{-\frac{x^2}{2a^2}} dx = |A|^2 \left\{ x a \sqrt{\pi} \Big|_{-\infty}^{\infty} - a \sqrt{\pi} \int_{-\infty}^{\infty} dx \right\} = |A|^2 \cdot 0 = 0$$

$$\bar{p} = \int_{-\infty}^{\infty} \psi^* \left(-i\hbar \frac{\partial \psi}{\partial x} \right) dx = |A|^2 \int_{-\infty}^{\infty} e^{-\frac{x^2}{2a^2}} \left(\hbar k_0 - \frac{i\hbar x}{a^2} \right) dx = \hbar k_0,$$

$$\bar{x} = |A|^2 \int_{-\infty}^{\infty} x e^{-\frac{x^2}{2a^2}} dx = |A|^2 \left\{ x a \sqrt{\pi} \Big|_{-\infty}^{\infty} - a \sqrt{\pi} \int_{-\infty}^{\infty} dx \right\} = |A|^2 \cdot 0 = 0$$

Kvant mexanikasida esa zarrachaning holati to'liq funktsiya orqali to'liq aniqlanadi. Agar tabiatda haqiqatan ham zarrachaning turli momentdagi holatlari orasida sababiy bog'lanish mavjud bo'lsa, bu hol

ifodalanaadi.

Bu tenglamalardan ko'rinish turibdiki, \mathbf{r} va \mathbf{p} kattaliklarning vaqt bo'yicha o'zgarish tezligi shu kattaliklarning o'zi bilan aniqlanar ekan. Aynan shu bog'lanish tufayli zarrachaning turli vaqtdagi holatlari orasidagi sababiy bog'lanish mavjuddir. Yana shuni aytish kerakki, klassik mexanikada zarrachaning holati \mathbf{r} va \mathbf{p} kattaliklar bilan to'liq aniqlanadi, ya'ni bu ikki kattalikni biror momentda berilishi ularni istalgan momentda bir qiymatni aniqlash uchun yetarlidir. Shuning uchun ham barcha fizik kattaliklar shu asosiy kattaliklar orqali ifodalanaadi.

$$\frac{d\mathbf{p}}{dt} = \mathbf{F} = -\frac{\partial U(\mathbf{r})}{\partial \mathbf{r}}, \quad \frac{d\mathbf{r}}{dt} = \frac{\partial U(\mathbf{r})}{\partial \mathbf{p}}.$$

chiqadi:

Avvalgi boblarda, zarrachaning biror vaqt momentidagi to'liq funktsiyasi ma'lum bo'lgan holda, uning shu momentdagi har qanday fizik kattalikning ehtimollik taqsimotini aniqlash mumkin deb gap yuritgan edik. Lekin hozircha eng muhim narsani, ya'ni vaqt o'tishi bilan to'liq funktsiyasining o'zgarishini va shu bilan birga fizik kattalikning ehtimollik taqsimotlari vaqt davomida qanday o'zgarishini bilmaymiz. Aniqki, zarracha holatining vaqt bo'yicha o'zgarishi, unga ta'sir qiluvchi kuchga bog'liq bo'lishi kerak. Shuning uchun kvant mexanikasida to'liq funktsiyasini vaqt bo'yicha o'zgarishini boshqaruvchi, klassik mexanikadagi Nyuton qonunlaridek, dinamik qonun topish zarur. Shu sababli, klassik mexanikaning asosiy prinsiplarini yana bir mara eslab o'tish ortiqchalik qilmaydi. Klassik mexanikada zarrachaning holatlarini ta'riflovchi fizik kattaliklar ichida koordinata va impuls alohida rol o'ynaydi. Sababi, bu kattaliklarning biror vaqt momenti uchun berilishi, zarrachaning keyingi harakatini to'liq aniqlab beradi, bu esa bevosita Nyuton qonunlaridan kelib chiqadi:

3.1. Shredinger tenglamasi

VAQT O'TISHI BILAN HOLATLARNING O'ZGARISHI

III bob

chastota bilan vaqtga garmonik bog'liq bo'ladi. (3.16) tenglamaning chiziqchiligidan uning umumiy yechimini ixtiyoriy va doimiy amplitudalarga ega bo'lgan stasionar holatlarning superpozitsiyasi sifatida tasvirlash mumkin:

$$\psi_n(x, t) = \sum c_n \psi_n(x) e^{-\frac{i E_n t}{\hbar}}, \quad (3.26)$$

bu tenglamadagi c_n amplitudalar $\psi_n(x, 0)$ bo'shlang'ich funktsiyalar orqali aniqlanadi va ψ_n funktsiyalarning ortogonalligidan kelib chiqadi:

$$c_n = \int \psi_n^*(x, 0) \psi_n(x) dx. \quad (3.27)$$

3.4. Operatorlarni vaqt bo'yicha differensiallash

Shredinger tenglamasi asosida sodda qoidalarni o'rnatish imkoniyati tug'iladi, ular yordamida cheksiz kichik vaqt ichida u yoki bu mexanik kattalikning o'rtacha qiymatining o'zgarishini hisoblash mumkin. Ya'ni, L kattalikning \bar{L} o'rtacha qiymatidan vaqt bo'yicha olingan $\frac{\partial \bar{L}}{\partial t}$ hosilani hisoblashimiz mumkin va o'rtacha qiymatlarning vaqt o'tishi bilan o'zgarishini ko'rib chiqishimiz mumkin. Ma'lumki, kvant mexanikasida fizik kattaliklarning o'rtacha qiymatlari ushbu formula yordamida aniqlanadi:

$$\bar{L}(t) = \int \psi^*(x, t) \hat{L} \psi(x, t) dx, \quad (3.28)$$

bunda \hat{L} – operator ko'rilyotgan fizik kattalik operatori bo'ladi.

O'rtacha qiymatning vaqt bo'yicha o'zgarish tezligi ifodasini yozaylik va (3.28) dan vaqt bo'yicha hosila olaylik:

$$\frac{\partial \bar{L}}{\partial t} = \int \psi^* \frac{\partial \hat{L}}{\partial t} \psi dx + \int \psi^* \hat{L} \frac{\partial \psi}{\partial t} dx - \int \frac{\partial \psi^*}{\partial t} \hat{L} \psi dx + \int \psi^* \hat{L} \frac{\partial \psi}{\partial t} dx \quad (3.29)$$

Birinchi had $\frac{\partial \bar{L}}{\partial t}$ qiymatning o'rtacha qiymati bo'lib, \hat{L} vaqtga oshkor bog'liq bo'lmasa $\frac{\partial \hat{L}}{\partial t}$ nolga teng bo'ladi. Ikkinchi va uchinchi integrallarni Shredinger tenglamasidan foydalanib, soddaroq ko'rinishda yozish mumkin:

$$\frac{\partial \bar{L}}{\partial t} = \frac{1}{i\hbar} \langle \hat{H} \bar{L} \rangle - \frac{\partial \bar{L}}{\partial t} \langle \hat{H} \rangle + \frac{1}{i\hbar} \langle \hat{L} \hat{H} \rangle - \frac{1}{i\hbar} \langle \hat{H} \hat{L} \rangle.$$

2.9. Energiya operatori. Gamiltonian

\hat{T} kinetik energiya operatori. Erkin zarracha kinetik energiyasining ko'rinishi fazoning bir jinsliliigi va izotropiligi hamda Galileyning nisbiylik prinsipi bilan bog'liq bo'lgan umumiy talablar asosida aniqlanadi. Klassik mexanikada bu talablar zarracha kinetik energiyasining zarracha impulsiga kvadratik bog'liq bo'lishiga olib keladi:

$$T = \frac{\mathbf{p}^2}{2m} = \frac{1}{2m} (P_x^2 + P_y^2 + P_z^2) \quad (2.91)$$

bundagi o'zgarimas m zarracha massasi.

1. sistemani ixtiyoriy masofaga parallel ko'chirganda;—
2. sistemani bir butunligicha ixtiyoriy o'q atrofiga ixtiyoriy burchakka burganda;

Bu formulaga kirgan \mathbf{M}^2 operatori va bu operator tarkibidagi $\hat{M}_x, \hat{M}_y, \hat{M}_z$ operatorning proyeksiyalari faqat θ va φ burchaklarga bog'liqligini eslaylik, shu tufayli ular \mathbf{r} ga bog'liq bo'lgan funksiyalarga ta'sir etmaydi. Ikkinchi tomondan (3.57) formulaga asosan \mathbf{M}^2 operator $\hat{M}_x, \hat{M}_y, \hat{M}_z$ operatorlar bilan kommutativ. Shuning uchun $\hat{M}^2, \hat{M}_x, \hat{M}_y, \hat{M}_z$ operatorlar \hat{H} operator bilan kommutativ bo'ladi. Demak,

$$\left[\hat{H}, \mathbf{M}^2 \right] = 0 \quad (3.59)$$

$$\frac{d\mathbf{M}^2}{dt} = 0$$

va

$$\left[\hat{H}, \hat{M}_x \right] = \left[\hat{H}, \hat{M}_y \right] = \left[\hat{H}, \hat{M}_z \right] = 0 \quad (3.60)$$

$$\frac{d\hat{M}_x}{dt} = \frac{d\hat{M}_y}{dt} = \frac{d\hat{M}_z}{dt} = 0$$

Shunday qilib, agar zarracha markaziy simmetrik maydonda harakatlanayotgan bo'lsa, fazoda markazdan chiquvchi hamma yo'nalishlar teng kuchli bo'ladi va shuning uchun bu maydonda joylashgan zarracha harakatining maydon makaziga nisbatan impuls momenti saqlanadi. Umuman olganda, tashqi maydonda joylashgan sistemaning impuls momenti saqlanmaydi.

Juftlikni saqlanish qonuni. Yuqorida qayd etilgan saqlanish qonunlari, ya'ni energiya, impuls va impuls momentining saqlanish qonunlari, klassik mexanikaga xos bo'lgan saqlanish qonunlarining kvant mexanikasidagi ekvivalenti deb qarash mumkin. Lekin, kvant mexanikasida o'ziga xos bo'lgan saqlanish qonunlari ham mavjud va bu qonunlar klassik mexanikada mavjud emas. Shunday qonunlardan biri umumiy xarakterga ega bo'lib, fazoning xossalari bilan chambarchas bog'langandir. Boshqacha aytganda, koordinata o'qlarini parallel ko'chirish va burulish bilan bir qatorda yopiq sistema uchun gamiltoniani o'zgartirmay qoldiruvchi yana bir almashirish mavjud. Demak, yopiq sistemaning gamiltoniani koordinatalari quyidagi almashirishlarga nisbatan o'zgarmasligi kerak:

1. sistemani ixtiyoriy masofaga parallel ko'chirganda;—
2. sistemani bir butunligicha ixtiyoriy o'q atrofiga ixtiyoriy burchakka burganda;

$$\frac{d}{dt}(\bar{L}) = \frac{d\bar{L}}{dt} = \int \psi^* \frac{d\bar{L}}{dt} \psi dx \quad (3.35)$$

Operatorga bunday ta'rif berilishi quyidagi ifodaga olib keladi:

$$\frac{d\bar{L}}{dt} = \frac{\partial \bar{L}}{\partial t} + [\hat{H}, \bar{L}]. \quad (3.34)$$

operatori sifatida olish kerak, ya'ni:

ifodalangan L kattalikning $\frac{dL}{dt}$ vaqt bo'yicha olingan hosilasini $\frac{dL}{dt}$

kattalikning o'rtacha qiymatini beradi. Shuning uchun \bar{L} operator bilan

olingan hosila $\frac{\partial \bar{L}}{\partial t} + [\hat{H}, \bar{L}]$ operator orqali ifodalangan qandaydir

kvant mexanikasida (3.32) operatori Puasson kvant qavslari

$$\frac{d\bar{L}}{dt} = \frac{\partial \bar{L}}{\partial t} + [\hat{H}, \bar{L}]. \quad (3.33)$$

usbu tenglik hosil qilinadi:

$$[\hat{H}, \bar{L}] = \frac{1}{i\hbar}(\hat{L}\hat{H} - \hat{H}\bar{L}), \quad (3.32)$$

Agarda quyidagicha belgilash kiritilsa:

$$\frac{d\bar{L}}{dt} = \frac{\partial \bar{L}}{\partial t} + \frac{1}{i\hbar} \int \psi^* (\hat{L}\hat{H} - \hat{H}\bar{L}) \psi dx \quad (3.31)$$

Hosil bo'lgan ifodani (3.30) ga olib borib qo'ysak, quyidagi

$$\int (\hat{H}^* \psi^*) (\hat{L} \psi) dx = \int (\hat{H}^* u_1^*) u_2 dx = \int u_2^* \hat{H} u_1^* dx = \int u_1^* \hat{H} u_2 dx = \int \psi^* (\hat{H} \bar{L} \psi) dx$$

ko'rinishdagi natijani olinadi:

ayniyatdan foydalangan holda boshqacha yozish mumkin. Ushbu tenglikda $\psi^* = u_1^*, \bar{L} \psi = u_2$ almashirish bajarilishi orqali quyidagicha yozish mumkin:

$$\int u_1^*(x) L u_2(x) dx = \int u_2^*(x) \bar{L} u_1(x) dx$$

qo'shimlik xossasidan, ya'ni quyidagi

natija hosil bo'ladi. Birinchi integralni \hat{H} operatorning o'zaro

Olingan ifodalarni (3.29) tenglikka qo'yilsa

$$\frac{d\bar{L}}{dt} = \frac{\partial \bar{L}}{\partial t} - \frac{1}{i\hbar} \int (\hat{H}^* \psi^*) (\hat{L} \psi) dx + \frac{1}{i\hbar} \int \psi^* (\hat{L} \hat{H}) \psi dx \quad (3.30)$$

energiyasi x o'qining $x > 0$ sohasida

Zarrachaning $U(x)$ potensial

zarrachaning o'tishi tekshirib chiqiladi.

bir o'lchamli potensial to'siqdan

to'g'ri burchakli cheksiz uzunlikdagi

Dastlab 7-rasmda tasvirlangan

keltirib chiqaradi.

potensial

mexanikasining bir qator muhim va

harakatini o'rganish kvant

sifatida maydondagi zarrachaning

mumkin. Oddiy ko'rinishdagi to'siq

sohadan tashqarida esa zarracha erkin harakatlanadi deb qarash

Ushbu fazoning biror bir cheklangan sohasidagina ta'sir etadi.

Bu holda zarrachaga ta'sir etuvchi

birining harakatining muhim xususiyatlaridan biri

4.2. Potensial to'siqdan o'tish va qaytish

Klassik fizika formulalariga o'tadi.

4) kvant sonlarining katta qiymatlarida kvant mexanikasi munosabatlari

namoyon bo'ladi;

3) harakat sodir bo'layotgan kichik sohalarda va zarrachalarning

massasi kichik bo'lganida energetik sathlarning diskret harakteri

bo'lmaydi;

2) asosiy holatda ham, ya'ni $E = E_1$ da zarracha to'liq tinch holatda

qiymatlarni qabul qiladi;

1) potensial o'rada harakatlanuvchi zarrachaning energiyasi diskret

xarakterga ega bo'lgan natijalarga kelinadi:

Kvant mexanikasi nuqtayi nazaridan esa quyidagi umumiy

yaqinlashishi bilan bog'liq.

(0), oraliqdagi integrali katta n larda, aniqrog'i, $n \rightarrow \infty$ da $1/2$ qiymatga

qiymatiga o'tadi. Bu (4.7) ifodadagi garmonik funksiya kvadratining

holdagi kvant ehtimollik zichligi taqsimoti klassik holdagi

joylashishi mumkin (6-9-rasmdagi to'g'ri chizib). Kvant sonlarining katta

lanuvchi zarracha teng ehtimollik bilan o'raning ixtiyoriy nuqtasida

Klassik mexanika nuqtai nazaridan potensial o'rada harakat-

3. barcha koordinatalarning ishoralarini baravariga o'zgartirishdan, ya'ni hamma koordinata o'qlarining yo'nalishlarini teskari ishoraga o'zgartirishdan iborat bo'ladi. Bunday almashirishni inveriya deb ataluvchi almashirish deyiladi.

Birinchi ikkita almashirishlar bilan impuls va impuls momentining

saqlanish qonunlari bog'langandir. Kvant mexanikasida inveriya

almashirishlari bilan ya'na bir saqlanish qonuni bog'langan. Klassik

mexanikada Gamilton funsiyasining inveriyaga nisbatan invariantligi

ma'lum. Kvant mexanikasida esa ahvol batamom boshqacha bo'ladi.

Koordinatalar ishorasini o'zgartirishni ifodalovchi tegishli \hat{I} inveriya

operatorini kiritaylik, ya'ni

$$\hat{I}\psi(\mathbf{r}, t) = \alpha\psi(-\mathbf{r}, t) \quad (3.61)$$

bunda α -qandaydir doimiydir. Inveriya operatorini ikki marotaba ketma-ket funksiyaga ta'sir qilsak, dastlabki holatga kelinadi, ya'ni funksiya argumenti umuman o'zgarmaydi. Boshqacha aytganda

$$\hat{I}^2\psi(\mathbf{r}, t) = \hat{I}(\hat{I}\psi(\mathbf{r}, t)) = \hat{I}(\alpha\psi(-\mathbf{r}, t)) = \alpha^2\psi(\mathbf{r}, t)$$

hosil bo'ladi, ya'ni $\alpha^2 = 1$, demak,

$$\alpha = \pm 1. \quad (3.62)$$

Shunday qilib, ushbu operator ta'sirida inveriya operatorning xususiy funksiyalari umuman o'zgarmaydi, yoki ularning faqat ishorasini o'zgartiradi. Birinchi holda

$$\hat{I}\psi(\mathbf{r}, t) = \psi(-\mathbf{r}, t)$$

bo'lganida, zarrachalar musbat ichki juftlikga ega bo'ladi. Ikkinchi holda

$$\hat{I}\psi(\mathbf{r}, t) = -\psi(-\mathbf{r}, t)$$

bo'lganida zarrachalar manfiy ichki juftlikka ega bo'ladi.

\hat{H} Gamilton operatorining inveriyaga nisbatan invariantligi juftlikning saqlanish qonunini ifodalaydi, ya'ni \hat{H} va \hat{I} operatorlar o'zaro kommutativ operatorlar bo'ladi, ya'ni

$$\hat{H}\hat{I} = \hat{I}\hat{H}$$

Shunday qilib, agar yopiq sistema holati ma'lum musbat yoki manfiy juftlikka ega bo'lsa, u holda bu juftlik vaqt o'tishi bilan saqlanadi.

Dekart koordinatalar sistemasidagi inveriya almashirishi $x \rightarrow -x, y \rightarrow -y, z \rightarrow -z$ ning o'rniga sferik koordinatalar sistemasida

Hosil bo'lgan operator shaklidagi tenglamalar klassik mexanikadagi Gamilton tenglamalariga mos bo'ladi va Gamiltonning kvant tenglamalari deyiladi. Klassik mexanikada saqlanish qonunlari yoki harakat tenglamalarining integralari bilan tanishib chiqqan edik. Ma'lumki, harakat tenglamalari deganda koordinata bilan ularning vaqt bo'yicha olingan birinchi tartibli hosilalari orasidagi shunday munosabatlarni tushuniladi, bu munosabatlarni butun harakat davomida

$$\frac{d\hat{p}_x}{dt} = [\hat{H}, \hat{p}_x]. \quad (3.39')$$

$$\frac{d\hat{X}}{dt} = [\hat{H}, \hat{X}], \quad (3.39)$$

$$\hat{H} = \hat{H}(p_x, p_y, p_z, \hat{x}, \hat{y}, \hat{z}, t) \quad (3.38)$$

va (3.38) daqi gamiltonianni (3.37) ga qo'yilsa izlanayotgan tenglamalarni operator shaklida yozish mumkin:

3.5. Kvant mexanikasida harakat tenglamalari

Ushbu paragrafda koordinata va impuls o'rtaq qiymatlarining vaqt bo'yicha hosilalarini hisoblab, bu kattaliklarning vaqt bo'yicha o'zgarish qonunlarini keltirib chiqariladi. Impuls va koordinatalar vaqtga oshkor ravishda bog'liq bo'lmagan kattaliklardir. Shuning uchun (3.37) ga asosan, ushbu kattaliklarning vaqt bo'yicha o'zgarishi Puassoning kvant qavslari orqali ifodalanaadi, ya'ni ushbu kattaliklarning operatorlari va qaralayotgan mexanik sistemaning gamiltonianni orqali ifodalanaadi. Umumiy olinganda, gamiltonian shu operatorlar va vaqtning funksiyasi bo'ladi:

$$\frac{d\hat{L}}{dt} = [\hat{H}, \hat{L}] \quad (3.36)$$

$$\frac{d\hat{L}}{dt} = [\hat{H}, \hat{L}] \quad (3.37)$$

natija olinadi.

ya'ni, o'rtaq qiymatdan vaqt bo'yicha olingan hosila vaqt bo'yicha hosilaning o'rtaq qiymatiga tengdir. Agarda L kattalik oshkor ravishda vaqtga bog'liq bo'lmasa, u holda (3.33) va (3.34) formulalar ancha soddalashadi, ya'ni

$$\hat{M}_y \hat{M}_x - \hat{M}_x \hat{M}_y = i\hbar \hat{M}_z$$

teng bo'ladi. Birinchi tenglikdan ikkinchisi ayirilsa

$$\hat{M}_x \hat{M}_y - \hat{M}_y \hat{M}_x = -i\hbar \hat{M}_z$$

natija olinadi. Endi (2.57) ifodadan foydalanilsa

$$\begin{aligned} \hat{M}_y \hat{M}_x - \hat{M}_x \hat{M}_y &= i\hbar \hat{M}_z, \\ \hat{M}_x \hat{M}_y - \hat{M}_y \hat{M}_x &= i\hbar \hat{M}_z, \\ \hat{M}_x \hat{M}_y - \hat{M}_y \hat{M}_x &= i\hbar \hat{M}_z. \end{aligned} \quad (3.56)$$

Demak, yuqoridagi o'rtaq almashirish qoidalaridan quyidagi natija kelib chiqadi: zarrachaning $\hat{M}_x, \hat{M}_y, \hat{M}_z$ impuls momenti proyeksiyalari operatorlari antikommutativ bo'ladi, shuning uchun bir vaqtning o'zida ular aniq qiymatga ega bo'la olmaydi. Lekin $\hat{M}_x, \hat{M}_y, \hat{M}_z$ operatorlari \hat{M}^2 impuls momentining kvadrati operatori bilan o'zaro kommutativ bo'lishadi, ya'ni quyidagi munosabatlarni o'rtaqlaydi:

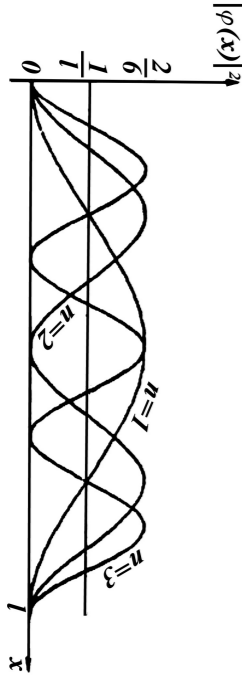
$$\begin{aligned} \hat{M}_x \hat{M}^2 - \hat{M}^2 \hat{M}_x &= 0, \\ \hat{M}_y \hat{M}^2 - \hat{M}^2 \hat{M}_y &= 0, \\ \hat{M}_z \hat{M}^2 - \hat{M}^2 \hat{M}_z &= 0. \end{aligned} \quad (3.57)$$

Demak, (3.57) ifodalarni harakat miqdori momenti kvadrati va shu impuls momenti proyeksiyalaridan birortasi bir vaqtning o'zida aniq qiymatlarni qabul qila olishini korsatadi.

Endi zarrachaning markaziy kuch maydonidagi harakatini tekshirib chiqaylik. Markaziy kuch maydonida impulsning momenti harakat integralli bo'ladi, chunki markaziy kuch maydonida fazoning izotropligi saqlanib qoladi. Ma'lumki, bu holda, ya'ni markaziy kuch maydonida, U potentsial energiya faqat kuch markazidagi masofaning funksiyasidir, $U=U(r)$, bu \hat{H} gamiltonianning ko'rinishini quyidagicha yozish mumkin:

$$\hat{H} = \hat{T} + \frac{\hat{M}^2}{2mr^2} + U(r). \quad (3.58)$$

6-rasm. Potentsial o'ra ichidagi turli nuqtalarda zarrachaning topilish ehtimollik zichligi.



6-rasm. Potentsial o'ra ichidagi turli nuqtalarda zarrachaning topilish ehtimollik zichligi.

$$A_n = \sqrt{\frac{2}{l}} \quad (4.8)$$

ga ega bo'lamiz. Bundan

$$|A_n|^2 \int_0^l \sin^2 \frac{\pi n x}{l} dx = |A_n|^2 \int_0^l \frac{1}{2} \left(1 - \cos \frac{2\pi n x}{l} \right) dx = |A_n|^2 \frac{l}{2} = 1$$

dan aniqlanadi. U holda bu formulaga (4.7) ni qo'yish natijasida

$$\int_0^l |\psi_n|^2 dx = 1$$

bo'ladi. A_n doimiyini normallashtirish sharti:

$$\psi_n = A_n \sin \frac{\pi n x}{l} \quad (4.7)$$

bo'ladi. A_n doimiyini normallashtirish sharti:

dan aniqlanadi. U holda bu formulaga (4.7) ni qo'yish natijasida

ga ega bo'lamiz. Bundan

dan aniqlanadi. U holda bu formulaga (4.7) ni qo'yish natijasida

ga ega bo'lamiz. Bundan

dan aniqlanadi. U holda bu formulaga (4.7) ni qo'yish natijasida

ga ega bo'lamiz. Bundan

dan aniqlanadi. U holda bu formulaga (4.7) ni qo'yish natijasida

ga ega bo'lamiz. Bundan

dan aniqlanadi. U holda bu formulaga (4.7) ni qo'yish natijasida

ga ega bo'lamiz. Bundan

dan aniqlanadi. U holda bu formulaga (4.7) ni qo'yish natijasida

ga ega bo'lamiz. Bundan

dan aniqlanadi. U holda bu formulaga (4.7) ni qo'yish natijasida

ga ega bo'lamiz. Bundan

dan aniqlanadi. U holda bu formulaga (4.7) ni qo'yish natijasida

ga ega bo'lamiz. Bundan

dan aniqlanadi. U holda bu formulaga (4.7) ni qo'yish natijasida

ga ega bo'lamiz. Bundan

dan aniqlanadi. U holda bu formulaga (4.7) ni qo'yish natijasida

ga ega bo'lamiz. Bundan

dan aniqlanadi. U holda bu formulaga (4.7) ni qo'yish natijasida

ga ega bo'lamiz. Bundan

dan aniqlanadi. U holda bu formulaga (4.7) ni qo'yish natijasida

ga ega bo'lamiz. Bundan

dan aniqlanadi. U holda bu formulaga (4.7) ni qo'yish natijasida

ga ega bo'lamiz. Bundan

dan aniqlanadi. U holda bu formulaga (4.7) ni qo'yish natijasida

ga ega bo'lamiz. Bundan

dan aniqlanadi. U holda bu formulaga (4.7) ni qo'yish natijasida

ga ega bo'lamiz. Bundan

dan aniqlanadi. U holda bu formulaga (4.7) ni qo'yish natijasida

ga ega bo'lamiz. Bundan

dan aniqlanadi. U holda bu formulaga (4.7) ni qo'yish natijasida

ga ega bo'lamiz. Bundan

dan aniqlanadi. U holda bu formulaga (4.7) ni qo'yish natijasida

ga ega bo'lamiz. Bundan

dan aniqlanadi. U holda bu formulaga (4.7) ni qo'yish natijasida

ga ega bo'lamiz. Bundan

dan aniqlanadi. U holda bu formulaga (4.7) ni qo'yish natijasida

ga ega bo'lamiz. Bundan

dan aniqlanadi. U holda bu formulaga (4.7) ni qo'yish natijasida

ga ega bo'lamiz. Bundan

dan aniqlanadi. U holda bu formulaga (4.7) ni qo'yish natijasida

ga ega bo'lamiz. Bundan

dan aniqlanadi. U holda bu formulaga (4.7) ni qo'yish natijasida

ga ega bo'lamiz. Bundan

dan aniqlanadi. U holda bu formulaga (4.7) ni qo'yish natijasida

ga ega bo'lamiz. Bundan

dan aniqlanadi. U holda bu formulaga (4.7) ni qo'yish natijasida

ga ega bo'lamiz. Bundan

dan aniqlanadi. U holda bu formulaga (4.7) ni qo'yish natijasida

ga ega bo'lamiz. Bundan

dan aniqlanadi. U holda bu formulaga (4.7) ni qo'yish natijasida

ga ega bo'lamiz. Bundan

dan aniqlanadi. U holda bu formulaga (4.7) ni qo'yish natijasida

ga ega bo'lamiz. Bundan

dan aniqlanadi. U holda bu formulaga (4.7) ni qo'yish natijasida

ga ega bo'linadi. Ikkinchi tomondan

$$\begin{aligned} \hat{M}_x \hat{M}_y &= (\hat{p}_z y - \hat{p}_y z) (\hat{p}_x z - \hat{p}_z x) = \\ &= \hat{p}_z y \hat{p}_x z - \hat{p}_z y \hat{p}_z x - \hat{p}_y z \hat{p}_x z + \hat{p}_y z \hat{p}_z x = \\ &= y \hat{p}_z \hat{p}_x z - y x \hat{p}_z^2 - z^2 \hat{p}_x \hat{p}_y + x \hat{p}_z \hat{p}_y z \hat{p}_z \end{aligned}$$

ga teng. Impuls momenti proyeksiyalari uchun o'rin almashirish qoidalarini keltirib chiqaraylik. Avvalo shu narsaga e'tiborni qaratishtirish lozimki, koordinataning turli o'qlariga bo'lgan impuls momenti proyeksiyalarining operatorlari o'zaro kommutativ bo'lmaydi. Masalan, $\hat{M}_x \hat{M}_y - \hat{M}_y \hat{M}_x$ kommutatorni hisoblab chiqaylik, M_x va M_y larning qiymatlarini (2.62) dan olinsa, u holda

$$\hat{M} = [\hat{r}\hat{p}]$$

Demak, kvant mexanikasida zarrachaning impulsi saqlanuvchi kattalik bo'ladi va (3.55**) formula kvant mexanikasidagi impuls saqlanish qonunini ifodalaydi.

Impuls momentining saqlanish qonuni. Impulsning saqlanish qonunini ifodalanganda, fazoning bir jinsligidan foydalanilgan edi, fazo bir jinslilik bilan bir qatorda izotropik xossasiga ham egadir, ya'ni fazoning barcha yo'nalishlari o'zaro teng kuchi bo'ladi. (2.61) formuladan ma'lumki, kvant mexanikasida impuls momenti operatori

$$\frac{d\hat{P}}{dt} = 0. \quad (3.55^{**})$$

(3.55) va (3.55') ifodalarni umumiy holda quyidagi vektor ko'rinishda yozish mumkin:

$$\frac{d\hat{P}_x}{dt} = 0, \quad \frac{d\hat{P}_y}{dt} = 0. \quad (3.55')$$

Huddi shunday impuls operatorining boshqa komponentalari uchun ham quyidagi natijalarini olish mumkin:

$$\frac{d\hat{P}_x}{dt} = 0. \quad (3.55)$$

ekanligidan quyidagi natijaga kelinadi:

$$\frac{d\hat{P}}{dt} = [\hat{H}, \hat{P}] = 0 \quad (3.54)$$

ko'rinishga ega bo'ladi. Impulsning saqlanish qonuni keltirib chiqarish uchun (3.39') formuladan foydalaniladi va



bunda $k^2 = \frac{2mE}{\hbar^2}$ ga teng.

To'liq tenglama ko'rinishidagi (4.2) tenglamaning umumiy yechimi ham turg'un to'liq xarakteriga ega bo'ladi va quyidagi yechimi ham turg'un to'liq xarakteriga ega bo'ladi:

$$\psi = A \sin(kx + \alpha). \quad (4.3)$$

(4.3) tenglamadagi noma'lum bo'lgan α va A va n kattaliklar aniqlanadi. (4.1) dagi boshlang'ich shartlarga asosan $x=0=0$ nuqtada $\psi=0$ ligidan $\alpha=0$ ekanligi kelib chiqadi. (4.1) dagi ikkinchi shartga binoan $\psi(0)=0$ ligidan

$$kl = \pi n \quad (4.4)$$

shart kelib chiqadi, bunda noldan katta bo'lgan butun son. Keyinchalik bu ni kvant soni deyiladi. $n=0$ bo'lganida ψ to'liq funksiyasining nolga tengligi kelib chiqadi, bu esa butun sohada zarrachaning yo'qligini bildiradi. Olingan k ning ifodasini bilgan holda va (4.4) munosabatdan foydalanib, zarrachaning qabul qilishi mumkin bo'lgan barcha energetik qiymatlarini aniqlab olish mumkin, ya'ni:

$$E_n = \frac{\pi^2 \hbar^2}{2m l^2} n^2 \quad (4.5)$$

formulaga ega bo'linadi. (4.5) formuladan ko'rinib turibdiki, zarrachaning energiyasi (4.2) tenglamaning ma'lum diskret xususiy qiymatlariga teng bo'lgan qiymatlar qabul qila olar ekan, boshqacha aytganda, Shredinger tenglamasi faqat shunday yechimlarga ega bo'ladi, bu yechimlar ma'lum diskret qiymatlarni qabul qila olgandagina (4.2) tenglama chegaraviy shartlarini qanoatlantiradi. Shunday qilib, cheksiz chuqur potensial o'radagi zarrachaning energiyasi diskret qiymatlarni qabul qiladi, ya'ni energiya kvantlangan bo'ladi. Energiyaning diskretligi o'z-o'zidan tabiiy ravishda kelib chiqadi. Zarracha energiyasining bu qiymatlari **energetik sathlar** deb ataladi. Zarrachani qabul qila oladigan eng kichik energiyali holat asosiy holat deyiladi, qolgan yuqoriroq energiyali holatlar esa **uyg'ongan holatlar** deyiladi. Cheksiz chuqur potensial o'radagi zarrachaning asosiy holatdagi energiyasi (4.5) formula orqali $n=1$ ga teng bo'lgan holda kelib chiqadi:

$$E_1 = \frac{\pi^2 \hbar^2}{2m l^2}. \quad (4.6)$$

o'z qiymatlarini o'zgartirmaydi. Harakat tenglamalarining birinchi integrallari tezliklar va impulslar orasidagi munosabatlarini o'rnatadi, ikkinchi guruh integrallari esa impulsning vaqt bo'yicha o'zgarish qonunlarini ifodalaydi. Kvant mexanikasida xuddi shunday ma'nolarni Gamiltonning kvant tenglamalari beradi. Yuqoridagi fikrlarni tasdiqlash uchun Puassonning qavsularini oshkor ravishda ochib chiqish lozim. Agar magnet kuchlari hisobga olinmasa, Gamiltonian quyidagi ko'rinishga ega bo'ladi:

$$\hat{H} = \frac{1}{2m}(\hat{P}_x^2 + \hat{P}_y^2 + \hat{P}_z^2) + U(\hat{X}, \hat{Y}, \hat{Z}, t). \quad (3.40)$$

To'liq funksiyasini zarrachaning x, y, z koordinata va t vaqtning funksiyasi sifatida qaraladi, operatorlarni quyidagicha yozish mumkin:

$$\hat{X} = x, \quad \hat{Y} = y, \quad \hat{Z} = z \quad (3.41)$$

$$\hat{P}_x = -i\hbar \frac{\partial}{\partial x}, \quad \hat{P}_y = -i\hbar \frac{\partial}{\partial y}, \quad \hat{P}_z = -i\hbar \frac{\partial}{\partial z}. \quad (3.42)$$

Endi (3.40) va (3.41) formulalarni (3.39) ga qo'yib $\frac{d\hat{X}}{dt}$ hisoblanadi:

$$\frac{d\hat{X}}{dt} = \frac{1}{i\hbar}(\hat{X}\hat{H} - \hat{H}\hat{X}) = \frac{1}{2mi\hbar}(\hat{X}\hat{P}_x^2 - \hat{P}_x^2\hat{X}) \quad (3.43)$$

natijaga kelinadi, chunki \hat{X} operator \hat{P}_y, \hat{P}_z va $U(x, y, z, t)$ operatorlar bilan kommutativdir. Agarda \hat{X} va \hat{P}_x operatorlarining o'rin almashirish qoydasi (2.57) dan foydalanilsa

$$\begin{aligned} \hat{P}_x^2 \hat{X} &= \hat{P}_x (\hat{P}_x \hat{X}) = \hat{P}_x (\hat{X} \hat{P}_x - i\hbar) = (\hat{P}_x \hat{X}) \hat{P}_x - i\hbar \hat{P}_x = \\ &= (\hat{X} \hat{P}_x - i\hbar) \hat{P}_x - i\hbar \hat{P}_x = \hat{X} \hat{P}_x^2 - 2i\hbar \hat{P}_x \end{aligned} \quad (3.44)$$

ifodaga kelinadi va buni (3.43) ga qo'yilsa

$$[\hat{H}, \hat{X}] = \frac{1}{m} \hat{P}_x \quad (3.45)$$

natijaga kelinadi. Qolgan y va z koordinatalar uchun shunga o'xshash natijani o'lish mumkin va

$$\frac{d\hat{X}}{dt} = \frac{1}{m} \hat{P}_x, \quad \frac{d\hat{Y}}{dt} = \frac{1}{m} \hat{P}_y, \quad \frac{d\hat{Z}}{dt} = \frac{1}{m} \hat{P}_z$$

$$\begin{aligned} \frac{d^2\psi}{dx^2} + k^2\psi &= 0, \\ -\frac{\hbar^2}{2m} \frac{d^2\psi}{dx^2} &= E\psi. \end{aligned} \quad (4.2)$$

Bu tenglamani boshqacha ko'rinishda ham yozish mumkin, ya'ni

$$\psi(0) = \psi(l) = 0. \quad (4.1)$$

Olingan (4.1) dagi shart potensial o'raning ichida zarracha

harakatini ifodalovchi Shredinger tenglamasining yechimi uchun chegaraviy shart bo'lib hisoblanadi. Bizga ma'lum bo'lgan (3.22) formulaga asosan $0 \leq x \leq l$ sohadagi stasionar holat uchun bir o'lchamli Shredinger tenglamasi quyidagicha ko'rinish oladi:

qaytadi va teskari yo'nalishda harakatlanadi, o'raning qarama-qarshi devoriga yetib borgandan so'ng, yana orqaga qaytadi va hokazo. Shunday qilib, klassik fizika qonunlariga asosan zarracha potensial o'ra tashqarisida bo'la olmaydi va o'ra ichida har qanday nuqtada bir xil ehtimol bilan qayd qilinishi mumkin.

Kvant mexanikasi qonunlariga bo'ysunadigan zarrachaning potensial o'radagi harakati butunlay boshqacha bo'ladi. Kvantlanishning asosiy shartiga ko'ra, zarracha harakatining to'liqin funksiyasi uzluksiz va bir qiymatli bo'lishi kerak. Demak, zarrachaning to'liqin funksiyasi x - o'qining musbat yo'nalishi bo'ylab koordinataning $x \rightarrow 0$ sohasida tekis o'zgarishi uchun potensial o'raning o'ng devoridan tashqi qismida ham davom ettirilishi kerak. Potensial energiya cheksiz katta bo'lgan holda, ya'ni potensial o'raning chap devoridan tashqi qismida zarrachaning harakati ko'rib chiqiladi. Shredinger tenglamasini yechmasdan turib, zarrachaning chap devordan tashqi sohadagi harakatiga quyidagicha izoh berish mumkin: kvant mexanikasi nuqtayi nazaridan, zarrachaning mutlaqo o'tib bo'lmaydigan $x < 0$ sohaga kira olish ehtimoli zarracha qancha katta bo'lsa, shuncha kichik bo'ladi.

Potensial o'radagi zarracha harakatiga oid Shredinger tenglamasini yechishdan avval bu masala uchun chegaraviy shartlarini ifodalaniadi. Zarracha potensial o'ra tashqarisida joylasha olmasligini hisobga olsak, uning $0 \leq x \leq l$ oraligdan tashqarida to'liqin funksiyasi nolga teng bo'ladi. Ikkinchidan, uzluksizlik shartidan $x=0$ va $x=l$ nuqtalarida to'liqin funksiyasi nolga teng bo'lishi kerakligi kelib chiqadi, ya'ni

BIR O'LCHAMLI MANTAVLALAR

qoq'V

4.1. Cheksiz chuqur potensial o'radagi harakat

Ushbu bobda Shredinger tenglamasini bir necha masalalarni yechish uchun qo'llaniladi, chunki Shredinger tenglamasi sodda potensial maydonlar uchungina aniq yechimlarga ega. Bu xildagi oddiy masalalarni yechishdan maqsad, Shredinger tenglamasining matematik apparatini mukammalroq egallashdan iborat. Dastlab, zarrachaning bir o'lchovli oddiy harakati ko'rib chiqiladi. Potensial energiyasi

$$V \geq x \text{ va } 0 \leq x < \infty \begin{cases} 0 & \text{agar } x > 0 \\ \infty & \text{agar } x < 0 \end{cases} = V(x)$$

orqali ifodalangan potensial maydonda zarrachaning bir o'lchamli harakati tekshirib chiqiladi. Bunday potensial maydonni cheksiz potensial o'ra deyiladi va ravshanki bunday orada zarracha faqat oraliqda harakatlanishi mumkin. Bu masala asosan uch jihatdan qiziqtiradi:

(1) cheklab qo'yilgan zarracha harakatini ifodalovchi Shredinger tenglamasini qanday yechish mumkin;
 (2) shu tenglama yechimining xarakterli xossalarni aniqlash;
 (3) masalaning kvant mexanikasi hamda klassik mexanikasi yordamida olingan yechimlarini o'zaro taqqoslash.

Mazkur potensial o'rada klassik zarrachaning harakatini ko'rib chiqaylik. Ma'lumki, potensial o'radagi klassik zarrachaning energiyasi ixtiyoriy qiymat qabul qila olishi mumkin. Agar zarrachaning to'la energiyasi $0 \leq E \leq U(x)$ oraliqda joylashgan bo'lsa, u holda zarracha potensial o'radan chiqib keta olmaydi. Chunki zarracha potensial o'radan chiqib keta olishi uchun u to'la energiyadan katta potensial to'siqni yengib o'tib, shu qiymatli potensial energiyaga teng bo'lgan to'la energiyaga ega bo'lib qolishi kerak. Lekin bu holda zarrachaning kinetik energiyasi manfiy qiymatga ega bo'lib qoladi va tabiiyki bu mumkin emas. Yuqorida aytib o'tilgan tasdiq, albatta, klassik zarracha harakati uchun mumkin bo'lmagan hol bo'ladi: hech qanday zarracha manfiy kinetik energiya bilan harakat qila olmaydi. Shuning uchun, potensial o'ra chekkasiga yetgan klassik zarracha uning devoridan

ushbu saqlanish qonunlari ko'rib chiqiladi.

Fizikaning boshqa sohalari kabi, kvant mexanikasida ham zarrachaning holatini va bu holat o'zgarishini ifodalovchi dinamik kattaliklarning bir qator saqlanish qonunlari fundamental ahamiyatga egadir. Bunday saqlanish qonunlari gatoriga energiya, impuls va impuls momenti saqlanish qonunlaridan tashqari faqat kvant mexanikasiga xos bo'lgan juftlikning saqlanish qonunini ham kiritish mimumkin. Ma'lumki, klassik mexanikada saqlanish qonunlari vaqtning bir jinsligidan va fazoning bir jinsligi hamda izotropligidan kelib chiqadi, aniqrog'i vaqtning bir jinsligidan energiyani saqlanish qonuni, fazoning bir jinsligidan impuls saqlanish qonuni va fazoning izotropligidan impuls momentining saqlanish qonuni kelib chiqadi. Kvant mexanikasida

3.6. Saqlanish qonunlari

ko'rinishda yozish mumkin, ya'ni impuls operatoridan vaqt bo'yicha

olingan hosila kuch operatoriga tengdir. Boshqacha aytganda, (3.47) formulani Nyuton tenglamasining operator ko'rinishi sifatida qarashi mumkin.

$$\frac{d\hat{P}_x}{dt} = \hat{F}_x \quad (3.47)$$

natija o'linadi. Ma'lumki, $-\frac{\partial U}{\partial x}$ kattalik kuchning x o'qiga bo'lgan proeksiasining operatoridir. Demak, (3.46) ni

$$\frac{d\hat{P}_x}{dt} = -\frac{\partial U}{\partial x} \quad (3.46)$$

yoki

$$[\hat{H}, \hat{P}_x] = \frac{1}{\hbar} (\hat{P}_x \hat{H} - \hat{H} \hat{P}_x) = \frac{1}{\hbar} (\hat{P}_x U - U \hat{P}_x) = -\frac{\partial U}{\partial x}$$

formuladan va (2.59) o'rin almashitirishdan foydalanilisa,

Endi $\frac{d\hat{P}_x}{dt}$ operator hisoblab chiqiladi, buning uchun (3.39)

formuladan va (2.59) o'rin almashitirishdan foydalanilisa,

natiyaga kelinadi, ya'ni tezlik operatori zarrachaning massasiga bo'lingan impuls operatoriga tengdir. Bo'shqacha aytganda, tezlik va impuls operatorlarning orasidagi munosabat klassik mexanikadagidek, tegishli kattaliklar o'rasidagi munosabat kabi bo'ladi.

Endi $\frac{d\hat{L}}{dt}$ operator hisoblab chiqiladi, buning uchun (3.39)

formuladan va (2.59) o'rin almashitirishdan foydalanilisa,

Endi $\frac{d\hat{L}}{dt}$ operator hisoblab chiqiladi, buning uchun (3.39)

formuladan va (2.59) o'rin almashitirishdan foydalanilisa,

Energiyaning saqlanish qonuni. Klassik mexanikasiga o'xshab kvant mexanikasida ham harakat integrallari mavjud va ular saqlanadi. (3.34) formulaga binoan

$$\frac{d\hat{L}}{dt} = \frac{\partial \hat{L}}{\partial t} + [\hat{L}, \hat{H}] = 0 \quad (3.48)$$

bo'lganida L kattalik harakat integrali bo'ladi. Agarda L oshkor ravishda vaqtga bog'liq bo'lmasa, u holda

$$\frac{d\hat{L}}{dt} = [\hat{H}, \hat{L}] = 0 \quad (3.49)$$

bo'ladi. Demak, vaqtga oshkor ravishda bog'liq bo'lmagan harakat integrallari uchun Puasson qavslari nolga teng bo'ladi. Olingan (3.48) formulani gamiltonianga qo'llanilishi ko'rib chiqiladi. Operator $\hat{L} = \hat{H}$ bo'lganida

$$\frac{d\hat{H}}{dt} = \frac{\partial \hat{H}}{\partial t} + [\hat{H}, \hat{H}] = \frac{\partial \hat{H}}{\partial t} \quad (3.50)$$

ifodaga kelinadi. Agarda gamiltonian oshkor holda vaqtga bog'liq

bo'lmasa, u holda $\frac{\partial \hat{H}}{\partial t} = 0$ ga teng bo'ladi va

$$\frac{d\hat{H}}{dt} = 0 \quad (3.51)$$

natija olinadi, demak

$$\hat{H} = const \quad (3.52)$$

Bu holda gamiltonian to'la energiya operatoriga mos keladi hamda vaqtga bog'liq bo'lmagan kuch maydonlarida to'la energiya harakat integrali bo'ladi, yoki (3.51) ifoda kvant mexanikasida energiyaning saqlanish qonunini ifodalaydi.

Impuls saqlanish qonuni. Kuch maydonning turiga qarab harakat integrallarini ko'rinishi o'zgaradi. Erkin harakatlanayotgan zarracha uchun potensial energiya $U(x, y, z, t) = 0$ teng bo'ladi va Gamiltonian

$$\hat{H} = \hat{T} = \frac{1}{2m} (\hat{P}_x^2 + \hat{P}_y^2 + \hat{P}_z^2) \quad (3.53)$$

$$(4.13)$$

$$\left. \begin{aligned} \psi_1 &= A_1 e^{ikx} + B_1 e^{-ikx}, \\ \psi_2 &= A_2 e^{ikx} + B_2 e^{-ikx}. \end{aligned} \right\}$$

quyidagicha yozish mumkin:

$$(4.12) \quad k^2 = \frac{2mE}{\hbar^2} \quad \text{va} \quad d^2 = \frac{2m}{\hbar^2} (E - U_0)$$

ko'rinishga ega. Bu tenglamalarda:

$$(4.11) \quad \begin{cases} \frac{d^2 \psi_1}{dx^2} + k^2 \psi_1 = 0, & x \leq 0 \\ \frac{d^2 \psi_2}{dx^2} - d^2 \psi_2 = 0, & x > 0 \end{cases}$$

Yuqorida qayd etilgan ikkala sohalar uchun statsionar holatdagi Shredinger tenglamasi:

$$(4.10)$$

$$\psi_1(0) = \psi_2(0), \quad \psi_1'(0) = \psi_2'(0).$$

Ushbu shartlarni qo'llanib, (4.11) tenglamalarning yechimlarini kabi belgilashlar kiritildi. (4.11) tenglamalarning yechimlarini quyidagicha yozish mumkin:

$$(4.9) \quad \begin{cases} 0 < x < 0 \\ 0 \leq x \end{cases} U = \begin{cases} 0 \\ U(x) \end{cases}$$

keladi, ya'ni,

Ushbu shartlarni qo'llanib, (4.11) tenglamalarning yechimlarini kabi belgilashlar kiritildi. (4.11) tenglamalarning yechimlarini quyidagicha yozish mumkin:

$$(4.35) \quad D = |A_3|^2 = \frac{4k^2 \chi^2}{(k^2 + \chi^2)^2} \frac{1}{\sinh^2 \chi a + 4k^2 \chi^2}.$$

Shunday qilib, (4.35) formuladan ko'rinib turibdiki, o'tish koeffitsiyenti zarrachaning energiyasi, potensial to'siqning balandligi va kengligining murakkab funksiyasi orqali ifodalangani. Hisoblashlarni soddalashtirish maqsadida, $\chi a \gg 1$ olish mumkin, u holda $\sinh \chi a \approx \frac{1}{2} e^{2\chi a}$

bo'ladi va (4.35) formula soddalashtadi. Shunday qilib, bu holda

$$(4.36) \quad D \approx \frac{16k^2 \chi^2}{(k^2 + \chi^2)^2} e^{-2\chi a}$$

bo'ladi. To'siqning kengligi va balandligi bilan o'tish koeffitsiyentining bog'liqligi (4.36) formuladagi eksponensial ko'phadga bog'liqdir. Eksponenta oldidagi ko'phadni D_0 orqali belgilansa,

$$(4.37) \quad D = D_0 \exp \left\{ -\frac{2}{\hbar} a \sqrt{2m(U_0 - E)} \right\}$$

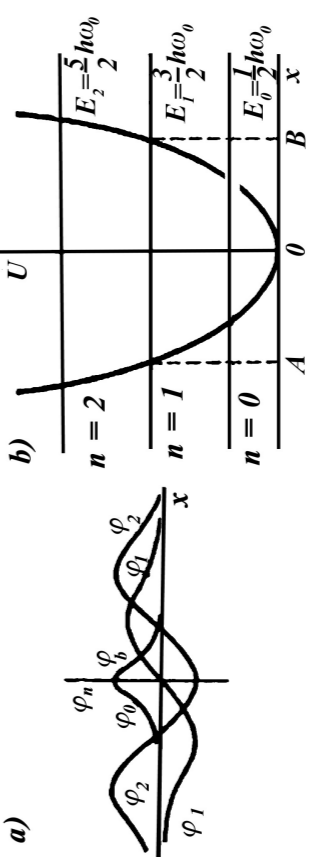
natiijaga kelinadi. Agarda

$$(4.38) \quad \frac{2}{\hbar} \sqrt{2m(U_0 - E)} \leq 1$$

bo'lganda, to'siqdan o'tish ehtimolligi yetarli darajada kichik emas. (4.38) shart faqat mikrohodisalar sohasidagina bajariladi. Agarda (4.38) formulada yadro o'lchamlari tartibidagi kattaliklardan foydalanilisa, ya'ni $a \approx 10^{-13} \text{ sm}$, $m \approx 10^{-24} \text{ g}$ (nuklonning massasi), $U_0 - E \approx 10 \text{ MeV}$ bo'lsa, u holda hisoblashlar natijasida $D \approx e^{-1}$ olinadi. Shunday qilib, to'siqning balandligi zarrachaning energiyasidan 5-10 MeV ga ortiq bo'lishiga qaragandan zarracha ma'lum ehtimollik bilan to'siqdan o'tishi mumkin. Agar $a \approx 10 \text{ fm}$ bo'lganda mutlaqo boshqa natijaga kelinadi va bu holda $D \approx 10^{-13}$ bo'ladi. Demak, makroskopik hodisalar sohasida tunnel effekti mutloqo mavjud bo'lmaydi.

4.4. Chiziqli garmontik ostsilлятор

Atom fizikasida keng foydalaniladigan muhim modellardan biri chiziqli garmontik ostsilлятор modeli hisoblanadi. Chiziqli garmontik tebranish deb sistemaning o'z muvozanat holati potensial atrofidagi energiyasi koordinataning kvadratiga proporsional bo'lgan holda yuz beradigan erkin tebranishga aytiladi. Sistemaning garmontik tebranishiga



6-rasm. $n = 0, 1, 2$ qiymatlarida garmontik ostsilyatorning to'liqin funksiyalari ko'rinishi (a) va E_n kvant sathlarning diagrammalari (b).

$$(4.39) \quad \psi_0(x) = \frac{1}{\sqrt{\pi x_0}} \exp \left(-\frac{x^2}{2x_0^2} \right)$$

ga teng bo'ladi va unga mos ehtimollik zichligi esa

$$|\psi_0(x)|^2 = \frac{1}{\sqrt{\pi x_0}} \exp \left(-\frac{x^2}{x_0^2} \right)$$

ko'rinishda bo'ladi. $|\psi_0(x)|^2$ ni tasvirlovchi egri chiziq Gauss xatoliklar egri chiziqi tipidadir va bu ehtimollik 10-rasmda tasvirlangan.

$$\begin{aligned} E_2 &= \frac{5}{2} \hbar \omega_0, & \psi_2 &= \frac{1}{\sqrt{2}} \left(\frac{2}{\pi} \right)^{1/4} \left(\frac{x^2}{x_0^2} - \frac{1}{2} \right) \exp \left(-\frac{x^2}{2x_0^2} \right) \\ E_1 &= \frac{3}{2} \hbar \omega_0, & \psi_1 &= \frac{1}{\sqrt{2}} \left(\frac{2}{\pi} \right)^{1/4} x \exp \left(-\frac{x^2}{2x_0^2} \right) \\ E_0 &= \frac{1}{2} \hbar \omega_0, & \psi_0 &= \frac{1}{\sqrt{\pi}} \left(\frac{2}{\pi} \right)^{1/4} \exp \left(-\frac{x^2}{2x_0^2} \right) \end{aligned}$$

Keltirilgan qiymatlar 9-rasmda tasvirlangan.

$$\begin{aligned} E_2 &= \frac{5}{2} \hbar \omega_0, & \psi_2 &= \frac{1}{\sqrt{2}} \left(\frac{2}{\pi} \right)^{1/4} \left(\frac{x^2}{x_0^2} - \frac{1}{2} \right) \exp \left(-\frac{x^2}{2x_0^2} \right) \\ E_1 &= \frac{3}{2} \hbar \omega_0, & \psi_1 &= \frac{1}{\sqrt{2}} \left(\frac{2}{\pi} \right)^{1/4} x \exp \left(-\frac{x^2}{2x_0^2} \right) \\ E_0 &= \frac{1}{2} \hbar \omega_0, & \psi_0 &= \frac{1}{\sqrt{\pi}} \left(\frac{2}{\pi} \right)^{1/4} \exp \left(-\frac{x^2}{2x_0^2} \right) \end{aligned}$$

misol tariqasida prujinaga osilgan yukning, suyuqlik yuzida suzib yuruvchi jismining yoki kristall panjara atomining tebranishini keltirish mumkin. Sistemaning muvozanat holatda garmontik tebranishi uning potensial energiyasining minimum qiymati atrofidagi ro'y beradi. Bir o'lchovli kichik tebranishdagi sistemaning potensial energiyasini minimum atrofidagi qatorga yoyilisa,

$$U(x) = U(0) + \frac{1}{1!} \left(\frac{\partial U}{\partial x} \right) x + \frac{1}{2!} \left(\frac{\partial^2 U}{\partial x^2} \right) x^2 + \frac{1}{3!} \left(\frac{\partial^3 U}{\partial x^3} \right) x^3 + \dots$$

ifoda hosil bo'ladi. Bunda x - muvozanat holatidan qancha masofaga og'ishni bildiradi. Potensial energiya $-U(x)$ ning x bo'yicha birinchi hosilasi nolga teng bo'ladi, chunki ushbu hosila potensial energiya funksiyasi $-U(x)$ ning minimum nuqtasida olinmoqda. Agar muvozanat nuqtasini sanq boshi deb qabul qilinsa, $U(0)$ ham nolga teng bo'ladi. Zarracha muvozanat nuqta atrofidagi kichik tebranna harakat qilayotgan bo'lsa, yuqoridagi qatorning x^2 ga proporsional birinchi noldan farqli hadiga nisbatan keyingi hadlari nolga cheksiz yaqin bo'ladi. Shuning uchun, garmontik tebranayotgan sistemaning potensial energiyasini quyidagi ko'rinishda olinadi.

$$(4.39) \quad U(x) = \frac{m\omega^2}{2} x^2$$

bunda $\left(\frac{\partial^2 U}{\partial x^2} \right)_{x=0} = m\omega^2$ ga teng.

Garmontik ostsilлятор to'g'risidagi masala uchun Shredinger tenglamasi

$$(4.40) \quad -\frac{\hbar^2}{2m} \frac{d^2 \psi}{dx^2} + \frac{m\omega^2}{2} x^2 \psi = E \psi$$

ko'rinishga ega bo'ladi, bunda ψ to'liqin funksiya $x \rightarrow \pm\infty$ bo'lganda $\psi(x) = 0$ bo'lishi va to'liqin funksiyasiga qo'yilgan hamma qolgan standart shartlarni ham qanoqlantirishi kerak. (4.40) tenglamani yechish uchun quyidagi o'lchamsiz kattaliklarga o'tish maqsadga muvofiqdir:

$$(4.41) \quad \xi = \frac{x}{x_0}, \quad x_0 = \sqrt{\frac{\hbar}{m\omega}}, \quad \lambda = \frac{2E}{\hbar\omega}$$

Endi olingan natijalarni konkret masalalar yechimiga ta'biqini ko'rib chiqaylik. Misol tariqasida bir o'lchamli potensial o'radagi zarrachalar harakatini tekshiraylik. Ushbu rasmda tasvirlangan va bita

4.7. Kvaziklassik yaqinlashishda potensial o'radagi harakatni o'riganish

bo'lishi mumkin, bunda c' , c va θ – o'zgaruvchilar bo'lib, ular berilgan

masala uchun chegaraviy shartlardan topiladi. Hosil bo'lgan (4.90) va (4.91) taqribiy yechimlar VKB yechimlari deyiladi.

$$\psi = \frac{c'}{\sqrt{p}} \cos \left(\frac{1}{\hbar} \int p dx + \theta \right) \quad (4.91)$$

bo'ladi, yoki boshqa ko'rinishda

$$\psi(x) = \frac{c'}{\sqrt{p}} \exp \left\{ \frac{i}{\hbar} \int p dx \right\} + \frac{c}{\sqrt{p}} \exp \left\{ -\frac{i}{\hbar} \int p dx \right\} \quad (4.90)$$

yechimning ko'rinishi

$$= \frac{c}{\sqrt{p}} \exp \left\{ \frac{i}{\hbar} \left(\pm \int p dx \right) \right\} \quad (4.89)$$

$$\psi(x) = c \exp \left\{ \frac{i}{\hbar} \left[\int_{x_0}^x p dx + i \ln \sqrt{p} \right] \right\}$$

bo'ladi. $S(x)$ uchun hosil bo'lgan ifodani (4.79) ga qo'yib

$$S(x) = \pm \int_{x_0}^x p dx + i \ln \sqrt{p} - \ln c \quad (4.88)$$

ifoda olinadi. Shunday qilib, tanlab olgan yaqinlashishda $S(x)$ funksiya

$$S'(x) = \frac{1}{2} i \ln S_0' - \ln c = \frac{1}{2} i \ln p - \ln c \quad (4.87)$$

va (4.86) ni integralash natijasida

$$S''(x) = \frac{1}{2} i \frac{S_0''}{S_0'} = \frac{1}{2} i \frac{d}{dx} \ln S_0' \quad (4.86)$$

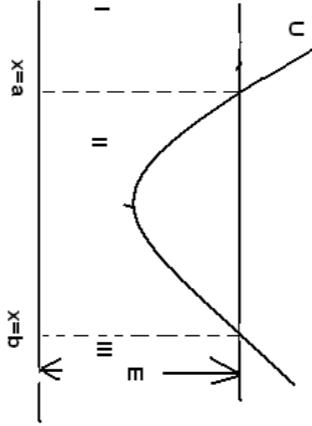
Olingan egri chiziqning ko'rsatishicha, ostsilyatorning nolinci holatida zarracha vaziyatini ko'p marta aniqlaganimizda, uni har doim ko'proq muvozanat vaziyati ($x=0$) atrofida topiladi. Bu holatning xususiyati shundan iboratki, ostsilyatorning energiyasi nolga teng bo'lmay, balki $E_0 = \frac{1}{2} \hbar \omega$ teng bo'lishdadir. Shunga muvofiq ravishda, kvant ostsilyator absolyut nolda tinch turmaydi. Klassik ostsilyator esa, klassik fizika va Bor nazariyasiga binoan potensial o'ra tubida nolga teng energiya bilan harakatsiz holda bo'ladi. Ammo kvant nazariyasida, Geyzenberg noaniqlik prinsipi ko'ra, zarrachaning koordinatasi va impulsini, klassik ostsilyator holidan farqli o'laroq, bir vaqtda aniq bilish mumkin emas. Zarrachaning nolga teng impuls bilan potensial o'ra tubida aniq joylashishiga kvant mexanikasining noaniqlik prinsipi yo'l qo'ymaydi. Hozir noaniqlik munosabatlarini qanoatlantirishi uchun $\frac{1}{2} \hbar \omega$ -nolinci energiyani ostsilyatorning eng minimal energiyasi ekanligi ko'rsatiladi. Zarracha vaziyatining noaniqligi sifatida o'rtacha kvadratik xato qabul qilinadi:

$$\overline{\Delta x} = \sqrt{x^2}.$$

Klassik ostsilyator uchun $x = \cos \omega t$, shu formula bilan ifodalangan harakat davriy harakat bo'ladi, chunki vaqt bu formulaga davriy funksiya orqali kiradi. Demak,

$$\overline{\Delta x} = \sqrt{x^2} = \sqrt{a^2 \cos^2 \omega t} = \sqrt{\frac{1}{2} a^2} \quad (4.63)$$

bo'ladi, chunki

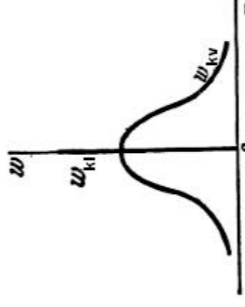


11-rasm. Bir o'lchamli potensial o'ra.

II sohada, ya'ni to'la energiya potensial energiyadan katta bo'lgan holda, zarracha faqat finit harakat sodir etadi va uning energiyasi kvantlanadi. Bir o'lchamli harakatning umumiy hossalriga asosan ushbu zarrachaning energiyasiga yagona, ya'ni bitta energetik sath mos keladi. Ushbu sathning potensial egri chiziq bilan kesishgan nuqtalarida, ya'ni $x=a$ va $x=b$ nuqtalarda, o'ra ichidagi zarrachaning harakatida klassik mexanikaga asosan burilish nuqtalari mavjud bo'ladi, bu nuqtalarda kinetik energiya nolga teng, to'la energiya esa potensial energiyaga teng bo'ladi va zarracha, klassik mexanika qonunlariga bo'ysinganda, qarama qarshi tomonga harakat qila boshlaydi.

Kvant mexanikasida esa ahvol boshqacha bo'ladi. $|x| > a$ bo'lganida, U potensial energiya kinetik energiyadan katta bo'ladi, ya'ni $U > E$, zarrachaning impuls $p = \sqrt{2m(E-U)} = i\sqrt{2m(U-E)}$ mavhum kattalik bo'ladi. (4.90) formuladagi eksponenta kattaliklari haqiqiy bo'ladi va $x \rightarrow \infty$ da bittasi cheksiz kamayadi, bittasi esa cheksiz o'sib boradi

$$\psi = \frac{c'}{\sqrt{|p|}} \exp \left(-\frac{1}{\hbar} \int |p| dx \right) + \frac{c''}{\sqrt{|p|}} \exp \left(\frac{1}{\hbar} \int |p| dx \right)$$



10-rasm. Garmonik ostsilyatorning E_0 - eng kichik energiyali holatidagi klassik va kvant ehtimolliklari.

Eslatib o'taylikki, $Y_m(\theta, \phi)$ funksiya \hat{M}^2 operatorning xususiy funksiyasi bo'lib, bir vaqtning o'zida impuls momenti bitta proyeksiyasining ham xususiy funksiyasi bo'ladi, koordinatalar sistemasini shunday tanlaymizki, nazarda tutilayotgan proyeksiya M_z proyeksiyasi bo'lsin. Shu sababdan markaziy kuch maydonida energiyaning saqlanish qonunidan tashqari yana ikkita saqlanish qonuni mavjud bo'ladi, ya'ni harakat miqdori momentining saqlanish qonuni va fazodagi ixtiyoriy ravishda yo'naltirilgan z - o'qiga moment proyeksiyasining saqlanish qonunlaridir. Boshqacha aytganda, markaziy simmetrik maydonda to'liq energiya, impuls momentining kvadrati va z - o'qiga impuls momenti proyeksiyasi bir vaqtning o'zida o'lchab bo'ladigan kattaliklarni tashkil qiladi.

To'liq funksiyaning radial tashkil etuvchisi uchun hosil bo'lgan (5.8) tenglamani batafsil tekshirib chiqaylik. Olingan (5.8) tenglamaning yechimi quyidagi ko'rinishda izlanadi:

$$R(r) = \frac{1}{r} \chi(r) \quad (5.9)$$

$$\hat{T}_r R = -\frac{\hbar^2}{2m} \frac{1}{r^2} \frac{d}{dr} \left(r^2 \frac{dR}{dr} \right) = -\frac{\hbar^2}{2m} \frac{1}{r^2} \frac{d}{dr} \left(r \chi' - \chi \right) = -\frac{\hbar^2}{2m} \frac{1}{r} \frac{d^2 \chi}{dr^2} \quad (5.10)$$

ni hisobga olgan holda, $\chi(r)$ funksiya uchun quyidagi ko'rinishdagi tenglamani hosil qilinadi:

$$-\frac{\hbar^2}{2m} \frac{d^2 \chi}{dr^2} + \frac{\hbar^2 l(l+1)}{2mr^2} \chi + U(r) \chi = E \chi \quad (5.11)$$



ifodalar hosil bo'ladi. Shunday qilib, nolinch vaqtinch vaqtinch klassik mexanikaning oddiy yechimini hosil qilar ekanmiz. Yuqoridagi (4.84) tenglama orqali $S_1(x)$ ni topish mumkin

$$S'_0(x) = \pm \int_{x_0}^x p dx \quad (4.85)$$

natija olinadi. $\sqrt{2m(E-U)}$ kattalik klassik mexanikadagi p impulsni ifodalaydi, bundan

$$S'_0(x) = \pm \sqrt{2m(E-U)} \quad (4.86)$$

ifodalarni olish mumkin. Avvalo $\hbar=0$, ya'ni nolinch vaqtinch vaqtinch tegishli bo'lgan (4.83) shartni ko'rib chiqaylik. Bunda

$$iS''_0(x) - 2S'_0(x)S'_1(x) = 0 \quad (4.87)$$

$$2m(E-U) - S_0'^2(x) = 0 \quad (4.88)$$

ni hosil qilindi. (4.82) tenglama aynan nolga teng bo'lishi uchun uning \hbar bo'yicha alohida hadlari nolga teng bo'lishi kerak, ya'ni \hbar qatnashmaydigan hadlar va \hbar ning oldidagi ko'paytuvchi uchun:

$$S_0'(x) = S_0'(x) + \hbar S_1'(x) - 2S_0'(x)S_1'(x) = 0 \quad (4.89)$$

Hosil bo'lgan taqribiy yechimni (4.80) ifodaga olib borib qo'yib,

$$S_0(x) = S_0(x) + \hbar S_1(x) + \hbar^2 S_2(x) + \dots \quad (4.90)$$

Bizning hisoblashlarimizda birinchi ikkita had bilan chegaralanish yetarli.

Shunday qilib, kvant ostisilyatorning nolinch vaqtinch haqiqatan ham minimal energiya bo'ladi. Noaniqlik munosabatlarining bajarilishini ta'minlash uchun, ostisilyator nolinch vaqtinch holatda joylashgan bo'lsa ham noldan farqli bo'lgan eng kam energiyaga ega bo'lishi kerak.

Shunday qilib, kvant ostisilyatorning nolinch vaqtinch haqiqatan ham minimal energiya bo'ladi. Noaniqlik munosabatlarining bajarilishini ta'minlash uchun, ostisilyator nolinch vaqtinch holatda joylashgan bo'lsa ham noldan farqli bo'lgan eng kam energiyaga ega bo'lishi kerak.

$$\frac{d^2 \psi}{dx^2} + \frac{2m(E-U)}{\hbar^2} \psi = 0$$

Keltirilgan (4.63) formulada a - klassik ostisilyator tebranishining amplitudasini ifodalaydi. Biroq ostisilyatorning to'la energiyasi

$$E_0 = \frac{1}{2} m a^2 \omega^2$$

bo'lganligi uchun $a^2 = \frac{2E_0}{m\omega^2}$ bo'ladi, shuning uchun (4.63) formula quyidagicha yoziladi:

$$\frac{d^2 \psi}{dx^2} + \frac{2m(E-U)}{\hbar^2} \psi = 0 \quad (4.64)$$

Ikkinchi tomondan, shunga o'xshash hisoblashlarni impulsni noaniqligi uchun bajariladi va quyidagi natija olinadi:

$$\Delta p = \sqrt{p^2} = \sqrt{m^2 a^2 \omega^2 \sin^2 \theta} = \sqrt{\frac{1}{2} m^2 a^2 \omega^2} = \sqrt{m E_0} \quad (4.65)$$

Shunday qilib,

$$\Delta x \Delta p = \sqrt{\frac{E_0}{m\omega^2}} \sqrt{m E_0} = \frac{E_0}{\omega} \quad (4.66)$$

Lekin noaniqlik munosabatlariga ko'ra $\Delta x \cdot \Delta p \sim \hbar$ bo'lganligi sababli va o'rta kvadratik xatolar ko'paytmasi esa

$$\Delta x \cdot \Delta p_x \geq \frac{\hbar}{2} \quad (4.67)$$

ekanligini eslasak, (4.67) formulada tenglik ishorasi olinsa, ya'ni xatolar ko'paytmasining quyidagi chegarasi tanlab olinsa, u holda (4.66) ni (4.67) bilan taqqoslab, ushbu tenglikni topish mumkin:

$$\frac{E_0}{\omega} = \frac{\hbar}{2}, \quad \text{va} \quad E_0 = \frac{1}{2} \hbar \omega$$

Shunday qilib, kvant ostisilyatorning nolinch vaqtinch haqiqatan ham minimal energiya bo'ladi. Noaniqlik munosabatlarining bajarilishini ta'minlash uchun, ostisilyator nolinch vaqtinch holatda joylashgan bo'lsa ham noldan farqli bo'lgan eng kam energiyaga ega bo'lishi kerak.

$$\psi(x) = \frac{e^{-\alpha x}}{\sqrt{p(x)}} \exp\left[-\frac{1}{\hbar} \int_0^x p dx\right] \quad |x| \geq b, \quad (4.97)$$

va shunga o'xshash analogik ravishda

$$\psi(x) = \frac{e^{-\alpha x}}{\sqrt{p(x)}} \exp\left[-\frac{1}{\hbar} \int_0^x p dx\right] \quad |x| \leq a, \quad (4.98)$$

$$\psi(x) = \frac{e^{-\alpha x}}{\sqrt{p(x)}} \exp\left[-\frac{1}{\hbar} \int_0^x p dx\right] \quad |x| \geq a \quad (4.99)$$

yuqoridagi batafsil yoritilgan va quyidagi natija olingan:

II sohning tashqarisida burulish nuqtalari atrofida (4.92) va (4.93) eksponensial yechimlar $\sqrt{p} = \sqrt{2m(E-U)}$ kattalik nolga intilishi sababli cheksiz ravishda ortib boradi. Asosiy masala shundan iboratki, hosil bo'lgan ikkita taqribiy yechimlar, ya'ni I va III sohadagi eksponensial yechim va II sohadagi tebranuvchi yechim $x=a$ va $x=b$ nuqtalarda Stredinger tenglamasining xususiy yechimiga mos kelishi kerak. Bu masala matematik nuqtai nazardan kvant mexanikasi bo'yicha yozilgan turli darslikda batafsil yoritilgan va quyidagi natija olingan:

II sohning tashqarisida burulish nuqtalari atrofida (4.92) va (4.93) eksponensial yechimlar $\sqrt{p} = \sqrt{2m(E-U)}$ kattalik nolga intilishi sababli cheksiz ravishda ortib boradi. Asosiy masala shundan iboratki, hosil bo'lgan ikkita taqribiy yechimlar, ya'ni I va III sohadagi eksponensial yechim va II sohadagi tebranuvchi yechim $x=a$ va $x=b$ nuqtalarda Stredinger tenglamasining xususiy yechimiga mos kelishi kerak. Bu masala matematik nuqtai nazardan kvant mexanikasi bo'yicha yozilgan turli darslikda batafsil yoritilgan va quyidagi natija olingan:

II sohning tashqarisida burulish nuqtalari atrofida (4.92) va (4.93) eksponensial yechimlar $\sqrt{p} = \sqrt{2m(E-U)}$ kattalik nolga intilishi sababli cheksiz ravishda ortib boradi. Asosiy masala shundan iboratki, hosil bo'lgan ikkita taqribiy yechimlar, ya'ni I va III sohadagi eksponensial yechim va II sohadagi tebranuvchi yechim $x=a$ va $x=b$ nuqtalarda Stredinger tenglamasining xususiy yechimiga mos kelishi kerak. Bu masala matematik nuqtai nazardan kvant mexanikasi bo'yicha yozilgan turli darslikda batafsil yoritilgan va quyidagi natija olingan:

II sohning tashqarisida burulish nuqtalari atrofida (4.92) va (4.93) eksponensial yechimlar $\sqrt{p} = \sqrt{2m(E-U)}$ kattalik nolga intilishi sababli cheksiz ravishda ortib boradi. Asosiy masala shundan iboratki, hosil bo'lgan ikkita taqribiy yechimlar, ya'ni I va III sohadagi eksponensial yechim va II sohadagi tebranuvchi yechim $x=a$ va $x=b$ nuqtalarda Stredinger tenglamasining xususiy yechimiga mos kelishi kerak. Bu masala matematik nuqtai nazardan kvant mexanikasi bo'yicha yozilgan turli darslikda batafsil yoritilgan va quyidagi natija olingan:

II sohning tashqarisida burulish nuqtalari atrofida (4.92) va (4.93) eksponensial yechimlar $\sqrt{p} = \sqrt{2m(E-U)}$ kattalik nolga intilishi sababli cheksiz ravishda ortib boradi. Asosiy masala shundan iboratki, hosil bo'lgan ikkita taqribiy yechimlar, ya'ni I va III sohadagi eksponensial yechim va II sohadagi tebranuvchi yechim $x=a$ va $x=b$ nuqtalarda Stredinger tenglamasining xususiy yechimiga mos kelishi kerak. Bu masala matematik nuqtai nazardan kvant mexanikasi bo'yicha yozilgan turli darslikda batafsil yoritilgan va quyidagi natija olingan:

II sohning tashqarisida burulish nuqtalari atrofida (4.92) va (4.93) eksponensial yechimlar $\sqrt{p} = \sqrt{2m(E-U)}$ kattalik nolga intilishi sababli cheksiz ravishda ortib boradi. Asosiy masala shundan iboratki, hosil bo'lgan ikkita taqribiy yechimlar, ya'ni I va III sohadagi eksponensial yechim va II sohadagi tebranuvchi yechim $x=a$ va $x=b$ nuqtalarda Stredinger tenglamasining xususiy yechimiga mos kelishi kerak. Bu masala matematik nuqtai nazardan kvant mexanikasi bo'yicha yozilgan turli darslikda batafsil yoritilgan va quyidagi natija olingan:

II sohning tashqarisida burulish nuqtalari atrofida (4.92) va (4.93) eksponensial yechimlar $\sqrt{p} = \sqrt{2m(E-U)}$ kattalik nolga intilishi sababli cheksiz ravishda ortib boradi. Asosiy masala shundan iboratki, hosil bo'lgan ikkita taqribiy yechimlar, ya'ni I va III sohadagi eksponensial yechim va II sohadagi tebranuvchi yechim $x=a$ va $x=b$ nuqtalarda Stredinger tenglamasining xususiy yechimiga mos kelishi kerak. Bu masala matematik nuqtai nazardan kvant mexanikasi bo'yicha yozilgan turli darslikda batafsil yoritilgan va quyidagi natija olingan:

II sohning tashqarisida burulish nuqtalari atrofida (4.92) va (4.93) eksponensial yechimlar $\sqrt{p} = \sqrt{2m(E-U)}$ kattalik nolga intilishi sababli cheksiz ravishda ortib boradi. Asosiy masala shundan iboratki, hosil bo'lgan ikkita taqribiy yechimlar, ya'ni I va III sohadagi eksponensial yechim va II sohadagi tebranuvchi yechim $x=a$ va $x=b$ nuqtalarda Stredinger tenglamasining xususiy yechimiga mos kelishi kerak. Bu masala matematik nuqtai nazardan kvant mexanikasi bo'yicha yozilgan turli darslikda batafsil yoritilgan va quyidagi natija olingan:

II sohning tashqarisida burulish nuqtalari atrofida (4.92) va (4.93) eksponensial yechimlar $\sqrt{p} = \sqrt{2m(E-U)}$ kattalik nolga intilishi sababli cheksiz ravishda ortib boradi. Asosiy masala shundan iboratki, hosil bo'lgan ikkita taqribiy yechimlar, ya'ni I va III sohadagi eksponensial yechim va II sohadagi tebranuvchi yechim $x=a$ va $x=b$ nuqtalarda Stredinger tenglamasining xususiy yechimiga mos kelishi kerak. Bu masala matematik nuqtai nazardan kvant mexanikasi bo'yicha yozilgan turli darslikda batafsil yoritilgan va quyidagi natija olingan:

II sohning tashqarisida burulish nuqtalari atrofida (4.92) va (4.93) eksponensial yechimlar $\sqrt{p} = \sqrt{2m(E-U)}$ kattalik nolga intilishi sababli cheksiz ravishda ortib boradi. Asosiy masala shundan iboratki, hosil bo'lgan ikkita taqribiy yechimlar, ya'ni I va III sohadagi eksponensial yechim va II sohadagi tebranuvchi yechim $x=a$ va $x=b$ nuqtalarda Stredinger tenglamasining xususiy yechimiga mos kelishi kerak. Bu masala matematik nuqtai nazardan kvant mexanikasi bo'yicha yozilgan turli darslikda batafsil yoritilgan va quyidagi natija olingan:

II sohning tashqarisida burulish nuqtalari atrofida (4.92) va (4.93) eksponensial yechimlar $\sqrt{p} = \sqrt{2m(E-U)}$ kattalik nolga intilishi sababli cheksiz ravishda ortib boradi. Asosiy masala shundan iboratki, hosil bo'lgan ikkita taqribiy yechimlar, ya'ni I va III sohadagi eksponensial yechim va II sohadagi tebranuvchi yechim $x=a$ va $x=b$ nuqtalarda Stredinger tenglamasining xususiy yechimiga mos kelishi kerak. Bu masala matematik nuqtai nazardan kvant mexanikasi bo'yicha yozilgan turli darslikda batafsil yoritilgan va quyidagi natija olingan:

II sohning tashqarisida burulish nuqtalari atrofida (4.92) va (4.93) eksponensial yechimlar $\sqrt{p} = \sqrt{2m(E-U)}$ kattalik nolga intilishi sababli cheksiz ravishda ortib boradi. Asosiy masala shundan iboratki, hosil bo'lgan ikkita taqribiy yechimlar, ya'ni I va III sohadagi eksponensial yechim va II sohadagi tebranuvchi yechim $x=a$ va $x=b$ nuqtalarda Stredinger tenglamasining xususiy yechimiga mos kelishi kerak. Bu masala matematik nuqtai nazardan kvant mexanikasi bo'yicha yozilgan turli darslikda batafsil yoritilgan va quyidagi natija olingan:

II sohning tashqarisida burulish nuqtalari atrofida (4.92) va (4.93) eksponensial yechimlar $\sqrt{p} = \sqrt{2m(E-U)}$ kattalik nolga intilishi sababli cheksiz ravishda ortib boradi. Asosiy masala shundan iboratki, hosil bo'lgan ikkita taqribiy yechimlar, ya'ni I va III sohadagi eksponensial yechim va II sohadagi tebranuvchi yechim $x=a$ va $x=b$ nuqtalarda Stredinger tenglamasining xususiy yechimiga mos kelishi kerak. Bu masala matematik nuqtai nazardan kvant mexanikasi bo'yicha yozilgan turli darslikda batafsil yoritilgan va quyidagi natija olingan:

II sohning tashqarisida burulish nuqtalari atrofida (4.92) va (4.93) eksponensial yechimlar $\sqrt{p} = \sqrt{2m(E-U)}$ kattalik nolga intilishi sababli cheksiz ravishda ortib boradi. Asosiy masala shundan iboratki, hosil bo'lgan ikkita taqribiy yechimlar, ya'ni I va III sohadagi eksponensial yechim va II sohadagi tebranuvchi yechim $x=a$ va $x=b$ nuqtalarda Stredinger tenglamasining xususiy yechimiga mos kelishi kerak. Bu masala matematik nuqtai nazardan kvant mexanikasi bo'yicha yozilgan turli darslikda batafsil yoritilgan va quyidagi natija olingan:

II sohning tashqarisida burulish nuqtalari atrofida (4.92) va (4.93) eksponensial yechimlar $\sqrt{p} = \sqrt{2m(E-U)}$ kattalik nolga intilishi sababli cheksiz ravishda ortib boradi. Asosiy masala shundan iboratki, hosil bo'lgan ikkita taqribiy yechimlar, ya'ni I va III sohadagi eksponensial yechim va II sohadagi tebranuvchi yechim $x=a$ va $x=b$ nuqtalarda Stredinger tenglamasining xususiy yechimiga mos kelishi kerak. Bu masala matematik nuqtai nazardan kvant mexanikasi bo'yicha yozilgan turli darslikda batafsil yoritilgan va quyidagi natija olingan:

$$(4.78) \quad \begin{aligned} \hbar^2 \psi'' + 2m(E-U)\psi &= 0 \\ \frac{d^2\psi}{dx^2} + 2m(E-U)\psi &= 0 \end{aligned}$$

ni quyidagi ko'rinishda yozish qulay bo'ladi:

Bir o'lchamli Shredinger tenglamasi

$$\frac{d^2\psi}{dx^2} + 2m(E-U)\psi = 0$$

$\lambda = \frac{\hbar}{p}$ butun sonlari mos keluvchi orbitalar hisoblanadi.

Yuqorida keltirilgan faktlarga asoslangan holda ketma-ket

yaqinlashish usuli yordamida Shredinger tenglamasidan Bor nazariyasi orqali klassik mexanikaga o'tish mumkin. Ayniqsa bu o'tish bir o'lchamli harakat misolida quyida keltirilgan Vensel-Kramers-Brilliyen (yoki qisqacha VKB) yaqinlashish metodi yordamida kvaziklassik yaqinlashish deb nomlangan yaqinlashishda yaqqol ko'rinadi.

4.6. Kvaziklassik yaqinlashish

Avvalgi paragrafda $\hbar \rightarrow 0$ da Shredinger tenglamasi Gamilton – Yakobi tenglamasiga uzluksiz ravishda o'tishi ko'rsatildi. Ikkinchi tomondan Bor kvantlash shartiga asosan

$$\int p dq = n\hbar$$

bo'ladi va Bor atomining stasionar orbitalari de-Broyl to'lqinlarining

$$(4.75) \quad \frac{\partial S}{\partial t} + \frac{1}{2m}(gradS)^2 + U + \frac{i\hbar}{2m}\Delta S = 0$$

Klassik mexanikaga mos kelishi uchun $\hbar \rightarrow 0$ bo'lishi kerak, buning uchun (4.75) tenglamada $\hbar = 0$ deb olinadi va

$$(4.76) \quad \frac{\partial S}{\partial t} + \frac{1}{2m}(gradS)^2 + U = 0$$

tenglamaga kelinadi. Bitta x koordinata uchun

$$(4.77) \quad \frac{\partial S}{\partial t} + \frac{1}{2m}\left(\frac{\partial S}{\partial x}\right)^2 + U = 0$$

tenglama hosil qilinadi. Shunday qilib, $\hbar \rightarrow 0$ da klassik mexanikadagi (4.76) yoki xususiy holda (4.77) Gamilton–Yakobi tenglamasini hosil qildik.

MARKAZIY SIMMETRIK MAYDONDAGI HARAKAT

5 bob

5.1. Shredinger tenglamasining radial qismi

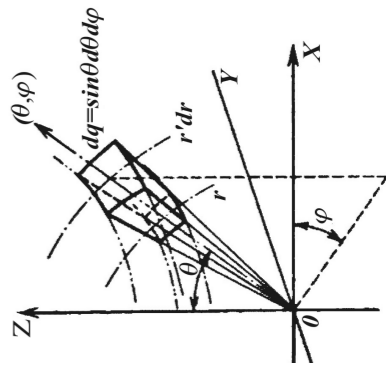
Markaziy kuch maydonidagi zarrachaning harakatini o'rganish potentsial o'radagi zarrachaning harakati, harmonik ossilyator masalasi kabi kvant mexanikasining fundamental masalalarini tashkil etadi. Markaziy kuch maydonida harakatlanayotgan zarrachaning potentsial energiyasi faqat masofaning funksiyasi

$$(5.1) \quad U = U(r)$$

bo'lib, markaziy simmetrik maydon hosil qiladi. $U(\mathbf{r})$ potentsial energiyali simmetrik maydondagi harakatlanuvchi zarrachaning statsionar holatlari uchun Shredinger tenglamasi

$$(5.2) \quad \Delta \psi = 0 = \mathcal{H}\psi \left[E - U - \frac{2m}{\hbar^2} \right]$$

ko'rinishga ega, bunda $\Delta = \nabla^2$ – Laplas operatori. Tenglamadan ko'rinib turibdiki, Laplas operatori va \mathcal{H} funksiya x, y, z koordinatalariga bog'liq, ammo potentsial energiya $U(\mathbf{r})$ Dekart koordinatalari x, y, z ning emas, balki \mathbf{r} masofaning funksiyasidir. Potentsial energiyaning (5.1) ko'rinishdagi markaziy simmetrik holi uchun r, θ, φ sferik koordinatalarga o'tish, Laplas operatorini sferik koordinatalar orqali ifodalash (5.2) tenglamani yechishni osonlashtiradi. 13-rasmda sferik va Dekart koordinatalar sistemalarining bog'lanishi tasvirlangan. Ushbu rasmda



$$r = \sqrt{x^2 + y^2 + z^2}$$

bo'lib, \mathbf{r} – koordinata boshidan

kuzatilayotgan nuqtagacha o'tkazilgan

radius vektorning uzunligi,

$$\theta = \arccos \frac{z}{\sqrt{x^2 + y^2 + z^2}}$$

13-rasm. Dekart va sferik koordinatalar orasidagi bog'lanish.

4.5. Klassik mexanikasiga o'tish

Kvant mexanikasidagi zarrachaning harakatini tasvirlovchi Shredinger tenglamasini vaqtga bog'liqlan ko'rinishini 3-bobda hosil qilgan edik, ya'ni

$$\frac{i\hbar}{\psi} \frac{\partial \psi}{\partial t} = \hat{H}\psi.$$

Endi $\hbar \rightarrow 0$ intilganda Shredinger tenglamasi klassik mexanikaning asosiy tenglamasiga o'tishini ko'rib chiqaylik.

Klassik mexanikadan ma'lumki, zarrachaning harakatini ifodalovchi tenglamalar turli xil matematik ko'rinishda berilishi mumkin. Bu Lagranj tenglamalari yoki Gamilton tenglamalari bo'lishi mumkin, ya'ni:

$$\frac{d}{dt} \frac{\partial L}{\partial \dot{q}_i} - \frac{\partial L}{\partial q_i} = 0 \quad \text{Lagranj tenglamasi}$$

$$\dot{q}_i = \frac{\partial H}{\partial p_i}, \quad \dot{p}_i = -\frac{\partial H}{\partial q_i} \quad \text{Gamilton tenglamalari}$$

Gamiltonning kanonik tenglamalar sistemasi yechimlarini bitta xususiy hosilali differensial tenglamani yechish orqali ham topish mumkin. Ushbu ikkinchi darajali birinchi tartibli xususiy hosilali tenglamani klassik mexanikada Gamilton–Yakobi tenglamasi deyiladi. Bu tenglama yordamida klassik mexanika doirasida berilgan barcha masalalarni yechish imkoniyati mavjud.

Kvant mexanikasining asosiy dinamik tenglamasi Shredinger tenglamasi bo'lib, o'zining strukturasi, xarakteri va aniqlanish usuli bilan Gamilton–Yakobi tenglamasiga yaqin turadi.

Klassik mexanikadagi Gamilton–Yakobi tenglamasi

$$(4.68) \quad \frac{1}{2m} \left[\left(\frac{\partial S}{\partial x} \right)^2 + \left(\frac{\partial S}{\partial y} \right)^2 + \left(\frac{\partial S}{\partial z} \right)^2 \right] + U = -\frac{\partial S}{\partial t}$$

ko'rinishda, yoki kompakt ko'rinishda,

$$(4.69) \quad \frac{1}{2m}(gradS)^2 + U = -\frac{\partial S}{\partial t}$$

bo'ladi. Bunda S – ta'sir funksiyasi deyiladi va u koordinata hamda vaqtning funksiyasidir.

1. Dekart koordinatalarida erkin zarracha to'lqin funksiyasining ko'rinishi yozing.

2. Kvant mexanikasida zarrachani potentsial to'siqdan o'tish hodissasining mohiyatini ochib bering.

4.8. IV bob ga oid savol va masalalar

natijalarga olib kelar ekan.

Demak, Bor nazariyasi kvaziklassik yaqinlashish doirasida to'g'ri

$$J = \left(n + \frac{1}{2} \right) \hbar \cdot 2\pi = \left(n + \frac{1}{2} \right) h$$

bo'lganligi sababli:

$$J = \oint p(x) dx = 2 \int_a^b p(x) dx$$

bo'lishi kerak. Ammo

$$\int_a^b p(x) dx = \left(n + \frac{1}{2} \right) \pi \hbar$$

yoki

$$\left\{ \frac{1}{\hbar} \left[\int_a^x p(x) dx + \int_x^b p(x) dx \right] - \frac{\pi}{2} \right\} = \pi n$$

Ushbu tenglik bajarilishi uchun fazalar yig'indisi π butun karrali songa

teng bo'lishi kerak va $c' = (-1)^n c'$. Shunday qilib,

$$(4.99) \quad \frac{c'}{\sqrt{|p(x)|}} \cos \left\{ \frac{1}{\hbar} \int_a^x p(x) dx - \frac{\pi}{4} \right\} = \frac{c''}{\sqrt{|p(x)|}} \cos \left\{ \frac{1}{\hbar} \int_x^b p(x) dx - \frac{\pi}{4} \right\}.$$

Ikki yechimni taqqoslash natijasida Bor-Zommerfeld kvantlash

shartidan kelib chiqadigan natija bilan mos kelishini ko'rib chiqaylik. Ma'lumki, $x=a$ va $x=b$ nuqtalarda ikkala yechim bita E energiya uchun to'g'ri kelishi va bir-biriga teng bo'lishi kerak, ya'ni

$$(4.98) \quad \psi''(x) = -\frac{c'}{\sqrt{p(x)}} 2 \cos \left\{ \frac{1}{\hbar} \int_x^b p dx - \frac{\pi}{4} \right\} \quad |x| \leq b.$$

tenglamalar hosil bo'ladi. Yuqorida keltirilgan sxemaga asosan bita zarracha uchun Shredinger tenglamasini tuzib chiqaylik. Dekart koordinatalar sistemasida energiyaning saqlanish qonuni dan foydalanilisa, Gamilton -Yakobi tenglamasi Shredinger tenglamasi

$$-\frac{\partial S}{\partial t} = H(q_1, \dots, q_n, \frac{\partial S}{\partial q_1}, \dots, \frac{\partial S}{\partial q_n}) \quad -\frac{\hbar \partial \Psi}{i \partial t} = \hat{H}(q_1, \dots, q_n, \frac{\hbar \partial}{i \partial q_1}, \dots, \frac{\hbar \partial}{i \partial q_n}) \Psi$$

$$E = H(q_1, \dots, q_n, p_1, \dots, p_n)$$

Energiyani saqlanish qonuni tenglamasi

$$E \rightarrow -\frac{\hbar \partial}{i \partial t}, \quad q_i \rightarrow \hat{q}_i, \quad p_i \rightarrow \hat{p}_i = -i\hbar \frac{\partial}{\partial q_i} \quad (4.71)$$

$$E \rightarrow -\frac{\hbar \partial}{i \partial t}, \quad q_i \rightarrow \hat{q}_i, \quad p_i \rightarrow \hat{p}_i = -i\hbar \frac{\partial}{\partial q_i} \quad (4.70)$$

Klassik mexanikada

Kvant mexanikada

Endi ikkala tenglamani tuzish sxemalarini, ya'ni klassik mexanikadagi Gamilton –Yakobi tenglamasini va kvant mexanikasidagi vaqtga bog'liq bo'lgan Shredinger tenglamasini hosil bo'lish sxemasini keltirib chiqaraylik.

$$E \rightarrow -\frac{\hbar \partial}{i \partial t}.$$

o'ng tomondagi energiya doimiyisini esa vaqt bo'yicha differensiallash operatori bilan almashtriladi:

$$q_i \rightarrow \hat{q}_i, \quad p_i \rightarrow \hat{p}_i = -i\hbar \frac{\partial}{\partial q_i},$$

o'ng tomondagi energiya doimiyisini esa vaqt bo'yicha differensiallash operatori bilan almashtriladi:

o'rinishga keltirilsin, bunda $k = \frac{\sqrt{2mE}}{\hbar}$.

$E \geq \frac{\pi^2 \hbar^2}{8ma^2}$ energiyaning qiymati uchun energetik spektrning diskretligi asoslab berilsin.

Yechish. Ikkala soha uchun Shredinger tenglamasining ko'rinishi quyidagicha

$$0 \leq x \leq a, \quad \frac{d^2 \psi_1}{dx^2} + k^2 \psi_1 = 0, \quad \text{bu yerda } k^2 = \frac{2mE}{\hbar^2}$$

$$x \geq a, \quad \frac{d^2 \psi_2}{dx^2} - \mu^2 \psi_2 = 0, \quad \text{bu yerda } \mu^2 = \frac{2m}{\hbar^2} (U_0 - E).$$

Chegaraviy shartlarni qanoatlantiruvchi bu tenglamalarning yechimlari quyidagicha bo'ladi:

$$\psi_1(x) = A \sin kx \quad \text{agarda } 0 \leq x \leq a$$

$$\psi_2(x) = B e^{-\mu x} \quad \text{agarda } x \geq a.$$

$x = a$ nuqtadagi to'liqin funksiyasi va uning birinchi tartibli hosilasi uzluksizligidan

$$A \sin ka = B e^{-\mu a} \quad \text{Va } Ak \cos ka = -B \mu e^{-\mu a}$$

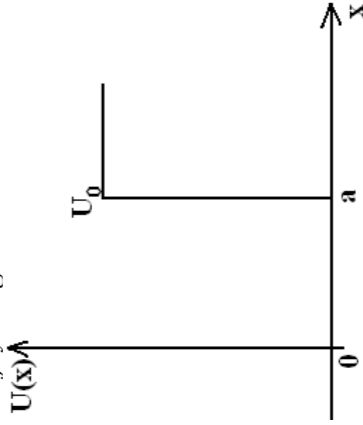
tengliklar kelib chiqadi. Ushbu tengliklardan quyidagi olinadi:

$$ctgka = -\frac{\mu}{k} \quad \text{yoki} \quad \sin ka = \pm \frac{\hbar}{a} \sqrt{\frac{1}{2mU_0}} ka.$$

3. Potensial o'rada joylashgan.
4. Chiziqli garmonik ostilsilyator uchun Shredinger tenglamasining xususiy qiymatlari va xususiy funksiyalarini toping.
5. Kvant mexanika uchun ikkinchi tartibli, o'q aydandab harakatlanuvchi zarracha uchun umumiy xarakteristik tenglamalarini toping.
6. Chiziqli garmonik ostilsilyator uchun Shredinger tenglamasining xususiy qiymatlari va xususiy funksiyalarini toping.
7. Masala. Shaffoflik koeffitsiyenti D ni baholang bunda $D_0 \approx 1$, va $U_0 = E \approx 10^{-11}$ erg, $m \approx 10^{-27}$ gr (elektronning massasi tartibida), $l \approx 10^{-8}$ sm (atom radiusi tartibida) deb oling. **Javobi:** $D \sim e^{-1}$.
8. Masala. Massasi m ga teng bo'lgan zarracha quyidagi

$$U(x) = \begin{cases} \infty, & x < 0 \\ 0, & 0 < x < a \\ U_0, & x > a \end{cases}$$

potensial o'rada joylashgan.



$E < U_0$ sohada zarracha energiyasining xususiy qiymatlari spektrini aniqlovchi tenglama hosil qilinsin va uni

$$\sin ka = \pm \frac{\hbar}{a} \sqrt{\frac{1}{2mU_0}} ka$$

ko'rinishda bo'ladi. Ushbu ifodada umumiy sxema bo'yicha (4.70) va (4.71) formulalardan foydalangan holda va ψ funksiyaga operatorlarning ta'sirini hisobga olib, izlayotgan tenglamani hosil qilamiz, ya'ni:

$$E = \frac{1}{2m} (p_x^2 + p_y^2 + p_z^2) + U(x, y, z)$$

$$-\frac{\hbar \partial \psi}{i \partial t} = \frac{\hbar^2}{2m} \left(\frac{\partial^2 \psi}{\partial x^2} + \frac{\partial^2 \psi}{\partial y^2} + \frac{\partial^2 \psi}{\partial z^2} \right) + U \psi. \quad (4.72)$$

Endi yuqoridagi ikki tenglama orasidagi bog'lanishni, ya'ni $\hbar \rightarrow 0$ da Shredinger tenglamasi Gamilton–Yakobi tenglamasiga o'tishini ko'rib chiqaylik. Agar Shredinger tenglamasiga to'g'ridan-to'g'ri $\hbar = 0$ qo'yilsa, u holda bu tenglama hech qanday ma'noga ega bo'lmay qoladi. Shuning uchun (4.72) tenglamada $\hbar \rightarrow 0$ limitga o'tiladi va Shredinger tenglamasining yechimi

$$\psi(x, y, z) = A \exp\left(i \frac{S}{\hbar}\right) \quad (4.73)$$

ko'rinishda izlanadi, bu yerda

$$S = S(x, y, z, t) \quad (4.74)$$

funksiya ta'sir o'lchamiga ega bo'lib, Gamilton–Yakobi klassik tenglamasining yechimi bilan bog'liqligini ko'rsatadi. $A = const$ bo'lganida hosilalarni osongina hisoblash mumkin:

$$\begin{aligned} \frac{\partial \psi}{\partial t} &= \frac{1}{\hbar} \frac{\partial S}{\partial t} A \exp\left(i \frac{S}{\hbar}\right), \\ \frac{\partial \psi}{\partial x} &= \frac{1}{\hbar} \frac{\partial S}{\partial x} A \exp\left(i \frac{S}{\hbar}\right), \\ \frac{\partial^2 \psi}{\partial x^2} &= \left[-\frac{1}{\hbar^2} \left(\frac{\partial S}{\partial x} \right)^2 + \frac{i}{\hbar} \frac{\partial^2 S}{\partial x^2} \right] A \exp\left(i \frac{S}{\hbar}\right). \end{aligned}$$

Huddi shunday y va z koordinatalari bo'yicha ham o'xshash ifodalarni olish mumkin. Olingan ifodalarni (4.72) tenglamaga qo'yiladi va $A \exp\left(i \frac{S}{\hbar}\right)$ ga qisqartirib, quyidagi tenglama hosil qilinadi:

$$-\frac{\hbar^2}{2m} \frac{d^2 \chi}{dr^2} + \frac{\hbar^2}{2m} \frac{l(l+1)}{r^2} \chi - \frac{Ze^2}{r} \chi = E \chi. \quad (5.29)$$

ko'rinishda olinisa, avvalgi paragrafda hosil qilingan (5.11) tenglama olinadi. Bu tenglamaga (5.27) dagi U ning qiymati qo'yilisa va elektronning massasini m desak, markaziy simmetrik maydonida stasionar harakat qilayotgan elektron uchun l qin funksiyasining radial qismini uchun yozilgan tenglamaga kelinadi:

$$R = \frac{\chi}{r} \quad (5.28)$$

$$U(r) = -\frac{Ze^2}{r} \quad (5.27)$$

ga teng bo'ladi. Bunda Ze – yadroning zaryadi, elementlar davriy sistemasida Z – yadroning nomeri, vodorod atomi uchun $Z=1$, r – yadro bilan elektron orasidagi masofa. Vodorod atomi holida proton maydonida harakatlanayotgan elektron uchun kvant sathlarini topish uchun Shredinger tenglamasining radial qismini yechish kerak bo'ladi. Ushbu radial funksiya

Demak, vodorod va vodorodsimon atomlar, ya'ni yadro maydonida bitagina elektron bo'lgan atomlar, elementlar davriy sistemasidagi eng soddasi sistemalar qatoriga kiradi. Vodorod atomi elektr zaryadi $+e$ ga teng bo'lgan zarra – protondangina iborat bo'lgan yadrodan va manfiy $-e$ zaryadli elektrondan tuzilgan. Proton va elektron o'zaro elektrostatik tortishish kuchi orqali ta'sirlashadi. Kulon tortishish kuchi ta'siridagi bitta elektronning potensial energiyasi

Kvant mexanikasidagi eng soddasi masalalardan biri yadroning Kulon maydonida elektronning harakati to'g'risidagi masaladir. Bunday masalani vodorod atomi H da, bir marra ionlashirilgan va zaryad soni $z=2$ ga teng geliy He^+ ionida, ikki marra ionlashirilgan va zaryad soni $z=3$ ga teng litiy Li^{++} ionida va shunga o'xshash vodorodsimon atomlar deb nomlangan ionlarda uchratiladi.

tushuntirib berishga imkon yaratib berdi. Bu nazariya elementlar davriy sistemasining kelib chiqish negizini, barqaror molekular tuzilishida atomlar o'zaro ta'sirining xarakterini, qattiq jismlarning mexanik, elektr va magnet xossalarni va mikroduynyoning bir qator muammolarini mukammal tushuntirib bera oldi.

Bunday holatlar klassik mexanikada aperiodik orbitalarga mos keladi, bu holatlarda zarracha cheksizlikdan kuch markazi tomoniga harakatlanadi va keyinchalik yana cheksizlikka qarab harakatni davom ettiradi, ya'ni infinit harakatga kelinadi. Tekshirilayotgan holat stasionar holatga tegishli bo'lganligi uchun kelayotgan zarrachalarning oqimi ketayotgan zarrachalarning oqimiga teng bo'lishi kerak. Demak, kelayotgan va ketayotgan to'lqinlarning C_1 va C_2 amplitudalarining modullari teng bo'lishi shart. Agarda $C_1 = \frac{1}{2i} A e^{i\mu r}$ va $C_2 = -\frac{1}{2i} A e^{-i\mu r}$ deb qabul qilinsa hamda A va α larning qiymatlari haqiqiy qiymat ekanligi hisobga olinisa, (5.20) ning asimtotik yechimini

$$R = \frac{A}{r} \frac{e^{-i\mu r}}{\sin(kr + \alpha)} \quad (5.21)$$

turg'un sferik to'lqin shaklida yozish mumkin.

Endi $E < 0$ manfiy energiyalar sohasini tekshirib chiqaylik. Zarrachalarning kinetik energiyasi har doim musbat bo'lganligi sababli zarracha faqat markazga tortilish holatidagina to'liq energiya manfiy qiymatlarni qabul qiladi. Agarda $E < 0$ bo'lsa, k kattalik mavhum qiymatlarni qabul qiladi, ya'ni $k = i\mu$, va $\mu = \sqrt{-\frac{2mE}{\hbar^2}}$ bo'lganida (5.20) radial funksiya

$$R = C_1 \frac{e^{-\mu r}}{r} + C_2 \frac{e^{\mu r}}{r} \quad (5.22)$$

ko'rinishda yoziladi. Endi $r \rightarrow \infty$ da to'lqin funksiya chekli bo'lish shartini qanoatlantirish uchun biz C_2 doimiyini nolga teng deb olish kerak va

$$R = C_1 \frac{e^{-i\mu r}}{r} \quad (5.23)$$

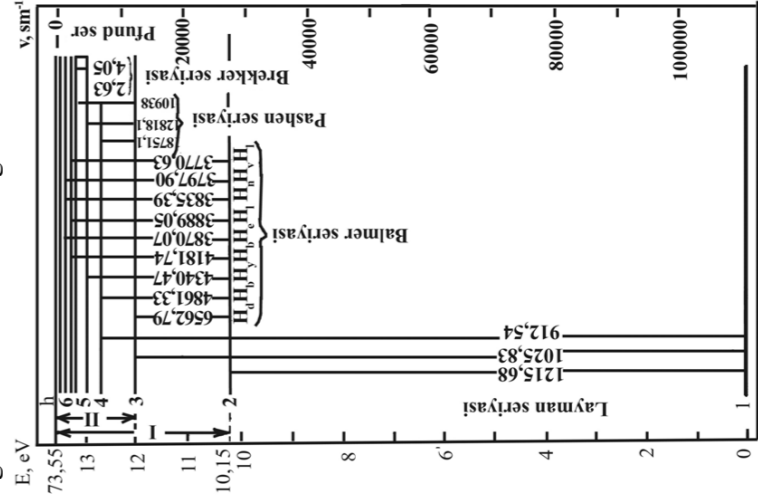
natijaga kelinadi. (5.23) dan ko'rinib turibdiki $r \rightarrow \infty$ da R to'lqin funksiya nolga intiladi va u chekli bo'ladi. Bunday holatlar uchun zarrachaning topilish ehtimolligi

$$w(r) dr \approx 4\pi |C_1|^2 e^{-2\mu r} dr$$



5.4. Stasionar holatidagi vodorod atomining fazoviy taqsimoti

Oldingi paragrafda Kulon maydonida harakatlanayotgan elektron uchun Shredinger tenglamasi yechilgan edi. Olingan natijalardan foydalanib, vodorod atomining fazoviy strukturasi haqida batafsil ma'lumot berish mumkin. Elektronning energiyasini hisoblash uchun hosil qilingan (1.7.5) formulaga e, m va \hbar va universal doimiy qiymatlarni qabul qilish kerak. Vodorod atomi maydonida harakatlanuvchi elektronning kvant sathlarini hisoblash mumkin. Rasmda $Z=1$ bo'lgan vodorod atomining kvant sathlari keltirilgan.



16-rasm. Vodorod atomining kvant sathlari sxemasi.

Vertikal chiziq bo'yicha chap tomondagi sonlar orqali elektron-voltlarda hisoblangan energiya sathlari keltirilgan, bu rasmda energiya

kvant sonlari deb yuritiladi. Shu narsani alohida qayd qilib o'tish joizki, vodorod atomi elektronining stasionar holatlari energiyasi uchun kvant mexanikasi asosida aniqlangan (5.41) ifoda shu hol uchun Bor nazariyasida $n=0$ qiymatining qabul qila olmashini alohida uqitirib keltirilgan edi. Kvant mexanikasida esa bu muammo o'z-o'zidan bartaraf qilinadi, chunki $l=0, 1, 2, \dots$ qiymatlarni qabul qiladi va n , esa (5.35) qator hadining nomeri bolib uning eng kichik qiymati nolga teng bo'ladi va (5.40) ga asosan bosh kvant soni nol qiymatni qabul qila olmaydi.

5.3. Vodorodsimon atomning to'lqin funksiyasi

To'lqin funksiyaga qo'yilgan cheklilik shartidan (5.34) tenglama yechimini chekli darajali polinom bo'lishi aniqlandi. $\alpha = \frac{Z}{n}$ xususiy yechimlar uchun (5.38) formula sezilarli darajada soddalaradi, ya'ni

$$a_{n+l} = -\frac{2Z}{n} \frac{n-(l+v+1)}{(v+1)(2l+v+2)} a_n \quad (5.43)$$

bo'ladi. Bu formula yordamida a_n koeffitsiyentlarni ketma-ket hisoblab chiqib, (5.35) formulaga qo'yilisa:

$$f(\rho) = a_0 \rho^{l+1} \left[1 - \frac{n-l-1}{l(2l+2)} \left(\frac{2Z\rho}{n} \right) + \frac{(n-l-1)(n-l-2)}{2l(2l+2)(2l+3)} \left(\frac{2Z\rho}{n} \right)^2 + \dots \right. \\ \left. + (-1)^n \frac{(n-l-1)(n-l-2 \dots)}{n! (2l+2)(2l+3) \dots (2l+n+1)} \left(\frac{2Z\rho}{n} \right)^n \right] \quad (5.44)$$

ifoda hosil qilinadi. Bu formulada yangi ξ o'zgaruvchini

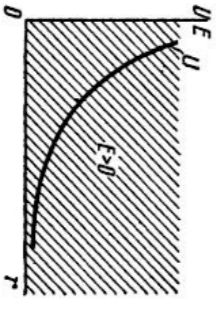
$$\xi = \frac{2Z\rho}{n} = \frac{2Z}{na} \quad (5.45)$$

ko'rinishda kiritish va barcha doimiy ko'phadlarni bita N_{nl} orqali belgilash natijasida (5.28') formuladan n va l kvant holatlarga tegishli bo'lgan $R_{nl}(\rho)$ funksiya uchun quyidagi formulaga kelinadi:

$$R_{nl}(\xi) = N_{nl} e^{-\frac{1}{2}\xi} \xi^l L_{n-l}^{2l+1}(\xi) \quad (5.46)$$

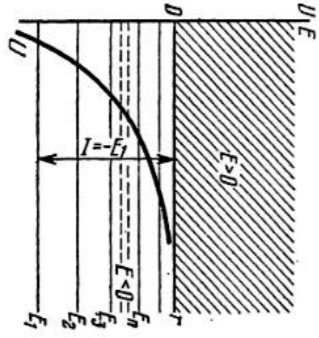
Bu holda zarrachaning to'la energiyasi musbardir. $E > 0$ bo'lganda energetik spektr uzluksizdir. Demak, itarishish kuchlar mavjud bo'lgan holda energiyaning noldan boshlab $+\infty$

14-rasm. Itarishish holati uchun potentsial energiya ko'rinishi.
Energetik spektr uzluksiz.



$E > 0$ uchun energetik spektr uzluksiz bo'ladi. $E < 0$ hol uchun esa energetik spektr alohida sathlardan iborat bo'ladi. l – ionizatsiya energiyasi.

15-rasm. Markazga tortishish holi uchun potentsial energiya ko'rinishi.



14-rasmda zarrachaning itarishish holi uchun $U(r)$ potentsial energiya tafsiflangan.

Endi $U(r)$ potentsial energiyaning bir nechta tipik hollarini ko'rib chiqaylik. Cheksizlikda potentsial energiya nolga teng deb hisoblanadi. 14-rasmda zarrachaning itarishish holi uchun $U(r)$ potentsial energiya tafsiflangan.

$E < 0$ bo'lganda energetik spektr to'g'risida fikrlashib o'taylik. Yuqorida qayd etilganidek, bunday energiyalarga finit harakat mos keladi va tegishli bo'lgan to'liq funksiyalar kvadratik integrallanuvchi to'liq funksiyalar bo'ladi. Bunday to'liq funksiyalar diskret spektrga ega bo'lamiz. Demak, $E < 0$ bo'lganda diskret energetik spektrga ega bo'lamiz.

gacha barcha qiymatlari mavjuddir. 15-rasmda esa tortishish holatlari uchun potentsial energiya tavsiflangan.

Bu holda ikki imkoniyatni ajratish zarurdir, ya'ni $E > 0$ va $E < 0$ bo'lganida. Birinchi holda energetik spektr uzluksiz qiymatlarni qabul qiladi, ikkinchi holda esa biz E_1, E_2, \dots, E_n diskret, uzluqli qiymatlar spektriga ega bo'linadi. Uzluqli va uzluksiz spektrlardan tashkil topgan umumiy energetik spektr Kulon qonuniga binoan yadro bilan elektronning o'zaro ta'sirini ifodalavchi energetik spektrga tegishlidir. Yuqorida ko'rsatib o'tilganidek, diskret sathlar atomdagi elektronning harakatiga tegishlidir. Aksincha uzluksiz, diskret bo'lmagan, tutash spektr ionlashgan atomning energiyasiga mos keladi, chunki bu holda elektron atomdan yetarli darajada uzoqlashgan va to'la energiyasi musbat qiymatga ega bo'ladi. Keltirilgan diagrammadan ionizatsiya uchun zarur bo'lgan energiyani hisoblab chiqish mumkin. Normal holatda, ya'ni uyg'onmagan holatida, elektron E_1 energiyaga ega bo'ladi. Atomni ionlashtirish uchun shu atom elektronining energiyasi noldan katta bo'lishi kerak, shuning uchun normal holatdagi atomni ionlashtirish uchun sarflangan minimal ish

$$I = 0 - E_1 = -E_1 \quad (5.24)$$

teng bo'lishi kerak.

Umuman olganda (5.2) dagi Shredinger tenglamasining umumiy yechimi (5.7) dagi to'liq funksiyalari superpozitsiyasi orqali berilishi mumkin, ya'ni:

$$\psi(r, \theta, \varphi) = \sum_{l,m} B_{lm} R_l(r) Y_{lm}(\theta, \varphi) \quad (5.25)$$

ko'rinishda bo'ladi. Xususiy holda φ burchakka bog'liq bo'lmagan yechimlar uchun biz $m=0$ holatlarning superpozitsiyasiga mos keluvchi oddiy ifodaga kelamiz, ya'ni:

$$\psi(r, \theta) = \sum_l C_l R_l(r) P_l(\cos\theta) \quad (5.26)$$

bo'ladi.

5.2. Kulon maydonidagi harakat

Kvant mexanikasining yaratilishi bilan oq, atomning kvantomexanik nazariyasi rivojlanirildi va bu nazariya tabiat hamda unung tuzilishi haqidagi bilimlarimizni tubdan o'zgartirdi hamda bir qator hodisalarni

holatlar mos keladi. Shunday qilib, har bir E_n kvant sathiga n^2 turlicha holatlar to'g'ri keladi va bu holda n^2 - karrali aynish mavjud bo'ladi. Demak, har bir E_n energetik sathga n^2 ta turli to'liq funksiyalar mos keladi. m kvant soni bo'yicha aynish har qanday markaziy kuch maydoni uchun xarakterlidir, boshqacha aytganda koordinata boshidan o'tuvchi har qanday yo'nalishlarning teng huquqliligini bildiradi. Magnit kvant soni bo'yicha aynish faqat Kulon maydoni uchungina hosdir.

$$\sum_{l=1}^{n-1} \sum_{m=-l}^{l} m = \sum_{l=0}^{n-1} (2l+1) = 2 \frac{n(n-1)}{2} + n = n^2.$$

Agar to'liq funktsiya umumiy holda $\psi_{nlm} = R_{nl} Y_{lm}$ kabi n, l, m kvant sonlariga alohida bog'liq ekanligi ekan, n ning ma'lum bir qiymati bilan xarakterlanuvchi energiya sathiga l bo'yicha n ta va har bir m bo'yicha $-l$ dan $+l$ gacha o'zgaruvchi to'liq funksiyalar to'g'ri keladi, boshqacha aytganda n -chi energiya sathiga

$$m = 0, \pm 1, \pm 2, \dots, \pm l$$

Ma'lumki, berilgan l ning qiymatida m magnit kvant soni quyidagi qiymatlarni qabul qiladi:

$$m = 0, \pm 1, \pm 2, \dots, \pm l$$

$$m = 0, \pm 1, \pm 2, \dots, \pm l$$

$$m = 0, \pm 1, \pm 2, \dots, \pm l$$

$$m = 0, \pm 1, \pm 2, \dots, \pm l$$

$$m = 0, \pm 1, \pm 2, \dots, \pm l$$

$$m = 0, \pm 1, \pm 2, \dots, \pm l$$

$$m = 0, \pm 1, \pm 2, \dots, \pm l$$

$$m = 0, \pm 1, \pm 2, \dots, \pm l$$

$$m = 0, \pm 1, \pm 2, \dots, \pm l$$

$$m = 0, \pm 1, \pm 2, \dots, \pm l$$

$$m = 0, \pm 1, \pm 2, \dots, \pm l$$

$$m = 0, \pm 1, \pm 2, \dots, \pm l$$

$$m = 0, \pm 1, \pm 2, \dots, \pm l$$

$$m = 0, \pm 1, \pm 2, \dots, \pm l$$

$$m = 0, \pm 1, \pm 2, \dots, \pm l$$

$$m = 0, \pm 1, \pm 2, \dots, \pm l$$

$$m = 0, \pm 1, \pm 2, \dots, \pm l$$

$$m = 0, \pm 1, \pm 2, \dots, \pm l$$

$$m = 0, \pm 1, \pm 2, \dots, \pm l$$

$$m = 0, \pm 1, \pm 2, \dots, \pm l$$

$$m = 0, \pm 1, \pm 2, \dots, \pm l$$

$$m = 0, \pm 1, \pm 2, \dots, \pm l$$

$$m = 0, \pm 1, \pm 2, \dots, \pm l$$

$$m = 0, \pm 1, \pm 2, \dots, \pm l$$

$$m = 0, \pm 1, \pm 2, \dots, \pm l$$

$$m = 0, \pm 1, \pm 2, \dots, \pm l$$

$$m = 0, \pm 1, \pm 2, \dots, \pm l$$

$$m = 0, \pm 1, \pm 2, \dots, \pm l$$

$$m = 0, \pm 1, \pm 2, \dots, \pm l$$

$$m = 0, \pm 1, \pm 2, \dots, \pm l$$

$$m = 0, \pm 1, \pm 2, \dots, \pm l$$

$$m = 0, \pm 1, \pm 2, \dots, \pm l$$

$$m = 0, \pm 1, \pm 2, \dots, \pm l$$

$$m = 0, \pm 1, \pm 2, \dots, \pm l$$

$$m = 0, \pm 1, \pm 2, \dots, \pm l$$

$$m = 0, \pm 1, \pm 2, \dots, \pm l$$

$$m = 0, \pm 1, \pm 2, \dots, \pm l$$

$$m = 0, \pm 1, \pm 2, \dots, \pm l$$

$$m = 0, \pm 1, \pm 2, \dots, \pm l$$

$$m = 0, \pm 1, \pm 2, \dots, \pm l$$

$$m = 0, \pm 1, \pm 2, \dots, \pm l$$

$$m = 0, \pm 1, \pm 2, \dots, \pm l$$

$$m = 0, \pm 1, \pm 2, \dots, \pm l$$

$$m = 0, \pm 1, \pm 2, \dots, \pm l$$

$$m = 0, \pm 1, \pm 2, \dots, \pm l$$

$$m = 0, \pm 1, \pm 2, \dots, \pm l$$

$$m = 0, \pm 1, \pm 2, \dots, \pm l$$

$$m = 0, \pm 1, \pm 2, \dots, \pm l$$

$$m = 0, \pm 1, \pm 2, \dots, \pm l$$

$$m = 0, \pm 1, \pm 2, \dots, \pm l$$

$$m = 0, \pm 1, \pm 2, \dots, \pm l$$

$$m = 0, \pm 1, \pm 2, \dots, \pm l$$

$$m = 0, \pm 1, \pm 2, \dots, \pm l$$

$$m = 0, \pm 1, \pm 2, \dots, \pm l$$

$$m = 0, \pm 1, \pm 2, \dots, \pm l$$

$$m = 0, \pm 1, \pm 2, \dots, \pm l$$

$$m = 0, \pm 1, \pm 2, \dots, \pm l$$

$$m = 0, \pm 1, \pm 2, \dots, \pm l$$

$$m = 0, \pm 1, \pm 2, \dots, \pm l$$

$$m = 0, \pm 1, \pm 2, \dots, \pm l$$

$$m = 0, \pm 1, \pm 2, \dots, \pm l$$

$$m = 0, \pm 1, \pm 2, \dots, \pm l$$

$$m = 0, \pm 1, \pm 2, \dots, \pm l$$

$$m = 0, \pm 1, \pm 2, \dots, \pm l$$

$$m = 0, \pm 1, \pm 2, \dots, \pm l$$

$$m = 0, \pm 1, \pm 2, \dots, \pm l$$

$$m = 0, \pm 1, \pm 2, \dots, \pm l$$

ga teng bo'ladi va klassik fizikadagi yopiq orbita bo'ylab manfiy zaryadlangan elektronning orbital harakatining g'irromagnit yoki magnetomekanik nisbati deb ataladi. Klassik nuqtayli nazardan esa orbita bo'ylab harakatlanuvchi elektroni aylanna tok deb qarash mumkin. Elektrodinamika qonunlariga binoan, bunday aylanna tok muayyan magnit momentga ega bo'lishi kerak, ya'ni magnit maydonda o'zini magnit dipol kabi tutishi kerak. Ikkinchidan, mexanika nuqtayli nazardan, elektronning tez aylanishi natijasida elektronning aylanna

$$\frac{\Xi_z}{M_z} = -\frac{e}{2m_e c} \quad (5.88)$$

nisbati

magnit moment proyeksiyasini M_z mexanik moment proyeksiyasiga nisbat

$$\Xi_B = \frac{eh}{2m_e c} = 9.27 \cdot 10^{-21} \frac{erg}{Gs} \quad (5.87)$$

ga teng bo'ladi va

$$\Xi_z = -\frac{ehm}{2m_e c} = -\Xi_B m \quad (5.86)$$

dagi integral $|\psi_{nlm}|^2$ butun hajmdan olingan integral bo'lib, normallashtirish shartiga binoan birga teng bo'ladi. Demak, magnit momentning biror Z -o'qigacha proyeksiyasi



kvant soni oz o'qining ixtiyoriy yo'nalishga M_z impuls momentining proyeksiyasini belgilaydi. Ushbu E_n, M_n^2, M_z^2 va M_z uchta kattaliklar to'la to'kis ψ_{nlm} to'liq funksiyasini aniqlaydi va shuning uchun bu kattaliklar to'liq sistemani hosil qiladi.

Markaziy kuch maydonida harakat qilayotgan elektronning fazodagi o'rni xarakterlovchi ehtimollik zichligini quyidagicha yozish mumkin:

$$W_{nlm}(r, \theta, \phi) r^2 \sin \theta dr d\theta d\phi = \int |\psi_{nlm}|^2 r^2 \sin \theta dr d\theta d\phi. \quad (5.63)$$

Kvant mexanikasida vodorod atomining r, θ, ϕ kattaliklarining aniq biror qiymatlariga teng bo'lishi ehtimoliy xarakterga egadir. Shuning uchun ham fazoning har xil sohalarida elektroni qayd qilinishi ehtimoliy hodisadir. Xususiy funksiya modulining kvadrati $|\psi_{nlm}|^2$ yadroga nisbatan elektronning taqsimotini beradi va vaqga bog'liq bo'lmagan holda, fazoning har bir sohasida qat'iy qiymat qabul qilgan holda o'zgaradi. Shuning uchun, elektronning massasini va zaryadini atom yadrosi atrofidagi fazoda taqsimlangandek tasvirlash mumkin. U holda elektronning massasi va zaryadini fazoning har bir nuqtasidagi zichligini fazoning xuddi shu nuqtasida elektronning mavjud bo'lish ehtimolligiga proporsional deb olish mumkin bo'ladi. Shu sababdan, ba'zan, elektron buluti – zichlik taqsimoti – haqida fikr yuritiladi.

Yuqoridagi ehtimollikni yaqqol tasavvur qilish maqsadida, 13-rasmda tasvirlangan sferik koordinatalar sistemasiga murojat qilindi. oz o'qi shu narsa bilan ajralib turadiki, aynan shu yo'nalishga $M_z = \hbar m$ impuls momenti proyeksiyalanadi. Agarda $d\Omega = \sin \theta d\theta d\phi$ orqali fazoviy burchak elementi belgilansa, (5.63) dagi ehtimollikni:

$$W_{nlm}(r, \theta, \phi) r^2 dr d\Omega = R_{nl}^2(r) r^2 dr |Y_{lm}(\theta, \phi)|^2 d\Omega \quad (5.64)$$

ko'rinishda yozish mumkin.

Agarda (5.64) ifodani $d\Omega$ ning barcha burchaklari bo'yicha integrallansa, radiuslari r va $r+dr$ shar qatlaminig qalinligi bo'yicha taqsimlangan elektronning topish ehtimolligi aniqlanadi. Ushbu ehtimollik

$$W_{nlm}(r) dr = R_{nl}^2(r) r^2 dr \quad (5.65)$$

orqali belgilanadi.

Endi to'liq funksiyasining burchaklar bo'yicha taqsimotini ko'rib chiqaylik. Agarda (5.63) ifodani r -radius vektor bo'yicha noldan

izlanayotgan munosabat hosil qilindi. Orbital mexanik va magnit momentlar vektor kattalik bo'lib, musbat zaryadlangan zarracha uchun bir xil yo'nalishga ega bo'lishadi, manfiy zaryadlangan zarracha uchun esa qarama-qarshi yo'nalishga egadir.

$$\Xi = -\frac{1}{2m_e c} \mathbf{M} \quad (5.92)$$

natija olinadi. $mvr^2 \omega = mvr^2 \varphi$ ifodadan, elektronning orbitasi M harakat

miqdori momentidan iboratdir. Shunday qilib,

$$\Xi = -\frac{1}{2c} \omega r^2$$

kiritilsa

$$\text{formula hosil qilinadi. } v = \frac{\omega}{2\pi} \text{ tenglikka asosan siklik chastotasini}$$

$$\Xi = -\frac{1}{c} e v \pi r^2 \quad (5.91)$$

Shuning uchun

$$J = -e v r = -e \frac{1}{T} \quad (5.90)$$

ga teng bo'ladi, bunda J – tok kuchi, S – tok o'tayotgan sirt va c – yorug'lik tezligi. Agar elektronning aylana orbita bo'ylab aylanishi soni $\nu = \frac{1}{T}$ bo'lsa, bu yerda T – aylanish davri ekanligi hisobga olinsa, u holda

$$\Xi = -\frac{1}{c} J S \quad (5.89)$$

berk tokning magnit momenti

toki pirlidoq xossalari ega bo'lishi kerak. Ma'lumki, elektron orbitasining magnit xossalari magnit momenti orqali ifoda qilinadi, orbitaning mexanik xossalari esa harakat miqdori momenti bilan xarakterlanadi. Elektron orbitasining magnit xossalari bilan uning mexanik xossalari orasida muayyan munosabat mavjuddir va bu munosabatchi kelirib chiqaraylik. Elektrodinamika kursidan ma'lumki, berk tokning magnit momenti

ermit A^+ = \mathbf{A} bo'lsa, u holda \mathbf{A} matritsa Ermit, yoki, o'z-o'ziga qo'zg'atma matritsa deyiladi. Kvant mexanikasida bunday matritsalar ko'p uchraydi.

6.2 Matritsa shakldagi Shredinger tenglamasining ko'rinishi.

Kvant mexanikasidagi bir qator konkret fizik masalalar yechilganda matritsa ko'rinishdagi Shredinger tenglamasidan foydalanish ancha qulayliklarga olib keladi. Ushbu ko'rinishdagi tenglamani yozish uchun $\psi(x, t)$ to'liq funksiyasini $\psi_n(x)$ funksiyalar bo'yicha qatorga yoyish kerak:

$$\psi(x, t) = \sum_n c_n(t) \psi_n(x). \quad (6.15)$$

Agar (6.15) yoyilmani (3.3) tenglamaga qo'yilsa natijada quyidagi ifodani hosil qilgan bo'lamiz, ya'ni

$$i\hbar \frac{\partial}{\partial t} \sum_n c_n(t) \psi_n(x) = \hat{H} \sum_n c_n(t) \psi_n(x) \quad (6.16)$$

Bu formuladagi \hat{H} gamiltonian vaqtga oshkor ravishda bog'liq emasligi eslansa, (6.16) ifodani quyidagi ko'rinishda yozish mumkin:

$$i\hbar \sum_n \dot{c}_n(x) \frac{dc_n(t)}{dt} = \sum_n c_n(t) \hat{H}(x) \psi_n(x) \quad (6.17)$$

Hosil bo'lgan tenglamaning ikkala tamoni $\psi_n(x)$ ga ko'paytirib, x ning butun o'zgarish sohasi bo'yicha integrallansa va ifodaning chap tomonida ψ_n funksiyalarning ortonormallashganligi xususiyatidan foydalanilsa, u holda m raqamli hadidan tashqari barcha hadlar nolga teng bo'ladi, ya'ni

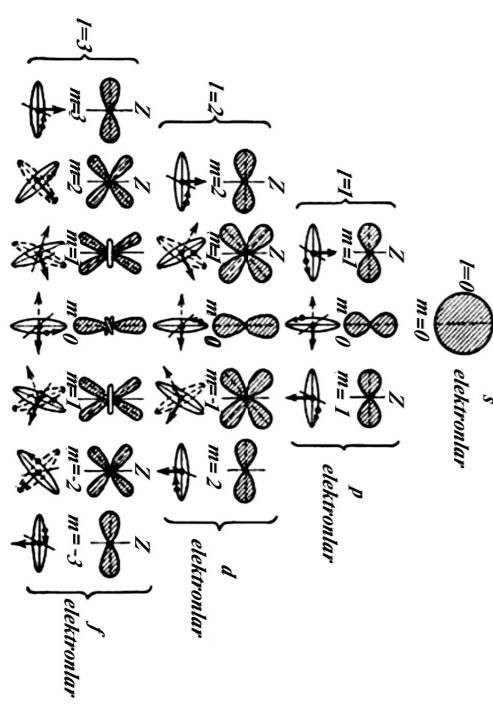
$$i\hbar \frac{dc_m(t)}{dt} = \sum_n H_{mn} c_n(t) \quad (6.18)$$

tenglamaga ega bo'lamiz, bu yerda H -gamiltonian matritsasining H_{mn} elementi quyidagiga teng:

$$H_{mn} = \int \psi_m^*(x) \hat{H} \psi_n(x) dx. \quad (6.19)$$

Shunday qilib, (6.18) tenglama matritsa ko'rinishdagi Shredinger tenglamasi bo'lib, boshlang'ich momentda berilgan $c_n(0)$ lar bo'yicha vaqtning keyingi momentlaridagi $c_n(t)$ larni aniqlab beradi.

17-rasm. s, p, d va f holatlar uchun elektronlarning $W_{lm}(\theta, \varphi)$ burchak taqsimoti.



burchak taqsimotlari berilgan.

$$(A^*)_{jk} \equiv A_{kj}^* \quad (6.11)$$

Agar $A^* = A$ bo'lsa, u holda A matritsa haqiqiy matritsa deyiladi, chunki uning barcha elementlari haqiqiydir.

A^+ matritsani A matritsadan hosil qilish uchun, avvalo A matritsani transponirlash kerak, keyinchalik kompleks-qo'shmasini olish kerak, ya'ni A matritsaga nisbatan Ermit qo'shma matritsani hosil qildik:

$$(A^+)_{jk} = [(A)_{kj}]^* = (A)_{jk}^* \quad (6.12)$$

Agarda A matritsa $m \times n$ tartibga ega bo'lsa, u holda A^+ matritsaning tartibi $n \times m$ bo'ladi. Xususiy holda

$$\psi = \begin{pmatrix} \psi_1 \\ \psi_2 \\ \vdots \\ \psi_n \end{pmatrix} \quad (6.13)$$

matritsa-ustungaga

$$\psi^+ = (\psi_1^*, \psi_2^*, \dots, \psi_n^*) \quad (6.14)$$



cheksizlikkacha integrallansa, u holda $W_{lm}(\theta, \varphi)d\Omega$ - elektron $d\Omega$ fazoviy burchak ichida joylashish ehtimolligi hosil qilinadi. R_{lm} funksiyalarning normallashtirilgan tufayli

$$W_{lm}(\theta, \varphi)d\Omega = |Y_{lm}(\theta, \varphi)|^2 d\Omega \quad (5.66)$$

ga kelinadi. $Y_{lm}(\theta, \varphi)$ funksiyaning ko'rinishidan ma'lumki, olingan ehtimollik φ burchakka bo'lgan bo'lmaydi va

$$W_{lm}(\theta, \varphi)r^2 d\Omega = N_{lm}^2 [P_l^{|m|}(\cos\theta)]^2 d\Omega \quad (5.67)$$

orqali ifoda qilinadi. Bu yerda

$$N_{lm}^2 = \frac{(l-|m|)!}{(l+|m|)!4\pi}$$

ga teng. Hosil bo'lgan natijadan ma'lumki, OZ -o'qiga nisbatan elektron uchun ehtimollik zichligi simmetrik bo'lib, uning kvant holatiga bo'lg'liq emas, boshqacha aytganda elektron qanday holatda bo'lmasin uni qayd qilish ehtimolligi φ burchakning har qanday qiymatida bir xil bo'ladi. 17-rasm. l va m larning turli holatlarida ehtimollik graflari berilgan, ya'ni o'zgarmas radial zichlikda elektronlarning $W_{lm}(\theta, \varphi)$

Demak, $R(r_0) = 0 = \frac{A \sin kr_0}{r_0}$ dan $kr_0 = \pi n$ (bunda $n = 1, 2, 3, \dots$) kelib chiqadi.

Ushbu tenglamaning yechimi $\chi(r) = A \sin(kr + \alpha)$,

$$k^2 = \frac{2m_0 E}{\hbar^2}$$

$$\chi''(r) + k^2 \chi = 0,$$

tenglama olinadi:

$$\frac{d^2 R}{dr^2} + \frac{2}{r} \frac{dR}{dr} + \frac{2m_0 E}{\hbar^2} R = 0.$$

bo'ladi:

Yechish. Nolinchi orbital moment ($l=0$)ga ega zarrachaning radial funksiyasi $R(r)$ uchun Shredinger tenglamasi quyidagicha ko'rinishda

aniqlansin.

potensial quйда joylashgan massasi m_0 va nolinchi orbital momentga ega bo'lgan zarracha to'liq funksiyalari va energetik sathlari

8. Keltirilgan massa deb nimaga aytiladi?

6. Vodorod atomidagi elektron energiyasini va to'liq funksiyasini keltiring.

5. n, l, m kvant sonlari qanday qiymatlar qabul qiladi va ular qanday nomlanadi?

4. Vodorod atomidagi elektron energiyasi uchun ifodani yozing.

3. Energiyaning qanday qiymatlarida elektron atomda joylashadi?

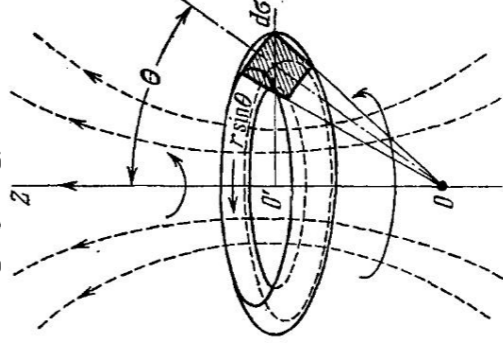
2. Markaziy maydonda zarracha to'liq funksiyasining burchakka bog'liq qismi qanday ko'rinishda bo'ladi?

5.6. V bobga oid savol va masalalar

ga teng bo'ladi. Ushbu tokning natijasida hosil bo'layotgan magnet momenti

$$d\Xi_z = \frac{dJ}{c} = \frac{dJ}{c} S = \frac{c}{c} J_\phi d\sigma \quad (5.83)$$

ga teng bo'ladi. Bu yerda S aylanma tok qamrab olgan yuza bo'lib, u



18-rasm. M^2 aylanma moment va uning M_z proyeksiyasi berilgan holat uchun atomdagi toklar.

Shuning uchun

$$d\Xi_z = \frac{\pi r^2 \sin^2 \theta}{c} J_\phi d\sigma = -\frac{ehm}{c} \frac{\pi r^2 \sin^2 \theta}{m r \sin \theta} |\psi_{nlm}|^2 d\sigma \quad (5.84)$$

bo'ladi va bu formulada m - magnet kvant sonini ifodalaydi. To'la moment Ξ_z ni hosil qilish uchun barcha yassi orbitalar bo'ylab harakatlanayotgan elektronning magnet momentlarining yig'indisini olish kerak. U holda

$$\Xi_z = -\frac{ehm}{2m_e c} \int 2\pi r \sin \theta d\sigma |\psi_{nlm}|^2 \quad (5.85)$$

bo'ladi, $2\pi r \sin \theta d\sigma$ kattalik yassi orbitaning hajmini beradi va bu orbita ichida $|\psi_{nlm}|^2$ kattalik doimiy qiymatlarni qabul qiladi. (5.85)

$$dJ = J_\phi d\sigma \quad (5.82)$$

atomning Ξ_z magnit momentini topish mumkin. $d\sigma$ yuza orqali o'tayotgan dJ tok kuchi

ifoda olinadi. $J_r = J_\theta = 0$ natijaning kelib chiqishi R_{nl} va $P_l^{|m|}$ funksiyalar r va θ o'zgaruvchilarning haqiqiy funksiya ekanligidan kelib chiqadi. J_ϕ ning noldan farqi bo'lishi esa ψ_{nlm} funksiya $e^{im\phi}$ ga proporsionalligidan kelib chiqadi. Shunday qilib, stasionar holatlarda radius va meridianga bo'lgan tok zichliklarning proyeksiyalari nolga teng bo'lar ekan.

Endi (5.81) dagi tok zichligi formulasiiga asoslangan holda,

$$J_\phi = -\frac{ie\hbar}{m_r \sin\theta} |\psi_{nlm}|^2 \quad (5.81)$$

hisoblashda esa

$$J_\phi = -\frac{ie\hbar}{2m_e} \left(\psi_{nlm}^* \frac{\partial \psi_{nlm}}{\partial \phi} - \psi_{nlm} \frac{\partial \psi_{nlm}^*}{\partial \phi} \right) \quad (5.81)$$

ga teng bo'ladi. Olingan (5.77) formuladagi to'liq funksiyasining ifodasidan foydalangan holda, (5.79) va (5.80) formulalarni hisoblaganda $J_r = J_\theta = 0$ natija kelib chiqadi. (5.81) formulani hisoblashda esa

$$J_\theta = -\frac{ie\hbar}{2m_e} \left(\psi_{nlm}^* \frac{\partial \psi_{nlm}}{\partial \theta} - \psi_{nlm} \frac{\partial \psi_{nlm}^*}{\partial \theta} \right) \quad (5.80)$$

$$J_r = -\frac{ie\hbar}{2m_e} \left(\psi_{nlm}^* \frac{\partial \psi_{nlm}}{\partial r} - \psi_{nlm} \frac{\partial \psi_{nlm}^*}{\partial r} \right) \quad (5.79)$$

vektorning radius, meridian va kenglikga bo'lgan proyeksiyalari mos ravishda

formulada e oldida minus ishorasi olinadi va elektronning zaryadini $e = 4,778 \cdot 10^{-10}$ SGSE birlikda olinadi. Ikkinchi tomonidan, \mathbf{j} vektorni hisoblashda sferik koordinatalar sistemasiga o'tish ancha qulayliklar yaratadi. Sferik koordinatalar sistemasida ∇ gradyent operatorining

proeksiyalari $\frac{\partial}{\partial r}$, $\frac{1}{r} \frac{\partial}{\partial \theta}$ va $\frac{1}{r \sin\theta} \frac{\partial}{\partial \phi}$ ga teng bo'ladi. Demak, \mathbf{j}

vektorning radius, meridian va kenglikga bo'lgan proyeksiyalari mos ravishda

$$E_n = \frac{\pi^2 \hbar^2}{2m_0 r_0^2} n^2$$

bo'ladi. s holat uchun zarrachaning to'liqin funksiyasi

$$\psi_{n,0,0} = R(r)Y_{0,0}(\theta, \phi) = C \frac{1}{r} \sin \frac{\pi n}{r_0}$$

ga teng. Normallashtirish shartidan

$$C^2 \cdot 4\pi \int_0^{\pi} \int_0^{2\pi} \left(\sin^2 \frac{\pi n}{r_0} r \right) r^2 dr = 1$$

C doimiy topiladi:

$$C = (2\pi r_0)^{-\frac{1}{2}}$$

U holda

$$\psi_{n,0,0} = \frac{1}{\sqrt{2\pi r_0}} \frac{1}{r} \sin \frac{\pi n}{r_0}$$

bo'ladi.

Ushbu rasmda keltirilgan burchak taqsimotini batafsil o'rganib chiqaylik.

1. $l=0$ va $m=0$ holatida (5.67) formulaga binoan

$$w_{00}(\theta) = [P_0^0]^2 = \frac{1}{4\pi} \quad (5.68)$$

ga teng bo'ladi, demak ehtimollik zichligi o'zgarmas θ burchakning qiymatiga bo'g'liq bo'lmaydi. Impuls momenti nolga teng bo'lgan holatni, ya'ni $l=0$ bo'lganida, s -holat deb ataladi, unga tegishli bo'lgan term esa s -term deyiladi. s -holatda yadrodan hamma yo'nalishlar bo'yicha muayyan r masofada elektron zichligi bir xil bo'ladi, ya'ni r radiusli sfera markazida yadro joylashgan va shu sfera bo'ylab elektron bir xil taqsimlangan bo'ladi.

2. $l=1$, $m=0$, ± 1 holat p -holat deb ataladi, unga tegishli bo'lgan term esa p -term deyiladi. Bu holatdagi ehtimollik $P_l^m(\cos\theta)$ va $P_l^0(\cos\theta)$ funksiyalar orqali aniqlanadi va bularning qiymatlarini (5.67) formulaga binoan olinsa, quyidagi ehtimolliklarga ega bo'linadi:

$$w_{1,\pm 1} = \frac{3}{8\pi} \sin^2 \theta, \quad (5.69)$$

$$w_{1,0} = \frac{3}{4\pi} \cos^2 \theta. \quad (5.70)$$

17-rasmda $w_{1,\pm 1}$ va $w_{1,0}$ ehtimolliklar va ularga tegishli bo'lgan Bor orbitalari tasvirlangan. Keltirilgan rasmlardan ayonki, Bor nazariyasiga binoan $m=\pm 1$ holatda elektroni topish ehtimolligi $\theta = \frac{\pi}{2}$ teng bo'lganidagina, ya'ni orbitalarni tekisligida, noldan farqli bo'ladi. Kvant mexanikasi nazariyasiga ko'ra ehtimolliklarning qiymati zenit burchagi θ ning boshqa qiymatlarida ham noldan farqlidir. Bu ikkala nazariyalarning bir biriga mos kelishi, ehtimolliklarning maksimumi ikkala nazariyada ham $\theta = \frac{\pi}{2}$ bo'lganidagina namoyon bo'ladi. Shunga

o'xshash moslik $m=0$ holati uchun ham bajariladi, bu holda ehtimollik maksimumiga $\theta = 0$ bo'lganida erishadi.

3. $l=2$, ($m=0$, $\pm 1, \pm 2$) holat d -holat deyiladi va unga tegishli bo'lgan term esa d -term deyiladi 17-rasmda $w_{2,l}$ ehtimolliklar taqsimoti keltirilgan. (5.67) formuladan keltrib chiqarish mumkinki,

Matritsalarining ko'paytmasi murakkab operatsiya hisoblanadi. Masalan, $m \times n$ tartibli A matritsani $l \times m$ tartibli B matritsaga ko'paytmasi deganda shunday $m \times m$ tartibli $C \equiv AB$ matritsa tushuniladiki, bu hosil bo'lgan C matritsaning i, j indeksli elementi A matritsaning i -qatorining barcha elementlarini B matritsaning j -ustunining barcha elementlariga ketma-ket ko'paytmalarining yig'indisiga teng bo'ladi, ya'ni

$$C_{ij} = \sum_{k=1}^m A_{ik} B_{kj} = \begin{pmatrix} i=1,2,\dots,m \\ j=1,2,\dots,m \end{pmatrix} \quad (6.6)$$

Demak, matritsalarining ko'paytmasi faqat A matritsaning ustunlar soni B matritsaning qatorlar soniga teng bo'lgandagina mavjud bo'ladi.

Yuqorida keltirilgan umumiy ta'rifni ikkita $n \times n$ tartibli kvadratik matritsalarining ko'paytmasiga qo'llab ko'raylik. U holda

$$(AB)_{jk} = \begin{pmatrix} A_{11} & A_{12} \\ A_{21} & A_{22} \end{pmatrix} \begin{pmatrix} B_{11} & B_{12} \\ B_{21} & B_{22} \end{pmatrix} = \begin{pmatrix} A_{11}B_{11} + A_{12}B_{21} & A_{11}B_{12} + A_{12}B_{22} \\ A_{21}B_{11} + A_{22}B_{21} & A_{21}B_{12} + A_{22}B_{22} \end{pmatrix}$$

ifodaga ega bo'linadi. Endi xuddi shu matritsalarining ko'paytirish tartibini o'zgartiraylik va bu holda,

$$(BA)_{jk} = \begin{pmatrix} B_{11} & B_{12} \\ B_{21} & B_{22} \end{pmatrix} \begin{pmatrix} A_{11} & A_{12} \\ A_{21} & A_{22} \end{pmatrix} = \begin{pmatrix} B_{11}A_{11} + B_{12}A_{21} & B_{11}A_{12} + B_{12}A_{22} \\ B_{21}A_{11} + B_{22}A_{21} & B_{21}A_{12} + B_{22}A_{22} \end{pmatrix}$$

natija olinadi. Demak, ushbu yuqorida keltirilgan matritsalarining ko'paytirish natijalari bir biriga teng emas, ya'ni ular bir biriga kommutativ emas,

$$AB \neq BA. \quad (6.7)$$

Kvadratik matritsalar ichida, ko'p hollarda, diagonal matritsalar qiziqtiradi, ya'ni bu matritsalarida faqat bir xil indeksli elementlar noldan farqli bo'ladi, qolgan barcha elementlar nolga teng bo'ladi, ya'ni

$$(A)_{jk} = \begin{pmatrix} A_{11} & 0 & 0 \dots & 0 \\ 0 & A_{22} & 0 \dots & 0 \\ \vdots & & & \vdots \\ 0 & 0 & 0 \dots & A_{mm} \end{pmatrix} \quad (6.8)$$

$$\mathbf{J} = -\frac{i\hbar}{2m_e}(\psi_{nlm} \nabla \psi_{nlm}^* - \psi_{nlm}^* \nabla \psi_{nlm}) \quad (5.78)$$

formula orqali belgilanadi va tok aylana bo'yicha oqadi (18-rasm). Ushbu formulada m_e elektronning massasini ifodalaydi. Olingan (5.78)

$$\psi_{nlm}(r, \theta, \varphi) = R_{nl}(r) P_l^m(\cos \theta) e^{im\varphi} \quad (5.77)$$

teng bo'ladi. ψ_{nlm} holatdagi elektr tokning zichligi esa

Atomdagi magnetizmning manbayi atomdagi elektronlarning orbita bo'ylab harakati, elektronning xususiy magnet momenti va yadroning xususiy magnet momenti kabi uchta sababga bog'liq ravishda vujudga keladi. Elektronning orbita bo'yicha harakatida orbital mexanik moment yuzaga keladi. Elektron massaga va zaryadga ega bo'lganligi sababli uning orbital harakatida mexanik moment bilan birgalikda magnet moment ham vujudga keladi. Yadro atrofida harakatlanayotgan elektron tok halqasini namoyon qilib, magnet maydonini vujudga keltiradi. Statsionar holatda bo'lgan va $M_z = \hbar m$ impuls momenti proyeksiyasining muayyan qiymatiga ega bo'lgan elektronning yadro atrofida orbita bo'ylab harakati natijasida paydo bo'ladigan atomdagi elektr tok zichligini hisoblab chiqaylik. Bu holatdagi to'lqin funksiya

5.5. Atomdagi toklar

Atomdagi atomning o'lchamini beradi.

$$r_{\max} = a = \frac{\hbar^2}{m_e} \cdot 0.529 \cdot 10^{-10} \text{ sm} \quad (5.76)$$

Demak vodorod atomning $n = m = 0$ (l) holatida asosiy holatda

$$\frac{d}{2r} - 2r^2 = 0$$

ya'ni, $r_{\max} = a$ teng bo'ladi.

ehtimolliqi mavjuddir. Ehtimollik zichligi maksimum qiymatiga to'g'ri keluvchi ifodani r bo'yicha birinchi hosilasini nolga tenglashtiriladi:

$$W_{2,1}(\theta) = N_{2,1}^2 \left[P_2^1(\cos \theta) \right]^2 = \frac{15}{8} \sin^2 \theta \cos^2 \theta. \quad (5.71)$$

Bor nazariyasiga binoan $l=2$ va $m=l$ holatlarda bir qator orbitalarga ega bo'linadi. Bu orbitalar oz o'qi bilan 60° teng bo'lgan burchakni hosil qiladi va ehtimolliklarni maksimumlari 60° teng bo'lgan konusning burchagi ichida joylashadi. Kvant mexanikasiga binoan bu holatlarda ushbu maksimumlar 45° burchakda joylashgan bo'ladi.

Shunday qilib, 17-rasmda keltirilgan ehtimolliklarning ko'rinishi turli holatlardagi atomning formasi to'g'risida qandaydir tassavurni hosil qilishga imkoniyat yaratadi. Bu atomning formasi l orbital kvant sonining qiymati bilan aniqlanadi, m magnet kvant sonining qiymati esa atomning fazodagi yo'nalishini aniqlaydi.

Endi avval kiritilgan a uzunlik qiymatining ma'nosini tekshirib chiqaylik. (5.46) dagi $R_{nl}(\rho)$ funksiyalarining ko'rinishidan ma'lumki, $r \rightarrow \infty$ da R_{nl} radial funksiya:

$$R_{nl}(\rho) = N_{nl} e^{-\frac{2Zr}{na}} \left(\frac{2Zr}{na} \right)^{l-1} + \dots \quad (5.72)$$

ko'rinishga ega bo'ladi. r ning katta qiymatlarida $W_{nl}(r)$ ehtimollik quyidagiga teng bo'ladi:

$$W_{nl}(r) = N_{nl}^2 e^{-\frac{2Zr}{na}} \left(\frac{2Zr}{na} \right)^{2n} \quad (5.73)$$

Demak, (5.73) formuladan ko'rinish turibdiki, $na/2z$ kattalik atom o'lchamlarini belgilovchi uzunlik sifatida olinishi mumkin.

Vodorod atomi asosiy holati, ya'ni $n=l$, uchun radial to'lqin funksiyani aniqlaylik. Bu holda (5.46) ma'lumki:

$$R_{l,0}(\rho) = N_{l,0} e^{-\frac{r}{a}} \quad (5.74)$$

Demak,

$$W_{l,0}(r) = N_{l,0}^2 e^{-\frac{2r}{a}} \left(\frac{r}{a} \right)^2 \quad (5.75)$$

Vodorod atomning asosiy holatida elektronning fazoviy taqsimotini xarakterlovchi $R_{l,0}(\rho)^2$ funksiya koordinata boshida r^2 kabi nolga aylanadi va r ning katta qiymatlarida esa eksponensial ravishda nolga intiladi. Shunday qilib, yadrodan istalgan masofada elektroni topish

$$A \equiv (A_{jk}) = \begin{pmatrix} A_{11} & A_{21} & \dots & A_{n1} \\ A_{21} & A_{22} & \dots & A_{2n} \\ \vdots & \vdots & \ddots & \vdots \\ A_{n1} & A_{n2} & \dots & A_{nn} \end{pmatrix} \quad (6.1)$$

Umimiy holda jadvalda keltirilgan qatorlar va ustunlar sonlari bir-biriga teng bo'lmaligi ham mumkin. Jadvalda keltirilgan har bir kattalik matrit element deyiladi va ikkita indeks bilan belgilanadi.

6.1. Matritsalar algebrasining asoslari

Avvalgi boblarda keltirib chiqarilgan kvant mexanikasining hisoblash metodi, ya'ni chiziqli va ermit operatorlarning metodi, kvant mexanikasida qo'llaniladigan yagona hisoblash metodi emas. 1925-1926-yilda M.Born, V.Geyzenberg va P.Lordanlar kvant mexanikasida mavjud bo'lgan qarama-qarshiliklarni bartaraf etishga erishdilar va kvant nazariyasining yopiq sxemasini yaratishga muvaffaq bo'ldilar. Ushbu nazariyaning asosiy tenglamalari 3.5-paragrafda ko'rilgan tenglamalarga o'xshash bo'lib, ular oddiy son kattaliklar yoki operatorlar yordamida ifodalanmasdan, balki matritsalar ko'rinishida berilgan. Shuning uchun Born-Geyzenberg-lordan nazariyasi matritsa shaklidagi kvant mexanikasi deb ataladi.

Bir necha vaqt o'tgach E.Shredinger mutlaqo boshqa tasavvurlardan kelib chiqqan holda to'lqin shaklidagi kvant mexanikasini asoslab berdi va uning nazariyasini asosiy obyektleri bo'lib ψ -to'lqin funksiyasi va dinamik o'zgaruvchilarga mos kelgan operatorlar tanlab olindi. Keyinchalik, 1926-yilda E.Shredinger o'zi bu ikki nazariyani bir-biriga to'la ekvivalent ekanligini ko'rsatdi va matritsa shaklidagi kvant mexanikadan to'lqin shaklidagi kvant mexanikasiga o'tish mumkinligini ko'rsatib berdi, shuning bilan bir qatorda teskari o'tishni ham ifodalab berdi. Matritsa ko'rinishdagi kvant mexanikasini ifodalashdan avval, matritsalarining qisqacha matematik nazariyasi ko'rib chiqiladi.

Quyidagi jadvalni tashkil etuvchi kattaliklar to'plamini A matritsa deyiladi:

KVANT MEXANIKASINING MATRITSASHAKLI qoq VI

Birinchi indeks qatorning tartib raqamini bildirsa, ikkinchisi esa ustunning tartib raqamini ifodalaydi. Umuman olganda, matritsalar haqida tushuncha n -o'lchovli fazodagi vektorlarning chiziqli almashirishi natijasida kiritiladi. Kvant mexanikasida uch xil tipdagi matritsalar bilan ish yuritiladi:

1) $n \times n$ tartibli kvadrat matritsalar:

$$A = \begin{pmatrix} A_{11} & A_{21} & \dots & A_{n1} \\ A_{21} & A_{22} & \dots & A_{2n} \\ \vdots & \vdots & \ddots & \vdots \\ A_{n1} & A_{n2} & \dots & A_{nn} \end{pmatrix}; \quad (6.2)$$

2) bita ustunga ega bo'lgan $m \times l$ tartibli matritsa-ustunlar:

$$\psi \equiv (\psi_j) = \begin{pmatrix} \psi_1 \\ \psi_2 \\ \vdots \\ \psi_m \end{pmatrix}; \quad (6.3)$$

3) bita qatorga ega bo'lgan $l \times n$ tartibli matritsa-qatorlar bilan ish yuritiladi.

Birinchi tipdagi matritsalar Evklid fazosidagi chiziqli operatorlarni ifodalaydi, ikkinchilari esa shu fazodagi vektorlarni va nihoyat uchinchi tipdagi matritsalar kompleks qo'shma fazodagi vektorlarni belgilaydi.

Endi bevosita matritsalar bilan bajariladigan algebraik operatsiyalar ustida to'xtab o'taylik.

Ikkita matritsa teng matritsalar deyiladi, agarda ularning tartiblari bir biriga teng bo'lsa va ularning tegishli matritk elementlari ham o'zaro teng bo'lsa. Masalan, 2×2 tartibli ikkita A va B matritsalar uchun $A=B$ tenglik

$$a_{11} = b_{11}, a_{12} = b_{12}, a_{21} = b_{21}, a_{22} = b_{22}$$

tengliklarni anglatadi.

Ikkita teng tartibli A va B matritsalarining yig'indisi deb, shu tartibdagi shunday $C \equiv A+B$ matritsaga aytiladiki, bunda

$$C_{jk} = A_{jk} + B_{jk} \quad (6.5)$$

bo'ladi.

Ushbu darslikda ko'rilayotgan Shredinger nazariyasidagi ψ to'liqin funksiya fazoviy koordinatalarga bog'liq holda tanlab olinadi. Kvant mexanikasida qabul qilingan statistik talqiniga binoan, to'liqin funksiyasi modulining kvadrati fazoning ixtiyoriy nuqta atrofida zarrachani topish ehtimoligi bilan chambarchas bog'langandir. Bu holda to'liqin funksiyasi va barcha dinamik o'zgaruvchilarning operatorlari koordinata tasavvurida berilgan deb gapirish mumkin. Bir qator konkret masalalarni yechganimizda ushbu tassavur ancha qulayliklarga olib

6.4 Garmontk ossilyator masalasini turli xil tassavurlarda yechish

Shunday qilib, o'zaro ta'sir tasavvurida to'liqin funksiyaning vaqtga bog'liqligi o'zaro ta'sir operatori bo'lgan \hat{H} operator orqali aniqlandi,

$$\frac{\partial \hat{H}_0(x,t)}{\partial t} = \frac{i}{\hbar} (\hat{H}_0 \hat{A}_0 - \hat{A}_0 \hat{H}_0) = [\hat{H}_0, \hat{A}_0]. \quad (6.44)$$

Shunday qilib, o'zaro ta'sir tasavvurida to'liqin funksiyaning vaqtga bog'liqligi o'zaro ta'sir operatori bo'lgan \hat{H} operator orqali aniqlandi, shu bilan birgalikda \hat{H}_0 operator bilan bog'langan vaqtga bog'liqlik bevosita operatorlarning o'zlariga o'tkazilgan. O'zaro ta'sir tasavvuri fizik mohiyati jihatidan avvalgi ikkita tasavvurlarga ekvivalentdir va g'alayonlanish nazariyasiga asoslangan taqribiy hisoblashlarda, kvantlangan maydon nazariyasidagi bir qator masalalarni yechishda keng qo'llaniladi.

$$i\hbar \frac{\partial \varphi(x,t)}{\partial t} = \hat{H}(x,t) \varphi(x,t) \quad (6.43)$$

natija olinadi. Shunday qilib, $\hat{H}(x,t)$ Gamiltoniani uchun Shredinger tenglamasini hosil qilish imkoniyati yaratiladi.

Demak, o'zaro ta'sir tasavvurida operatorlar ham, to'liqin funksiyalari ham vaqtga bog'liq bo'ladi. Bu manzarada to'liqin funksiyalari (6.43) dagi tenglama orqali o'zgarsa, vaqt bo'yicha operatorlarning o'zgarishi quyidagi shartni qanoatlantiradi, ya'ni

$$\begin{aligned} i\hbar \frac{\partial \varphi(x,t)}{\partial t} &= -\hat{H}_0 \varphi(x,t) + e^{i\hat{H}_0 t} [\hat{H}_0 + \hat{W}(x,t)] \psi(x,t) \\ &= e^{i\hat{H}_0 t} \hat{W}(x,t) \psi(x,t) = e^{i\hat{H}_0 t} \hat{W}(x,t) e^{-i\hat{H}_0 t} \varphi(x,t) \end{aligned}$$

tenglamaga ega bo'linadi. Agar (6.42) tenglamani hisobga olinsa, u holda

Agarda \hat{H} operator to'la energiya operatori bo'lsa, u holda \hat{H} operatorning xususiy funksiyalari $\psi_n(x)$ funksiyalar bo'lib, $c_n(t)$ lar esa stasionar holatlarning amplitudasi bo'ladi va (6.19) dagi H_{mm} matritsa diagonal matritsa bo'lib bo'ladi:

$$H_{mm} = \int \psi_m^* \hat{H} \psi_m dx = \int E_m \delta_{mm} dx = E_m \delta_{mm}. \quad (6.20)$$

Olingan (6.20) dagi natijani (6.18) ga qo'yilsa, bu holni aks ettiruvchi Shredinger tenglamasi hosil qilinadi:

$$i\hbar \frac{dc_m}{dt} = E_m c_m. \quad (6.21)$$

Bu tenglamaning yechimi

$$c_m(t) = c_m(0) e^{-\frac{i}{\hbar} E_m t} \quad (6.22)$$

bo'ladi, ya'ni stasionar holatlardagi amplitudalar vaqtga garmontk ravishda bog'liq bo'ladi.

Endi hosil bo'lgan matritsa ko'rinishdagi Shredinger tenglamasidan foydalanib, operatorning vaqt bo'yicha o'zgarishi hisoblab chiqiladi. Buning uchun $\psi(x,t)$ funksiyani xususiy funksiya sifatida tanlab olinadi. U holda bu funsiyani (6.15) qator orqali yozish mumkin va kompleks ko'rinishdagi ifodasini ham

$$\psi^*(x,t) = \sum_m c_m^* \psi_m^*(x,t) \quad (6.23)$$

yo'zish mumkindir. Bu ikkita ifodani

$$\bar{L} = \int \psi^*(x,t) \hat{L} \psi(x,t) dx$$

formulaga qo'yilsa

$$\bar{L} = \sum_n \sum_m c_m^* c_n \int \psi_m^* \hat{L} \psi_n dx \quad (6.24)$$

yoki

$$\bar{L} = \sum_n \sum_m c_m^* L_{mm} c_n \quad (6.25)$$

ifodaga kelinadi. Shunday qilib, agar \hat{L} operator matritsa ko'rinishda berilgan bo'lsa, u holda L kattalikning \bar{L} o'rtacha qiymatining ko'rinishi (6.25) ifoda bilan beriladi.

Endi (6.25) dagi o'rtacha qiymatning vaqt bo'yicha o'zgarishini ko'rib chiqaylik. Vaqt bo'yicha (6.25) ni differensiallansa,



ko'rinishga ega bo'ladi. Bu yerda

$$(-B \frac{d^2}{dx^2} + Ax^2) \psi(x) = E \psi(x)$$

Ikkinchidan bir o'chamli garmontk ossilyatorning Gamiltoniani

$$\hat{H} = -\frac{\hbar^2}{2m} \frac{d^2}{dx^2} + \frac{m\omega^2}{2} x^2$$

ko'rinishga ega ekanligi ma'lum. Demak, x -tasavvurida garmontk ossilyatorning Shredinger tenglamasi

$$(x \hat{p}_x - \hat{p}_x x) \psi(x) = i\hbar \psi(x). \quad (6.45)$$

xususiy qiymati bo'ladi, ya'ni

$$\hat{p}_x = -i\hbar \frac{\partial}{\partial x}$$

Bu tasavvurda \hat{p} impuls operatorini

1. Koordinata tassavvuri (x-tassavvuri)

Ikkinchidan, impuls va koordinatalarni (2.57) - o'zaro o'rin almashirish qo'lgalariga bo'yusunishlarni eslatib o'taylik. Bu munosabat o'rini bo'lishi uchun kvant mexanikasida turli xil usullar mavjuddir.

Ular to'liqin funksiyasini yoki koordinatalarga, yoki impulsilarga bog'liqligi bilan farqlanadi. Garmontk ossilyator misolida ushbu bog'lanishlar ustida to'xtalib o'tamiz.

$$\hat{H} = \frac{\hat{p}^2}{2m} + \frac{m\omega^2}{2} x^2.$$

Kvant mexanikasida keng tarqalgan modellardan biri bo'lgan garmontk ossilyator modeli misolida bu masalalarni kengroq yoritishga harakat qilamiz. Avvalo, garmontk ossilyator harakatini ifodalovchi Gamiltonian yozib chiqiladi va bu Gamiltonianda koordinata va impuls orasidagi bog'lanishni klassik mexanikasidagi kabi bo'lishini eslab o'taylik:

$$(6.78) \quad \begin{pmatrix} \vdots & \vdots & \vdots & \vdots & \vdots \\ \dots & \frac{2}{\sqrt{3}} \sqrt{y} & 0 & \frac{2}{\sqrt{2}} \sqrt{y} & 0 \\ \dots & 0 & \frac{2}{\sqrt{2}} \sqrt{y} & 0 & \frac{2}{\sqrt{1}} \sqrt{y} \\ \dots & 0 & 0 & \frac{2}{\sqrt{1}} \sqrt{y} & 0 \end{pmatrix} x_0 x_0 \hbar = \begin{pmatrix} \vdots & \vdots & \vdots & \vdots & \vdots \\ \dots & P_{13} & P_{23} & P_{22} & P_{12} \\ \dots & P_{10} & P_{11} & P_{20} & P_{10} \\ \dots & P_{00} & P_{10} & P_{20} & P_{00} \end{pmatrix} = P_{mm}$$

Endi bu matritsalarini bir biriga avval shundop keyin esa ularning o'rmini almashirib ko'paytiriladi, so'nra ikkinchi ko'paytmanni birinчисidan aytramiz.

$$(6.79) \quad \sum_{k=0}^{\infty} P_{mk} x_{kn} = \sum_{k=0}^{\infty} P_{mk} x_{kn} x - i\hbar \delta_{mm} \sum_{k=0}^{\infty} P_{mk} x_{kn} (dx) - \dots (dx) \quad (6.80)$$

$$(6.81) \quad \sum_{k=0}^{\infty} P_{mk} x_{kn} x - i\hbar \delta_{mm} \sum_{k=0}^{\infty} P_{mk} x_{kn} (dx) - \dots (dx) \quad (6.82)$$

Endi bu matritsalarini bir biriga avval shundop keyin esa ularning o'rmini almashirib ko'paytiriladi, so'nra ikkinchi ko'paytmanni birinчисidan aytramiz.

Endi (6.76) dagi matritk elementni hisoblab chiqaylik va u

$$H_{mm} = \sum_k \left\{ \frac{1}{2m} P_{mk} P_{kn} + \frac{m\omega^2}{2} x_{mk} x_{kn} \right\}$$

ga teng bo'ladi. Bu ifodaga (6.77) va (6.78) dagi tengliklardan koordinata va impulsning matritk elementlarining qiymatlari qo'yilsa

$$H_{mm} = \hbar \omega (n + \frac{1}{2}) \delta_{mm}$$

natija olinadi. Shunday qilib, H_{mm} matritk elementi quyidagi diagonal matritsani hosil qiladi:

$$H_{mm} = \hbar \omega \begin{pmatrix} \vdots & \vdots & \vdots & \vdots & \vdots \\ \dots & \frac{3}{2} & 0 & 0 & \dots \\ \dots & 0 & \frac{5}{2} & 0 & \dots \\ \dots & 0 & 0 & \frac{7}{2} & \dots \\ \dots & 0 & 0 & 0 & \dots \end{pmatrix}$$

(6.81) Boshqacha aytganda, agarda ψ funksiya \hat{H} operatorning xususiy funksiyalari bo'lganda, \hat{F} operatorning

$$F_{mm} = \int \psi_m^* \hat{F} \psi_m dx$$

ga teng bo'lib, (6.31) tenglama bilan mos keladi. Kvant mexanikasidagi Shredinger tasavvuri klassik mexanikadagi keng qo'llaniladigan Gamilton-Yakobi metodiga mos keladi, ma'lumki bu metodda

$$\frac{d\bar{L}}{dt} = \frac{\partial \bar{L}}{\partial t} + [\bar{H}, \bar{L}]$$

o'zgarishi ma'lum bo'lgan formula orqali ifodalanaadi va u

1. Shredinger tassavuri

formal nuqta nazardan ekvivalentdir.

$$\frac{d\bar{L}}{dt} = \frac{\partial \bar{L}}{\partial t} + [\bar{H}, \bar{L}] \quad (6.31)$$

bunda \bar{H} – sistemaning Gamiltoniani bo'ladi. (6.31) tenglama, kvant mexanikasining asosiy dinamik postulati bo'lib, kvant mexanikasining umumiy sxemasida vaqtga bog'liqligini ko'rsatuvchi bir necha usullarining mavjud ekanligini taqozo qiladi. Bu usullar fizikaviy va formal nuqta nazardan ekvivalentdir.

2. Geyzenberg tassavuri

Shredinger tasavvuridan tashqari kvant mexanikasida Geyzenberg tasavvuri ham ishlatiladi. Ushbu tasavvuri birinchi bo'lib Geyzenberg taklif etgan va kvant mexanikasining rivojlanishiga katta hissa qo'shgan. Geyzenberg tasavvurida sistemaning rivojlanishini vaqtga bog'liq bo'lgan operatorlar yordamida ifodalanaadi va $\psi(x)$ to'liq funksiyasi faqat koordinatalarga bog'liq bo'ladi:

$$\psi_n(x, t) = \psi_n(x) e^{-\frac{i}{\hbar} E_n t} \quad (6.32)$$

Demak, Geyzenbergning tasavvurida, \hat{L} operatorning matrit elementini (6.19) formulaga asosan quyidagicha tuzish mumkin:

$$L_{mm}(t) = \int \psi_m^*(x, t) \hat{L} \psi_n(x, t) dx = L_{mm} e^{i\omega_{mn} t} \quad (6.33)$$

Agar operator vaqtga oshkor ravishda bog'liq bo'lmasa

$$\left(\frac{dL}{dt} \right)_{mm} = \frac{dL_{mm}}{dt} = i\omega_{mm} L_{mm}(t) \quad (6.34)$$

natija olinadi va uni (6.29) formula bilan taqqoslash mumkin bo'ladi. Ikkinchi tomondan jarayonning vaqt bo'yicha rivojlanishini to'liq funksiyaga ta'sir etuvchi $\hat{U}(t)$ operator orqali ifodalash mumkin, ya'ni

$$\psi(x, t) = \hat{U}(t) \psi(x, 0) \quad (6.35)$$

(6.35) ifodani Shredinger tenglamasiga qo'yilsa, kiritilgan $\hat{U}(t)$ operator uchun quyidagicha tenglama hosil bo'ladi:

$$i\hbar \frac{\partial \hat{U}(t)}{\partial t} = \hat{H} \hat{U}(t). \quad (6.36)$$

Agar $\hat{U}(0) = 1$ teng bo'lsa va \hat{H} operator vaqtga oshkor ravishda bog'liq bo'lmasa, (6.36) tenglamaning yechimini

$$\hat{U}(t) = e^{-\frac{i}{\hbar} \hat{H} t} \quad (6.37)$$

shaklda yozish mumkin. Geyzenberg tasavvurida vaqt bo'yicha sistemaning rivojlanishini ifodalash uchun vaqtga bog'liq bo'lgan operatorlarning kiritilishi lozimdir. Umuman Geyzenberg tasavvuriga o'tish jarayoni unitar almashtirish yordamida amalga oshiriladi, ya'ni



tenglik bajarilishi kerak. Ushbu munosabatlarni hisobga olgan holda impuls tasavvuridagi garmonik ossillyatorning nazariyasi tuzish mumkin. Hosil qilingan (6.64) dagi operatorni Gamiltonian formulasi qo'yilsa,

$$(\hat{p}\hat{x} - \hat{x}\hat{p})\varphi(p) = -i\hbar\varphi(p) \quad (6.65)$$

orgali belgilash kiritiladi. Yaqqol ko'rinish turibdiki, agarda impuls bog'liq bo'lgan to'liq funksiyasiga ushbu operator ta'sir qilsa, u holda

$$\hat{x} = i\hbar \frac{\partial}{\partial p} \quad (6.64)$$

x koordinatasini esa operator deb hisoblanadi va

2. Impuls tassavuri, yoki p-tassavurini hosil qilish uchun (6.44) dagi operator munosabatida p impulsni oddiy c – son deb qabul qilinadi, x koordinatasini esa operator deb hisoblanadi va

$$P_{mm} = -im\omega_0(m-n)x_{mm} \quad (6.63)$$

yoki

$$P_{mm} = -im\omega x_{mm} \quad (6.62)$$

Agarda x – tasavvuridagi impuls operatorning matritsasini hisoblash masalasi qaytilsa, u holda

$$x = x_0 \begin{pmatrix} 0 & \sqrt{1} & 0 & 0 & \dots \\ 0 & \sqrt{2} & 0 & \dots & \dots \\ 0 & \sqrt{2} & 0 & \sqrt{3} & \dots \\ \vdots & \vdots & \vdots & \vdots & \ddots \end{pmatrix} \quad (6.61)$$

Olingan matritsani ochiq ko'rinishda yozish mumkin va (6.60) dan ko'rinish turibdiki bosh dioganalga qo'shni bo'lgan hadlarga noldan farqli bo'ladi:

$$X_{mm} = x_0 \left\{ \sqrt{\frac{n+1}{n}} \delta_{n+1,m} + \sqrt{\frac{n}{2}} \delta_{n-1,m} \right\} \quad (6.60)$$

mumkin:

natijaga kelinadi. Endi C_n koeffitsiyentlarning qiymatlari qo'yilsa, (6.57) dan matrit elementlarni hisoblash uchun formulani hosil qilish mumkin:

$$X_{mm} = x_0 \left\{ \sqrt{\frac{n+1}{n}} \delta_{n+1,m} + \sqrt{\frac{n}{2}} \delta_{n-1,m} \right\} \quad (6.60)$$

Olingan matritsani ochiq ko'rinishda yozish mumkin va (6.60) dan ko'rinish turibdiki bosh dioganalga qo'shni bo'lgan hadlarga noldan farqli bo'ladi:

$$X_{mm} = x_0 \left\{ \sqrt{\frac{n+1}{n}} \delta_{n+1,m} + \sqrt{\frac{n}{2}} \delta_{n-1,m} \right\} \quad (6.60)$$

mumkin:

natijaga kelinadi. Endi C_n koeffitsiyentlarning qiymatlari qo'yilsa, (6.57) dan matrit elementlarni hisoblash uchun formulani hosil qilish mumkin:

$$X_{mm} = x_0 \left\{ \sqrt{\frac{n+1}{n}} \delta_{n+1,m} + \sqrt{\frac{n}{2}} \delta_{n-1,m} \right\} \quad (6.60)$$

Olingan matritsani ochiq ko'rinishda yozish mumkin va (6.60) dan ko'rinish turibdiki bosh dioganalga qo'shni bo'lgan hadlarga noldan farqli bo'ladi:

$$X_{mm} = x_0 \left\{ \sqrt{\frac{n+1}{n}} \delta_{n+1,m} + \sqrt{\frac{n}{2}} \delta_{n-1,m} \right\} \quad (6.60)$$

mumkin:

$$X_{mm} = x_0 \left\{ \sqrt{\frac{n+1}{n}} \delta_{n+1,m} + \sqrt{\frac{n}{2}} \delta_{n-1,m} \right\} \quad (6.60)$$

Olingan matritsani ochiq ko'rinishda yozish mumkin va (6.60) dan ko'rinish turibdiki bosh dioganalga qo'shni bo'lgan hadlarga noldan farqli bo'ladi:

$$X_{mm} = x_0 \left\{ \sqrt{\frac{n+1}{n}} \delta_{n+1,m} + \sqrt{\frac{n}{2}} \delta_{n-1,m} \right\} \quad (6.60)$$

mumkin:

$$X_{mm} = x_0 \left\{ \sqrt{\frac{n+1}{n}} \delta_{n+1,m} + \sqrt{\frac{n}{2}} \delta_{n-1,m} \right\} \quad (6.60)$$

Olingan matritsani ochiq ko'rinishda yozish mumkin va (6.60) dan ko'rinish turibdiki bosh dioganalga qo'shni bo'lgan hadlarga noldan farqli bo'ladi:

$$X_{mm} = x_0 \left\{ \sqrt{\frac{n+1}{n}} \delta_{n+1,m} + \sqrt{\frac{n}{2}} \delta_{n-1,m} \right\} \quad (6.60)$$

mumkin:

$$X_{mm} = x_0 \left\{ \sqrt{\frac{n+1}{n}} \delta_{n+1,m} + \sqrt{\frac{n}{2}} \delta_{n-1,m} \right\} \quad (6.60)$$

Olingan matritsani ochiq ko'rinishda yozish mumkin va (6.60) dan ko'rinish turibdiki bosh dioganalga qo'shni bo'lgan hadlarga noldan farqli bo'ladi:

$$X_{mm} = x_0 \left\{ \sqrt{\frac{n+1}{n}} \delta_{n+1,m} + \sqrt{\frac{n}{2}} \delta_{n-1,m} \right\} \quad (6.60)$$

mumkin:

$$X_{mm} = x_0 \left\{ \sqrt{\frac{n+1}{n}} \delta_{n+1,m} + \sqrt{\frac{n}{2}} \delta_{n-1,m} \right\} \quad (6.60)$$

Olingan matritsani ochiq ko'rinishda yozish mumkin va (6.60) dan ko'rinish turibdiki bosh dioganalga qo'shni bo'lgan hadlarga noldan farqli bo'ladi:

$$X_{mm} = x_0 \left\{ \sqrt{\frac{n+1}{n}} \delta_{n+1,m} + \sqrt{\frac{n}{2}} \delta_{n-1,m} \right\} \quad (6.60)$$

mumkin:

$$X_{mm} = x_0 \left\{ \sqrt{\frac{n+1}{n}} \delta_{n+1,m} + \sqrt{\frac{n}{2}} \delta_{n-1,m} \right\} \quad (6.60)$$

Olingan matritsani ochiq ko'rinishda yozish mumkin va (6.60) dan ko'rinish turibdiki bosh dioganalga qo'shni bo'lgan hadlarga noldan farqli bo'ladi:

$$X_{mm} = x_0 \left\{ \sqrt{\frac{n+1}{n}} \delta_{n+1,m} + \sqrt{\frac{n}{2}} \delta_{n-1,m} \right\} \quad (6.60)$$

mumkin:

$$X_{mm} = x_0 \left\{ \sqrt{\frac{n+1}{n}} \delta_{n+1,m} + \sqrt{\frac{n}{2}} \delta_{n-1,m} \right\} \quad (6.60)$$

Olingan matritsani ochiq ko'rinishda yozish mumkin va (6.60) dan ko'rinish turibdiki bosh dioganalga qo'shni bo'lgan hadlarga noldan farqli bo'ladi:

$$X_{mm} = x_0 \left\{ \sqrt{\frac{n+1}{n}} \delta_{n+1,m} + \sqrt{\frac{n}{2}} \delta_{n-1,m} \right\} \quad (6.60)$$

mumkin:

$$X_{mm} = x_0 \left\{ \sqrt{\frac{n+1}{n}} \delta_{n+1,m} + \sqrt{\frac{n}{2}} \delta_{n-1,m} \right\} \quad (6.60)$$

Olingan matritsani ochiq ko'rinishda yozish mumkin va (6.60) dan ko'rinish turibdiki bosh dioganalga qo'shni bo'lgan hadlarga noldan farqli bo'ladi:

$$X_{mm} = x_0 \left\{ \sqrt{\frac{n+1}{n}} \delta_{n+1,m} + \sqrt{\frac{n}{2}} \delta_{n-1,m} \right\} \quad (6.60)$$

mumkin:

$$X_{mm} = x_0 \left\{ \sqrt{\frac{n+1}{n}} \delta_{n+1,m} + \sqrt{\frac{n}{2}} \delta_{n-1,m} \right\} \quad (6.60)$$

Olingan matritsani ochiq ko'rinishda yozish mumkin va (6.60) dan ko'rinish turibdiki bosh dioganalga qo'shni bo'lgan hadlarga noldan farqli bo'ladi:

$$X_{mm} = x_0 \left\{ \sqrt{\frac{n+1}{n}} \delta_{n+1,m} + \sqrt{\frac{n}{2}} \delta_{n-1,m} \right\} \quad (6.60)$$

mumkin:

$$X_{mm} = x_0 \left\{ \sqrt{\frac{n+1}{n}} \delta_{n+1,m} + \sqrt{\frac{n}{2}} \delta_{n-1,m} \right\} \quad (6.60)$$

Olingan matritsani ochiq ko'rinishda yozish mumkin va (6.60) dan ko'rinish turibdiki bosh dioganalga qo'shni bo'lgan hadlarga noldan farqli bo'ladi:

$$X_{mm} = x_0 \left\{ \sqrt{\frac{n+1}{n}} \delta_{n+1,m} + \sqrt{\frac{n}{2}} \delta_{n-1,m} \right\} \quad (6.60)$$

Ushbu spin matritsalarini hosil qilganimizda s_z matritsaning operatorini diogonal ko'rinishda olganimizni doimo nazarda tutish kerak, ya'ni s_z -tasavvurda olingan matritsalar hosil qilindi. Keyinchalik shu narsaga e'tiborni qarash kerakki, 1 belgi $s_z = +\frac{\hbar}{2}$ ga teng bo'lgan birinchi xususiy qiymatga, 2 belgi esa $s_z = -\frac{\hbar}{2}$ ga teng bo'lgan ikkinchisi xususiy qiymatga tegishlidir. Endi (7.12) dan foydalanib elektron spin operatorining kvadratini hisoblash mumkin, ya'ni

$$\hat{S}_x = \begin{pmatrix} 0 & \hbar \\ \hbar & 0 \end{pmatrix}, \quad \hat{S}_y = \begin{pmatrix} 0 & -i\hbar \\ i\hbar & 0 \end{pmatrix}, \quad \hat{S}_z = \begin{pmatrix} \hbar & 0 \\ 0 & -\hbar \end{pmatrix}. \quad (7.12)$$

topish mumkin, ya'ni

$$\sigma_x = \begin{pmatrix} 0 & 1 \\ 1 & 0 \end{pmatrix}, \quad \sigma_y = \begin{pmatrix} 0 & -i \\ i & 0 \end{pmatrix}, \quad \sigma_z = \begin{pmatrix} 1 & 0 \\ 0 & -1 \end{pmatrix}. \quad (7.11)$$

Olingan (7.11) dagi matritsalar elektronning spinini hisobga olgan holda kvant mexanikasida fundamental rol o'ynaydi va Pauli matritsalarini deb yuritiladi. Pauli matritsalarini yordamida (7.5) formulaga asoslanib, \hat{s}_x, \hat{s}_y va \hat{s}_z operatorlarning oshkor ravishdagi ko'rinishini topish mumkin, ya'ni

$$\sigma_x = i \begin{pmatrix} 0 & 1 \\ 1 & 0 \end{pmatrix} \begin{pmatrix} 1 & 0 \\ 0 & -1 \end{pmatrix} = \begin{pmatrix} 0 & -i \\ i & 0 \end{pmatrix}$$

foydalaniladi va

$$\sigma_x = \begin{pmatrix} 0 & 1 \\ 1 & 0 \end{pmatrix}$$

natija hosil qilinadi.

σ_y matritsani aniqlash uchun $i\sigma_y = -\sigma_x\sigma_z$ munosabatdan

ko'rinishga ega bo'ladi. Bunda α - haqiqiy son bo'lib, ixtiyoriy faza ko'paytmasi deb yuritiladi. Agar α ni nolga teng deb qabul qilinsa,

$$\sigma_x = \begin{pmatrix} 0 & 1 \\ 1 & 0 \end{pmatrix}$$

matritsalar elementlar to'plamining berilishi \mathcal{F} operatorning energetik tassavurda berilishi deyiladi.

6.5. VI bob ga oid savol va masalalar

1. Matrik tasavvuridagi operator qanday ko'rinishga ega bo'ladi?
 2. Transponirlangan matritsaning matrik elementini ko'rinishi qanday bo'ladi?
 3. Matrik tasavvurdagi operator tenglamasi qanday bo'ladi?
 4. Matritsalar ko'paytiruv qoidasini ifodalovchi formulani keltiring.
 5. **Masala.** Radiusi r_0 ga teng va absolut o'tkazmaydigan devorlardan iborat bo'lgan sferik-simmetrik potentsial o'rada joylashgan m_0 massali zarrachaning asosiy holatdagi impulsining turli qiymatlari uchun ehtimolliklar taqsimoti aniqlansin.
- Yechish.** Asosiy holatdagi ($n=l, l=0, m=0$) zarracha quyidagi to'liq funktsiya bilan aniqlanadi:

$$\psi_{l,0,0} = \frac{1}{\sqrt{2\pi r_0}} \sin \frac{\pi r}{r_0}$$

Impuls tasavvuriga o'tilsa

$$\begin{aligned} W(\mathbf{p}) &= (2\pi\hbar)^{-3} \int_0^{r_0} \int_0^\pi \int_0^{2\pi} \frac{2\pi}{\sqrt{2\pi r_0}} \sin \frac{\pi r}{r_0} r^2 dr \int_0^\pi e^{-\frac{i}{\hbar} pr \cos \theta} \sin \theta d\theta = \\ &= \frac{\pi p (r_0 \hbar^3)^{-3} \int_0^{r_0} \int_0^\pi \sin \frac{\pi r}{r_0} r^2 dr}{\hbar^3 \sin^2 \frac{p r_0}{\hbar}} = \frac{\sqrt{r_0} \sin \frac{p r_0}{\hbar}}{\hbar^3 p \left(\pi^2 - \frac{p^2 r_0^2}{\hbar^2} \right)} \end{aligned}$$

natijaga kelinadi. Ushbu formula yordamida impuls vektori ehtimollikning zichligi quyidagi ifoda orqali aniqlanadi:

$$|W(\mathbf{p})|^2 = \frac{r_0^3 \sin^2 \frac{p r_0}{\hbar}}{p^2 (\pi^2 \hbar^2 - p^2 r_0^2)^2}$$

p va $p+dp$ oralig'ida joylashgan zarracha impulsining ehtimolliqi quyidagi formula orqali beriladi:

$$W(p)dp = |W(\mathbf{p})|^2 4\pi p^2 dp = \frac{4\pi r_0^3 dp}{(\pi^2 \hbar^2 - p^2 r_0^2)^2} \sin^2 \frac{p r_0}{\hbar}.$$



Avvalgi paragrafda aniqlagandek, atomdagi elektronning holatini to'liq ifodalash uchun to'rtta dinamik kattaliklarni kiritish yetarli, ya'ni elektronning og'irlik markazi harakatini aniqlovchi uchta kattalik bilan birgalikda elektron spinini hisobga oluvchi ya'na bita s_z kattalikni

7.3. Spin funksiyalari

kvant soni $-n, l, m, m_s$ bilan ifodalanadi.

Shunday qilib, ikkita m_s va s kvant sonlari kiritdik, birinchisi tanlangan oz yo'nalishga spin proyeksiyasining qiymatini aniqlab bersa, ikkinchisi spin operatori kvadratining xususiy qiymatini aniqlaydi. Shu paytgacha atomdagi elektron holatini ifodalash uchun uchta dinamik kattalik: E energiya, M impuls momentining absolut qiymati va impuls momentning Z -o'qiga bo'lgan proyeksiyasi $-M_z$ ning, berilishi bilan cheklangan edik. Agar bu kattaliklarning kvantlanish shartlarini eslansa, biz kvant sonlarining to'plami yordamida elektron holatini ifodalovchi usulni aniqlagan edik. Avval uchta kvant sonini kiritdik: n -bosh kvant soni, l -orbital, yoki azimutal kvant soni va m -magnit kvant soni. Endi elektron spinini hisobga olgan holda avval kiritilgan uchta kvant soniga to'rtinchi m_s kvant sonini qo'shish zarur. Shunday qilib, atomdagi elektron holati to'rtta kattalik $-E, M^2, M_z$ va s_z , yoki, to'rtta kvant soni $-n, l, m, m_s$ bilan ifodalanadi.

$$S^2 = \hbar^2 s(s+1), \quad s = \frac{1}{2}. \quad (7.15)$$

Olingan (7.14) tenglik elektron spin operatorini kvantlanish shartini ifodalaydi. Uchinchidan, elektron spin operatori kvadratining kvantlanish shartini yozish mumkin, ya'ni

$$S_z = \hbar m_s, \quad m_s = \pm \frac{1}{2}. \quad (7.14)$$

Demak, atomdagi elektronning holatini to'la to'kis ko'rib chiqish uchun elektronning xususiy mexanik momentning mavjudligini hisobga olish kerak. Ikkinchidan, elektron spin operatorining proyeksiyasi faqat ikkita qiymatni qabul qiladi:

$$\hat{S}_z = \hat{S}_x^2 + \hat{S}_y^2 + \hat{S}_z^2 = \frac{3}{4}\hbar^2 \begin{pmatrix} 1 & 0 \\ 0 & 1 \end{pmatrix} = \frac{3}{4}\hbar^2 I. \quad (7.13)$$

Demak, atomdagi elektronning holatini to'la to'kis ko'rib chiqish uchun elektronning xususiy mexanik momentning mavjudligini hisobga olish kerak. Ikkinchidan, elektron spin operatorining proyeksiyasi faqat ikkita qiymatni qabul qiladi:

$$W(x, y, z) \psi_1^* \psi_2 = (y, z, z) \psi_1^* \psi_2 = \psi_1^* \psi_2 \quad (7.7)$$

Agar

$$-\left[\left(\frac{\partial^2}{\partial x^2} \psi_1^* \psi_2 - \frac{\partial^2}{\partial y^2} \psi_1^* \psi_2 \right) + \left(\frac{\partial}{\partial x} \psi_1^* \Delta \psi_2 - \frac{\partial}{\partial y} \psi_1^* \Delta \psi_2 \right) \right] \psi_1^* \psi_2 = \mathbf{J} \quad (7.7)$$

va

$$\left(\frac{\partial^2}{\partial x^2} \psi_1^* \psi_2 + \frac{\partial^2}{\partial y^2} \psi_1^* \psi_2 \right) \mathbf{A} = \frac{e}{m_0 c} \quad (7.7)$$

kabi belgilashlar kiritilsa, hosil bo'lgan (7.7) tenglamani \mathbf{J} -zarrachalar oqimining zichligi va w -ehtimolliklar zichligi uchun uzluksizlik tenglamasi ko'rinishida yozish mumkin u quyidagicha ko'rinishga ega bo'ladi:

$$\frac{\partial w}{\partial t} + \mathbf{J} = 0. \quad (7.5)$$

Ushbu ifodalar shuni ko'rsatadiki, zarrachaning topilish ehtimoli va tok zichligi spini ma'lum yo'nalishda bo'lgan elektronlarga tegishli alohida qismlarning yig'indisidan iborat bo'ladi. Ehtimolliklarning normirovka sharti

$$\int (\psi_1^* \psi_1 + \psi_2^* \psi_2) dx dy dz = 1$$

ko'rinishga ega bo'ladi. $w_1(x, y, z, t) \psi_1^* \psi_2 = w_2(x, y, z, t) \psi_1^* \psi_2$ ifodalar spinlar mos holda $S_z = +\frac{\hbar}{2}$ va $S_z = -\frac{\hbar}{2}$ bo'lgan elektronlarning t vaqt momentida (x, y, z) nuqtada topilish ehtimollik zichliklaridir.

7.6. Zeyeman effekti

Agar nurlanayotgan yoki nurlanish yutayotgan atomni tashqi elektr yoki magnit maydonga joylashtirilsa muhim optikaviy hodisalar ro'y beradi: qo'shimcha nurlanish va yutilish spektrlarining vujudga kelishi, yorug'likning qutblanish xarakteristikalarining o'zgarishi va boshqa turli xil o'zgarishlar yuz beradi.

Elektromagnit to'lqinlar, xususan yorug'likning, nurlanish muammosi atom tuzilishi nazariyasida muhim o'rin tutadi, chunki yorug'lik atomning ichki tuzilishi to'g'risida eng ko'p ma'lumot beradi.

Elektronlar kashf etilgandan so'ng, yorug'lik elektronlarning harakati tufayli nurlanishi aniq bo'lib qoldi. Magnit maydonning

$$\sigma_x = \begin{pmatrix} 0 & e^{i\alpha} \\ e^{-i\alpha} & 0 \end{pmatrix}$$

$e^{i\alpha}$ va $e^{-i\alpha}$ sonlar qanoatlantirishadi. Shunday qilib, matritsa bo'lganligini hisobga olinsa, uning elementlari bir biringa kompleks ko'shma bo'lishi kerak, ya'ni $a_{12} = a_{21}$. Bu ikkita talabni faqat natija kelib chiqadi. Demak, $a_{12}a_{21} = 1$ bo'lishi kerak va σ_x matritsa ermit matritsa bo'lganligini hisobga olinsa, uning elementlari bir biringa kompleks ko'shma bo'lishi kerak, ya'ni $a_{12} = a_{21}$. Bu ikkita talabni faqat $e^{i\alpha}$ va $e^{-i\alpha}$ sonlar qanoatlantirishadi. Shunday qilib,

$$\sigma_x = \begin{pmatrix} 0 & a_{12} \\ a_{21} & 0 \end{pmatrix}$$

hosil qilinadi. Lekin $\sigma_x^2 = I$, ya'ni birlik matritsaga tengligi hisobga olinsa

$$\sigma_x^2 = \begin{pmatrix} 0 & a_{12} & 0 & 0 \\ a_{21} & 0 & 0 & 0 \\ 0 & 0 & a_{12} & 0 \\ 0 & a_{21} & 0 & 0 \end{pmatrix} = \begin{pmatrix} 1 & 0 \\ 0 & 1 \end{pmatrix}$$

matritsa bo'lganligini hisobga olinsa, uning elementlari bir biringa kompleks ko'shma bo'lishi kerak, ya'ni $a_{12} = a_{21}$. Bu ikkita talabni faqat natija kelib chiqadi. Demak, $a_{12}a_{21} = 1$ bo'lishi kerak va σ_x matritsa ermit matritsa bo'lganligini hisobga olinsa, uning elementlari bir biringa kompleks ko'shma bo'lishi kerak, ya'ni $a_{12} = a_{21}$. Bu ikkita talabni faqat $e^{i\alpha}$ va $e^{-i\alpha}$ sonlar qanoatlantirishadi. Shunday qilib,

$$\begin{pmatrix} a_{11} & -a_{12} \\ a_{21} & -a_{22} \end{pmatrix} = - \begin{pmatrix} a_{11} & a_{12} \\ -a_{21} & -a_{22} \end{pmatrix}$$

ifoda kelib chiqadi. Demak, $a_{11} = -a_{11} = 0$ va $a_{22} = -a_{22} = 0$ kelib chiqadi, demak

$$\sigma_z \sigma_x = \begin{pmatrix} 1 & 0 \\ 0 & -1 \end{pmatrix} \begin{pmatrix} a_{11} & a_{12} \\ a_{21} & a_{22} \end{pmatrix} = \begin{pmatrix} a_{11} & a_{12} \\ -a_{21} & -a_{22} \end{pmatrix}$$

$$\sigma_x \sigma_z = \begin{pmatrix} a_{11} & a_{12} \\ a_{21} & a_{22} \end{pmatrix} \begin{pmatrix} 1 & 0 \\ 0 & -1 \end{pmatrix} = \begin{pmatrix} a_{11} & -a_{12} \\ a_{21} & -a_{22} \end{pmatrix}$$

Bu ikkala ko'paytmalarning antikommutativligi hisobga olinsa,

$$\sigma_x = \begin{pmatrix} a_{11} & a_{12} \\ a_{21} & a_{22} \end{pmatrix}$$

ko'rinishda olinadi. Ikkinchidan, σ_x va σ_z matritsalarining antikommutativligidan foydalanib, $\sigma_x \sigma_z$ va $\sigma_z \sigma_x$ ko'paytmalar hisoblab chiqiladi va ularning natijalari uchun quyidagilar olinadi:

Avvalo, izlanayotgan σ_x matritsa ermit matritsa bo'lishi kerak, chunki bu matritsa dinamik o'zgaruvchini ifodalaydi, uning a_{11} va a_{22} diagonal elementlari haqiqiy bo'lishi kerak, a_{12} va a_{21} elementlari esa bir-biriga kompleks qo'shma bo'lishi kerak, ya'ni σ_x matritsani

VIII bob ZARRACHALARNING SPINI VA ULARNING AYVAN O'XSHASHLIGI

7.1. Elektromning spini

O'tgan paragraflarda bayon qilingan kvant mexanikasi o'zining aniq va soddaligiga qaramay bir necha kamchiliklardan holi emas. Shu kamchiliklardan ikkitasini ko'rib chiqaylik. Asosiy holatdagi vodород atomi (5.40) tenglamaga binoan birga teng bo'lgan n bosh kvant soniga egadir va $n=1$ bo'lganida l orbital kvant soni va n_r radial kvant soni nolga teng bo'lishlari kerak, chunki (5.40) tenglamaga binoan l va n_r lar noldan kichik qiymatga teng bo'lishlari mumkin emas. Shunday qilib, vodород atomining asosiy holati S-holat bo'ladi. Ushbu holatdagi vodород atomlarining dastasini bir jinsli bo'lmagan magnit maydoni orqali o'tkazilganda tajribada dasta ikki simmetrik komponentaga ajraladi. Lekin $l=0$ bo'lganida orbital moment bo'yicha atomlar dastasi komponentalarga ajralmasligi kerak edi. Agar dastada uyg'otilgan holatdagi, masalan $l=1$ bo'lgan atomlar ham mavjud bo'lsa, dasta $m_z = 0, \pm 1$ qiymatlar soniga mos ravishda uchta komponentalarga ajralishi kerak edi. Mashhur fiziklar O. Shern va V. Gerlax tomonidan 1921-yilda o'tkazilgan tajribasi ko'rsatdiki, asosiy holatdagi kumush atomlarining dastasi bita dastaga ham uchta komponentaga ham ajralmasdan, faqat ikkita komponentaga ajralar ekan. Bu tajriba kvant mexanikasining rivojlanishiga katta hissa qo'shib, fazoviy kvantlanish mavjudligini va elektronlar hamda atomlar magnit momentlarining qiymatlari diskret xarakterga egaligini tasdiqladi. Shunday qilib, atomning holati aslida uchta n, l, m_z kvant sonlari bilanгина emas, balki dastaning ajralishini ifodalovchi yana bir kvant soni bilan ham aniqlanadi. Kvant nazariyasi bilan tajriba natijalari o'rtasida mavjud bo'lgan ikkinchi muhim tafvut Zeyemanning anomal effekti bilan bog'langandir.

Yuqorida bayon etilgan atom fizikadagi bir qator kamchiliklarni bartaraf qilish uchun 1925-yilda Ulenbek va Gaudsmit quyidagi g'oyani taklif etishdi. Ularning fikriga binoan, elektron orbital harakat miqdori momentidan tashqari, hususiy harakat miqdori momentiga ham ega. Elektron har qanday chekli o'lehamlarga ega bo'lgan jism kabi uchta

$$\begin{pmatrix} 0 & 0 \\ \psi_2 & \psi_1 \end{pmatrix} = \psi \quad (7.19)$$

bitta qatorga ega bo'lgan matritsa korinishida yozish mumkin:

$$\begin{pmatrix} 0 & \psi_2 \\ \psi_1 & \psi_1 \end{pmatrix} = \psi \quad (7.18)$$

Ushbu (7.18) to'lqin funksiyasi uchun qo'shma funksiya ψ ni bitta qatorga umumiy to'lqin funksiyasi orqali ifodalash mumkin:

$$\psi = \frac{1}{\sqrt{2}} \begin{pmatrix} \psi_1 \\ \psi_2 \end{pmatrix} \quad (7.17)$$

$$\psi = \frac{1}{\sqrt{2}} \begin{pmatrix} \psi_1 \\ \psi_2 \end{pmatrix} \quad (7.16)$$

funksiyani ikkita to'lqin funksiyasiga ajratib yoziladi:

Avvalo, izlanayotgan σ_x matritsa ermit matritsa bo'lishi kerak, chunki bu matritsa dinamik o'zgaruvchini ifodalaydi, uning a_{11} va a_{22} diagonal elementlari haqiqiy bo'lishi kerak, a_{12} va a_{21} elementlari esa bir-biriga kompleks qo'shma bo'lishi kerak, ya'ni σ_x matritsani

$$\sigma_x = \begin{pmatrix} a_{11} & a_{12} \\ a_{21} & a_{22} \end{pmatrix} \quad (7.15)$$

ko'rinishda olinadi. Ikkinchidan, σ_x va σ_z matritsalarining antikommutativligidan foydalanib, $\sigma_x \sigma_z$ va $\sigma_z \sigma_x$ ko'paytmalar hisoblab chiqiladi va ularning natijalari uchun quyidagilar olinadi:

Avvalo, izlanayotgan σ_x matritsa ermit matritsa bo'lishi kerak, chunki bu matritsa dinamik o'zgaruvchini ifodalaydi, uning a_{11} va a_{22} diagonal elementlari haqiqiy bo'lishi kerak, a_{12} va a_{21} elementlari esa bir-biriga kompleks qo'shma bo'lishi kerak, ya'ni σ_x matritsani

$$\sigma_x = \begin{pmatrix} a_{11} & a_{12} \\ a_{21} & a_{22} \end{pmatrix} \quad (7.14)$$

Avvalo, izlanayotgan σ_x matritsa ermit matritsa bo'lishi kerak, chunki bu matritsa dinamik o'zgaruvchini ifodalaydi, uning a_{11} va a_{22} diagonal elementlari haqiqiy bo'lishi kerak, a_{12} va a_{21} elementlari esa bir-biriga kompleks qo'shma bo'lishi kerak, ya'ni σ_x matritsani

$$\sigma_x = \begin{pmatrix} a_{11} & a_{12} \\ a_{21} & a_{22} \end{pmatrix} \quad (7.13)$$

$$\sigma_x = \begin{pmatrix} a_{11} & a_{12} \\ a_{21} & a_{22} \end{pmatrix} \quad (7.12)$$

$$\sigma_x = \begin{pmatrix} a_{11} & a_{12} \\ a_{21} & a_{22} \end{pmatrix} \quad (7.11)$$

Avvalo, izlanayotgan σ_x matritsa ermit matritsa bo'lishi kerak, chunki bu matritsa dinamik o'zgaruvchini ifodalaydi, uning a_{11} va a_{22} diagonal elementlari haqiqiy bo'lishi kerak, a_{12} va a_{21} elementlari esa bir-biriga kompleks qo'shma bo'lishi kerak, ya'ni σ_x matritsani

$$\sigma_x = \begin{pmatrix} a_{11} & a_{12} \\ a_{21} & a_{22} \end{pmatrix} \quad (7.10)$$

$$\sigma_x = \begin{pmatrix} a_{11} & a_{12} \\ a_{21} & a_{22} \end{pmatrix} \quad (7.9)$$

Avvalo, izlanayotgan σ_x matritsa ermit matritsa bo'lishi kerak, chunki bu matritsa dinamik o'zgaruvchini ifodalaydi, uning a_{11} va a_{22} diagonal elementlari haqiqiy bo'lishi kerak, a_{12} va a_{21} elementlari esa bir-biriga kompleks qo'shma bo'lishi kerak, ya'ni σ_x matritsani

$$\sigma_x = \begin{pmatrix} a_{11} & a_{12} \\ a_{21} & a_{22} \end{pmatrix} \quad (7.8)$$

Avvalo, izlanayotgan σ_x matritsa ermit matritsa bo'lishi kerak, chunki bu matritsa dinamik o'zgaruvchini ifodalaydi, uning a_{11} va a_{22} diagonal elementlari haqiqiy bo'lishi kerak, a_{12} va a_{21} elementlari esa bir-biriga kompleks qo'shma bo'lishi kerak, ya'ni σ_x matritsani

$$\sigma_x = \begin{pmatrix} a_{11} & a_{12} \\ a_{21} & a_{22} \end{pmatrix} \quad (7.7)$$

Yuqorida qayd etilgan tajribalardan ma'lum bo'ldiki, spin faqat ikki yo'nalishgagina ega bo'lishi mumkin, ya'ni $2s+1=2$, demak, $s = \frac{1}{2}$ ekanligi kelib chiqadi. U holda, Ulenbek va Gaudsmitning g'oyasiga asosan, elektron xususiy mexanik momentining tanlangan z -yo'nalishga proyeksiyasi \hbar doimiyning yarim butunlarida o'lchanadi va faqat ikkita qiymat qabul qiladi, ya'ni

$$S_z = \hbar m_s.$$

Bunda m_s - mexanik spin momenti proyeksiyasini aniqlovchi magnit kvant soni.

Tanlangan z yo'nalishi bo'yicha spinning $(2s+1)$ ta proyeksiyalari qiymatlari bir-biridan bir birlikka farq qilishi kerak, ya'ni:

$$S^2 = \hbar^2 s(s+1)$$

kelib chiqadi. Tanlangan z yo'nalishi bo'yicha spinning $(2s+1)$ ta proyeksiyalari qiymatlari bir-biridan bir birlikka farq qilishi kerak, ya'ni:

$$\hat{H} = \frac{1}{2m_e} \left(\hat{\mathbf{P}} + \frac{e}{c} \mathbf{A} \right)^2 \Psi - eV + U - \left(\frac{e\hbar}{2m_e c} \right) (\boldsymbol{\sigma} \mathbf{H}) \Psi. \quad (7.33)$$

Shunday qilib, elektromagnit maydonida harakatlanuvchi spinga ega bo'lgan elektron uchun Gamilton operatori quyidagi ko'rinishda bo'ladi:

$$\hat{H} \Psi = \frac{1}{2m_e} \left(\hat{\mathbf{P}} + \frac{e}{c} \mathbf{A} \right)^2 \Psi - eV + U - \left(\frac{e\hbar}{2m_e c} \right) (\boldsymbol{\sigma} \mathbf{H}) \Psi. \quad (7.32)$$

hisobga olgan holda quyidagi ko'rinishda ochib chiqiladi:

$$\hat{H} \Psi = \frac{1}{2m_e} \left(\hat{\mathbf{P}} + \frac{e}{c} \mathbf{A} \right)^2 \Psi - eV + U - \left(\frac{e\hbar}{2m_e c} \right) (\boldsymbol{\sigma} \mathbf{H}) \Psi. \quad (7.31)$$

Bunda $\mathbf{H} = -\nabla^2$ - tashqi magnit maydonning kuchlanganligini ifoda qiladi. Qaralayotgan potensial energiya operatori U ni hisobga olgan holda quyidagi ko'rinishda ochib chiqiladi:

$$\sigma_z = \begin{pmatrix} 1 & 0 \\ 0 & -1 \end{pmatrix} \quad (7.7)$$

u holda, σ_z^2 faqat 1 ga teng bo'lgan xususiy qiymatga ega bo'lib, birluk matrisa orqali ifodalinishi kerak. Koordinata sistemasi uchun barcha uchala o'qlari teng huquqli bo'lganligi sababli, σ_x^2 va σ_y^2 operatorlarning qiymatlari ham birga teng bo'lishi kerak, ya'ni

$$\sigma_x^2 = \sigma_y^2 = \sigma_z^2 = I = \begin{pmatrix} 1 & 0 \\ 0 & 1 \end{pmatrix} \quad (7.8)$$

ga teng bo'ladi. Endi $\boldsymbol{\sigma}$ matritsaning komponentalari uchun quyidagi munosabatlarni keltrib chiqaraylik, σ_z va σ_y^2 lar o'zaro kommutativ, ya'ni:

$$\sigma_y^2 \sigma_z - \sigma_z \sigma_y^2 = 0$$

bo'lganligi sababli, bu tenglikni quyidagi ko'rinishda yozish mumkin:

$$\sigma_y (\sigma_y \sigma_z - \sigma_z \sigma_y) + (\sigma_y \sigma_z - \sigma_z \sigma_y) \sigma_y = 0$$

(7.6) munosabatlardan foydalanilisa,

$$\sigma_y (2i\sigma_x) + (2i\sigma_x) \sigma_y = 0$$

bo'ladi, yoki

$$\sigma_y \sigma_x + \sigma_x \sigma_y = 0$$

ya'ni

$$\sigma_y \sigma_x = -\sigma_x \sigma_y \quad (7.9)$$

munosabatlarni olish mumkin. (7.9) ko'rinishdagi munosabatlarni ganoatlantiruvchi matritsalarini antikommutativ matritsalar deyiladi. $\sigma_x, \sigma_y, \sigma_z$ matritsalarining har biri alohida, (7.6) munosabatlarni hisobga olgan holda, boshqalari bilan antikommutativ bo'lishi kerak, ya'ni

$$\sigma_y \sigma_z - \sigma_z \sigma_y = 2i\sigma_x$$

tenglikni hisobga olinsa, quyidagi munosabatlarni olish mumkin:

$$\begin{aligned} \sigma_y \sigma_z &= -\sigma_z \sigma_y = i\sigma_x, \\ \sigma_x \sigma_z &= -\sigma_z \sigma_x = i\sigma_y, \\ \sigma_x \sigma_y &= -\sigma_y \sigma_x = i\sigma_z. \end{aligned} \quad (7.10)$$

σ_z matritsaning ko'rinishini aniqlagan edik va u (7.7) formula bilan berilgan edi. Endi σ_x va σ_y larning aniq ko'rinishlarini aniqlab olaylik.

bunda \hat{H}_0 orqali $\boldsymbol{\sigma}$ - spin operatorlarni o'z ichiga olmagan hadlar yig'indisi belgilab olingan. Endi (7.35) dan Ψ qo'shimcha funktsiya

$$i\hbar \frac{\partial \Psi}{\partial t} = \hat{H}_0 \Psi + \frac{e\hbar}{2m_e c} (\boldsymbol{\sigma} \mathbf{H}) \Psi, \quad (7.35)$$

tenglamasini quyidagi ko'rinishda yoziladi:

$$i\hbar \frac{\partial \Psi}{\partial t} = \frac{1}{2m_e} \left(\hat{\mathbf{P}} + \frac{e}{c} \mathbf{A} \right)^2 \Psi - eV + U + \left(\frac{e\hbar}{2m_e c} \right) (\boldsymbol{\sigma} \mathbf{H}) \Psi \quad (7.34)$$

bunda $\Psi = \begin{pmatrix} \psi_1 \\ \psi_2 \end{pmatrix}$ matritsa ko'rinishida olingan.

Pauli tenglamasidan foydalangan holda, ehtimollik oqim zichligi vektorini aniqlash mumkin. Shu maqsadda (7.34) dagi Pauli tenglamasini quyidagi ko'rinishda yoziladi:

$$(7.33) \text{ formulada elektronning zaryadini } -e \text{ ga teng deb olingan.}$$

Hosil qilingan Gamiltonian spinga bog'liq bo'lganligi sababli, elektronning to'lqin funktsiyasi $\Psi = \Psi(\psi_1, \psi_2)$ ko'rinishga ega bo'ladi.

Bu to'lqin funktsiyasi uchun magnit maydonidagi to'lqin tenglamasi birinchi bo'lib, V.Pauli tomonidan kiritilgan va uning nomi bilan nomlangan. Ushbu tenglamaning ko'rinishi quyidagicha bo'ladi:

$$\hat{H} \Psi = \frac{1}{2m_e} \left(\hat{\mathbf{P}} + \frac{e}{c} \mathbf{A} \right)^2 \Psi - eV + U - \left(\frac{e\hbar}{2m_e c} \right) (\boldsymbol{\sigma} \mathbf{H}) \Psi. \quad (7.32)$$

Shunday qilib, elektromagnit maydonida harakatlanuvchi spinga ega bo'lgan elektron uchun Gamilton operatori quyidagi ko'rinishda bo'ladi:

hisobga olmasak bo'ladi. Shuning uchun, bu yaqinlashishda (7.17) va (7.17') orqali ifodalangan to'lqin funktsiyalarni

$$\psi_1(x, y, z, t) = \psi_2(x, y, z, t) = \psi(x, y, z, t) \quad (7.20)$$

ko'rinishda yozish mumkin. Ammo, bu holatda ham elektroni spinga ega bo'lgan zarracha ekanligi nazarda tutilsa, u holda (7.16) to'lqin funktsiyani o'zgaruvchilari ajralgan ikkita funktsiya ko'paytmasi sifatida ko'rish mumkin:

$$\psi_1 = \psi(x, y, z, S_z, t) = \psi(x, y, z, t) \cdot S_z(S_z). \quad (7.21)$$

Bu yerda $S_z(S_z)$ orqali spin funktsiya belgilangan α indeks ikkita $\pm \frac{1}{2}$ qiymatni qabul qiladi. Kiritilgan $S_z(S_z)$ spin funktsiyasi aslida \hat{S}_z operatorning xususiy funktsiyalari bo'lishadi va

$$S_{+1} \left(\frac{\hbar}{2} \right) = 1, \quad S_{+1} \left(-\frac{\hbar}{2} \right) = 0 \quad (7.22)$$

$$S_{-1} \left(\frac{\hbar}{2} \right) = 0, \quad S_{-1} \left(-\frac{\hbar}{2} \right) = 1 \quad (7.22')$$

bo'ladi.

7.4. To'la mexanik va magnit moment

Yuqoridagi paragraflardan ma'lum bo'ldiki, zarracha diskret xususiy qiymat qabul qiluvchi orbital harakat miqdori momenti \mathbf{M} ga va spin harakat miqdori momenti \mathbf{S} ga ega bo'ladi. Vektor operatorlarni qo'shish qoidalariga asosan zarrachaning to'la harakat miqdori momentini \mathbf{J} orqali belgilansa, u holda \mathbf{J} to'la moment \mathbf{M} orbital va \mathbf{S} spin momentining vektor yig'indisiga teng bo'ladi:

$$\mathbf{J} = \mathbf{M} + \mathbf{S}. \quad (7.23)$$

Orbital moment va spin moment operatorlari turli xususiy qiymat qabul qiluvchi orbital harakat miqdori momenti ifodalariga ta'sir qiladi, ya'ni orbital harakat miqdori momenti fazoviy o'zgaruvchilarga, spin harakat miqdori momenti esa faqat spin o'zgaruvchilarga ta'sir qiladi. Shuning uchun, yuqoridagi ikki operatorlar o'zaro kommutativ bo'ladi. Demak, to'la mexanik moment operatorning proyeksiyalari orbital moment proyeksiyalari va spin moment proyeksiyalarni ganoatlantiruvchi kommutatsiya qoidalariga ham bo'yinishi kerak, xususan bitta komponentasi uchun:

Relyativistik kvant mexanikasi asoslarini o'rganishga bog'ishlangan paragraflarda elektron spinining mavjudligini va u bilan bog'liq bo'lgan bir qator xossalarni nazariy jihatdan keltirib chiqarish mumkin. Lekin elektronning spini to'g'risidagi bir qator tushunchalarni

7.2. Elektronning spin operatorlari

Gaaz tomonidan o'tkazilgan tajribalar natijasida xususiy mexanik va xususiy magnet momentlarning nisbatini aniqlashda olingan edi. O. Shtern va V. Gerlax tajribalaridan keyin fazoviy kvantlanishni kuzatish ustida bir qator tajribalar o'tkazildi va ularning barchasida orbital mexanik moment ham, spin moment uchun ham fazoviy kvantlanish mavjudligi tasdiqlandi. Shunday qilib, spin tushunchasining kiritilishi atom spektr chiziqlarini o'rganishda, Zeyeman effektlarini tushuntirishda muvaffaqiyatli bo'lib qolmasdan, balki makroskopik jismlarning xossalari tushuntirishda ham katta rol o'ynaydi.

(5.88) dan ma'lumki, orbital mexanik va orbital magnet momentlarning nisbati $-\frac{e}{2m_e c}$ ga teng. Ushbu (7.3) formula A. Eynshtein va V. de-

$$\mathbf{E} = -\frac{e}{m_e c} \mathbf{S}, \quad (7.3)$$

uning absolyut miqdori butun Bor magnetoniga teng bo'lib chiqdi.

Vodorod atomi dastasini bir jinsli bo'lmagan magnet maydonida ikki komponentaga ajralishining sababi ana shu tarzda tushuntiriladi. (7.1) va (7.2) formulalardan ko'rinish turibdiki, spin magnet moment va spin mexanik momentlari orasida quyidagicha bog'lanish mavjud:

$$\mathbf{E}_z = \pm \mathbf{E}_B = \pm \frac{eh}{2m_e c} \quad (7.2)$$

Ushbu g'oyani ular, atom spektrlarini o'rganish borasida olingan tajriba natijalaridan kelib chiqqan holda, elektronning xususiy mexanik momentining mavjudligi bilan bir qatorda elektronning xususiy magnet momentini ham mavjud degan xulosa bilan to'ldirishadi. Elektron spin magnet momentini tashqi magnet maydon yo'nalishiga proyeksiyasi ham faqat ikki qiymatni qabul qila oladi, ya'ni

$$S_z = \pm \frac{\hbar}{2}. \quad (7.1)$$



$$\begin{aligned} \hat{J}^2 \hat{J}_x - \hat{J}_x \hat{J}^2 &= 2(\hat{M}_x \hat{S}_x - \hat{S}_x \hat{M}_x) \hat{J}_y - 2(\hat{M}_y \hat{S}_y - \hat{S}_y \hat{M}_y) \hat{J}_z \\ &= 2(\hat{M}_x \hat{S}_x - \hat{S}_x \hat{M}_x) \hat{J}_y - 2(\hat{M}_y \hat{S}_y - \hat{S}_y \hat{M}_y) \hat{J}_z \end{aligned} \quad (7.27)$$

bo'lab,

$$\hat{J}_x \hat{J}_y - \hat{J}_y \hat{J}_x = i\hbar \hat{J}_z, \quad (7.25)$$

$$\hat{J}_y \hat{J}_z - \hat{J}_z \hat{J}_y = i\hbar \hat{J}_x, \quad (7.26)$$

$$\hat{J}_z \hat{J}_x - \hat{J}_x \hat{J}_z = i\hbar \hat{J}_y. \quad (7.27)$$

Endi to'la harakat miqdori momenti operatorining kvadratini hisoblab chiqaylik. Buning uchun quyidagi ifodani hisoblash kerak:

$$\begin{aligned} \hat{J}^2 &= (\hat{M} + \hat{S})^2 = \hat{M}^2 + \hat{S}^2 + 2\hat{M}\hat{S} \\ &= \hat{M}^2 + \hat{S}^2 + 2(\hat{M}_x \hat{S}_x + \hat{M}_y \hat{S}_y + \hat{M}_z \hat{S}_z). \end{aligned}$$

Olingan munosabatlardan foydalanib, $\hat{J}^2 \hat{J}_x \hat{J}^2 - \hat{J}_x \hat{J}^2 \hat{J}^2$ ayirma hisoblab chiqiladi, bunda \hat{M}_x va \hat{S}_x operatorlar \hat{M}^2 va \hat{S}^2 operatorlar bilan kommutativ ekanligini hisobga olish kerak. U holda,

$$\begin{aligned} \hat{J}^2 \hat{J}_x - \hat{J}_x \hat{J}^2 &= 2(\hat{M}_x \hat{S}_x + \hat{M}_y \hat{S}_y + \hat{M}_z \hat{S}_z)(\hat{M}_x + \hat{S}_x) - \\ &\quad - 2(\hat{M}_x + \hat{S}_x)(\hat{M}_x \hat{S}_x + \hat{M}_y \hat{S}_y + \hat{M}_z \hat{S}_z). \end{aligned}$$

Oxirgi tenglikdagi qavslarni ochib,

$$\begin{aligned} \hat{J}^2 \hat{J}_x - \hat{J}_x \hat{J}^2 &= 2[(\hat{M}_x \hat{M}_x - \hat{M}_x \hat{M}_x - \hat{M}_x \hat{M}_z) \hat{S}_z + \\ &\quad + \hat{M}_y (\hat{S}_y \hat{S}_x - \hat{S}_x \hat{S}_y) + \hat{M}_z (\hat{S}_z \hat{S}_x - \hat{S}_x \hat{S}_z)]. \end{aligned}$$

natijaga kelinadi. Bu ifodalarga (3.56) va (7.4) lardagi qavs ichidagi ifodalarning qiymatlarni qo'yib chiqilsa, quyidagi munosabat hosil qilinadi:

$$\hat{J}^2 \hat{J}_x - \hat{J}_x \hat{J}^2 = 2[-i\hbar \hat{M}_z \hat{S}_y + i\hbar \hat{M}_y \hat{S}_z - i\hbar \hat{M}_x \hat{S}_z + i\hbar \hat{M}_z \hat{S}_y] = 0.$$

Shunga o'xshash boshqa komponentalar uchun ham huddi shunday munosabatlarni keltirib chiqarish mumkin. Shunday qilib,

$$\begin{aligned} \hat{J}^2 \hat{J}_x - \hat{J}_x \hat{J}^2 &= 0, \\ \hat{J}^2 \hat{J}_y - \hat{J}_y \hat{J}^2 &= 0, \\ \hat{J}^2 \hat{J}_z - \hat{J}_z \hat{J}^2 &= 0. \end{aligned} \quad (7.26)$$

norelativistik kvant mexanikasi nazariyasidan ham keltirib chiqarish va muhim natijalarga kelish mumkin.

Avvalo Ulenbek va Gaudsmit g'oyasining matematik ifodasiga o'taylik. Kvant mexikasining asosiy prinsiplariga binoan elektronning spinini chiziqli va o'zaro o'zaro operator yordamida ifodalash kerak. Koordinata yo'nalishiga bo'lgan spin operatorlarining proyeksiyalarini S_x, S_y va S_z orqali belgilaylik. Kiritilgan operatorlar proyeksiyalarining ko'rinishini aniqlash uchun oldindan shunday talab qo'yamizki, bu operatorlar $\hat{M}_x, \hat{M}_y, \hat{M}_z$ orbital momentning proyeksiyalari bo'lmagan o'zaro o'rin almashtirish qoidalarini qanoatlantirsin. U holda (3.56) da \hat{M} operatorni \hat{s} bilan almashtirilsa:

$$\begin{cases} \hat{S}_x \hat{S}_y - \hat{S}_y \hat{S}_x = i\hbar \hat{S}_z \\ \hat{S}_y \hat{S}_z - \hat{S}_z \hat{S}_y = i\hbar \hat{S}_x \\ \hat{S}_z \hat{S}_x - \hat{S}_x \hat{S}_z = i\hbar \hat{S}_y \end{cases} \quad (7.4)$$

ifodalar hosil qilinadi. Endi \mathbf{S} vektor o'rniga $\boldsymbol{\sigma}$ vektorni kiritaylik va ular o'zaro quyidagicha bog'langan bo'lsin,

$$\mathbf{S} = \frac{1}{2} \hbar \boldsymbol{\sigma} \quad (7.5)$$

ya'ni $\boldsymbol{\sigma}$ operatorlarni kiritib, ularni spin matritsalar deb nomlanadi. Olingan (7.5) ifodani (7.4) tenglamalarga qo'yib, $\hbar^2/4$ ga qisqartirilsa, $\boldsymbol{\sigma}$ ning komponentalari uchun quyidagi munosabatlarni aniqlash mumkin:

$$\begin{aligned} \sigma_x \sigma_y - \sigma_y \sigma_x &= 2i\sigma_z, \\ \sigma_y \sigma_z - \sigma_z \sigma_y &= 2i\sigma_x, \\ \sigma_z \sigma_x - \sigma_x \sigma_z &= 2i\sigma_y. \end{aligned} \quad (7.6)$$

Asosiy g'oyaga binoan tanlab olingan yo'nalishga spin proyeksiyasi faqat ikkita qiymatni qabul qila oladi, ya'ni \hat{S}_z operatorning xususiy qiymatlari $+\frac{1}{2}\hbar$ va $-\frac{1}{2}\hbar$ ga teng bo'lishi kerak, u holda σ_z matritsaning xususiy qiymatlari esa +1 va -1 sonlariga teng bo'lishi kerak. Demak, σ_z matritsani diagonal elementlari +1 va -1 bo'lgan ikki qatorli diagonal matritsa shaklida bo'lishi kerak, ya'ni

Elektronning xususiy magnet momentining mavjudligini hisobga oluvchi norelativistik to'liq tenglamasini keltirib chiqarish uchun elektromagnet maydonida harakatlantuvchi electron ko'rib chiqiladi. Spin tushunchasini kiritishda ishlatilgan asosiy g'oyaga binoan, elektron (7.3) ga asosan,

$$\mathbf{E} = -\frac{e}{m_e c}$$

$$\hat{P}_x A_x - A_x \hat{P}_x = -i\hbar \frac{\partial A_x}{\partial x}$$

Yuqoridagi hisoblashlarda operatorlarning

$$= -\frac{\hbar^2}{2m_e} \nabla^2 \Psi - \frac{i\hbar e}{m_e c} \mathbf{A} \cdot \text{grad} \Psi - \frac{i\hbar e}{2m_e c} (\text{div} \mathbf{A}) \Psi + \frac{e^2}{2m_e c^2} A^2 \Psi.$$

$$-\frac{i\hbar e}{2m_e c} \left(\frac{\partial A_x}{\partial x} + \frac{\partial A_y}{\partial y} + \frac{\partial A_z}{\partial z} \right) \Psi + \frac{e^2}{2m_e c^2} (A_x^2 + A_y^2 + A_z^2) \Psi =$$

$$= -\frac{\hbar^2}{2m_e} \left(\frac{\partial^2}{\partial x^2} + \frac{\partial^2}{\partial y^2} + \frac{\partial^2}{\partial z^2} \right) \Psi - \frac{i\hbar e}{m_e c} \left(A_x \frac{\partial}{\partial x} + A_y \frac{\partial}{\partial y} + A_z \frac{\partial}{\partial z} \right) \Psi -$$

$$= \frac{1}{2m_e} \left[\left(-i\hbar \frac{\partial}{\partial x} + \frac{e}{c} A_x \right)^2 + \left(-i\hbar \frac{\partial}{\partial y} + \frac{e}{c} A_y \right)^2 + \left(-i\hbar \frac{\partial}{\partial z} + \frac{e}{c} A_z \right)^2 \right] \Psi =$$

(7.46)

Demak,

Demagnit maydonda joylashgan vodородsimon atomning nurlanish spektrini hisoblash mazkur masalaga o'ld (7.34) Pauli tenglamasini yechilishini talab qiladi. Avvalo bu tenglamaning o'ng tomonidagi birinchi hadni kvadratga oshirib, qavslarni ehtiyotkorlik bilan ochib chiqiladi va operatorlarning antikommutativligidan foydalaniladi.

Demagnit maydonda joylashgan vodородsimon atomning nurlanish spektrini hisoblash mazkur masalaga o'ld (7.34) Pauli tenglamasini yechilishini talab qiladi. Avvalo bu tenglamaning o'ng tomonidagi birinchi hadni kvadratga oshirib, qavslarni ehtiyotkorlik bilan ochib chiqiladi va operatorlarning antikommutativligidan foydalaniladi.

Nazariyaning barcha fikrlari, ko'pchilik hollarda, tajribadan olingan natijalar bilan aniq mos kelishi ma'lum bo'ldi.

Demagnit maydonda joylashgan vodородsimon atomning nurlanish spektrini hisoblash mazkur masalaga o'ld (7.34) Pauli tenglamasini yechilishini talab qiladi. Avvalo bu tenglamaning o'ng tomonidagi birinchi hadni kvadratga oshirib, qavslarni ehtiyotkorlik bilan ochib chiqiladi va operatorlarning antikommutativligidan foydalaniladi.

Demagnit maydonda joylashgan vodородsimon atomning nurlanish spektrini hisoblash mazkur masalaga o'ld (7.34) Pauli tenglamasini yechilishini talab qiladi. Avvalo bu tenglamaning o'ng tomonidagi birinchi hadni kvadratga oshirib, qavslarni ehtiyotkorlik bilan ochib chiqiladi va operatorlarning antikommutativligidan foydalaniladi.

holatidagi E_{32} energiyadan kichik bo'lganligini bildiradi. Shunday qilib,

kerak. O'z navbatida bu hol $n = 4, l = 0$ holatdagi E_{40} energiya $n=3, l=2$

mos keladigan N qobiqqa kaliyning so'ngi elektroni joylashtirilishi

hali oxirgacha to'ldirilimaganligiga qaramay, biz $n = 4, l = 0$ holatda

Li va Na atomlariga juda o'xshash. Shuning uchun, M qobiq bu holatda

kimyoviy jihatdan K atom s-holatda bitta tashqi elektronga ega bo'lgan

elektroni $3d$ holatda emas, balki $4s$ holatda joylashgan. Chunki, optik va

birinchi bo'lib K - kaliy atomida kuzatiladi. Kaliy atomining tashqi

pastki qobiqning d va f holatlaridan avval to'ldirila boshlaydi. Bu effekt

ko'rinadiki, oraliq guruh elementlari uchun yuqori qobiqning s holatlari

Elementlarning elektron tuzilishi tasvirlangan 3-jadvaldan

ahamiyatga ega bo'ldi.

qobiqchalarning to'ldirish tartibi ham sezilarli darajada katta qobiqlarning to'ldirish tartibiga emas, balki l bo'yicha qobiqlarning to'ldirilish tartibiga emas, balki l bo'yicha elementlar elektron tuzilishi qonuniyatlarini tasvirlashda n bo'yicha bog'liqligi yanada yaqqolroq namoyon bo'ladi. Shuning uchun, energiyasi n bosh kvant soni bilan bir qatorda l orbital kvant soniga

Ishqoriy metall atomlarida murakkab atom elektronining

to'ldirilish jarayoni yanada murakkablashadi.

davrdan boshlab bu tartib buziladi va keyingi davrlarda qobiqlarning

element elektronlarining to'la soniga teng bo'ladi. Lekin uchinchi

bo'ladi. Davriy sistemaning bosh qismida elektron qobiqlar to'la

bittaga oshirilsa va bitta elektron gacha to'ldirib boriladi. Ar zaryadini

elementidan boshlab Ar - argon gacha to'ldirib boriladi. Ar zaryadini

tegishli bo'lgan holatlar L qobiqga aynan o'xshash va Na natriy

$2 \cdot 3^2 = 18$ ta holatlar mavjud bo'lishi kerak. $l = 1$ va $l = 0$ va $l = 1$ ga

Keyinchalik, Na natriy elementidan boshlab, M qobiq qobiqini

elementidan tashkil topgan ikkinchi davrini ham tuzish mumkin.

Shunday qilib, davriy sistemaning sakkizta

bitta elektron $l = 1$ va $l = 0$ va $l = 1$ ta holatlar mavjud bo'lishi kerak. $l = 1$ va $l = 0$ va $l = 1$ ga

$$\hat{P}_y \Psi = -\Psi. \quad (7.67)$$

Olingan natijalardan quyidagini ta'kidlash lozim: ushbu (7.66) va (7.67) holatlar orasida bir biriga o'tish man etiladi, ya'ni agarda ixtoriy vaqt momentida sistema biror bir simmetriya (simmetrik yoki antisimmetrik) holatida joylashgan bo'lsa, u holda bu sistema vaqt o'tishi davomida ana shu simmetriya (simmetrik yoki antisimmetrik) holatini saqlaydi.

Ushbu mulohazalarni matematik nuqtai nazardan isbotlash mumkin. Buning uchun \hat{P}_y operator bilan \hat{H} gamiltonian operatorini kommutativligini ko'rsatish kifoya. Ikki zarrachadan tashkil topgan sistema uchun gamiltonianing ko'rinishi quyidagicha:

$$\hat{H} = -\frac{\hbar^2}{2m} \nabla_1^2 - \frac{\hbar^2}{2m} \nabla_2^2 + U(q_1, t) + U(q_2, t) + U_{12}(q_1, q_2, t), \quad (7.68)$$

bunda $U_{12}(q_1, q_2, t)$ had zarrachalarning o'zaro ta'sir energiyasini, $U(q_1, t)$ hamda $U(q_2, t)$ hadlar esa zarrachalarning tashqi maydon bilan o'zaro ta'sirni ifodalaydi.

Zarrachalarning o'zaro almashirish natijasida hosil bo'lgan gamiltonianing ko'rinishi

$$\hat{H} = -\frac{\hbar^2}{2m} \nabla_1^2 - \frac{\hbar^2}{2m} \nabla_2^2 + U(q_1, t) + U_{12}(q_1, q_2, t) \quad (7.69)$$

bo'ladi. Ushbu yangi gamiltonian eski gamiltoniandan farq qilmaydi, ya'ni zarrachalarni o'rin almashirish gamiltoniani o'zgartirmaydi.

Olingan natijani N ta zarrachalardan tashkil topgan sistema uchun ham umumlashtirish qiyin emas. Ko'rinib turibdiki, zarrachalarning o'rin almashirish gamiltonianni o'zgartirmaydi, shuning uchun:

$$\hat{H} \hat{P}_y - \hat{P}_y \hat{H} = 0 \quad (7.70)$$

bo'ladi. Shunday qilib, sistemaning simmetriya xossalari vaqt o'tishi bilan saqlanadi va ular harakat integralari qatoriga kiradi.

7.8. Boze va Fermi zarrachalari. Pauli prinsipi

Avvalgi paragrafdan kelib chiqadigan natijaga asosan zarrachalarning aynan o'xshashlik prinsipi binoan kvant mexanikada bir-biri bilan umuman aralashmaydigan ikki holat guruh mavjud. Shuning uchun ular sistemani tashkil qiluvchi zarrachalarning tabiati

bunda α - biror haqiqiy o'zgarmas son. Zarrachalarning o'rini yana bir marta almashirish natijasida sistemaning dastlabki holatiga qaytib kelinadi, ya'ni

$$\hat{P}^2 \Psi(q_1, q_2) = \hat{P} \Psi(q_2, q_1) = \hat{P} e^{i\alpha} \Psi(q_1, q_2) = e^{2i\alpha} \Psi(q_1, q_2) = \Psi(q_1, q_2) \quad (7.63)$$

Demak, \hat{P}^2 operatorning xususiy qiymati $e^{2i\alpha} = 1$ bo'lishi kerak, \hat{P} operatorning xususiy qiymati esa

$$e^{i\alpha} = \pm 1 \quad (7.64)$$

ga teng bo'lishi kerak. Shunday qilib, quyidagi natijaga kelamiz:

$$\Psi(q_1, q_2) = \pm \Psi(q_1, q_2). \quad (7.65)$$

Bir xil zarrachalarni farq qilib bo'lmashlik prinsipi to'liq funktsiyasining o'ziga xos bo'lgan simmetriya xususiyatlarini nomoyon qiladi. Olingan (7.65) munosabatga ko'ra, zarrachalarni o'rin almashirish natijasida to'liq funktsiya uchun faqat ikki imkoniyat mavjud: to'liq funktsiya o'zgaraydi, yoki to'liq funktsiyasining ishorasi o'zgaradi. Zarrachalarni o'rin almashirish natijasida to'liq funktsiyasi o'zgarmasa, u ushbu zarrachalarga nisbatan simmetrik funktsiya bo'ladi va aksincha to'liq funktsiya o'rin almashirish natijasida o'z ishorasini o'zgartirsa, u holda bunday to'liq funktsiyasi antisimmetrik funktsiya bo'ladi. Ravshanki, bitta sistemaning hamma holatlarini ifodalovchi funktsiyalar bir xil simmetriyaga ega bo'lishi lozim, ya'ni u yo simmetrik, yo antisimmetrik bo'lishi darkor.

Olingan natijalarni har qanday ixtoriy sondagi bir xil zarrachalardan tashkil topgan sistemalar uchun umumlashtirish mumkin. O'zaro ta'sir kuchlarini hisobga olmagan holda N ta bir xil zarrachalardan tashkil topgan sistema qarab chiqiladi. Bunday sistemani holatlarini ifodalovchi $\Psi(q_1, q_2, \dots, q_k, \dots, q_j, \dots, q_N, t)$ to'liq funktsiyalari (k, j) juftlik o'rin almashirish natijasida o'z ishorasini o'zgartirishi yoki o'zgartirilmashligi mumkin. Boshqacha aytganda, agar zarrachalarning biror jufti simmetrik to'liq funktsiya bilan ifodalani xossasiga ega bo'lsa, u holda zarrachalarning boshqa hamma juftlari ham shunday xossaga ega bo'ladi. Demak, bir xil zarrachalardan tashkil topgan sistema uchun faqat ikki holat mavjud bo'lishi mumkin: barcha zarrachalar uchun simmetrik holatlar

$$\hat{P}_s \Psi_s = \Psi_s \quad (7.66)$$

va barcha zarrachalar uchun antisimmetrik holatlar

$$\hat{p}\Psi(\theta_1, \theta_2) = \Psi(\theta_1, \theta_2) = \Psi(\theta_1, \theta_2) \Psi(\theta_1, \theta_2) \quad (7.62)$$

U holda yuqoridagi aytilganlarga ko'ra: har biri $\pm \frac{h}{2}$ ga teng bo'lgan spinga ega, demak normal holatda vodorod atomining to'la spini 0 yoki $\pm h$ ga teng bo'lishi kerak. Shunday qilib, vodorod atomi simmetrik to'liq funktsiya orqali tavsiflanadi.

Murakkab zarachalarning taqsimoti ularning tarkibiga kiruvchi elementar fermionlar sonining juft yoki toqligiga bog'liq bo'ladi. Ikki ta murakkab zarachalarning o'rinlarini o'zaro almashtirish bir vaqtning o'zida bir necha juft bir xil elementar zarachalarning o'rinlarini o'zaro almashtirishga ekvivalent bo'ladi. Bozonlarning o'rnini o'zaro almashtirish funksiyasini umuman o'zgartirmaydi, fermionlarning o'rnini almashtrish esa ularning ishorasini qarama-qarshisiga o'zgartiradi. Shuning uchun toq sondagi elementar fermionlardan tashkil topgan murakkab zarachalar Fermi taqsimotiga, juft sondagi fermionlardan tashkil topgan murakkab zarachalar esa, Boze taqsimotiga bo'ysunadi. Masalan, vodorod atomi ikki ta Fermi zarachasidan tashkil topgan: elektron va proton. Bu zarachalarning har biri $\pm \frac{h}{2}$ ga teng bo'lgan spinga ega, demak normal holatda vodorod atomining to'la spini 0 yoki $\pm h$ ga teng bo'lishi kerak. Shunday qilib, vodorod atomi simmetrik to'liq funktsiya orqali tavsiflanadi.

Murakkab zarachalarning taqsimoti ularning tarkibiga kiruvchi elementar fermionlar sonining juft yoki toqligiga bog'liq bo'ladi. Ikki ta murakkab zarachalarning o'rinlarini o'zaro almashtirish bir vaqtning o'zida bir necha juft bir xil elementar zarachalarning o'rinlarini o'zaro almashtirishga ekvivalent bo'ladi. Bozonlarning o'rnini o'zaro almashtirish funksiyasini umuman o'zgartirmaydi, fermionlarning o'rnini almashtrish esa ularning ishorasini qarama-qarshisiga o'zgartiradi. Shuning uchun toq sondagi elementar fermionlardan tashkil topgan murakkab zarachalar Fermi taqsimotiga, juft sondagi fermionlardan tashkil topgan murakkab zarachalar esa, Boze taqsimotiga bo'ysunadi. Masalan, vodorod atomi ikki ta Fermi zarachasidan tashkil topgan: elektron va proton. Bu zarachalarning har biri $\pm \frac{h}{2}$ ga teng bo'lgan spinga ega, demak normal holatda vodorod atomining to'la spini 0 yoki $\pm h$ ga teng bo'lishi kerak. Shunday qilib, vodorod atomi simmetrik to'liq funktsiya orqali tavsiflanadi.

Murakkab zarachalarning taqsimoti ularning tarkibiga kiruvchi elementar fermionlar sonining juft yoki toqligiga bog'liq bo'ladi. Ikki ta murakkab zarachalarning o'rinlarini o'zaro almashtirish bir vaqtning o'zida bir necha juft bir xil elementar zarachalarning o'rinlarini o'zaro almashtirishga ekvivalent bo'ladi. Bozonlarning o'rnini o'zaro almashtirish funksiyasini umuman o'zgartirmaydi, fermionlarning o'rnini almashtrish esa ularning ishorasini qarama-qarshisiga o'zgartiradi. Shuning uchun toq sondagi elementar fermionlardan tashkil topgan murakkab zarachalar Fermi taqsimotiga, juft sondagi fermionlardan tashkil topgan murakkab zarachalar esa, Boze taqsimotiga bo'ysunadi. Masalan, vodorod atomi ikki ta Fermi zarachasidan tashkil topgan: elektron va proton. Bu zarachalarning har biri $\pm \frac{h}{2}$ ga teng bo'lgan spinga ega, demak normal holatda vodorod atomining to'la spini 0 yoki $\pm h$ ga teng bo'lishi kerak. Shunday qilib, vodorod atomi simmetrik to'liq funktsiya orqali tavsiflanadi.

$$\dots, \frac{2}{2}, \frac{2}{2} \quad (7.72)$$

... $\frac{2}{2}, \frac{2}{2}, \frac{2}{2}$ = m $h\nu = S$

teng bo'lgan zarachalar antisimmetrik funktsiyalar orqali ifodalangan. Bunday zarachalarga Fermi-zarachalar deyilgan. Antisimmetrik funktsiyalar bilan tavsiflangan zarachalar Fermi-Dirak taqsimotiga bo'ysunadi va fermionlar deb ataladi. Bozonlarga π - 2π - 4π taqsimotiga bo'ysunadi va fermionlar deb ataladi. Bozonlarga π - 2π - 4π taqsimotiga bo'ysunadi va fermionlar deb ataladi. Bozonlarga π - 2π - 4π taqsimotiga bo'ysunadi va fermionlar deb ataladi. Bozonlarga π - 2π - 4π taqsimotiga bo'ysunadi va fermionlar deb ataladi.

Boze taqsimotiga bo'ysunadi va fermionlar deb ataladi. Bozonlarga π - 2π - 4π taqsimotiga bo'ysunadi va fermionlar deb ataladi. Bozonlarga π - 2π - 4π taqsimotiga bo'ysunadi va fermionlar deb ataladi. Bozonlarga π - 2π - 4π taqsimotiga bo'ysunadi va fermionlar deb ataladi. Bozonlarga π - 2π - 4π taqsimotiga bo'ysunadi va fermionlar deb ataladi.

Boze taqsimotiga bo'ysunadi va fermionlar deb ataladi. Bozonlarga π - 2π - 4π taqsimotiga bo'ysunadi va fermionlar deb ataladi. Bozonlarga π - 2π - 4π taqsimotiga bo'ysunadi va fermionlar deb ataladi. Bozonlarga π - 2π - 4π taqsimotiga bo'ysunadi va fermionlar deb ataladi.

Boze taqsimotiga bo'ysunadi va fermionlar deb ataladi. Bozonlarga π - 2π - 4π taqsimotiga bo'ysunadi va fermionlar deb ataladi. Bozonlarga π - 2π - 4π taqsimotiga bo'ysunadi va fermionlar deb ataladi. Bozonlarga π - 2π - 4π taqsimotiga bo'ysunadi va fermionlar deb ataladi.

$$\sum_{l=0}^{n-1} 2(2l+1) = 2n^2 \quad (7.79)$$

Atom nomerining ortib borishi tartibida gatorga joylashgan elektronlar xossalari davriy ravishda o'zgarishi kuzatilgan va ularning tabiatini tushuntirish atom elektron qobig'larining ketma-ket to'lib borish xususiyatlarini qarab chiqishni talab qiladi. Bir atomdan ikkinchisiga o'tganda zaryad bittaga oshadi va qobiqqa bitta elektron qo'shildi. Elektronlarning davriy sistemasini tuzilishi $n=1$ dan boshlanadi. $n=1$ qobiq bitta qobiqchadan iborat, ya'ni s qobiqchadan, chunki $l=0$. Vodorod atomning bu qobiqchasida ($1s$ holatda) faqat bitta elektron bor. Keyingi element – geliy atomida yana bitta elektron shu $1s$ holatga qo'shildi va shu yangi qo'shilgan elektron spinining yo'nalishi oldingisiga nisbatan qarama-qarshi yo'nalgan bo'ladi. Lekin, geliy atomida har bir elektronning bog'lanish energiyasi vodorod atomidagi elektronning bog'lanish energiyasidan ancha katta. Bu holni geliy yadrosining zaryadi vodorod yadrosining zaryadidan ikki marta katta bo'lgani bilan tushuntirish mumkin. Ikki element – vodorod va geliy davriy sistemasining birinchi davrini tashkil etadi.

Lity atomida Li ($Z=3$) uchinchi elektron $2s$ holatida joylashadi, chunki $1s$ holat bir vaqtning o'zida Pauli prinsipiga binoan 2 ta elektron qabul qila olmaydi, shuning uchun bu elektron L ($n=2$) qobiqni to'ldirishni boshlaydi va $2s$ holatga tushadi. Berilgan Z da $2s$ holat $1s$ holatdan yuqorida joylashgan bo'ladi. To'rtinchi elektron $2s$ holatga joylashadi va berily Be ($Z=4$) elementi hosil bo'ladi. Beshinchi elektron $2s$ qobiqchaga joylashira olmaymiz, chunki bu qobiqcha to'lgan bo'ladi. Shuning uchun keyingi $2p$ qobiqchani to'ldirish boshlanadi va B ($Z=5$) – bor elementi hosil bo'ladi. Natijada ketma-ket uglerod ($CZ=6$), azot ($NZ=7$), kislorod ($OZ=8$), flor ($FZ=9$) elementlar hosil qilish mumkin. $2p$ qobiqchani inert gaz neon Ne ($Z=10$) bilan to'liq yakunlanadi. Demak, Be dan Ne gacha atomlarda ketma-ket avval



antikommutativlik shartidan foydalanamiz. A - vektor-potensialni tanlashdagi ixtiyoriylikdan foydalanib, $div A = 0$ shartini bajarilishi talab qilinadi. Demak, (7.46) ifodani quyidagicha yozish mumkin:

$$\frac{1}{2m_e} \left(\hat{p} + \frac{e}{c} A \right)^2 \Psi = -\frac{\hbar^2}{2m_e} \nabla^2 \Psi - \frac{\hbar e}{m_e c} A \cdot grad \Psi + \frac{e^2}{2m_e c^2} A^2 \Psi. \quad (7.47)$$

Atomdagi elektron bir vaqtning o'zida magnet maydoni va yadroning elektr maydoni ta'sirida bo'ladi. Ta'sir etuvchi yadroning elektr maydonini markaziy maydon deb hisoblaymiz va mazkar maydondagi elektronning potensial energiyasini $U(r)$ orqali belgilamadi. Magnet maydonini esa bir jinsi deb qabul qilindi, uning qiymatini H ga teng deb olamiz va z -o'qi bo'yicha yo'nalgan deb hisoblanadi. Shu tarzda tanlab olingan magnet maydoni A - vektor-potensiallardan hosil bo'lib uning komponentalari quyidagicha bo'ladi:

$$A_x = -\frac{1}{2} H_y, \quad A_y = \frac{1}{2} H_x, \quad A_z = 0. \quad (7.48)$$

Magnet maydoni esa $H = rot A$ bo'lgani uchun uning komponentalari quyidagi ko'rinishda bo'ladi:

$$\begin{aligned} H_x &= (rot A)_x = \frac{\partial A_z}{\partial y} - \frac{\partial A_y}{\partial z} = 0, \\ H_y &= (rot A)_y = \frac{\partial A_x}{\partial z} - \frac{\partial A_z}{\partial x} = 0, \\ H_z &= (rot A)_z = \frac{\partial A_y}{\partial x} - \frac{\partial A_x}{\partial y} = \frac{1}{2} H_x + \frac{1}{2} H_y = H. \end{aligned} \quad (7.49)$$

Yuqorida hosil bo'lgan natijalar hisobga olinib (7.47) dagi $A \cdot grad \Psi$ had uchun

$$A \cdot grad \Psi = A_x \frac{\partial \Psi}{\partial x} + A_y \frac{\partial \Psi}{\partial y} + A_z \frac{\partial \Psi}{\partial z} = \frac{1}{2} H \left(x \frac{\partial \Psi}{\partial y} - y \frac{\partial \Psi}{\partial x} \right)$$

va $A^2 \Psi$ had uchun esa

$$A^2 \Psi = \left(A_x^2 + A_y^2 + A_z^2 \right) \Psi = \frac{1}{4} H^2 (x^2 + y^2) \Psi$$

ifodalarni olish mumkin.

Normalashtirish shartidan a ni qiymati aniqlanadi:

$$\text{Agarda } \sigma_x = -1 \text{ bo'lsa, u holda } \chi_{-1}^{(0)} = a \begin{pmatrix} 1 \\ -1 \end{pmatrix} \text{ bo' ladi.}$$

$$\text{Agarda } \sigma_x = 1 \text{ bo'lsa, u holda } \chi_{+1}^{(0)} = a \begin{pmatrix} 1 \\ 1 \end{pmatrix} \text{ bo' ladi.}$$

tenglilar hosil bo'ladi va mos ravishda, $\sigma_x^2 = 1$, $\sigma_x = \pm 1$ natija olinadi.

Demak, ikkita matritsa tengligidan foydalanilisa $b = \sigma_x a$, $a = \sigma_x b$

$$\begin{pmatrix} b \\ a \end{pmatrix} = \sigma_x \begin{pmatrix} a \\ b \end{pmatrix}$$

quyidagi natijaga ega bo'lamiz:

$$\begin{pmatrix} 0 & 1 \\ 1 & 0 \end{pmatrix} \begin{pmatrix} a \\ b \end{pmatrix} = \sigma_x \begin{pmatrix} a \\ b \end{pmatrix}$$

ifodalanihsa, yuqoridagi birinchi tenglamadan

$$\chi = \begin{pmatrix} a \\ b \end{pmatrix} \text{ matritsa ko'rinishdan}$$

operatorlarning xususiy funksiyalari.

tenglamalarning yechinlaridan $\hat{\sigma}_x, \hat{\sigma}_y, \hat{\sigma}_z$ operatorlarning xususiy funksiyalari va xususiy qiymatlari aniqlanadi. Bunda $\sigma_x, \sigma_y, \sigma_z = \hat{\sigma}_x, \hat{\sigma}_y, \hat{\sigma}_z$ operatorlarning xususiy qiymatlari va $\chi^{(1)}, \chi^{(2)}, \chi^{(3)} = \hat{\sigma}_x, \hat{\sigma}_y, \hat{\sigma}_z$

$$\hat{\sigma}_x \chi^{(1)} = \sigma_x \chi^{(1)}, \hat{\sigma}_x \chi^{(2)} = \sigma_x \chi^{(2)}, \hat{\sigma}_x \chi^{(3)} = \sigma_x \chi^{(3)},$$

Yechish. Berilgan

xususiy funksiyalari va xususiy qiymatlari aniqlansin.

7. Masala. Pauli matritsalarini bilan ifodalangan operatorlarning

kvant sonlari qanday qiymatlar qabul qiladi?

6. J^2 va J_z operatorlarning xususiy qiymatlarini yozing va J, m_j

bo'ladi?

5. To'la moment operatori qanday tuziladi?

4. S_z operatorining xususiy funksiyalari qanday ko'rinishda

bo'ladi?

3. S^2 operator uchun ifodani hosil qiling.

2. O'zining xususiy tasavvurida S_x operatorning ko'rinishi qanday

yoziyadi?

1. O'zining xususiy tasavvurida S_z operatorining ko'rinishi qanday

7.10. VII bobga oid savol va masalalar

K atomidagi elektronlarning taqsimoti $N\alpha$ atomidagi taqsimotga o'xshash bo'ladi (3-jadvalga qarang).

Kaliy atomidan keyingi element kalsiy Ca ($Z=20$) elementidir. Ushbu elementning spektroskopik natijalariga ko'ra (20-rasm), Ca ning elektronini N qobiqqa joylashtirish kerakligi kelib chiqadi. Keyingi elementlar esa M qobiqni skandiy - Sc ($Z=21$) dan boshlab ruh - Zn ($Z=30$) gacha to'ldirib boriladi. Keyinchalik N qobiq kripton Kr ($Z=36$) gacha to'ldirib kelinadi va shu bilan navbatdagi davr ham inert gaz bilan yakunlanadi. Shunday qilib, He atomidan tashqari barcha inert gazlari uchun 8 ta elektron iborat konfiguratsiya o'rinilidir, bulardan 2 tasi s -holatda, qolgan 6 ta elektron esa p holatda joylashgan bo'ladi.

20-rasmda elementlarning ionizatsiya potentsiallari uchun olingan spektroskopik ma'lumotlar keltirilgan, ular har bir elementdan keyingisiga o'tganda qo'shiladigan elektronlarning bog'lanish energiyalarini aniqlaydi. Har xil holatlar ketma-ket to'luvchi guruhlariga quyidagicha taqsimlanadi:

1s	2ta elektron
2s, 2p	8 ta elektron
3s, 3p	8 ta elektron
4s, 3d, 4p	18 ta elektron
5s, 4d, 5p	18 ta elektron
6s, 4f, 5d, 6p	32 ta elektron
7s, 6d, 5f	32 ta elektron

(7.80)

Haqiqatda esa holatlarning bu tartibda to'ldirilishi bajarilmaydi. Kripton elementidan keyingi element - Rb ($Z=37$) rubidiy bo'lib, $N\alpha$ va K elementlarga o'xshab ketadi. Demak Rb dagi tashqi elektron N qobiqqa joylashmasdan, balki yangi O qobiqqa ($n=5$) joylashtiriladi. Stronsiy Sr dagi elektron ham O qobiqqa joylashgan bo'lib, Ca elementiga o'xshab ketadi. Sr dan keyingi elementlar O va N qobiqlardagi bo'sh joylarni to'ldirishadi. Cs ($Z=55$)- Seziy elementidan boshlab P - qobiqni ($n=6$) to'ldirish boshlanadi va o'z ichiga *nodir yer elementlari* deb yuritiluvchi, hammasi bo'lib 32 elementdan tashkil topgan, katta davr keladi.



17. Kislorod atomining elektron konfiguratsiyasini ko'rsating.

16. Bosh kvant soni $n=2$ bo'lgan elektron qobig'idagi

elektronlarning maksimal soni nechta bo'ladi?

15. Bir xil n, l va m kvant sonlari bilan berilgan holatlardagi

atomda nechta elektron joylashishi mumkin?

14. Atomdagi elektron qaysi kvant sonlari bilan ifodalanadi?

13. Simmetrik bo'lmagan to'liqin funksiyasidan tuzilgan

antisimmetrik funksiyaning umumiy ko'rinishi qanday bo'ladi?

12. Zarrachalarning qaysi sinfga elektron tegishli bo'ladi?

nimani tushunasiz?

11. Simmetrik va antisimmetrik to'liqin funksiyalari deganda

bo'ladi?

10. Qaysi o'rin almashirishlariga nisbatan gamiltonian invariant

9. Zarrachalarning aynan o'xshashlik prinsipini ifodalab bering.

8. Elementlar davriy sistemasi nazariyasi negizida yotgan asosiy

tushunchalarni keltiring.

7. Zarrachalarning aynan o'xshashlik prinsipini ifodalab bering.

6. $\chi_{+1}^{(3)}$ va $\chi_{-1}^{(3)}$ funksiyalar mos ravishda spin yo'nalishi z o'qi bo'yicha va

qarama-qarshi yo'nalgan holga tegishlidir.

5. Elementlar davriy sistemasi nazariyasi negizida yotgan asosiy

tushunchalarni keltiring.

4. $\sigma_y = \pm 1$; $\chi_{+1}^{(3)} = \frac{1}{\sqrt{2}} \begin{pmatrix} 1 \\ 1 \end{pmatrix}$; $\chi_{-1}^{(3)} = \frac{1}{\sqrt{2}} \begin{pmatrix} 1 \\ -1 \end{pmatrix}$;

$\sigma_z = \pm 1$; $\chi_{+1}^{(3)} = \begin{pmatrix} 1 \\ 0 \end{pmatrix}$; $\chi_{-1}^{(3)} = \begin{pmatrix} 0 \\ 1 \end{pmatrix}$;

3. $\sigma_y = \pm 1$; $\chi_{+1}^{(3)} = \frac{1}{\sqrt{2}} \begin{pmatrix} 1 \\ 1 \end{pmatrix}$; $\chi_{-1}^{(3)} = \frac{1}{\sqrt{2}} \begin{pmatrix} 1 \\ -1 \end{pmatrix}$;

2. $\sigma_z = \pm 1$; $\chi_{+1}^{(3)} = \begin{pmatrix} 1 \\ 0 \end{pmatrix}$; $\chi_{-1}^{(3)} = \begin{pmatrix} 0 \\ 1 \end{pmatrix}$;

1. $\sigma_y = \pm 1$; $\chi_{+1}^{(3)} = \frac{1}{\sqrt{2}} \begin{pmatrix} 1 \\ 1 \end{pmatrix}$; $\chi_{-1}^{(3)} = \frac{1}{\sqrt{2}} \begin{pmatrix} 1 \\ -1 \end{pmatrix}$;

0. $\sigma_z = \pm 1$; $\chi_{+1}^{(3)} = \begin{pmatrix} 1 \\ 0 \end{pmatrix}$; $\chi_{-1}^{(3)} = \begin{pmatrix} 0 \\ 1 \end{pmatrix}$;

Demak, $a = \frac{1}{\sqrt{2}}$. Shunday qilib,

$$\chi^{(0)} \chi^{(1)} = |\alpha|^2 \begin{pmatrix} 1 \\ 1 \end{pmatrix} \begin{pmatrix} 1 \\ 1 \end{pmatrix} = 2|\alpha|^2 = 1.$$

$$\chi^{(0)} \chi^{(1)} = |\alpha|^2 \begin{pmatrix} 1 \\ 1 \end{pmatrix} \begin{pmatrix} 1 \\ 1 \end{pmatrix} = 2|\alpha|^2 = 1.$$

$$\chi^{(0)} \chi^{(1)} = |\alpha|^2 \begin{pmatrix} 1 \\ 1 \end{pmatrix} \begin{pmatrix} 1 \\ 1 \end{pmatrix} = 2|\alpha|^2 = 1.$$

$$\chi^{(0)} \chi^{(1)} = |\alpha|^2 \begin{pmatrix} 1 \\ 1 \end{pmatrix} \begin{pmatrix} 1 \\ 1 \end{pmatrix} = 2|\alpha|^2 = 1.$$

$$\chi^{(0)} \chi^{(1)} = |\alpha|^2 \begin{pmatrix} 1 \\ 1 \end{pmatrix} \begin{pmatrix} 1 \\ 1 \end{pmatrix} = 2|\alpha|^2 = 1.$$

$$\chi^{(0)} \chi^{(1)} = |\alpha|^2 \begin{pmatrix} 1 \\ 1 \end{pmatrix} \begin{pmatrix} 1 \\ 1 \end{pmatrix} = 2|\alpha|^2 = 1.$$

$$\chi^{(0)} \chi^{(1)} = |\alpha|^2 \begin{pmatrix} 1 \\ 1 \end{pmatrix} \begin{pmatrix} 1 \\ 1 \end{pmatrix} = 2|\alpha|^2 = 1.$$

$$\chi^{(0)} \chi^{(1)} = |\alpha|^2 \begin{pmatrix} 1 \\ 1 \end{pmatrix} \begin{pmatrix} 1 \\ 1 \end{pmatrix} = 2|\alpha|^2 = 1.$$

$$\chi^{(0)} \chi^{(1)} = |\alpha|^2 \begin{pmatrix} 1 \\ 1 \end{pmatrix} \begin{pmatrix} 1 \\ 1 \end{pmatrix} = 2|\alpha|^2 = 1.$$

$$\chi^{(0)} \chi^{(1)} = |\alpha|^2 \begin{pmatrix} 1 \\ 1 \end{pmatrix} \begin{pmatrix} 1 \\ 1 \end{pmatrix} = 2|\alpha|^2 = 1.$$

$$\chi^{(0)} \chi^{(1)} = |\alpha|^2 \begin{pmatrix} 1 \\ 1 \end{pmatrix} \begin{pmatrix} 1 \\ 1 \end{pmatrix} = 2|\alpha|^2 = 1.$$

$$\chi^{(0)} \chi^{(1)} = |\alpha|^2 \begin{pmatrix} 1 \\ 1 \end{pmatrix} \begin{pmatrix} 1 \\ 1 \end{pmatrix} = 2|\alpha|^2 = 1.$$

$$\chi^{(0)} \chi^{(1)} = |\alpha|^2 \begin{pmatrix} 1 \\ 1 \end{pmatrix} \begin{pmatrix} 1 \\ 1 \end{pmatrix} = 2|\alpha|^2 = 1.$$

$$\chi^{(0)} \chi^{(1)} = |\alpha|^2 \begin{pmatrix} 1 \\ 1 \end{pmatrix} \begin{pmatrix} 1 \\ 1 \end{pmatrix} = 2|\alpha|^2 = 1.$$

$$\chi^{(0)} \chi^{(1)} = |\alpha|^2 \begin{pmatrix} 1 \\ 1 \end{pmatrix} \begin{pmatrix} 1 \\ 1 \end{pmatrix} = 2|\alpha|^2 = 1.$$

$$\chi^{(0)} \chi^{(1)} = |\alpha|^2 \begin{pmatrix} 1 \\ 1 \end{pmatrix} \begin{pmatrix} 1 \\ 1 \end{pmatrix} = 2|\alpha|^2 = 1.$$

$$\chi^{(0)} \chi^{(1)} = |\alpha|^2 \begin{pmatrix} 1 \\ 1 \end{pmatrix} \begin{pmatrix} 1 \\ 1 \end{pmatrix} = 2|\alpha|^2 = 1.$$

$$\chi^{(0)} \chi^{(1)} = |\alpha|^2 \begin{pmatrix} 1 \\ 1 \end{pmatrix} \begin{pmatrix} 1 \\ 1 \end{pmatrix} = 2|\alpha|^2 = 1.$$

$$\chi^{(0)} \chi^{(1)} = |\alpha|^2 \begin{pmatrix} 1 \\ 1 \end{pmatrix} \begin{pmatrix} 1 \\ 1 \end{pmatrix} = 2|\alpha|^2 = 1.$$

$$\chi^{(0)} \chi^{(1)} = |\alpha|^2 \begin{pmatrix} 1 \\ 1 \end{pmatrix} \begin{pmatrix} 1 \\ 1 \end{pmatrix} = 2|\alpha|^2 = 1.$$

$$\chi^{(0)} \chi^{(1)} = |\alpha|^2 \begin{pmatrix} 1 \\ 1 \end{pmatrix} \begin{pmatrix} 1 \\ 1 \end{pmatrix} = 2|\alpha|^2 = 1.$$

$$\chi^{(0)} \chi^{(1)} = |\alpha|^2 \begin{pmatrix} 1 \\ 1 \end{pmatrix} \begin{pmatrix} 1 \\ 1 \end{pmatrix} = 2|\alpha|^2 = 1.$$

$$\chi^{(0)} \chi^{(1)} = |\alpha|^2 \begin{pmatrix} 1 \\ 1 \end{pmatrix} \begin{pmatrix} 1 \\ 1 \end{pmatrix} = 2|\alpha|^2 = 1.$$

$$\chi^{(0)} \chi^{(1)} = |\alpha|^2 \begin{pmatrix} 1 \\ 1 \end{pmatrix} \begin{pmatrix} 1 \\ 1 \end{pmatrix} = 2|\alpha|^2 = 1.$$

$$\chi^{(0)} \chi^{(1)} = |\alpha|^2 \begin{pmatrix} 1 \\ 1 \end{pmatrix} \begin{pmatrix} 1 \\ 1 \end{pmatrix} = 2|\alpha|^2 = 1.$$

$$\chi^{(0)} \chi^{(1)} = |\alpha|^2 \begin{pmatrix} 1 \\ 1 \end{pmatrix} \begin{pmatrix} 1 \\ 1 \end{pmatrix} = 2|\alpha|^2 = 1.$$

$$\chi^{(0)} \chi^{(1)} = |\alpha|^2 \begin{pmatrix} 1 \\ 1 \end{pmatrix} \begin{pmatrix} 1 \\ 1 \end{pmatrix} = 2|\alpha|^2 = 1.$$

$$\chi^{(0)} \chi^{(1)} = |\alpha|^2 \begin{pmatrix} 1 \\ 1 \end{pmatrix} \begin{pmatrix} 1 \\ 1 \end{pmatrix} = 2|\alpha|^2 = 1.$$

$$\chi^{(0)} \chi^{(1)} = |\alpha|^2 \begin{pmatrix} 1 \\ 1 \end{pmatrix} \begin{pmatrix} 1 \\ 1 \end{pmatrix} = 2|\alpha|^2 = 1.$$

$$\chi^{(0)} \chi^{(1)} = |\alpha|^2 \begin{pmatrix} 1 \\ 1 \end{pmatrix} \begin{pmatrix} 1 \\ 1 \end{pmatrix} = 2|\alpha|^2 = 1.$$

$$\chi^{(0)} \chi^{(1)} = |\alpha|^2 \begin{pmatrix} 1 \\ 1 \end{pmatrix} \begin{pmatrix} 1 \\ 1 \end{pmatrix} = 2|\alpha|^2 = 1.$$

$$\chi^{(0)} \chi^{(1)} = |\alpha|^2 \begin{pmatrix} 1 \\ 1 \end{pmatrix} \begin{pmatrix} 1 \\ 1 \end{pmatrix} = 2|\alpha|^2 = 1.$$

$$\chi^{(0)} \chi^{(1)} = |\alpha|^2 \begin{pmatrix} 1 \\ 1 \end{pmatrix} \begin{pmatrix} 1 \\ 1 \end{pmatrix} = 2|\alpha|^2 = 1.$$

$$\chi^{(0)} \chi^{(1)} = |\alpha|^2 \begin{pmatrix} 1 \\ 1 \end{pmatrix} \begin{pmatrix} 1 \\ 1 \end{pmatrix} = 2|\alpha|^2 = 1.$$

$$\chi^{(0)} \chi^{(1)} = |\alpha|^2 \begin{pmatrix} 1 \\ 1 \end{pmatrix} \begin{pmatrix} 1 \\ 1 \end{pmatrix} = 2|\alpha|^2 = 1.$$

$$\chi^{(0)} \chi^{(1)} = |\alpha|^2 \begin{pmatrix} 1 \\ 1 \end{pmatrix} \begin{pmatrix} 1 \\ 1 \end{pmatrix} = 2|\alpha|^2 = 1.$$

$$\chi^{(0)} \chi^{(1)} = |\alpha|^2 \begin{pmatrix} 1 \\ 1 \end{pmatrix} \begin{pmatrix} 1 \\ 1 \end{pmatrix} = 2|\alpha|^2 = 1.$$

$$\chi^{(0)} \chi^{(1)} = |\alpha|^2 \begin{pmatrix} 1 \\ 1 \end{pmatrix} \begin{pmatrix} 1 \\ 1 \end{pmatrix} = 2|\alpha|^2 = 1.$$

$$\chi^{(0)} \chi^{(1)} = |\alpha|^2 \begin{pmatrix} 1 \\ 1 \end{pmatrix} \begin{pmatrix} 1 \\ 1 \end{pmatrix} = 2|\alpha|^2 = 1.$$

$$\chi^{(0)} \chi^{(1)} = |\alpha|^2 \begin{pmatrix} 1 \\ 1 \end{pmatrix} \begin{pmatrix} 1 \\ 1 \end{pmatrix} = 2|\alpha|^2 = 1.$$

$$\chi^{(0)} \chi^{(1)} = |\alpha|^2 \begin{pmatrix} 1 \\ 1 \end{pmatrix} \begin{pmatrix} 1 \\ 1 \end{pmatrix} = 2|\alpha|^2 = 1.$$

$$\chi^{(0)} \chi^{(1)} = |\alpha|^2 \begin{pmatrix} 1 \\ 1 \end{pmatrix} \begin{pmatrix} 1 \\ 1 \end{pmatrix} = 2|\alpha|^2 = 1.$$

$$\chi^{(0)} \chi^{(1)} = |\alpha|^2 \begin{pmatrix} 1 \\ 1 \end{pmatrix} \begin{pmatrix} 1 \\ 1 \end{pmatrix} = 2|\alpha|^2 = 1.$$

$$\chi^{(0)} \chi^{(1)} = |\alpha|^2 \begin{pmatrix} 1 \\ 1 \end{pmatrix} \begin{pmatrix} 1 \\ 1 \end{pmatrix} = 2|\alpha|^2 = 1.$$

$$\chi^{(0)} \chi^{(1)} = |\alpha|^2 \begin{pmatrix} 1 \\ 1 \end{pmatrix} \begin{pmatrix} 1 \\ 1 \end{pmatrix} = 2|\alpha|^2 = 1.$$

$$\chi^{(0)} \chi^{(1)} = |\alpha|^2 \begin{pmatrix} 1 \\ 1 \end{pmatrix} \begin{pmatrix} 1 \\ 1 \end{pmatrix} = 2|\alpha|^2 = 1.$$

$$\chi^{(0)} \chi^{(1)} = |\alpha|^2 \begin{pmatrix} 1 \\ 1 \end{pmatrix} \begin{pmatrix} 1 \\ 1 \end{pmatrix} = 2|\alpha|^2 = 1.$$

$$\chi^{(0)} \chi^{(1)} = |\alpha|^2 \begin{pmatrix} 1 \\ 1 \end{pmatrix} \begin{pmatrix} 1 \\ 1 \end{pmatrix} = 2|\alpha|^2 = 1.$$

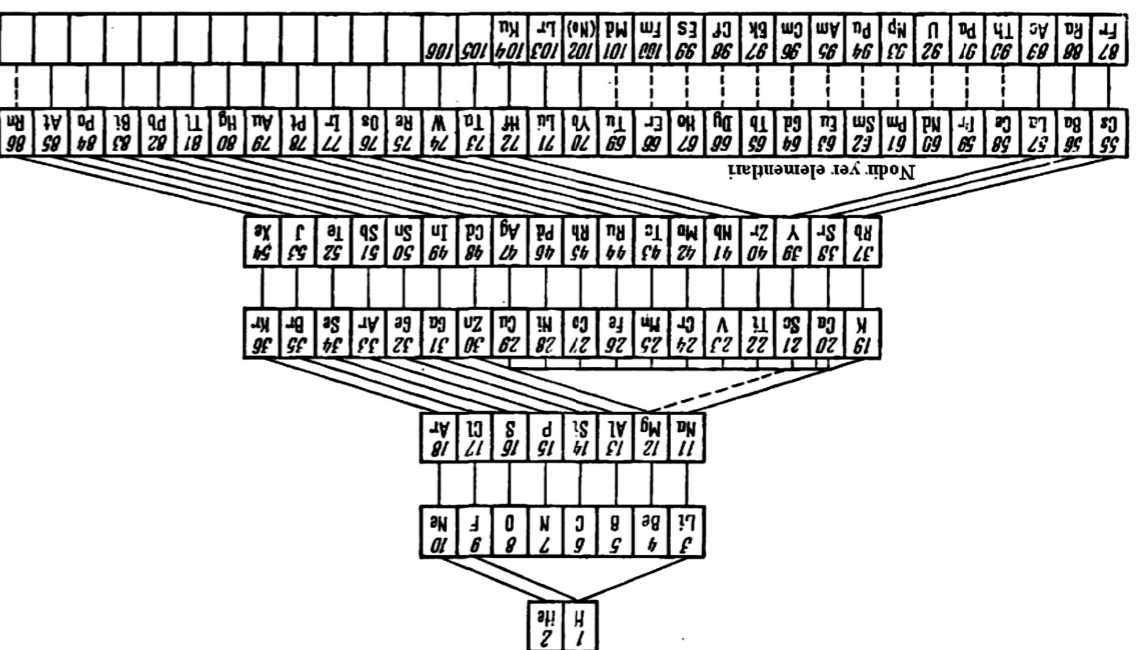
$$\chi^{(0)} \chi^{(1)} = |\alpha|^2 \begin{pmatrix} 1 \\ 1 \end{pmatrix} \begin{pmatrix} 1 \\ 1 \end{pmatrix} = 2|\alpha|^2 = 1.$$

$$\chi^{(0)} \chi^{(1)} = |\alpha|^2 \begin{pmatrix} 1 \\ 1 \end{pmatrix} \begin{pmatrix} 1 \\ 1 \end{pmatrix} = 2|\alpha|^2 = 1.$$

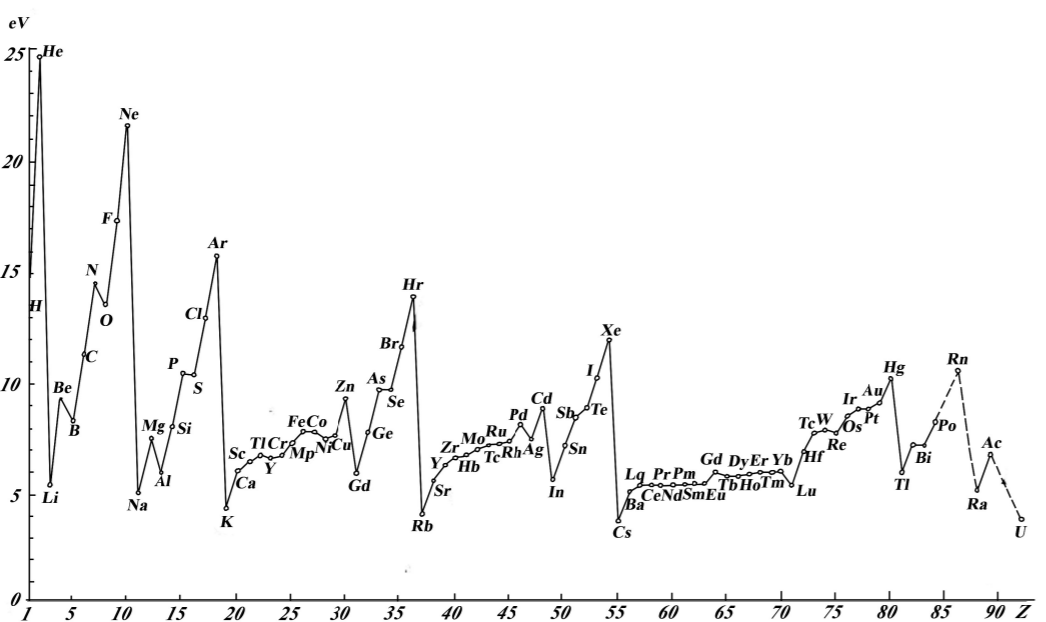
$$\chi^{(0)} \chi^{(1)} = |\alpha|^2 \begin{pmatrix} 1 \\ 1 \end{pmatrix} \begin{pmatrix} 1 \\ 1 \end{pmatrix} = 2|\alpha|^2 = 1.$$

$$\chi^{(0)} \chi^{(1)} = |\alpha|^2 \begin{pmatrix} 1 \\ 1 \end{pmatrix} \begin{pmatrix} 1 \\ 1 \end{pmatrix} = 2|\alpha|^2 = 1.$$

$$\chi^{(0)} \chi^{(1)} = |\alpha|^2 \begin{pmatrix} 1 \\ 1 \end{pmatrix} \begin{pmatrix} 1 \\ 1 \end{pmatrix} = 2|\alpha|^2 = 1.$$



21-rasm. Elementlarning davriy sistemasi.



20-rasm. Elementlar ionizatsiya potentsiallari haqida ma'lumot.

Nodir yer elementlar guruhi La ($Z=57$) - lantandan boshlab Hf ($Z=72$) -gafniyagacha bo'lgan elementlardan tashkil topgan bo'lib, ular bir-biriga o'xshash kimyoviy xossalarga ega bo'ladi. Chunki, bu davrdagi elementlar O va P qobiqlarda elektronlar taqsimotining o'xshashligi bilan ajralib turadi. Ular bir-biridan N qobiqni to'ldirish

Avvalgi boblarda ko'rib chiqilgan Shredinger tenglamasi ψ zgaruvchi koeffitsiyentlarga ega bo'lgan xususiy hosilali chiziqli differensial tenglama sifatida namoyon bo'lgan edi. Uning aniq yechimlarini faqat bir necha sodda masalalar uchun olish imkoniyati mavjud bo'ldi va bu masalalarning bir qanchasini oldingi boblarda ko'rib chiqqan edik.

Lekin juda ko'p hollarda, ayniqsa atom va yadroviy sistemalarni batafsil tekshirganda Gamilton operatorlarining xususiy funksiyalarini va xususiy qiymatlarini hisoblash uchun taqribiy usullardan foydalanish maqsadga muvofiq bo'ladi. Keyingi vaqtlarda elektron hisoblash mashinalarining paydo bo'lishi munosabati bilan kvant mexanikasini bir qator masalalarini yechishda raqamli hisoblash usullarining qo'llanilishi muhim ahamiyat kasb eta boshladi. Ushbu bobda real fizikaviy sistema xususiy qiymatlari va xususiy funksiyalarini aniqlashda analitik hisoblashlarga asoslangan taqribiy usullardan foydalaniladi. Tekshirilayotgan real sistemaning holati aniq yechimga ega bo'lgan ideallashtirilgan holatdan katta farq qilmaydigan qilib tanlab olinadi.

Bu hollarda taqribiy usullar yordamida asosiy yechimga kiritiladigan tuzatmalarni hisoblab chiqish imkoniyati yaratiladi va bu tuzatmalar aniq yechimga qo'shilgan holda berilgan masalaning to'liq yechimlarini beradi. Yuqorida qayd etilgan tuzatmalarni aniqlashning umumiy usuli kvant mexanikasida g'alayonlanish nazariyasi deb yuritiladi.

Ushbu bobda diskret energiya spektriga ega bo'lgan statsionar masalalar uchun g'alayonlanish nazariyasi ko'rib chiqiladi. Faraz qilaylik, kvant sistemaning Gamilton operatori ikki qismdan iborat bo'lsin:

$$\hat{H} = \hat{H}_0 + \hat{W} \quad (8.1)$$

8.1.1.8. Nazariyaviy hisoblash usullari

8.2. Angarmonik ossillyator

Avvalgi paragrafda olingan formulalarni chiziqli angarmonik ossillyatorning energiya sahtlarini aniqlash uchun tatbiq etishga harakat qilaylik. Ma'lumki, garmonik ossillyator real mexanik sistemalarning idealashgan holatini tavsiflaydi. Haqiqatda esa zarrachalarning potentsial energiyasi $\frac{m\omega_0^2}{2}x^2$ funksiya bilan emas, balki murakkabroq bo'lgan qandaydir $U(x)$ funksiya orqali ifodalanaadi. Faraz qilaylik, $U(x)$ potentsial energiyaga ega bo'lgan zarracha potentsial o'rta joylashgan bo'lsin. Muvozanat vaziyat koordinata boshiga joylashtiriladi, ya'ni, $x=0$ da $U'(x)=0$ bo'lishi kerak. Potentsial energiyani shunday tanlab olamizki, muvozanat vaziyatida u nolga teng bo'lsin, ya'ni $U(0)=0$ shart bajarilsin. Potentsial energiyaning darajali qatorga yoyilmasi quyidagi ko'rinishga ega:

$$U(x) = U(0) + \frac{x}{1!}U'(0) + \frac{x^2}{2!}U''(0) + \frac{x^3}{3!}U'''(0) + \dots$$

$U(0)=U'(0)=0$ ekanligi hisobga olinsa, hamda $x=0$ turg'un muvozanat nuqtasida ushbu:

$$\frac{1}{2}U''(0) = \frac{m\omega_0^2}{2}, \quad \frac{1}{3!}U'''(0) = \alpha,$$

belgilashlarni kiritilsa, u holda qo'yilgan masalani noinchi yaqinlashishda emas, balki yuqori tartibli hadlari hisobga olgan holda

Element	N		O			P	Asosiy term	Ionizatsiya potentsiali, eV
	5d	5f	6s	6p	6d			
Hf 72	2	—	2	—	—	—	3F_2	5,5
Ta 73	3	—	2	—	—	—	${}^4F_{3/2}$	7,7
W 74	4	—	2	—	—	—	5D_0	7,98
Re 75	5	—	2	—	—	—	${}^6S_{5/2}$	7,87
Os 76	6	—	2	—	—	—	5D_4	8,7
Ir 77	7	—	2	—	—	—	${}^4F_{1/2}$	9,2
Pt 78	8	—	1	—	—	—	3D_3	8,96
Au 79	1	—	—	—	—	—	${}^2F_{1/2}$	9,223
Hg 80	2	—	—	—	—	—	1S_0	10,434
Tl 81	2	—	1	—	—	—	${}^2P_{1/2}$	6,106
Pb 82	2	—	2	—	—	—	3P_0	7,415
Bi 83	2	—	3	—	—	—	${}^4S_{3/2}$	7,287
Po 84	2	—	4	—	—	—	3P_2	8,2
At 85	2	—	5	—	—	—	${}^2P_{1/2}$	9,2
Rn 86	2	—	6	—	—	—	1S_0	10,745
Fr 87	2	—	6	—	—	1	${}^2S_{1/2}$	3,98
Ra 88	2	—	6	—	—	2	1S_0	5,277
Ac 89	2	—	6	—	1	2	${}^2D_{3/2}$	6,89
Th 90	2	—	6	—	2	2	3F_4	6,95
Pa 91	2	—	6	—	1	2	4K_5	—
U 92	2	—	6	—	1	2	5L_6	6,08
Np 93	4	—	6	—	1	2	6M_7	—
Pu 94	6	—	6	—	—	2	7F_8	5,1
Am 95	7	—	6	—	—	2	8S_9	—
Cm 96	8	—	6	—	—	2	9D_9	—
Bk 97	8	—	6	—	—	2	—	—
Cf 98	10	—	6	—	—	2	—	—
Es 99	11	—	6	—	—	2	—	—
Fm 100	12	—	6	—	—	2	—	—
Md 101	13	—	6	—	—	2	—	—
(No) 102	14	—	6	—	—	2	—	—
Lr 103	14	—	6	—	—	2	—	—
Ku 104	14	—	6	—	—	2	—	—

$$\begin{aligned}
 & \sum_n c_n \int \psi_n^{0*}(x) \hat{H}_0 + \lambda \hat{w} \psi_n^0(x) dx = \sum_n c_n \int \psi_n^{0*}(x) E_n^0 \psi_n^0(x) dx + \\
 & + \lambda \sum_n c_n \int \psi_n^{0*}(x) \hat{w} \psi_n^0(x) dx = \sum_n c_n E_n^0 \int \psi_n^{0*}(x) \psi_n^0(x) dx + \lambda \sum_n c_n W_{mn} \\
 & = \sum_n c_n E_n^0 \delta_{mn} + \lambda \sum_n c_n W_{mn} = c_m E_m^0 + \lambda \sum_n W_{mn} c_n
 \end{aligned}$$

Bu holda barcha c_n larning to'plami energetik, ya'ni E - tasavvuridagi ψ funksiyani beradi. (8.5) qator (8.4) tenglamaga qo'yiladi va hosil bo'lgan ifodaning ikkala tomonini $\psi_n^{0*}(x)$ ga ko'paytirib chiqiladi, so'ngra x bo'yicha integrallanadi. U holda (8.4) tenglamaning chap tomoni

$$\psi(x) = \sum_n c_n \psi_n^0(x). \quad (8.5)$$

tenglamaning yechimini topish masalasiga keltiriladi. (8.4) dagi izlanayotgan $\psi(x)$ funksiyani ma'lum bo'lgan $\psi_n^0(x)$ funksiyalar bo'yicha qatorga yoyiladi:

$$\hat{H}_0 + \lambda \hat{w} \psi = E \psi \quad (8.4)$$

ifodalash mumkin bo'lsin, bunda λ kichik o'tchamsiz paramet. Demak, (8.1) operatorning xususiy qiymatlari va xususiy funksiyalarini aniqlash masalasi

$$(8.3)$$

2) \hat{W} operatorni quyidagi ko'rinishda

$$\hat{H}_0 \psi_n^0 = E_n^0 \psi_n^0 \quad (8.2)$$

yechimlari ma'lum bo'lsin va aynish holatlari mavjud bo'lmasin.

1) G'alayonlangan sistema uchun Shredinger tenglamasining

qabul qilish kerak:

G'alayonlanish nazariyasining asosiy maqsadi \hat{H}_0 gamiltonian bilan ifodalangan g'alayon ta'sir qilmagan sistema uchun ma'lum bo'lgan ψ_n^0 to'liq funksiyasi va E_n^0 energiya qiymatlari orqali g'alayonlangan sistemani stasionar holatlarining xususiy funksiya va energiyalarini aniqlab berish hisoblanadi. Boshqacha aytganda g'alayonlanish nazariyasi usullaridan foydalanish uchun ikkita shartni qabul qilish kerak:

g'alayonlanish operatori deyiladi. Ideallashtirilgan sistemada hisobga

olinnagan Gamilton operatorining bu qismini tashqi maydonning potentsial energiyasi sifatida ham ifodalaniishi mumkin.

G'alayonlanish nazariyasining asosiy maqsadi \hat{H}_0 gamiltonian bilan ifodalangan g'alayon ta'sir qilmagan sistema uchun ma'lum bo'lgan ψ_n^0 to'liq funksiyasi va E_n^0 energiya qiymatlari orqali g'alayonlangan sistemani stasionar holatlarining xususiy funksiya va energiyalarini aniqlab berish hisoblanadi. Boshqacha aytganda g'alayonlanish nazariyasi usullaridan foydalanish uchun ikkita shartni qabul qilish kerak:

$$E_k = E_k^0 + W_{kk} \quad (8.1)$$

$$\sum_{m \neq k} E_k^0 - E_m^0 \psi^0 = (x)^k \psi^0 = (x)^k \psi^0 \quad (8.1)$$

Olingan (8.16) lar kvant mexanikasidagi g'alayonlanish nazariyasining muhim formulalaridir.

3. Ikkinchi tartibli tuzatmalarni hisoblash tenglamalarini keltirib chiqaraylik. Buning uchun yana bir marta (8.10) da keltirilgan tenglamalarning ikkala tomonidagi λ^2 qatnashgan hadlar oldidagi koeffitsiyentlarini tenglashtirilsa,

$$(E_m^0 - E_k^0) c_m^{(2)} + (W_{mm} - W_{kk}) \left(\frac{W_{mk}}{E_k^0 - E_m^0} - E^{(2)} \delta_{mk} \right) +$$

hosil bo'ladi. (8.14) va (8.15) — birinchi yaqinlashishni hisoblash formulalarini olingan tenglamaga qo'yib, k sath uchun quyidagi ikkinchi yaqinlashishda hosil bo'lgan tuzatmalarni hisoblash formulalari olinadi:

$$\begin{aligned}
 & (E_m^0 - E_k^0) c_m^{(2)} + (W_{mm} - W_{kk}) \left(\frac{W_{mk}}{E_k^0 - E_m^0} - E^{(2)} \delta_{mk} \right) + \\
 & + \sum_{n \neq k} W_{mn} \frac{W_{nk}}{E_k^0 - E_n^0} = 0. \quad (8.18)
 \end{aligned}$$

Ushbu (8.18) tenglamadan $m=k$ bo'lgan holdan ikkinchi yaqinlashishda E_k^0 energetik sathga tuzatmani topish mumkin, ya'ni:

$$E^{(2)} = \sum_{n \neq k} \frac{W_{kn} W_{nk}}{E_k^0 - E_n^0} \quad (8.19)$$

$m \neq k$ bo'lgan holdar uchun esa $c_m^{(2)}$ - tuzatmalarni aniqlash mumkin:

$$c_m^{(2)} = \sum \frac{W_{mk} W_{mk}}{(E_k^0 - E_n^0) (E_k^0 - E_m^0)} - \frac{W_{kk} W_{mk}}{(E_m^0 - E_k^0)^2}, \quad m \neq k, n \neq k. \quad (8.20)$$

Yuqoridagi hisoblashlarni davom ettirib uchinchi, to'rtinchi va boshqa yuqoriroq tartibli yaqinlashishlarni hisoblovchi formulalarni keltirib chiqarish mumkin. Bu darslikda ikkinchi yaqinlashish bilangina chegranalanamiz. Shunday qilib, tekshirilayotgan sistemaning ikkinchi yaqinlashishni hisobga olgan holda k -sathdagi energiya va xususiy funksiyalarining qiymatlarini hisoblash formulalari quyidagi ko'rinishga keladi:

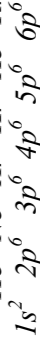
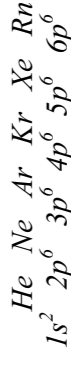
$$E_k = E_k^0 + \lambda W_{kk} + \lambda^2 \sum_{n \neq k} \frac{W_{kn} W_{nk}}{E_k^0 - E_n^0}. \quad (8.21)$$

darajasi bilan farqlanadi. Bu to'ldirish Ce ($Z=58$)- seriy elementdan boshlanadi va Lu ($Z=71$)- lyutetsiy elementi bilan tugatiladi. Nodir elementlar guruhi *lantanooidlar* ham deyiladi va ularning kimyoviy xossalari asosan tashqi elektronlar bilan aniqlanadi. Oltinchi davr inert gazi Rn ($Z=86$) - radon elementi bilan yakunlanadi.

Davriy sistemaning yettinchi davrni tabiiy holatdagi elementlar bilan to'ldirish oxirgacha amalga oshirilmagan. Hozirgi vaqtgacha Np ($Z=93$) - neptuniydan Ku ($Z=104$) - kurchatoviyygacha sun'iy ravishda elementlar olingan. Hosil bo'lgan elementlar nodir yer elementlarga o'xshash alohida guruhi tashkil etadi. Ushbu guruhda lantan rolini *Ac* ($Z=89$)- aktiniy elementi o'ynaydi va shuning uchun bu guruh elementlarini *aktinooidlar* deb yuritiladi. Ular o'zaro kimyoviy xossalarga ta'sir ko'rsatmaydigan *5f* va *6d* elektronlar bilan farq qiladi.

Elementlarning elektron tuzilishi tasvirlangan 3-jadvaldan ko'rinib to'ribdiki, *oraliq guruh elementlari* uchun yuqori qobiqning *s*-holatlari ikkinchi qobiqning *d* va *f* holatlaridan avval to'ldirila boshlaydi. Oraliq guruhi tashkil etuvchi elementlar maxsus kimyoviy xususiyatlarga ega bo'ladi. Bu effekt kuzatiladigan birinchi element kaliy atomidir. Kaliy atomining tashqi elektroni *3d* holatda emas, balki *4s* holatda joylashgan. Jadvaldan atomlarda elektron qobiqchalarning to'ldirishining *1s*, *2s*, *2p*, *3s*, *4s*, *3d*, *4p*, *5s*, *4d*, *5p*, *6s*, *4f*, *5d*, *6p*, *7s* tartibda bajarilishi ko'riladi. Bu tartibda asosan lantanooidlar va aktinooidlarning kimyoviy xossalari ni juda o'xshashligini tushuntirish mumkin. Davriy sistemani *3d*, *4d* va *5d* qobiqlarning to'lishi mos ravishda *temir*, *palladiy* va *platina* kabi elementlarda yuz beradi.

Elektron qobig'i to'la, ya'ni qobiqchalari ham, to'ldirilgan elementlar alohida turg'unlik xususiyatga ega. Bu element atomlarida kuchsiz bog'langan tashqi elektron bo'lmaydi. Quyida keltirilgan jadvalda alohida o'rin egallaydigan bu elementlarning elektron konfiguratsiyasi ayniqsa barqaror bo'lgani tufayli, ular kimyoviy jihatdan inertdir:



21-rasmda N. Bor tomonidan taklif etilgan sxematik ko'rinishdagi elementlarning davriy sistemasi berilgan.

Elementlarning davriy sistemasini kvant mexanika nuqtai nazardan tushuntirish bu nazariyaning katta yutig'i bo'libgina qolmay, boshqa sun'iy elementlarni kashf etish imkoniyatini ham yaratadi.

Element	K	L		M			N		Asosiy term	Ichki qobiqchalar konfiguratsiyalari	Element	Ionizatsiya potentsiali eV
		2s	2p	3s	3p	3d	4s	4p				
H	1	1	—	—	—	—	—	—	² S _{1/2}	—	13,595	4,176
He	2	2	—	—	—	—	—	—	¹ S ₀	—	24,58	5,692
Li	3	2	1	—	—	—	—	—	² S _{1/2}	—	5,39	5,692
Be	4	2	2	—	—	—	—	—	¹ S ₀	—	9,32	8,835
B	5	2	2	1	—	—	—	—	² P _{1/2}	—	8,296	9,88
C	6	2	2	2	—	—	—	—	³ P ₀	—	11,264	10,835
N	7	2	2	2	—	—	—	—	⁴ S _{3/2}	—	14,54	13,614
O	8	2	2	3	—	—	—	—	³ P ₂	—	13,614	17,418
F	9	2	2	4	—	—	—	—	² P _{3/2}	—	17,418	21,559
Ne	10	2	2	6	—	—	—	—	¹ S ₀	—	21,559	—
Na	11	2	—	—	—	—	—	—	² S _{1/2}	—	5,138	—
Mg	12	2	—	—	—	—	—	—	¹ S ₀	—	7,644	—
Al	13	2	2	1	—	—	—	—	² P _{1/2}	—	5,984	—
Si	14	2	2	2	—	—	—	—	³ P ₀	—	8,149	—
P	15	2	2	3	—	—	—	—	⁴ S _{3/2}	—	10,55	—
S	16	2	2	4	—	—	—	—	³ P ₂	—	10,357	—
Cl	17	2	2	5	—	—	—	—	² P _{3/2}	—	13,01	—
Ar	18	2	2	6	—	—	—	—	¹ S ₀	—	15,755	—
K	19	—	—	—	—	—	—	—	² S _{1/2}	—	4,339	—
Ca	20	—	—	—	—	—	—	—	¹ S ₀	—	6,111	—
Sc	21	—	—	—	—	—	—	—	² D _{3/2}	—	6,56	—
Ti	22	—	—	—	—	—	—	—	³ F ₂	—	6,83	—
V	23	—	—	—	—	—	—	—	⁴ F _{3/2}	—	6,74	—
Cr	24	—	—	—	—	—	—	—	⁷ F _{3/2}	—	6,764	—
Mn	25	—	—	—	—	—	—	—	⁶ S _{3/2}	—	7,432	—
Fe	26	—	—	—	—	—	—	—	⁵ D ₃	—	7,90	—
Co	27	—	—	—	—	—	—	—	⁴ F _{1/2}	—	7,86	—
Ni	28	—	—	—	—	—	—	—	³ F ₁	—	7,633	—
Cu	29	—	—	—	—	—	—	—	² S _{1/2}	—	7,724	—
Zn	30	—	—	—	—	—	—	—	¹ S ₀	—	9,391	—
Ga	31	—	—	—	—	—	—	—	² P _{1/2}	—	6,00	—
Ge	32	—	—	—	—	—	—	—	³ P ₀	—	7,38	—
As	33	—	—	—	—	—	—	—	⁴ S _{3/2}	—	9,81	—
Se	34	—	—	—	—	—	—	—	² P ₃	—	9,75	—
Br	35	—	—	—	—	—	—	—	² P _{3/2}	—	11,84	—
Kr	36	—	—	—	—	—	—	—	¹ S ₀	—	13,891	—

3-jadval

Element	K	L		M			N		Asosiy term	Ionizatsiya potentsiali
		2s	2p	3s	3p	3d	4s	4p		
H	1	1	—	—	—	—	—	—	² S _{1/2}	13,595
He	2	2	—	—	—	—	—	—	¹ S ₀	24,58
Li	3	2	1	—	—	—	—	—	² S _{1/2}	5,39
Be	4	2	2	—	—	—	—	—	¹ S ₀	9,32
B	5	2	2	1	—	—	—	—	² P _{1/2}	8,296
C	6	2	2	2	—	—	—	—	³ P ₀	11,264
N	7	2	2	2	—	—	—	—	⁴ S _{3/2}	14,54
O	8	2	2	3	—	—	—	—	³ P ₂	13,614
F	9	2	2	4	—	—	—	—	² P _{3/2}	17,418
Ne	10	2	2	6	—	—	—	—	¹ S ₀	21,559
Na	11	2	—	—	—	—	—	—	² S _{1/2}	5,138
Mg	12	2	—	—	—	—	—	—	¹ S ₀	7,644
Al	13	2	2	1	—	—	—	—	² P _{1/2}	5,984
Si	14	2	2	2	—	—	—	—	³ P ₀	8,149
P	15	2	2	3	—	—	—	—	⁴ S _{3/2}	10,55
S	16	2	2	4	—	—	—	—	³ P ₂	10,357
Cl	17	2	2	5	—	—	—	—	² P _{3/2}	13,01
Ar	18	2	2	6	—	—	—	—	¹ S ₀	15,755
K	19	—	—	—	—	—	—	—	² S _{1/2}	4,339
Ca	20	—	—	—	—	—	—	—	¹ S ₀	6,111
Sc	21	—	—	—	—	—	—	—	² D _{3/2}	6,56
Ti	22	—	—	—	—	—	—	—	³ F ₂	6,83
V	23	—	—	—	—	—	—	—	⁴ F _{3/2}	6,74
Cr	24	—	—	—	—	—	—	—	⁷ F _{3/2}	6,764
Mn	25	—	—	—	—	—	—	—	⁶ S _{3/2}	7,432
Fe	26	—	—	—	—	—	—	—	⁵ D ₃	7,90
Co	27	—	—	—	—	—	—	—	⁴ F _{1/2}	7,86
Ni	28	—	—	—	—	—	—	—	³ F ₁	7,633
Cu	29	—	—	—	—	—	—	—	² S _{1/2}	7,724
Zn	30	—	—	—	—	—	—	—	¹ S ₀	9,391
Ga	31	—	—	—	—	—	—	—	² P _{1/2}	6,00
Ge	32	—	—	—	—	—	—	—	³ P ₀	7,38
As	33	—	—	—	—	—	—	—	⁴ S _{3/2}	9,81
Se	34	—	—	—	—	—	—	—	² P ₃	9,75
Br	35	—	—	—	—	—	—	—	² P _{3/2}	11,84
Kr	36	—	—	—	—	—	—	—	¹ S ₀	13,891

Ushbu ifoda \hat{H}_0 - g'alayonlanmagan sistemaning tenglamasi bo'ladi. Bizni \hat{W} g'alayon ta'siri natijasida $E_k^{(0)}$ energetik sath bilan bir qatorda $\psi_k^{(0)}$ to'lqin funksiyasining o'zgarishi ham qiziqiradi. Demak, (8.11)

$$(E_k^{(0)} - E_m^{(0)})c_m^{(0)} = 0, \quad m = 1, 2, 3, \dots, k, \dots \quad (8.11)$$

tenglikni hosil qilish mumkin: koeffitsiyentlar tenglashtirilsa, biz nolinchii yaqinlashish uchun quyidagi tenglikni hosil qilish mumkin:

$$(E_k^{(0)} - E_m^{(0)})c_m^{(0)} = 0, \quad m = 1, 2, 3, \dots, k, \dots \quad (8.10)$$

Ushbu tenglikdan foydalanib, hamda bir xil darajalari bo'lgan hadlarni yig'ib chiqib, quyidagi tenglamalarni olish mumkin:

$$(E_k^{(0)} - E_m^{(0)})c_m^{(0)} = 0, \quad m = 1, 2, 3, \dots, k, \dots \quad (8.9)$$

Ushbu paragrafda aynish mavjud bo'lmagan holatni tekshirib chiqiladi, ya'ni (8.2) tenglama bilan ifodalangan va g'alayonlanmagan holatga tegishli bo'lgan E_n^0 energiyaning xususiy qiymati bitta ψ_n^0 xususiy funksiyaga mos kelishi ko'rib chiqiladi. (8.8) va (8.9) larni (8.7) tenglamaga qo'yilsa, quyidagi tenglamalar sistemasi hosil bo'ladi:

$$(E_k^{(0)} - E_m^{(0)})c_m^{(0)} = 0, \quad m = 1, 2, 3, \dots, k, \dots \quad (8.8)$$

$$E = E^{(0)} + \lambda E^{(1)} + \lambda^2 E^{(2)} + \dots \quad (8.7)$$

Hosil bo'lgan tenglamadan to'liq in funksiyasiga va energiya qiymatiga tuzatmalarni aniqlash maqsadida c_m xususiy funksiyalarni va E xususiy qiymatlarini λ parametr darajalari bo'yicha qatorga yoyilmasini olish kerak:

$$(E - E^{(0)})c_m^{(0)} = \lambda \sum_n W_{mn} c_n^{(0)} \quad (8.6)$$

Yuqoridagilarni hisobga olib, (8.4) tenglamani quyidagicha o'zgartirish mumkin:

$$\lambda \sum_n W_{mn} c_n^{(0)} = (E - E^{(0)})c_m^{(0)} = \lambda \sum_n W_{mn} c_n^{(0)} \quad (8.5)$$

bu yerda faqat bitta koeffitsiyent, ya'ni $c_k^{(0)} = 1$ bo'ladi, qolgan hamma koeffitsiyentlar - $c_m^{(0)}$ lar esa nolga teng bo'ladi: $c_m^{(0)} = 0$. Olingan (8.12) yechim nolinchii yaqinlashishdagi yechim bo'ladi va shu yechimdan foydalangan holda keyingi, ya'ni birinchi yaqinlashishdagi yechimni olish mumkin.

2.(8.10) tenglamalarning ikkala tomonidagi λ^1 qatnashgan hadlarning oldidagi koeffitsiyentlari tenglashtirilsa, quyidagi tenglamani hosil qilish mumkin:

$$(E_k^{(0)} - E_m^{(0)})c_m^{(0)} + E_m^{(0)}c_m^{(0)} = \sum_n W_{mn} c_n^{(0)}. \quad (8.12)$$

Olingan tenglamani k -sathni tekshirishga qo'llaniladi. (8.12) lardan foydalanib hamda $\sum_n W_{mn} c_n^{(0)}$ tenglikdandan $m=n$ bo'lgan hadni ajratib olib, quyidagi ifodaga kelinadi:

$$(E_k^{(0)} - E_m^{(0)})c_m^{(0)} + E_m^{(0)}c_m^{(0)} = \sum_{n \neq m} W_{mn} \delta_{mk} = 0 \quad (8.13)$$

Avvalo, ushbu (8.13) tenglamadan $m=k$ tenglama ajratib olinadi va $W_{kk} - E^{(1)} = 0$

tenglama hosil bo'ladi. Demak, birinchi yaqinlashishdagi E_k^0 energetik sathga tuzatmani topgan bo'lamiz:

$$E^{(1)} = W_{kk}. \quad (8.14)$$

Keyingi bosqichda (8.13) dagi $m \neq k$ bo'lgan boshqa hadlarni ajratib olib, quyidagi tenglik hosil bo'ladi:

$$(E_k^{(0)} - E_k^{(0)})c_m^{(0)} + W_{mk} = 0. \quad (8.15)$$

Bu tenglamadan birinchi yaqinlashishdagi $c_m^{(0)}$ tuzatmani aniqlash mumkin:

Demak, "x-tasavvurda" birinchi tartibli yaqinlashishda, tuzatmalarni hisobga olgan holda, k sathning energetik qiymati va xususiy funksiyalari quyidagi formulalar orqali aniqlanadi:

$$c_m^{(1)} = \frac{W_{mk}}{E_k^{(0)} - E_m^{(0)}}, \quad m \neq k. \quad (8.15)$$

$$W_{12} = W_{21} = \frac{eEa}{12} \int_0^\infty e^{-\gamma} \left(1 - \frac{\gamma}{2}\right) W^4 d\gamma = -3eEa \quad (8.61)$$

hamda $\gamma = \frac{r}{a}$ - yangi o'zgaruvchi kiritib, (8.60) integralning natijasi

$$\int_0^\pi z^2 \sin \theta d\theta = r^2 \int_0^\pi \cos^2 \theta \sin \theta d\theta = \frac{2}{3} r^2,$$

$$\int_0^{2\pi} d\varphi = 2\pi,$$

Bu integralni hisoblashda quyidagilardan foydalaniladi:

$$W_{12} = W_{21} = \frac{1}{4\pi} \sqrt{\frac{1}{2a}} \int_0^\infty \int_0^{2\pi} \int_0^\pi e^{-\frac{r}{2a}} \left(1 - \frac{r}{2a}\right) e^{-\frac{r}{2a}} \frac{1}{2a} r^2 r^2 \sin \theta dr d\theta d\varphi. \quad (8.60)$$

$$W_{12} = W_{21} = eE \int f(r) F(r) z^2 dv =$$

$$\int_0^\pi \cos \theta \sin \theta d\theta = 0.$$

Endi nolga teng bo'lmagan W_{12} va W_{21} matritk elementini hisoblab

chiqiladi:

$$W_{11} = eE \int \psi_0^* r \cos \theta \psi_0 r^2 \sin \theta dr d\theta d\varphi = 0$$

$$= eE \int_0^\pi \int_0^{2\pi} \int_0^\infty \frac{1}{\sqrt{2a^3}} \frac{1}{\sqrt{2a^3}} e^{-\frac{2r}{2a}} r^2 r^2 \sin \theta dr d\theta d\varphi = 0$$

bo'ladi, chunki

Avvalo tenglamada qatnashayotgan matritk elementlar hisoblab chiqiladi. (8.55) dagi funktsiyalar sferik koordinatalar sistemasida ifodalanganligi sababli liabli (8.58) dagi matritk elementlarni integrallashni sferik koordinatalar sistemasida amalga oshirish maqsadga muvofiqdir. (8.58) dagi ikkita W_{12} va W_{21} noldan farqli integrallardan tashqari barcha integrallar nolga teng bo'ladi. Misol tariqasida W_{11} matritk elementlari hisoblab chiqiladi. $z = r \cos \theta$ ekanligi hisobga olinsa,

$$W_{\beta\alpha} = \int \psi_{\beta\alpha}^* \psi_{\alpha\beta} dv =$$

$$(E_2^0 + E_1^0) c_{\beta\alpha} = -\beta c_{\alpha\beta} \quad (8.57)$$

Endi masalani hal qilish uchun (8.7) tenglamaga murojaat qilinadi, lekin uni bir oz o'zimizning hol uchun moslashtirishimiz kerak bo'ladi.

$$\sum_{n \neq k} \frac{(x^3)_{kn} (x^3)_{nk}}{E_k^0 - E_n^0} = \left(\frac{h}{m\omega_0}\right)^3 \times \left[\frac{1}{3} \frac{k(k-1)(k-2)}{8} + \frac{9}{8} k^3 - \frac{9}{8} (k+1)^3 - \frac{1}{3} \frac{(k+1)(k+2)(k+3)}{8} \right] \frac{1}{h\omega} \quad (8.35)$$

chunki, $E_{k-3}^0 - E_n^0 = 3h\omega$, $E_{k+3}^0 - E_n^0 = -3h\omega$.

Shunday qilib, ikkinchi yaqinlashishdagi k -energetik sathga beradigan tuzatma

$$E_k^{(2)} = -\frac{15}{4} \frac{1}{h\omega} \left(\frac{h}{m\omega}\right)^3 \left(k^2 + k + \frac{11}{30}\right) \quad (8.36)$$

bo'ladi. Demak, (8.29) formulaga (8.27), (8.34) va (8.36) ifodalari qo'yilsa, angarmonik ossillyatorning $\hat{W} = \alpha x^3$ g'alayonlanish hadini hisobga olgan holda, kvant sathlarining energiyasini hisoblash uchun quyidagi formula hosil qilinadi:

$$E_k = h\omega_0 \left(k + \frac{1}{2}\right) - \frac{15}{4} \frac{\alpha^2}{h\omega} \left(\frac{h}{m\omega}\right)^3 \left(k^2 + k + \frac{11}{30}\right). \quad (8.37)$$

8.3. Aynish mavjud bo'lgan holda g'alayonlanish nazariyasi

Endi \hat{H}_0 g'alayonlanmagan operatorning xususiy qiymatlari aynigan holini ko'rib chiqaylik, ya'ni bitta energiyaning xususiy qiymatiga bir nechta xususiy funktsiyalar mos kelsin. Boshqacha aytganda, $E = E_n^0$ g'alayonlanmagan sistemadagi xususiy qiymat orqali berilgan holat, $\psi_n^0, \psi_{n_1}^0, \dots, \psi_{n_2}^0$ o'zaro ortogonal bo'lgan funktsiyalar, yoki ularning ixtiyoriy chiziqli kombinatitsiyasi orqali ifodalansin. G'alayonlanishni hisobga olgan holda \hat{H}_0 operatorning xususiy qiymatlari aynimaydi, yoki ularning aynish darajasi kamayadi. Aynish mavjud bo'lganida g'alayonlanish yo'qoladi, ya'ni aynishning ta'siri natijasida energiya sathi bir nechta bir-biriga yaqin joylashgan sathlarga ajraladi. Ushbu hosil bo'lgan sathlarning har biriga o'zining yagona to'liq funktsiyasi mos keladi.

Endi masalani hal qilish uchun (8.7) tenglamaga murojaat qilinadi, lekin uni bir oz o'zimizning hol uchun moslashtirishimiz kerak bo'ladi.

Statsionar bo'lmagan jarayonlar uchun sistemaning gamilton operatorini

operatorini

hisoblashdan iboratdir.

Statsionar bo'lmagan jarayonlar nazariyasida g'alayonlanishni paydo bo'lish jarayonini tekshirib chiqish mumkin. Bu holda sistemadagi g'alayonlanishni o'z ichiga qamrab olgan to'la gamiltonian vaqtga bog'liq bo'ladi, natijada energiya saqlanmaydi va stasionar holatlar mavjud bo'lmaydi. Umuman o'lganda bu holda sistemaning energetik sathlari o'zgarimaydi, sistema vaqtga bog'liq bo'lgan g'alayonlanish ta'sirida muayyan stasionar holatlarda qolmasdan, biror bir stasionar holatdan boshqasiga o'tish jarayonini sodir etadi. Demak, bu holda energiyaning xususiy qiymatlariga tuzatmalarni topish masalasi paydo bo'lmaydi, bu holda masala quyidagicha ifodalaniadi: tekshirilyotgan sistemaning to'liq funktsiyalarini g'alayonlanmagan sistemaning stasionar holatlari to'liq funktsiyalari bo'yicha taqriban hisoblashdan iboratdir.

Statsionar bo'lmagan jarayonlar nazariyasida g'alayonlanishni paydo bo'lish jarayonini tekshirib chiqish mumkin. Bu holda sistemadagi g'alayonlanishni o'z ichiga qamrab olgan to'la gamiltonian vaqtga bog'liq bo'ladi, natijada energiya saqlanmaydi va stasionar holatlar mavjud bo'lmaydi. Umuman o'lganda bu holda sistemaning energetik sathlari o'zgarimaydi, sistema vaqtga bog'liq bo'lgan g'alayonlanish ta'sirida muayyan stasionar holatlarda qolmasdan, biror bir stasionar holatdan boshqasiga o'tish jarayonini sodir etadi. Demak, bu holda energiyaning xususiy qiymatlariga tuzatmalarni topish masalasi paydo bo'lmaydi, bu holda masala quyidagicha ifodalaniadi: tekshirilyotgan sistemaning to'liq funktsiyalarini g'alayonlanmagan sistemaning stasionar holatlari to'liq funktsiyalari bo'yicha taqriban hisoblashdan iboratdir.

Statsionar bo'lmagan jarayonlar nazariyasida g'alayonlanishni paydo bo'lish jarayonini tekshirib chiqish mumkin. Bu holda sistemadagi g'alayonlanishni o'z ichiga qamrab olgan to'la gamiltonian vaqtga bog'liq bo'ladi, natijada energiya saqlanmaydi va stasionar holatlar mavjud bo'lmaydi. Umuman o'lganda bu holda sistemaning energetik sathlari o'zgarimaydi, sistema vaqtga bog'liq bo'lgan g'alayonlanish ta'sirida muayyan stasionar holatlarda qolmasdan, biror bir stasionar holatdan boshqasiga o'tish jarayonini sodir etadi. Demak, bu holda energiyaning xususiy qiymatlariga tuzatmalarni topish masalasi paydo bo'lmaydi, bu holda masala quyidagicha ifodalaniadi: tekshirilyotgan sistemaning to'liq funktsiyalarini g'alayonlanmagan sistemaning stasionar holatlari to'liq funktsiyalari bo'yicha taqriban hisoblashdan iboratdir.

Statsionar bo'lmagan jarayonlar nazariyasida g'alayonlanishni paydo bo'lish jarayonini tekshirib chiqish mumkin. Bu holda sistemadagi g'alayonlanishni o'z ichiga qamrab olgan to'la gamiltonian vaqtga bog'liq bo'ladi, natijada energiya saqlanmaydi va stasionar holatlar mavjud bo'lmaydi. Umuman o'lganda bu holda sistemaning energetik sathlari o'zgarimaydi, sistema vaqtga bog'liq bo'lgan g'alayonlanish ta'sirida muayyan stasionar holatlarda qolmasdan, biror bir stasionar holatdan boshqasiga o'tish jarayonini sodir etadi. Demak, bu holda energiyaning xususiy qiymatlariga tuzatmalarni topish masalasi paydo bo'lmaydi, bu holda masala quyidagicha ifodalaniadi: tekshirilyotgan sistemaning to'liq funktsiyalarini g'alayonlanmagan sistemaning stasionar holatlari to'liq funktsiyalari bo'yicha taqriban hisoblashdan iboratdir.

8.5. Vaqtga bog'liq g'alayonlanish nazariyasi

Kvant sistemalariga tashqaridan ta'sir qilinib natijasida stasionar bo'lmagan jarayonlarning paydo bo'lishi amaliy jihatdan katta ahamiyatga egadir. Masalan, tashvur o'zgaruvchan elektromagnit maydon ta'sirida atomlarda yorug'likning yutilishi yoki nurlanishini bunday jarayonlarning misoli sifatida keltirish mumkin. Ushbu jarayonlarning matematik nazariyasi vaqtga oshkor ravishda bog'liq bo'lgan g'alayonlanish nazariyasi asosida yaratilgan.

Mazkur bobning avvalgi paragraflarida vaqtga oshkor ravishda bog'liq bo'lmagan g'alayonlanish nazariyasi ko'rib chiqilgan edi va bu holda g'alayonlanish stasionar holatlarni o'zgarishiga sabab deb qaraldi. Vaqtga oshkor ravishda bog'liq bo'lmagan g'alayonlanish nazariyasida sistema holatlari energiyasini ifodalovchi xususiy qiymatlarga tuzatmalarni kiritish haqida gap yuritilgan edi, ya'ni energiyaning xususiy qiymatlariga tuzatmalarni hisoblash imkoniyati yaratildi.

Statsionar bo'lmagan jarayonlar nazariyasida g'alayonlanishni paydo bo'lish jarayonini tekshirib chiqish mumkin. Bu holda sistemadagi g'alayonlanishni o'z ichiga qamrab olgan to'la gamiltonian vaqtga bog'liq bo'ladi, natijada energiya saqlanmaydi va stasionar holatlar mavjud bo'lmaydi. Umuman o'lganda bu holda sistemaning energetik sathlari o'zgarimaydi, sistema vaqtga bog'liq bo'lgan g'alayonlanish ta'sirida muayyan stasionar holatlarda qolmasdan, biror bir stasionar holatdan boshqasiga o'tish jarayonini sodir etadi. Demak, bu holda energiyaning xususiy qiymatlariga tuzatmalarni topish masalasi paydo bo'lmaydi, bu holda masala quyidagicha ifodalaniadi: tekshirilyotgan sistemaning to'liq funktsiyalarini g'alayonlanmagan sistemaning stasionar holatlari to'liq funktsiyalari bo'yicha taqriban hisoblashdan iboratdir.

Statsionar bo'lmagan jarayonlar nazariyasida g'alayonlanishni paydo bo'lish jarayonini tekshirib chiqish mumkin. Bu holda sistemadagi g'alayonlanishni o'z ichiga qamrab olgan to'la gamiltonian vaqtga bog'liq bo'ladi, natijada energiya saqlanmaydi va stasionar holatlar mavjud bo'lmaydi. Umuman o'lganda bu holda sistemaning energetik sathlari o'zgarimaydi, sistema vaqtga bog'liq bo'lgan g'alayonlanish ta'sirida muayyan stasionar holatlarda qolmasdan, biror bir stasionar holatdan boshqasiga o'tish jarayonini sodir etadi. Demak, bu holda energiyaning xususiy qiymatlariga tuzatmalarni topish masalasi paydo bo'lmaydi, bu holda masala quyidagicha ifodalaniadi: tekshirilyotgan sistemaning to'liq funktsiyalarini g'alayonlanmagan sistemaning stasionar holatlari to'liq funktsiyalari bo'yicha taqriban hisoblashdan iboratdir.

Statsionar bo'lmagan jarayonlar nazariyasida g'alayonlanishni paydo bo'lish jarayonini tekshirib chiqish mumkin. Bu holda sistemadagi g'alayonlanishni o'z ichiga qamrab olgan to'la gamiltonian vaqtga bog'liq bo'ladi, natijada energiya saqlanmaydi va stasionar holatlar mavjud bo'lmaydi. Umuman o'lganda bu holda sistemaning energetik sathlari o'zgarimaydi, sistema vaqtga bog'liq bo'lgan g'alayonlanish ta'sirida muayyan stasionar holatlarda qolmasdan, biror bir stasionar holatdan boshqasiga o'tish jarayonini sodir etadi. Demak, bu holda energiyaning xususiy qiymatlariga tuzatmalarni topish masalasi paydo bo'lmaydi, bu holda masala quyidagicha ifodalaniadi: tekshirilyotgan sistemaning to'liq funktsiyalarini g'alayonlanmagan sistemaning stasionar holatlari to'liq funktsiyalari bo'yicha taqriban hisoblashdan iboratdir.

$$i\hbar \frac{dc_m^{(1)}}{dt} = W_{mk} e^{i\omega_m t} \quad (8.88)$$

ko'rinishda yozish mumkin. Ajraluvchi o'zgaruvchilardan tashkil topgan bu tenglamalarni integrallash natijasida ushbu

$$c_m^{(1)}(t) = -\frac{i}{\hbar} \int W_{mk} e^{i\omega_m t} dt + Const \quad (8.89)$$

yechimga ega bo'linadi. Yuqoridagi hisoblashlarga o'xshash hisoblashlarni davom ettirilsa, keyingi yaqinlashishlardagi koeffitsiyentlarni ham aniqlash mumkin.

Hisoblashlar natijasida (8.89) formula orqali olingan $|c_m^{(1)}(t)|^2$ kattalik birinchi yaqinlashishda $t > 0$ vaqt momentida sistemani m holatda topish ehtimolligini aniqlab beradi, agarda boshlanish $t = 0$ vaqt momentida sistema k holatda joylashgan bo'lsa.

Masalan, hisoblashlar natijasida ikkinchi tartibdagi yaqinlashishda izlanayotgan $c_m^{(2)}$ koeffitsiyenti uchun yechim quyidagi ko'rinishda bo'ladi:

$$c_m^{(2)}(t) = -\frac{i}{\hbar} \sum_k \int W_{mk} e^{i\omega_m t} c_k^{(1)}(t) dt \quad (8.90)$$

(8.89) va (8.90) integrallarda chegaralarni tanlanishi, qo'yilgan konkret masala shartlariga bog'liqdir. Masalan, g'alayonlanish muayyan chekli vaqt oralig'idagina ta'sir qilishi mumkin. G'alayonlanish ta'sir qilishdan oldin sistema diskret spektrining k holatda joylashgan bo'lsin. Keyingi vaqt momentida sistemaning holati

$$\psi_m(x, t) = \sum_k c_{km}(t) \psi_k(t)$$

funktsiya orqali ifodalalanib, birinchi yaqinlashishdagi koeffitsiyentlarning ko'rinishi quyidagicha bo'ladi:

$$(E_k^0 + W_{\beta\beta} - E)c_{\beta}^{(0)} + \sum_{\alpha \neq \beta} W_{\beta\alpha} c_{\alpha}^{(0)} = 0. \quad (8.44)$$

$$(E_k^0 - E)c_{k\beta}^{(0)} = \sum_{\alpha, \beta} W_{k\beta, \alpha\alpha} c_{\alpha}^{(0)} \quad (8.43)$$

$$(E_k^0 - E)c_{k\alpha}^{(0)} = 0 \quad (n \neq k) \quad (8.42)$$

tenglik ajratib olinadi. $\alpha = \beta$ hadlarni alohida ajratib, tenglamaning chap tomoniga o'tkazilsa va k indeks vaqtincha yozilmasa, u holda quyidagi tenglamaga kelinadi:

$$\left. \begin{aligned} c_{k\alpha}^{(0)} = c_{k\alpha}^{(0)} (\neq 0), \quad \alpha = 1, 2, \dots, j_k \\ c_{n\alpha}^{(0)} = 0 \quad (n \neq k) \end{aligned} \right\} \quad (8.41)$$

ifoda kelib chiqadi va bundan $E = E_k^0$ da $c_{k\beta} \neq 0$ degan hulosaga kelinadi. Shuning uchun bu holda

$$(E_k^0 - E)c_{k\beta} = 0 \quad (8.41)$$

holda nolinci yaqinlashishda (8.39) tenglamalardan $c_{n\alpha}$ nolga teng bo'ladi. Nolinci yaqinlashishda (8.39) tenglamalardan $c_{n\alpha}$ nolga teng bo'lmagan hadlar tanlab olinadi, ya'ni

tenglik ajratib olinadi. $\alpha = \beta$ hadlarni alohida ajratib, tenglamaning chap tomoniga o'tkazilsa va k indeks vaqtincha yozilmasa, u holda quyidagi tenglamaga kelinadi:

$$(E_k^0 - E)c_{k\beta}^{(0)} = \sum_{\alpha, \beta} W_{k\beta, \alpha\alpha} c_{\alpha}^{(0)} \quad (8.43)$$

$$(E_k^0 - E)c_{k\alpha}^{(0)} = 0 \quad (n \neq k) \quad (8.42)$$

tenglik ajratib olinadi. $\alpha = \beta$ hadlarni alohida ajratib, tenglamaning chap tomoniga o'tkazilsa va k indeks vaqtincha yozilmasa, u holda quyidagi tenglamaga kelinadi:

$$(E - E_m^0)c_m^{\beta} = \sum_n W_{m\beta, n\alpha} c_{n\alpha} \quad (8.39)$$

bo'ladi va (8.7) tenglama

$$\sum_{n, \alpha} c_{n\alpha} \psi_{n\alpha} = \sum_{n, \alpha} (x) \psi_{n\alpha} \quad (8.38)$$

bo'ladi va (8.7) tenglama

$$\psi_{200} = R_{20}(r)Y_{00}$$

$$\psi_{210} = R_{21}(r)Y_{10}$$

$$\psi_{211} = R_{21}(r)Y_{11} \quad (8.52)$$

$$\psi_{21,-1} = R_{21}(r)Y_{1,-1}$$

Demak (2.81) ga binoan

$$Y_{00} = \frac{1}{\sqrt{4\pi}}, Y_{10} = \sqrt{\frac{3}{4\pi}} \cos\theta, Y_{1\pm 1} = \sqrt{\frac{3}{8\pi}} \sin\theta \cdot e^{\pm i\phi} \quad (8.53)$$

bo'ladi. Ikkinchidan, radial funksiyalarni (5.46) formula yordamida osongina hisoblash mumkin:

$$R_{20} = \frac{1}{\sqrt{2a^3}} e^{-\frac{r}{2a}} \left(1 - \frac{r}{2a} \right) \quad (8.54)$$

$$R_{21} = \frac{1}{\sqrt{6a^3}} e^{-\frac{r}{2a}} \frac{r}{2a}$$

bunda a – Bor orbitasining radiusi, $\frac{1}{\sqrt{2a^3}}$ va $\frac{1}{\sqrt{6a^3}}$ esa

normallashtiruvchi koeffitsiyentlar. Sferik koordinatalar sistemasi hisobga olinsa, (8.52) dagi funksiyalarni quyidagicha yozish mumkin:

$$\psi_{200} = \psi_1^0 = \frac{1}{\sqrt{4\pi}} R_{20} = f(r),$$

$$\psi_{210} = \psi_2^0 = \sqrt{\frac{3}{8\pi}} R_{21} \frac{z}{r} = F(r)z, \quad (8.55)$$

$$\psi_{211} = \psi_3^0 = \sqrt{\frac{3}{8\pi}} R_{21} \frac{x+iy}{r} = F(r) \frac{x+iy}{r},$$

$$\psi_{21,-1} = \psi_4^0 = \sqrt{\frac{3}{8\pi}} R_{21} \frac{x-iy}{r} = F(r) \frac{x-iy}{\sqrt{2}}.$$

E_2^0 sathga tegishli umumiy holat esa (8.47) ga binoan

$$\varphi = \sum_{\alpha=1}^4 C_{\alpha} \psi_{\alpha}^{(0)} \quad (8.56)$$

bo'ladi. Endi, aynish mavjud bo'lgan holda g'alayonlanish nazariyasiga asosan kvant holatlarini va to'liq funksiyalarini aniqlash uchun (8.44) dagi tenglamani yechish kerak bo'ladi. Bu holda tenglamalar quyidagi ko'rinishga ega bo'ladi:

bo'ladi. Endi, aynish mavjud bo'lgan holda g'alayonlanish nazariyasiga asosan kvant holatlarini va to'liq funksiyalarini aniqlash uchun (8.44) dagi tenglamani yechish kerak bo'ladi. Bu holda tenglamalar quyidagi ko'rinishga ega bo'ladi:

Demak, uning yechimlari

$$\begin{aligned} \psi_{n_1}^{(0)}(x, t) &= \psi_{n_1}^{(0)}(x) e^{-\frac{i}{\hbar} E_{n_1} t} \\ \psi_{n_2}^{(0)}(x, t) &= \psi_{n_2}^{(0)}(x) e^{-\frac{i}{\hbar} E_{n_2} t} \\ \psi_{n_3}^{(0)}(x, t) &= \psi_{n_3}^{(0)}(x) e^{-\frac{i}{\hbar} E_{n_3} t} \\ \psi_{n_4}^{(0)}(x, t) &= \psi_{n_4}^{(0)}(x) e^{-\frac{i}{\hbar} E_{n_4} t} \end{aligned} \quad (8.74)$$

Endi g'alayonlangan (8.72) tenglamaning yechimini quyidagi

$$\psi(x, t) = \sum_n c_n(t) \psi_n^{(0)}(x) e^{-\frac{i}{\hbar} E_n t} \quad (8.75)$$

yig'indi ko'rinishida izlanadi, bunda yoyilma koeffitsiyentlari vaqtga bog'liq funksiyalardir va bu juda muhim ahamiyatga ega. Shunday qilib, (8.72) dagi to'la Shredinger tenglamasini yechish, $\hat{W}(x, t)$ ta'siri natijasida sistemaning topilish ehtimolligini aniqlash mumkin. Demak, sistemaning vaqt o'tishi bilan rivojlanishini ifodalash uchun $c_n(t)$ koeffitsiyentlarni aniqlash zarur. Bu masalani hal qilish uchun (8.75) yoyilma (8.72) tenglamaga qo'yiladi va quyidagi munosabat olinadi:

$$\hat{H}(t, x) \tilde{W}\lambda + (x) \hat{H}_0 = \hat{H} \quad (8.87)$$

Hosil bo'lgan tenglamalarga (8.87) dagi tenglamalarga (8.88) ... + ... = 0

$$\frac{dc_m^{(s)}}{dt} = 0 \quad (8.87)$$

Hosil bo'lgan tenglamalarga (8.87) dagi tenglamalarga (8.88) ... + ... = 0

Hosil bo'lgan tenglamalarga (8.87) dagi tenglamalarga (8.88) ... + ... = 0

Hosil bo'lgan tenglamalarga (8.87) dagi tenglamalarga (8.88) ... + ... = 0

Hosil bo'lgan tenglamalarga (8.87) dagi tenglamalarga (8.88) ... + ... = 0

Hosil bo'lgan tenglamalarga (8.87) dagi tenglamalarga (8.88) ... + ... = 0

Hosil bo'lgan tenglamalarga (8.87) dagi tenglamalarga (8.88) ... + ... = 0

Hosil bo'lgan tenglamalarga (8.87) dagi tenglamalarga (8.88) ... + ... = 0

Hosil bo'lgan tenglamalarga (8.87) dagi tenglamalarga (8.88) ... + ... = 0

Hosil bo'lgan tenglamalarga (8.87) dagi tenglamalarga (8.88) ... + ... = 0

Hosil bo'lgan tenglamalarga (8.87) dagi tenglamalarga (8.88) ... + ... = 0

Hosil bo'lgan tenglamalarga (8.87) dagi tenglamalarga (8.88) ... + ... = 0

Hosil bo'lgan tenglamalarga (8.87) dagi tenglamalarga (8.88) ... + ... = 0

Hosil bo'lgan tenglamalarga (8.87) dagi tenglamalarga (8.88) ... + ... = 0

Hosil bo'lgan tenglamalarga (8.87) dagi tenglamalarga (8.88) ... + ... = 0

Hosil bo'lgan tenglamalarga (8.87) dagi tenglamalarga (8.88) ... + ... = 0

Hosil bo'lgan tenglamalarga (8.87) dagi tenglamalarga (8.88) ... + ... = 0

Hosil bo'lgan tenglamalarga (8.87) dagi tenglamalarga (8.88) ... + ... = 0

noldan farqli bo'lgan yechimlarga ega bo'lishi uchun (8.44) tenglamani diskriminanti nolga teng bo'lishi kerak:

$$\Delta(E) = \begin{vmatrix} E_k^0 + W_{11} - E, & W_{12}, & \dots, & W_{1k} \\ W_{21}, & E_k^0 + W_{22} - E, & \dots, & W_{2k} \\ \dots, & \dots, & \dots, & \dots \\ W_{k1}, & \dots, & E_k^0 + W_{kk} - E, & \dots \end{vmatrix} = 0. \quad (8.45)$$

Hosil bo'lgan E ga nisbatan tuzilgan f_k darajali algebrak tenglamaning ildizlari quyidagicha bo'ladi:

$$E = E_{k_1}, E_{k_2}, \dots, E_{k_l} \quad (8.46)$$

W_{ga} matritk elementlar kichik bo'lganligi sababli, bu olingan ildizlar bir-biriga yaqin joylashgan bo'ladi. Demak, g'alayonlanish natijasida E_k^0 aynigan holat bir qator bir-biriga yaqin joylashgan sathlardan iborat bo'ladi va bunda aynish holatlar yo'qoladi. Agarda (8.46) dagi bir nechta ildizlar bir-biriga teng bo'lsa, u holda aynish qisman yo'qolgan bo'ladi.

Nolinchi yaqinlashishdagi aniq to'liq funksiyani hosil qilish uchun cheksiz ko'p chiziqli kombinatitsiyalar ichida (8.44) tenglamaga tegishli bo'lgan $c_{k\alpha}^{(0)}$ koeffitsiyentlar uchun funksiyalar to'plamini tanlab olish kerak:

$$\psi_{k\beta}^{(0)}(x) = \sum_{\alpha=1}^l C_{k\alpha}^{(0)} \psi_{k\alpha}^{(0)}(x) \quad (8.47)$$

Endi (8.45) tenglamani yechib, har bir (8.46) dagi ildizni qiymatini (8.44) dagi tenglamaga qo'yish kerak. Bu orqali $c_{k\alpha}^{(0)}$ koeffitsiyentlar aniqlangan bo'ladi va olingan natajani (8.47) qo'yib, nolinchi yaqinlashishda izlanayotgan to'liq funksiyalari aniqlanadi.

8.4. Elektr maydonida vodород atomining energetek sathlarini ajralishi

Elektr maydon ta'sirida atom spekt chiziqklarining ajralishi Shtrark effekti deyiladi. 1913-yilda I. Shtark elektr maydon ta'sirida vodород atomida Balmer seriyasi chiziqklarining ajralishini kuzatdi. Agar elektr maydon yetarlicha zaif bo'lsa va bu maydon ta'sirida yuzaga keladigan

qilib, (8.78) tenglamani quyidagi ko'rinishda yozish mumkin:

$$W_{mn}(t) = \int \psi_m^{(0)*}(x) e^{\frac{i}{\hbar} E_m t} \hat{W}(x, t) \psi_n^{(0)}(x) e^{-\frac{i}{\hbar} E_n t} dv = W_{mn} e^{i\omega_{mn} t}. \quad (8.80)$$

Bu yerda $W_{mn}(t)$ had orqali g'alayonlanish operatorining matritk elementi belgilanadi va bu had g'alayonlanishning vaqtga bog'liq ko'paytuvchisini ham o'z ichiga olgan matritsa elementidir. Shunday qilib, (8.78) tenglamani quyidagi ko'rinishda yozish mumkin:

$$\int \psi_m^{(0)*}(x) \psi_n^{(0)}(x) dv = \begin{cases} 0, & n \neq m \\ 1, & n = m \end{cases} \quad (8.79)$$

Olingan (8.78) dagi ifodaning o'ng tomonidagi yig'indida faqat bitta

$$n = m \text{ ga tegishli bo'lgan had saqlanib qoladi, chunki} \quad (8.78)$$

$$= \sum_n c_n(t) \int \psi_m^{(0)*}(x, t) \hat{W}(x, t) \psi_n^{(0)}(x, t) dv =$$

bo'yicha integrallanadi va quyidagi natijaga kelinadi:

$$i\hbar \sum_n \frac{dc_n(t)}{dt} \int \psi_m^{(0)*}(x, t) \psi_n^{(0)}(x, t) dv = \sum_n c_n(t) \int \psi_m^{(0)*}(x, t) \hat{W}(x, t) \psi_n^{(0)}(x, t) dv. \quad (8.77)$$

Hosil bo'lgan (8.77) tenglamani ikkala tomonini chap tomonidan $\psi_m^{(0)*}(x, t)$ funksiyaga ko'paytirib, so'ngra butun fazo bo'yicha integrallanadi va quyidagi natijaga kelinadi:

$$i\hbar \sum_n \frac{dc_n(t)}{dt} \int \psi_m^{(0)*}(x, t) \psi_n^{(0)}(x, t) dv = \sum_n c_n(t) \int \hat{H}_0^{(0)}(x, t) \left[\hat{W}(x, t) + \frac{d}{dt} \right] \psi_n^{(0)}(x, t) dv \quad (8.76)$$

holatga o'tishdagi chastotalarni ifodalaydi.

$$= \left(\int \psi_m^{(0)*}(x, t) \psi_n^{(0)}(x, t) dv \right) \left[\hat{H}_0^{(0)}(x, t) + \frac{d}{dt} \right] c_n(t) \int \psi_m^{(0)*}(x, t) \psi_n^{(0)}(x, t) dv + \frac{dc_n(t)}{dt} \int \psi_m^{(0)*}(x, t) \psi_n^{(0)}(x, t) dv \quad (8.75)$$

+

noldan farqli bo'lgan yechimlarga ega bo'lishi uchun (8.44) tenglamani diskriminanti nolga teng bo'lishi kerak:

$$i\hbar \frac{dc_m(t)}{dt} = \sum_n W_{mn} c_n(t) e^{i\omega_{mn} t} \quad (8.81)$$

bunda $\omega_{mn} = \frac{E_m^0 - E_n^0}{\hbar}$ (8.82)

teng bo'lib, E_m^0 energiyaga ega bo'lgan stasionar holatdan E_n^0 stasionar holatga o'tishdagi chastotalarni ifodalaydi.

Olingan (8.81) dagi tenglamalar sistemasi aniq bo'lib, o'zaro ta'sir tasavvurdagi Shredinger tenglamasi deyiladi.

Hozirgi vaqtgacha hech qanday yaqinlashishlar to'g'risida gap yuritilmagan edi. (8.81) dagi tenglamalar sistemasi yechimini hosil qilish matematik nuqtayi nazardan berilgan Shredinger to'la tenglamasini yechish bilan ekvivalentdir.

Faraz qilaylik, $t=0$ vaqt momentida g'alayonlanmagan sistemaning energiyasini o'lchash natijasida E_k qiymatni olishga erishildi. U holda $t=0$ vaqt momentida quyidagi shart bajarilishi kerak:

$$c_k(0) = 1, \quad c_n(0) = 0 \text{ agarda } n \neq m \text{ bo'lsa.} \quad (8.83)$$

Vaqt o'tishi bilan $c_n(t)$ koeffitsiyentlar ham o'zgaradi va vaqtning keyingi momentlaridagi sistemaning energiyasi E_k qiymatlarini qabul qiladi. Bunday hodisaning sodir bo'lish ehtimoligi $|c_k(t)|^2$ ga teng bo'ladi. Demak, sistema boshlang'ich vaqt momentida k holatda joylashgan bo'lsa, u holda $t > 0$ vaqt momentida sistemani m holatda topish ehtimoligi $|c_k(t)|^2$ kattalikka teng bo'ladi.

Shunday qilib, t vaqt momentida $E = E_m$ holatda joylashgan sistemani topilish ehtimoligi $|c_m(t)|^2$ kattalikka teng bo'ladi. Shuning uchun, t vaqt momentiga kelganida E_m holatdan E_m holatga o'tish ehtimoligi

$$P_{mm}(t) = |c_m(t)|^2 \quad (8.84)$$

bo'ladi.

Ushbu bobning 8.1-paragrafidan ishlatilgan λ parametrlari kiritish maqsadga muvofiqdir. Bu parametrlar yordamida g'alayonlanishni kiritish yoki o'chirish mumkin. U holda, (8.71) dagi to'la gamiltonianni

$$P_{mm} = \frac{4\pi^2}{\hbar^2} |W_{mm}(\omega_{mm})|^2 \quad (8.98)$$

Juda muhim natijaga ega bo'lindi. $P_{mm} \neq 0$ bo'lishi uchun $W_{mm}(\omega_{mm}) \neq 0$ bo'lishi shart, ya'ni E_n sathdan E_m sathga o'tish mavjud bo'lishi uchun ta'sir etuvchi g'alayonlanish spektrining ichida $\omega_{mm} = \frac{1}{\hbar}(E_m - E_n)$ chastotaga teng bo'lgan chastota albatta mavjud bo'lishi kerak. Boshqacha aytganda, o'tish jarayoni rezonans xarakterga ega bo'lib, kvant sistemasi esa ω_{mm} Bor chastotalariga teng bo'lgan xususiy chastotali ossillatorlarning to'plami shaklida qarash mumkin. O'zgaruvchan tashqi g'alayonlanish ta'sirida sistemadagi faqat shunday ossillatorlar uyg'onish holatiga keladiki, ularning chastotalari g'alayonlanishda ishtirok etuvchi chastotalar bilan mos kelishi kerak.

Shunday qilib, sistema g'alayonlanish ta'sirida dastlabki stasionar holatdan istalgan boshqasiga o'tadi. Olingan (8.98) formula diskret

$$c_m^{(1)} = \frac{2\pi}{i\hbar} W_{mm}(\omega_{mm}) \quad (8.97)$$

natijaga kelinadi. Demak, (8.84) va (8.97) formularga asosan, E_n stasionar holatdan E_m stasionar holatga o'tish ehtimolligini quyidagi formula orqali ifodalash mumkin:

$$W_{mm}(\omega) = \frac{1}{2\pi} \int_{-\infty}^{\infty} W_{mm}(t) e^{i\omega t} dt \quad (8.96)$$

integralga kelinadi. Olingan tenglikni (8.91) dagi integral bilan solishtirilsa,

$$\omega p(\omega) = \int_{-\infty}^{\infty} e^{-i\omega t} W_{mm} dt \quad (8.95)$$

integraldagi $W_{mm}(\omega)$ kattalik ω chastotaga ega bo'lgan Fur'ye komponentasining matrit elementini bo'lib, unga Fur'ye teoremasi qo'llanilsa,

$$\begin{aligned} &= xp(x) \psi''(\omega, x) W(x) \int_{-\infty}^{\infty} \omega p(\omega) d\omega \int_{-\infty}^{\infty} e^{-i\omega t} \psi''(\omega, x) W(x) \psi''(\omega, x) d\omega \\ &= xp(x) \psi''(\omega, x) W(x) \int_{-\infty}^{\infty} \omega p(\omega) d\omega \int_{-\infty}^{\infty} e^{-i\omega t} \psi''(\omega, x) W(x) \psi''(\omega, x) d\omega \end{aligned} \quad (8.95)$$

Umuman olganda, nurlanish hodisasiga nisbatan kvant sistemani garmonik tebratuvchi dipollar to'plami bilan ifodalab, bu ossillatorlar to'plamining barchasini elektr momentining matritsasi orqali tassavur qilish mumkin, ya'ni

$$D(t) = \begin{pmatrix} D_{11} & D_{12} e^{i\omega_{12}t} & \dots & D_{1n} e^{i\omega_{1n}t} & \dots \\ D_{21} e^{i\omega_{21}t} & D_{22} & \dots & D_{2n} e^{i\omega_{2n}t} & \dots \\ \dots & \dots & \dots & \dots & \dots \\ D_{n1} e^{i\omega_{n1}t} & D_{n2} e^{i\omega_{n2}t} & \dots & D_{nn} e^{i\omega_{nn}t} & \dots \end{pmatrix} \quad (8.118)$$

bo'lib, uning chastotalari esa

$$\omega_{mm} = \frac{E_m - E_n}{\hbar} \quad (8.118')$$

kabi aniqlanadi. Ular ham quyidagi matritsani tashkil etadi:

$$\omega = \begin{vmatrix} 0 & \omega_{12} & \dots & \omega_{1n} & \dots \\ \omega_{21} & 0 & \dots & \omega_{2n} & \dots \\ \vdots & \vdots & \ddots & \vdots & \vdots \\ \omega_{n1} & \omega_{n2} & \dots & \omega_{nn} & \dots \end{vmatrix} \quad (8.118'')$$

$D(t)$ matritsaning $D_{mm}(t)$ diagonal elementlari vaqtga bog'liq emas, chunki $\omega_{mm} = 0$ bo'lib, ular n - kvant holatida joylashgan atomning o'rtaacha elektr momentini ifodalaydi. Diagonal bo'lmagan elementlar esa atomning nurlanishini ifodalab, Bor chastotalariga teng bo'lgan chastotalar bilan tebranadi.

Shunday qilib, (8.114) formulani (8.98) formulaga qo'yish natijasida E_n holatdan E_m holatga o'tish ehtimolligini hisoblash mumkin, ya'ni:

$$P_{mm} = \frac{4\pi^2}{\hbar^2} |c(\omega_{mm})|^2 \cdot |D_{mm}|^2 \quad (8.119)$$

ga teng bo'ladi. Kvant mexanikasiga doir darsliklarda $|c(\omega_{mm})|^2$ kattalikning qiymati hisoblab berilgan, ya'ni elektr maydoni Fur'ye komponentasining kvadratini T vaqt mobaynida oqib o'tgan energiya miqdori orqali ifodalash mumkin. $d\omega$ chastota intervalida 1 sm² yuzadan o'tgan energiya miqdorini $E(\omega_{mm})$ bilan belgilansa,

$$E(\omega_{mm}) = c |c(\omega)|^2$$

$$\Psi(\mathbf{r}_1, \mathbf{r}_2, S_1, S_2) = \Phi(\mathbf{r}_1, \mathbf{r}_2) \cdot S(S_1, S_2). \quad (9.6)$$

mumkin:

$$\Psi(\mathbf{r}_1, \mathbf{r}_2) = \Phi(\mathbf{r}_1, \mathbf{r}_2) \cdot S(S_1, S_2). \quad (9.5)$$

Olingan (9.5) Shredinger tenglamasidagi Gamilton operatorida spin operatorlari hisobga olinmasligi tufayli, to'la to'lqin funksiyasini ikkita to'lqin funksiyalarining ko'paytmasi sifatida qarash mumkin. Ulardan biri elektronlarning og'irlik markazi harakatini ifodalovchi funksiya bo'lsa, ikkinchisi ularning spinlariga tegishli o'zgaruvchilarni ifoda qiluvchi funksiya bo'ladi. Agarda spin o'zgaruvchilar sifatida oz yo'nalishdagi spin proyeksiyalar tanlab olinsa, u holda gelyiy atomidagi ikkita elektron uchun to'liq to'lqin funksiyani quyidagicha yozish mumkin:

$$\hat{H}(\mathbf{r}_1, \mathbf{r}_2) = -\frac{\hbar^2}{2m} \nabla_1^2 - \frac{\hbar^2}{2m} \nabla_2^2 - \frac{2e^2}{r_1} - \frac{2e^2}{r_2} + \frac{e^2}{r_{12}} \quad (9.4)$$

ifoda orqali aniqlash mumkin. Shunday qilib, gelyiy atomining yadrosi cheksiz katta massaga ega bo'lib, qo'zg'almas deb hisoblanadi va ikkita elektronli sistema uchun Shredinger tenglamasi quyidagicha bo'ladi:

$$\hat{H}(\mathbf{r}_1, \mathbf{r}_2, S_1, S_2) = -\frac{\hbar^2}{2m} \nabla_1^2 - \frac{\hbar^2}{2m} \nabla_2^2 - \frac{2e^2}{r_1} - \frac{2e^2}{r_2} + \frac{e^2}{r_{12}} \quad (9.3)$$

Hosil qilingan (9.3) ifodada oxirgi had atomdagi spektrlarning multiplet strukturasi bilan bog'langan bo'lib, Kulon o'zaro ta'siriga nisbatan juda kichik son orqali berilgan bo'ladi. Shuning uchun, keyingi hisoblashlarda bu had hisobga olinmaydi va (9.3) ning ko'rinishini

$$\hat{H}(\mathbf{r}_1, \mathbf{r}_2) = -\frac{\hbar^2}{2m} \nabla_1^2 - \frac{\hbar^2}{2m} \nabla_2^2 - \frac{2e^2}{r_1} - \frac{2e^2}{r_2} + \frac{e^2}{r_{12}} \quad (9.2)$$

Endi ikkala elektronlar kinetik energiyasi hisobga olinsa, gelyiy atomining to'liq gamiltonianini quyidagi ifodalash mumkin:

Endi ikkala elektronlar kinetik energiyasi hisobga olinsa, gelyiy atomining to'liq gamiltonianini quyidagi ifodalash mumkin:

$$P_{mm} = \frac{4\pi^2}{\hbar^2} |D_{mm}|^2 \frac{E(\omega_{mm})}{c} \quad (8.119')$$

natijaga ega bo'lmadi. U holda,

ifoda hosil qilinadi. Oqib o'tgan energiya miqdori $E(\omega_{mm})$ esa o'z navbatida chastotaning birlik intervaliga to'g'ri kelgan $\rho(\omega_{mm})$ nurlanayotgan energiyaning zichligini c - yorug'lik tezligiga, hamda T - energiyaning o'tish vaqtiga ko'paytmasiga teng bo'ladi, ya'ni:

$$E(\omega_{mm}) = \rho(\omega) cT. \quad (8.120)$$

Yuqoridagi (8.119) va (8.120) ikkala formulaga asoslanib birlik vaqt ichida E_n holatdan E_m holatga $P_{mm}(\omega_{mm})$ o'tish ehtimolligi hisoblash mumkin, buning uchun (8.119') formulada $P_{mm}(\omega_{mm})$ ni yorug'likning ta'sir qiluvchi T vaqtga bo'lish kifoya qiladi, u holda

$$P_{mm} = \frac{4\pi^2}{\hbar^2} |D_{mm}|^2 \rho(\omega_{mm}) \quad (8.121)$$

natija olinadi. Agarda D_{mm} elektr moment vektori va \mathbf{I} yorug'lik maydonining polarizatsiya yo'nalishi orasidagi burchakni Θ_{mm} orqali belgilansa, $P_{mm}(\omega_{mm})$ kattalik uchun quyidagi natijaga kelinadi:

$$P_{mm} = \frac{4\pi^2}{\hbar^2} |D_{mm}|^2 \cos^2 \Theta_{mm} \rho(\omega_{mm}). \quad (8.122)$$

Ushbu formula yordamida o'tish ehtimolliklarini hisoblash mumkin bo'lib, qaralayotgan atom sistemaning xossalari bilan aniqlanadigan D_{mm} elektr moment matritsasini bilishning o'zi kifoya.

8.8. Dipol nurlanishi uchun tanlash qoidalari

Avvalgi paragrafda ko'rsatildiki, tashqi elektromagnit maydon ta'sirida o'tish hodisalarining ro'y berilish ehtimolligi kiritilgan D_{mm} elektr momentlarining qiymatlarini nolga teng bo'lmasiligiga bog'liqligi aniqlangan edi. Aslida qaraganimizda, ushbu matrit element holatlarining ko'p kombinatsiyasi uchun nolga teng bo'ladi va bu holalarda berilgan holatlar uchun o'tish ta'qiqlangan bo'lib, uning ehtimolligi nolga teng bo'ladi. Masalan, ikkala E_n va E_m holatlarining mavjudligiga qaramasdan, yorug'lik ta'sirida E_n holatdan E_m holatga

Shunday qilib, $\psi(\mathbf{r}, t)$ to'liq funksiyasi uchun Shredinger tenglamasi:

$$W(\mathbf{r}, t) = -\varepsilon(t) \cdot (\mathbf{1D}). \quad (8.112)$$

(8.111) ni quyidagicha yozish mumkin:

$$W(\mathbf{r}, t) = -e\varphi = +e(\boldsymbol{\varepsilon}, \mathbf{r}) = -\boldsymbol{\varepsilon D} \quad (8.111)$$

bo'ladi. Bunda $\mathbf{D} = -e\mathbf{r}$ elektronning elektr momentini ifodalovchi kattalikdir. Endi birlik $\mathbf{1}$ vektorini kiritilsa va $\boldsymbol{\varepsilon}(t) = \mathbf{1}\boldsymbol{\varepsilon}(t)$ bo'lsa, u holda

$$\varphi(\mathbf{r}, t) = -\boldsymbol{\varepsilon r}$$

bo'lsa, u holda \mathbf{r} nuqtada joylashgan elektronga ta'sir etuvchi kuch funksiyasi

$$\boldsymbol{\varepsilon} = \boldsymbol{\varepsilon}(t). \quad (8.110)$$

Yuqorida qilgan mulohazalarga asosan, (8.110) dan foydalanib, yorug'likning elektr maydoni bilan elektron orasidagi o'zaro ta'sir ifodasini kiritish mumkin. Agarda maydonning skalyar potentsiali

bo'lgan elektr maydonni quyidagicha belgilab olinadi:

$$D(t) = \begin{pmatrix} 0 & D_0 e^{i\omega_0 t} \sqrt{\frac{1}{2}} & 0 & 0 \\ D_0 e^{i\omega_0 t} \sqrt{\frac{1}{2}} & 0 & D_0 e^{i\omega_0 t} \sqrt{\frac{2}{2}} & 0 \\ 0 & D_0 e^{i\omega_0 t} \sqrt{\frac{2}{2}} & 0 & D_0 e^{i\omega_0 t} \sqrt{\frac{3}{2}} \\ \dots & \dots & \dots & \dots \end{pmatrix} \quad (8.126)$$

Shunday qilib, muhim natijaga kelinadi: garmonik ossillator faqat o'zining ω_0 xususiy chastotasiga teng bo'lgan chastotali yorug'likni yutishi yoki nurlantirishi mumkin.

Atomdagi elektron uchun tanlash qoidalarini

Ushbu qismda markaziy kuchlar maydonida harakatlantuvchi elektronning elektr momenti matritsasini tekshirib chiqiladi. Bu holda kelib chiqadigan ikkita tanlash qoidasini hisoblash mumkin, ulardan biri l orbital kvant soniga ikkinchisi esa m magnet kvant soniga bog'liq bo'ladi. Stasionar holatlarning to'liq funksiyalari ma'lum bo'lgan

$$\psi_{nlm}(r, \theta, \varphi) = R_{nl}(r) P_l^m(\cos\theta) e^{im\varphi}$$

ko'rinishga ega bo'ladi. (8.122) formuladan ko'rinish turibdiki, ushbu berilgan to'liq funksiyalarga nisbatan elektr momenti matritsasini hisoblash yetarli. Agarda bu matritk elementlar nolga teng bo'lsa, u holda o'tish ehtimolliklari ham nolga teng bo'ladi va natijada shu o'tishga tegishli bo'lgan spektral chiziq tajribalarda kuzatilmaydi.

$$\boldsymbol{\varepsilon}(x, t) = \boldsymbol{\varepsilon}_0 \cos(\omega_0 t) \quad (8.109)$$

ko'rinishda bo'lsin, ya'ni atom ichidagi fazoning barcha nuqtalarida bu kattalik bir xil qiymatni qabul qiladi. Atomning o'lchamlari tushayotgan yorug'likning to'liq uzunligidan ancha kichik bo'lish sharti keng oraliqda o'rinalidir. Xususan, ultrabinafsha va ko'rinadigan yorug'liklar uchun $\lambda \gg 10^{-8}$ sm ($a \approx 10^{-8}$ sm) bo'ladi. Atom ichida yorug'likning vaqtga bog'liq bo'lgan elektr maydoni ta'sir etadi va bu ta'sir atoming butun o'lchamlari ichida bir xil qiymatga egadir. Bunday vaqtga bog'liq bo'lgan elektr maydonni quyidagicha belgilab olinadi:

$$D_{mn} \neq 0, \quad m = n + 1. \quad (8.124)$$

Tegishi chastotalar esa

$$\omega_{mn} = \omega_0 (m - n) = \pm \omega_0 \quad (8.125)$$

teng bo'lib, garmonik ossilyatorning xususiy chastotasiga teng bo'ladi.

Agarda $D_0 = e^2 r_0 = e \sqrt{\frac{\hbar}{m\omega_0}}$ kabi belgilash kiritilsa va (4.89) formuladan foydalanilsa, Geyzenberg tassavurida $D(t)$ matritsani quyidagicha yozish mumkin:

$$dP_{\varepsilon} R_{\varepsilon} R_{\varepsilon}^{\dagger} = \int_{-\infty}^0 dP_{\varepsilon} R_{\varepsilon} R_{\varepsilon}^{\dagger} \quad (8.134)$$

Endi (8.133) ni qayta yozish mumkin: $\mathbf{1} \pm = \mathbf{1} V$

$$(8.133)$$

Endi (8.133) ni qayta yozish mumkin:

$$dP_{\varepsilon} R_{\varepsilon} R_{\varepsilon}^{\dagger} = \int_{-\infty}^0 dP_{\varepsilon} R_{\varepsilon} R_{\varepsilon}^{\dagger} \quad (8.134)$$

Endi (8.133) ni qayta yozish mumkin:

$$dP_{\varepsilon} R_{\varepsilon} R_{\varepsilon}^{\dagger} = \int_{-\infty}^0 dP_{\varepsilon} R_{\varepsilon} R_{\varepsilon}^{\dagger} \quad (8.134)$$

Endi (8.133) ni qayta yozish mumkin:

$$dP_{\varepsilon} R_{\varepsilon} R_{\varepsilon}^{\dagger} = \int_{-\infty}^0 dP_{\varepsilon} R_{\varepsilon} R_{\varepsilon}^{\dagger} \quad (8.134)$$

Endi (8.133) ni qayta yozish mumkin:

$$dP_{\varepsilon} R_{\varepsilon} R_{\varepsilon}^{\dagger} = \int_{-\infty}^0 dP_{\varepsilon} R_{\varepsilon} R_{\varepsilon}^{\dagger} \quad (8.134)$$

Endi (8.133) ni qayta yozish mumkin:

$$dP_{\varepsilon} R_{\varepsilon} R_{\varepsilon}^{\dagger} = \int_{-\infty}^0 dP_{\varepsilon} R_{\varepsilon} R_{\varepsilon}^{\dagger} \quad (8.134)$$

Endi (8.133) ni qayta yozish mumkin:

$$dP_{\varepsilon} R_{\varepsilon} R_{\varepsilon}^{\dagger} = \int_{-\infty}^0 dP_{\varepsilon} R_{\varepsilon} R_{\varepsilon}^{\dagger} \quad (8.134)$$

Endi (8.133) ni qayta yozish mumkin:

$$dP_{\varepsilon} R_{\varepsilon} R_{\varepsilon}^{\dagger} = \int_{-\infty}^0 dP_{\varepsilon} R_{\varepsilon} R_{\varepsilon}^{\dagger} \quad (8.134)$$

Endi (8.133) ni qayta yozish mumkin:

$$dP_{\varepsilon} R_{\varepsilon} R_{\varepsilon}^{\dagger} = \int_{-\infty}^0 dP_{\varepsilon} R_{\varepsilon} R_{\varepsilon}^{\dagger} \quad (8.134)$$

Endi (8.133) ni qayta yozish mumkin:

$$dP_{\varepsilon} R_{\varepsilon} R_{\varepsilon}^{\dagger} = \int_{-\infty}^0 dP_{\varepsilon} R_{\varepsilon} R_{\varepsilon}^{\dagger} \quad (8.134)$$

Endi (8.133) ni qayta yozish mumkin:

$$dP_{\varepsilon} R_{\varepsilon} R_{\varepsilon}^{\dagger} = \int_{-\infty}^0 dP_{\varepsilon} R_{\varepsilon} R_{\varepsilon}^{\dagger} \quad (8.134)$$

Endi (8.133) ni qayta yozish mumkin:

$$dP_{\varepsilon} R_{\varepsilon} R_{\varepsilon}^{\dagger} = \int_{-\infty}^0 dP_{\varepsilon} R_{\varepsilon} R_{\varepsilon}^{\dagger} \quad (8.134)$$

Endi (8.133) ni qayta yozish mumkin:

$$dP_{\varepsilon} R_{\varepsilon} R_{\varepsilon}^{\dagger} = \int_{-\infty}^0 dP_{\varepsilon} R_{\varepsilon} R_{\varepsilon}^{\dagger} \quad (8.134)$$

Endi (8.133) ni qayta yozish mumkin:

$$dP_{\varepsilon} R_{\varepsilon} R_{\varepsilon}^{\dagger} = \int_{-\infty}^0 dP_{\varepsilon} R_{\varepsilon} R_{\varepsilon}^{\dagger} \quad (8.134)$$

Endi (8.133) ni qayta yozish mumkin:

$$dP_{\varepsilon} R_{\varepsilon} R_{\varepsilon}^{\dagger} = \int_{-\infty}^0 dP_{\varepsilon} R_{\varepsilon} R_{\varepsilon}^{\dagger} \quad (8.134)$$

Endi (8.133) ni qayta yozish mumkin:

$$dP_{\varepsilon} R_{\varepsilon} R_{\varepsilon}^{\dagger} = \int_{-\infty}^0 dP_{\varepsilon} R_{\varepsilon} R_{\varepsilon}^{\dagger} \quad (8.134)$$

Endi (8.133) ni qayta yozish mumkin:

$$dP_{\varepsilon} R_{\varepsilon} R_{\varepsilon}^{\dagger} = \int_{-\infty}^0 dP_{\varepsilon} R_{\varepsilon} R_{\varepsilon}^{\dagger} \quad (8.134)$$

Endi (8.133) ni qayta yozish mumkin:

$$dP_{\varepsilon} R_{\varepsilon} R_{\varepsilon}^{\dagger} = \int_{-\infty}^0 dP_{\varepsilon} R_{\varepsilon} R_{\varepsilon}^{\dagger} \quad (8.134)$$

Endi (8.133) ni qayta yozish mumkin:

$$dP_{\varepsilon} R_{\varepsilon} R_{\varepsilon}^{\dagger} = \int_{-\infty}^0 dP_{\varepsilon} R_{\varepsilon} R_{\varepsilon}^{\dagger} \quad (8.134)$$

Endi (8.133) ni qayta yozish mumkin:

$$dP_{\varepsilon} R_{\varepsilon} R_{\varepsilon}^{\dagger} = \int_{-\infty}^0 dP_{\varepsilon} R_{\varepsilon} R_{\varepsilon}^{\dagger} \quad (8.134)$$

Endi (8.133) ni qayta yozish mumkin:

$$dP_{\varepsilon} R_{\varepsilon} R_{\varepsilon}^{\dagger} = \int_{-\infty}^0 dP_{\varepsilon} R_{\varepsilon} R_{\varepsilon}^{\dagger} \quad (8.134)$$

Endi (8.133) ni qayta yozish mumkin:

$$dP_{\varepsilon} R_{\varepsilon} R_{\varepsilon}^{\dagger} = \int_{-\infty}^0 dP_{\varepsilon} R_{\varepsilon} R_{\varepsilon}^{\dagger} \quad (8.134)$$

Endi (8.133) ni qayta yozish mumkin:

$$dP_{\varepsilon} R_{\varepsilon} R_{\varepsilon}^{\dagger} = \int_{-\infty}^0 dP_{\varepsilon} R_{\varepsilon} R_{\varepsilon}^{\dagger} \quad (8.134)$$

Endi (8.133) ni qayta yozish mumkin:

$$dP_{\varepsilon} R_{\varepsilon} R_{\varepsilon}^{\dagger} = \int_{-\infty}^0 dP_{\varepsilon} R_{\varepsilon} R_{\varepsilon}^{\dagger} \quad (8.134)$$

Endi (8.133) ni qayta yozish mumkin:

$$dP_{\varepsilon} R_{\varepsilon} R_{\varepsilon}^{\dagger} = \int_{-\infty}^0 dP_{\varepsilon} R_{\varepsilon} R_{\varepsilon}^{\dagger} \quad (8.134)$$

Endi (8.133) ni qayta yozish mumkin:

$$dP_{\varepsilon} R_{\varepsilon} R_{\varepsilon}^{\dagger} = \int_{-\infty}^0 dP_{\varepsilon} R_{\varepsilon} R_{\varepsilon}^{\dagger} \quad (8.134)$$

Endi (8.133) ni qayta yozish mumkin:

$$dP_{\varepsilon} R_{\varepsilon} R_{\varepsilon}^{\dagger} = \int_{-\infty}^0 dP_{\varepsilon} R_{\varepsilon} R_{\varepsilon}^{\dagger} \quad (8.134)$$

Endi (8.133) ni qayta yozish mumkin:

$$dP_{\varepsilon} R_{\varepsilon} R_{\varepsilon}^{\dagger} = \int_{-\infty}^0 dP_{\varepsilon} R_{\varepsilon} R_{\varepsilon}^{\dagger} \quad (8.134)$$

Endi (8.133) ni qayta yozish mumkin:

$$dP_{\varepsilon} R_{\varepsilon} R_{\varepsilon}^{\dagger} = \int_{-\infty}^0 dP_{\varepsilon} R_{\varepsilon} R_{\varepsilon}^{\dagger} \quad (8.134)$$

Endi (8.133) ni qayta yozish mumkin:

$$dP_{\varepsilon} R_{\varepsilon} R_{\varepsilon}^{\dagger} = \int_{-\infty}^0 dP_{\varepsilon} R_{\varepsilon} R_{\varepsilon}^{\dagger} \quad (8.134)$$

Endi (8.133) ni qayta yozish mumkin:

$$dP_{\varepsilon} R_{\varepsilon} R_{\varepsilon}^{\dagger} = \int_{-\infty}^0 dP_{\varepsilon} R_{\varepsilon} R_{\varepsilon}^{\dagger} \quad (8.134)$$

Endi (8.133) ni qayta yozish mumkin:

$$dP_{\varepsilon} R_{\varepsilon} R_{\varepsilon}^{\dagger} = \int_{-\infty}^0 dP_{\varepsilon} R_{\varepsilon} R_{\varepsilon}^{\dagger} \quad (8.134)$$

Endi (8.133) ni qayta yozish mumkin:

$$dP_{\varepsilon} R_{\varepsilon} R_{\varepsilon}^{\dagger} = \int_{-\infty}^0 dP_{\varepsilon} R_{\varepsilon} R_{\varepsilon}^{\dagger} \quad (8.134)$$

Endi (8.133) ni qayta yozish mumkin:

$$dP_{\varepsilon} R_{\varepsilon} R_{\varepsilon}^{\dagger} = \int_{-\infty}^0 dP_{\varepsilon} R_{\varepsilon} R_{\varepsilon}^{\dagger} \quad (8.134)$$

Endi (8.133) ni qayta yozish mumkin:

$$dP_{\varepsilon} R_{\varepsilon} R_{\varepsilon}^{\dagger} = \int_{-\infty}^0 dP_{\varepsilon} R_{\varepsilon} R_{\varepsilon}^{\dagger} \quad (8.134)$$

Endi (8.133) ni qayta yozish mumkin:

$$dP_{\varepsilon} R_{\varepsilon} R_{\varepsilon}^{\dagger} = \int_{-\infty}^0 dP_{\varepsilon} R_{\varepsilon} R_{\varepsilon}^{\dagger} \quad (8.134)$$

Endi (8.133) ni qayta yozish mumkin:

$$dP_{\varepsilon} R_{\varepsilon} R_{\varepsilon}^{\dagger} = \int_{-\infty}^0 dP_{\varepsilon} R_{\varepsilon} R_{\varepsilon}^{\dagger} \quad (8.134)$$

Endi (8.133) ni qayta yozish mumkin:

$$dP_{\varepsilon} R_{\varepsilon} R_{\varepsilon}^{\dagger} = \int_{-\infty}^0 dP_{\varepsilon} R_{\varepsilon} R_{\varepsilon}^{\dagger} \quad (8.134)$$

Endi (8.133) ni qayta yozish mumkin:

$$dP_{\varepsilon} R_{\varepsilon} R_{\varepsilon}^{\dagger} = \int_{-\infty}^0 dP_{\varepsilon} R_{\varepsilon} R_{\varepsilon}^{\dagger} \quad (8.134)$$

Endi (8.133) ni qayta yozish mumkin:

$$dP_{\varepsilon} R_{\varepsilon} R_{\varepsilon}^{\dagger} = \int_{-\infty}^0 dP_{\varepsilon} R_{\varepsilon} R_{\varepsilon}^{\dagger} \quad (8.134)$$

Endi (8.133) ni qayta yozish mumkin:

$$dP_{\varepsilon} R_{\varepsilon} R_{\varepsilon}^{\dagger} = \int_{-\infty}^0 dP_{\varepsilon} R_{\varepsilon} R_{\varepsilon}^{\dagger} \quad (8.134)$$

Endi (8.133) ni qayta yozish mumkin:

$$dP_{\varepsilon} R_{\varepsilon} R_{\varepsilon}^{\dagger} = \int_{-\infty}^0 dP_{\varepsilon} R_{\varepsilon} R_{\varepsilon}^{\dagger} \quad (8.134)$$

Endi (8.133) ni qayta yozish mumkin:

$$dP_{\varepsilon} R_{\varepsilon} R_{\varepsilon}^{\dagger} = \int_{-\infty}^0 dP_{\varepsilon} R_{\varepsilon} R_{\varepsilon}^{\dagger} \quad (8.134)$$

Endi (8.133) ni qayta yozish mumkin:

$$dP_{\varepsilon} R_{\varepsilon} R_{\varepsilon}^{\dagger} = \int_{-\infty}^0 dP_{\varepsilon} R_{\varepsilon} R_{\varepsilon}^{\dagger} \quad (8.134)$$

Endi (8.133) ni qayta yozish mumkin:

$$dP_{\varepsilon} R_{\varepsilon} R_{\varepsilon}^{\dagger} = \int_{-\infty}^0 dP_{\varepsilon} R_{\varepsilon} R_{\varepsilon}^{\dagger} \quad (8.134)$$

Endi (8.133) ni qayta yozish mumkin:

$$dP_{\varepsilon} R_{\varepsilon} R_{\varepsilon}^{\dagger} = \int_{-\infty}^0 dP_{\varepsilon} R_{\varepsilon} R_{\varepsilon}^{\dagger} \quad (8.134)$$

Endi (8.133) ni qayta yozish mumkin:

$$dP_{\varepsilon} R_{\varepsilon} R_{\varepsilon}^{\dagger} = \int_{-\infty}^0 dP_{\varepsilon} R_{\varepsilon} R_{\varepsilon}^{\dagger} \quad (8.134)$$

Endi (8.133) ni qayta yozish mumkin:

$$dP_{\varepsilon} R_{\varepsilon} R_{\varepsilon}^{\dagger} = \int_{-\infty}^0 dP_{\varepsilon} R_{\varepsilon} R_{\varepsilon}^{\dagger} \quad (8.134)$$

Endi (8.133) ni qayta yozish mumkin:

$$dP_{\varepsilon} R_{\varepsilon} R_{\varepsilon}^{\dagger} = \int_{-\infty}^0 dP_{\varepsilon} R_{\varepsilon} R_{\varepsilon}^{\dagger} \quad (8.134)$$

Endi (8.133) ni qayta yozish mumkin:

$$dP_{\varepsilon} R_{\varepsilon} R_{\varepsilon}^{\dagger} = \int_{-\infty}^0 dP_{\varepsilon} R_{\varepsilon} R_{\varepsilon}^{\dagger} \quad (8.134)$$

Endi (8.133) ni qayta yozish mumkin:

$$dP_{\varepsilon} R_{\varepsilon} R_{\varepsilon}^{\dagger} = \int_{-\infty}^0 dP_{\varepsilon} R_{\varepsilon} R_{\varepsilon}^{\dagger} \quad (8.134)$$

Endi (8.133) ni qayta yozish mumkin:

$$dP_{\varepsilon} R_{\varepsilon} R_{\varepsilon}^{\dagger} = \int_{-\infty}^0 dP_{\varepsilon} R_{\varepsilon} R_{\varepsilon}^{\dagger} \quad (8.134)$$

Endi (8.133) ni qayta yozish mumkin:

$$dP_{\varepsilon} R_{\varepsilon} R_{\varepsilon}^{\dagger} = \int_{-\infty}^0 dP_{\varepsilon} R_{\varepsilon} R_{\varepsilon}^{\dagger} \quad (8.134)$$

Endi (8.133) ni qayta yozish mumkin:

$$dP_{\varepsilon} R_{\varepsilon} R_{\varepsilon}^{\dagger} = \int_{-\infty}^0 dP_{\varepsilon} R_{\varepsilon} R_{\varepsilon}^{\dagger} \quad (8.134)$$

Endi (8.133) ni qayta yozish mumkin:

$$dP_{\varepsilon} R_{\varepsilon} R_{\varepsilon}^{\dagger} = \int_{-\infty}^0 dP_{\varepsilon} R_{\varepsilon} R_{\varepsilon}^{\dagger} \quad (8.134)$$

Endi (8.133) ni qayta yozish mumkin:

$$dP_{\varepsilon} R_{\varepsilon} R_{\varepsilon}^{\dagger} = \int_{-\infty}^0 dP_{\varepsilon} R_{\varepsilon} R_{\varepsilon}^{\dagger} \quad (8.134)$$

Endi (8.133) ni qayta yozish mumkin:

$$dP_{\varepsilon} R_{\varepsilon} R_{\varepsilon}^{\dagger} = \int_{-\infty}^0 dP_{\varepsilon} R_{\varepsilon} R_{\varepsilon}^{\dagger} \quad (8.134)$$

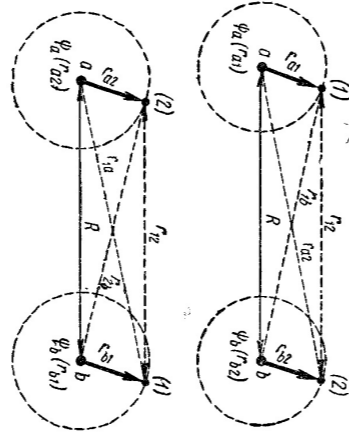
Endi (8.133) ni qayta yozish mumkin:

$$dP_{\varepsilon} R_{\varepsilon} R_{\varepsilon}^{\dagger} = \int_{-\infty}^0 dP_{\varepsilon} R_{\varepsilon} R_{\varepsilon}^{\dagger} \quad (8.134)$$

Endi (8.133) ni qayta yozish mumkin:

Ioni bog'lanish kuchlari qarama-qarshi elektr zaryadlar orasidagi bir-biriga tortishuv kuchlaridan farq qilmaydi. Masalan, $NaCl$ molekulasida atomlarning bog'lanishi Na^+ ion bilan Cl^- ion o'rtasida elektrostatik tortishish kuchi asosida vujudga keladi. Kulon qonuniga asosan, qarama-qarshi zaryadli ionlar o'zaro tortishadi va Kulon kuchi ta'sirida ionlar bir-biriga yaqinlashishadi. Ammo, kichik masofalarda ularning yaqinlashuviga to'sqinlik qiladigan itarishuv kuchlari paydo bo'ladi. Natijada masofaning biror qiymatida bu ikki kuchlar tenglashadi, ya'ni metal (Na) va galloid (Cl) atomlardan tashkil topgan turg'un sistema, molekula, vujudga keladi.

23-rasm. Vodород molekulasidagi o'zaro ta'sir sxemasi.



23-rasmdagi tutash chiziq o'zaro ta'sir ψ_1 va ψ_2 yechimlarga bo'ysunuvchi zarrachalar orasidagi bog'lanishni ifodalaydi, punktir chiziq esa nolinchii yaqinlashishdagi o'zaro ta'sirni ifodalaydi.

Sodir bo'lgan vaziyatda ikkita atomdan iborat sistemadagi har bir elektron bir vaqtning o'zida ikkala atomga ham tegishli bo'ladi. Bu esa o'z navbatida Pauli prinsipiga zid emas, chunki bir holarda spinlari qarama-qarshi yo'nalgan ikkita elektron mavjud bo'lishi mumkin. Masofa kamayishi bilan elektron bulutlarining zichligi ortib borishi natijasida yadrolar bir-biriga maksimal yaqinlashishga harakat qiladi, ya'ni tortishuv kuchlarining natijasida molekula kovalent bog'lanish kuchlari paydo bo'ladi. Atomlar orasidagi bargaror molekula vujudga keladi, uning turg'unligi atomlar orasidagi elektronlarning o'zaro almashuviga bog'liqdir. Demak, ikkala elektronning unumlashuvi tufayli molekuldagi kovalent bog'lanish kuchlari paydo bo'ladi.

9.4. Vodород molekulasii

Misol tariqasida kvant mexanikasi asosida H_2 vodород molekulasining tuzilishini ko'rib chiqaylik. Vodород molekulasii ikkita proton va ikkita elektronlardan tashkil topgan bo'lib, uning tuzilishini kovalent bog'lanish kuchlari orqali, ya'ni faqat almashuv energiyasi asosida, tushuntirish mumkin. Vodород molekulasii nazariyasini yaratish uchun undagi ikkita atom o'zaro ta'sir potensialini aniqlash zarur. Bu

Bu formulada spinga bog'liqlik bo'lgan to'liq funktsiyasining $S(s_1, s_2)$ orqali berilgan.

Tajribadan ma'lumki, elektronlar Pauli prinsipiga bo'ysunadi. Demak, (9.6) dagi to'liq funktsiyasi elektronlarning o'rin almashirishiga nisbatan antisimmetrik funktsiya bo'lishi kerak, ya'ni

$$\hat{P}_{12} \Psi(\mathbf{r}_1, \mathbf{r}_2, s_1, s_2) = -\Psi(\mathbf{r}_1, \mathbf{r}_2, s_1, s_2) \quad (9.7)$$

(9.7) da kiritilgan \hat{P}_{12} o'rin almashtrish operatori \hat{P}'_{12} va \hat{P}''_{12} ikkita operator ko'paytmasi shaklida berilishi mumkin. Bunda birinchi \hat{P}'_{12} - o'rin almashtrish operatori \mathbf{r}_1 va \mathbf{r}_2 elektronlarning og'irlik markazi koordinatalari o'rnini almashtrisa, ikkinchi \hat{P}''_{12} - operator S_1 va S_2 elektronlarning o'rnini almashtradi. Demak, (9.7) ifoda o'rniga

$$\hat{P}'_{12} \Phi(\mathbf{r}_1, \mathbf{r}_2) \cdot \hat{P}''_{12} S(s_1, s_2) = -\Phi(\mathbf{r}_1, \mathbf{r}_2) \cdot S(s_1, s_2) \quad (9.8)$$

formulani olish mumkin.

Hosil qilingan ifodadan ikkita imkoniyat kelib chiqadi: birinchidan

$$\hat{P}'_{12} \Phi(\mathbf{r}_1, \mathbf{r}_2) = +\Phi(\mathbf{r}_1, \mathbf{r}_2) \quad (9.9)$$

bo'lsa, u holda

$$\hat{P}''_{12} S(s_1, s_2) = -S(s_1, s_2) \quad (9.10)$$

o'rinli bo'ladi, ikkinchidan

$$\hat{P}'_{12} \Phi(\mathbf{r}_1, \mathbf{r}_2) = -\Phi(\mathbf{r}_1, \mathbf{r}_2) \quad (9.11)$$

bo'lsa, u holda

$$\hat{P}''_{12} S(s_1, s_2) = +S(s_1, s_2) \quad (9.12)$$

kelib chiqadi. Birinchi imkoniyatda koordinataga bog'liq bo'lgan funktsiya simmetrik funktsiya, spinga tegishli funktsiya esa antisimmetrik funktsiya orqali ifodalanihini bildiradi. Ikkinchi imkoniyat holda esa aksincha, ya'ni koordinata funktsiyasi antisimmetrik, spin esa simmetrik funktsiya orqali ifodalanadi. Demak, geliy atomini ifodalovchi to'liq funktsiyasi uchun ikki tipdagi to'liq funktsiyalar hosil bo'ladi:

$$\Psi_1 = \Phi_a(\mathbf{r}_1, \mathbf{r}_2) \cdot S_s(s_1, s_2), \quad (9.13)$$

$$\Psi_2 = \Phi_b(\mathbf{r}_1, \mathbf{r}_2) \cdot S_a(s_1, s_2). \quad (9.14)$$

$\hat{H}_0(\mathbf{r}_1, \mathbf{r}_2)$ – operator ikkala elektronning o'zaro ta'sirini hisobga olmagan holdagi yadro maydonidagi elektronlarning to'la energiyasini

$$\hat{H}_0(\mathbf{r}_1, \mathbf{r}_2) = -\frac{\hbar^2}{2m} \nabla_1^2 - \frac{\hbar^2}{2m} \nabla_2^2 - \frac{2e^2}{r_1} - \frac{2e^2}{r_2} \quad (9.14)$$

va

$$\hat{W}(r_{12}) = \frac{e^2}{r_{12}} \quad (9.15)$$

ya'ni

$$\hat{H}(\mathbf{r}_1, \mathbf{r}_2) = \hat{H}_0(\mathbf{r}_1, \mathbf{r}_2) + \hat{W}(r_{12}) = \hat{H}_0(\mathbf{r}_1) + \hat{H}_0(\mathbf{r}_2) + \hat{W}(r_{12}) \quad (9.16)$$

Bu tenglamadagi \hat{H} operatorni quyidagicha yozish mumkin:

$$\left(-\frac{\hbar^2}{2m} \nabla_1^2 - \frac{\hbar^2}{2m} \nabla_2^2 - \frac{2e^2}{r_1} - \frac{2e^2}{r_2} + \frac{e^2}{r_{12}} \right) \Phi(\mathbf{r}_1, \mathbf{r}_2) = E \Phi(\mathbf{r}_1, \mathbf{r}_2). \quad (9.17)$$

ni qisqartirib quyidagi tenglamaga kelinadi:

$$\left(-\frac{\hbar^2}{2m} \nabla_1^2 - \frac{\hbar^2}{2m} \nabla_2^2 - \frac{2e^2}{r_1} - \frac{2e^2}{r_2} + \frac{e^2}{r_{12}} \right) \Phi(\mathbf{r}_1, \mathbf{r}_2) = E \Phi(\mathbf{r}_1, \mathbf{r}_2). \quad (9.18)$$

bu holda, (9.6) dagi ifodadan foydalanilisa, (9.5) dagi tenglamada $S(s_1, s_2)$

ni qisqartirib quyidagi tenglamaga kelinadi:

$$\left(-\frac{\hbar^2}{2m} \nabla_1^2 - \frac{\hbar^2}{2m} \nabla_2^2 - \frac{2e^2}{r_1} - \frac{2e^2}{r_2} + \frac{e^2}{r_{12}} \right) \Phi(\mathbf{r}_1, \mathbf{r}_2) = E \Phi(\mathbf{r}_1, \mathbf{r}_2). \quad (9.19)$$

bu holda, (9.6) dagi ifodadan foydalanilisa, (9.5) dagi tenglamada $S(s_1, s_2)$

ni qisqartirib quyidagi tenglamaga kelinadi:

$$\left(-\frac{\hbar^2}{2m} \nabla_1^2 - \frac{\hbar^2}{2m} \nabla_2^2 - \frac{2e^2}{r_1} - \frac{2e^2}{r_2} + \frac{e^2}{r_{12}} \right) \Phi(\mathbf{r}_1, \mathbf{r}_2) = E \Phi(\mathbf{r}_1, \mathbf{r}_2). \quad (9.20)$$

bu holda, (9.6) dagi ifodadan foydalanilisa, (9.5) dagi tenglamada $S(s_1, s_2)$

ni qisqartirib quyidagi tenglamaga kelinadi:

$$\left(-\frac{\hbar^2}{2m} \nabla_1^2 - \frac{\hbar^2}{2m} \nabla_2^2 - \frac{2e^2}{r_1} - \frac{2e^2}{r_2} + \frac{e^2}{r_{12}} \right) \Phi(\mathbf{r}_1, \mathbf{r}_2) = E \Phi(\mathbf{r}_1, \mathbf{r}_2). \quad (9.21)$$

bu holda, (9.6) dagi ifodadan foydalanilisa, (9.5) dagi tenglamada $S(s_1, s_2)$

ni qisqartirib quyidagi tenglamaga kelinadi:

$$\left(-\frac{\hbar^2}{2m} \nabla_1^2 - \frac{\hbar^2}{2m} \nabla_2^2 - \frac{2e^2}{r_1} - \frac{2e^2}{r_2} + \frac{e^2}{r_{12}} \right) \Phi(\mathbf{r}_1, \mathbf{r}_2) = E \Phi(\mathbf{r}_1, \mathbf{r}_2). \quad (9.22)$$

bu holda, (9.6) dagi ifodadan foydalanilisa, (9.5) dagi tenglamada $S(s_1, s_2)$

ni qisqartirib quyidagi tenglamaga kelinadi:

$$\left(-\frac{\hbar^2}{2m} \nabla_1^2 - \frac{\hbar^2}{2m} \nabla_2^2 - \frac{2e^2}{r_1} - \frac{2e^2}{r_2} + \frac{e^2}{r_{12}} \right) \Phi(\mathbf{r}_1, \mathbf{r}_2) = E \Phi(\mathbf{r}_1, \mathbf{r}_2). \quad (9.23)$$

bu holda, (9.6) dagi ifodadan foydalanilisa, (9.5) dagi tenglamada $S(s_1, s_2)$

ni qisqartirib quyidagi tenglamaga kelinadi:

$$\left(-\frac{\hbar^2}{2m} \nabla_1^2 - \frac{\hbar^2}{2m} \nabla_2^2 - \frac{2e^2}{r_1} - \frac{2e^2}{r_2} + \frac{e^2}{r_{12}} \right) \Phi(\mathbf{r}_1, \mathbf{r}_2) = E \Phi(\mathbf{r}_1, \mathbf{r}_2). \quad (9.24)$$



mos kelgan bir jinsli bo'lgan tenglamaga ega bo'linadi. Matematika kursidan ma'lumki, bir jinsli bo'lmagan tenglamaning yechimini olish uchun uning o'ng tomonidagi had bir jinsli bo'lgan tenglamaning yechimiga ortogonal bo'lishi kerak. Boshqacha aytganda, quyidagi tenglama o'rinni bo'lishi lozim:

$$\int \{ [\varepsilon - W(1,2)] c_1 \psi_1 - [\varepsilon - W(2,1)] c_2 \psi_2 \} \psi_1 d\mathbf{v}_1 d\mathbf{v}_2 = 0 \quad (9.62)$$

bunda $d\mathbf{v}_1 = dx_1 dy_1 dz_1, d\mathbf{v}_2 = dx_2 dy_2 dz_2$ ga teng bo'lib, c_1 va c_2 koeffitsiyentlarni aniqlovchi birinchi tenglama hosil qilindi. Lekin qo'yilgan masalani to'la- to'kis hal qilish uchun ushbu tenglamaga o'xshash ikkinchi tenglamani ham hosil qilishga majbur bo'linadi.

Demak, (9.59) dagi ifodada $\hat{H}\varphi$ hadni quyidagi ko'rinishda olish lozim:

$$\hat{H}\varphi = [\hat{H}_0(2) + \hat{H}_0(1)]\varphi + W(2,1)\varphi. \quad (9.63)$$

Yuqoridagi tenglik hosil qilinganda yana kichik kattalik $W\varphi$ hisobga olinmaydi. Shunday qilib, (9.61) tenglama o'rninga quyidagi ifodani yozish mumkin:

$$[\hat{H}_0(2) + H_0(1)]\varphi - 2E_0\varphi = [\varepsilon - W(1,2)]c_1\psi_1 + [\varepsilon - W(2,1)]c_2\psi_2. \quad (9.64)$$

Olingan tenglamaning chap tomoni ψ_2 yechimga ega bo'lgan (9.56) tenglama bilan mos keladi, φ uchun bir jinsli bo'lmagan tenglamaning o'ng tomoni esa ψ_2 yechimga ega bo'lgan bir jinsli tenglamaga ortogonal bo'lishi kerak, ya'ni:

$$\int \{ [\varepsilon - W(1,2)] c_1 \psi_1 + [\varepsilon - W(2,1)] c_2 \psi_2 \} \psi_2 d\mathbf{v}_1 d\mathbf{v}_2 = 0. \quad (9.65)$$

tenglama o'rinni bo'lishi kerak.

Keyingi hisoblashlarni soddalashtirish maqsadida quyidagi belgilashlarni kiritiladi:

$$K = \int W(1,2) \psi_1 \psi_2 d\mathbf{v}_1 d\mathbf{v}_2 = \int W(2,1) \psi_2 \psi_1 d\mathbf{v}_1 d\mathbf{v}_2 \quad (9.66)$$

va

$$S^2 = \int \psi_1 \psi_2 d\mathbf{v}_1 d\mathbf{v}_2. \quad (9.67)$$

U holda, (9.62) va (9.63) tenglamalarni quyidagi ixcham ko'rinishda yozish mumkin:

$$U(R) = 2E_0 + \varepsilon(R) \quad (9.68)$$

Demak, ko'rilyotgan masalada $E(R)$ ni aniqlash kerak. Ravshanki, atomlarning yadrolari orasidagi masofa juda katta bo'lganida bir atomning ikkinchi atomdagi elektronning harakatiga bo'lgan ta'sirini hisobga olmasak ham bo'ladi, shuning uchun $R \rightarrow \infty$ da elektronlarning energiyasi har bir vodorod atomining elektronlar energiyasining yig'indisiga teng bo'ladi. Bizni keyinchalik quyidagi energetik holatda joylashgan vodorod molekulasini qiziqtiradi. Agarda normal holatdagi vodorod atomining energiyasi $E_0 = 13,55 \text{ eV}$ dan iborat ekanligi eslansa, u holda katta R masofalar uchun vodorod molekulasining energiyasi $2E_0$ ga teng bo'ladi. Umumiy holda

$$E(R) = 2E_0 + \varepsilon(R) \quad (9.69)$$

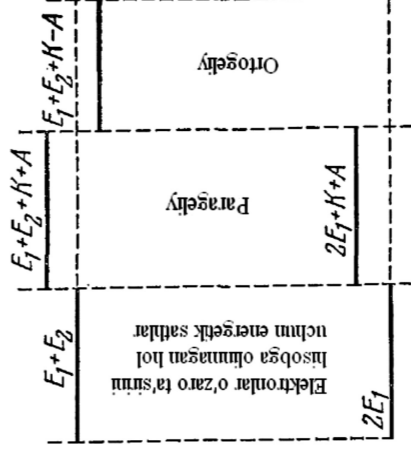
ifodani yozish mumkin. Olingan (9.42) formulada $\varepsilon(R)$ kattalik atomlarning bir-biriga yaqinlashgandagi elektronlar energiyasining o'zgarishini ko'rsatadi, boshqacha aytganda, har bir elektron ikkala atomga tegishli ekanligini bildiradi va atomlar orasida elektronlar almashuvi sodir bo'ladi. Shu tufayli o'zaro almashuv kuchlari vujudga kelib, kovalent bog'lanishni ifodalab beradi. Shunday qilib, ushbu paragrafning asosiy maqsadi o'zaro ta'sir energiyani hisoblashdan iborat.

Elektronlar sistemasi E - to'la energiyasi shu sistema uchun yozilgan Shredinger tenglamasidan aniqlanadi, ya'ni

$$\hat{H}(\mathbf{r}_1, \mathbf{r}_2)\Phi = E\Phi \quad (9.70)$$

bo'ladi. Bunda $\hat{H}(\mathbf{r}_1, \mathbf{r}_2)$ sistemaning gamiltoniani bo'lib, quyidagicha ko'rinishda bo'ladi:

sathlari parageliy va ortogeliy sathlarning turli energetik qiymatlarga tegishli bo'lgan sathlariga ajraladi: parageliy sathlarga $E_n + E_m + K + A$ sath o'rinni; ortogeliyga esa $E_n + E_m + K - A$ sath tegishlidir (22-rasm).



22-rasm. Geliy atomining almashuv ajralish sxemasi.

9.3. Molekulalarning tuzilishi

Barcha kimyoviy xususiyatlarni o'zida mujassamlashtirgan bir jinsli moddaning eng kichik zarrachasi molekula deb ataladi. Molekulalar bir xil yoki turli xil elementlarning atomlaridan tashkil topgan bo'ladi. Masalan, vodorod (H_2), kislorod (O_2) molekulari bir xil atomlardan tuzilgan molekular tarkibiga kirsa, osh tuzi molekulas ($NaCl$) esa har xil atomlardan tashkil topgan molekula misol bo'ladi. Shuni ta'kidlash lozimki, molekula barqaror, turg'un tuzilishga ega bo'lgan sistema hisoblanadi. Bu esa o'z navbatida molekulan tashkil etuvchi atomlararo ta'sirlashuvchi kuchlar bilan bevosita bog'langanligidan dalolat beradi. Keling bu bog'lanishning mohiyati bilan tanishib chiqaylik.

Tajribadan ma'lum bo'ldiki, molekularning barqarorligi, atomlar o'rtasida vujudga keladigan kimyoviy bog'lanish kuchlar ta'siri ostida amalga oshiriladi. Tabiatda ikki xil kimyoviy kuchlar mavjudligi aniqlandi: ionli bog'lanish kuchlari va kovalent bog'lanish kuchlari.

Parageliy va ortogeliy holatlar energiyalarining farqi (9.37) va (9.38) formulalarga binoan 2*A* ga teng bo'ladi. Demak, geliy atomining

$$\Phi_s(\mathbf{r}_1, \mathbf{r}_2) = \Psi_{100}(\mathbf{r}_1)\Psi_{100}(\mathbf{r}_2) \quad (9.39)$$

$$E = 2E_1 + K + A. \quad (9.40)$$

Geliy atomining temlarini va optikaviy spektarlari tuzilishini ko'rib chiqishdan ma'lumki, geliy atomining asosiy 1S_0 holatida atomining ikkala elektroni ham 1S holatida joylashgan va Pauli prinsipiga binoan ularning spinlari o'zaro qarama-qarshi yo'nalgan bo'ladi. Demak, geliy atomining asosiy holati simmetrik funksiya (parageliy) orqali ifodalanishi kerak. Bu holda $\psi_1 = \psi_2$ va $\Phi_s = 0$ bo'lishi lozim. Shunday qilib, geliy atomining quyi holati uchun yagona yechimning ko'rinishi va energetik sathning qiymati quyidagicha ifodalangan bo'ladi:

Geliy atomining temlarini va optikaviy spektarlari tuzilishini ko'rib chiqishdan ma'lumki, geliy atomining asosiy 1S_0 holatida atomining ikkala elektroni ham 1S holatida joylashgan va Pauli prinsipiga binoan ularning spinlari o'zaro qarama-qarshi yo'nalgan bo'ladi. Demak, geliy atomining asosiy holati simmetrik funksiya (parageliy) orqali ifodalanishi kerak. Bu holda $\psi_1 = \psi_2$ va $\Phi_s = 0$ bo'lishi lozim. Shunday qilib, almashuv energiyasi tufayli ikki xil holat mavjudligi kelib chiqdi: Φ_s simmetrik va Φ_a antisimmetrik holatlar.

Geliy atomining temlarini va optikaviy spektarlari tuzilishini ko'rib chiqishdan ma'lumki, geliy atomining asosiy 1S_0 holatida atomining ikkala elektroni ham 1S holatida joylashgan va Pauli prinsipiga binoan ularning spinlari o'zaro qarama-qarshi yo'nalgan bo'ladi. Demak, geliy atomining asosiy holati simmetrik funksiya (parageliy) orqali ifodalanishi kerak. Bu holda $\psi_1 = \psi_2$ va $\Phi_s = 0$ bo'lishi lozim. Shunday qilib, almashuv energiyasi tufayli ikki xil holat mavjudligi kelib chiqdi: Φ_s simmetrik va Φ_a antisimmetrik holatlar.

Yuqoridagi ifodalarda $\frac{1}{\sqrt{2}}$ ko'paytuvchi normallashtirish shartini bajarish uchun kiritilgan.

$$\Phi_s(\mathbf{r}_1, \mathbf{r}_2) = \frac{1}{\sqrt{2}}(\psi_1 + \psi_2), E_s = E_n + E_m + K + A, \quad (9.37)$$

$$\Phi_a(\mathbf{r}_1, \mathbf{r}_2) = \frac{1}{\sqrt{2}}(\psi_1 - \psi_2), E_a = E_n + E_m + K - A. \quad (9.38)$$

Shunday qilib, *K* kattalik elektronlarning Kulon o'zaro ta'siri bilan bog'liq energiyasini aniqlab bersa, *A* kattalik esa elektronlarning almashuv energiyasini ifodalaydi. Demak, elektronlarning almashuvi tufayli geliy atomida ikkita holat mavjud bo'ladi: Φ_s - simmetrik va Φ_a - antisimmetrik holatlar, bunda Φ_s to'liq funksiya elektronlarning spinlari qarama-qarshi yo'nalishda bo'lgan holatni ifodalaydi va parageliy holatini tavsiflaydi; Φ_a to'liq funksiya esa elektronlarning spinlarining yo'nalishi parallel bo'lgan holatni ifodalaydi va ortogeliy holatini tavsiflaydi. Shunday qilib, almashuv energiyasi tufayli ikki xil holat mavjudligi kelib chiqdi: Φ_s simmetrik va Φ_a antisimmetrik holatlar.

Shunday qilib, *K* kattalik elektronlarning Kulon o'zaro ta'siri bilan bog'liq energiyasini aniqlab bersa, *A* kattalik esa elektronlarning almashuv energiyasini ifodalaydi. Demak, elektronlarning almashuvi tufayli geliy atomida ikkita holat mavjud bo'ladi: Φ_s - simmetrik va Φ_a - antisimmetrik holatlar, bunda Φ_s to'liq funksiya elektronlarning spinlari qarama-qarshi yo'nalishda bo'lgan holatni ifodalaydi va parageliy holatini tavsiflaydi; Φ_a to'liq funksiya esa elektronlarning spinlarining yo'nalishi parallel bo'lgan holatni ifodalaydi va ortogeliy holatini tavsiflaydi. Shunday qilib, almashuv energiyasi tufayli ikki xil holat mavjudligi kelib chiqdi: Φ_s simmetrik va Φ_a antisimmetrik holatlar.



$$\hat{H} = -\frac{\hbar^2}{2m_1}\nabla_1^2 - \frac{\hbar^2}{2m_2}\nabla_2^2 - \frac{e^2}{r_{a1}} - \frac{e^2}{r_{b1}} - \frac{e^2}{r_{a2}} - \frac{e^2}{r_{b2}}. \quad (9.44)$$

Ushbu formulaga ikkala elektronning kinetik energiya operatorlaridan tashqari vodород molekulasining to'la potentsial energiyasi ham kiradi. Bu potentsial energiya elektronlarning potentsial energiyasi va protonlarning o'zaro Kulon itarishish potentsial energiyasidan iborat, ya'ni

$$a) \left[-\frac{e^2}{r_{a1}} \right] \text{ had birinchi elektroni va birinchi yadroning potentsial energiyasini,}$$

$$b) \left[-\frac{e^2}{r_{b1}} \right] \text{ had ikkinchi yadroni va ikkinchi elektronning potentsial energiyasini,}$$

$$c) \left[-\frac{e^2}{r_{b2}} \right] \text{ had ikkinchi yadroni va birinchi elektronning potentsial energiyasini,}$$

$$d) \left[-\frac{e^2}{r_{a2}} \right] \text{ had birinchi yadroni va ikkinchi elektronning potentsial energiyasini va nihoyat,}$$

$$e) \left[-\frac{e^2}{r_{12}} \right] \text{ had ikkala elektronning o'zaro ta'sir energiyalarini ifodalaydi (23-rasmga qarang)}$$

Hosil bo'lgan (9.43) tenglamani faqat taqribiy usullar yordamida yechiladi. (9.43) tenglamani analitik yechib bo'lmaydi, ammo qo'pol yaqinlashish bo'lsa ham geliy atomi uchun (9.15) tenglamani yechishda foydalanilgan g'alayonlanish usulidan foydalanib yechishga harakat qilinadi. Nolinchi yaqinlashishda molekulaning to'liq funksiya hosil qilishda ikkita o'zaro ta'sirlashmaydigan vodород atomining to'liq funksiyaalarini tanlab olish mumkin. Bu yaqinlashishga energiyaning tegishli bo'lgan qiymati $2E_0$ ga teng bo'ladi.

Yuqoridagi usulni qo'llash uchun qaralayotgan sistemaning (9.44) dagi g'amiltonianini batafsil va har tomonlama ko'rib chiqish lozim.

Qaralayotgan harakat Kulon maydonidagi harakat bo'lganligi sababli uning to'liq funksiyalari va kvant sathlari ma'lum. Birinchi elektron E_n energiyaga ega bo'lib, $\psi_n(\mathbf{r}_1)$ holatida joylashgan bo'lsin, ikkinchisi esa $-E_m$ energiya va $\psi_m(\mathbf{r}_2)$ holatda bo'ladi. U holda $E_n + E_m$ energiyaga tegishli bo'lgan nolinchi yaqinlashishdagi to'liq funksiya shaklida tanlab olish mumkin. Demak,

$$\psi_1(\mathbf{r}_1, \mathbf{r}_2) = -\psi_n(\mathbf{r}_1)\psi_m(\mathbf{r}_2) \quad (9.19)$$

beradi, $\hat{W}(\mathbf{r}_{12})$ - operator esa elektronlarning o'zaro ta'sir energiyasini ifodalaydi. (9.15) tenglama g'alayon operatori sifatida qaralishi mumkin. Boshqacha aytganda, (9.18) o'zaro ta'sir energiyasini kichik tuzatma deb qarash mumkin va nolinchi yaqinlashishda yadro maydonida elektronlar harakatini bir-biri bilan o'zaro ta'sir qilmaydi deb qarash mumkin.

$$\hat{H}_0(\mathbf{r}_1, \mathbf{r}_2)\psi'_1(\mathbf{r}_1, \mathbf{r}_2) = \hat{H}_0(\mathbf{r}_1)\psi'_n(\mathbf{r}_1) + \hat{H}_0(\mathbf{r}_2)\psi'_m(\mathbf{r}_2) = E_n\psi'_n(\mathbf{r}_1)\psi'_m(\mathbf{r}_2) + E_m\psi'_n(\mathbf{r}_1)\psi'_m(\mathbf{r}_2) \quad (9.20)$$

Qaralayotgan harakat Kulon maydonidagi harakat bo'lganligi sababli uning to'liq funksiyalari va kvant sathlari ma'lum. Birinchi elektron E_n energiyaga ega bo'lib, $\psi_n(\mathbf{r}_1)$ holatida joylashgan bo'lsin, ikkinchisi esa $-E_m$ energiya va $\psi_m(\mathbf{r}_2)$ holatda bo'ladi. U holda $E_n + E_m$ energiyaga tegishli bo'lgan nolinchi yaqinlashishdagi to'liq funksiya shaklida tanlab olish mumkin. Demak,

$$\psi_2(\mathbf{r}_1, \mathbf{r}_2) = -\psi_n(\mathbf{r}_1)\psi_m(\mathbf{r}_2) \quad (9.21)$$

Bu holatning to'liq funksiya shaklida tanlab olish mumkin. Demak,

$$\psi_2(\mathbf{r}_1, \mathbf{r}_2) = -\psi_n(\mathbf{r}_1)\psi_m(\mathbf{r}_2) \quad (9.22)$$

ko'rinishda bo'ladi va (9.20) dagi ifodaga o'xshash quyidagi

$$\hat{H}_0(\mathbf{r}_1, \mathbf{r}_2)\psi_2(\mathbf{r}_1, \mathbf{r}_2) = (E_n + E_m)\psi_2(\mathbf{r}_1, \mathbf{r}_2) \quad (9.22)$$

ifodani yozish mumkin.

Shunday qilib, g'alayonlanmagan $E_n + E_m$ sistemaga birinchi va ikkinchi elektronlar holatlarining almashuvi bilan farq qiladigan ψ_1 va ψ_2 ikkita holat tegishli bo'ladi. Bu holda aynish holatiga duch kelinadi. Geliy atomining nazariyasida uchraydigan bunday aynish almashuv aynishi deyiladi. Demak, g'alayonlanish nazariyasining umumiy qoidasiga binoan nolinchi yaqinlashishdagi to'liq funksiya

Endi (9.59) ning chap tomonida (9.47) va (9.53) hisobga olinsa, quyidagi hosil bo'ladi:

$$c_1[\hat{H}_a(1) + \hat{H}_b(2)]\psi + c_2[\hat{H}_a(2) + \hat{H}_b(1)]\psi_1 + c_1\psi_1 + c_2\psi_2 = 2E_0(c_1\psi_1 + c_2\psi_2) + \varepsilon\psi \quad (9.59)$$

Shu tuzatmani hisobga olishimizda va ikkinchi tartibli tuzatmalarni hisobga olmaganimizda (9.58) ni (9.43) tenglamaga qo'yilsa va (9.42) ni nazarda tutilsa, quyidagi ifodaga kelinadi:

$$\Phi = \psi_1\psi_2 + \psi_2\psi_1 + \psi_1\psi_1 + \psi_2\psi_2 + \varepsilon\psi \quad (9.58)$$

bunda c_1 va c_2 lar keyinchalik aniqlash bo'ladigan koeffitsiyentlar, Φ esa nolinchi yaqinlashishga tegishli tuzatmadir.

Ushbu formulaga ikkala elektronning kinetik energiya operatorlaridan tashqari vodород molekulasining to'la potentsial energiyasi ham kiradi. Bu potentsial energiya elektronlarning potentsial energiyasi va protonlarning o'zaro Kulon itarishish potentsial energiyasidan iborat, ya'ni

$$\psi_2(\mathbf{r}_1, \mathbf{r}_2) = -\psi_n(\mathbf{r}_1)\psi_m(\mathbf{r}_2) \quad (9.57)$$

Shunday qilib, yadrolar orasidagi *R* masofa katta bo'lganida (9.43) tenglama $2E_0$ energiyaga tegishli bo'lgan ikkita (9.52) va (9.57) formulalar orqali ifodalangan yechimlarga ega bo'ladi. Agarda endi atomlar orasidagi $W(1,2)$ o'zaro ta'sirlari hisobga olinsa yechimni ko'rinishi quyidagicha bo'ladi:

Hosil bo'lgan yuqoridagi tenglamada $E = 2E_0$ ga tegishli (9.49) va (9.56) yechimlar hisobga olinsa va kichik miqdor bo'lgan $W\Phi$, $\varepsilon\Phi$ ko'paytmalar qatnashgan hadlarni inobatga olinmasa,

$$[H_a(1) + H_b(2)]\Phi - 2E_0\Phi = [\varepsilon - W(1,2)]c_1\psi_1 + [\varepsilon - W(2,1)]c_2\psi_2 \quad (9.61)$$

tenglama olinadi.

Shunday qilib, ε xususiy qiymatga va $\psi(\mathbf{r})$ to'liq funksiya shaklida tuzatmalar topish uchun bir jinsli bo'lmagan tenglamani hosil qilindi. Bu tenglamani o'zida yana c_1 va c_2 koeffitsiyentlarni ham aniqlash lozim. Avvalo aytib o'tish kerakki, (9.61) tenglamaning o'ng tomonida nol bo'lganida, u holda $\psi_1(\mathbf{r})$ yechimli Φ funksiya uchun (9.49) bilan

$$(9.36) \quad \left. \begin{aligned} (K - \varepsilon)c_1 + Ac_2 &= 0 \\ (K - \varepsilon)c_2 + Ac_1 &= 0 \end{aligned} \right\}$$

ko'rinishda ifodalanadi. Olingan (9.36) tenglamalarga (9.35) dagi $\varepsilon = K + A$ ildiz qo'yilsa, $c_1 = c_2$ natija olinadi. Agar tenglamalarga (9.35) dagi ikkinchi $\varepsilon = K - A$ ildiz qo'yilsa, u holda $c_1 = -c_2$ natijaga kelinadi. Demak, (9.23) yechim quyidagi ko'rinishda bo'ladi: g'alayonlanish

$$(9.35) \quad \varepsilon = K \pm A$$

Yoki

$$(K - \varepsilon)^2 = A^2.$$

shaklida yozish mumkin va bu ifodadan

$$(9.34) \quad \begin{vmatrix} K - \varepsilon & A \\ A & K - \varepsilon \end{vmatrix} = 0$$

belgilash kiritilsa (9.28) dagi determinantni

$$(9.33) \quad W_{11} = W_{22} = K, \quad W_{12} = W_{21} = A$$

ni ko'rsatish mumkin. Shu bilan birga

$$(9.32) \quad W_{12} = W_{21} = W_{12}^* = W_{21}^*$$

Hisoblashlarni davom ettirib,

$$(9.31) \quad W_{12} = e^2 \int_{r_{12}} \frac{\psi_m^*(\mathbf{r}_1) \psi_m(\mathbf{r}_2) \psi_m^*(\mathbf{r}_2) \psi_m(\mathbf{r}_1)}{r_{12}} d\mathbf{v}_1 d\mathbf{v}_2.$$

$$(9.30) \quad W_{11} = e^2 \int \frac{|\psi_m^*(\mathbf{r}_1) \psi_m(\mathbf{r}_1)|^2}{r_{12}} d\mathbf{v}_1 d\mathbf{v}_2 = W_{22}.$$

aynigan holatlarning superpozitsiyasidan tashkil topgan bo'lish kerak, ya'ni

$$(9.23) \quad \Phi(\mathbf{r}_1, \mathbf{r}_2) = c_1 \psi_1(\mathbf{r}_1, \mathbf{r}_2) + c_2 \psi_2(\mathbf{r}_1, \mathbf{r}_2).$$

G'alayonlanish nazariyasining asosiy tenglamalaridan foydalanib, g'alayonlashgan sistemaning c_1 va c_2 amplitudalarini hamda E energiyaga tegishli bo'lgan kvant sathlari aniqlanadi. Bizning holda ikki karrali almashuv aynishi mavjud bo'lganligi sababli quyidagi tenglamalar o'rinnlidir:

$$(9.24) \quad \left. \begin{aligned} (E_{mm}^0 + W_{11} - E)c_1 + W_{12} c_2 &= 0 \\ W_{12} c_1 + (E_{mm}^0 + W_{22} - E)c_2 &= 0 \end{aligned} \right\}$$

$$(9.25) \quad \left. \begin{aligned} E_{mm}^0 &= E_n + E_m \\ W_{12} &= E_n + E_m \end{aligned} \right\}$$

bo'lib, g'alayonlanmagan harakatning energiyasini beradi, $W_{11}, W_{12}, W_{21}, W_{22}$ kattaliklar W g'alayonlanish energiyasining matritk elementlarini ifodalaydi va (9.18) formula bilan aniqlangan edi. Bunda

$$(9.26) \quad W_{11} = \int \psi_1^* \hat{W} \psi_1 d\mathbf{v}_1 d\mathbf{v}_2,$$

$$(9.27) \quad W_{12} = \int \psi_1^* \hat{W} \psi_2 d\mathbf{v}_1 d\mathbf{v}_2.$$

bo'ladi va $d\mathbf{v}_1 = dx_1 dy_1 dz_1$, $d\mathbf{v}_2 = dx_2 dy_2 dz_2$ bo'ladi.

G'alayonlanmagan sistemaning E energiya sathlarini topish uchun (9.24) tenglamalardan determinant tuziladi:

$$(9.28) \quad \begin{vmatrix} W_{11} - \varepsilon & W_{12} \\ W_{21} & W_{22} - \varepsilon \end{vmatrix} = 0$$

bunda

$$(9.29) \quad \varepsilon = E - E_{mm}^0 = E - (E_n + E_m)$$

energiyaga vujudga keladigan tuzatmani ifoda qiladi. Endi (9.26) va (9.27) dagi matritk elementlarning ko'rinishi aniqlab olinadi. Bu masalani hal qilish uchun (9.26) va (9.27) formulalarga ψ_1 va ψ_2 funksiyalarning (9.19) qiymatlarini va (9.18) W ning qiymatini o'rniga qo'yiladi va quyidagicha natijaga kelinadi:

$$(9.50) \quad \hat{H}_a(1) \psi_a(\mathbf{r}_a) = E_0 \psi_a(\mathbf{r}_a),$$

yechimlarini quyidagicha yozish mumkin

$$(9.49) \quad \left[\hat{H}_a(1) + \hat{H}_b(2) \right] \Phi(\mathbf{r}_1, \mathbf{r}_2) = E \Phi(\mathbf{r}_1, \mathbf{r}_2)$$

tenglamada $\hat{W}(1,2)$ kattalik hisobga olinmasa ham bo'ladi va

(9.48) $\hat{W}(1,2) = -\frac{e^2}{r_{12}} - \frac{e^2}{r_{21}} - \frac{e^2}{r_{11}} - \frac{e^2}{r_{22}}$. Shunday qilib, (9.47) tenglikdan ko'rinib turibdiki, ikkita vodorod atomi bir-biriga yaqinlashtirilganda ham, har bir atomdagi elektron bilan o'zining protoni orasidagi o'zaro ta'sirlashuv kuchlari elektronlar orasidagi o'zaro ta'sirga nisbatan ancha kattadir, ya'ni $\hat{W}(1,2)$ hadni $\hat{H}_a(1)$ va $\hat{H}_b(2)$ hadlarga nisbatan hisobga ancha kichik deb qabul qilish mumkin. Shuning uchun elektronlararo o'zaro ta'sir potentsialni qolgan potentsial energiyalarga nisbatan tuzatma sifatida qarash mumkin. Ya'ni, (9.48) dagi $\hat{W}(1,2)$ hadni bu ikki asosiy potentsial energiya operatoriga tuzatma sifatida olinadi. Demak, nolinchii yaqinlashishda (9.43) tenglamada $\hat{W}(1,2)$ kattalik hisobga olinmasa ham bo'ladi va

$$(9.47) \quad \hat{H} = \hat{H}_a(1) + \hat{H}_b(2) + \hat{W}(1,2)$$

bo'ladi. U holda, to'la gamiltonian uchta qismdan iborat bo'ladi, ya'ni

$$(9.46) \quad \hat{H} = \hat{H}_a(1) + \hat{H}_b(2) + \hat{W}(1,2)$$

harakati $H_a(1)$ bilan belgilanadi. Uning ko'rinishi esa

$$(9.45) \quad \hat{H}_a(1) = -\frac{\hbar^2}{2m} \Delta_1^2 - \frac{e^2}{r_{1a}} = (1) \hat{H}_a(1)$$

gamiltonianini (1) orqali belgilanadi. Uning ko'rinishi (47.6) ifodidagi atrofda yadro ichirinchii elektronni gamiltonianini (1) orqali belgilanadi.

$$(9.51) \quad \hat{H}_b(2) \psi_b(\mathbf{r}_b) = E_0 \psi_b(\mathbf{r}_b),$$

Mana endi (9.49) tenglamaning yechimida (9.50) va (9.51) dagi to'liqin funksiyalardan foydalanish mumkin va ikkita erkin vodorod atomidan iborat sistemaning to'liqin funksiyasi

$$(9.52) \quad \psi_1(\mathbf{r}_1, \mathbf{r}_2) = \psi_a(\mathbf{r}_a) \psi_b(\mathbf{r}_b)$$

ko'paytmasisiga teng va bu yechimga tegishli energiya qiymati $2E_0$ ga teng bo'ladi.

Agarda aynish mavjud bo'lmasa, (9.52) dagi yechim bilan chegaralansa ham bo'ladi va uni nolinchii yaqinlashishdagi yechim sifatida qarash mumkin. Lekin qaralayotgan masalada elektronlarning o'rnini almashirishi mavjud bo'lganligi sababli, mazkur almashuv tufayli aynish holati paydo bo'ladi. Demak, (9.52) dagi ifodalangan yechim bilan bir gatorada ikkinchi yechim ham mavjud bo'lishi kerak, ya'ni bu holda birinchi (a) atomda (2) elektron va (b) ikkinchi atomda (1) elektron joylashgan bo'ladi. Ushbu gamiltonianini quyidagicha yozish mumkin:

$$(9.53) \quad \hat{H} = \hat{H}_a(2) + \hat{H}_b(1) + \hat{W}(2,1)$$

bunda

$$(9.54) \quad \hat{H}_a(2) = -\frac{\hbar^2}{2m} \Delta_2^2 - \frac{e^2}{r_{2a}}$$

$$(9.54') \quad \hat{H}_b(1) = -\frac{\hbar^2}{2m} \Delta_1^2 - \frac{e^2}{r_{1b}}$$

va

$$(9.55) \quad \hat{W}(2,1) = -\frac{e^2}{r_{21}} - \frac{e^2}{r_{12}} + \frac{e^2}{r_{2a}} + \frac{e^2}{r_{1b}}$$

ifodalar hosil qilinadi. Gamiltonianini (9.53) formula orqali ifodalaganda (9.43) dagi tenglama

$$(9.56) \quad \left[\hat{H}_a(2) + \hat{H}_b(1) \right] \Phi = E \Phi$$

shaklda yoziladi. Bu esa (9.49) dagi tenglamaga o'xshash tenglama hosil bo'lganligini bildiradi va uning yechimini quyidagicha ko'rinishda yozish mumkin:

Zarrachalar dastasining sochilishini xarakterlovchi kattalik sochilishning differentsial effektiv kesimi orqali ifoda qilinadi. Ushbu

o'rganilishi natijasida kelib chiqishi ayon bo'ladi.

isbotlandi.

Moddaning mikroskopik tartibini aniqlashda o'zaro to'qnashuv

hodisalarining har tomonlama tahlili markaziy o'rin tutadi. Umuman olganda, zarrachalarning o'zaro ta'siri to'g'risidagi barcha ma'lumotlar ularning sochilishi haqidagi tajribalarda aniqlangan edi. Yadrodagil neytronlarning sochilishini tahlil qilish natijasida mashhur fizik Nils Bor tomonidan yadro tuzilishining hozirgi zamon tassavurlarini ifodalab berish imkoniyati yaratildi. Umuman olganda, zarrachalarning o'zaro ta'siri to'g'risidagi barcha ma'lumotlar sochilish qonunlarining o'rganilishi natijasida kelib chiqishi ayon bo'ladi.

Zarrachalar dastasining sochilishini xarakterlovchi kattalik

10.1 Sochilishning amplitudasi va kesimi

SOCHILISH NAZARIYASI

X bob

Klassik mexanikada ikkita zarrachaning o'zaro ta'siri natijasida

biror zarrachaning harakat yo'nalishi o'z yo'nalishini o'zgartirsa, bunday hodisa sochilish hodisasi deb yuritiladi va bu holda ikkala zarrachaning tezliklari va nishon masofasi orqali ularning to'qnashuvi to'la-to'kis aniqlanadi. Kvant mexanikasida esa sochilish hodisasini kengroq ma'noda tushuniladi, chunki zarrachalarni o'zaro ta'siri natijasida ularning ichki holatlarining o'zgarishi ham yuz berishi mumkin. Ma'lumki, sochilishni tadqiq qilishning eng yaxshi usullaridan biri – qo'zgalmas joylashgan atomi yoki zarrachani katta tezlikka ega bo'lgan elektronlar yoki radioaktiv moddalarning α zarrachalari bilan bombardimon qilish. O'zaro ta'sir natijasida birlamchi dastadagi zarrachalarning bir qismi o'zining harakatini o'zgartiradi yoki boshqa zarrachalarga aylanadi. Shu tufayli kvant mexanikasida ikki xil sochilish to'g'risida gap yuritiladi: elastik va noelastik to'qnashuvlar. Birichi holda, ya'ni elastik sochilishda, zarrachalarning soni, energiyasi, ichki tuzilishlari o'zgarimasdan qoladi, faqat ularning harakat yo'nalishi o'zgaradi. Ikkinchi holda esa, ya'ni noelastik to'qnashuvlar natijasida, zarrachalarning energiyasi o'zgaradi, yangi zarrachalar paydo bo'ladi va hokazo. Haqiqatan ham, atom yadrosining mavjudligi Rezerford tomonidan aniqlangan α zarrachalarning sochilishi natijasida isbotlandi.

Moddaning mikroskopik tartibini aniqlashda o'zaro to'qnashuv hodisalarining har tomonlama tahlili markaziy o'rin tutadi. Umuman olganda, zarrachalarning o'zaro ta'siri to'g'risidagi barcha ma'lumotlar ularning sochilishi haqidagi tajribalarda aniqlangan edi. Yadrodagil neytronlarning sochilishini tahlil qilish natijasida mashhur fizik Nils Bor tomonidan yadro tuzilishining hozirgi zamon tassavurlarini ifodalab berish imkoniyati yaratildi. Umuman olganda, zarrachalarning o'zaro ta'siri to'g'risidagi barcha ma'lumotlar sochilish qonunlarining o'rganilishi natijasida kelib chiqishi ayon bo'ladi.

Zarrachalar dastasining sochilishini xarakterlovchi kattalik

$$K = \int \left\{ -\frac{e^2}{r_{a_2}} - \frac{e^2}{r_{b_1}} + \frac{e^2}{r_{12}} \right\} \Psi_a^2(r_{a_1}) \Psi_b^2(r_{b_2}) dv_1 dv_2 \quad (9.78)$$

$$A = \int \left\{ -\frac{e^2}{r_{a_2}} - \frac{e^2}{r_{b_1}} + \frac{e^2}{r_{12}} \right\} \Psi_a(r_{a_1}) \Psi_b(r_{b_2}) \Psi_a(r_{a_2}) \Psi_b(r_{b_1}) dv_1 dv_2 \quad (9.79)$$

bo'ladi. Almashuv energiyasiga tuzatma esa

$$S = \int \Psi_a(r_{a_1}) \Psi_b(r_{b_2}) dv_1 = \int \Psi_a(r_{a_2}) \Psi_b(r_{b_1}) dv_2 \quad (9.80)$$

ko'rinishda bo'ladi. Demak, (9.78) ifodalangan K kattalik vorodod molekulasini tashkil qilgan zaryadlarning Kulon o'zaro ta'sir o'rtacha energiyasini ifodalaydi. A kattalik esa holatlar orasidagi elektronlarni almashuvi natijasida kelib chiqadi va o'zaro ta'sir almashuv energiyasini ifodalaydi. Aynan shu kattalik tufayli o'zaro tortishuv kuchlari vujudga keladi va turg'un molekula paydo bo'ladi.

Endi (9.74) va (9.75) dagi E_a hamda E_s formulalardan kelib chiqadigan natijalar ko'rib chiqiladi. Bu formulalardagi g'alayonlanish energiyasini quyidagi ko'rinishda yozish mumkin:

$$E_a = \frac{K-A}{1-S^2} \quad (9.81)$$

va

$$E_s = \frac{K+A}{1+S^2} \quad (9.82)$$

bo'ladi.

Kutulganidek, simmetrik (9.81) va antisimmetrik (9.82) koordinata funksiyalariga mos o'zaro ta'sir energiyalarning qiymatlari turlicha bo'lishi ayon bo'ladi. Geliy atomining nazariyasida, Pauli prinsipiga asosan, elektronning spinini hisobga olinganda elektronning to'liqin funksiyasi har doim antisimmetrik to'liqin funksiyasi bo'lishi kelib chiqdi. Demak, olingan formulaga binoan (9.82) dagi kattalik antisimmetrik spin funksiyasiga tegishli bo'lishi kerak va $E_s(R)$ ifoda spinlarning o'zaro antiparallel yo'nalganligini bildiradi. Shunga

munosabat orqali aniqlanadi. Bunda θ va φ burchaklar – sochilayotgan zarrachalarning harakat yo'nalishlarini aniqlab beradi. Soddalashtirish maqsadida dN_{soch} kattalikni

$$d\sigma(\theta, \varphi) = \frac{dN_{soch}(\theta, \varphi)}{j_{insh}} \quad (10.1)$$

orgali ifodalash ancha qulayliklarga olib keladi, ya'ni $dN_{soch}(\theta, \varphi)$ kattalikni sochilgan zarrachalar oqimi zichligini ushbu oqimga perpendikulyar joylashgan ds yuzaga ko'paytmasi sifatida qarash mumkin. Bunda $ds = r^2 d\Omega$ bo'lib, differentsial effektiv kesimni quyidagi formula orqali aniqlash mumkin:

$$d\sigma = \frac{j_{soch}}{j_{insh}} ds. \quad (10.2)$$

Kvant mexanikasida j_{soch} va j_{insh} oqimlarning zichligi deganda ushbu kattaliklarning tegishli ehtimollik oqimlarning zichliklari tushuniladi.

Ushbu bobda faqat elastik sochilishlar, ya'ni zarrachalar soni o'zgarmaydi yoki ularning ichki holatining o'zgarishi yuz bermaydigan sochilish bilan ish ko'riladi. Sochilish jarayonida ikkita zarrachaning o'zaro ta'siri o'rinni bo'lishi nazarda tutiladi, ya'ni sochuvchi va sochilayotgan zarrachalar bilan ish yuritiladi. Bu holda zarrachalarning o'zaro ta'sir energiyasi ularning orasidagi masofaga bog'liq bo'ladi va shuning uchun elastik sochilish to'g'risidagi masalani har qanday ikki jism masalasi kabi keltirilgan massali, bitta zarrachaning qo'zg'almas kuch markazi maydonidagi sochilish masalasiga keltirish mumkin. Bu masalani hal qilish uchun zarrachalarning energiya markazi qo'zg'almas bo'lgan koordinatalar sistemasiga o'tiladi, ya'ni masalani inersiya markazi qo'zg'almas bo'lgan sistemada ko'rib chiqiladi. Ammo, tajribalarni o'kazganimizda laboratoriya koordinata sistemasida sochilish masalasini tekshirib chiqish zaruriyati paydo bo'ladi, shuning uchun, agarda tashqi kuchlar maydonida bitta zarracha harakatining masalasi hal qilingan bo'lsa, u holda natijaviy ma'lumotlarni

kattalik $d\Omega$ fazoviy burchak ichida birlik vaqtda sochilgan dN_{soch} zarrachalar sonining j_{insh} tushayotgan zarrachalar oqimi zichligining nisbati orqali aniqlanadi, ya'ni differentsial effektiv kesim

$$\varphi(\mathbf{r}) = \frac{Zee}{r} \int \frac{\rho(\mathbf{r}') dv'}{|\mathbf{r}'' - \mathbf{r}'|} \quad (10.26)$$

$$U(\mathbf{r}) = e_1 \varphi(\mathbf{r}) = \frac{Zee_1}{r} \int \frac{\rho(\mathbf{r}') dv'}{|\mathbf{r}'' - \mathbf{r}'|} \quad (10.27)$$

teng bo'ladi. $U(\mathbf{r})$ ning qiymatini (10.24) formulaga qo'yilsa, sochilish amplitudasi uchun quyidagi formula olinadi:

$$f(\theta) = -\frac{2m}{\hbar^2} \frac{Zee_1}{4\pi} \int \mathbf{r}' \cdot d\mathbf{v}' + \frac{2m}{\hbar^2} \frac{Zee_1}{4\pi} \int e^{i\mathbf{q}\cdot\mathbf{r}'} dv' \int \frac{\rho(\mathbf{r}'') dv''}{|\mathbf{r}'' - \mathbf{r}'|}. \quad (10.28)$$

Yuqorida olingan integrallar alohida ko'rib chiqiladi. Avvalo, shuni ta'kidlash kerakki,

$$\varphi(\mathbf{r}'') = \int \frac{e^{i\mathbf{q}\cdot\mathbf{r}'}}{|\mathbf{r}'' - \mathbf{r}'|} dv' \quad (10.29)$$

integralni fazoda $\rho(\mathbf{r}'') = e^{i\mathbf{q}\cdot\mathbf{r}'}$ zichlik bilan taqsimlangan elektr zaryadlarning \mathbf{r}'' nuqtadagi potentsiali sifatida qarash mumkin va bu potentsial esa o'z navbatida quyidagi Puasson tenglamasini qanoatlantiradi:

$$\nabla^2 \varphi(\mathbf{r}') = -4\pi \rho(\mathbf{r}') = -4\pi e^{i\mathbf{q}\cdot\mathbf{r}'}$$

va bu tenglama orqali $\varphi(\mathbf{r}')$ potentsialni aniqlash imkoniyati paydo bo'ladi:

$$\varphi(\mathbf{r}') = \frac{4\pi}{|\mathbf{q}|^2} e^{i\mathbf{q}\cdot\mathbf{r}'} \quad (10.31)$$

(10.28) dagi birinchi integralni (10.29) bilan solishtirilsa,

$$J_1 = \int e^{i\mathbf{q}\cdot\mathbf{r}'} d\mathbf{v}' = \int \frac{e^{i\mathbf{q}\cdot\mathbf{r}'}}{|\mathbf{r}'|} d\mathbf{v}' = \frac{4\pi}{|\mathbf{q}|^2}, \quad |\mathbf{q}|^2 = q_x^2 + q_y^2 + q_z^2 \quad (10.32)$$

bo'ladi.

$$E = E_0 + K = -\frac{a}{8} + \frac{5Ze^2}{a}$$

holatidagi energiyasi

$$K = \frac{5Ze^2}{8a}$$

Shunday qilib, birinchi yaqinlashishdagi geliy atomining

natijani olish mumkin:

Keyinchalik r_1 va r_2 lar bo'icha integrallansa,

$$K = \frac{32Z^6 e^2}{a^6} \int_0^\infty r_1^2 dr_1 \int_0^\infty \left(\frac{a}{2Zr_2} \right) dx \exp \left(-\frac{a}{2Zr_2} \right) dr_2.$$

ifodaga kelinadi:

foydalanilsa, burchaklar bo'yicha integrallash natijasida

o'xshash, (9.81) dagi ifoda esa vodorod molekulasini tashkil etuvchi elektronlarning spinlari bir-biriga nisbatan parallel yo'nalganligini bildiradi.

Atomlar orasidagi masofa katta bo'lganida to'liq funksiyalar o'zaro tutashmaydi, R va $r_{1,2}$ kattaliklar katta qiymatlarni, K hamda A kattaliklar esa juda ham kichkina qiymatlarni qabul qiladi. Shu tufayli $R \rightarrow \infty$ da $E_s \approx E_a$ bo'ladi. Yadrolar orasidagi o'rtacha masofalarda, ya'ni elektronning Bor radiusi tartibidagi masofalarda, atom to'liq funksiyalarning o'zaro qoplagan sohasi katta bo'lib, elektron bulutining almashuv zichligi ham katta bo'ladi. Bundan tashqari, elektron buluti almashuv sohasining ba'zi qismlari yadrolarga juda yaqin kelgani munosabati bilan ularning yadrolar bilan o'zaro tortishuvi A almashuv integraliga katta manfiy hissa qo'shadi. Yadrolar orasidagi o'rtacha masofa nisbatan katta bo'lganligi sababli, turli qismlardagi elektron bulutlarining almashuv zichligi bir-biridan shu masofada bo'ladi. Demak, energiyaga qo'shiladigan musbat hissa ham deyarli kam bo'ladi. Natijada, yadrolar orasidagi o'rtacha masofalarda A integral manfiy qiymatlarni qabul qiladi va bu o'z navbatida E_s kattalikning manfiylikini va E_a ning musbatligini bildiradi. Demak, o'rtacha masofalarda E_s kattalik atomlar orasidagi tortishuvni, E_a kattalik esa itarishuvni ifodalaydi.

Shunday qilib, elektronlarning holati to'la antisimmetrik bo'lgan to'liq funksiyasi bilan ifodalanadi. Elektronlarning o'rin almashirishlari bilan bog'liq to'liq funksiya va unga mos xususiy qiymat simmetrik bo'lgani uchun barqaror vodorod molekuladagi to'la to'liq funksiya antisimmetrik bo'lishi uchun spin to'liq funksiyasi antisimmetrik bo'lishi shart, ya'ni elektronlarning spinlari antiparallel yo'nalgan bo'lishi lozim. Fagat shu holdagina ikkita vodorod atomlari orasidagi tortishish kuchi paydo bo'ladi va bu singlet holat bo'lib uni, Σ orqali belgilanadi, ya'ni Φ_s holat $U_s(R)$ energiyaga ega bo'lgan singlet holatni tashkil etadi (bu holatda spinlar antiparallel yo'nalgan bo'ladi). Elektronlar o'rinlarini almashirishda holat antisimmetrik to'liq funksiyasi bilan ifodalansa, spin to'liq funksiya simmetrik bo'lishi shart. Bu holat triplet holat bo'lib, $u^3 \Sigma$ bilan belgilanadi, ya'ni Φ_u holatda $U_u(R)$ energiyaga ega bo'lib, triplet holatni tashkil etadi (spinlar bu holatda parallel yo'nalgan). 24-rasmga murojaat qilinsa,

$$\psi = e^{i\mathbf{k} \cdot \mathbf{r}} f(\theta, \phi) \frac{e^{i\mathbf{k} \cdot \mathbf{r}}}{r} \quad (10.4)$$

Hosil qilingan formuladagi birinchi had esa sochilayotgan zarrachalarning harakatini ifoda qilsa, ikkinchi had esa sochilayotgan zarrachalarni ifodalaydi (25-rasm).

to'liq funksiyasi qu'yidagi ko'rinishda bo'ladi:

Shunday qilib, sochuvchi markazdan uzoq masofalarda tushayotgan hamda sochilgan zarrachalarning harakatini ifodalovchi to'liq funksiyasi qu'yidagi ko'rinishda bo'ladi:

$f(\theta, \phi) = \int e^{i\mathbf{k} \cdot \mathbf{r}} d\mathbf{r}$ tarqaluvchi to'liq orqali ifodalash mumkin.

Shunday qilib, sochuvchi markazdan uzoq masofalarda tushayotgan hamda sochilgan zarrachalarning harakatini ifodalovchi to'liq funksiyasi qu'yidagi ko'rinishda bo'ladi:

$$\frac{2}{\theta - \pi} = \frac{\theta \cos^2 m_2 m_1 + m_1 m_2}{m_1 m_2} = \theta g \quad (10.3)$$

bunda θ va g ning bog'lanishi quyidagidek bo'ladi:

$$f(\theta, \phi) = -\frac{1}{4\pi} \int e^{i\mathbf{k} \cdot (\mathbf{n}_0 - \mathbf{n})} V(\mathbf{r}') \chi d\mathbf{v}' \quad (10.21)$$

ko'rinishda yozish mumkin.

Agarda

$$\mathbf{q} = k(\mathbf{n}_0 - \mathbf{n}) \quad (10.22)$$

vektor kiritilsa, uning absolyut qiymati

$$q = 2k \sin \frac{\theta}{2} \quad (10.23)$$

ekanligini hisobga olish kerak. Bu yerda θ burchak \mathbf{n}_0 va \mathbf{n} vektorlar orasidagi burchak bo'ladi, ya'ni sochilish burchagidir.

$$U \text{ holda, } V(r') = \frac{2m}{\hbar^2} U(r') \text{ ni hisobga olinsa,} \quad (10.24)$$

bo'ladi, ya'ni zarrachaning impulsi $\hbar \mathbf{q}$ ga o'zgaradigan bo'lsa, sochilish amplitudasi $U(\mathbf{r})$ potensial maydonning mos Fyur komponentasi orqali aniqlanishi ko'rinadi. Hosil qilingan (10.24) formulani (10.6) qo'yilsa $d\Omega$ fazoviy burchak elementiga mos differensial effektiv sochilish kesimi olinadi:

$$d\sigma = \frac{m^2}{4\pi^2 \hbar^4} \left| \int e^{i\mathbf{q} \cdot \mathbf{r}'} U(\mathbf{r}') d\mathbf{v}' \right|^2 \quad (10.25)$$

Bu formula birinchi marta Maks Born tomonidan olingan bo'lib, sochilish nazariyasida Born yaqinlashishi deyiladi.

10.3. Rezerford formulasi

Yuqorida hosil qilingan $f(\theta)$ differensial effektiv kesim formulasi katta tezliklarda harakatlanayotgan zaryadlangan zarrachalarning elastik sochilishini hisoblash uchun qo'llanilishi mumkin. Birinchidan, faraz qilaylik, atom to'qnashuvdan avval ham, to'qnashuvdan keyin ham tinch holatda bo'lsin. Ikkinchidan, to'qnashuvdan so'ng atom tinch holatda qolishi uchun, atomning M massasi to'qnashayotgan zarrachaning massasidan ancha katta bo'lishi kerak. Yuqorida keltirilgan shartlarni bajarilgan deb olib, e_1 zaryadi va m massali

U holda qayd etilgan integralni hisoblashda z o'qini r_1 vektorini bo'yicha yo'naltiriladi. Ψ_{1s} to'lg'in funksiyalari o'rniga ularning qiymatlari qo'yilsa hamda sferik funksiyalarning ortogonalligidan

$$\frac{1}{|\mathbf{r}_1 - \mathbf{r}_2|} = \frac{1}{r_2} \sum_{l=0}^{\infty} \left(\frac{r_1}{r_2} \right)^l P_l(\cos\theta), \text{ agar } r_1 < r_2,$$

yoki

$$\frac{1}{|\mathbf{r}_1 - \mathbf{r}_2|} = \frac{1}{r_1} \sum_{l=0}^{\infty} \left(\frac{r_2}{r_1} \right)^l P_l(\cos\theta), \text{ agar } r_1 > r_2,$$

yoyilmasidan foydalaniladi:

$$\frac{1}{|\mathbf{r}_1 - \mathbf{r}_2|} \text{ kasrni sferik funksiyalar bo'yicha qator ko'rinishidagi}$$

yo'yilmasidan foydalaniladi:

Yuqoridagi integralni hisoblashda uni ikkita o'zaro kesishgan sferik-simmetrik hajmdagi zaryadlarning o'zaro elektostatik energiyasi sifatida qaralsa ancha qulay bo'ladi. Bu holda elektostatikada ma'lum bo'lgan usullardan foydalanish maqsadga muvofiq bo'ladi. Avvalo

$$d\tau_1 = r_1^2 \sin\theta_1 dr_1 d\theta_1 d\varphi_1, \text{ va } d\tau_2 = r_2^2 \sin\theta_2 dr_2 d\theta_2 d\varphi_2.$$

θ burchak

\mathbf{r}_1 va \mathbf{r}_2 vektorlarning orasidagi burchakni, θ_1, φ_1 va θ_2, φ_2

burchaklar esa

$$\cos\theta = \cos\theta_1 \cos\theta_2 + \sin\theta_1 \sin\theta_2 \cos(\varphi_1 - \varphi_2)$$

Bu yerda

$$|\mathbf{r}_1 - \mathbf{r}_2| = \sqrt{r_1^2 + r_2^2 - 2r_1 r_2 \cos\theta},$$

$$K = \int \psi_1^2(\mathbf{r}_1) \int \psi_2^2(\mathbf{r}_2) \frac{e^2}{|\mathbf{r}_1 - \mathbf{r}_2|} dr_1 dr_2.$$

θ burchaklar esa

\mathbf{r}_1 va \mathbf{r}_2 vektorlarning orasidagi burchakni, θ_1, φ_1 va θ_2, φ_2

burchaklar esa

\mathbf{r}_1 va \mathbf{r}_2 vektorlarning orasidagi burchakni, θ_1, φ_1 va θ_2, φ_2

burchaklar esa

\mathbf{r}_1 va \mathbf{r}_2 vektorlarning orasidagi burchakni, θ_1, φ_1 va θ_2, φ_2

burchaklar esa

\mathbf{r}_1 va \mathbf{r}_2 vektorlarning orasidagi burchakni, θ_1, φ_1 va θ_2, φ_2

burchaklar esa

\mathbf{r}_1 va \mathbf{r}_2 vektorlarning orasidagi burchakni, θ_1, φ_1 va θ_2, φ_2

burchaklar esa

\mathbf{r}_1 va \mathbf{r}_2 vektorlarning orasidagi burchakni, θ_1, φ_1 va θ_2, φ_2

burchaklar esa

\mathbf{r}_1 va \mathbf{r}_2 vektorlarning orasidagi burchakni, θ_1, φ_1 va θ_2, φ_2

burchaklar esa

\mathbf{r}_1 va \mathbf{r}_2 vektorlarning orasidagi burchakni, θ_1, φ_1 va θ_2, φ_2

burchaklar esa

\mathbf{r}_1 va \mathbf{r}_2 vektorlarning orasidagi burchakni, θ_1, φ_1 va θ_2, φ_2

burchaklar esa

\mathbf{r}_1 va \mathbf{r}_2 vektorlarning orasidagi burchakni, θ_1, φ_1 va θ_2, φ_2

burchaklar esa

\mathbf{r}_1 va \mathbf{r}_2 vektorlarning orasidagi burchakni, θ_1, φ_1 va θ_2, φ_2

burchaklar esa

\mathbf{r}_1 va \mathbf{r}_2 vektorlarning orasidagi burchakni, θ_1, φ_1 va θ_2, φ_2

burchaklar esa

\mathbf{r}_1 va \mathbf{r}_2 vektorlarning orasidagi burchakni, θ_1, φ_1 va θ_2, φ_2

burchaklar esa

\mathbf{r}_1 va \mathbf{r}_2 vektorlarning orasidagi burchakni, θ_1, φ_1 va θ_2, φ_2

burchaklar esa

\mathbf{r}_1 va \mathbf{r}_2 vektorlarning orasidagi burchakni, θ_1, φ_1 va θ_2, φ_2

burchaklar esa

\mathbf{r}_1 va \mathbf{r}_2 vektorlarning orasidagi burchakni, θ_1, φ_1 va θ_2, φ_2

burchaklar esa

\mathbf{r}_1 va \mathbf{r}_2 vektorlarning orasidagi burchakni, θ_1, φ_1 va θ_2, φ_2

burchaklar esa

\mathbf{r}_1 va \mathbf{r}_2 vektorlarning orasidagi burchakni, θ_1, φ_1 va θ_2, φ_2

burchaklar esa

\mathbf{r}_1 va \mathbf{r}_2 vektorlarning orasidagi burchakni, θ_1, φ_1 va θ_2, φ_2

burchaklar esa

\mathbf{r}_1 va \mathbf{r}_2 vektorlarning orasidagi burchakni, θ_1, φ_1 va θ_2, φ_2

burchaklar esa

\mathbf{r}_1 va \mathbf{r}_2 vektorlarning orasidagi burchakni, θ_1, φ_1 va θ_2, φ_2

burchaklar esa

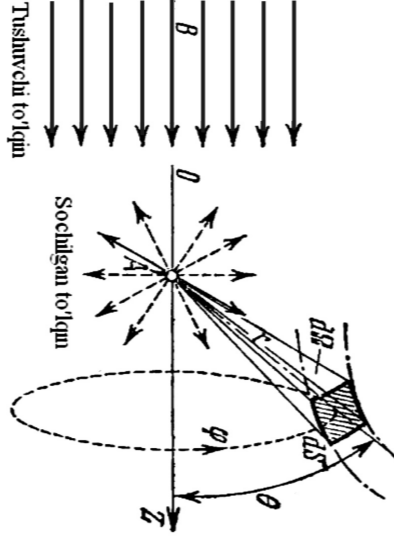
\mathbf{r}_1 va \mathbf{r}_2 vektorlarning orasidagi burchakni, θ_1, φ_1 va θ_2, φ_2

burchaklar esa

\mathbf{r}_1 va \mathbf{r}_2 vektorlarning orasidagi burchakni, θ_1, φ_1 va θ_2, φ_2

burchaklar esa

\mathbf{r}_1 va \mathbf{r}_2 vektorlarning orasidagi burchakni, θ_1, φ_1 va θ_2, φ_2



25-rasm. Kvant mexanikasida zarrachalarning to'qashishi.

Bu yerda tarqalayotgan to'lg'inlarning $f(\theta, \varphi)$ amplitudasi — sochilish amplitudasi deyiladi va u θ va φ burchaklarga bog'liq bo'ladi. Sochilgan zarrachalarning vaqt birligidagi $ds = r^2 d\Omega$ sirt elementidan o'tish ehtimolligi hisoblab chiqiladi. Quyidagi formulalar ma'lum:

$$j_{\text{soch}} = (j_z)_{\text{soch}} = \frac{P}{m},$$

$$j_{\text{soch}} = (j_z)_{\text{soch}} = \frac{P}{m r^2} d\Omega. \quad (10.5)$$

Bunda m — keltirilgan massa. (10.5) dagi ifodalalar (10.2) qo'yilsa,

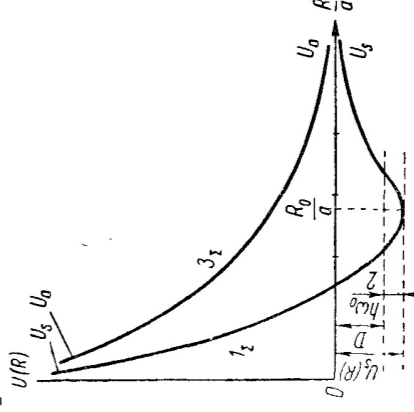
$$d\sigma = |f(\theta, \varphi)|^2 d\Omega \quad (10.6)$$

formula hosil bo'ladi. Shunday qilib, (10.6) formuladan ayonki sochilish amplitudasi modulining kvadrati sochilishning differensial kesimini aniqlab beradi, ya'ni θ va φ yo'nalishida sochilayotgan zarrachalarning ehtimollik zichligi sifatida namoyon bo'ladi. Demak, effektiv kesim sochilish amplitudasining kattaligi orqali to'la-to'kis aniqlanadi. Hozircha noma'lum bo'lgan $f(\theta, \varphi)$ funksiyani, ya'ni sochilish amplitudasini, Shredingerning tenglamasini yechish orqali keltirib chiqarish mumkin.



quyidagi xulosaga kelish mumkin. Ushbu rasmda $U_a(R)$ va $U_s(R)$ atomlarning o'zaro energiyasi R atomlararo masofaga bog'liq funksiya sifatida keltirilgan. R masofa Bor radiuslarining birliklarida keltirilgan va absissa o'qida $\frac{R}{a}$ belgilangan. Rasmdan ayonki, Φ_a antisimmetrik holatni ifodalovchi $U_a(R)$ energiya vodorodni tashkil qiluvchi ikkita atomning itarishishiga mos keladi va natijada H_2 molekula vujudga kela olmaydi.

Aksincha, Φ_s simmetrik holat uchun $U_s(R)$ energiya $R_0 = 1,4, a = 0,74 \cdot 10^{-8}$ sm da minimumga ega bo'lib, bu holda vodorod atomlarining orasidagi masofa R_0 ga teng bo'ladi va bu simmetrik holatda barqaror H_2 vodorod molekulasini hosil bo'ladi.



24-rasm. Triplet va singulet holatlar uchun ikkita vodorod atomlari orasidagi o'zaro ta'sir energiyasi.

Vodorod molekulasini har tomonlama o'rganish natijasida kovalent bog'lanish kuchlariga xos bo'lgan yana bir xususiyat to'g'risida to'xtalib o'tish joiz. Kovalent bog'lanish kuchlari to'yinish xususiyatiga ega bo'ladi. Buni isbotlash uchun vodorod molekulasiga uchunchi H vodorod atomni yaqinlashishi ko'rib chiqiladi. Ma'lumki, vodorod molekulasida spinlari antiparallel yo'nalishga ega bo'lgan ikkita elektron atomi o'zaro antiparallel spinlarga ega bo'lgan

deb olinsa. Bu holda (10.14) tenglamaning yechimini quyidagicha yozish mumkin:

$$\varphi_0(\mathbf{r}) = -\frac{1}{4\pi} \int \frac{1}{R} V(\mathbf{r}') \psi^0(\mathbf{r}') e^{i\mathbf{k}\cdot\mathbf{r}} d\mathbf{v}' \quad (10.15)$$

$$\varphi_0(\mathbf{r}) = \int \frac{1}{R} \rho_0(\mathbf{r}') e^{i\mathbf{k}\cdot\mathbf{r}} \frac{d\mathbf{v}'}{R}. \quad (10.16)$$

Demak, (10.14) va (10.10) tenglamalarning yaqqol o'xshashligidan foydalanilsa. (10.10) tenglamaning yechimini

$$u(\mathbf{r}) = -\frac{1}{4\pi} \int \frac{1}{R} V(\mathbf{r}') \psi^0(\mathbf{r}') e^{i\mathbf{k}\cdot\mathbf{r}} d\mathbf{v}' \quad (10.17)$$

ko'rinishda ifodalash mumkin.

Keyingi masalada bu funksiyaning sochuvchi markazdan uzoq r masofalardagi ko'rinishi aniqlanishi kerak. Buning uchun OZ yo'nalishida, ya'ni tushayotgan dasta yo'nalishida, birlik vektor kiritiladi va uni \mathbf{n}_0 orqali belgilanadi. Shu bilan birga \mathbf{r} yo'nalishidagi birlik vektorni \mathbf{n} orqali belgilaymiz. U holda, $\mathbf{R} = |\mathbf{r}' - \mathbf{r}|$ masofani

$$|\mathbf{r}' - \mathbf{r}|^2 = r'^2 + r^2 - 2\mathbf{n}\mathbf{r}'r$$

ko'rinishda yozib, $\mathbf{r} \gg \mathbf{r}'$ da

$$|\mathbf{r}' - \mathbf{r}| = r - \mathbf{n}\mathbf{r}' \quad (10.18)$$

bo'lganligi sababli, (10.17) dagi integral ostidagi $\frac{1}{R}$ ko'paytuvchi ifodada $R \approx r$ olinsa va bu natijani (10.18) ga qo'yilsa, sochuvchi markazdan uzoq masofalarda u funksiya uchun yozilgan (10.17) ifodani quyidagi aniq ko'rinishini olish mumkin:

$$u(\mathbf{r}) = -\frac{1}{4\pi} \frac{e^{+i\mathbf{k}\cdot\mathbf{r}}}{r} \int e^{-i\mathbf{k}\cdot\mathbf{r}'} V(\mathbf{r}') \psi^0(\mathbf{r}') d\mathbf{v}'. \quad (10.19)$$

Hosil qilingan formulaga $\psi^0(\mathbf{r}')$ ning qiymati qo'yilsa va $z' = \mathbf{r}'\mathbf{n}_0$ ekanligi eslansa, (10.19) formulaning ko'rinishi quyidagicha bo'ladi:

$$u(\mathbf{r}) = -\frac{1}{4\pi} \frac{e^{+i\mathbf{k}\cdot\mathbf{r}}}{r} \int e^{i\mathbf{k}\cdot(\mathbf{n}_0 - \mathbf{n})\mathbf{r}'} V(\mathbf{r}') d\mathbf{v}' \quad (10.20)$$

Olingan (10.20) formulani (10.4) formulaning o'ng tomondagi

ikkinci hadi bilan taqqoslansa, (10.20) formuladagi $\frac{e^{+i\mathbf{k}\cdot\mathbf{r}}}{r}$ ning oldidagi

koeffitsiyent izlanayotgan sochilish amplitudasini beradi va uni

Ushbu potentsial energiyaga mos energiya operatorining ko'rinishi:

$$\hat{H} = -\frac{\hbar^2}{2m}(\nabla_1^2 + \nabla_2^2) - \frac{Ze^2}{r_1} - \frac{Ze^2}{r_2} + \frac{e^2}{r_{12}}$$

Atomining asosiy holatdagi masalasini yechish mumkin. (9.1) dan gely atomidagi elektronlarning o'zaro ta'sir potentsial energiyasi ma'lum:

$$U = -\frac{Ze^2}{r_1} - \frac{Ze^2}{r_2} + \frac{e^2}{r_{12}}$$

Ushbu potentsial energiyaga mos energiya operatorining ko'rinishi:

1. Paragelyiy va ortogelyiy holatlari orasidagi farqlarni izohlab bering.
2. O'zaro ta'sir almashuv energiyasining fizik ma'nosini ayrib bering.
3. Ionli va kovalent bog'lanishlarning asosiy farqlarini ko'rsatib bering.
4. Vodород molekulasining tuzilishini izohlab bering.
5. **Masala.** Gely atomi va gelysimon ionlarda elektronlarning o'zaro ta'sir energiyasini g'alayon sifatida qarab, ularning asosiy holat energiyasini aniqlang.

Yechish. G'alayonlanish nazariyasidan foydalanغان holda gely

atomining asosiy holatdagi masalasini yechish mumkin. (9.1) dan gely

atomidagi elektronlarning o'zaro ta'sir potentsial energiyasi ma'lum:

9.5. IX bobga oid savol va masalalar

elektronlar bilan almashuvi imkoniyati bo'lmaydi, chunki bunday almashuv natijasida spinlari bir-biriga parallel bo'lgan ikkita elektron vujudga kelishi ta'qiqlangan. Shuning uchun vodород molekulasini va vodород atomi orasida faqat parallel spinlarga ega bo'lgan elektronlar o'zaro almashuvi mumkin.

Lekin yuqoridagi vodород molekulasini nazariyasidan ko'rinish

turibdiki, bunday almashuv ijarishish kuchlarning paydo bo'lishiga olib

keladi. Demak, vodород molekulasini bilan vodород atomi o'rtasida ular

o'zaro yaqinlashganda itarish kuchi vujudga keladi va shuning uchun

o'sha vodород atomidan tashkil topgan vodород molekulasini vujudga

kelishi mumkin emas. Yuqorida keltirilgan sababga binoan kovalent

bog'lanish kuchlarning to'yinish xususiyati belgilanadi.



10.2. Born formulasi

Sochilish amplitudasini aniq ko'rinishda topish masalasi kvant mexanikasida murakkab masalalar turiga kiradi. Shredinger tenglamasining aniq yechimini hosil qilish va $f(\theta, \varphi)$ ni aniqlash masalasi ko'pgina amaliy jihatdan qiziqarli fizik masalalarda katta matematik qiyinchiliklar bilan bog'langan. Shu tufayli, sochilish nazariyasida taqribiy usullar keng qo'llaniladi va bu usullar ichida muhim o'rinni Born formulasi egallaydi. Ushbu usul asosida quyidagi taxmin yotadi: sochuvchi maydon sochiluvchi zarracha harakatiga ta'siri nisbatan kuchsiz g'alayonlanish sifatida qarash mumkin. Boshqacha aytganda, agar o'zaro ta'sir potentsial energiyani kichik g'alayon sifatida qaralsa, u holda zarrachaning boshlang'ich harakati kam o'zgaradi. Sochuvchi markaz maydonidagi tushayotgan zarrachalarning potentsial energiyasi $U(r)$ orqali belgilanadi, bunda r markazdan zarrachagacha bo'lgan masofani ifodalaydi. Zarrachaning energiyasi esa E bilan belgilanadi. Markazga tushayotgan zarrachalarning to'liq funksiyasini $\Psi(r)$ orqali ifoda qilinsa, u holda bu funksiya uchun Shredinger tenglamasi quyidagi ko'rinishda bo'ladi:

$$-\frac{\hbar^2}{2m}\nabla^2\Psi + U(r)\Psi = E\Psi. \quad (10.7)$$

Zarracha bilan markaz orasidagi masofa ortgan sari $U(r)$ potentsial energiyani tez so'nuvchi deb qabul qilindi. Zarracha $\mathbf{p} = \hbar\mathbf{k}$ impulsiga ega bo'ladi va ushbu

$$k^2 = \frac{2mE}{\hbar^2} = \frac{p^2}{\hbar^2}$$

to'liq sonini kiritib, quyidagicha

$$V(r) = \frac{2mU(r)}{\hbar^2}$$

belgilansa, (10.7) tenglamani

$$\nabla^2\Psi + k^2\Psi = V(r)\Psi \quad (10.8)$$

ko'rinishda yozish mumkin. Hosil bo'lgan tenglamaning shunday yechimlarini tanlab olish kerakki, bu yechimlar qo'yilgan fizik masalaga mos kelishi kerak, ya'ni sochuvchi markazdan uzoq

teng bo'lib, shu operatorga tegishli Shredinger tenglamasi esa quyidagicha bo'ladi:

$$(\nabla^2 + 1)\psi = 0, \quad \psi = \psi(x_1, y_1, z_1, x_2, y_2, z_2).$$

Agar ushbu tenglamada e^2/r_{12} elektronlarning o'zaro ta'sir energiyasiga tegishli had hisobga olinmasa, u holda bu ko'rinishdagi Shredinger tenglamasi ikkita tenglamaga ajraladi va har birining ko'rinishi quyidagicha ifoda qilinadi:

$$\nabla^2\psi_k + \left(E_k + \frac{Ze^2}{r_k}\right)\psi_k = 0, \quad k=1,2.$$

Olingan tenglamalar vodород atomi uchun Shredinger tenglamasining o'zginasidir, uning xususiy qiymatlari va xususiy funksiyalari ma'lum. Hususan, $n=1$ asosiy holat uchun (5.41) formuladan quyidagi ifoda kelib chiqadi:

$$E_1 = -\frac{mZ^2e^4}{2\hbar^2}.$$

Asosiy holat bu 1s holat bo'lib, uning xususiy funksiyasi (5.50) formuladan:

$$\Psi_{1s} = \frac{1}{\sqrt{\pi}}\left(\frac{Z}{a}\right)^{3/2}e^{-\frac{Zr}{a}}$$

ifoda orqali beriladi. Bunda $a = \frac{\hbar^2}{me^2}$ Bor orbitasining radiusi ((5.51) ga qarang). Qaralayotgan sistemaning energiyasi uni tashkil etgan qismlarni energiyasining yig'indisiga teng bo'ladi:

$$E_0 = 2E_1 = -\frac{mZ^2e^4}{\hbar^2}$$

xususiy funksiyasi esa $r = r_1$ va $r = r_2$ bo'lganida Ψ_{1s} funksiyalarning ko'paytmasiga teng, ya'ni:

$$\psi = \frac{Z^3}{\pi a^3}e^{-\frac{Z}{a}r_1 - \frac{Z}{a}r_2}.$$

deb yozib, φ_0 uchun quyidagi tenglamani hosil qilish mumkin:

$$\nabla^2\varphi_0 + k^2\varphi_0 = -4\pi\rho_0. \quad (10.14)$$

Hosil bo'lgan (10.14) tenglamani (10.10) tenglama bilan solishtirilsa, ayonki (10.10) va (10.14) tenglamalar bir birlari bilan mos keladi, agarda

$$\rho = \rho_0(\mathbf{r})e^{-i\omega t}, \quad \varphi = \varphi_0(\mathbf{r})e^{-i\omega t} \quad (10.13)$$

organi berilsa, u holda

$$\varphi(\mathbf{r}, t) = \int \frac{1}{R}\rho\left(\mathbf{r}', t - \frac{R}{c}\right)dv' \quad (10.12)$$

(10.11) ning yechimini

kechikuvchi potentsiallar tenglamasiga o'xshash holda bevosita yozilishi

mumkin. Bu yerda ρ -koordinata va vaqtning biror funksiyasi bo'lib,

$$\nabla^2\varphi - \frac{1}{c^2}\frac{\partial^2\varphi}{\partial t^2} = -4\pi\rho \quad (10.11)$$

tenglamani yechish elektrodinamika kursidan ma'lum

$u(r, \theta) = f(\theta, \varphi)\frac{e^{ikr}}{r}$ ko'rinishida bo'lishi kerak. Yuqoridagi (10.10)

aniqlashdan iborat bo'ladi va bu izlayotgan yechim $r \rightarrow \infty$ da

tenglamani yechish elektrodinamika kursidan ma'lum

ko'rinishdagi tenglama olinadi.

Navbatdagi asosiy vazifamiz (10.10) tenglamaning yechimini

aniqlashdan iborat bo'ladi va bu izlayotgan yechim $r \rightarrow \infty$ da

tenglamaga qo'yilsa va $(-1/r)u$ hadni hisobga olinmasa,

ko'rinishdagi tenglama olinadi.

Navbatdagi asosiy vazifamiz (10.10) tenglamaning yechimini

aniqlashdan iborat bo'ladi va bu izlayotgan yechim $r \rightarrow \infty$ da

tenglamaga qo'yilsa va $(-1/r)u$ hadni hisobga olinmasa,

ko'rinishdagi tenglama olinadi.

Navbatdagi asosiy vazifamiz (10.10) tenglamaning yechimini

aniqlashdan iborat bo'ladi va bu izlayotgan yechim $r \rightarrow \infty$ da

tenglamaga qo'yilsa va $(-1/r)u$ hadni hisobga olinmasa,

ko'rinishdagi tenglama olinadi.

Navbatdagi asosiy vazifamiz (10.10) tenglamaning yechimini

aniqlashdan iborat bo'ladi va bu izlayotgan yechim $r \rightarrow \infty$ da

tenglamaga qo'yilsa va $(-1/r)u$ hadni hisobga olinmasa,

ko'rinishdagi tenglama olinadi.

Navbatdagi asosiy vazifamiz (10.10) tenglamaning yechimini

aniqlashdan iborat bo'ladi va bu izlayotgan yechim $r \rightarrow \infty$ da

tenglamaga qo'yilsa va $(-1/r)u$ hadni hisobga olinmasa,

ko'rinishdagi tenglama olinadi.

Navbatdagi asosiy vazifamiz (10.10) tenglamaning yechimini

aniqlashdan iborat bo'ladi va bu izlayotgan yechim $r \rightarrow \infty$ da

tenglamaga qo'yilsa va $(-1/r)u$ hadni hisobga olinmasa,

ko'rinishdagi tenglama olinadi.

Navbatdagi asosiy vazifamiz (10.10) tenglamaning yechimini

aniqlashdan iborat bo'ladi va bu izlayotgan yechim $r \rightarrow \infty$ da

tenglamaga qo'yilsa va $(-1/r)u$ hadni hisobga olinmasa,

ko'rinishdagi tenglama olinadi.

Navbatdagi asosiy vazifamiz (10.10) tenglamaning yechimini

aniqlashdan iborat bo'ladi va bu izlayotgan yechim $r \rightarrow \infty$ da

tenglamaga qo'yilsa va $(-1/r)u$ hadni hisobga olinmasa,

ko'rinishdagi tenglama olinadi.

Navbatdagi asosiy vazifamiz (10.10) tenglamaning yechimini

aniqlashdan iborat bo'ladi va bu izlayotgan yechim $r \rightarrow \infty$ da

tenglamaga qo'yilsa va $(-1/r)u$ hadni hisobga olinmasa,

ko'rinishdagi tenglama olinadi.

Navbatdagi asosiy vazifamiz (10.10) tenglamaning yechimini

aniqlashdan iborat bo'ladi va bu izlayotgan yechim $r \rightarrow \infty$ da

tenglamaga qo'yilsa va $(-1/r)u$ hadni hisobga olinmasa,

ko'rinishdagi tenglama olinadi.

Navbatdagi asosiy vazifamiz (10.10) tenglamaning yechimini

aniqlashdan iborat bo'ladi va bu izlayotgan yechim $r \rightarrow \infty$ da

tenglamaga qo'yilsa va $(-1/r)u$ hadni hisobga olinmasa,

ko'rinishdagi tenglama olinadi.

Navbatdagi asosiy vazifamiz (10.10) tenglamaning yechimini

aniqlashdan iborat bo'ladi va bu izlayotgan yechim $r \rightarrow \infty$ da

tenglamaga qo'yilsa va $(-1/r)u$ hadni hisobga olinmasa,

ko'rinishdagi tenglama olinadi.

Navbatdagi asosiy vazifamiz (10.10) tenglamaning yechimini

aniqlashdan iborat bo'ladi va bu izlayotgan yechim $r \rightarrow \infty$ da

tenglamaga qo'yilsa va $(-1/r)u$ hadni hisobga olinmasa,

ko'rinishdagi tenglama olinadi.

Navbatdagi asosiy vazifamiz (10.10) tenglamaning yechimini

aniqlashdan iborat bo'ladi va bu izlayotgan yechim $r \rightarrow \infty$ da

tenglamaga qo'yilsa va $(-1/r)u$ hadni hisobga olinmasa,

ko'rinishdagi tenglama olinadi.

$$q^2 = 4k^2 \sin^2 \frac{\theta}{2} = \frac{4m^2 v^2}{\hbar^2} \sin^2 \frac{\theta}{2}$$

ekanligi eslansa va

Agarda

$$f(\theta) = -\frac{2me\epsilon_0}{4\pi\hbar^2} \frac{4\pi}{q^2} \left\{ Z - 4\pi \int_0^\infty \frac{\sin(qr)}{qr} \rho(r) r^2 dr \right\}. \quad (10.35)$$

mumkin:

formulalarni (10.28) qo'yilsa, $f(\theta)$ uchun quyidagi natijani olish

integralning natijasi kelib chiqadi. Endi (10.32) va (10.33) integralni (10.28) qo'yilsa, $f(\theta)$ uchun quyidagi natijani olish

$$\int d\nu \rho(r) e^{i\nu r} = 4\pi \int_0^\infty \frac{\sin(qr)}{qr} \rho(r) \cdot r^2 \cdot dr \quad (10.34)$$

kelib chiqadi. Demak,

$$\int_0^\pi e^{iqr \cos\theta} \sin\theta d\theta = \int_{-1}^1 e^{iqr x} dx = \frac{2 \sin qr}{qr}$$

esa

2π ko'paytma hosil bo'ladi, $x = \cos\theta$ almashirish bajarilishi natijasida

$$\int d\nu \rho(r) e^{i\nu r} = \int_0^\infty \rho(r) r^2 dr \int_0^\pi e^{iqr \cos\theta} \sin\theta d\theta \int_0^{2\pi} d\varphi$$

bo'ladi va

$$d\nu = r^2 dr \sin\theta d\theta d\varphi, \quad \mathbf{q}r = qr \cos\theta$$

yo'naltiriladi. U holda,

koordinatalar sistemasiga o'tiladi, bunda Z -o'qini \mathbf{b} vektor bo'yicha

Olengan (10.33) formulada integrallashni bajarish uchun qub

$$= \int d\nu \rho(r) e^{i\nu r} = \int_0^\infty \rho(r) r^2 dr \int_0^\pi e^{iqr \cos\theta} \sin\theta d\theta \int_0^{2\pi} d\varphi$$

$$= \int_0^\infty \rho(r) r^2 dr \int_0^\pi e^{iqr \cos\theta} \sin\theta d\theta \int_0^{2\pi} d\varphi$$

$$J_2 = \int_0^\infty \rho(r) r^2 dr \int_0^\pi e^{iqr \cos\theta} \sin\theta d\theta \int_0^{2\pi} d\varphi = \int_0^\infty \rho(r) r^2 dr \int_0^\pi e^{iqr \cos\theta} \sin\theta d\theta \int_0^{2\pi} d\varphi \quad (10.33)$$

hisoblanadi:

natiija kelib chiqadi. (10.28) dagi ikkinchi integral esa

masabli uning elektr maydonining kichik masofalarda Kulon

energetik sathlarni hisoblaganda yadroning nuqtaviy bo'lmaganligi

uning orbitasining Bor radiusi kichikdir va shunga yarasha π -mezonni

massasi katta (elektron massasidan taxminan 270 marta) bo'lgani uchun

sathlarini beradi. Shuni ham hisobga olish kerakki, π -mezonning

π -mezonlardan iborat bo'lgan ekzotik atom sistemasining energetik

formulalar π -mezoatlarning yadro va uning atrofiga aylanayotgan

π -mezonlarga qo'llanishi mumkin ekan. Biz topgan (11.23) va (11.24)

Gordon tenglamasi spinga ega bo'lmagan zarrachalargina (masalan,

Kleyn-Gordon tenglamasida hisobga olinmagan. Demak, Kleyn-

malumki, elektron spin va xususiy magnit momentiga egadir, bular esa

ifodalashga qo'llab bo'lmas ekan. Haqiqatan ham, avvalgi boblardan

ko'rsatadiki, Kleyn-Gordon tenglamasini elektronning harakatini

formula beradigan kattalikdan ikki marta kichikdir. Bu shuni

Vodorod atomida kuzatiladigan parchalanish, haqiqatda (11.24)

ajralanadi. Vodorod atomi uchun (11.24) bo'yicha energiya ning to'liq

ajralash kattaligi quyidagiga teng bo'lishi kerak:

$$\partial E_m^{(0)} = \frac{\alpha^4 m c^2 (n-1)}{n^3 (n-1/2)} = R y \alpha^2 \frac{n-n-1}{n^3 (2n-1)}. \quad (11.26)$$

Relyativistik tuzatishni hisobga olganimizda l kvant soni bo'yicha

tuzatishni hisoblasak, (11.24) formuladagi oxirgi had olinadi.

bunda $\psi_n = R_m(r) Y_m(\theta, \varphi)$ - Kulon to'liql, ϕ -

$$\delta E_m^{(0)} = \left\langle \mathbf{p}^4 \left| \psi_n \right| - \left| \psi_n \right| \mathbf{p}^4 \right\rangle = \quad (11.25)$$

mumkin:

$$E = \left(\mathbf{p}^2 c^2 + m^2 c^4 \right)^{1/2} \approx m c^2 + \frac{\mathbf{p}^2}{2m} + \frac{3}{8m^3 c^2} \mathbf{p}^4 + \dots$$

g'alayonlanish hadi deb tarash kerak:

bo'yicha, qatorga yoyaganimizdagidagi d ga proporsional

hishov ini qaytib uchun siljishi tartibli

shu sathlarning energetik

maydonidagi sochilishning amplitudasi va sochilishning to'liq

differensial kesimi aniqlansin.

Yechish. Ma'lumki,

Bu formulaga Yukava potensialining ifodasi qo'yilsa

bo'ladi. Endi $\sin qr = \frac{e^{iqr} - e^{-iqr}}{2i}$ formuladan va o'zgaruvchilarni

almashirish metodidan foydalanib integrallash natijasida

ni olinadi. U holda

va sochilishning to'liq differensial kesimi quyidagiga teng bo'ladi:

$$f(\theta) = -\frac{2m}{q\hbar^2} \int U(r) r \sin qr dr.$$

Bu formulaga Yukava potensialining ifodasi qo'yilsa

$$f(\theta) = -\frac{2m\alpha}{q\hbar^2} \int_0^\infty e^{-\alpha r} \sin qr dr$$

bo'ladi. Endi $\sin qr = \frac{e^{iqr} - e^{-iqr}}{2i}$ formuladan va o'zgaruvchilarni

almashirish metodidan foydalanib integrallash natijasida

ni olinadi. U holda

$$f(\theta) = -2\alpha \left(\frac{\alpha m a}{\hbar^2} \right) \frac{1}{1 + \alpha^2 a^2}$$

ni olinadi. U holda

$$d\sigma = |f(\theta)|^2 d\Omega = 4\alpha^2 \left(\frac{\alpha m a}{\hbar^2} \right)^2 \frac{d\Omega}{(1 + \alpha^2 a^2)^2}$$

va sochilishning to'liq differensial kesimi quyidagiga teng bo'ladi:

$$\sigma = 4\pi \left(\frac{2\alpha m a^2}{\hbar^2} \right)^2 \frac{1}{1 + 4\alpha^2 a^2}$$

Berilgan integralni bo'laklab integrallash natijasida va integralning

chegaralarini hisobga olganda quyidagi natija olinadi:

$$\sigma = \frac{2\pi}{k^2} \left(\frac{m|U_0|R^2}{\hbar^2} \right)^2 \left[1 - \frac{1}{(2kR)^2} + \frac{\sin 4kR}{(2kR)^3} - \frac{\sin^2 2kR}{(2kR)^4} \right]$$

Endi xususiy hollarni ko'rihsa.

a) $kR \gg 1$ bo'lganda

$$\sigma = \frac{2\pi}{k^2} \left(\frac{m|U_0|R^2}{\hbar^2} \right)^2 ;$$

b) $kR \ll 1$ bo'lganda esa

$$\sigma = \frac{16\pi}{9} R^2 \left(\frac{m|U_0|R^2}{\hbar^2} \right)^2 .$$

hisoblash qiyinchilik tug'dirmaydi:

Bunda $qr = \xi$ belgilash kiritildi. Hosil bo'lgan oxirgi integralni

$$F(\theta) = 4\pi \int_0^{\infty} \rho(r) \frac{\sin(qr)}{qr} r^2 dr = \frac{Z}{2a^3 q^3} \int_0^{\infty} e^{-\frac{\xi}{a} \text{Sh}\xi} \cdot \xi \cdot d\xi.$$

mumkin:

ifoda kelib chiqadi. Endi $F(\theta)$ atom form faktorini hisoblashga o'tirishi

$$\rho = \frac{Z}{8\pi a^3} e^{-\frac{r}{a}} \quad (10.39)$$

bo'ladi. Shunday qilib,

$$\rho_0 = \frac{Z}{8\pi a^3}$$

bo'ladi, demak

$$\int \rho dv = Z$$

deb qabul qilinadi, bu yerda a – atomning radiusi. Umumman olganda,

atom neytral bo'lganligi sababli

$$\rho = \rho_0 e^{-\frac{r}{a}}$$

Olingan formulani yaqqol namoyon qilish uchun, $e\rho$ - elektron

dastasi zaryadining zichligi to'g'risida sodda taxmin yuritamiz. Avvalo,

$$d\sigma = \left(\frac{e^2}{2m\nu^2} \right)^2 \{Z - F(\theta)\}^2 \cos^2 \frac{\theta}{2} d\Omega \quad (10.38)$$

Kiritilgan $F(\theta)$ kattalik *atom formfaktor*i deyiladi, uning qiymati

esa elektron zaryadi zichligining taqsimoti bilan aniqlanadi va

elektronlarning burchaklar bo'yicha sochilishini aniqlab beradi. Olingan

(10.37) formula yordamida θ burchakka E energiyali elektronlarning

differentzial effektiv kesimini topishimiz mumkin, ya'ni

$$f(\theta) = -\frac{e^2}{2m\nu^2} \{Z - F(\theta)\} \cos^2 \frac{\theta}{2}. \quad (10.37)$$

belgilash kiritilsa, quyidagi oxirgi natijani olish mumkin:

$$F(\theta) = 4\pi \int_0^{\infty} \frac{\sin(qr)}{qr} \rho(r) r^2 dr \quad (10.36)$$

$$(10.52) \quad \psi_{nlm} = \sum_{l=0}^{\infty} \sum_{m=-l}^{-l} c_{lm} R_l(r) Y_{lm}(\theta, \varphi).$$

Bu yechimni uning OZ o'giga proyeksiyasi (m soni) va impuls momentning qiymatlari (l soni) bilan farqlanuvchi holatlarning superpozitsiyasi ko'rinishida izlayotganligimizni bildiradi.

Sochilish nazariyasiga murojaat qilinsa, shunday xususiy yechim aniqlanishi kerakki, uning asimptotikasi quyidagi ko'rinishda bo'lsin:

$$\psi_{r \rightarrow \infty} = e^{ikz} + f(\theta) \frac{e^{ikr}}{r}. \quad (10.53)$$

Bu yechim sferik simmetriyaga ega bo'lib, ϕ o'zgaruvchiga bog'liq emas. Demak, (10.52) ifodadan ϕ ga bog'liq bo'lmagan yechimni olish uchun, bu ifodada yig'indining $m \neq 0$ barcha hadlarini hisobga olmaslik kerak. U holda,

$$\psi(r, \theta) = \sum_{l=0}^{\infty} c_l R_l(r) P_l(\cos\theta)$$

yechimga ega bo'linadi, chunki $Y_{l0}(\theta, \phi)$ faqat ko'paytuvchi bilan $P_l(\cos\theta)$ dan farq qiladi.

Endi asosiy vazifamiz c_l amplitudalarni aniqlashdan iborat bo'lib, ushbu masala kvant mexanikasiga bag'ishlangan bir qator darsliklarda yetarlicha to'liq bayon etilganligi tufayli, o'quvchiga oxirgi natijani berish bilan chegaralanamiz. Shunday qilib, sochilayotgan to'liqning amplitudasi

$$f(\theta) = \frac{1}{2ik} \sum_{l=0}^{\infty} (2l+1)(e^{2i\delta_l} - 1) P_l(\cos\theta)$$

ko'rinishda bo'ladi, bunda η_l sochilgan to'liqlarning fazasi.

10.6. X bobga oid savol va masalalar

1. Elastik va noelastik sochilishlarning asosiy farqi nimada?
2. Sochilishning differensial effektiv kesimini izohlab bering.
3. **Masala.** Borm yaqinlashishida $U = -|U_0|$ agarda $r \leq R$ yoki $U = 0$ agar $r > R$ bo'lganida sferik potensial o'radagi sochilishning amplitudasi va differensial kesimi hisoblansin.

olishga imkoniyat bermas ekan. Kinetik energiyaning musbatligi bo'lib qoladi va to'liq funktsiya bu holda nol nuqtada singulyarlikka ega bo'ladi. Demak, funktsiyamizning cheklanganlik talabi $l = 0$ bo'lganda $l \pm$ larning ichida to'g'risini tanlab olishga imkoniyat bermas ekan. Kinetik energiyaning musbatligi talabi esa $l \pm$ ni tanlab olishga olib keladi. Shunday yo'l bilan orbital kvant soni l ning har bir qiymati uchun radial tenglama (11.19) ning faqat bitta yechimi qoldiriladi, u ham bo'lsa kichik ρ uchun asimptotikasi $\sim \rho^{l+1}$ bo'lgan yechimdir.

Kulon maydonidagi relyativistik zarrachaning energiya sathlari

uchun (11.18) va (11.21) formulalardan quyidagi aniq ifoda olinadi:

$$E = mc^2 \left[1 + \frac{\alpha^2 Z^2}{(n_r + l_r + 1)^2} \right]^{-1/2}. \quad (11.23)$$

Olingan bu ifodani α bo'yicha α^4 aniqlikkacha qatorga yoyilsa

quyidagi olinadi:

$$E \approx mc^2 \left[1 - \frac{Z^2 \alpha^2}{2n^2} - \frac{Z^4 \alpha^4}{2n^4} \left(\frac{n}{l+1/2} - \frac{3}{4} \right) \right] = mc^2 - Z^2 \frac{Ry}{n^2} - Z^4 \frac{\alpha^2 Ry}{n^3} \left(\frac{1}{l+1/2} - \frac{3}{4} \right), \quad (11.24)$$

bunda $n = n_r + l + 1$ faqat musbat qiymat qabul qiluvchi bosh kvant soni,

$Ry = \frac{me^4}{2\hbar^2}$ - vodorod atomining ionizatsiya energiyasi (Ridberg

doimiyisi). Topilgan ifodaning birinchi hadi zarrachaning tinchlik

energiyasiga mos keladi, keyingi had vodorod atomidagi elektronning

norelyativistik energiya sathlarini ifodalaydi: $E_n = -\frac{Ry}{n^2}$ (Balmer

formulasi). Formuladagi oxirgi had esa berilgan n uchun energetik

sathlarning l bo'yicha ayinishini yo'q qiluvchi haddir, bu had atom

spektrining nozik strukturasi to'g'ri keladi. Aytib o'tish kerakki,

spektrning nozik strukturasi norelyativistik kvant mexanikasida ham

olish mumkin, buning uchun relyativistik energiyaning impuls



RELYATIVISTIK KVANT MEXANIKASI

XI bob

11.1 Shredingerning relyativistik tenglamasi

Shredinger tenglamasi tezliklari yorug'lik tezligidan juda kichik bo'lgan zarrachalaragana qo'llanishi mumkin. Bu tenglamaning tezliklari yorug'lik tezligiga yaqin bo'lgan zarrachalarga qo'llanishi mumkin bo'lgan umumlashtirilgan formasi bir necha tadqiqotchilar, jumladan Shredingerning o'zi tomonidan norelyativistik kvant mexanikasining yaratilishi bilan deyarli bir vaqtda taklif qilingan edi. Ushbu masalani ko'rib chiqishdan oldin Shredinger tenglamasini olishning formal yo'li eslatib o'tiladi.

Berilgan $U(\mathbf{r})$ potentsialda harakat qilayotgan zarrachaning energiyasi quyidagiga tengdir:

$$E = \frac{\mathbf{p}^2}{2m} + U(\mathbf{r}). \quad (11.1)$$

Shu ifodada

$$E \Rightarrow i\hbar \frac{\partial}{\partial t} \psi, \mathbf{p} \Rightarrow -i\hbar \nabla \quad (11.2)$$

almashtirish bajarilsa va hosil bo'lgan operator bilan $\psi(\mathbf{r}, t)$ to'liq funksiyasiga ta'sir qilinsa, Shredinger tenglamasi kelib chiqadi:

$$i\hbar \frac{\partial \psi(\mathbf{r}, t)}{\partial t} = -\frac{\hbar^2}{2m} \nabla^2 \psi(\mathbf{r}, t) + U(\mathbf{r}) \psi(\mathbf{r}, t). \quad (11.3)$$

Agar energiya uchun quyidagi relyativistik ifodadan

$$E^2 = \mathbf{p}^2 c^2 + m^2 c^4 \quad (11.4)$$

foydalanilsa hamda (11.2) almashtirish bajarilsa, quyidagi relyativistik tenglama olinadi:

$$\left(\nabla^2 - \frac{\partial^2}{c^2 \partial t^2} - \frac{m^2 c^2}{\hbar^2} \right) \psi(\mathbf{r}, t) = 0 \quad (11.5)$$

Mazkur tenglama 1926-yilda mustaqil ravishda bir necha tadqiqotchilar – O.Kleyn, V. Gordon, B.Fok va E. Shredingerlar tomonidan olingan va fizikada Kleyn - Gordon tenglamasi nomini olgan. Bu tenglamani olishda faqatgina (11.4) relyativistik

funksiyalarning yoyimasi shaklida yozish mumkin:

$$(10.49) \text{ tenglamaning umumiy yechimini } \psi_{lm}(r, \theta, \varphi) - \text{ ortogonal funksiyalarning yoyimasi shaklida yozish mumkin:}$$

$$\frac{d^2 u_l}{dr^2} + \left[k^2 - \frac{l(l+1)}{r^2} \right] u_l = V(r) u_l. \quad (10.51)$$

hosil qilish mumkin:

(10.49) tenglamaning umumiy yechimini $\psi_{lm}(r, \theta, \varphi)$ - ortogonal funksiyalarning yoyimasi shaklida yozish mumkin:

$$\psi_{lm}(r, \theta, \varphi) = R_{lm}(r) \cdot Y_{lm}(\theta, \varphi). \quad (10.50)$$

Shunday qilib, markaziy simmetriyai maydonda Shredinger tenglamasining umumiy yechimi aniqlandi. Agarda $R_{lm}(r) = \frac{u_l}{r}$ deb qabul qilinsa, (10.49) ifoda u_l funksiya uchun quyidagi tenglamani hosil qilish mumkin:

$$\frac{d^2 u_l}{dr^2} + \left[k^2 - \frac{l(l+1)}{r^2} \right] u_l = V(r) u_l. \quad (10.51)$$

(10.49) tenglamaning umumiy yechimini $\psi_{lm}(r, \theta, \varphi)$ - ortogonal funksiyalarning yoyimasi shaklida yozish mumkin:

dan farqli ravishda kirigan (11.8) zichlik hamma vaqt manfiy bo'lmash xossasiga ega emas. Hattoki, agar $\psi(\mathbf{r}, t)$ - funksiya haqiqiy bo'lsa (Kleyn-Gordon tenglamasining bunday yechimlari mavjud), (11.8) zichlik butun fazoda aynan nolga tengdir. $\rho(\mathbf{r}, t)$ ishorasi noaniqligi uni zarrachani t vaqt momentida \mathbf{r} nuqtada topish ehtimolligining zichligi sifatida qarab bo'lmashini anglatadi. Kleyn-Gordon tenglamasining yechimi bo'lgan $\psi(\mathbf{r}, t)$ funksiya ni ham ehtimollik amplitudasi sifatida qarab bo'lmashligi ravshandir. ψ -funksiyani ehtimoliy talqin qilishdagi bunday qiyinchilikka Kleyn-Gordon tenglamasining birinchi tadqiqotchilari e'tibor berishgan edi. Ehtimoliy talqinning mumkinmasligi o'z vaqtida, hatto Kleyn-Gordon tenglamasidan voz kechishga ham olib kelgan, unga formal relyativistik lekin, tabiatga daxli yo'q bir tenglama deb ham qaragan. Bu esa o'z navbatida ma'lum ijobiy rol ham o'ynagan "haqiqiy" relyativistik

$$\rho(\mathbf{r}, t) = \psi(\mathbf{r}, t) \psi^*(\mathbf{r}, t) = |\psi(\mathbf{r}, t)|^2 \geq 0 \quad (11.9)$$

dan farqli ravishda kirigan (11.8) zichlik hamma vaqt manfiy bo'lmash xossasiga ega emas. Hattoki, agar $\psi(\mathbf{r}, t)$ - funksiya haqiqiy bo'lsa (Kleyn-Gordon tenglamasining bunday yechimlari mavjud), (11.8) zichlik butun fazoda aynan nolga tengdir. $\rho(\mathbf{r}, t)$ ishorasi noaniqligi uni zarrachani t vaqt momentida \mathbf{r} nuqtada topish ehtimolligining zichligi sifatida qarab bo'lmashini anglatadi. Kleyn-Gordon tenglamasining yechimi bo'lgan $\psi(\mathbf{r}, t)$ funksiya ni ham ehtimollik amplitudasi sifatida qarab bo'lmashligi ravshandir. ψ -funksiyani ehtimoliy talqin qilishdagi bunday qiyinchilikka Kleyn-Gordon tenglamasining birinchi tadqiqotchilari e'tibor berishgan edi. Ehtimoliy talqinning mumkinmasligi o'z vaqtida, hatto Kleyn-Gordon tenglamasidan voz kechishga ham olib kelgan, unga formal relyativistik lekin, tabiatga daxli yo'q bir tenglama deb ham qaragan. Bu esa o'z navbatida ma'lum ijobiy rol ham o'ynagan "haqiqiy" relyativistik

$$\rho(\mathbf{r}, t) = \frac{\hbar}{2imc^2} \left(\psi^* \frac{\partial \psi}{\partial t} - \psi \frac{\partial \psi^*}{\partial t} \right). \quad (11.8)$$

$$\mathbf{j}(\mathbf{r}, t) = \frac{\hbar}{2im} (\psi^* \nabla \psi - \psi \nabla \psi^*), \quad (11.7)$$

quyidagi ifodalarni olish kerak:

Buning uchun ehtimollik zichligi $\rho(\mathbf{r}, t)$ va oqim zichligi $\mathbf{j}(\mathbf{r}, t)$ uchun quyidagi ifodalarni olish kerak:

$$\frac{\partial \rho(\mathbf{r}, t)}{\partial t} + \text{div} \mathbf{j}(\mathbf{r}, t) = 0. \quad (11.6)$$

olganimizdek uzluksizlik tenglamasini olish mumkin:

$$\frac{\partial \rho(\mathbf{r}, t)}{\partial t} + \text{div} \mathbf{j}(\mathbf{r}, t) = 0. \quad (11.6)$$

munosabardan foydalanganimiz uchun tenglama relyativistik invariantdir, ya'ni, nisbiylik nazariyasining almashirishlariga (Lorens almashirishlariga) nisbatan invariantdir. Shredinger tenglamasidan farqli ravishda Kleyn - Gordon tenglamasi fazoviy va vaqt koordinatlariga nisbatan simmetrikdir.

Kleyn - Gordon tenglamasidan xuddi Shredinger tenglamasidan olganimizdek uzluksizlik tenglamasini olish mumkin:



Agar $e\phi = -Ze^2/r$ deb olinsa, relyativistik zarrachaning Kulon maydonidagi harakatini ko'rib chiqish mumkin bo'ladi. Quyidagi o'lchamsiz uzunlik va energiyalarni kiritaylik:

$$\rho = \frac{\hbar^2 c^2}{e^2 E} \gamma, \quad \gamma/r = \frac{E^2 - m^2 c^4}{e^2 E} \epsilon, \quad \epsilon = \frac{E^2 - m^2 c^4}{e^2 E^2}. \quad (11.18)$$

Kiritilgan yangi o'zgaruvchilarda (11.17) tenglamaning ko'rinishi quyidagicha bo'ladi:

$$\frac{d^2 R(\rho)}{d^2 \rho} - \frac{2Z}{\rho} R(\rho) + (1 - Z^2 \alpha^2) R(\rho) = 0. \quad (11.19)$$

bunda $\alpha = e^2/\hbar c \approx 1/137$ - nozik struktura doimiysi deyiladigan doimiydir. Agar (11.19) da

$$l(l+1) - Z^2 \alpha^2 = (l')^2 \quad (11.20)$$

kabi belgilash kiritilsa, olingan tenglama elektronning vodород atomidagi to'liq funksiyasining radial qismi uchun tenglama bilan bir xil bo'ladi. Bu tenglama esa parametrlar ϵ ning faqatgina ba'zi qiymatlaridagina yechimga ega:

$$\epsilon = -\frac{Z^2}{(n_r + l' + 1)^2} \quad (11.21)$$

bunda n_r ixtiyoriy musbat butun son yoki nol. (11.20) kvadrat tenglamadan l ning berilgan qiymatlarida l' uchun quyidagi ikkita qiymat olinadi:

$$l'_{\pm} = -\frac{1}{2} \pm \frac{1}{2} \left[(2l+1)^2 - 4Z^2 \alpha^2 \right]^{1/2} \quad (11.22)$$

$l > 0$ bo'lganda bularning biri musbat, ikkinchisi esa manfiy bo'ladi. Bu ildizlarning qaysi birini (11.21) ga qo'yish kerak? $R(\rho)$ funksiya ning kichik ρ lar uchun asimptotikasi xuddi norelyativistik holdagidek quyidagi ko'rinishga ega bo'ladi:

$$R_l(\rho) \sim \rho^{l'+1}, \quad R_s(\rho) \sim \rho^{-l'}$$

Agar to'liq funksiyasini nolda chekli bo'lsin desak, unda $R_l(\rho)$ va musbat l' ni, ya'ni, l'_{\pm} ni tanlab olinishi kerak. Lekin l'_{\pm} ildiz faqatgina $l > 0$ bo'lgandagina noldan kattadir, $l=0$ holda l'_{\pm} ning ikkalasi ham manfiy bo'lib, qoladi va to'liq funksiya bu holda nol nuqtada singularlikka ega bo'ladi. Demak, funksiyamizning cheklanganlik talabi $l' = 0$ bo'lganda l'_{\pm} larning ichida to'g'risini tanlab

ifoda olinadi.

10.5 Sochilishning aniq nazariyasi

Yuqorida ko'rib chiqilgan sochilishning yaqinlashishlar asosida keltirib chiqilgan nazariyasi bilan bir gatorda sochilishning aniq nazariyasi ham mavjudligini ko'rsatish mumkin. Bu masalani hal qilish uchun (10.8) ifodaga murojat etiladi va

$$\nabla^2 \psi + k^2 \psi = V(r) \psi \quad (10.49)$$

tenglamani aniq yechimini olishga harakat qilinadi. Bu tenglama markaziy kuchlar maydonidagi harakatning umumiy nazariyasida uchraydigan tenglamadan $-2m/\hbar^2$ ko'paytuvchi va hadlarning ketma-ket joylashgani bilan ajralib turadi. Shu sababdan, (10.49) tenglamaning

$E = \frac{\hbar^2 k^2}{2m}$ energiya, $M^2 = \hbar^2 l(l+1)$ impuls momentining kvadrati va $M_z = \hbar m$ impuls momentining proyeksiyasiga tegishli bo'lgan xususiy yechimi quyidagicha bo'ladi:

$$\psi_{lm}(r, \theta, \varphi) = R_{lm}(r) \cdot Y_{lm}(\theta, \varphi). \quad (10.50)$$

Shunday qilib, markaziy simmetriyai maydonda Shredinger tenglamasining umumiy yechimi aniqlandi. Agarda $R_{lm}(r) = \frac{u_l}{r}$ deb qabul qilinsa, (10.49) ifoda u_l funksiya uchun quyidagi tenglamani hosil qilish mumkin:

$$\frac{d^2 u_l}{dr^2} + \left[k^2 - \frac{l(l+1)}{r^2} \right] u_l = V(r) u_l. \quad (10.51)$$

(10.49) tenglamaning umumiy yechimini $\psi_{lm}(r, \theta, \varphi)$ - ortogonal funksiyalarning yoyimasi shaklida yozish mumkin:

10.4. Bir xil zarrachalar to'qnashuvi

Ikkita bir xil zarrachaning to'qnashgan holini ko'rib chiqish masalasi alohida ahamiyatga egadir. Ma'lumki, kvant mexanikasida zarrachalarning aynan o'xshashligi ular o'rtasida o'ziga xos almashinuvchi o'zaro ta'sirning paydo bo'lishiga olib keladi. Sochilish jarayonlarida yuqorida qayd etilgan o'zaro ta'sirni hisobga olish

biriga mos kelishi lozim.

Klassik mexanikada olingan Rezerford formulasi hosil bo'ldi. Bu holda Rezerford formulasi Born yaqinlashish usuli orqali olingan. Qiziqarli jihati shundan iboratki, agarda mazkur masalani aniq yozganimizda, xuddi shu natijani olgan bo'lar edik. Darvoqe, sochilishning effektiv kesimini aniq hisoblagan vaqtimizda olingan yechimda \hbar Plank doimiysi qatnashmaydi. Demak, klassik fizika hamda kvant mexanikasi tomonidan hisoblab chiqilgan natijalar bir-biriga mos kelishi lozim.

$$d\sigma(\theta) = \left(\frac{e_1 e_2 Z}{2m v^2} \right)^2 \cos^2 \theta \frac{d\Omega}{2} \quad (10.42)$$

natija olinadi.

Tezliklari katta zarrachalar uchun $ka > 1$ bo'ladi va (10.41) dagi formulada ikkinchi hadni hisobga olmasak ham bo'ladi. U holda, ifoda hosil bo'ladi.

$$d\sigma(\theta) = \left(\frac{e_1 e_2 Z}{2m v^2} \right)^2 \left[1 - \frac{1}{\left(1 + 4k^2 a^2 \sin^2 \frac{\theta}{2} \right)^2} \right] \cos^2 \theta \frac{d\Omega}{2} \quad (10.41)$$

ifoda hosil bo'ladi.

kelib chiqadi. Demak,

$$F(\theta) = \frac{Z}{(1 + q^2 a^2)^3} \left(\frac{\theta}{2 \sin \frac{\theta}{2}} \right)^2 \quad (10.40)$$

Bundan

$$\int_0^{\infty} e^{-\frac{\xi}{2i}} \sin \xi \cdot \xi \cdot d\xi = \frac{1}{2i} \int_0^{\infty} e^{-\frac{\xi}{2i}} (e^{i\xi} - e^{-i\xi}) \xi d\xi = \frac{2a^3 q^3}{(1 + q^2 a^2)^2}.$$

Zarrachalarning aynan o'xshashligi sababli, ularning qaysi biri sochiluvchi, qaysi biri sochuvchi ekanini ko'rsatib bo'lmaydi. Inersiya markazi sistemasida, ikkita bir xil, bir-biriga qarama-qarshi tarqalayotgan tushuvchi yassi to'qinlarga ega bo'linadi. (10.43 formulada bu $e^{i\hbar z}$ va $e^{-i\hbar z}$). Ushbu (10.43) formuladagi tarqaluvchi sferik to'qin esa har ikki zarrachaning sochilishini hisobga oladi va uning yordamida fazoviy burchakning berilgan $d\Omega$ elementida zarrachalardan birtortasining sochilish ehtimolligini aniqlab beradi. Shunday qilib, agar

$$\psi = e^{i\hbar z} \pm e^{-i\hbar z} + \frac{e^{i\hbar r}}{r} [f(\theta) \pm f(\pi - \theta)]. \quad (10.43)$$

bo'ladi. Sistemaning to'qin funksiyasini esa, $r \rightarrow \infty$ da, uning simmetriyasini hisobga olgan vaqtimizda, quyidagicha yozish lozim:

$$\psi_2 = e^{-i\hbar z} + \frac{f(\pi - \theta)}{r} e^{i\hbar r}$$

ko'rinishda bo'ladi.

Ikkinchi zarracha uchun

$$\psi_1 = e^{i\hbar z} + \frac{f(\theta)}{r} e^{i\hbar r}$$

ko'rinishda bo'ladi.

Zarracha, masalan, elektronlarning to'qnashuvi ko'rib chiqiladi. U holda, sistemaning to'la to'qin funksiyasini ko'paytma ko'rinishda yozish mumkin, uning birinchi funksiyasi koordinata yoki orbital, ikkinchisi esa spin funksiyasi deb ataladi. Shredinger tenglamasi faqat koordinata funksiyasiningina aniqlaydi, shu tufayli ikkita bir xil zarrachalardan tashkil topgan sistema uchun zarrachalarning o'rinni almashirishga nisbatan orbital to'qin funksiyasi simmetrik yoki antisimmetrik bo'lishi kerak. Agarda sistemaning to'la spini $S=0$ bo'lsa, u holda orbital to'qin funksiya simmetrik bo'ladi, agarda $S=1$ bo'lsa u holda – antisimmetrik bo'lishi kerak. Og'irlik markazi bilan bog'langan sanog sistemasida zarrachalarning o'rinni almashirish radius-vektor yo'nalishini teskarisiga o'zgartirishga olib keladi, ya'ni $r_1 = -r_2$. Lekin, inersiya markazi tinch turgan koordinatalar sistemasida r o'zgarmasdan qoladi, θ burchak esa $\pi - \theta$ ga almashinadi. Shuning uchun, cheksizlikdagi chegaraviy shartni qanoatlantiruvchi birinchi zarracha uchun to'qin funksiyasi

$$\left[\left(i\hbar \frac{\partial}{\partial t} - e\varphi(\mathbf{r}; t) \right)^2 - c^2 \left(i\hbar \nabla + \frac{e}{c} \mathbf{A}(\mathbf{r}; t) \right)^2 - m^2 c^4 \right] \psi(\mathbf{r}; t) = 0. \quad (11.14)$$

Potensiallar vaqtga bog'liq bo'lmagan holda bu tenglamada \mathbf{r} va t o'zgaruvchilar ajraladi. Bu holda

$$\psi(\mathbf{r}; t) = u(\mathbf{r}) \exp(-iEt/\hbar)$$

deb olinsa, to'qin funksiyasining fazoviy qismi uchun quyidagi stasionar tenglama olinadi:

$$E \rightarrow i\hbar \frac{\partial}{\partial t} - e\varphi(\mathbf{r}; t), \mathbf{p} \rightarrow i\hbar \nabla - \frac{e}{c} \mathbf{A}(\mathbf{r}; t) \quad (11.13)$$

va hosil bo'lgan operator munosabat bilan to'qin funksiyasiga ta'sir qilish kerak. (11.13) almashirishning kelib chiqishini Dirak tenglamasiga elektromagnit maydonni kiritganda muhokama qilinadi. Aytilgan ishlar bajarilgandan keyin elektromagnit maydondagi zarracha uchun Kleyn–Gordon tenglamasi olinadi:

$$\left[(E - e\varphi)^2 - c^2 \left(i\hbar \nabla + \frac{e}{c} \mathbf{A}(\mathbf{r}; t) \right)^2 - m^2 c^4 \right] \psi(\mathbf{r}; t) = 0. \quad (11.15)$$

Vektor potensial nolga teng va skalar potensial $\varphi(\mathbf{r})$ -sferik simmetrik bo'lgan holni olib ko'raylik. (11.15) tenglama bu holda quyidagi ko'rinishga keltiriladi:

$$(-\hbar^2 c^2 \nabla^2 + m^2 c^4) u(\mathbf{r}) = (E - e\varphi)^2 u(\mathbf{r}). \quad (11.16)$$

Oxirgi tenglamada sferik koordinatalar sistemasida o'zgaruvchilarni ajratishimiz mumkin. Buning uchun $u(\mathbf{r})$ funksiyani quyidagi ko'rinishda izlanadi:

$$u(\mathbf{r}) = \frac{R(r)}{r} Y_{lm}(\theta, \varphi)$$

bunda $Y_{lm}(\theta, \varphi)$ - sferik funksiyalardir. Noma'lum $R(r)$ funksiya uchun quyidagi tenglama olinadi:

$$\frac{d^2 R(r)}{dr^2} - \frac{l(l+1)}{r^2} R(r) + \frac{(E - e\varphi)^2 - m^2 c^4}{\hbar^2 c^2} R(r) = 0. \quad (11.17)$$

zarurligi ham kelib chiqadi. Spinlari $\frac{1}{2}$ ga teng bo'lgan ikkita bir xil to'qnashyotgan zarrachaning yig'indi spinini $S=0$ bo'lsa, u holda sochilishning differensial effektiv kesimi

$$d\sigma_0 = |f(\theta) + f(\pi - \theta)|^2 d\Omega \quad (10.44)$$

ko'rinishga ega bo'ladi. Agar $S=1$ bo'lsa, u holda

$$d\sigma_1 = |f(\theta) - f(\pi - \theta)|^2 d\Omega \quad (10.45)$$

bo'ladi.

Hosil qilingan (10.44) va (10.45) formularda to'qnashuvchi zarrachalarning yig'indi spinini aniq qiymatga ega, deb faraz qilingan edi. Agar sistema ma'lum spin holatda bo'lmasa, u holda sochilish kesimini aniqlash uchun barcha mumkin bo'lgan holatlar bo'yicha o'rtachalashtirish lozim, chunki ularning hammasini teng ehtimolli deb qaraladi. $\frac{1}{2}$ spinga ega bo'lgan ikkita zarrachadan tashkil topgan sistemaning $2 \cdot 2 = 4$ ta turli spin holatlaridan biri $S=0$ to'la spinga (zarrachalarning spin proyeksiyalari $+\frac{1}{2}, -\frac{1}{2}$ bo'lgan holatga) mos keladi va uchitasi $S=1$ spinga (zarrachalarning spin proyeksiyalari $\frac{1}{2}, \frac{1}{2}, -\frac{1}{2}, -\frac{1}{2}, -\frac{1}{2}, -\frac{1}{2}, +\frac{1}{2}, +\frac{1}{2}$ bo'lgan holatga) mos keladi. Shuning uchun, sistemaning $S=0$ yoki $S=1$ spinga ega bo'lish ehtimolligi mos ravishda $\frac{1}{4}$ yoki $\frac{3}{4}$ ga teng va shunga ko'ra

$d\sigma = \frac{1}{4} d\sigma_0 + \frac{3}{4} d\sigma_1 =$

$$= \left\{ |f(\theta)|^2 + |f(\pi - \theta)|^2 - \frac{1}{2} [f(\theta) f^*(\pi - \theta) + f^*(\theta) f(\pi - \theta)] \right\} d\Omega \quad (10.46)$$

bo'ladi.

Misol ta'rifida $U = \frac{e^2}{r}$ Kulon qonuni bo'yicha o'zaro ta'sirlashuvchi ikkita tez harakatlanuvchi elektronlarning to'qnashuvi ko'rib chiqiladi. Agarda $\frac{-e^2}{\hbar v} \ll 1$ bo'lganida (v -zarrachalarning nisbiy harakat tezligi) amplituda uchun uning Born yaqinlashishidagi ifodasidan foydalanish mumkin. Bunda formuladagi m ikkala zarrachaning keltirilgan massasi ekanini yoodda tutish lozim ($m = \frac{m_e}{2}$, bunda m_e –elektronning massasi), u holda

ta'sirlashuvchi ikkita tez harakatlanuvchi elektronlarning to'qnashuvi ko'rib chiqiladi. Agarda $\frac{-e^2}{\hbar v} \ll 1$ bo'lganida (v -zarrachalarning nisbiy harakat tezligi) amplituda uchun uning Born yaqinlashishidagi ifodasidan foydalanish mumkin. Bunda formuladagi m ikkala zarrachaning keltirilgan massasi ekanini yoodda tutish lozim ($m = \frac{m_e}{2}$, bunda m_e –elektronning massasi), u holda

ta'sirlashuvchi ikkita tez harakatlanuvchi elektronlarning to'qnashuvi ko'rib chiqiladi. Agarda $\frac{-e^2}{\hbar v} \ll 1$ bo'lganida (v -zarrachalarning nisbiy harakat tezligi) amplituda uchun uning Born yaqinlashishidagi ifodasidan foydalanish mumkin. Bunda formuladagi m ikkala zarrachaning keltirilgan massasi ekanini yoodda tutish lozim ($m = \frac{m_e}{2}$, bunda m_e –elektronning massasi), u holda

ta'sirlashuvchi ikkita tez harakatlanuvchi elektronlarning to'qnashuvi ko'rib chiqiladi. Agarda $\frac{-e^2}{\hbar v} \ll 1$ bo'lganida (v -zarrachalarning nisbiy harakat tezligi) amplituda uchun uning Born yaqinlashishidagi ifodasidan foydalanish mumkin. Bunda formuladagi m ikkala zarrachaning keltirilgan massasi ekanini yoodda tutish lozim ($m = \frac{m_e}{2}$, bunda m_e –elektronning massasi), u holda

ta'sirlashuvchi ikkita tez harakatlanuvchi elektronlarning to'qnashuvi ko'rib chiqiladi. Agarda $\frac{-e^2}{\hbar v} \ll 1$ bo'lganida (v -zarrachalarning nisbiy harakat tezligi) amplituda uchun uning Born yaqinlashishidagi ifodasidan foydalanish mumkin. Bunda formuladagi m ikkala zarrachaning keltirilgan massasi ekanini yoodda tutish lozim ($m = \frac{m_e}{2}$, bunda m_e –elektronning massasi), u holda

ta'sirlashuvchi ikkita tez harakatlanuvchi elektronlarning to'qnashuvi ko'rib chiqiladi. Agarda $\frac{-e^2}{\hbar v} \ll 1$ bo'lganida (v -zarrachalarning nisbiy harakat tezligi) amplituda uchun uning Born yaqinlashishidagi ifodasidan foydalanish mumkin. Bunda formuladagi m ikkala zarrachaning keltirilgan massasi ekanini yoodda tutish lozim ($m = \frac{m_e}{2}$, bunda m_e –elektronning massasi), u holda

ta'sirlashuvchi ikkita tez harakatlanuvchi elektronlarning to'qnashuvi ko'rib chiqiladi. Agarda $\frac{-e^2}{\hbar v} \ll 1$ bo'lganida (v -zarrachalarning nisbiy harakat tezligi) amplituda uchun uning Born yaqinlashishidagi ifodasidan foydalanish mumkin. Bunda formuladagi m ikkala zarrachaning keltirilgan massasi ekanini yoodda tutish lozim ($m = \frac{m_e}{2}$, bunda m_e –elektronning massasi), u holda

11.2. Elektromagnit maydondagi zarracha

Vektor potensial $\mathbf{A}(\mathbf{r}; t)$ va skalar potensial $\varphi(\mathbf{r}; t)$ bo'lgan elektromagnit maydonda harakat qilayotgan zaryadli relyativistik

Nisbiylik nazariyasida hamma koordinatlar va vaqt teng huquqli bo'lgani uchun izlanayotgan tenglama hamma o'zgaruvchilar (koordinatlar va vaqt) bo'yicha birinchi tartibli differensial tenglama bo'lishi kerak. Agar kvadratlik forma bo'lgan klassik $E^2 - \mathbf{p}^2 c^2 - m^2 c^4$ munosabatni ikkita chiziqli formalarning ko'paytmasi sifatida ifodalash mumkin bo'lganida edi, bunday tenglamani darrov olgan bo'lar edik. Lekin oddiy arifmetika nuqtayi nazaridan bunday faktORIZatsiya'ni

Boshqacha aytganda

$$(B.1) \quad \int_a^b \delta(x) dx = 1, \text{ bu yerda } a < 0 < b$$

δ – funksiyaning eng muhim xossasi quyidagi tenglik orqali ifodalanadi:

$$\delta(x) = \infty, \text{ agar } x = 0,$$

$$\delta(x) = 0, \text{ agar } x \neq 0,$$

B ilova

Delta- funksiya va uning xossalari

Bitta x o'zgaruvchiga bog'liq bo'lgan delta funksiya, odatda, $\delta(x)$ orqali belgilanadi. $\delta(x)$ funksiya Dirak tomonidan kiritilgan bo'q'lib, nazariy fizikaning turli masalalarini yechishda keng qo'llaniladi. Ushbu funksiya x o'zgaruvchiga nisbatan singular funksiya bo'lib, $x = 0$ nuqtadan tashqari barcha qolgan nuqtalarda nolga teng bo'ladi, ya'ni

11.3. Dirak tenglamasi

1928-yilda Dirak ehtimoliy talqin qilishdagi qiyinchiliklardan holi bo'lgan relyativistik tenglamani olgan. Pauli va Vayskopf 1934-yilda Kleyн-Gordon tenglamasiga yangicha yondoshmagunlaricha Dirak tenglamasi to'g'ri bo'lgan yagona relyativistik tenglamadir deb qaralgan. Hozirgi tasavvurlar bo'yicha ikkala tenglama ham to'g'ri tenglamadir, faqat ularning qo'llanish sohasi har xildir: Dirak tenglamasi spini 1/2 (Plank doimiysi \hbar birliklarida) bo'lgan zarrachalarga va Kleyн-Gordon tenglamasi esa spinsiz zarrachalarga qo'llanishi kerak.

olimmagan.

maydonidan farqli bo'lishini ham hisobga olish kerak. π -mezonlar uchun kuchli o'zaro ta'sirning ham ahamiyati kattadir, buning ham π -mezoatlarning energetik sathlariga ta'sirini hisobga olish kerak. Bu ikki effekt (11.23) va (11.24) formulalarni keltirib chiqarishda hisobga

Yadro magnetoni	$\mu_N = e\hbar/2m_p$	$5,05082 \cdot 10^{-27} \text{ Dj/Tl}$
Neytronning magnit momenti	μ_n	-
Protonning magnit momenti	μ_p	$1,097768 \cdot 10^{-26} \text{ Dj/Tl}$
Elektronning magnit momenti	μ_e	$9,28483 \cdot 10^{-24} \text{ Dj/Tl}$
Bor magnetoni	$(2m)$	$9,27408 \cdot 10^{-24} \text{ Dj/Tl}$
Vodorod atomi	R_H	$1,09768 \cdot 10^{-7} \text{ m}^{-1}$
Ridberg doimiysi	R_∞	$1,09737 \cdot 10^{-7} \text{ m}^{-1}$
Yadroning cheksiz massasi uchun	$a_0 = \hbar^2/4\pi\epsilon_0 m_e e^2$	$5,29177 \cdot 10^{-11} \text{ m}$
Vodorod atomi uchun Bor radiusi	a_0	$2,81794 \cdot 10^{-10} \text{ m}$

$$\det(\gamma_\mu \gamma_\nu) = (-I)^N \det(\gamma_\nu \gamma_\mu) = (-I)^N \det(\gamma_\mu \gamma_\nu) \quad (11.48)$$

tenglik olinadi. Demak, $(-1)^N = 1$, ya'ni, N - juft son ekan. 11.3-paragrafda ko'rsatilganidek $N = 4$.

Endi (11.44) dan foydalanib, quyidagi vaqt bo'yicha chiziqli bo'lgan tenglamani yozib olish mumkin:

$$(11.49) \quad (\gamma^\mu p_\mu - m)\psi = 0.$$

Agar (11.42) dan foydalanilsa, bu tenglamani koordinat fazosida yozib olish mumkin:

$$(11.50) \quad (i\gamma^\mu \partial_\mu - m)\psi = 0.$$

Bu-Dirak tenglamasining kovariant ko'rinishidir. Dirak matrisalarining o'Ichamidan kelib chiqadiki, (11.50) tenglamadagi $\psi(\mathbf{r}, t)$ funksiya to'rt komponentalik to'liqin funksiyadir.

γ -matrisalarning asosiy xossalari o'rganishga o'taylik, buning uchun (11.46) munosabatdan boshqa hech narsa kerak bo'lmaydi.

$$(11.51) \quad (\gamma^0)^2 = I$$

munosabat olinadi. $\mu = \nu = i$ holda esa

$$(11.52) \quad (\gamma^i)^2 = -I$$

ekanligi ko'rish mumkin. Bunda i bo'yicha yig'indi yo'q. Bu formula ixtiyoriy i uchun o'rinalidir, ya'ni, $(\gamma^1)^2 = -I$ (γ^2)² = -I (γ^3)² = -I. Agar $\gamma^i = -\gamma_j$, $\gamma^0 = -\gamma_i$ xossalar eslansa, (11.51) va (11.52) formulalarni quyidagi bita ifodaga birlashtirish mumkin:

$$(11.53) \quad \gamma^\mu \gamma_\mu = I$$

(μ bo'yicha yig'indi yo'q).

Amalda ko'pincha γ -matrisalar va ularning ko'paymalarining izi – shpurini hisoblashga to'g'ri keladi (matrisaning izi – uning diagonal elementlarining yig'indisidir). Bitta matrisaning izini hisoblashdan boshlaylik:

$$p^2 = p_\mu p^\mu = p_0^2 - p_1^2 - p_2^2 - p_3^2.$$

Quyidagi belgilashlar kiritilsa:

$$\partial^i = -\partial_i = -(\nabla)_i \text{ va } \partial^0 = \partial_0 = \frac{\partial}{\partial t}$$

$$p^\mu = (i\partial^0, \partial) = i\partial^\mu \text{ va } p_\mu = (i\partial^0, -i\partial) = i\partial_\mu. \quad (11.43)$$

impuls uchun formulalarni qulay ko'rinishga keltirib olinadi:

$$(11.44) \quad p^2 - m^2 = (\hat{p} + m)(\hat{p} - m)$$

Takrorlanuvchi (bir gal kovariant bir gal kontravariant holda) grek indekslari bo'yicha 0 dan 3 gacha yig'indi ko'zda tutiladi. Lotin indekslari esa 1,2,3 qiymatlarini qabul qiladi.

Avvalgi paragrafdagidek, Kleyн-Gordon operatorini ikki operatorning ko'paytmasi ko'rinishiga keltirib olaylik:

$$(11.45) \quad \hat{p}^2 = \hat{p}\hat{p} = p^\mu \gamma_\mu p^\nu \gamma_\nu = \frac{1}{2} p^\mu p^\nu (\gamma_\mu \gamma_\nu + \gamma_\nu \gamma_\mu) = p^2$$

tenglik o'rinni bo'lishi uchun

$$(11.46) \quad (\gamma_\mu \gamma_\nu + \gamma_\nu \gamma_\mu) = 2g_{\mu\nu}$$

bo'lishi kerakligi ko'riladi. Ma'lumki, bunday xossaga matrisalar egadir. Shuni hisobga olib, (11.46) tenglikni haqiqatda quyidagi ko'rinishda tushunish kerak:

$$(11.47) \quad (\gamma_\mu \gamma_\nu + \gamma_\nu \gamma_\mu) = 2g_{\mu\nu} I.$$

bunda I -o'Ichamligi xuddi γ_μ - ning o'Ichamligi N ga teng bo'lgan birlik matrisadir. Odatda, (11.47) ning o'miga (11.46) qo'llaniladi, bunda faqat birlik matrisa bo'lishini esda tutish kerak. Kiritilgan matrisalarning o'Ichami N aniqlanadi. $\mu \neq \nu$ bo'lgan holda

$$\gamma_\mu \gamma_\nu = -\gamma_\nu \gamma_\mu = -I \gamma_\mu \gamma_\nu$$

bo'lgani uchun

Dirak tenglamasida ermit qo'shmasining ko'rinishi quyidagicha bo'ladi:

$$\psi^+(\mathbf{r}, t) = (\psi_1^*(\mathbf{r}, t), \psi_2^*(\mathbf{r}, t), \dots, \psi_n^*(\mathbf{r}, t)).$$

Shuning uchun, $\psi(\mathbf{r}, t)$ ning ermit qo'shmasi bo'lgan $\psi^+(\mathbf{r}, t)$ matritsa

$$A^+ = (A^*)^T.$$

quyidagi ko'rinishga ega bo'ladi:

Dirak tenglamasidan uzluksizlik tenglamasini keltirib chiqarish mumkin. Dirak tenglamasi matritsaviy tenglama bo'lgani uchun kompleks qo'shmaning o'rniga ermit qo'shmani ishlatish kerak. Eslatib o'taylik, (krest bilan belgilanadigan) matritsaning ermit qo'shmasi kompleks qo'shma bilan transponirlashdan iboratdir:

Matritsa-ustun elementlarining soni α_i va β matritsalarining o'lchamlariga tengdir. To'lqin funksiyasi komponentalarining mavjudligi zarracha qo'shimcha erkinlik darajalarining mavjudligini bildiradi. Bu qo'shimcha erkinlik darajalari elektronning spinini bilan bog'liq bo'lishi keyinchalik ko'rinadi.

$$\psi(\mathbf{r}, t) = \begin{pmatrix} \psi_1(\mathbf{r}, t), \\ \psi_2(\mathbf{r}, t), \\ \vdots \\ \psi_n(\mathbf{r}, t). \end{pmatrix}$$

qilish qulaydir:

esa ko'p komponentalik funksiyadir, uni matritsa-ustun sifatida tasavvur qilish qulaydir:

$$\beta^2 = \alpha_i^2 = 1 \quad (11.31)$$

deb olish kerak. Topilgan (11.29)-(11.31) xossalarga qaralsa, kiritilgan α va β kattaliklar matritsalar bo'lishi kerak, (11.28) tenglama esa matritsa ko'rinishida yozilgan chiziqli differensial tenglamalar sistemasini tashkil qilarg ekan. Bu tenglamaga kirgan to'lqin funksiya esa ko'p komponentalik funksiyadir, uni matritsa-ustun sifatida tasavvur qilish qulaydir:

$$\alpha_i \alpha_j + \alpha_j \alpha_i = 0, i \neq j \quad (11.30)$$

olish uchun

Ko'rinib turibdiki, bo'lganda impulsning har xil komponentalarining ko'paytmasi paydo bo'lishi mumkin. Buning oldini

bunda U ixtiyoriy unitar matritsa. Yangi kiritilgan $\tilde{\alpha}_i$ va $\tilde{\beta}$ matritsalarining xossalari eski α_i va β matritsalarining xossalari bilan aynan bir xil bo'lishini ko'rish qiyin emas.

Dirak matritsalarining har xil tasavvurlari mavjuddir, lekin Dirak tenglamasidan kelib chiqadigan fizik xulosalarining hech qaysisi konkret tasavvurga bog'liq emas. Keyingi paragraflarda bu tasavvurlarning bir nechta bilan tanishib chiqiladi va ularning qo'llanish sohalari muhokama qilinadi. Hozircha bu matritsalarining quyidagi tasavvuridan foydalaniladi:

$$\beta = \begin{pmatrix} 1 & 0 \\ 0 & -1 \end{pmatrix}, \alpha_i = \begin{pmatrix} 0 & \sigma_i \\ \sigma_i & 0 \end{pmatrix}. \quad (11.39)$$

bundagi σ_i matritsalar ikki gatorli Pauli matritsalaridir, ya'ni (11.39) tasavvurdagi matritsalarining har bir elementi o'z navbatida ikki o'lchamli matritsadan iboratdir:

$$\beta = \begin{pmatrix} 1 & 0 & 0 & 0 \\ 0 & 1 & 0 & 0 \\ 0 & 0 & -1 & 0 \\ 0 & 0 & 0 & -1 \end{pmatrix}, \quad (11.40)$$

$$\alpha_1 = \begin{pmatrix} 0 & \sigma_x \\ \sigma_x & 0 \end{pmatrix} = \begin{pmatrix} 0 & 0 & 0 & 1 \\ 0 & 0 & 1 & 0 \\ 0 & 1 & 0 & 0 \\ 1 & 0 & 0 & 0 \end{pmatrix}.$$

11.4. Dirak matritsalarining algebrasi

Avvalgi paragrafda Dirakning relyativistik tenglamasini keltirib chiqardik hamda α va β matritsalarining eng sodd xossalari bilan tanishib chiqdik. Dirak matritsalarining relyativistik kvant mexanikasining apparatida o'ynaydigan muhim rolini hisobga olib, bu paragrafda Dirak tenglamasini kovariant ko'rinishga keltirildi va Dirak matritsalarining asosiy xossalari bilan tanishib chiqildi. Ya'ni, bu va keyingi bir necha paragraflar ko'proq formal xarakterga ega bo'ladi.

kattalik esa 4-tok zichligi rolini o'ynaydi.

$$j^\mu = e \bar{\psi} \gamma^\mu \psi$$

bunda

$$\partial^\mu (\bar{\psi} \gamma^\mu \psi) = 0 \quad (11.11)$$

ko'rinishni oladi:

$$\bar{\psi} (\partial^\mu + m) \psi = 0 \quad (11.69)$$

belgilash kiritilsa, unda Dirak qo'shma spinori deyilgan $\bar{\psi}$ uchun

quyidagi tenglama olinadi:

$$\partial^\mu (\bar{\psi} \gamma^\mu \psi) = 0 \quad (11.68)$$

Endi Dirak tenglamasining ermit qo'shma ko'rinishiga o'taylik.

Dirak tenglamasining chap tomonining ermit qo'shmasini topaylik:

$$\gamma^\mu \gamma^\nu \gamma^\rho = \gamma^\nu \gamma^\rho \gamma^\mu. \quad (11.68)$$

quyidagi bitta formulaga birlashtirish mumkin:

$$\gamma^\mu \gamma^\nu \gamma^\rho = \gamma^\nu \gamma^\rho \gamma^\mu.$$

tenglikni hisobga olinsa,

$$\gamma^\mu (\gamma^\nu \gamma^\rho) = \gamma^\nu (\gamma^\rho \gamma^\mu) = \gamma^\rho (\gamma^\mu \gamma^\nu) = \gamma^\mu (\gamma^\nu \gamma^\rho) = 0$$

Shpur belgisining ostida matritsalarini siklik ravishda almashtirish mumkinligini hisobga olsak, quyidagi formulaga kelinadi:

$$S p \gamma^\mu \gamma^\nu \gamma^\lambda \gamma^\rho = 4 (g^{\mu\nu} g^{\lambda\rho} - g^{\mu\rho} g^{\lambda\nu} + g^{\mu\sigma} g^{\lambda\sigma}). \quad (11.57)$$

Umuman olganimizda, toq sonli γ -matritsalarining ko'paytmasi shpuri hamma vaqt nolga teng, juft sonli γ -matritsalarining ko'paytmasi esa oxirgi formulani keltirib chiqarishda ishlatgan yo'l bilan keltirib chiqarish mumkin.

Olingan formulalardan ixtiyoriy 4-vektorlar p_μ, q_μ va h.k lar uchun quyidagi tengliklar urini ekanligi kelib chiqadi:

$$S p (\hat{p}) = 0, S p (\hat{p} \hat{q}) = 4 p q, S p (\hat{p} \hat{q} \hat{k}) = 0$$

$$S p (\hat{p} \hat{q} \hat{k} \hat{s}) = 4 [(p q)(k s) - (p k)(q s) + (p s)(q k)]. \quad (11.58)$$

Endi γ^5 - matritsalik ifodaning shpuri hisoblanadi va quyidagi tenglik o'rinni ekanligini isbot qilaylik:

$$S p \gamma^\mu \gamma^\nu \gamma^5 = 0. \quad (11.59)$$

$$S p \gamma^\mu \gamma^\nu \gamma^5 = a g^{\mu\nu}$$

bo'lsin, bunda a - noma'lum koeffitsiyentdir. Bu ifoda mumkin bo'lgan yagona ifodadir, chunki bizning qo'llimizda mos keluvchi indeksli va oddiy songa proporsional bo'lgan boshqa kattaliklar yo'q. Oxirgi tenglikda $\mu = \nu = 0$ deb olinsa,

$$S p \gamma^0 \gamma^0 \gamma^5 = S p \gamma^0 \gamma^5 \gamma^0 = -S p \gamma^0 \gamma^0 \gamma^5 = 0$$

ekanligi ko'riladi. Demak, $a=0$ ekan va (11.59) - tenglikka keldik. Amalda keng ishlatiladigan yana bir kattalik bor - $S p \gamma^5 \gamma^\mu \gamma^\nu \gamma^\lambda \gamma^\rho$. Bu kattalikning qiymatini quyidagi umumiy ko'rinishda ifodalab olaylik:

$$S p \gamma^5 \gamma^\mu \gamma^\nu \gamma^\lambda \gamma^\rho = a \in^{\mu\nu\lambda\rho} + b g^{\alpha\lambda} g^{\mu\nu} + c g^{\sigma\nu} g^{\mu\lambda} + d g^{\mu\sigma} g^{\nu\lambda} \quad (11.60)$$

Bizning qo'llimizda o'ng tomonda yozish mumkin bo'lgan boshqa tenzor strukturalar yo'q. Bu formulada paydo bulgan $\in^{\mu\nu\lambda\rho}$ simvol 4-rangli birlik absolut antisimmetrik tenzorni bildiradi. Ya'ni, ta'rif bo'yicha

$$\in^{0123} = 1$$

• uning ixtiyoriy ikki indeksining o'rini almashtirilganda tenzor ishorasini o'zgartiradi:

$$\tilde{\alpha}_i = U^{-1} \alpha_i U, \tilde{\beta} = U^{-1} \beta U = \quad (11.1)$$

quyidagicha yangi $\tilde{\alpha}_i$ va $\tilde{\beta}$ matritsalar kiritiladi:

α_i va β matritsalarining ko'rib chiqilgan xossalari ularning oshkora ko'rinishini topishga imkon beradi. Lekin bu matritsalarining ko'rinishi bir qiymatli ravishda aniqlangan emas. Haqiqatan ham, quyidagicha yangi $\tilde{\alpha}_i$ va $\tilde{\beta}$ matritsalar kiritiladi:

$$\begin{aligned} \alpha_i \beta &= Sp(-\alpha_i \beta \alpha_i) = Sp(-\alpha_i^2 \beta) = Sp(-\beta) \\ \beta &= -\alpha_i \beta \alpha_i. \end{aligned} \quad (11.37)$$

ya'ni,

Xuddi shunday yo'l bilan $Sp \alpha_i = 0$ ekanligini ham isbotlash mumkindir. Bundan ham kuchliroq tasdiqni, ya'ni α_i va β matritsalarining ixtiyoriy toq sonining ko'paytmasining shpuri nolga tengligini ham ko'rsatish mumkin.

α_i va β matritsalarining ko'rib chiqilgan xossalari ularning oshkora ko'rinishini topishga imkon beradi. Lekin bu matritsalarining ko'rinishi bir qiymatli ravishda aniqlangan emas. Haqiqatan ham, quyidagicha yangi $\tilde{\alpha}_i$ va $\tilde{\beta}$ matritsalar kiritiladi:

Xuddi shunday yo'l bilan $Sp \alpha_i = 0$ ekanligini ham isbotlash mumkindir. Bundan ham kuchliroq tasdiqni, ya'ni α_i va β matritsalarining ixtiyoriy toq sonining ko'paytmasining shpuri nolga tengligini ham ko'rsatish mumkin.

Xuddi shunday yo'l bilan $Sp \alpha_i = 0$ ekanligini ham isbotlash mumkindir. Bundan ham kuchliroq tasdiqni, ya'ni α_i va β matritsalarining ixtiyoriy toq sonining ko'paytmasining shpuri nolga tengligini ham ko'rsatish mumkin.

$$-i\hbar \frac{\partial \psi^+}{\partial t} = -c \frac{\hbar}{i} \nabla \psi^+ \alpha + mc^2 \psi^+ \beta. \quad (11.32)$$

Bu tenglamada α va β matritsalarini ermit matritsalar deb olinsa:

$$\alpha_i^+ = \alpha_i, \beta^+ = \beta. \quad (11.33)$$

Bu tabiiydir, chunki, yuqorida qayd etib o'tilgan matritsalar tajribada kuzatiladigan fizik kattalikka to'g'ri keladi, hamda ermit matritsa bo'lishi kerak bo'lgan energiya operatori $\hat{H} = c\alpha p + \beta mc^2$ ning tarkibiga kiradi. Endi (11.28) Dirak tenglamasini chapdan $\psi^+(\mathbf{r}, t)$ ga, (11.32) qo'shma tenglamani esa o'ngdan $\psi(\mathbf{r}, t)$ ga ko'paytirib va birini ikkinchisidan ayirilsa, quyidagi tenglama olinadi:

$$i\hbar \frac{\partial \psi^+(\mathbf{r}, t)}{\partial t} \psi(\mathbf{r}, t) = c \psi^+(\mathbf{r}, t) \alpha \nabla \psi(\mathbf{r}, t) + \nabla \psi(\mathbf{r}, t) \alpha \psi^+(\mathbf{r}, t) \psi(\mathbf{r}, t). \quad (11.34)$$

Agar

$$\rho = \psi^+ \psi \geq 0, \mathbf{j} = c \psi^+ \alpha \psi$$

belgilashlar kiritilsa, (11.34) munosabat uzluksizlik tenglamasi ekanligini ko'rish mumkin. Zichlikning tarifidan ko'rinib turibdiki, to'liq funksiyasining ehtimoliy talqini uchun hech qanday muammolar yo'q.

Kiritilgan matritsalarining ko'rinishini topishga o'taylik. Avvalgi boblarda (11.29)–(11.31) xossaga ega bo'lgan σ_i matritsalar – Pauli matritsalarini – uchragan edi ((7.11) ifodaga qarang). Pauli matritsalarini o'zaro antikommutativ bo'lib, har birining kvadrati birlik matritsaga teng edi. Lekin, Pauli matritsalarining soni uchta, shunday xossaga ega bo'lgan to'rtta matritsa kerak. To'rtinchi matritsa sifatida birlik matritsani o'lmaymiz, chunki u hamma σ_i lar bilan kommutativdir. Demak, izlanayotgan matritsalarining o'ltinchi N Pauli matritsalarining o'ltinchi bo'lgan ikkidan katta bo'lishi kerak ekan. Bu o'ltinchi juft songa teng bo'lishi kerakligini osongina ko'rsatish mumkin. Haqiqatan ham, (11.29) dan:

$$\alpha_i \beta = \beta \alpha_i = (-I) \beta \alpha_i \quad (11.35)$$

kelib chiqadi. Bunda I matritsa – N o'ltinchi birlik matritsadir. Olingan munosabatning chap va o'ng tomonlarining determinantlari hisoblanadi:

$$\left(\gamma^0 \gamma^i \gamma^j + \gamma^i \gamma^j \gamma^0 \right) = 2 g_{ij} I. \quad (11.63)$$

o'zgarmaydi:

almashtirish bajarilsa (11.46), (11.47) formulalarining ko'rinishi

$$Sp \gamma^i \gamma^j \gamma^k = U \gamma^i \gamma^j \gamma^k U^{-1} = U \gamma^i \gamma^j \gamma^k U^{-1} \quad (11.62)$$

yordamida quyidagi ko'rinishdagi

$$\begin{aligned} \gamma^i \gamma^j \gamma^k \gamma^l &= -2 \gamma^i \gamma^j \gamma^k \gamma^l \\ \gamma^i \gamma^j \gamma^k \gamma^l &= -2 \gamma^i \gamma^j \gamma^k \gamma^l \end{aligned}$$

$$\gamma^i \gamma^j \gamma^k \gamma^l = 4 \gamma^i \gamma^j \gamma^k \gamma^l$$

Xuddi shunday yo'l bilan quyidagilarni ko'rsatish mumkin:

$$\gamma^i \gamma^j \gamma^k \gamma^l = \gamma^i \gamma^j \gamma^k \gamma^l + 2 \delta_{ij} \gamma^k \gamma^l - 2 \gamma^i \gamma^j \gamma^k \gamma^l.$$

Ba'zi bir masalalarda $\gamma^0 \gamma^i \gamma^j \gamma^k \dots \gamma^i \gamma^j \gamma^k \gamma^l$ ko'rinishdagi ifodalar uchraydi, bunda bo'yicha indekslar mavjud. Bunday ifodalar osongina soddalashtiriladi. Masalan,

$$Sp \gamma^i \gamma^j \gamma^k \gamma^l \gamma^m \gamma^n \gamma^p \gamma^q \gamma^r \gamma^s \gamma^t \gamma^u \gamma^v \gamma^w \gamma^x \gamma^y \gamma^z \gamma^0 \gamma^1 \gamma^2 \gamma^3 \gamma^4 \gamma^5 \gamma^6 \gamma^7 \gamma^8 \gamma^9 \gamma^{10} \gamma^{11} \gamma^{12} \gamma^{13} \gamma^{14} \gamma^{15} \gamma^{16} \gamma^{17} \gamma^{18} \gamma^{19} \gamma^{20} \gamma^{21} \gamma^{22} \gamma^{23} \gamma^{24} \gamma^{25} \gamma^{26} \gamma^{27} \gamma^{28} \gamma^{29} \gamma^{30} \gamma^{31} \gamma^{32} \gamma^{33} \gamma^{34} \gamma^{35} \gamma^{36} \gamma^{37} \gamma^{38} \gamma^{39} \gamma^{40} \gamma^{41} \gamma^{42} \gamma^{43} \gamma^{44} \gamma^{45} \gamma^{46} \gamma^{47} \gamma^{48} \gamma^{49} \gamma^{50} \gamma^{51} \gamma^{52} \gamma^{53} \gamma^{54} \gamma^{55} \gamma^{56} \gamma^{57} \gamma^{58} \gamma^{59} \gamma^{60} \gamma^{61} \gamma^{62} \gamma^{63} \gamma^{64} \gamma^{65} \gamma^{66} \gamma^{67} \gamma^{68} \gamma^{69} \gamma^{70} \gamma^{71} \gamma^{72} \gamma^{73} \gamma^{74} \gamma^{75} \gamma^{76} \gamma^{77} \gamma^{78} \gamma^{79} \gamma^{80} \gamma^{81} \gamma^{82} \gamma^{83} \gamma^{84} \gamma^{85} \gamma^{86} \gamma^{87} \gamma^{88} \gamma^{89} \gamma^{90} \gamma^{91} \gamma^{92} \gamma^{93} \gamma^{94} \gamma^{95} \gamma^{96} \gamma^{97} \gamma^{98} \gamma^{99} \gamma^{100} \gamma^{101} \gamma^{102} \gamma^{103} \gamma^{104} \gamma^{105} \gamma^{106} \gamma^{107} \gamma^{108} \gamma^{109} \gamma^{110} \gamma^{111} \gamma^{112} \gamma^{113} \gamma^{114} \gamma^{115} \gamma^{116} \gamma^{117} \gamma^{118} \gamma^{119} \gamma^{120} \gamma^{121} \gamma^{122} \gamma^{123} \gamma^{124} \gamma^{125} \gamma^{126} \gamma^{127} \gamma^{128} \gamma^{129} \gamma^{130} \gamma^{131} \gamma^{132} \gamma^{133} \gamma^{134} \gamma^{135} \gamma^{136} \gamma^{137} \gamma^{138} \gamma^{139} \gamma^{140} \gamma^{141} \gamma^{142} \gamma^{143} \gamma^{144} \gamma^{145} \gamma^{146} \gamma^{147} \gamma^{148} \gamma^{149} \gamma^{150} \gamma^{151} \gamma^{152} \gamma^{153} \gamma^{154} \gamma^{155} \gamma^{156} \gamma^{157} \gamma^{158} \gamma^{159} \gamma^{160} \gamma^{161} \gamma^{162} \gamma^{163} \gamma^{164} \gamma^{165} \gamma^{166} \gamma^{167} \gamma^{168} \gamma^{169} \gamma^{170} \gamma^{171} \gamma^{172} \gamma^{173} \gamma^{174} \gamma^{175} \gamma^{176} \gamma^{177} \gamma^{178} \gamma^{179} \gamma^{180} \gamma^{181} \gamma^{182} \gamma^{183} \gamma^{184} \gamma^{185} \gamma^{186} \gamma^{187} \gamma^{188} \gamma^{189} \gamma^{190} \gamma^{191} \gamma^{192} \gamma^{193} \gamma^{194} \gamma^{195} \gamma^{196} \gamma^{197} \gamma^{198} \gamma^{199} \gamma^{200} \gamma^{201} \gamma^{202} \gamma^{203} \gamma^{204} \gamma^{205} \gamma^{206} \gamma^{207} \gamma^{208} \gamma^{209} \gamma^{210} \gamma^{211} \gamma^{212} \gamma^{213} \gamma^{214} \gamma^{215} \gamma^{216} \gamma^{217} \gamma^{218} \gamma^{219} \gamma^{220} \gamma^{221} \gamma^{222} \gamma^{223} \gamma^{224} \gamma^{225} \gamma^{226} \gamma^{227} \gamma^{228} \gamma^{229} \gamma^{230} \gamma^{231} \gamma^{232} \gamma^{233} \gamma^{234} \gamma^{235} \gamma^{236} \gamma^{237} \gamma^{238} \gamma^{239} \gamma^{240} \gamma^{241} \gamma^{242} \gamma^{243} \gamma^{244} \gamma^{245} \gamma^{246} \gamma^{247} \gamma^{248} \gamma^{249} \gamma^{250} \gamma^{251} \gamma^{252} \gamma^{253} \gamma^{254} \gamma^{255} \gamma^{256} \gamma^{257} \gamma^{258} \gamma^{259} \gamma^{260} \gamma^{261} \gamma^{262} \gamma^{263} \gamma^{264} \gamma^{265} \gamma^{266} \gamma^{267} \gamma^{268} \gamma^{269} \gamma^{270} \gamma^{271} \gamma^{272} \gamma^{273} \gamma^{274} \gamma^{275} \gamma^{276} \gamma^{277} \gamma^{278} \gamma^{279} \gamma^{280} \gamma^{281} \gamma^{282} \gamma^{283} \gamma^{284} \gamma^{285} \gamma^{286} \gamma^{287} \gamma^{288} \gamma^{289} \gamma^{290} \gamma^{291} \gamma^{292} \gamma^{293} \gamma^{294} \gamma^{295} \gamma^{296} \gamma^{297} \gamma^{298} \gamma^{299} \gamma^{300} \gamma^{301} \gamma^{302} \gamma^{303} \gamma^{304} \gamma^{305} \gamma^{306} \gamma^{307} \gamma^{308} \gamma^{309} \gamma^{310} \gamma^{311} \gamma^{312} \gamma^{313} \gamma^{314} \gamma^{315} \gamma^{316} \gamma^{317} \gamma^{318} \gamma^{319} \gamma^{320} \gamma^{321} \gamma^{322} \gamma^{323} \gamma^{324} \gamma^{325} \gamma^{326} \gamma^{327} \gamma^{328} \gamma^{329} \gamma^{330} \gamma^{331} \gamma^{332} \gamma^{333} \gamma^{334} \gamma^{335} \gamma^{336} \gamma^{337} \gamma^{338} \gamma^{339} \gamma^{340} \gamma^{341} \gamma^{342} \gamma^{343} \gamma^{344} \gamma^{345} \gamma^{346} \gamma^{347} \gamma^{348} \gamma^{349} \gamma^{350} \gamma^{351} \gamma^{352} \gamma^{353} \gamma^{354} \gamma^{355} \gamma^{356} \gamma^{357} \gamma^{358} \gamma^{359} \gamma^{360} \gamma^{361} \gamma^{362} \gamma^{363} \gamma^{364} \gamma^{365} \gamma^{366} \gamma^{367} \gamma^{368} \gamma^{369} \gamma^{370} \gamma^{371} \gamma^{372} \gamma^{373} \gamma^{374} \gamma^{375} \gamma^{376} \gamma^{377} \gamma^{378} \gamma^{379} \gamma^{380} \gamma^{381} \gamma^{382} \gamma^{383} \gamma^{384} \gamma^{385} \gamma^{386} \gamma^{387} \gamma^{388} \gamma^{389} \gamma^{390} \gamma^{391} \gamma^{392} \gamma^{393} \gamma^{394} \gamma^{395} \gamma^{396} \gamma^{397} \gamma^{398} \gamma^{399} \gamma^{400} \gamma^{401} \gamma^{402} \gamma^{403} \gamma^{404} \gamma^{405} \gamma^{406} \gamma^{407} \gamma^{408} \gamma^{409} \gamma^{410} \gamma^{411} \gamma^{412} \gamma^{413} \gamma^{414} \gamma^{415} \gamma^{416} \gamma^{417} \gamma^{418} \gamma^{419} \gamma^{420} \gamma^{421} \gamma^{422} \gamma^{423} \gamma^{424} \gamma^{425} \gamma^{426} \gamma^{427} \gamma^{428} \gamma^{429} \gamma^{430} \gamma^{431} \gamma^{432} \gamma^{433} \gamma^{434} \gamma^{435} \gamma^{436} \gamma^{437} \gamma^{438} \gamma^{439} \gamma^{440} \gamma^{441} \gamma^{442} \gamma^{443} \gamma^{444} \gamma^{445} \gamma^{446} \gamma^{447} \gamma^{448} \gamma^{449} \gamma^{450} \gamma^{451} \gamma^{452} \gamma^{453} \gamma^{454} \gamma^{455} \gamma^{456} \gamma^{457} \gamma^{458} \gamma^{459} \gamma^{460} \gamma^{461} \gamma^{462} \gamma^{463} \gamma^{464} \gamma^{465} \gamma^{466} \gamma^{467} \gamma^{468} \gamma^{469} \gamma^{470} \gamma^{471} \gamma^{472} \gamma^{473} \gamma^{474} \gamma^{475} \gamma^{476} \gamma^{477} \gamma^{478} \gamma^{479} \gamma^{480} \gamma^{481} \gamma^{482} \gamma^{483} \gamma^{484} \gamma^{485} \gamma^{486} \gamma^{487} \gamma^{488} \gamma^{489} \gamma^{490} \gamma^{491} \gamma^{492} \gamma^{493} \gamma^{494} \gamma^{495} \gamma^{496} \gamma^{497} \gamma^{498} \gamma^{499} \gamma^{500} \gamma^{501} \gamma^{502} \gamma^{503} \gamma^{504} \gamma^{505} \gamma^{506} \gamma^{507} \gamma^{508} \gamma^{509} \gamma^{510} \gamma^{511} \gamma^{512} \gamma^{513} \gamma^{514} \gamma^{515} \gamma^{516} \gamma^{517} \gamma^{518} \gamma^{519} \gamma^{520} \gamma^{521} \gamma^{522} \gamma^{523} \gamma^{524} \gamma^{525} \gamma^{526} \gamma^{527} \gamma^{528} \gamma^{529} \gamma^{530} \gamma^{531} \gamma^{532} \gamma^{533} \gamma^{534} \gamma^{535} \gamma^{536} \gamma^{537} \gamma^{538} \gamma^{539} \gamma^{540} \gamma^{541} \gamma^{542} \gamma^{543} \gamma^{544} \gamma^{545} \gamma^{546} \gamma^{547} \gamma^{548} \gamma^{549} \gamma^{550} \gamma^{551} \gamma^{552} \gamma^{553} \gamma^{554} \gamma^{555} \gamma^{556} \gamma^{557} \gamma^{558} \gamma^{559} \gamma^{560} \gamma^{561} \gamma^{562} \gamma^{563} \gamma^{564} \gamma^{565} \gamma^{566} \gamma^{567} \gamma^{568} \gamma^{569} \gamma^{570} \gamma^{571} \gamma^{572} \gamma^{573} \gamma^{574} \gamma^{575} \gamma^{576} \gamma^{577} \gamma^{578} \gamma^{579} \gamma^{580} \gamma^{581} \gamma^{582} \gamma^{583} \gamma^{584} \gamma^{585} \gamma^{586} \gamma^{587} \gamma^{588} \gamma^{589} \gamma^{590} \gamma^{591} \gamma^{592} \gamma^{593} \gamma^{594} \gamma^{595} \gamma^{596} \gamma^{597} \gamma^{598} \gamma^{599} \gamma^{600} \gamma^{601} \gamma^{602} \gamma^{603} \gamma^{604} \gamma^{605} \gamma^{606} \gamma^{607} \gamma^{608} \gamma^{609} \gamma^{610} \gamma^{611} \gamma^{612} \gamma^{613} \gamma^{614} \gamma^{615} \gamma^{616} \gamma^{617} \gamma^{618} \gamma^{619} \gamma^{620} \gamma^{621} \gamma^{622} \gamma^{623} \gamma^{624} \gamma^{625} \gamma^{626} \gamma^{627} \gamma^{628} \gamma^{629} \gamma^{630} \gamma^{631} \gamma^{632} \gamma^{633} \gamma^{634} \gamma^{635} \gamma^{636} \gamma^{637} \gamma^{638} \gamma^{639} \gamma^{640} \gamma^{641} \gamma^{642} \gamma^{643} \gamma^{644} \gamma^{645} \gamma^{646} \gamma^{647} \gamma^{648} \gamma^{649} \gamma^{650} \gamma^{651} \gamma^{652} \gamma^{653} \gamma^{654} \gamma^{655} \gamma^{656} \gamma^{657} \gamma^{658} \gamma^{659} \gamma^{660} \gamma^{661} \gamma^{662} \gamma^{663} \gamma^{664} \gamma^{665} \gamma^{666} \gamma^{667} \gamma^{668} \gamma^{669} \gamma^{670} \gamma^{671} \gamma^{672} \gamma^{673} \gamma^{674} \gamma^{675} \gamma^{676} \gamma^{677} \gamma^{678} \gamma^{679} \gamma^{680} \gamma^{681} \gamma^{682} \gamma^{683} \gamma^{684} \gamma^{685} \gamma^{686} \gamma^{687} \gamma^{688} \gamma^{689} \gamma^{690} \gamma^{691} \gamma^{692} \gamma^{693} \gamma^{694} \gamma^{695} \gamma^{696} \gamma^{697} \gamma^{698} \gamma^{699} \gamma^{700} \gamma^{701} \gamma^{702} \gamma^{703} \gamma^{704} \gamma^{705} \gamma^{706} \gamma^{707} \gamma^{708} \gamma^{709} \gamma^{710} \gamma^{711} \gamma^{712} \gamma^{713} \gamma^{714} \gamma^{715} \gamma^{716} \gamma^{717} \gamma^{718} \gamma^{719} \gamma^{720} \gamma^{721} \gamma^{722} \gamma^{723} \gamma^{724} \gamma^{725} \gamma^{726} \gamma^{727} \gamma^{728} \gamma^{729} \gamma^{730} \gamma^{731} \gamma^{732} \gamma^{733} \gamma^{734} \gamma^{735} \gamma^{736} \gamma^{737} \gamma^{738} \gamma^{739} \gamma^{740} \gamma^{741} \gamma^{742} \gamma^{743} \gamma^{744} \gamma^{745} \gamma^{746} \gamma^{747} \gamma^{748} \gamma^{749} \gamma^{750} \gamma^{751} \gamma^{752} \gamma^{753} \gamma^{754} \gamma^{755} \gamma^{756} \gamma^{757} \gamma^{758} \gamma^{759} \gamma^{760} \gamma^{761} \gamma^{762} \gamma^{763} \gamma^{764} \gamma^{765} \gamma^{766} \gamma^{767} \gamma^{768} \gamma^{769} \gamma^{770} \gamma^{771} \gamma^{772} \gamma^{773} \gamma^{774} \gamma^{775} \gamma^{776} \gamma^{777} \gamma^{778} \gamma^{779} \gamma^{780} \gamma^{781} \gamma^{782} \gamma^{783} \gamma^{784} \gamma^{785} \gamma^{786} \gamma^{787} \gamma^{788} \gamma^{789} \gamma^{790} \gamma^{791} \gamma^{792} \gamma^{793} \gamma^{794} \gamma^{795} \gamma^{796} \gamma^{797} \gamma^{798} \gamma^{799} \gamma^{800} \gamma^{801} \gamma^{802} \gamma^{803} \gamma^{804} \gamma^{805} \gamma^{806} \gamma^{807} \gamma^{808} \gamma^{809} \gamma^{810} \gamma^{811} \gamma^{812} \gamma^{813} \gamma^{814} \gamma^{815} \gamma^{816} \gamma^{817} \gamma^{818} \gamma^{819} \gamma^{820} \gamma^{821} \gamma^{822} \gamma^{823} \gamma^{824} \gamma^{825} \gamma^{826} \gamma^{827} \gamma^{828} \gamma^{829} \gamma^{830} \gamma^{831} \gamma^{832} \gamma^{833} \gamma^{834} \gamma^{835} \gamma^{836} \gamma^{837} \gamma^{838} \gamma^{839} \gamma^{840} \gamma^{841} \gamma^{842} \gamma^{843} \gamma^{844} \gamma^{845} \gamma^{846} \gamma^{847} \gamma^{848} \gamma^{849} \gamma^{850} \gamma^{851} \gamma^{852} \gamma^{853} \gamma^{854} \gamma^{855} \gamma^{856} \gamma^{857} \gamma^{858} \gamma^{859} \gamma^{860} \gamma^{861} \gamma^{862} \gamma^{863} \gamma^{864} \gamma^{865} \gamma^{866} \gamma^{867} \gamma^{868} \gamma^{869} \gamma^{870} \gamma^{871} \gamma^{872} \gamma^{873} \gamma^{874} \gamma^{875} \gamma^{876} \gamma^{877} \gamma^{878} \gamma^{879} \gamma^{880} \gamma^{881} \gamma^{882} \gamma^{883} \gamma^{884} \gamma^{885} \gamma^{886} \gamma^{887} \gamma^{888} \gamma^{889} \gamma^{890} \gamma^{891} \gamma^{892} \gamma^{893} \gamma^{894} \gamma^{895} \gamma^{896} \gamma^{897} \gamma^{898} \gamma^{899} \gamma^{900} \gamma^{901} \gamma^{902} \gamma^{903} \gamma^{904} \gamma^{905} \gamma^{906} \gamma^{907} \gamma^{908} \gamma^{909} \gamma^{910} \gamma^{911} \gamma^{912} \gamma^{913} \gamma^{914} \gamma^{915} \gamma^{916} \gamma^{917} \gamma^{918} \gamma^{919} \gamma^{920} \gamma^{921} \gamma^{922} \gamma^{923} \gamma^{924} \gamma^{925} \gamma^{926} \gamma^{927} \gamma^{928} \gamma^{929} \gamma^{930} \gamma^{931} \gamma^{932} \gamma^{933} \gamma^{934} \gamma^{935} \gamma^{936} \gamma^{937} \gamma^{938} \gamma^{939} \gamma^{940} \gamma^{941} \gamma^{942} \gamma^{943} \gamma^{944} \gamma^{945} \gamma^{946} \gamma^{947} \gamma^{948} \gamma^{949} \gamma^{950} \gamma^{951} \gamma^{952} \gamma^{953} \gamma^{954} \gamma^{955} \gamma^{956} \gamma^{957} \gamma^{958} \gamma^{959} \gamma^{960} \gamma^{961} \gamma^{962} \gamma^{963} \gamma^{964} \gamma^{965} \gamma^{966} \gamma^{967} \gamma^{968} \gamma^{969} \gamma^{970} \gamma^{971} \gamma^{972} \gamma^{973} \gamma^{974} \gamma^{975} \gamma^{976} \gamma^{977} \gamma^{978} \gamma^{979} \gamma^{980} \gamma^{981} \gamma^{982} \gamma^{983} \gamma^{984} \gamma^{985} \gamma^{986} \gamma^{987} \gamma^{988} \gamma^{989} \gamma^{990} \gamma^{991} \gamma^{992} \gamma^{993} \gamma^{994} \gamma^{995} \gamma^{996} \gamma^{997} \gamma^{998} \gamma^{999} \gamma^{1000} \gamma^{1001} \gamma^{1002} \gamma^{1003} \gamma^{1004} \gamma^{1005} \gamma^{1006} \gamma^{1007} \gamma^{1008} \gamma^{1009} \gamma^{1010} \gamma^{1011} \gamma^{1012} \gamma^{1013} \gamma^{1014} \gamma^{1015} \gamma^{1016} \gamma^{1017} \gamma^{1018} \gamma^{1019} \gamma^{1020} \gamma^{1021} \gamma^{1022} \gamma^{1023} \gamma^{1024} \gamma^{1025} \gamma^{1026} \gamma^{1027} \gamma^{1028} \gamma^{1029} \gamma^{1030} \gamma^{1031} \gamma^{1032} \gamma^{1033} \gamma^{1034} \gamma^{1035} \gamma^{1036} \gamma^{1037} \gamma^{1038} \gamma^{1039} \gamma^{1040} \gamma^{1041} \gamma^{1042} \gamma^{1043} \gamma^{1044} \gamma^{1045} \gamma^{1046} \gamma^{1047} \gamma^{1048} \gamma^{1049} \gamma^{1050} \gamma^{1051} \gamma^{1052} \gamma^{1053} \gamma^{1054} \gamma^{1055} \gamma^{1056} \gamma^{1057} \gamma^{1058} \gamma^{1059} \gamma^{1060} \gamma^{1061} \gamma^{1062} \gamma^{1063} \gamma^{1064} \gamma^{1065} \gamma^{1066} \gamma^{1067} \gamma^{1068} \gamma^{1069} \gamma^{1070} \gamma^{1071} \gamma^{1072} \gamma^{1073} \gamma^{1074} \gamma^{1075} \gamma^{1076} \gamma^{1077} \gamma^{1078} \gamma^{1079} \gamma^{1080} \gamma^{1081} \gamma^{1082} \gamma^{1083} \gamma^{1084} \gamma^{1085} \gamma^{1086} \gamma^{1087} \gamma^{1088} \gamma^{1089} \gamma^{1090} \gamma^{1091} \gamma^{1092} \gamma^{1093} \gamma^{1094} \gamma^{1095} \gamma^{1096} \gamma^{1097} \gamma^{1098} \gamma^{1099} \gamma^{1100} \gamma^{1101} \gamma^{1102} \gamma^{1103} \gamma^{1104} \gamma^{1105} \gamma^{1106} \gamma^{1107} \gamma^{1108} \gamma^{1109} \gamma^{1110} \gamma^{1111} \gamma^{1112} \gamma^{1113} \gamma^{1114} \gamma^{1115} \gamma^{1116} \gamma^{1117} \gamma^{1118} \gamma^{1119} \gamma^{1120} \gamma^{1121} \gamma^{1122} \gamma^{1123} \gamma^{1124} \gamma^{1125} \gamma^{1126} \gamma^{1127} \gamma^{1128} \gamma^{1129} \gamma^{1130} \gamma^{1131} \gamma^{1132} \gamma^{1133} \gamma^{1134} \gamma^{1135} \gamma^{1136} \gamma^{1137} \gamma^{1138} \gamma^{1139} \gamma^{1140} \gamma^{1141} \gamma^{1142} \gamma^{1143} \gamma^{1144} \gamma^{1145} \gamma^{1146} \gamma^{1147} \gamma^{1148} \gamma^{1149} \gamma^{1150} \gamma^{1151} \gamma^{1152} \gamma^{1153} \gamma^{1154} \gamma^{1155} \gamma^{1156} \gamma^{1157} \gamma^{1158} \gamma^{1159} \gamma^{1160} \gamma^{1161} \gamma^{1162} \gamma^{1163} \gamma^{1164} \gamma^{1165} \gamma^{1166} \gamma^{1167} \gamma^{1168} \gamma^{1169} \gamma^{1170} \gamma^{1171} \gamma^{1172} \gamma^{1173} \gamma^{1174} \gamma^{1175} \gamma^{1176} \gamma^{1177} \gamma^{1178} \gamma^{1179} \gamma^{1180} \gamma^{1181} \gamma^{1182} \gamma^{1183} \gamma^{1184} \gamma^{1185} \gamma^{1186} \gamma^{1187} \gamma^{1188} \gamma^{1189} \gamma^{1190} \gamma^{1191} \gamma^{1192} \gamma^{1193} \gamma^{1194} \gamma^{1195} \gamma^{1196} \gamma^{1197} \gamma^{1198} \gamma^{1199} \gamma^{1200} \gamma^{1201} \gamma^{1202} \gamma^{1203} \gamma^{1204} \gamma^{1205} \gamma^{1206} \gamma^{1207} \gamma^{1208} \gamma^{1209} \gamma^{1210} \gamma^{1211} \gamma^{1212} \gamma^{1213} \gamma^{1214} \gamma^{1215} \gamma^{1216} \gamma^{1217} \gamma^{1218} \gamma^{1219} \gamma^{1220} \gamma^{1221} \gamma^{1222} \gamma^{1223} \gamma^{1224} \gamma^{1225} \gamma^{1226} \gamma^{1227} \gamma^{1228} \gamma^{1229} \gamma^{1230} \gamma^{1231} \gamma^{1232} \gamma^{1233} \gamma^{1234} \gamma^{1235} \gamma^{1236} \gamma^{1237} \gamma^{1238} \gamma^{1239} \gamma^{1240} \gamma^{1241} \gamma^{1242} \gamma^{1243} \gamma^{1244} \gamma^{1245} \gamma^{1246} \gamma^{1247} \gamma^{1248} \gamma^{1249} \gamma^{1250} \gamma^{1251} \gamma^{1252} \gamma^{1253} \gamma^{1254} \gamma^{1255} \gamma^{1256} \gamma^{1257} \gamma^{1258} \gamma^{1259} \gamma^{1260} \gamma^{1261} \gamma^{1262} \gamma^{1263} \gamma^{1264} \gamma^{1265} \gamma^{1266} \gamma^{1267} \gamma^{1268} \gamma^{1269} \gamma^{$$

$$P_l^{(m)}(\xi) = (1 - \xi^2)^{-\frac{|m|}{2}} \frac{d^{|m|}}{d\xi^{|m|}} P_l(\xi). \quad (D22)$$

qilinadi. Shuning uchun, $m = 0$ dagi yechimni $P_l^{(m)}(\xi)$ orqali belgilansa, u holda

$$\Theta(\xi) = P_l^{(m)}(\xi), \quad \xi = \cos \theta \quad (D21)$$

orqali belgilanadi. Agarda (D15) tenglamani ξ bo'yicha

differensialansa $|m|$ o'rniga $|m|+1$ qatnashadigan tenglama hosil qilinadi. Shuning uchun, $m = 0$ dagi yechimni $P_l^{(m)}(\xi)$ orqali belgilansa,

$$\lambda = l(l+1), \quad l = 0, 1, 2, 3, \dots \quad (D19)$$

$$|m| = 0, 1, 2, \dots, l \quad (D20)$$

Yuqoridagi olingan munosabatlardan shuni aytish joizki (D1) tenglamaning boshqa xususiy funksiyalari mavjud emas.

Kiritilgan l va m xarakteristik sonlarga tegishi bo'lgan Θ yechimlarni

$$\Theta(\xi) = P_l^{(m)}(\xi), \quad \xi = \cos \theta \quad (D21)$$

orgali belgilanadi. Agarda (D15) tenglamani ξ bo'yicha differensialansa $|m|$ o'rniga $|m|+1$ qatnashadigan tenglama hosil qilinadi. Shuning uchun, $m = 0$ dagi yechimni $P_l^{(m)}(\xi)$ orqali belgilansa,

$$\lambda = (k+|m|)(k+|m|+1) \quad (D17)$$

bo'lishi kerak. Agarda

$$k+|m|=l \quad (D18)$$

deb qabul qilinsa, λ va m kattaliklar uchun qo'uidagi qiymatlarini qabul qilinishini ko'rish mumkin:

$$\lambda = l(l+1), \quad l = 0, 1, 2, 3, \dots \quad (D19)$$

$$|m| = 0, 1, 2, \dots, l \quad (D20)$$

Yuqoridagi olingan munosabatlardan shuni aytish joizki (D1) tenglamaning boshqa xususiy funksiyalari mavjud emas.

Kiritilgan l va m xarakteristik sonlarga tegishi bo'lgan Θ yechimlarni

$$\Theta(\xi) = P_l^{(m)}(\xi), \quad \xi = \cos \theta \quad (D21)$$

orgali belgilanadi. Agarda (D15) tenglamani ξ bo'yicha differensialansa $|m|$ o'rniga $|m|+1$ qatnashadigan tenglama hosil qilinadi. Shuning uchun, $m = 0$ dagi yechimni $P_l^{(m)}(\xi)$ orqali belgilansa,

$$P_l^{(m)}(\xi) = (1 - \xi^2)^{-\frac{|m|}{2}} \frac{d^{|m|}}{d\xi^{|m|}} P_l(\xi). \quad (D22)$$

qilinadi. Shuning uchun, $m = 0$ dagi yechimni $P_l^{(m)}(\xi)$ orqali belgilansa, u holda

$$\Theta(\xi) = P_l^{(m)}(\xi), \quad \xi = \cos \theta \quad (D21)$$

orgali belgilanadi. Agarda (D15) tenglamani ξ bo'yicha differensialansa $|m|$ o'rniga $|m|+1$ qatnashadigan tenglama hosil qilinadi. Shuning uchun, $m = 0$ dagi yechimni $P_l^{(m)}(\xi)$ orqali belgilansa,

$$P_l^{(m)}(\xi) = (1 - \xi^2)^{-\frac{|m|}{2}} \frac{d^{|m|}}{d\xi^{|m|}} P_l(\xi). \quad (D22)$$

qilinadi. Shuning uchun, $m = 0$ dagi yechimni $P_l^{(m)}(\xi)$ orqali belgilansa, u holda

ga teng bo'ladi. Hosil bo'lgan (D26)dagi funksiyalar θ, φ sfera sirtida ortogonal funksiyalarning to'liq sistemasini tashkil etadi. Shuning uchun, ixtiyoriy kvadratlik integrallovchi va bir qiymatli $\psi(\theta, \varphi)$ funksiyani

$$N_{lm} = \sqrt{\frac{(l-|m|)! (2l+1)}{(l+|m|)! 4\pi}} \quad (D27)$$

bunda N_{lm} - normallashtiruvchi koeffitsiyent. Hisoblashlar natijasida bu koeffitsiyentning qiymati

$$Y_{lm}(\theta, \varphi) = N_{lm} P_l^{(m)}(\cos \theta) e^{im\varphi} \quad (D26)$$

quyidagi ko'rinishdagi xususiy funksiyasini olinadi:

$$P_l^0(\xi) = P_l(\xi) = \frac{1}{2^l \cdot l!} \frac{d^l}{d\xi^l} (\xi^2 - 1)^l \quad (D25)$$

ifoda olinadi. Ushbu hosil bo'lgan ifodadan quyidagi natijalar kelib

chiqadi: agarda $b_0 \neq 0$ va $b_1 = 0$ qilib tanlab olinsa, u holda P_l ko'phad ξ ning faqat musbat darajalaridan tashkil topgan bo'ladi, agarda $b_0 = 0$ va $b_1 \neq 0$ bo'lsa, u holda P_l faqat toq darajalaridan tashkil topgan bo'ladi. l ning musbat qiymatlari berilganida b_0 ni tanlab

olinsa, yoki l ning toq qiymatlari berilganida b_1 ni tanlab olinsa, P_l ko'phadning barcha koeffitsiyentlarni hisoblash imkoniyati paydo bo'ladi. Ushbu hisoblashlarda faqat (D23) tenglikni bajarilishini esdan chiqarmaslik kerak. Shunday qilib, olinadigan ko'phad quyidagi formula orqali berilishini tekshirish qiyin yemas:

$$b_{\nu+2} = \frac{\nu(\nu+1) - l(l+1)}{(\nu+2)(\nu+1)} b_{\nu} \quad (D24)$$

bo'lishi kerak. (D16) tenglamadan $|m|=0$ bo'lganida

$$P_l(1) = 1 \quad (D23)$$

koeffitsiyentni shunday normallashtiriladiki

yechimni olish mumkin. Bunda $P_l(\xi)$ kattalik l darajaning Lejandr ko'phadi, yoki polinomi, deyiladi. Ushbu polinom oldidagi koeffitsiyentni shunday normallashtiriladiki



$$(B.2) \quad q > 0 > a \quad (0) f = \int_a^b f(x) \delta(x) dx = \int_a^b f(x) f(x) dx$$

bunda ν zarluksiya ixtiyoriy o'zgaruvchining ixtiyoriy qiymatidir.

(B.2) dagi integralning δ - funksiya xossalriga asoslangan holda, bu funksiya faqat $x = 0$ nuqta atrofidagina muhim rol o'ynashi ko'rinib turibdi. U holda $x = 0$ nuqtadagi $f(x)$ funksiyani integral belgisidan tashqariga chiqarib bo'ladi va qolgan integral (B.1) formulaga asosan birga teng bo'ladi. (B.2) dagi integralni quyidagicha ham yozish mumkin:

$$(B.3) \quad \int_a^b f(x) \delta(x - x_0) dx = f(x_0).$$

(B.3) integralidagi $x = x_0$ nuqta integrallash sohasi ichida bevosita joylashgan bo'lishi kerak. Barcha uzluksiz funksiyalar uchun (B.3) formula o'rinaldir, bu funksiyalar skalar, vektor, tenzor ko'rinishida bo'lishi mumkin.

Kiritilgan delta- funksiyani matematikada kursida qabul qilingan oddiy funksiya ma'nosida qarash mumkin emas. Hozirgi zamon nazariy fizikada keng qo'llanadigan boshqa singular, yoki xosmas, funksiyalar qatorida, δ - funksiya ham argumetning barcha qiymatlaridagi kattaliklar orqali ifodalanmasdan, balki uning uzluksiz funksiyalar bilan ko'paytmalarini integrallash qoidasini berish orqali ifoda qilinadi. Boshqacha aytganda, δ - funksiya barcha formulalarning oxirgi ko'rinishlarida ishtirok etmaydi. Har doim δ - funksiya yozilganda o'zi bog'liq bo'lgan o'zgaruvchilar bo'yicha integrallashni nazarda tutiladi.

Analitik funksiyalar ketma-ketligining limiti sifatida δ - funksiyaning oshkor ko'rinishidagi tassavurlardan biridan foydalanish o'rinaldir. Bunday tassavurlardan birini

$$\delta(x) = \lim_{\epsilon \rightarrow 0} \frac{\sin(\alpha \cdot x)}{\pi x} \quad (B.4)$$

orqali ko'rsatish mumkin.

Mirzayusuf Mirzamahmudovich Musaxanov
Azamxon Sayfiyevich Rahmatov

KVANT MEXANIKASI

Muharrir *X. Polatxojayev*
Sahifalovchi *H. Safaraliyev*
Musahih *B. Tuyovqov*

Litsenziya AI № 10.05.2010.01.061
Bosishga ruxsat etildi 17.07.2011. Bichimi 60x84 ¹/₁₆. Offset qo'zi.
TimesUz garniturasini. Shartli bosma t. 22,0. Nashr t. 22.0.
Adadi 500 nusxa. Buyurtma № 14/05.

“Tafakkur –Bo'stoni” nashriyoti.
Toshkent, Yunusobod, 9-mavze, 13-uy.

«TAFAKKUR» nashriyoti bosmaxonasida chop etildi.
Toshkent, Chilonzor ko'chasi, 1-uy.

bo'ladi.

Endi δ - funksiyaning asosiy xossalarini yozib chiqaylik:

$$\delta(-x) = \delta(x) \tag{B.9}$$

$$x\delta(x) = 0 \tag{B.10}$$

$$\delta(ax) = \frac{1}{|a|} \delta(x) \tag{B.11}$$

$$f(x)\delta(x-a) = f(a)\delta(x-a) \tag{B.12}$$

$$\int \delta(a-x)\delta(b-x)kx = \delta(a-b) \tag{B.13}$$

$$\delta(x^2 - a^2) = \frac{\delta(x-a) + \delta(x+a)}{2|a|} \tag{B.14}$$

$\frac{\sin(\alpha \cdot x)}{\pi}$ funksiya $x=0$ da $\frac{\alpha}{\pi}$ ga teng bo'ladi, x ning qiymati ortgan sari bu funksiya $\frac{2\pi}{\alpha}$ davr bilan tebranadi. $-\infty < x < +\infty$ oralig'ida esa α ning qiymati qanday bo'lishiga bog'liq bo'lmagan holda bu funksiyadan olingan integral har doim birga teng bo'ladi. Shunday qilib, $\alpha \rightarrow \infty$ da $\lim_{\pi} \frac{\sin(\alpha \cdot x)}{\pi}$ ifoda δ - funksiyaning barcha xossalriga ega bo'ladi. (B.4) formuladan foydalangan holda

$$\frac{1}{2\pi} \int_{-\infty}^{\infty} e^{ikx} dk = \delta(x) \tag{B.5}$$

tenglikni isbotlash mumkin. Ba'zi qo'llanishlarda δ - funksiyaning boshqa tassavurlaridan foydalanishi mumkin, masalan:

$$\delta(x) = \lim_{\alpha \rightarrow 0} \frac{1}{\pi} \frac{\alpha}{\alpha^2 + x^2}. \tag{B.6}$$

Ko'p hollarda δ - funksiyaning tassavurlarini turli ortonomallashtgan funksiyalar sistemasi orqali ifodalash maqsadga muvofiqdir. Diskret spektrga tegishli bo'lgan $\Psi_n(x)$ funksiyalar uchun

$$\delta(x-x') = \sum_{n=-\infty}^{\infty} \Psi_n^*(x) \Psi_n(x') \tag{B.7}$$

tenglik o'rinli bo'ladi. Uzluksiz spektrga xos bo'lgan $\Psi_r(x)$ funksiyalar uchun esa

$$\delta(x-x') = \int \Psi_r^*(x) \Psi_r(x') \lambda df \tag{B.8}$$

(D11) ni hosil qilindi va bu ifodadan natija kelib chiqadi. γ ning shu qiymatini $\xi = -1$ maxsus nuqta atrofidagi yoyilmasini olganida ham olish mumkin. Olingan yechimlar $\xi = \pm 1$ da chekli bo'lishlari uchun (D10) yoyilmada

$$\gamma = \frac{|m|}{2} \tag{D12}$$

bo'lishi kerak, ya'ni $m > 0$ da $\gamma = \frac{m}{2}$ va $m < 0$ bo'lganida $\gamma = -\frac{m}{2}$ bo'lishi kerak. (D11) dagi ikkinchi yechim cheksizlikga teng bo'ladi. Shunday qilib, Θ funksiyani

$$\Theta = (1 - \xi^2)^{\frac{|m|}{2}} \nu \tag{D13}$$

ko'rinishida olish mumkin, bunda ν ni z ning darajalari bo'yicha qator shaklida qarash kerak. Yechimni izlashda davom ettirishda ν ni ξ lar bo'icha qator shaklida qidirish ancha qulaylikga olib keladi, ya'ni:

$$\nu = \sum_{r=0}^{\infty} b_r \xi^r. \tag{D14}$$

(D13) ni (D8) tenglikka qo'yilsa

$$(1 - \xi^2) \nu'' - 2(|m| + 1) \xi \nu' + (\lambda - |m| - m^2) \nu = 0 \tag{D15}$$

$$\psi(\theta, \varphi) = \sum_{l=0}^{\infty} \sum_{m=-l}^{l+1} c_{lm} Y_{lm}(\theta, \varphi) \tag{D28}$$

qator shaklida ifodalash mumkin, bunda

$$c_{lm} = \int_0^{\pi} \int_0^{2\pi} \psi(\theta, \varphi) Y_{lm}^*(\theta, \varphi) \sin \theta \theta \rho \theta \rho \phi \tag{D26}$$

ga teng.

11.2. Elektromagnit maydondagi zarracha.....	316
11.3. Dirak tenglamasi.....	321
11.4. Dirak matritsalarining algebrasi.....	326
Illovalar	335
Foydalanilgan adabiyotlar	347

$$J = \int_{-\infty}^{\infty} e^{-\alpha x^2} dx$$

C ilova
Ba'zi-bir integrallarni hisoblash

$$c(k') = \frac{1}{2\pi} \int_{-\infty}^{\infty} f(x) e^{-ik'x} dx \tag{B.17}$$

natijaga kelinadi. Demak,

$$= \int_{-\infty}^{\infty} c(k) 2\pi \delta(k - k') dk = 2\pi c(k')$$

(B.16)dagi tenglikning ikkala tomonini $e^{-ik'x}$ ga ko'laytirilsa, keyinchalik x bo'yicha integrallansa va (B.5)dan foydalanilsa:

$$f(x) = \int_{-\infty}^{\infty} c(k) e^{-ik'x} dk \tag{B.16}$$

Furye integrallari bilan ishlashda δ - funksiyadan keng foydalanish mumkin. Masalan $f(x)$ funksiyani Furye integraliga yoyilmasi quyidagicha beriladi:

$$\delta(x) = \int_{-\infty}^{\infty} c(k) e^{ikx} dk \tag{B.15}$$

Delta-funksiyadan olingan hosila

$$\frac{d^2 \Phi}{dx^2} = -m^2 \Phi \tag{D3}$$

$$\Phi_m(\varphi) = e^{im\varphi} \tag{D4}$$

yechim kelib chiqadi. Φ_m funksiya φ ning bir qiymati funksiyasi bo'lishi uchun

$$m = 0, \pm 1, \pm 2, \dots \tag{D5}$$

qiymatlarni qabul qilishi kerak. (D4) yechimini (D1) tenglamaga qo'yilsa va olingan natijani Φ_m ga bo'linsa, Θ funksiyasiga nisbatan quyidagi tenglama hosil qilinadi:

$$\frac{1}{\sin \theta} \frac{\partial}{\partial \theta} \left(\sin \theta \frac{\partial \Theta}{\partial \theta} \right) - \frac{m^2}{\sin^2 \theta} \Theta + \lambda \Theta = 0 \tag{D6}$$

Θ funksiyasiyaning θ o'zgaruvchisi o'tmiga yangi o'zgaruvchini kiritsak, ya'ni

$$\xi = \cos \theta, \quad -1 \leq \xi \leq +1, \quad d\xi = -\sin \theta d\theta \tag{D7}$$

bo'lsa, u holda Θ funksiyasi ξ o'zgaruvchining funksiyasi sifatida qatash mumkin. U holda (D6) tenglamaning o'tmiga quyidagi tenglama olinadi:

$$(1 - \xi^2) \Theta'' - 2\xi \Theta' + \left(\lambda - \frac{m^2}{1 - \xi^2} \right) \Theta = 0. \tag{D8}$$

(D8) tenglamaning Θ yechimlarini $\xi = \pm 1$ maxsus nuqtalar atrofida ko'rib chiqaylik. Avvalo $\xi = +1$ murojaat qilnadi. $z = \xi - 1$ yangi o'zgaruvchini kiritaylik. U holda (D8) quyidagi tenglama olinadi:

$$\Theta'' + \frac{2z+1}{z} \Theta' - \left[\frac{\lambda}{z(z+2)} + \frac{m^2}{z^2(z+2)^2} \right] \Theta = 0. \tag{D9}$$

Θ ni yechimlarini z ning darajalari bo'yicha qator shaklda izlanadi:

$$\Theta = z^l v, \quad v = a_0 + a_1 z + a_2 z^2 + \dots + a_n z^n + \dots \tag{D10}$$

XI qoq RELYATIVISTIK KVANT MEXANIKASI

X qoq

1.1.1. Shredingerning relyativistik tenglamasi.....	314
.....	311
.....	310
.....	307
.....	303
.....	300
.....	296

SOCHILISH NAZARIYASI

IX qoq. KO'P ELEKTRONLI ATOMLAR

9.1. Geliy atomi.....	271
9.2 Geliy atomi nazariyasining miqdoriy hisoblanishi.....	274
9.3. Molekulalarning tuzilishi.....	279
9.4. Vodород molekulası.....	281
9.5. IX bobga oid savol va masalalar.....	282

.....	270
.....	265
.....	260
.....	256
.....	244
.....	250
.....	242
.....	239
.....	234

ISVIYIRIVZVN HSINVTNOYVYTV.G qoq IIII

8.1. Vaqtga bog'g'atgan vaqtning o'zgarishi.....	434
8.2. Angarmonik ossisilliyalar.....	439
8.3. Aynish mavjud bo'lgan holda g'alayonlanish nazariyasi.....	442
8.4. Elektr maydonida vodород atomining energiyek sathlarini ajralishi.....	444
8.5. Vaqtga bog'g'atgan vaqtning o'zgarishi.....	450
8.6. Vaqtga bog'g'atgan vaqtning o'zgarishi.....	456
8.7. Yorug'likning yutilishi va nurlanishi.....	460
8.8 Dipol nurlanishi uchun tanlash qoidalari.....	460
8.9. VIII bobga oid savol va masalalar.....	462

FOYDALANILGAN ADABIYOTLAR

1. *Блохинцев Д.И.* Основы квантовой механики – М., 1983.
2. *Левич В.Г., Вдовин Ю.А., Мямлин В.А.* Курс теоретической физики. Т.2. М., 1971.
3. *Landau L.D., Lifshis Y.M.* Nazariy fizika qisqa kursi. T.2. Kvant mexanikasi. Toshkent, 1979.
4. *Савельев И.В.* Основы теоретической физики. Т.2. Квантовая механика. М., 2005.
5. *Ландау Л.Д., Лифшиц Е.М.* Теоретическая физика. Т.3. Квантовая механика. Нерелятивистская теория – М., 1989.
6. *Гречко А.Г., Сучаков В.И., Томашевич О.Ф., Федорченко А.М.* Сборник задач по теоретической физике. – М., Просвещение, 1979.
7. *Серова Ф.Г., Янкина А.А.* Сборник задач по теоретической физике. – М., Просвещение, 1979.
8. *Vakil R.X.* Kvant mexanikasiga kirish. O'quv qo'llanma. "O'qituvchi", 1989 y.
9. *Давыдов А.С.* Квантовая механика – М., Наука, 1973.
10. *Одиров О., Войцедарев А.* Fizika kursi. Kvant fizika. O'quv qo'llanma. – T., 2005.
11. *Галицкий В.М., и др.* Задачи по квантовой механике. Учебное пособие – М., Наука, 1973.
12. *Мессиа А.* Квантовая механика – М., Мир, Том 1. 1978, Том 2. 1979.
13. *Флюгге З.* Задачи по квантовой механике – М., Мир, 1974.
14. *Muskhelov M.M., Radevskiy V.A., Fayzillayev B.A.* Relyativistik kvant mexanikasi. O'quv qo'llanma. T., 2003.

Endi

$$J_{2n} = \int_{-\infty}^{\infty} e^{-x^2} x^{2n} dx = \frac{(2n-1)(2n-3)\dots\cdot 5\cdot 3\cdot 1}{2^n} \sqrt{\frac{\pi}{\alpha^{2n+1}}}.$$

$$J_4 = \int_{-\infty}^{\infty} e^{-x^2} x^4 dx = \frac{3}{4} \sqrt{\frac{\pi}{\alpha^5}},$$

$$J_2 = \int_{-\infty}^{\infty} e^{-x^2} x^2 dx = \frac{1}{2} \sqrt{\frac{\pi}{\alpha^3}},$$

ko'rimishdagi integral hisoblanadi. (C.2) formuladagi integralni α -

parametr bo'yicha differensiallansa, quyidagi natijalarni olish mumkin:

$$J_{2n} = \int_{-\infty}^{\infty} e^{-x^2} x^{2n} dx$$

bo'ladi.

Navbatdagi

$$J = \int_{-\infty}^{\infty} e^{-\alpha x^2} dx = \sqrt{\frac{\pi}{\alpha}}$$

natijaga kelinadi. Demak qidirilayotgan integral

$$J^2 = \frac{4}{\alpha} \int_0^{\pi} \int_0^{\infty} e^{-r^2} r dr d\varphi = \frac{\pi}{\alpha}$$

qutb koordinatalariga o'tilsa

$$r^2 = u^2 + t^2, \varphi = \arctg \frac{t}{r}, dt du = r dr d\varphi$$

Ushbu

$$J^2 = \frac{4}{\alpha} \int_0^{\infty} e^{-r^2} dt \int_0^{\infty} e^{-t^2} du = \frac{4}{\alpha} \int_0^{\infty} \int_0^{\infty} e^{-(r^2+t^2)} dt du.$$

bynda $\alpha x^2 = t$ yangi o'zgaruvchiga o'tildi. Yuqoridagi ifodalardan

foydalangan holda, quyidagi ayniyatni yozish mumkin:

$$J = 2 \int_0^{\infty} e^{-\alpha x^2} dx = \frac{2}{\sqrt{\alpha}} \int_0^{\infty} e^{-r^2} dt$$

$$J_{2n} = \int_{-\infty}^{\infty} e^{-\alpha x^2} x^{2n+1} dx = 0$$

ko'rimishdagi integralni hisoblash masalasini ko'rib chiqaylik. $n=0$ bo'lganida

$$\frac{1}{2\alpha} = \int_0^{\infty} e^{-\alpha x^2} x dx = \int_0^{\infty} e^{-u} \frac{1}{2\sqrt{\alpha}} du$$

teng bo'ladi. α - parametr bo'yicha J_1 ni differensiallansa,

$$J_{2n+1} = \int_{-\infty}^{\infty} e^{-\alpha x^2} x^{2n+1} dx = 0$$

natija olinadi.

D ilova

$Y_{lm}(\theta, \varphi)$ tipidagi sferik funksiyalar

M^2 impuls moment kvadrati operatorining xususiy qiymatlarini topish masalasida sferik funksiyalar uchun yozilgan ushbu tenglamalariga duch kelinadi:

$$\frac{1}{\sin \theta} \frac{\partial}{\partial \theta} \left(\sin \theta \frac{\partial \psi}{\partial \theta} \right) + \frac{1}{\sin^2 \theta} \frac{\partial^2 \psi}{\partial \varphi^2} + \lambda \psi = 0. \quad (D1)$$

Ushbu ilovaning asosiy maqsadi yuqoridagi tenglamaning xususiy funksiyalarini aniqlash, ya'ni θ va φ o'zgaruvchilarning $0 \leq \theta \leq \pi$, $0 \leq \varphi \leq 2\pi$ o'zgarish sohasida uzluksiz, bir qiymatli va chekli yechimlarini topishdir.

Dastavval θ va φ o'zgaruvchilarni ajratib olaylik:

$$\psi = \Theta(\theta) \cdot \Phi(\varphi) \quad (D2)$$

(D2)ni (D1)ga qo'yganimizda o'zgaruvchilarni ajratishga olib keladi agarda

3.1. Shredinger tenglamasi..... 89

III bob. VAQT O'TISHI BILAN HOLATLARNING O'ZGARISHI

3.1. Shredinger tenglamasi..... 89

2.1. Chiziqli va o'zaro qo'shma operatorlar..... 58
 2.2. Fizik kattaliklarning o'rtacha qiymatlari va operatorlari orasidagi bog'lanish..... 61
 2.3. Operatorlarning xususiy funksiyalari va xususiy qiymatlari..... 63
 2.4. Xususiy funksiyalarning asosiy xossalari..... 65
 2.5. O'lchash natijalarining ehtimolligini hisoblash..... 68
 2.6. Zarrachaning koordinata va impuls operatorlari..... 72
 2.7. Zarracha impuls momentining operatori..... 75
 2.8. Impuls moment kvadrati operatorining xususiy qiymati va xususiy funksiyalari..... 79
 2.9. Energiya operatori. Gamiltonian..... 81
 2.10. II bobga oid savol va masalalar..... 86

II bob. KVANT MEXANIKASINING MATEMATIK APPARATI

1.1.2. Noaniqlik munosabatlari..... 1
 1.1.3. I bobga oid savol va masalalar..... 1
 1.1.1.1. Klassik fizikaning asosiy qiymchiliklari..... 6
 1.1.2. Kvant nazariyasining paydo bo'lishi..... 6
 1.3. Yorug'likning kvant nazariyasi..... 21
 1.4. Yorug'likning to'liq - korpuskulyar dualizmi..... 16
 1.5. Bor postulatlari..... 22
 1.6. Zarrachalarning to'liq tabiati. De-Broyl g'oyasi..... 28
 1.7. De-Broyl to'liqlarining fizik ma'nosi..... 35
 1.8. Koordinatani aniqlash ehtimolligi..... 38
 1.9. Superpozitsiya prinsipi..... 46
 1.10. Impulsning topilish ehtimolligi..... 46
 1.11. Fizik kattaliklarning o'rtacha qiymatlarini va o'rtacha kvadratik qiymatlarini hisoblash..... 59
 1.12. Noaniqlik munosabatlari..... 59
 1.13. I bobga oid savol va masalalar..... 59
 I bobga oid savol va masalalar..... 59

MUNDARIJA

3.2. Ehtimollik oqini va zichligi..... 92
 3.3. Stasionar holatlar..... 94
 3.4. Operatorlarni vaqt bo'yicha differensiallash..... 96
 3.5. Kvant mexanikasida harakat tenglamalari..... 98
 3.6. Saqlanish qonunlari..... 100
 3.7. III bobga oid savol va masalalar..... 106

IV bob. BIR O'LCHAMLI MASALALAR

4.1. Cheksiz chuqur potentsial o'radagi harakat..... 108
 4.2. Potentsial to'siqdan o'tish va qaytish..... 112
 4.3. Kengligi cheklangan potentsial to'siq..... 117
 4.4. Chiziqli garmonik ostillyator..... 120
 4.5. Klassik mexanikasiga o'tish..... 131
 4.6. Kvant klassik yaqinlashish..... 134
 4.7. Kvant klassik yaqinlashishda potentsial o'radagi harakatni o'rganish..... 136
 4.8. IV bobga oid savol va masalalar..... 139

V bob. MARKAZIY SIMMETRIK MAYDONDAGI HARAKAT

5.1. Shredinger tenglamasining radial qismi..... 142
 5.2. Kulon maydonidagi harakat..... 149
 5.3. Vodorodsimon atomning to'liq funksiyasi..... 155
 5.4. Stasionar holatdagi vodorod atomining fazoviy taqsimoti..... 158
 5.5. Atomdagi toklar..... 165
 5.6. V bobga oid savol va masalalar..... 170

VI bob. KVANT MEXANIKASINING MATRITSA SHAKLI

6.1. Matritsalar algebrasining asoslari..... 172
 6.2. Matritsa shakldagi Shredinger tenglamasining ko'rinishi..... 176
 6.3. Kvant mexanikasining turli xil tavsavvurlari..... 179
 6.4. Garmonik ossilyator masalasini turli xil tavsavvurlarda yechish..... 184
 6.5. VI bobga oid savol va masalalar..... 193

VII bob. ZARRACHALARINING SPINI VA ULARNING AYNAN O'XSHASHLIGI

7.1. Elektronning spini..... 194
 7.2. Elektronning spin operatorlari..... 196
 7.3. Spin funksiyalari..... 201